



HAL
open science

L'agglomération de Bragny-sur-Saône "Sous Moussières": nouvelles données pour la fin du premier et le début du second âge du Fer dans le secteur de la confluence Saône-Doubs-Dheune, Rapport de fouille programmée 2022-secteurs 2 et 3

Émilie Dubreucq, Veronica Cicolani, Alessandro Peinetti, Jérôme Brenot, Laurine Picot, Christelle Sanchez, Léna Belhade, Arianne Fouillade, Anthony Denaire, Leeds Chabert, et al.

► To cite this version:

Émilie Dubreucq, Veronica Cicolani, Alessandro Peinetti, Jérôme Brenot, Laurine Picot, et al.. L'agglomération de Bragny-sur-Saône "Sous Moussières": nouvelles données pour la fin du premier et le début du second âge du Fer dans le secteur de la confluence Saône-Doubs-Dheune, Rapport de fouille programmée 2022-secteurs 2 et 3. Chrono-environnement, UMR 6249. 2023. hal-04041505

HAL Id: hal-04041505

<https://hal.science/hal-04041505>

Submitted on 22 Mar 2023

HAL is a multi-disciplinary open access archive for the deposit and dissemination of scientific research documents, whether they are published or not. The documents may come from teaching and research institutions in France or abroad, or from public or private research centers.

L'archive ouverte pluridisciplinaire **HAL**, est destinée au dépôt et à la diffusion de documents scientifiques de niveau recherche, publiés ou non, émanant des établissements d'enseignement et de recherche français ou étrangers, des laboratoires publics ou privés.



Distributed under a Creative Commons Attribution - NonCommercial 4.0 International License



RÉSUMÉ

Les travaux de terrain menés au lieu-dit « Sous Moussières » à Bragny-sur-Saône en 2021 et 2022

ont permis la découverte de nombreuses structures (près de 200 repérées) contribuant déjà à préciser l'organisation générale de l'agglomération ainsi qu'une partie de la fonction des bâtiments (domestiques et/ou artisanaux) et des structures annexes.

Une révision des données matérielles (céramiques, petits mobiliers métalliques, lithiques et non métalliques etc...) associée à une analyse spatiale de leur répartition contribue déjà à une discussion sur la fonction des espaces et les aspects socio-économiques, avec en toile de fond les questions chronologiques qui méritent d'être affinées pour bien distinguer les deux (ou trois) phases principales repérées dans ce secteur de l'agglomération.

Découvert en prospection géophysique par C. Sanchez au nord du site, un fossé monumental dont la fouille d'un tronçon a débuté en 2022 et a permis également d'alimenter et reconsidérer la question des limites de l'agglomération.

La nouveauté en 2022 est également la découverte d'une structure d'atelier en place, associée à plusieurs niveaux de sols, jusque-là non repérés lors des fouilles anciennes.

Deux dépôts volontaires d'objets métalliques ont notamment été trouvés à quelques mètres, composés de plusieurs outils rangés dans un contenant et posés à côté d'une crémaillère, elle aussi complète et emballée. Ce type de dépôt est très exceptionnel et permet d'interroger la question des pratiques symboliques à une période où elles sont particulièrement mal connues.

L'AGGLOMÉRATION DE BRAGNY-SUR-SAÔNE

RAPPORT ARCHÉOLOGIQUE

Fouille programmée 2022
dans le cadre du PCR
« La confluence Saône / Doubs à l'âge du Fer »

L'AGGLOMÉRATION DE BRAGNY-SUR-SAÔNE « SOUS MOUSSIÈRES »

dirigée par
**Émilie DUBREUCQ et
Véronica CICOLANI**

avec les contributions de
**A. PEINETTI, J. BRENOT,
Ch. SANCHEZ, L. PICOT,
L. BELHADE, A. FOUILLADE,
A. DENAIRE, L. CHABERT,
R. ROURE, M. LUACES,
C. LACHICHE**

2022



RAPPORT DE FOUILLE PROGRAMMÉE 2022

DANS LE CADRE DU PCR «LA CONFLUENCE SAÔNE/DOUBS À L'ÂGE DU FER»

L'AGGLOMÉRATION DE BRAGNY-SUR-SAÔNE « SOUS MOUSSIÈRES »

Nouvelles données pour la fin du premier et le début du second âge du Fer dans le secteur de la confluence Saône-Doubs-Dheune

SECTEURS 2 ET 3

E. DUBREUCQ ET V. CICOLANI

avec les contributions de

A. PEINETTI, J. BRENOT, C. SANCHEZ, L. PICOT,

L. BELHADE, A. FOUILLADE, A. DENAIRE, L. CHABERT,

R. ROURE, M. LUACES, C. LACHICHE

RAPPORT DE FOUILLE ARCHÉOLOGIQUE PROGRAMMÉE 2022

dans le cadre du Projet Collectif de Recherche « La confluence Saône-Doubs à l'âge du Fer »

Coordination

EMILIE DUBREUCQ, VERONICA CICOLANI

Référence bibliographique

Dubreucq, Cicolani 2022 : DUBREUCQ (E.) et CICOLANI (V.) (dir), A. Peinetti, J. Brenot, C. Sanchez, L. Picot, L. Belhade, A. Fouillade, A. Denaire, L. Chabert, R. Roure, M. Luaces, C. Lachiche, L'agglomération de Bragny-sur-Saône "Sous Moussières" : nouvelles données pour la fin du premier et le début du second âge du Fer dans le secteur de la confluence Saône-Doubs-Dheune, Rapport de fouille programmée 2022-secteurs 2 et 3, Besançon, UMR Chrono-Environnement, 1 vol.

Ce rapport est un document administratif destiné à rendre compte des actions réalisées au cours de l'année 2022 dans le cadre de l'opération de fouille archéologique programmée n°044044, intégré au Projet Collectif de Recherche consacré à la confluence Saône-Doubs à l'âge du Fer.

Sa diffusion est restreinte à l'administration de tutelle (SRA/DRAC de Bourgogne/Franche-Comté), aux institutions et collectivités territoriales qui soutiennent le projet et aux collaborateurs scientifiques.

L'accès aux informations contenues dans ce rapport par des personnes extérieures au PCR est soumis à la réglementation en vigueur (circulaire du 26 mars 1993).

Toute consultation, utilisation, reproduction, même partielle, de données ou documents scientifiques réalisés dans le cadre du PCR, par des personnes extérieures au projet, est soumise à autorisation spécifique des responsables du PCR.

Mise en page, maquette

EMMANUEL HAMON ET ALEX VAUTHIER

PARTENAIRES

MINISTÈRE DE LA CULTURE ET DE LA COMMUNICATION

DIRECTION RÉGIONALE DES AFFAIRES CULTURELLES BOURGOGNE-FRANCHE COMTÉ

UNIVERSITÉ BOURGOGNE-FRANCHE COMTÉ

RÉGION BOURGOGNE-FRANCHE COMTÉ

EVEHA

UMR 6249 CHRONO-ENVIRONNEMENT

UMR 5608 TRACES

INRAP

MSHE C-N. LEDOUX-BESANÇON

BIBRACTE

MAIRIE DE VERDUN-SUR-LE-DOUBS

MAIRIE DE BRAGNY-SUR-SAÔNE

L'agglomération de Bragny-sur-Saône « Sous Moussières », fouille programmée 2022 dans le cadre du PCR « La Confluence Saône/Doubs à l'âge du Fer »

FICHE SYNTHÉTIQUE

Type d'opération : fouille programmée, autorisation annuelle (2022).

Interrégion : Est

Région : Bourgogne – Franche-Comté (affaire suivie par Jenny Kaurin / pôle SRA de Dijon)

Département : Saône et Loire (71)

Commune : Bragny-sur-Saône

Code de l'opération : 044045

Références cadastrales : Secteur 2 : parcelles ZL 86 et ZL 85, lieu-dit "Sous Moussières"

Secteur 3 : parcelles ZL 93

Propriétaires : ZL 86 : Annie Guillaume Roudil, domicilié 35 Chemin des saquedes, 83 120 Sainte-Maxime ; ZL 85 : Chantal Borey, domicilié 21 rue du lac, 71 530 Crissey ; ZL : 93 : Philippe Bonnet, domicilié 35 rue de montée, 71350 Bragny-sur-Saône

Responsables scientifiques : Emilie Dubreucq, Eveha-Chercheur associée UMR 5608 TRACES ; Veronica Cicolani, Chercheur AOROC UMR 8546 CNRS-PSL ; Jérôme Brenot, Eveha-Chercheur associé UMR 7041-Arscan

Organisme scientifique support : UMR 6249 Chrono-environnement

Organisme gestionnaire : Délégation Centre-est, Vandoeuvre-lès-Nancy

Financement : Ministère de la Culture, financement global PCR Confluence

Autorisation de fouille : annexe 1

Nature du gisement : Agglomération ouverte (-500 à -400)

Superficie estimée : 6 ha

Superficie fouillée : 200 m²

Durée de l'opération de terrain : 4 semaines

GÉNÉRIQUE DE L'OPÉRATION

Responsables de terrain

Emilie DUBREUCQ, Eveha, UMR 5608 ; Veronica CICOLANI, CNRS, UMR 8546 AOROC CNRS-PSL

Rédaction du rapport

Emilie DUBREUCQ, Veronica CICOLANI, Jérôme BRENOT, Léna BELHADE, Alessandro PEINETTI

Topographie

Julien SOICHET, Eveha, Chercheur associé UMR 6249 Chrono-environnement

Laurine PICOT, Master 2-Université de Bourgogne

Drone

Matthieu THIVET

Logistique

Matthieu THIVET

Mehdi BENGHAOUI : Logisticien, EVEHA

Agnès STOCK : assistante ingénieur CNRS (UMR 6249 Chrono-environnement)

Mairie de Bragny-sur-Saône

Mairie de Verdun-sur-le-Doubs

Gestion du mobilier

Emilie DUBREUCQ

Equipe de fouille

Léna BELHADE, Léana BERT, Clément BATOZ, Zoé BONIN, Eileen CUMMINGS, David DECRESSAC, Geoffrey DUSSER, Ariane FOUILLADE, Héloïse FOUILLAT, Léo LEGERON, Nicolas MONOT, Laurine PICOT, Lucy PERRIER, Juliette REBERT, Angèle VINCELOT, Josuah WARGON

Géophysique appliquée

Christelle SANCHEZ, Eveha, Chercheure associée UMR 6249 Chrono-environnement

DAO, coupes stratigraphiques et plans

Daniel BEUCHER, Veronica CICOLANI, Emilie DUBREUCQ, Laurine PICOT

SPÉCIALISTES ET COLLABORATEURS SCIENTIFIQUES

Vaisselle céramique

David BARDEL, Inrap, Chercheur associé UMR 6298 ArTeHiS

Laurine PICOT, Masterante Université de Bourgogne

Importations céramiques

Réjane ROURE, Professeur, Université de Montpellier, UMR 5140 ASM

Max LUACES, Post-Doc UMR TRACES

Mobilier métallique, en céramique, en matière dure animale

Emilie DUBREUCQ

Déchets de métallurgie

Léna BELHADE, Masterante Université de Franche-Comté

Marion BERRANGER, CNRS, IRAMAT

Mobilier lithique

Luc JACCOTTEY, INRAP, UMR 6249 Chrono-environnement
Ariane FOUILLADE, Masterante Université de Paris I

Mobiliers Néolithiques

Anthony Denaire, MCF, Université de Bourgogne, UMR 6298 ArteHis

Archéozoologie

Caroline LACHICHE, Chercheur associé UMR 6298 ArTeHis

Bio matériaux

Caroline SCHAAL, carpologue, Inrap, UMR 6249 Chrono-environnement
Leeds CHABERT, Masterante Université de Franche-Comté
Alfred TATRE, Masterant Université de Franche-Comté
Céline MAICHER, ATER, UMR 6249 Chrono-environnement

Géoarchéologie, Micromorphologie

Jérôme BRENOT (Eveha-Chercheur associé UMR 7041-Arscan)
Alessandro PEINETTI (Inrap - Chercheur associé-ASM Montpellier 3)



**PRÉFET
DE LA RÉGION
BOURGOGNE-
FRANCHE-COMTÉ**

*Liberté
Égalité
Fraternité*

**Direction régionale
des affaires culturelles**

Arrêté n° 2022/ 386 du 17 JUIN 2022

portant autorisation de fouille programmée.

Le Préfet de région ;

Vu le code du patrimoine et notamment son livre V ;

Vu l'arrêté n° 21.68 BAG du 23 mars 2021 du Préfet de la région Bourgogne-Franche-Comté portant délégation de signature à Madame Aymée ROGE, Directrice régionale des affaires culturelles de Bourgogne-Franche-Comté ;

Vu l'arrêté du 4 mars 2022 portant subdélégation de signature de la Directrice régionale des affaires culturelles de Bourgogne-Franche-Comté ;

Vu le dossier, enregistré sous le n° PGR272022000081, de demande d'opération archéologique arrivé le 28 février 2022 ;

ARRÊTE

Article 1 - Madame Emilie DUBREUCQ est autorisée, en qualité de responsable scientifique, à conduire une opération de fouille programmée à partir de la date de notification du présent arrêté jusqu'au 8 août 2022, sise en :

RÉGION : BOURGOGNE-FRANCHE-COMTE

- DEPARTEMENT : SAONE-ET-LOIRE
- COMMUNE : BRAGNY-SUR-SAONE
- Lieudits: Sous La Moussière, La Faux
- Cadastre : Section : ZL, Parcelles : 85, 86

Intitulé de l'opération : Bragny-sur-Saône - Fouille Dubreucq/Cicolani.

Programme de recherche : Axe 5. Les âges des métaux.

Code de l'opération : **044045**

Article 2 - prescriptions générales

Les recherches sont effectuées sous la surveillance du conservateur régional de l'archéologie territorialement compétent et conformément aux prescriptions imposées pour assurer le bon déroulement scientifique de l'opération.

Le responsable scientifique de l'opération informe régulièrement le conservateur régional de l'archéologie de ses travaux et découvertes. Il lui signale immédiatement toute découverte importante de caractère mobilier ou immobilier. Il revient au préfet de région de statuer sur les mesures définitives à prendre à l'égard des découvertes.

À la fin de l'année civile, le responsable scientifique de l'opération adresse au conservateur régional de l'archéologie, en triple exemplaire papier plus un exemplaire au format pdf, un rapport accompagné des plans et coupes précis des structures découvertes et des photographies nécessaires à la compréhension du texte. L'inventaire de l'ensemble du mobilier recueilli est annexé au rapport d'opération. Il signale les objets d'importance notable. Il indique les études complémentaires envisagées et, le cas échéant, le délai prévu pour la publication.

.../...

Article 3 - destination du matériel archéologique découvert

Le responsable prend les dispositions nécessaires à la sécurité des objets mobiliers. Le mobilier archéologique est mis en état pour étude, classé, marqué et inventorié. Son conditionnement est adapté par type de matériaux et organisé en fonction des unités d'enregistrement. Le statut juridique et le lieu de dépôt du matériel archéologique découvert au cours de l'opération sont fixés conformément aux dispositions légales et réglementaires et aux termes des conventions passées avec les propriétaires des terrains concernés.

Article 4 - versement des archives de fouilles

L'intégralité des archives accompagnée d'une notice explicitant son mode de classement et de conditionnement et fournissant la liste des codes utilisés avec leur signification, fait l'objet de la part du responsable de l'opération d'un versement unique. Ce versement est détaillé sur un bordereau récapitulatif établi par le responsable de l'opération, dont le visa par le préfet de région vaut acceptation et décharge. Le lieu de conservation est désigné par le préfet de région.

Article 5 - prescriptions particulières

La fouille de 2022 sera réalisée conformément à la demande, à savoir l'ouverture d'un secteur de 200 m² en prolongement au sud et à l'est de la zone explorée en 2021.

Article 6 - La Directrice régionale des affaires culturelles est chargée de l'exécution du présent arrêté, qui sera notifié à Madame Emilie DUBREUCQ.

Fait à Dijon, le **17 JUIN 2022**

Pour le Préfet de la région Bourgogne-Franche-Comté,
et par délégation,
Pour la Directrice régionale des
affaires culturelles, et par subdélégation,
Le Conservateur régional de l'archéologie



Marc TALON

MINISTÈRE DE LA CULTURE
PRÉFECTURE DE LA RÉGION BOURGOGNE-FRANCHE-COMTÉ
DIRECTION RÉGIONALE DES AFFAIRES CULTURELLES DE
BOURGOGNE-FRANCHE-COMTÉ

**SERVICE RÉGIONAL
DE L'ARCHÉOLOGIE**

Dijon, le 18 août 2022

**COMMISSION TERRITORIALE
DE LA RECHERCHE ARCHÉOLOGIQUE**
Interrégion Est de la France
(Grand Est et Bourgogne - Franche-Comté)

**PROCÈS-VERBAL DE LA SÉANCE DES
3, 4, 5 et 6 mai 2022**
DRAC Bourgogne Franche-Comté - DIJON

Approuvé le 29 juin 2022

Saône-et-Loire / « La confluence Saône-Doubs à l'âge du Fer », structuration et évolution du peuplement à l'âge du Fer dans la zone de confluence entre la Saône et le Doubs autour des agglomérations hallstattienne de Bragny-sur-Saône et laténienne de Verdun-sur-le-Doubs » – PCR 2020-2022

Axe 5

Responsable : Matthieu THIVET (UNIV. Franche-Comté, UMR 6249 Chrono-environnement)

Rapporteurs : Rebecca PEAKE et Jean-Marie LARUAZ

Premier rapporteur : spécialement les axes 1 (géoarchéologie) et 2 (recherches sur le site de Bragny-sur-Saône)

Pour rappel, ce PCR de 4 ans démarré en 2020 (avec une année probatoire en 2019) concerne une recherche renouvelée sur un secteur géographique localisé à une vingtaine de kilomètres au nord de Chalon-sur-Saône. Il s'agit d'étudier les interactions entre l'Homme et son environnement sur une période clé pour le secteur (entre le VI^e et le I^{er} siècle) pour ensuite aborder la question de la protourbanisation et les modalités de développement des agglomérations ouvertes à spécialisation artisanale et commerciale au cours de l'âge du Fer, en associant de la recherche documentaire et de nouvelles interventions sur le terrain (voir les avis séparés sur les rapports de fouille programmée de Bragny-sur-Saône et de Verdun-sur-le-Doubs). Les résultats seront restitués sous forme d'une publication et d'une médiation auprès du grand public.

Le PCR comprend quatre axes :

- 1 – Approches archéologique et géoarchéologique de la confluence Saône/Doubs
- 2 – La Confluence au 1^{er} âge du Fer : recherches sur le site de Bragny « Sous Moussières »
- 3 – La confluence au 2nd âge du Fer : recherches sur le site de Verdun-sur-le-Doubs - « Le Petit Chauvort »
- 4 – Bancarisation des données et SIG

Les travaux ont bien avancé en ce qui concerne les trois premiers axes ; pour l'axe 4, la bancarisation des données et le SIG, sont restés en suspens, à la suite de nombreuses annulations provoquées par la situation sanitaire. Une journée portes ouvertes sur les deux fouilles a néanmoins pu être organisée le 1^{er} août 2021.

Rapport d'activité 2021

Le rapport de 175 pages rend compte des travaux réalisés dans le cadre du projet en 2021, et expose les perspectives pour l'année 2022, présentées par axe.

AXE 1 – Approches archéologique et géoarchéologique de la confluence Saône/Doubs

1.1 La prospection géophysique (Chr. Sanchez)

Les prospections entreprises sur une surface de 4,3 hectares entre les 2 et 3 septembre 2021, concernent la commune de Verdun-sur-le-Doubs. Elles documentent la continuité de l'agglomération gauloise vers le sud et à l'est où est apparue une nouvelle installation marquée par des fossés imbriqués, correspondant soit à un sanctuaire, soit à un établissement rural.

1.2 L'étude géomorphologique (F. Cruz)

L'objectif de l'étude géomorphologique est la recherche des séquences organiques dans le but de reconstituer l'environnement végétal de la région. Un total d'une quarantaine de forages a été réalisé. Trois sont localisés aux abords des sites archéologiques (un à Verdun-sur-le-Doubs et deux à Bragny-sur-Saône). Trente six autres constituent trois transects dans les plaines alluviales en amont de la confluence.

À Bragny, au nord et au sud de la zone de fouille, ils ont permis la reconnaissance d'un niveau de limon argileux brun-beige de 20 à 60 cm d'épaisseur selon l'emplacement. Il s'agit d'un niveau d'origine anthropique : soit un apport direct par transport et dépôt de sédiments, soit un apport indirect issu d'une activité agricole.

Les forages réalisés dans la plaine alluviale de la confluence montrent une forte érosion fluviale et plusieurs épisodes de sédimentation durant le Pléistocène et l'Holocène. Aucun niveau correspondant à des sédiments organiques n'a été repéré.

AXE 2 – La Confluence au 1^{er} âge du Fer : recherches sur le site de Bragny-sur-Saône « Sous Moussières » (E. Dubreucq)

Pour rappel, le site de Bragny, daté de la fin VI^e-début V^e s. et de la deuxième moitié du V^e s., découvert à la fin des années 1960, a fait l'objet d'une première campagne de fouille dans les années 1970 (A. Guillot), comprenant 5 secteurs couvrant une surface limitée à 220 m². Les fouilles menées par J.-L. Flouest dans les années 1980 ont permis d'ouvrir 1700 m² de plus. L'occupation s'avère riche en structures et en mobilier. On y a mis en évidence des activités artisanales, notamment métallurgiques (présence d'ateliers et d'objets spécialisés) et la relative aisance d'au moins une partie de la population (mobilier d'importation). La position stratégique du site à la confluence des deux cours d'eau a sans doute contribué à son développement économique et à la prospérité de ses habitants.

Les travaux menés en 2021

1. Collections anciennes du secteur de Bragny III

Le mobilier issu de la fouille de Bragny III (fouille A. Guillot) a été entièrement trié, classé et reconditionné. Ce secteur de fouille de 15 m² avait livré un abondant mobilier correspondant à 29 caisses reconditionnées. Une partie importante de ce mobilier a également été lavé. L'inventaire détaillé et l'étude sont prévus en 2022. Seul le mobilier lithique a déjà fait l'objet d'un inventaire pris en charge par A. Foullarde. Il correspond à 392 fragments, dont 82 fragments de mouture pour un poids de 39,99 kg.

Le rapport comprend les études céramiques entreprises par C. Molin et D. Bardel en continuation du travail déjà engagé en 2019 et 2020. C. Molin livre une première approche sur son travail sur les céramiques à pâte claire et peinte provenant du secteur de Bragny I. L'étude dite « sommaire » de D. Bardel y figure également et concerne les collections provenant de la fouille de Bragny II (1973-1974).

2. Reprise de la documentation des fouilles de Bragny 1987 (J.-L. Flouest et R. Labeaune)

Ce travail, assuré par R. Labeaune, comprend la reprise du catalogue des structures et le traitement de la céramique. En 2021, le mobilier céramique provenant d'une trentaine de structures a fait l'objet d'une étude ; les dessins doivent être réalisés par F. Gauchet.

Si les études sur le mobilier ont bien avancé, le travail de description des structures, assuré par J.-L. Flouest, n'a pas pu être terminé, car une quinzaine de structures doivent encore être intégrées au catalogue. Les fiches détaillées et illustrées de sept structures sont incluses dans le rapport à titre d'exemple.

La programmation 2022

AXE 1 Approches archéologique et géoarchéologique de la confluence Saône/Doubs

Prospections géophysiques (Chr. Sanchez)

Les prospections géophysiques en 2022 seront réalisées en collaboration avec Labcom GEO-HERITAGE (partenariat entre l'UMR 5133 Archéorient et Eveha). Plusieurs interventions sont prévues. Sur la commune de Bragny seront poursuivies les recherches sur le secteur correspondant à l'emplacement actuel du camping pour

documenter la limite occidentale de l'occupation de la fin du premier âge du Fer. Par ailleurs, la prospection concernera aussi une parcelle d'environ un hectare localisée au cœur du village.

A Verdun, les prospections se poursuivront au sud et au nord des grands enclos fossoyés découverts en 2021.

Approche géomorphologique (J. Brenot)

Des sondages géoarchéologiques seront réalisés à proximité immédiate des fenêtres de fouille :

- Bragny : des sondages ponctuels seront réalisés selon un transect nord-sud en amont et en aval des emprises de fouille.
- Verdun-sur le-Doubs : deux grands transects seront effectués bordiers de la butte du hameau.

AXE 2 (E. Dubreucq et V. Cicolani) - Les études documentaires et thématiques

Fouilles A. Guillot

Il est prévu de terminer les inventaires du mobilier provenant des fouilles d'A. Guillot (secteurs I, II et III), et de débiter le traitement du mobilier provenant du secteur IV.

Publication des fouilles J.-L. Flouest

Il est noté que la publication est en cours et il est prévu de terminer la rédaction du catalogue des structures à la fin de l'année. Les études spécialisées sont en cours, dont des analyses métallographiques (M. Beranger) et l'étude de la céramique (R. Labeaune).

Archives de fouille

La documentation des secteurs de Bragny III et IV sera traitée en parallèle de l'inventaire et de l'étude du mobilier provenant de ces secteurs. Il est prévu de travailler sur la mise en place d'un SIG au printemps 2022.

Les études céramologiques (D. Bardel, R. Labeaune, L. Picot, C. Moulin et F. Sachetti) se poursuivront en 2022 :

- types de productions : D. Bardel, R. Labeaune, L. Picot
- importations céramiques et amphores : C. Moulin et F. Sachetti.

L'étude du métal et de la métallurgie sera accentuée en 2022 avec les travaux de master sur la métallurgie du fer (reprise et analyses des éléments de Bragny II). Les études archéométriques seront approfondies et l'étude technologique des objets en alliage cuivreux, avec les analyses isotopiques et métallographiques de certains mobiliers, est aussi envisagée. Une attention particulière sera portée sur les objets métalliques de la culture de Golaesecca, dont la pendeloque retrouvée lors de la fouille de 2021.

L. Jaccottey doit poursuivre son étude des pièces macrolithiques et M. Pieters interviendra sur les analyses pétrographiques courant 2022.

P. Péfau a été sollicité pour l'étude de la terre à bâtir et il devrait intervenir en 2022 sur les collections de Bragny.

L'étude de la faune assurée par C. Lachiche et P. Colin de la Verdrière concernera la reprise des fouilles d'A. Guillot.

L'étude des objets en verres est envisagée par Joelle Rolland. Pour instant, aucune date n'est donnée pour sa réalisation.

Avis sur le rapport et la programmation

Les objectifs annoncés pour 2021 sont en grande partie atteints, même si un certain nombre d'études concernant le site de Bragny - dans le cadre de l'axe 2 - sont repoussées à 2022. Il s'agit en partie d'études entreprises dans le cadre de Masters, dont le délai de rendu s'avère un peu plus long qu'initialement prévu. Un calendrier précis de l'avancement des différentes recherches de l'axe 2 est livré en fin de volume.

Ce rapport de PCR rend compte d'une recherche bien menée qui cumule des travaux divers et complémentaires dans un projet collectif ambitieux focalisé sur l'occupation protohistorique de la confluence Saône-Doubs. Ce projet a réussi, en effet, à mener de front la reprise nécessaire des études sur les mobiliers abondants issus des fouilles anciennes et de nouvelles recherches sur le terrain avec des objectifs ciblés. Il est important aussi de souligner que ce projet encadre plusieurs travaux universitaires, dont le point focal est l'étude de mobiliers.

Les premiers résultats soulignent le grand intérêt de ce projet et on peut donc être très favorable à sa poursuite en 2022.

Deuxième rapporteur

Le rapport coordonné par Émilie Dubreucq (Eveha) et Matthieu Thivet (Université de Besançon) présente les résultats de la deuxième année du PCR « La confluence Saône/Doubs à l'âge du Fer », mené parallèlement aux opérations de terrain réalisées sur les communes de Verdun-sur-le-Doubs et de Bragny-sur-Saône. Ce rapport intermédiaire, de 175 pages, est organisé comme les années précédentes en quatre parties : la première livre les informations relatives aux actions géophysiques et géomorphologiques ; la seconde rassemble les actions relatives au site de Bragny-sur-Saône, tandis que la troisième présente celles relatives à Verdun-sur-le-Doubs. Cette année, la quatrième action (bancaïrisation et valorisation), n'a pu être avancée en raison du contexte sanitaire.

Le projet collectif de recherche mis en place autour de la confluence de la Saône et du Doubs compte une trentaine de participants, issus de différents organismes (Université, Inrap, CNRS et société Eveha). Il s'inscrit dans une longue tradition de recherches, initiées dans les années 1970 avec la découverte des deux gisements par A. Guillot et le Groupe d'Études Historiques de Verdun. Dans les années 1990, l'une et l'autre de ces occupations ont fait l'objet de fouilles programmées dirigées respectivement par J.-L. Flouest et Ph. Barral. Le projet actuel est l'occasion d'effectuer un récolement de ces données, encore largement inédites, et de les intégrer dans le cadre d'une réflexion plus globale sur les mécanismes de proto-urbanisation du secteur. Ces réflexions s'appuient en outre sur de nouvelles actions sur le terrain (fouille) mais également des acquisitions de données géophysiques et géomorphologiques à grande échelle.

La première partie du rapport livre tout d'abord les résultats de la campagne de prospections géophysiques menées cette année (réal. Chr. Sanchez), entre le 2 et 3 septembre, dans le secteur de Verdun-sur-le-Doubs. Elles ont été réalisées au sud des investigations menées jusque-là, sur une superficie totale de 4,3 ha. Comme les années précédentes, les résultats de cette action constituent un apport très significatif au projet, et renouvellent de manière évidente les problématiques de la fouille. La carto-interprétation des données permet de situer de manière assez vraisemblable la limite de la zone urbanisée. Elle permet en outre de suivre le tracé d'une voie ancienne connue préalablement et de mettre en évidence un éventuel paléochenal. Plus au sud encore, le magnétogramme met en évidence la présence d'un établissement délimité par plusieurs enceintes fossoyées concentriques. Du mobilier laténien aurait été découvert en surface de cet indice lors de prospections réalisées en 2016. Sa forme singulière permet d'envisager qu'il s'agit d'un établissement rural, voire d'un sanctuaire. Les apports des travaux géomorphologiques (réal. F. Cruz) sont également importants, même si les investigations n'ont pu être menées à leur terme en raison du contexte météorologique de l'année, particulièrement défavorable. Des coupes ont été réalisées à l'occasion des deux chantiers, et un transect (2,74 km) a pu être établi sur la base de forages réalisés selon un axe perpendiculaire aux deux cours d'eau. Ces observations permettent de restituer les processus sédimentaires qui ont précédés l'implantation des deux pôles à l'âge du Fer.

Dans la deuxième partie, relative au site de Bragny-sur-Saône « Sous Moussière », sont présentés les travaux qui ont été menés dans le cadre de récolement de la troisième campagne de fouille de A. Guillot (Bragny III). Tout le mobilier, soit 29 caisses au final, a été lavé et reconditionné à l'occasion d'un stage ouvert aux étudiants. Trois masters sont en cours pour faire avancer les recherches relatives à cette occupation : l'un concerne les scories des fouilles Guillot, le second s'intéresse aux céramiques mises au jour lors des fouilles récentes, le dernier est l'occasion de traiter l'intégralité du matériel de mouture provenant du site. Parallèlement à ces travaux universitaires, les membres du projet ont pu avancer dans l'étude de certaines catégories de mobilier (C. Moulin, céramique à pâte claire ; D. Bardel céramique de Bragny II). Enfin, cette partie présente l'état d'avancement de la publication des fouilles Flouest. Ces différents chapitres témoignent de la vitalité de l'équipe, capable de mener de front des actions variées, mais très complémentaires.

S'agissant de la partie consacrée à Verdun-sur-le-Doubs, la troisième du rapport, qui est structurée de la même manière que la précédente, elle confirme le constat positif émis précédemment. Le stage consacré au traitement du mobilier des fouilles anciennes a permis d'en achever le reconditionnement et le pré-inventaire (48 000 restes). Il subsiste toutefois une quantité importante de céramique et de faune à laver. Plusieurs Masters ont été entrepris au sujet de cette fouille également : des Masters 2 sur la faune, les restes carpologiques et le monnayage, ainsi que sur les dynamiques d'occupation dans le Verdunois ; des Masters 1 également, portant sur les fibules, les amphores et une approche spatiale (E. Hamon). Le projet de publication des fouilles réalisées par Ph. Barral devrait connaître des avancées notables cette année, grâce à la mise en place de plusieurs contrats (archéozoologie, mises au net) et aux travaux universitaires en cours.

Malgré deux années difficiles, marquées par les contraintes sanitaires et une météorologie défavorable, l'équipe a pu faire sensiblement progresser le dossier, grâce à un travail de fond et à une stratégie de recherche efficace. Aujourd'hui le PCR est fort de résultats importants qui renouvellent très largement la perception du secteur. Plusieurs actions de longue haleine peuvent, et doivent être poursuivies : en premier lieu les études concernant l'abondant mobilier découvert cette année, mais également la reprise des collections anciennes, la publication des fouilles des années 1990 et les campagnes de prospections géophysiques. Pour mener à bien ces actions, et achever cette première triennale correctement, il apparaît en revanche nécessaire de réduire les ambitions sur le terrain l'année prochaine, afin de ne pas être dépassé par les quantités de mobilier à traiter.

Après avis du conservateur régional de l'archéologie et discussion générale, la commission adopte l'avis suivant :

Avis de la commission :

La commission reçoit le deuxième rapport intermédiaire du PCR 2020-2022 intitulé « La confluence Saône-Doubs à l'âge du Fer », structuration et évolution du peuplement à l'âge du Fer dans la zone de confluence entre la Saône et le Doubs autour des agglomérations hallstattienne de Bragny et laténienne de Verdun-sur-le-Doubs » dirigé par Mathieu Thivet et Emilie Dubreucq.

Elle est favorable à la poursuite du PCR en 2022.

Saône-et-Loire / BRAGNY-SUR-SAÔNE - « Sous Moussière » et « La Faux » - Fouille programmée 2020-2022

Axe 5

Responsables : Emilie DUBREUCQ et Véronica CICOLANI (PRIV Evéha / UMR 5608 TRACES)

Rapporteur : Rebecca PEAKE

Les résultats de la fouille programmée conduite en 2021 à Bragny-sur-Saône sont livrés dans un rapport de 126 pages distinct de celui du PCR « La confluence Saône-Doubs à l'âge du Fer (VI^e s. av. J.-C. au I^{er} s. de notre ère) ». Cette fouille concerne une surface de 120 m², dont l'implantation a été choisie en fonction des résultats des prospections géophysiques réalisées par C. Sanchez. La phase terrain s'est déroulée pendant 4 semaines entre le 12 juillet et le 4 août avec une équipe d'une vingtaine de personnes, dont 16 étudiants. La fouille a connu des problèmes d'intempéries pendant une semaine : le chantier a été inondé et l'équipe est allée renforcer celle de la fouille de Verdun-sur-le-Doubs qui participe au même PCR.

La fouille de Bragny-sur-Saône concerne un secteur dense en structures archéologiques. Un total de 88 structures a été enregistré ; il s'agit principalement de fosses de dimensions variables, particulièrement riches en mobilier. Le plan de la fouille montre une certaine organisation de l'occupation avec la présence d'un éventuel axe de circulation au nord de la zone et un espace vide de structures interprété comme une cour ou une zone de pacage. Les informations concernant les structures fouillées sont rassemblées dans un catalogue illustré qui se trouve inhabituellement au milieu du rapport (au lieu d'être placé à la fin).

Les premiers résultats des études spécialisées sont livrés dans la partie 3 du rapport. En introduction, il est spécifié que l'étude de la céramique, des scories et du matériel de mouture seront assurées par des étudiants dans le cadre de travaux universitaires (Master), les résultats étant attendus pour 2022. Quelques lignes sont néanmoins consacrées à ces mobiliers donnant notamment des informations sur les quantités récoltées, qui s'avèrent importantes (20 kg de scories de fer, 87 fragments d'outils de mouture, etc.).

La faune a fait l'objet d'un inventaire quantitatif par structure et sera étudiée par P. Colin de Verdière en 2022.

Le mobilier métallique et le petit mobilier divers ont fait l'objet d'une expertise plus appuyée par Emilie Dubreucq. On note une centaine d'objets en métal, principalement en fer, des outils, de parure (dont trois fibules en fer et une pendeloque en alliage cuivreux sans doute importée de l'Italie du nord - de la culture de Golasecca). Une activité métallurgique du fer et de l'alliage cuivreux s'est sans doute déroulée sur place, cependant, les auteurs restent prudents quant à cette interprétation tant que les scories et battitures n'ont pas été étudiées.

On note aussi d'autres artisanats, tel que le textile, avec la présence de pesons et fusaïoles.

Une vingtaine de prélèvements a été effectuée dans les comblements des structures en vue des études paléoenvironnementales et métallographiques (carporestes, battitures, ichtyofaune), sur lesquels l'équipe sera focalisée en 2022.

La quatrième partie du rapport est consacrée à une courte synthèse et à la programmation de 2022. La synthèse se limite à préciser la chronologie de l'occupation (fin premier – début deuxième âge du Fer) et livre quelques commentaires sur la répartition du mobilier qui aurait mérité d'être illustrée par des plans. La programmation 2022 prévoit une nouvelle campagne de fouille sur un secteur d'environ 200 m² en prolongement au sud et à l'est de la zone fouillée en 2021. On note que l'accent sera mis sur les prélèvements paléoenvironnementaux en collaboration avec C. Schaal de l'Université de Besançon. Enfin, les études des mobiliers issus des fouilles de 2021 seront réalisées en 2022. Les annexes se trouvent en fin de rapport et concernent des inventaires de certains matériaux : lithique, petit mobilier et scories.

Ce rapport de fouille programmée rend compte de manière correcte de l'opération de fouille 2021. On note que la phase terrain et le traitement préliminaire du mobilier (lavage, conditionnement et pré-inventaire) ont été achevés dans le temps imparti et cela malgré les problèmes d'intempéries. On note également le rendu prévu des études

spécialisées en 2022. Cependant, un inventaire quantitatif de tous les mobiliers par structure aurait été utile pour connaître l'envergure des études à venir et le temps à investir pour compléter les travaux.

Le rendu formel du rapport est soigné, les textes sont très clairs et les illustrations pertinentes. On constate un travail de qualité réalisé par une équipe bien rodée.

La demande de fouille programmée 2022, concerne un secteur d'environ 200 m² en prolongement au sud et à l'est de la zone de fouille de 2021. La durée de la phase terrain sera de 4 semaines ; une équipe de recherche de 24 personnes est prévue, dont 11 salariés et 13 bénévoles (étudiants). Compte tenu du bon déroulement de la fouille programmée en 2021, on peut être favorable à la réalisation de cette fouille en 2022 sur la surface proposée.

Après avis du conservateur régional de l'archéologie et discussion générale, la commission adopte l'avis suivant :

Avis de la commission :

La commission reçoit le bon rapport intermédiaire 2021 de la fouille programmée 2020-2022 sur les sites « Sous Moussière » et « La Faux » à Bragny-sur-Saône (Saône-et-Loire) présenté par Emilie Dubreucq et Véronica Cicolani. La commission émet un avis favorable à la poursuite de cette fouille programmée en 2022 sur une surface d'étude d'environ 200 m².

Saône-et-Loire / VERDUN-SUR-LE-DOUBS - « Le Petit Chauvort » – Fouille programmée 2020-2022

Axe 5

Responsable : Matthieu THIVET et Emmanuel HAMON (Univ. Franche-Comté, UMR 6249 Chrono-environnement)

Rapporteur : Jean-Marie LARUAZ

Le rapport concernant l'opération de fouille menée en 2021 à Verdun-sur-le-Doubs est coordonné par Matthieu Thivet et rédigé en collaboration avec E. Hamon. Cette intervention s'inscrit dans le cadre du PCR « La confluence du Saône-Doubs à l'âge du Fer », dirigé par Emilie Dubreucq (Eveha) et Matthieu Thivet. Il s'agit de la deuxième année d'une autorisation triennale, faisant suite à une année probatoire en 2019. Le rapport compte 253 pages qui présentent de manière claire et détaillée les résultats de cette opération.

Pour rappel, le projet vise à documenter le rythme et les modalités de la mise en place d'un pôle aggloméré à l'âge du Fer, au niveau de la confluence. Le chantier de Verdun-sur-le-Doubs « Le Petit Chauvort », se trouve en vis à vis de celui de Bragny-sur-Saône, qui livre des vestiges antérieurs et complémentaires. Le site du « Petit Chauvort », occupé entre la Tène C et D1b, a été découvert dans les années 1970 (A. Guillot) et a fait l'objet de fouilles programmées entre 1966 et 1999 (P. Barral). L'opération réalisée en 2021 s'est déroulée à l'ouest de l'emprise fouillée en 2019, qui mesurait 450 m². Pour rappel, la campagne 2020 n'a pu avoir lieu en raison du contexte sanitaire lié à la pandémie de Covid19. En 2021, la campagne a été marquée par de violents orages et des intempéries, qui ont contrarié le programme de l'équipe.

La fenêtre ouverte cette année couvre 682 m². Son emplacement a été déterminé grâce aux travaux précédents, mais aussi en fonction des résultats d'une importante campagne de prospections géophysiques, menée en parallèle, dans le cadre du PCR. 117 structures ont été mises au jour, qui confirment la densité attendue d'après les magnétogrammes et la fouille voisine. Ces creusements percent un niveau qui a livré du mobilier ancien (âge du Bronze final : tessons et fragment de poignard). La qualification précise de cette nappe de mobilier reste suspendue à des observations complémentaires qui devraient avoir lieu en 2022. Les vestiges du deuxième âge du Fer présentent peu de recoupements, mais le mobilier permet d'envisager que toute la séquence jusque-là reconnue est représentée. La fonction primaire de plusieurs creusements reste indéterminée. Leur comblement a livré de grandes quantités de mobiliers, dont quelques éléments permettent d'affiner la nature de l'occupation. On notera que la description des vestiges est réalisée avec soin, et qu'elle est accompagnée d'une documentation graphique de qualité. Parmi les structures reconnues, on observe la présence de plusieurs bâtiments semi excavés (7), couvrant entre 4 et 8 m², ainsi que de silos (7 également). L'identification de certains de ces indices devrait peut-être faire l'objet de plus de réserves, compte tenu de leur forme assez équivoque. On constate également la présence de plusieurs alignements qui permettent de restituer partiellement une trame d'organisation. En outre, les silos présentent un effet de concentration assez manifeste au centre de l'emprise (2019-2021). Quelques trous de poteau isolés ont été identifiés dans la nouvelle fenêtre. Seulement quatre d'entre eux permettent de restituer le plan d'une petite construction quadrangulaire. L'état de conservation de cette dernière, jugé satisfaisant, interroge à juste titre les auteurs sur la taphonomie générale du site, et sur la relative absence d'éléments similaires dans les

autres fenêtres. Le terme de « fosse dépotoir » employé pour caractériser les autres creusements, dont la fonction n'est pas déterminée, devrait être évité.

Le rapport dresse un état des lieux méticuleux de l'avancement des études spécialisées. On apprécie le soin accordé à cet aspect, qui est un enjeu important du projet, compte tenu des quantités importantes de mobilier mises au jour. Parmi les études naturalistes, on note que les tests palynologique se sont révélés négatifs, mais que 12 prélèvements ont fourni des restes carpologiques (L. Chabert). Les restes de faune, qui constituent un ensemble considérable (163 kg en 2019, 510 kg en 2021) ont été intégralement lavés et pré-inventoriés. La présence de restes humains a été mise en évidence grâce à la découverte d'une mandibule. A n'en point douter, d'autres restes pourront être identifiés après un examen exhaustif des restes de faune. On attire cependant l'attention sur le fait que la présence de restes humains est loin d'être l'apanage des sanctuaires ou des établissements ruraux. La plupart des agglomérations de l'âge du Fer dont le contexte permet la conservation des restes osseux, et qui ont fait l'objet d'études *ad hoc* en ont livré (Bâle, Levroux par exemple). On peut souligner l'important travail réalisé par A. Estur au sujet de la céramique. La campagne 2021 a en effet livré plus de 18 000 tessons, dont une partie significative a été étudiée pour l'occasion (près de 400 formes dessinées). L'étude contribue largement à définir le cadre chronologique de l'occupation, depuis LT C2 (peu d'importations, mais présence de céramique peinte à décor géométrique) jusqu'à La Tène D1b. La production de vases de type Besançon est suspectée en raison de l'abondance et de la standardisation des exemplaires mis au jour. La présence de plaques de micaschiste sur la fouille constitue un argument supplémentaire (L. Jaccotey, 57 fragments). Les amphores (1883 restes pour 194 NMI) font l'objet d'une étude à part dans le cadre d'un Master (M. Deblois). Signalons que d'autres travaux universitaires ont été engagés pour avancer le travail de recherche, notamment au sujet des monnaies (P. Dehan), et des fibules (E. Segura). L'instrumentum comprend cette année 364 restes (all. Cui, Fer, plomb, MDA). Il est étudié par R. Perruche et V. Taillandier. Les premières déterminations font valoir la présence de trois currency bars, de poinçons en os, peut-être liés au travail du cuir ? Est présent également un lot de clous en alliage cuivreux, qui ne semble trouver de comparaisons que dans les corpus liés à la batellerie méditerranéenne. Ces différents objets constituent donc des pistes intéressantes pour appréhender les activités menées sur place. A cela s'ajoute un lot important, mais très fragmenté, de matériel de mouture, qui comprend au moins 13 meules rotatives et une à va et vient, issues de 7 faciès de roche, démontrant ainsi un approvisionnement très large.

Pour l'année 2022, dernière année de la campagne triennale, l'équipe prévoit de modifier le projet initialement présenté. D'une part, des difficultés d'accès aux parcelles limitent la possibilité d'extension de la fouille. D'autre part, l'équipe fait valoir la nécessité de réduire les ouvertures, afin de disposer des moyens et du temps nécessaires pour traiter tout le mobilier correctement. Enfin, le nouveau projet proposé tient compte des résultats géomorphologiques et géophysiques de l'année. Ces arguments sont tout à fait recevables : la fouille a démontré le besoin de caractériser davantage le site naturel et les processus sédimentaires à l'œuvre dans le secteur. La découverte d'un établissement fossoyé au sud de l'agglomération, dans le cadre des prospections géophysiques, ajoute par ailleurs de nouvelles problématiques au projet. L'équipe propose donc d'orienter la fouille de l'année prochaine vers des sondages qui permettront de documenter ces différents aspects. Les raisons avancées par l'équipe sont tout à fait compréhensibles, et la réorientation proposée est opportune. Toutefois, la stratégie envisagée apparaît contradictoire avec les ambitions annoncées, car le cumul des ouvertures prévues dépasse en superficie l'aire ouverte cette année. Le transect géomorphologique prévu au nord (100 m x 3 m) adossé à une fenêtre de 200 m² sur le point haut, pourrait livrer des indices qui nécessiteront un traitement adapté, et les ouvertures en croix au niveau de l'enclos du « Semard » (2 m x 50 m x 3 m) seront certainement très positives. On préconisera donc de limiter le transect à une largeur plus réduite, avec des élargissements ponctuels, et de limiter significativement les ouvertures au niveau de l'enceinte. Ces adaptations devraient permettre d'acquérir les informations suffisantes pour répondre aux questions soulevées et mettre en place un projet adapté dans le cadre d'une future triennale.

Après avis du conservateur régional de l'archéologie et discussion générale, la commission adopte l'avis suivant :

Avis de la commission :

La commission a examiné le bon rapport intermédiaire 2021 de la fouille programmée 2020-2022 conduite sur le site « Le Petit Chauvort » à Verdun-sur-le-Doubs (Saône-et-Loire) présenté par Matthieu Thivet et Emmanuel Hamon.

Elle émet un avis favorable à la modification du programme de fouille pour 2022 : abandon du secteur initial au profit de l'ouverture d'un grand transect au nord et de deux tranchées perpendiculaires au sud. Elle préconise toutefois d'en réduire significativement les emprises prévues afin que puissent être traités les résultats dans l'année.

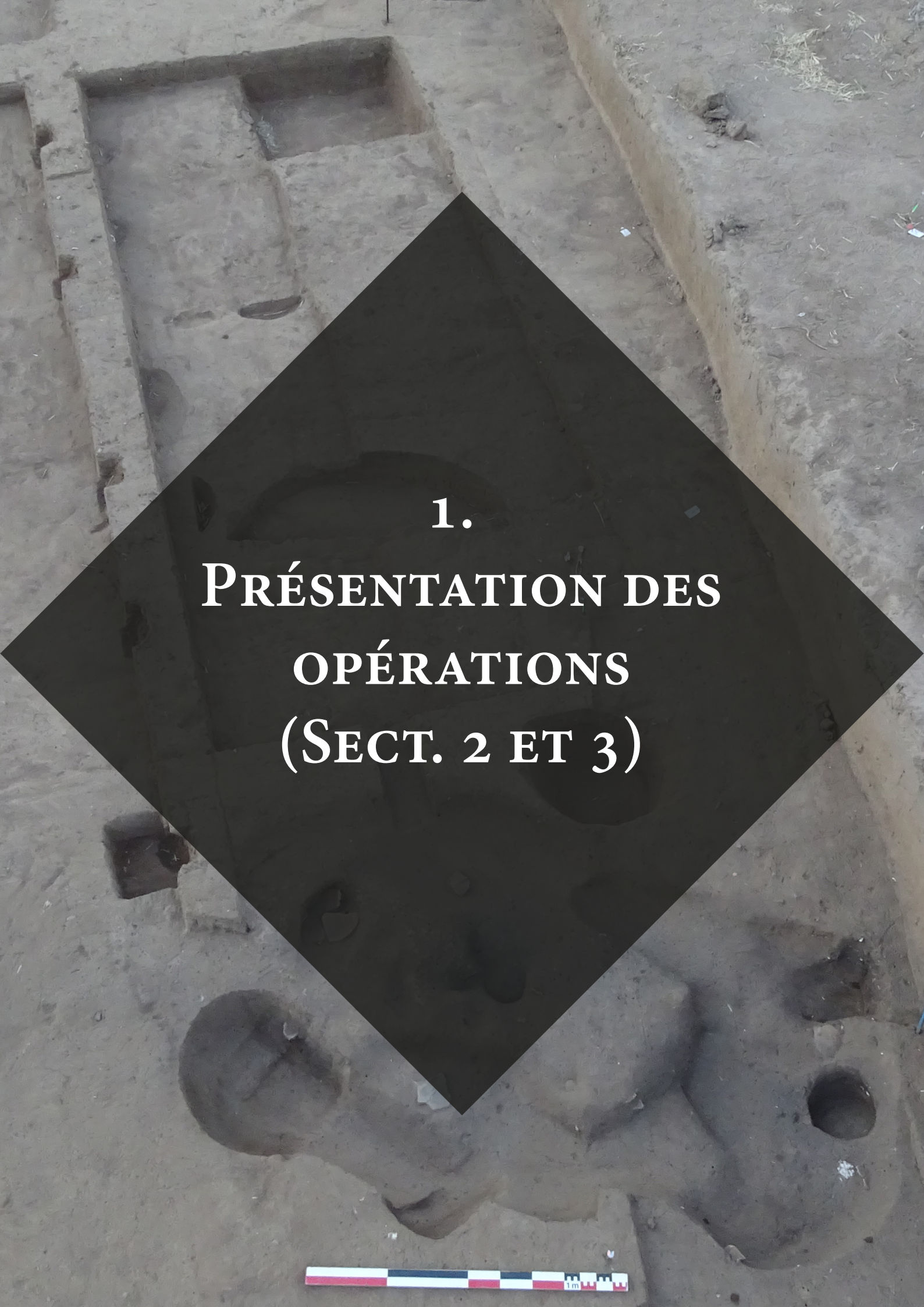
An aerial view of an archaeological excavation site. Several workers are visible, some kneeling and working in the dirt. A large black diamond-shaped overlay is centered on the image, containing the word 'SOMMAIRE' in white, bold, serif font. The background shows a dirt area with various tools, buckets, and a blue tarp. A person in a green hoodie with 'Étudiants de Université de Montréal' is visible on the right. A yellow water bottle is in the foreground.

SOMMAIRE

SOMMAIRE

| | |
|--|-----|
| FICHE SYNTHÉTIQUE | 4 |
| GÉNÉRIQUE DE L'OPÉRATION | 5 |
| 1. PRÉSENTATION DES OPÉRATIONS (SECT. 2 ET 3) | 21 |
| 1.1. CADRE GÉNÉRAL | 21 |
| 1.2. BRAGNY-SUR-SAÔNE ENTRE DONNÉES ANCIENNES ET RECHERCHES EN COURS : RAPPEL DES ACTIVITÉS 2021. | 28 |
| 1.3. BRAGNY-SUR-SAÔNE SOUS MOUSSIÈRES 2022 : SECTEURS 2 ET 3 | 30 |
| 2. SECTEUR 2 ET 3 : DONNÉES DE TERRAIN (E. D., V. C., A. P., J. B.) | 47 |
| 2.1. STRUCTURES ET SOLS ANCIENS DU SECTEUR 2 | 47 |
| 2.2. STRUCTURE DU SECTEUR 3 (V. C., J. B., A. P.) | 68 |
| 3. ÉTUDES SPÉCIALISÉES DES SECTEURS 1, 2 ET 3 | 83 |
| 3.1. MOBILIERS MÉTALLIQUES, PETITS OBJETS EN CÉRAMIQUE, EN MATIÈRE ORGANIQUE FOSSILE ET EN MATIÈRE DURE ANIMALE (E. D.) | 83 |
| 3.2. PREMIÈRES REMARQUES SUR L'ÉTUDE DES SCORIES ET DES BATTITURES (L. B.) | 103 |
| 3.3. LA CÉRAMIQUE DES SECTEURS 1 ET 2 : PREMIERS RÉSULTATS (L. P. ; D. B.) | 105 |
| 3.4. LES IMPORTATIONS CÉRAMIQUES À BRAGNY : LES AMPHORES (R. R., M. L.) | 119 |
| 3.5. PREMIERS APPORTS À PROPOS DES DÉCOUVERTES LITHIQUES (A. F. ; L. J.) | 123 |
| 3.6. LA FAUNE DE BRAGNY : PREMIÈRES REMARQUES (C. L.) | 133 |
| 3.7. ANALYSES DES CARPO-RESTES (L. C.) | 133 |
| 3.8. LE MOBILIER NÉOLITHIQUE (A. D.) | 137 |

| | | |
|------|---|-----|
| 4. | SYNTHÈSE SUR LES FOUILLES MENÉES À BRAGNY ENTRE 2021 ET 2022 | 141 |
| 4.1. | DISCUSSION AUTOUR DES ASSEMBLAGES DE MOBILIERS CONCERNANT LES SECTEURS DE L'HABITAT (SECTEURS 1 ET 2) | 141 |
| 4.2. | TYPLOGIES ET ORGANISATION DES STRUCTURES DES SECTEURS DE L'HABITAT (SECT. 1 ET 2) | 144 |
| 4.3. | ÉTATS DES CONNAISSANCE SUR LA CHRONOLOGIE DES SECTEURS DE L'HABITAT FOUILLÉS EN 2021 ET 2022 | 149 |
| 4.4. | QUID DE LA PERCEPTION DES ÉCHANGES ET DES RÉSEAUX DE CIRCULATION DANS LES SECTEURS FOUILLÉS RÉCEMMENT | 153 |
| 4.5. | LA QUESTION DES DÉPÔTS VOLONTAIRES EN PLEIN COEUR DE L'AGGLOMÉRATION : PREMIÈRES CONSIDÉRATIONS | 154 |
| 4.6. | LE SECTEUR 3 : UNE RELECTURE DE L'ORGANISATION ET DES LIMITES DE L'AGGLOMÉRATION | 156 |
| 5. | CONCLUSION ET PROGRAMMATION 2023-2025 | 161 |
| 6. | BIBLIOGRAPHIE | 167 |
| 7. | CATALOGUE DES STRUCTURES FOUILLÉES EN 2022 | 179 |
| 8. | ANNEXES | 210 |
| 9. | Liste des figures | 382 |

An aerial photograph of an archaeological excavation site. The ground is light brown soil. In the upper left, there is a rectangular pit with several smaller rectangular compartments. In the lower right, there are several circular pits of varying sizes. A white and red scale bar is visible at the bottom center. A large black diamond shape is superimposed over the center of the image, containing white text.

1.
**PRÉSENTATION DES
OPÉRATIONS
(SECT. 2 ET 3)**

1. PRÉSENTATION DES OPÉRATIONS (SECT. 2 ET 3)

1.1. CADRE GÉNÉRAL

1.1.1. SITUATION GÉOGRAPHIQUE

La commune de Bragny-sur-Saône est située à une vingtaine de kilomètres au nord-est de Chalon-sur-Saône. Le site de l'âge du Fer s'implante sur la rive droite de la Saône à 300 m en aval de la confluence Saône-Doubs et à 1100 m en amont de la confluence Dheune-Saône principalement aux lieux-dits "La Faux" et "Sous moussières", parcelles ZL 86 et ZL 85 (Flouest 1993, p. 153) (**Fig.1**). L'agglomération se développe sur une terrasse sablo-limoneuse formée pendant les dernières phases du pléistocène (sables de Saint-Usage), située en contrebas et au sud d'un petit plateau dominant la confluence et sur lequel se trouve la commune actuelle de Bragny.

1.1.2. HISTORIQUES DES RECHERCHES

1.1.2.1. LA VALLÉE DE LA SAÔNE AU PREMIER ÂGE DU FER : BREF RAPPEL

Un premier inventaire des sites de l'âge du Fer implantés le long de la vallée de la Saône fut dressé en 1976 par A. Guillot. Sur le seul tronçon compris entre Seurre et Tournus près d'une vingtaine d'occupations sont alors dénombrées et datées entre le début de l'âge du Fer (Ha C) et le début de La Tène (Guillot 1976). Il s'agit principalement de découvertes fortuites issues du lit de la Saône, notamment des armes et de la vaisselle métallique selon une pratique d'enfouissement bien connue depuis l'âge du Bronze (*Des épées pour la Saône ? Les dépôts de l'âge du Bronze en milieu humide*, 2022), ou bien liées au repérage en surface de vestiges de type domestique matérialisés par la présence de fosses, de fragments céramiques et plus rarement par

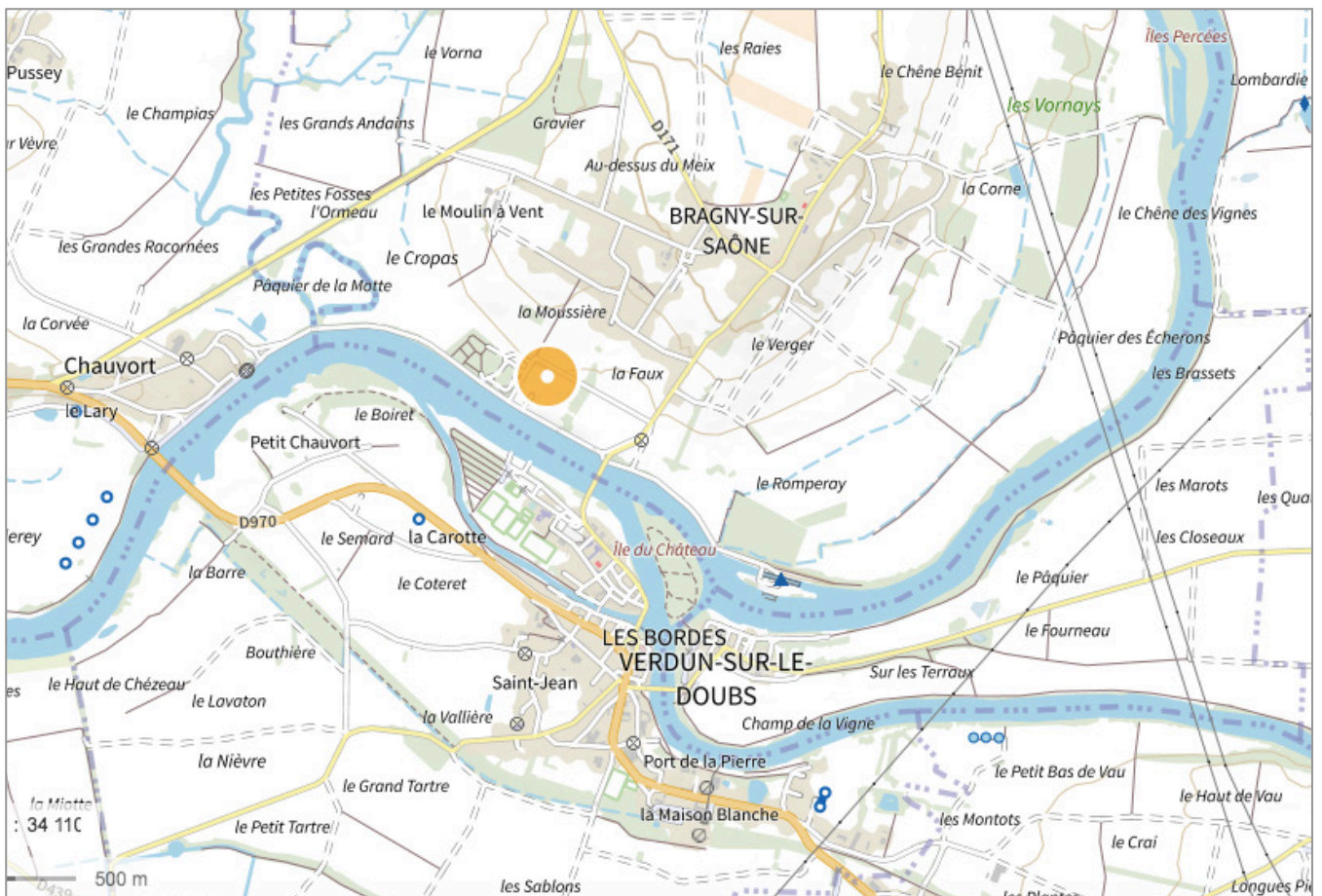


Fig.1 Localisation du secteur de fouille à Bragny-sur-Saône (fond de carte Géoportail)

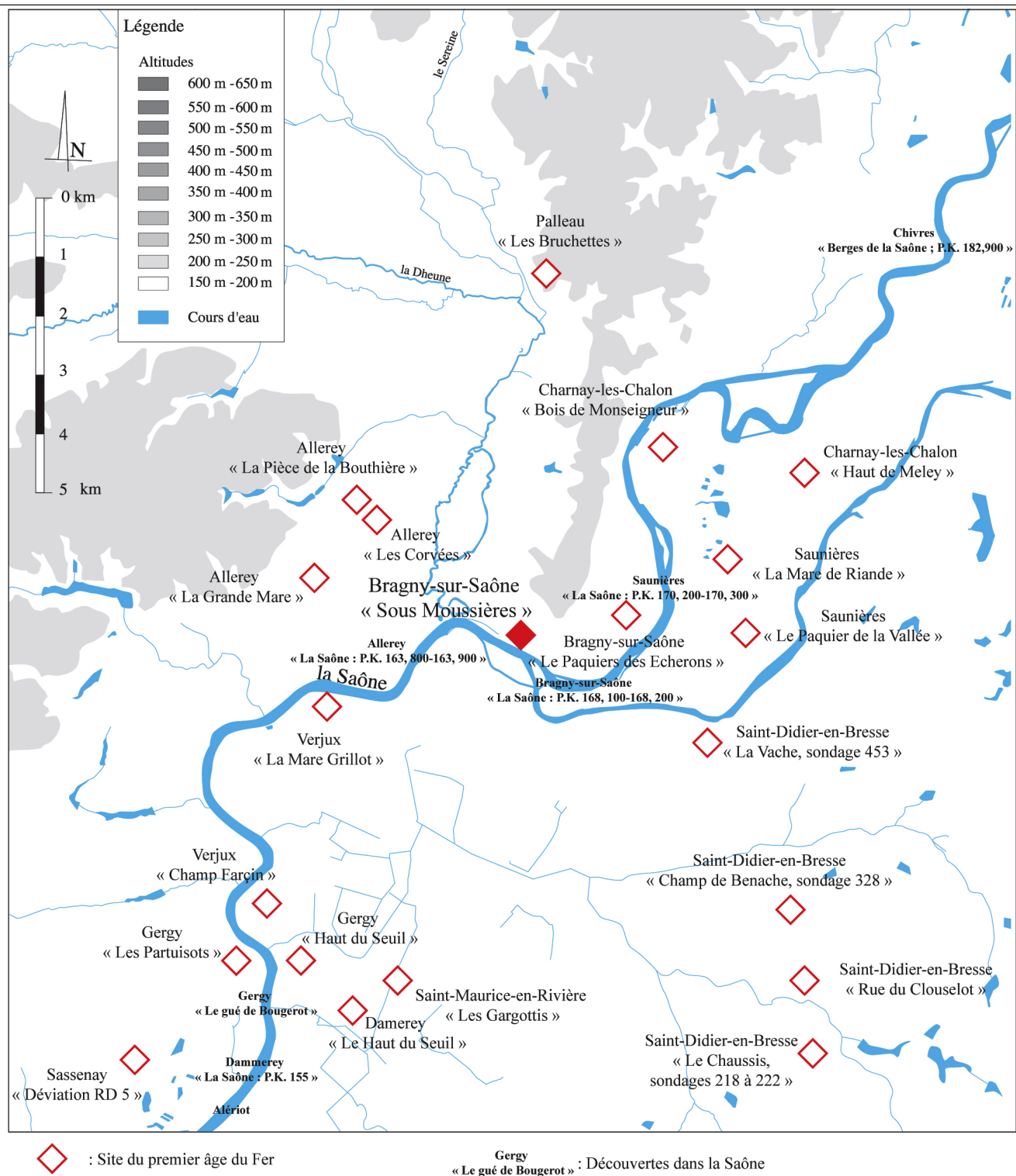


Fig.2 Localisation des sites du premier âge du Fer repérés dans le secteur de la Confluence Saône-Doubs-Dheune (Carte : R. Labeaune)

la découverte de quelques objets métalliques lié à la sphère du quotidien (Feugère, Guillot 1986, p. 163-164).

Parmi les sites ainsi individualisés un certain nombre d'entre eux se démarquent par la qualité des assemblages livrés, en particulier par la présence de céramique peinte, de céramique tournée cannelée et/ou la découvertes d'importations et d'objets dits de

prestige. C'est le cas notamment des sites de Verjux « La Mare Grillot », de Verjux « Champ Farcin », de Gergy « Les Partuisots », de Damerey « Le Haut du Seuil » (Guillot 1976 ; Feugère, Guillot 1986 ; Collet 1996) et surtout de Mancey fouillé par J.-L. Rajot en 1984 (Rajot 1986) (Fig.2). Documenté à partir de l'ouverture d'une petite fenêtre d'investigation d'environ 33 m², Mancey a livré peu de structures négatives. Il s'agit notamment

d'une fosse, de plusieurs « cupules » et d'un niveau de circulation transpercés de quelques trous de piquets ou de poteaux difficilement interprétables (Rajot 1986, p. 22). En revanche, le mobilier découvert y était particulièrement abondant, notamment celui métallique lié tantôt aux activités artisanales, en particulier à la manufacture des alliages cuivreux, tantôt à la vie domestique, soulignant l'existence d'une occupation de haut rang, comme en témoigne la présence de certains objets remarquables tels un coutelas, des éléments de harnachement ainsi que de la vaisselle métallique (Dubreucq 2013).

Comme l'évoquait déjà S. Collet en 1996, les découvertes réalisées le long de la vallée de la Saône (Collet 1996, p. 161) sont étroitement liées au dynamisme de chercheurs locaux, en particulier de A. Guillot et de J.-C. Alary, et aux suivis de travaux qu'ils ont réalisés. Les opérations plus récentes menées par l'Inrap entre juillet 2015 et décembre 2016 lors de la pose du gazoduc *Val de Saône*, n'ont que peu renouvelé les données déjà disponibles. Du mobilier du premier âge du Fer a été mis au jour lors de trois diagnostics et de deux fouilles, mais il provient essentiellement de fosses isolées, difficilement rattachables à un habitat structuré (Lecornoué 2016 ; Morel-Lecornoué 2016 ; Lecornoué 2017 ; Gaillard 2018). C'est aussi le cas de Bragny-sur-Saône au lieu-dit *Le Pâquier des Écherons*, pourtant proche de *Sous-Moussières* (Lecornoué 2017). La seule nouveauté réside dans la découverte du site de Palleau *Les Bruchettes*, au nord de la confluence et en bordure de la Dheune, affluent de la Saône, un jalon qui devait permettre de rejoindre Chassey-le-Camp, le seul site de hauteur fortifié connu dans la région (Thevenot 1969 ; Thevenot 1997). Les vestiges funéraires demeurent en revanche les grands absents. Dans l'ensemble de ce micro-territoire, une seule tombe hallsattienne semble avoir été découverte à Lacrost près de Tournus, en lien avec une nécropole plus ancienne du Bronze final (Collet 1996, p. 162).

1.1.2.2. BRAGNY-SUR-SAÔNE ENTRE LA FIN DU VI^E SIÈCLE AU IV^E SIÈCLE AVANT : ÉTATS DES LIEUX DE LA RECHERCHE (RAPPEL)

Découvert en 1968 à l'occasion de la construction d'une clôture, le site de Bragny au lieu-dit *Sous Moussières* fait l'objet de premières fouilles entre la fin des années 1960 et 1979 sous la direction de A. Guillot grâce à son équipe de bénévoles (Guillot 1976 ; Feugère, Guillot 1986). Dès ces premières investigations, des prospections magnétiques sont également menées par R. Scheib, de l'Institut de Physique du Globe, permettant non seulement de proposer une première estimation de la taille de l'agglomération, évaluée alors à près de 3 hectares, mais également de mettre en évidence des indices pour cibler les futures zones de fouille. En fonction de résultats obtenus, des opportunités liés aux travaux menés par les particuliers et des accords des propriétaires des terrains, cinq secteurs ont été investigués par A. Guillot couvrant une surface totale de 220 m² : BR. I-II-III-IV et BR V (Feugère, Guillot 1986, p. 161) (**Fig.3**).

Dans son article de synthèse, A. Guillot déplore déjà le caractère ponctuel et dispersé de secteurs de fouille, qui auraient mérité d'être étendues pour avoir une vision d'ensemble et permettre une meilleure compréhension de l'organisation de l'habitat (Feugère, Guillot 1986, p. 161).

De 1987 à 1989, de nouvelles campagnes de fouilles sont réalisées par J.-L. Flouest et son équipe. En se fondant sur les découvertes de son prédécesseur, un secteur plus vaste de 1700 m² supplémentaires est alors fouillé, centré sur la partie ouest du site, à 200 m du confluent de la Saône et du Doubs (Collet, Flouest 1997) (**Fig.3**). L'objectif était alors de préciser la chronologie du site et de mieux étudier l'activité métallurgique ainsi que les rapports entre la spécialisation économique de ce site de rivière et les échanges



Fig.3 Localisation des différents secteurs de fouille abordés par A. Guillot (BR. I à V), J. L. Flouest et les fouilles récentes de 2021 et 2022 (Sect. 1 à 3) (Fond de carte : C. Sanchez, DAO : E. Dubreucq)

à différentes échelles qui en découlent mis par ailleurs en évidence par les découvertes jusque-là effectuées (Flouest 1993 ; Collet, Flouest 1997).

1.1.2.3. L'AGGLOMÉRATION ET SON ORGANISATION D'APRÈS LES FOUILLES ANCIENNES : ÉTAT DES LIEUX ET RAPPEL

Les différents secteurs fouillés bien que couvrant un espace de presque 2000 m², n'ont révélé aucun véritable niveau de circulation hormis peut-être un niveau de galets présent sur une petite surface de 1,5X1,5 m (BG 59) (Flouest 1993, p. 157). Le paléosol, très érodé, n'a été que rarement perçu ou conservé et la nature sédimentaire du site, essentiellement composée d'une alternance de niveaux sablo-limoneux finement argileux ne facilite pas la lecture. Ce sont donc surtout des structures en creux plus ou moins volumineuses et

profondes qui ont pu être individualisées et fouillées. Il s'agit de trous de piquets, de trous de poteaux, de fosses de différentes formes et dimensions se démarquant en surface par une coloration plus foncée liée aux dépôts anthropiques superficiels. Parmi ces dernières, les formes les plus récurrentes sont celles circulaires et ovalaires complétées par des structures en creux plus massives, de forme rectangulaire à trapézoïdale (Feugère, Guillot 1986 ; Flouest 1993) à fond plat et parois verticales plus ou moins élevées (0,7 à 1,7 m). Elles sont interprétées comme les bases de bâtiments semi-excavés munis parfois d'aménagements intérieurs, de banquettes et des cavités, ou extérieurs, de trous poteaux disposés à leurs angles ou bien le long de bords extérieurs, composant une probable protection en matériaux organiques (Flouest 1993, p. 158). Une grande quantité de restes argileux attestent également de l'emploi du pisé (argile et lattis de branchage) pour

la réalisation des parois des murs (Feugère, Guillot 1986 ; Flouest 1993). Des fosses circulaires (diam max : 2 m) aux bords obliques ont été interprétées comme dépotoirs liés aux bâtiments (Flouest 1992, p. 158), alors que les petites fosses à fond plat et bords rectilignes semblent avoir servi de fosses de stockage ou bien interprétables comme de petits silos d'après les fouilleurs (Flouest 1993, p. 158). Une petite fosse rectangulaire (BG 43) de 1,5X1,2m pour 45 cm de profondeur pourrait également avoir servi de pièce dédiée à l'activité du tissage, comme l'indiquent indirectement les 35 pesons trouvés en son sein (Flouest 1993, p. 158). Enfin, plus au nord du secteur fouillé, d'autres fosses peu profondes sont identifiées comme de possibles zones d'extraction d'argile (Flouest 1993, p. 158).

Comme il a pu être relevé dans d'autres sites à vocation artisanale tel à Bourges Port-Sec (Augier et al. 2012), à Bragny-sur-Saône l'identification fonctionnelle des structures en creux demeure tout aussi difficile, en particulier la possibilité de distinguer les structures domestiques de celles artisanales. En effet, dans la majorité des cas les comblements, des rejets en position secondaire, ont livré à la fois des objets liés à la vie quotidienne et des déchets de production artisanales mêlés. Par ailleurs, la réutilisation des structures dans le temps complique davantage les interprétations possibles. J.-L. Flouest signale à ce propos le réemploi pour la métallurgie de plusieurs bâtiments lors de la seconde phase de l'occupation (Flouest 1993, p. 158) comme la fosse-atelier BN 86, comblée partiellement avant l'aménagement dans sa partie sud d'une structure de chauffe pour l'artisanat du métal (Flouest 1993, p. 159). Plus généralement, à la fin du premier âge du Fer, les données de terrain disponibles montrent que les ateliers apparaissent sous la forme de simples fosses d'un diamètre compris entre 2 m et 2,4 m et pour une profondeur variant de 0,3 à 0,5 m, comme à Sévaz (Mauvilly et al. 1998 ; Benkert et al. 2010), à Lyon-Vaise (Carrara 2009), à Bourges (Milcent 2007 ; Augier et

al. 2012 ; Filippini 2015) ou encore à Talant (Labeaune 2014). Ces structures en creux permettent la mise en place de banquettes ou d'aménagements adaptés aux différents types de travail de l'artisan : debout (notamment lorsqu'il forge de grosses pièces) ou assis/acroupi. Néanmoins diverses interrogations persistent sur plusieurs aspects fonctionnels de l'organisation interne de l'atelier : par exemple celle des supports de travail ou de frappe rarement mis en évidence et qu'il conviendra de reprendre à Bragny. Il en est de même pour les dispositifs en terre de type brique, quasi parallélépipédiques perforées et du bloc-tuyère mobile découverts à Bragny qui semblent avoir constitué des dispositifs de soufflerie (Flouest 1993), rarement documentés sur les autres sites. Que dire en outre des structures de stockage du combustible (pour le charbon) et des matières premières (argiles, stock de métal, cire d'abeille...), qui à ce jour ne sont pas encore identifiées. Par rapport aux ateliers connus pour des périodes plus récentes (Guillaumet, Labeaune 2011 ; (Labeaune, Flouest 2009 ; Dubreucq, Silvino 2015 ; Duval, Lacoste 2014), la documentation disponible mérite encore d'être retravaillée pour une meilleure compréhension de l'organisation fonctionnelle et spatiale des espaces de travail. A l'échelle de l'agglomération, la dispersion des différents secteurs fouillés n'a pas toujours rendu possible une interprétation globale de l'organisation du site. Cependant, comme le note J.-L. Flouest dans le secteur qu'il a fouillé, des alignements de structures selon un axe nord-sud et est-ouest semblent se dessiner, avec au sud du secteur un tronçon de fossé (BG 8/BN 3) qui a pu aussi participer à la délimitation ou à la structuration de l'espace (Flouest 1993, Fig. 7, p. 160). Seules quelques structures plus anciennes semblent légèrement décalées par rapport à cette organisation principale (Flouest 1993, p. 160). Les vides observés au centre de la parcelle fouillée (sur environ 25 m de long et 5m de large) pourraient peut-être témoigner d'un espace de circulation, de type rue.

1.1.2.4. BRAGNY-SUR-SAÔNE : UNE AGGLOMÉRATION À VOCATION ARTISANALE ET COMMERCIALE

Dès les premières recherches, le caractère exceptionnel du site s'illustre par l'abondance et la diversité du mobilier tant de production local qu'importé issus de nombreuses structures en creux et protégé des travaux agricoles par des épais niveaux de colluvions bio-perturbés allant parfois jusqu'à 60-80 cm d'épaisseur (Feugère, Guillot 1986 ; Flouest 1993 ; Collet, Flouest 1997).

Nous rappelons, que si les fouilles Guillot font l'objet d'un récolement et d'un réexamen complet dans le cadre du PCR Confluence grâce à un stage annuel (Cf rapport de synthèse PCR), les données archéologiques issues des campagnes de fouille des années 1987 à 1989 sont en revanche en cours de révision par Jean-Loup Flouest. La finalisation de cet important dossier permettra à terme d'enrichir la réflexion actuelle sur l'organisation fonctionnelle et socio-économique de l'agglomération et de la repositionner au sein des réseaux commerciaux protohistoriques qui se développent en Europe tout particulièrement entre la fin du premier et le début du second âge du Fer.

En attendant de pouvoir réunir l'ensemble de ces dossiers, la reprise de la documentation laissée par A. Guillot permet d'ores et déjà de dresser un premier bilan des différentes activités économiques et sociales documentées à Bragny-sur-Saône.

La céramique commune est la classe de loin la plus abondante. Elle a fait l'objet de nombreuses études tout au long des différentes campagnes de fouille. D'abord, partiellement étudiée et publiée par A. Guillot (Feugère, Guillot 1986), elle a fait l'objet d'un mémoire par R. Labeaune (Labeaune 1991) par la suite repris et publié en 2005 (Labeaune, Wiethold 2005) puis

en 2006 (Labeaune, Flouest 2009) avec pour objectif d'affiner la chrono-typologie en se fondant sur des ensembles stratigraphiquement fiables. Parallèlement, la vaisselle de qualité telle que la céramique peinte ou tournée-cannelée a été appréhendée par S. Collet qui a montré l'importance de ce corpus, à une époque où cette classe de mobilier était encore mal connue.

L'accès à une alimentation de qualité pourrait avoir été mis en évidence par une pré-étude menée par P. Meniel sur une partie de la faune issue des campagnes Flouest et plus particulièrement de la deuxième phase d'occupation du site (non publiée à ce jour). Son analyse aurait montré une consommation carnée centrée sur le bœuf, pratique rare durant la protohistoire et plutôt associée au phénomène urbain (Flouest 1993 ; Collet, Flouest 1997) avec un traitement spécifique des métapodes volontairement fendus pour en extraire la moelle et en utiliser l'huile, peut-être en lien avec les activités artisanales (Flouest 1993 ; Collet, Flouest 1997). Les chevilles osseuses semblent aussi avoir été utilisées en lien avec l'artisanat, soit pour le travail de la corne proprement-dit, soit pour le travail du fer, en tant que combustible riche en carbone, qui peut permettre une carburation du métal (Germinet, Salin 2012, p. 92). La distinction entre les deux activités est cependant subtile et mériterait d'être reconsidérée à Bragny, à la lumière des travaux récents menés sur d'autres sites comme par exemple à Bourges (Germinet, Salin 2012). Le travail des matières dures animales (os, corne) bien que moins développé est toutefois attesté par quelques déchets (Feugère, Guillot 1986, p. 211), qu'il conviendra désormais de réexaminer plus en détail.

Le tissage constitue une autre activité pratiquée sur le site tantôt à l'échelle domestique (fusaïole), tantôt à l'échelle artisanale comme en témoigne la présence d'au moins une structure spécialisée en fosse dans laquelle 35 pesons ont été découverts et interprétés comme étant les vestiges d'un métier à tisser

vertical (Collet, Flouest 1997, p. 170, Bonnet 1992, Masurel 1990).

Les grandes quantités de déchets, scories, outils et objets métalliques, en particulier en fer mais également en alliage cuivreux, abandonnés sur le site mettent en exergue l'intensité des activités métallurgiques qui se sont déroulées au sein de l'agglomération. En effet, la métallurgie du fer (Feugère, Guillot 1986 ; Flouest 1993) est représentée par des grandes quantités de scories, de 10 à 15 t de déchets récoltés sur une surface de près de 1,5 ha (Flouest 2007, p. 269). Une grande partie de ces déchets, au moins 1400 kg, a fait l'objet de diverses études menées par différents chercheurs et ceci depuis les premiers chantiers, on cite par exemple les travaux de G. Mac Donnell (non publié). Dans les années 1990, L. Orengo en collaboration avec Ph. Fluzin (LMC-CNRS-IRAMAT) en étudient près de 310 kg sur les 1360 kg enregistrés, et réalisent des analyses métallographiques sur des culots et des objets finis (Orengo 2003). A la fin des années 2000, D. Modarressi-Tehrani (Deutsches-Bergbau Museum, Bochum) reprend 683 kg de déchets et effectue également des analyses métallographiques et chimiques sur une sélection de scories (Modarressi-Tehrani 2009). En vue de la publication par J.-L. Flouest de ses fouilles, de nouvelles analyses sont en cours menées par M. Berranger (IRAMAT) afin de préciser et synthétiser les différents résultats obtenus. Pour l'instant, ce sont les activités de post-réduction (épuration et forgeage) qui semblent dominer spécialement celles liées à la manufacture d'objets (Collet, Flouest 1997). Les chutes de fabrication témoignent également de la production de parures, en particulier de fibules, de lames, d'outils (Flouest 2007, p. 266) de probables anses de seaux et des éléments de toilette (Flouest 1993, p. 27).

Il en est de même pour les alliages cuivreux, dont de nombreux déchets (scories, cônes de coulée, moule bivalve en grès) ont été recueillis lors des fouilles

Guillot, attestant au moins de la production d'anneaux et de vaisselles (Feugère, Guillot 1986 p. 209). D'après la documentation ancienne, encore en cours de révision dans le cadre d'un master, de très grands creusets semblent avoir été utilisés dans le secteur BR. V pour réaliser la coulée d'objets massifs (Feugère, Guillot 1986, p. 209 ; Flouest 1993, p. 27), démontrant encore une fois une production à la fois intensive et spécialisée. Parmi les restes en alliage cuivreux, on peut signaler la présence de fragments d'attache d'anse de situle et d'au moins une ciste à cordons qui renvoient par leur forme et décor aux situles rhénano-tessinoises à anses mobiles, vases métalliques couramment produits et utilisés en Italie du nord et dans le Tessin, avec une large diffusion au nord des Alpes (Feugère, Guillot 1986, p. 211 ; Flouest 2009 p. 130-131, Cicolani 2017, p. 297-314) reliant ainsi Bragny à des circuits commerciaux de vaste portée (Cicolani, Huet 2019 ; Cicolani, Gambari 2021).

Tout comme la céramique et certaines productions métalliques, l'étude du mobilier lithique met aussi en exergue l'une des caractéristiques majeures de l'agglomération : son insertion dans des circuits d'échanges à moyenne et à très longue portée avec l'ensemble des domaines transalpin et méditerranéen. Ces circuits acheminement tantôt de matières premières, recherchées au niveau régional et suprarégional, que de produits finis telles les amphores, certaines céramiques issus du sud de la Gaule, du nord de l'Italie, zone de Golasecca et plaine du Pô, ou de Grèce ; sans oublier fibules et pendeloques de type Golasecca et les balsamiques en verre, de produits ayant tous parcouru de très longues distances (Feugère, Guillot 1986 ; Flouest 1990 ; Flouest 1993 ; Collet 2002 ; Cicolani 2017 ; Cicolani, Gambari 2021 ; Cicolani, Huet 2020 ; Cicolani, Zamboni 2022).

1.2. BRAGNY-SUR-SAÔNE ENTRE DONNÉES ANCIENNES ET RECHERCHES EN COURS : RAPPEL DES ACTIVITÉS 2021

La reprise progressive des données issues des fouilles menées par A. Guillot dans le cadre du stage annuel (voir rapport de synthèse) conjointement au déroulement des nouvelles campagnes au lieu-dit Sous Moussières ZL86 depuis 2021 ont permis non seulement de confirmer l'intérêt majeur du site, mais surtout d'en préciser certains aspects d'ordre fonctionnel et spatial tout en ouvrant de nouvelles perspectives d'interprétation.

L'année dernière, la campagne de fouille menée sur une surface de 120 m² avait déjà livré une haute densité de structures en creux (près de 90), dont la plupart se recoupent à plusieurs reprises suggérant un entretien très suivi des bâtiments et des différents espaces aménagés (**Fig.5**).

La typologie générale correspond à celle déjà mise en évidence dans les fouilles qui nous ont précédés avec une majorité de fosses de petite à moyenne taille et trous de poteau (**Fig.4**) de forme circulaire ou ovale, suivie d'une série de structures en creux de plus grandes dimensions, de forme ovale, quadrangulaire et rectangulaire, qui témoignent de la présence de bâtiments morphométriquement proches de ceux déjà fouillés par A. Guillot puis par J.-L. Flouest.

Le mobilier découvert l'été dernier se rapporte aux mêmes grandes familles fonctionnelles caractéristiques des assemblages issus de secteurs anciennement fouillés et en cours de réexamen depuis 2019 (Dubreucq 2020a, p. 73 ; Dubreucq et al. 2020b, p. 62 ; Dubreucq et al. 2021, p. 83, fig. 86 et 87).

| Type de structure | NMI | Surface moyenne (m ²) |
|-----------------------------|-----------|-----------------------------------|
| Trou de poteau | 50 | 0,22 |
| Trou de poteau ou fosse ? | 7 | 0,61 |
| Fosse | 6 | 0,97 |
| Fosse avec trou de poteau | 7 | 0,9 |
| Grande fosse ovale | 8 | 3,85 |
| Grande fosse quadrangulaire | 1 | 4,06 |
| Grande fosse rectangulaire | 1 | 7,89 |
| Indéterminé | 2 | 0,5 |
| Total général | 82 | 0,82 |

Fig.4 Type de structures fouillée en 2021 et leur surface moyenne (en m²)
(E. Dubreucq)

La découverte exceptionnelle de fragments de céramique et lithiques datés du néolithique mérite d'être soulignée à nouveau car elle témoigne pour la première fois d'une occupation ou fréquentation plus ancienne à Bragny-sur-Saône, au cours de la période chasséenne. Dispersés dans plusieurs structures, notamment dans les deux grandes fosses ovalaires F4 et F8, et mêlés au mobilier plus récent du comblement supérieur. Il s'agit d'objets résiduels, comme cela semble aussi être le cas dans le secteur de Bragny III, fouillé par A. Guillot, dont la reprise du mobilier en 2021 a permis d'identifier cette phase, jusque-là absente des publications anciennes.

Le reste du mobilier observé, notamment les assemblages métalliques, correspond quant à lui aux productions caractéristiques de la fin du premier et du début du second âge du Fer de l'Est de la France et du Jura, qu'il s'agisse de fibules (F5-US 1093 ; F8-US 1018 ; F29-US 1062), des autres éléments de parures, de la céramique. La découverte d'une nouvelle pendeloque-panier de type Golasecca et de plusieurs fragments d'amphores de Marseille (F29-US 1062) confirme l'ouverture de l'agglomération vers le commerce voire la capacité d'entretenir des transactions suivies avec marchands et colporteurs issus d'horizon plus lointains (Dubreucq et al. 2021, p.85, Cicolani, Tribouillard 2018, Cicolani, Gambari 2021).

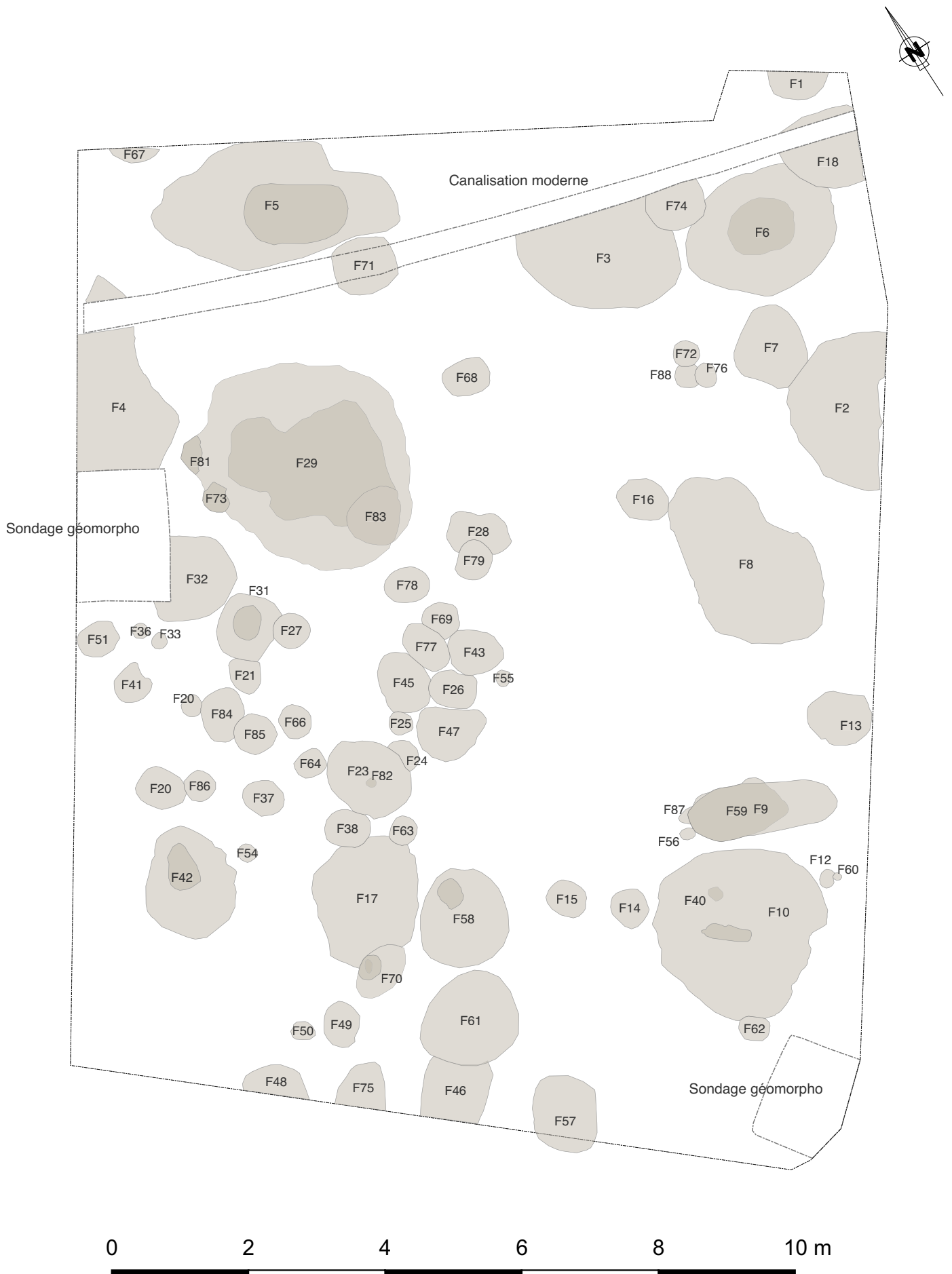


Fig.5 Plan du secteur 1 fouillé en 2021 (DAO : V. Cicolani, C. Batardy, E. Dubreucq, L. Picot)

Enfin, une première forme d'organisation spatiale a pu être également suggérée en dépit des difficultés liées à l'interprétation d'un contexte sédimentaire si complexe qui est celui des dépôts sablo-limoneux dans lesquels l'occupation ancienne a été préservée. Contrairement aux campagnes plus anciennes, la parcelle ZL 86 investiguée en 2021 a en effet conservé le sol ancien correspondant à toutes les phases d'occupation, utilisation et transformation du sol par la communauté installée. Ainsi, en dépit des bioturbations profondes des niveaux supérieurs US 1001-1002 et des conditions météorologiques peu favorable pendant la fouille, la répartition spatiale des fosses semble tout de même mettre en évidence des alignements préférentiels selon un axe nord-sud et ouest-est et l'existence d'espaces vides pouvant eux correspondre à des zones de circulation et/ou de rassemblement type place, cour, zone de pacage etc.. (Fig.6). Si des niveaux de sol de type piétinement, recharge de sol, ou circulation n'ont pas pu être identifiés en raison des fortes pluies qui ont régulièrement contribué à transformer et déformer la lecture archéologique de la genèse du paléosol, leur existence ne peut pas être exclue pour autant au regard de l'alternance des espaces aménagés et de ceux laissés volontairement vides.

1.3. BRAGNY-SUR-SAÔNE SOUS MOUSIÈRES 2022 : SECTEURS 2 ET 3

Partant donc de constats émis à la fin de la campagne 2021 et dans le but de poursuivre la caractérisation de l'organisation fonctionnelle de l'habitat (axe 1), ainsi que sa temporalité et son articulation spatiale par rapport à son environnement naturel (axe 2-3), deux nouveaux secteurs ont fait l'objet de fouilles au cours de l'été 2022.

En nous appuyant d'une part sur les données de terrain de la campagne 2021 ainsi que sur les résultats

des prospections magnétiques réalisées par C. Sanchez en 2020, il a été décidé d'élargir le secteur investigué l'année dernière (parcelle ZL 86) et parallèlement de réaliser un sondages géomorphologique au nord de l'habitat, (parcelle ZL 93), là où les prospections géophysiques avaient déjà mis en évidence la présence d'une longue anomalie linéaire, suggérant la présence d'une structure en creux assimilable à un fossé (Fig.7). (cf *infra* secteur 3)

L'élargissement vers l'est et le sud du secteur 1 a été également motivé par le repérage de structures de moyennes et grandes dimensions le long de bermes est et sud de l'emprise de fouille qui n'ont pas pu être entièrement documentées en 2021. L'objectif a donc été de compléter l'étude de ces bâtiments et poursuivre l'interprétation fonctionnelle des zones vides et de zones aménagées caractérisées par une forte densité de structures afin d'affiner l'identification des unités architecturales et leur temporalité.

1.3.1. MÉTHODES DE FOUILLES ET D'ENREGISTREMENT DE TERRAIN

1.3.1.1. DONNÉES GÉNÉRALES

La fouille des secteurs 2 et 3 s'est déroulée du 18 juillet au 10 août 2022 avec une équipe de 16 étudiants dont 8 présents pendant toute la durée de la campagne, 3 novices et 4 ayant participé à la précédente campagne, formés et encadrés par les deux directrices du chantier et issus de différentes universités : universités de Nantes, Paris 1, Dijon et Besançon. L'équipe a été renforcée en cours du chantier par la participation ponctuelle de plusieurs spécialistes, notamment Jérôme Brenot, géomorphologue intervenu pour la réalisation de deux logs supplémentaires dans les deux secteurs (log 2 et 3), Alessandro Peinetti, géo-archéologue spécialisé en micro-morphologie qui a effectué

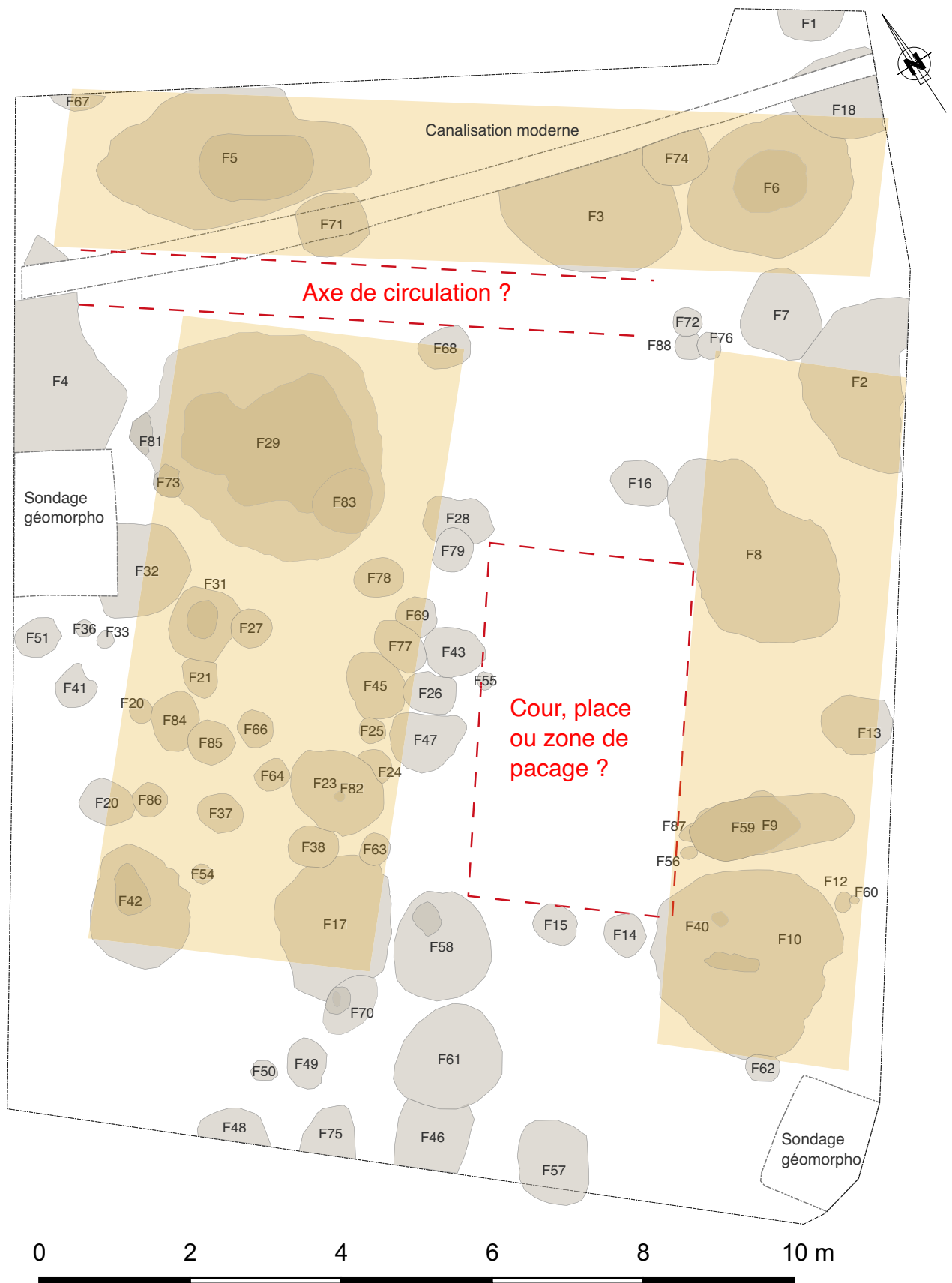


Fig.6 Proposition d'interprétation du plan du secteur 1 en fonction de l'orientation des structures et des espaces vides (DAO : E. Dubreucq)

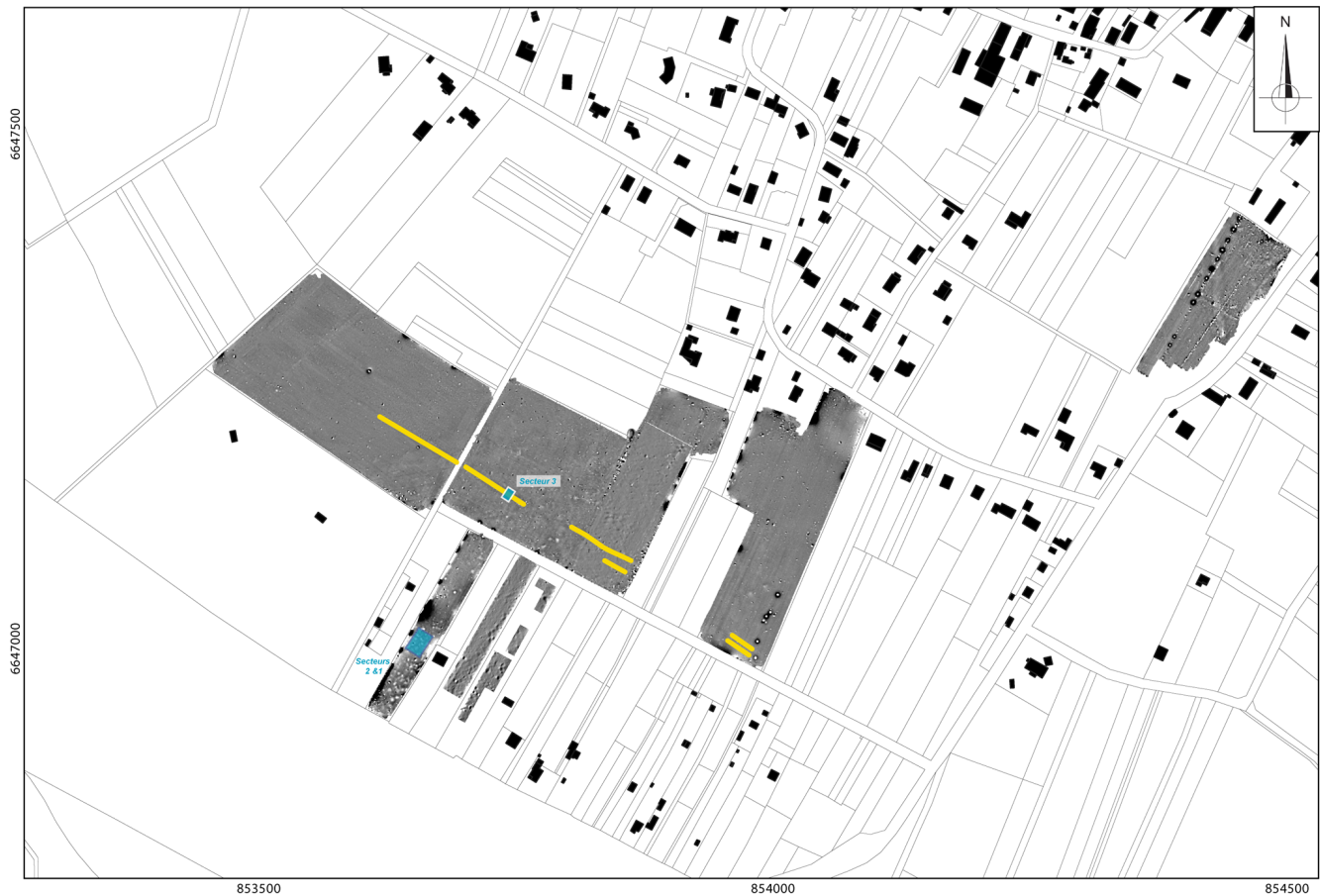


Fig.7 Localisation des différents secteurs fouillés à Bragny en 2022 (v. Cicolani)

des prélèvements en fin de fouille dans les deux secteurs et Christelle Sanchez avec ses étudiants pour le suivi géophysique au cours de la fouille du secteur 2 (cf. *infra*). L'implantation topographique de deux secteurs a été réalisée par J. Soichet qui a également assuré le suivi et l'encadrement de L. Picot, étudiante en master à Dijon, qui pendant la campagne s'est formée à la topographie réalisant les relevés de points ainsi que les cartes.

1.3.1.2. DÉCAPAGE

Le décapage a été réalisé de façon traditionnelle, au moyen d'une pelle hydraulique à chenilles de 20 tonnes, équipée d'un godet de curage lisse de 2 mètres de largeur utilisé en mode rétro. Il s'est tenu sur une journée, le lundi 18 juillet 2022, et deux secteurs (ZL 86 et ZL 93)

avec l'intervention de six personnes (E. Dubreucq, V. Cicolani, J. Soichet, J. Brenot et deux étudiantes en master 2 A. Fouillade et L. Belhade) (Fig.8). Les terres ont été stockées sur place pendant la durée de l'opération et ensuite réutilisées pour le remblaiement de deux chantiers en fin de fouille. A ce titre, une demi-journée de rebouchage a suffi pour permettre la remise en état des terrains fouillés.



Fig.8 Décapage en cours du secteur 3 (Photo : J. Brenot)

1.3.1.3. SECTEUR 2

La terre végétale (US 2001= US 1001 en 2021) et le niveau de colluvionnement (US 2002) ont été enlevés par passe de 10 cm sur une profondeur allant de 0,3 à 0,5 m en direction nord-sud, suivant donc l'épandage naturel du terrain, afin de pouvoir rapidement dégager le toit de l'US 2003=1003 et mettre ainsi au jour les structures tout en essayant de préserver les niveaux plus récents du sol ancien (US 2003). L'emploi du détecteur à métaux a été systématiquement déployé durant les phases de décapage et de rebouchage, mais également lors de la fouille. La présence en dessous du niveau colluvionnement de grandes quantités de mobilier mis au jour pendant le décapage et hors contexte archéologique a donné lieu à un ramassage et mise en sac systématique de ce dernier, parallèlement au nettoyage progressif de la surface décapée à la binette une fois le sol ancien atteint.

1.3.1.4. SECTEUR 3

La terre végétale (US 3001) et le niveau de colluvionnement (US 3002) ont été enlevés par passe de 10 cm - 20 cm sur une profondeur d'environ 0,80 m pour atteindre les niveaux archéologiques, en particulier le toit du dernier comblement du fossé visible en surface par contraste chromatique mais aux bords très diffus (ST 400, US 400.2) (cf. *infra*).

1.3.1.5. DÉROULEMENT DES OPÉRATIONS

Après le décapage, un nettoyage général du secteur a été effectué à la main (à la binette) pour mieux mettre en évidence les structures découvertes, réaliser une photographie d'ensemble par drone (réalisée par M. Thivet) et disposer ainsi d'un plan masse géoréférencé dès l'ouverture du chantier (**Fig.9**).

Comme en 2021, en raison d'une mauvaise visibilité des structures, notamment les petites fosses ou les trous de poteaux, une grande partie des "petites" anomalies n'a pas pu être relevée. Seules les plus grandes fosses disposant d'un comblement supérieur très charbonneux ressortent clairement (**Fig.10**), celles-là même que les prospections géophysiques avaient partiellement détectées.



Fig.9 Photographie redressée et géoréférencée réalisée au drone (cliché : M. Thivet)



Fig.10 Photographie de l'angle ouest du secteur 2 après décapage : vue de l'ouest (Photo : E. Dubreucq)

Notons aussi que le bon déroulement de la fouille a été entravé par des conditions climatiques particulièrement difficiles. La canicule (vigilance orange et rouge) a en effet duré tout le long du chantier rendant les conditions de travail éreintantes, avec un terrain très induré et des fortes chaleurs impactant la vitesse d'avancée de la fouille. C'est ce qui explique partiellement le fait que moins de structures que l'année dernière ont pu être abordées en 2022. L'ouverture d'un second secteur et la découverte de structures plus complexes (fosse atelier 210 ou bien les niveaux de sols) constituent d'autres raisons à cela.

Comme l'année dernière, les deux chantiers ont pu être menés à bon terme grâce à la participation d'étudiants qui ont été initiés aux méthodes de fouilles traditionnelles et de post-fouille (fouilles, relevés, photos, lavage, tri rapide et conditionnement et enregistrement du mobilier) et

aux techniques plus récentes telles que la photogrammétrie, les méthodes de prospections géophysiques déployées cette année en cours de fouille (cf. *infra*) (Fig.11), ainsi qu'à la micromorphologie par la participation aux opérations d'échantillonnage.

Toutes les structures ont été fouillées manuellement, d'abord par moitié ou par quart opposés selon leur taille, puis vidées entièrement (Fig.12). Elles ont été numérotées de 200 à n pour le secteur 2 et à partir de 400 pour le secteur 3.

Chaque fait comporte ensuite plusieurs numéros d'unités stratigraphiques (US) déclinées à partir du numéro de la structure. Il a été décidé que l'US 01 soit systématiquement utilisée pour indiquer le creusement. Ainsi par exemple, pour la fosse 200, l'US 200.01 constitue l'US de creusement auxquelles s'ajoutent ensuite les différents complements : US 200.02, 200.03 et ainsi de suite.



Fig.11 Initiation à la géophysique en cours de fouille (Photo : E. Dubreucq)



Fig.12 Fouille en cours de la structure 210, réalisée par quart opposés (Photo : L. Belhade)

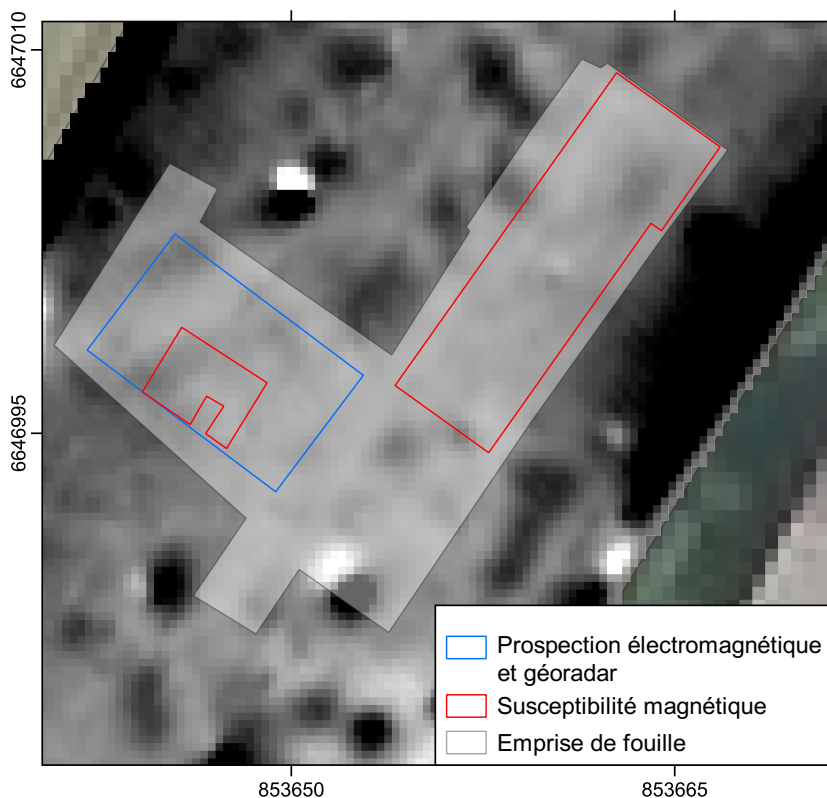


Fig.13 Emprise des différents types de prospection géophysique réalisés en cours de fouille durant la campagne 2022 sur le site de Bragny-sur-Saône (CAO : Ch. Sanchez)

Pour les couches sédimentaires hors structures, nous avons démarré la numérotation à 2000 à jusqu'à n.

Les informations récoltées ont été consignées dans des fiches "structures" et "US" remplies par l'ensemble des intervenants sur le terrain, étudiant.e.s compris.

Chaque structure fouillée a été relevée manuellement à l'échelle 1/20^e (plan et coupe) faisant l'objet aussi d'une couverture photographique numérique à chaque étape de la fouille. Le dessin assisté par ordinateur de toutes les minutes de terrain par D. Beucher a permis ensuite la mise au propre du plan général de la fouille, réalisée par L. Picot et V. Cicolani.

Pour pallier aux difficultés rencontrées en 2021, L. Picot, a assuré les relevés topographiques chaque jour, sous la supervision de J. Soichet (Eveha).

Un plan d'ensemble des structures a été produit à partir de l'intégration des données sur QGis avec un habillage sur Illustrator (**Fig.14**).

1.3.2. SUIVI DE TERRAIN : PROSPECTIONS GÉOPHYSIQUE EN COURS DE FOUILLE

L'usage de la prospection géophysique en cours de fouille est une démarche rare et très ponctuelle. Cette méthodologie est actuellement

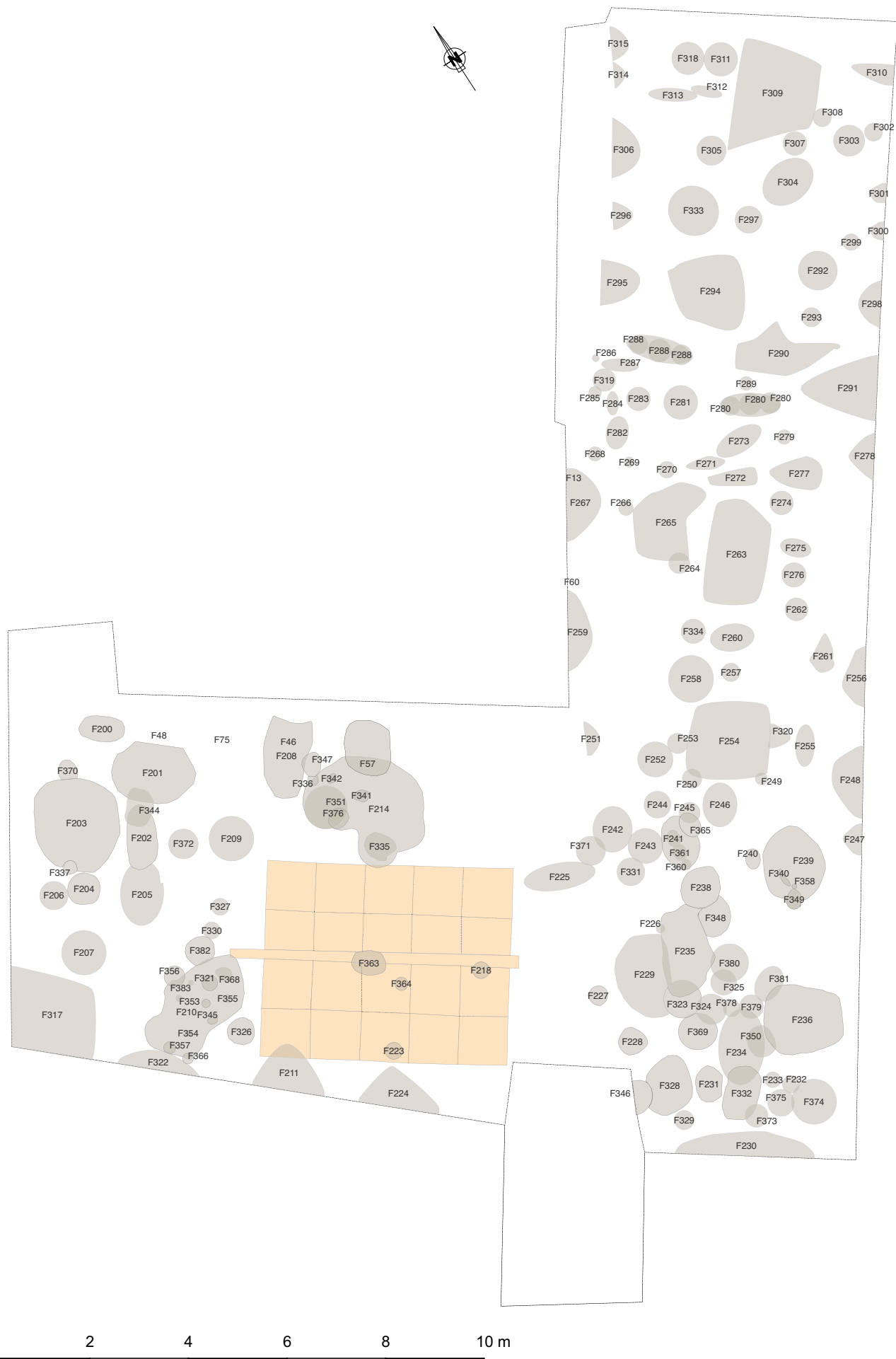


Fig.14 Plan général du secteur fouillé en 2022 (PAO : L. Picot, V. Cicolani, E. Dubreucq)

principalement utilisée sur des zones d'atelier (Hulin 2014), où les résultats sont sans équivoque. Cependant, dans d'autres types de contextes, cette démarche apporte une aide précieuse pour la localisation de vestiges qu'aucun indice visuel ne marque (Hulin 2015).

Dans cette optique, nous avons décidé cette année de poursuivre la démarche initiée en 2019 au sein du PCR confluence visant à réaliser des prospections géophysiques en cours de fouille. Ainsi, nous avons pu mettre en place des relevés de susceptibilité magnétique après décapage et des prospections électromagnétiques et radar-sol (**Fig.13**). L'apport de la prospection géophysique en cours de fouille offre un outil de réflexion et d'aide aux stratégies de fouilles dans un contexte où la lecture des structures archéologiques dans le sédiment n'est pas chose aisée.

1.3.2.1. LA SUSCEPTIBILITÉ MAGNÉTIQUE

Différents phénomènes anthropiques peuvent modifier la teneur et la composition des oxydes et hydroxydes de fer dans le sol. Ces modifications se traduisent par des changements dans les propriétés magnétiques des sols (Le Borgne, 1955 ; Mullins, 1974 ; Marmet, 2000) et concernent par exemple la chauffe du sol (incendie de bâtiment, zone foyère, essartage), le taux de matière organique et bien évidemment les activités liées au travail du fer (présence de micro-déchets) (Le Borgne 1965). Cependant, comme pour les autres méthodes géophysiques, il peut parfois être difficile de discerner les éléments anthropiques des éléments naturels dont les processus peuvent être nombreux. Les variations naturelles de granulométrie dans les/ Le granoclassement naturel des sédiments, dues à leurs conditions de dépôt, peuvent par exemple avoir un impact sur le signal magnétique. Par ailleurs, les traces de pollutions (plomb, cadmium et zinc entre autres) peuvent aussi influencer les mesures de susceptibilité magnétique (Clozel-Leloup et al. 2001).

Sur le terrain, préalablement aux mesures de susceptibilité magnétique, le passage du détecteur à métaux nous a permis de localiser les petits objets métalliques et de les discriminer de certaines anomalies géophysiques. De ce fait, il a été possible de se concentrer sur les structures archéologiques plutôt que de détecter les objets métalliques plus fortement magnétiques. Nous avons utilisé une sonde MS2D de chez Bartington Instrument (UMR CNRS 5133 Archéorient) qui offre une profondeur d'investigation d'environ 15 cm (Benech 2000). La première étape du travail de suivi consiste à réaliser des mesures sur l'intégralité de la zone après décapage des horizons superficiels. Chaque point de mesure utilisé pour la cartographie résulte de la médiane de 5 points pris au même endroit afin de pallier aux problèmes liés à une mesure qui aurait mal été prise. Le zéro a systématiquement été pris entre chaque mesure. Les différentes mesures ont été acquises tous les 50 cm. Une densification des points de mesures (tous les 20 cm) sur les zones d'intérêt a ensuite été effectuée pour cartographier précisément des anomalies notables (**Fig.11**).

Les résultats des mesures de susceptibilité magnétique obtenus sur la fouille offrent une image assez similaire aux résultats de la fouille (**Fig.15**). La structure d'atelier détectée dans la partie sud-ouest de la prospection est particulièrement visible et est marquée par de très hautes valeurs de susceptibilité magnétique. De petites structures en creux assez bien délimitées se retrouvent également de par leur comblement riche en mobilier archéologique. Notons qu'une "limite" semble se dessiner et séparer le secteur ouest (caractérisé par de fortes valeurs) du secteur est (dont les valeurs se rapprochent plus de celle de l'encaissant naturel).

Un second secteur a pu faire l'objet de relevés de susceptibilité magnétique à l'est de la fouille. Cette zone n'a fait l'objet que d'un premier décapage

mécanique sans pouvoir être fouillé. Nous avons alors profité de ce secteur libre afin de réaliser des mesures qui devraient aider aux interventions 2023. De manière générale, les valeurs obtenues dans cet espace sont relativement hautes à l'approche de potentielles structures archéologiques sans atteindre les niveaux visibles sur l'atelier présent dans le secteur ouest (**Fig.16**). Nous pouvons donc proposer que ce secteur ne fossilise pas de structure d'artisanat. Contrairement à ce qui a pu être vu lors du décapage puis du nettoyage fin réalisées par les équipes de fouille, les résultats de susceptibilité magnétique ne détectent pas l'ensemble des structures documenté par contraste de sédiment. Ces différences entre structures vues au décapage et structures détectées en prospection magnétique sont

probablement dues à l'absence ou la très faible présence de mobilier archéologique dans les structures qui ne sont pas dessinées par une augmentation des valeurs de susceptibilité. Cet aller-retour entre quantité et type de mobilier présent dans les structures et les valeurs de susceptibilité magnétique sera développé lors des campagnes de fouilles à venir.

1.3.2.2. LA PROSPECTION ÉLECTROMAGNÉTIQUE

La prospection électromagnétique est fondée sur l'induction d'un champ électromagnétique alternatif dans le sol dont les variations sont ensuite traduites en termes de conductivité électrique et de susceptibilité

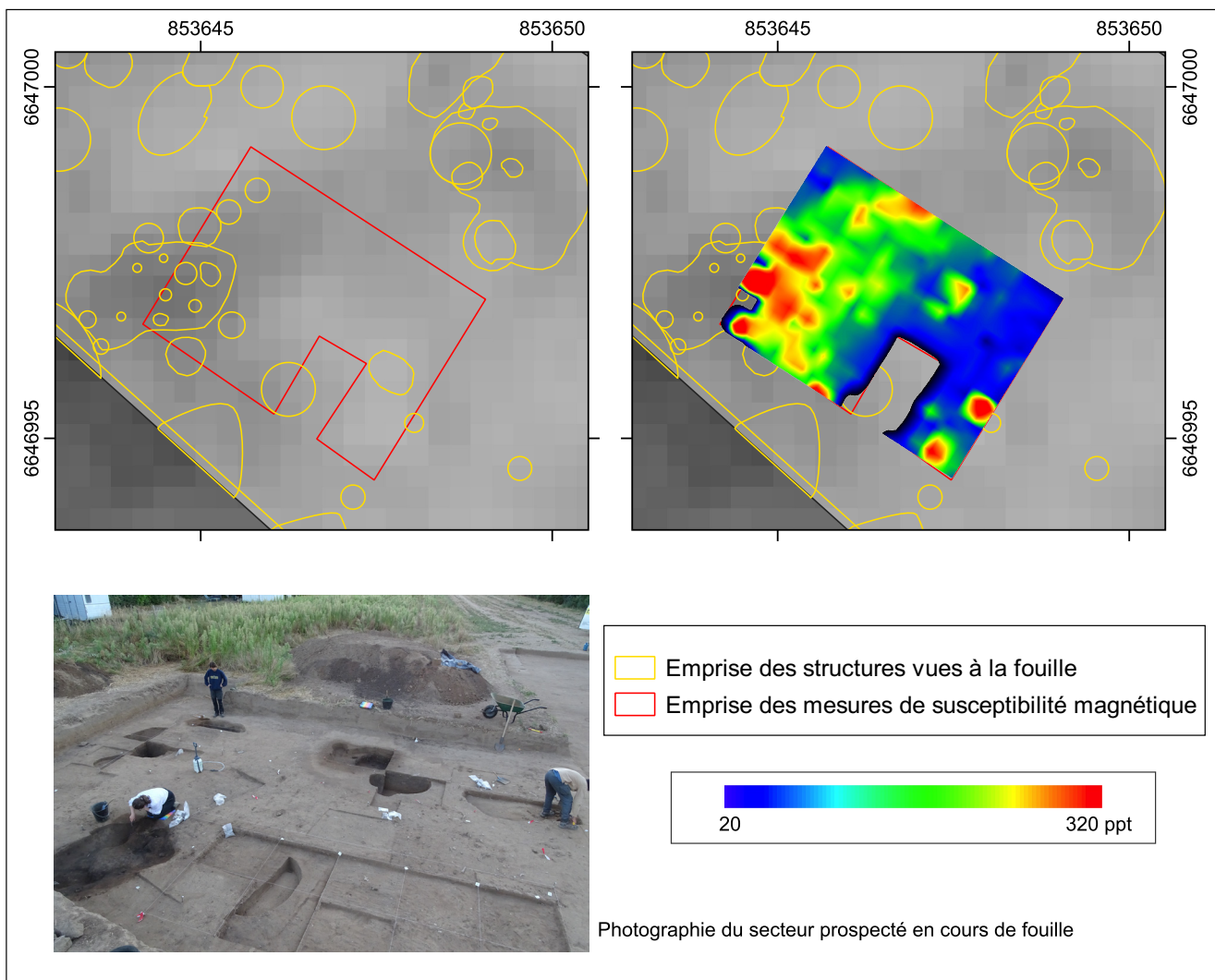


Fig.15 Résultats de la prospection de susceptibilité magnétique à l'ouest de la zone fouillée (traitement et CAO Ch. Sanchez)

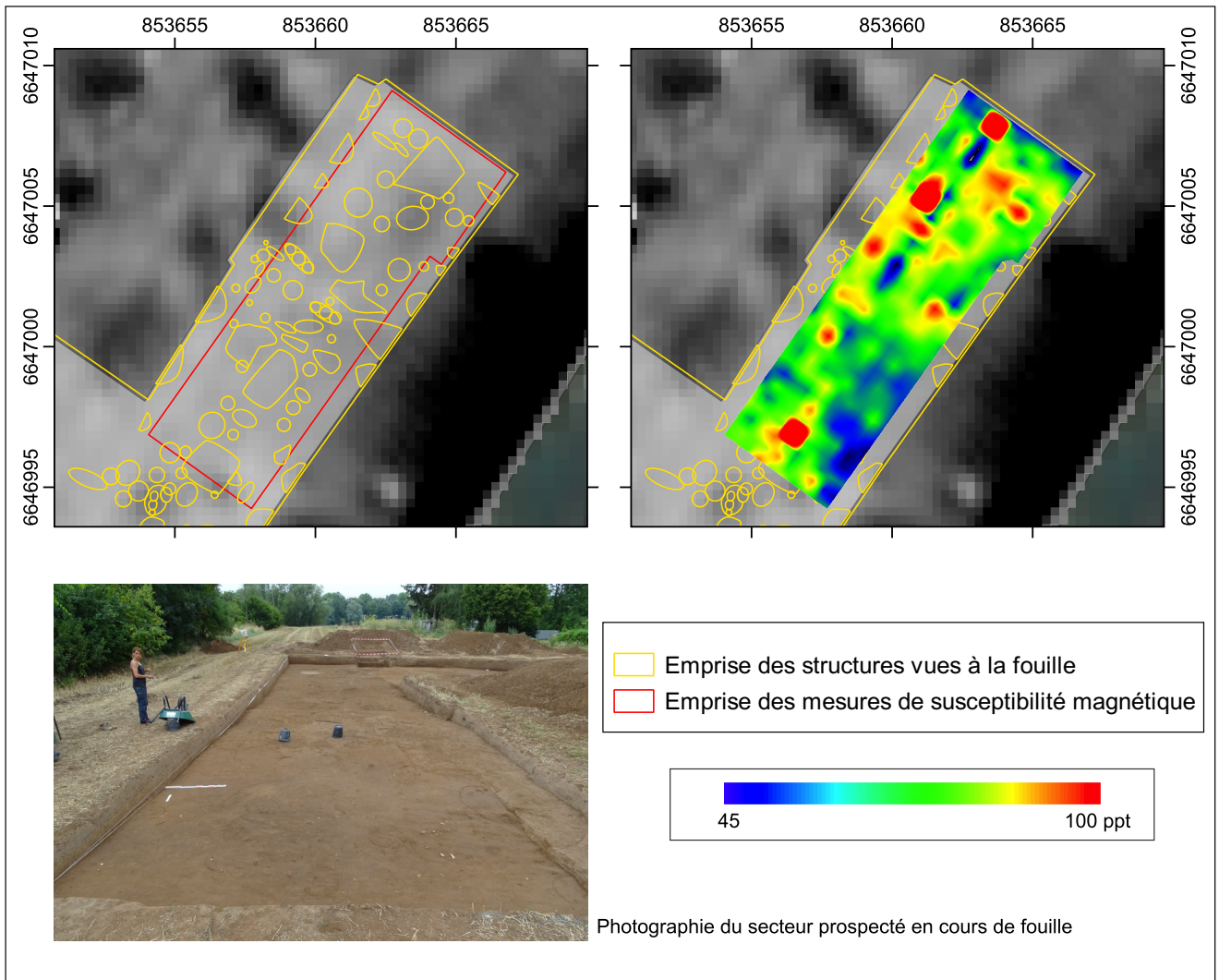


Fig.16 Résultats de la prospection de susceptibilité magnétique à l'est de la zone fouillée (traitement et CAO Ch. Sanchez)

magnétique du sol. Selon leur nature et leur structure (composition, types de roches, teneur en eau, porosité etc.), les matériaux naturels ou anthropiques n'ont pas la même conductivité électrique ou la même susceptibilité magnétique. Ces différences de propriétés produisent des variations locales (anomalies) qui peuvent être observées lors d'une cartographie et reflètent les changements de nature du sous-sol. La profondeur d'investigation de la méthode est proportionnelle à l'écartement entre les bobines de l'appareil et peut être adaptée, selon l'instrument, à une étude archéologique ou à une étude géomorphologique. La méthode électromagnétique basse fréquence permet de mesurer simultanément les propriétés électriques et magnétiques des sols en mesurant la conductivité

apparente (en mS / m) et la susceptibilité magnétique (en ppt) (Tabbagh, 1986).

Les prospections électromagnétiques menées en cours de fouille suivent un protocole similaire à celui employé lors des acquisitions extensives. Elles ont été réalisées sous la forme de profils parallèles en aller-retour. Ces acquisitions réalisées suite aux décapages s'affranchissent des bruits de surface souvent lié à de l'épandage de mobilier. De plus, la prise de mesure proche des structures à détecter permet une meilleure visibilité des résultats (Simon 2012). Les profils ont été espacés de 50cm afin de détecter les structures recherchées le plus précisément possible. L'acquisition électromagnétique a été réalisée avec CMD mini

Explorer (GF Instrument) (**Fig.17**). L'intérêt de cette seconde méthode réside dans sa capacité à mesurer la conductivité électrique sur trois profondeurs, permettant d'avoir une notion volumique des structures. Les différents résultats des acquisitions ont été produits et compilés à chaque fin de journée. Les cartes obtenues étaient alors exploitées dès le lendemain sur le terrain afin de définir l'emplacement de zones de sondage superficiel destiné à confirmer ou infirmer la présence de structures non visibles en surface.

Les mesures de conductivité obtenues grâce à l'application de prospection électromagnétique apportent des résultats planimétriques complétant les résultats de la susceptibilité magnétique. Bien que les anomalies obtenues sur le secteur ouest de la fouille ne soient pas denses, il apparaît cependant que la zone d'atelier au sud-ouest de notre zone d'investigation ne présente pas un signal conducteur, seules les structures de rejet qui l'entourent voient leur propriétés physiques changer. Notons également que l'est de notre secteur de prospection confirme là encore avec cette méthode un espace "vide" d'anomalies (**Fig.18**).

1.3.2.3. LA PROSPECTION GÉORADAR

La prospection par géoradar est une technique d'échographie électromagnétique haute-fréquence utilisée pour révéler les changements de nature du sous-sol. L'onde émise par le géoradar pénètre dans le sol et est réfléchié différemment selon la nature des matériaux présents dans le sol. Cette méthode est particulièrement efficace pour la détection des structures « en dur » (maçonneries, murs, empiérement) qui sont souvent associées à de fortes réflexions sur les cartes de résultats. C'est également une des seules méthodes de prospection géophysique permettant la réalisation de coupes de sol à différentes profondeurs.

Tout comme la prospection électromagnétique présentée ci avant, la prospection radar-sol a été réalisée le long de transects espacés régulièrement (ici 0.25 cm). La prospection a été réalisée avec une antenne de 500 MHz blindée tirée à même le sol (**Fig.19**). Ces acquisitions ont été réalisées à des fins de développement et de test. En effet, celle-ci n'est pas la plus adaptée pour détecter des structures fossoyées (Ernenwein et Hagrave 2009, Schmidt et al. 2015).



Fig.17 Réalisation de mesures électromagnétiques en cours de fouille (Photo C. Sanchez)

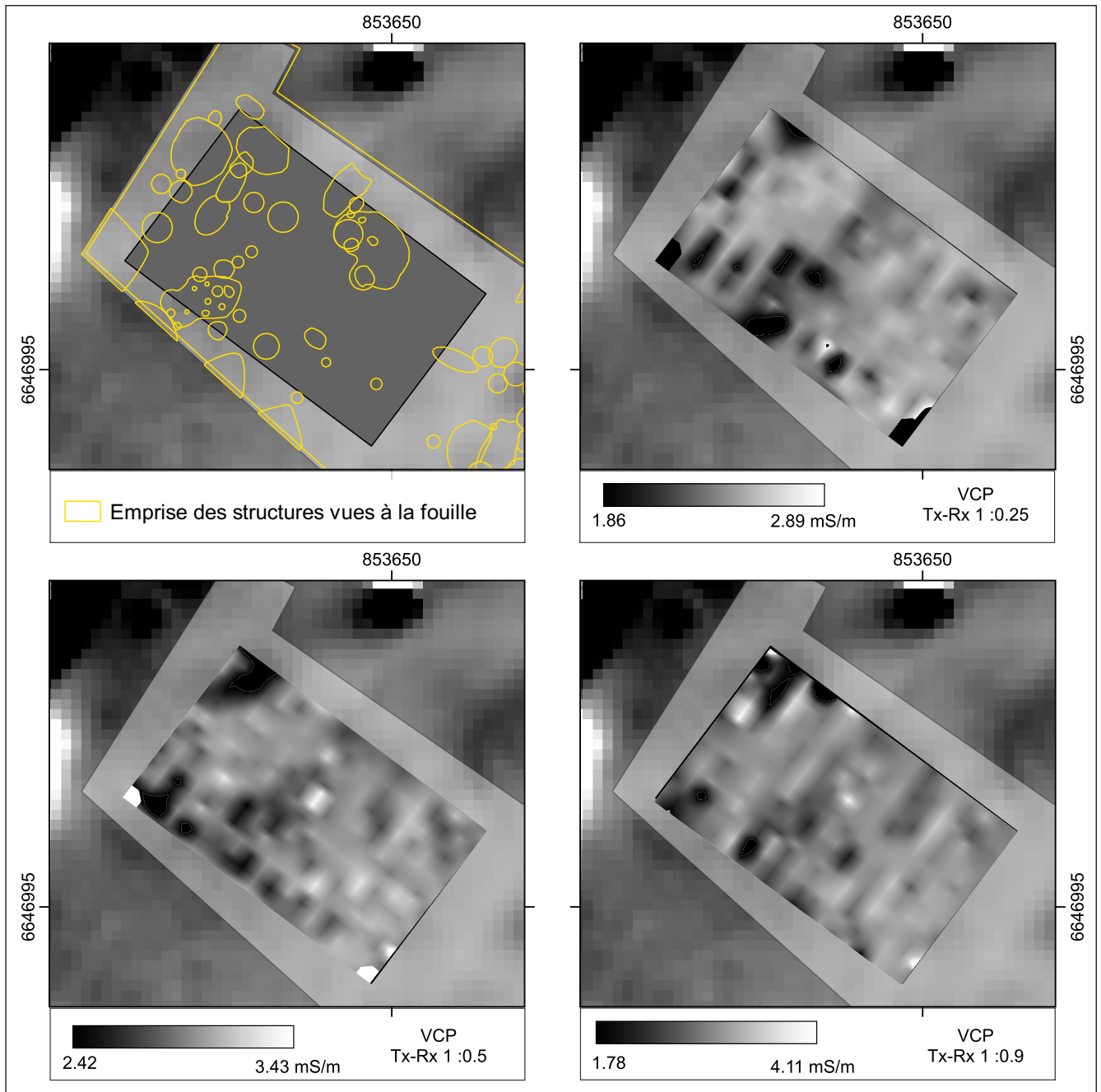


Fig.18 Résultats de la prospection électromagnétique à l'ouest de la zone fouillée (traitement et CAO Ch. Sanchez)

Les premiers résultats de prospection géoradar offrent quelques éléments de discussion avec le plan de la campagne de fouille 2022. Une anomalie de réflexion linéaire orientée nord sud au centre de la prospection semble séparer deux espaces. Le secteur ouest semble bruité par la présence d'anomalies de réflexions bien que celles-ci ne coïncident pas exactement avec les structures vues à la fouille. A l'est, une perturbation en bordure sud est liée à la présence d'éléments métalliques restés sur la fouille (jalon métallique balisant le

sondage géomorphologique). Hormis cette perturbation actuelle au sud-est, peu d'anomalies de réflexion sont discernables, montrant alors, comme avec les autres méthodes, un espace dénué de structures en creux (Fig.20).



Fig.19 Réalisation de prospection géoradar en cours de fouille (Photo Ch. Sanchez)

1.3.2.4. RETOUR D'EXPÉRIENCE SUR LA MISE EN PLACE DE PROSPECTION GÉOPHYSIQUE EN COURS DE FOUILLE

L'apport de prospection géophysique en cours de fouille permet d'affiner de manière significative la vision des structures archéologiques présentes en sous-sol. L'emploi de plusieurs méthodes se révèle complémentaire et permet d'ajuster la vision du site à une

échelle comparable à celle de la fouille quand celle-ci est pratiquée à une maille très fine. En effet, bien que les résultats de prospection magnétique extensive offrent des résultats clairs dans la détection de structures fossoyées, la maille de mesure (ici tous les 50cm) ne permet pas de distinguer de plus petites structures (Fig.21). Il convient donc de compléter ces résultats par d'autres approches.

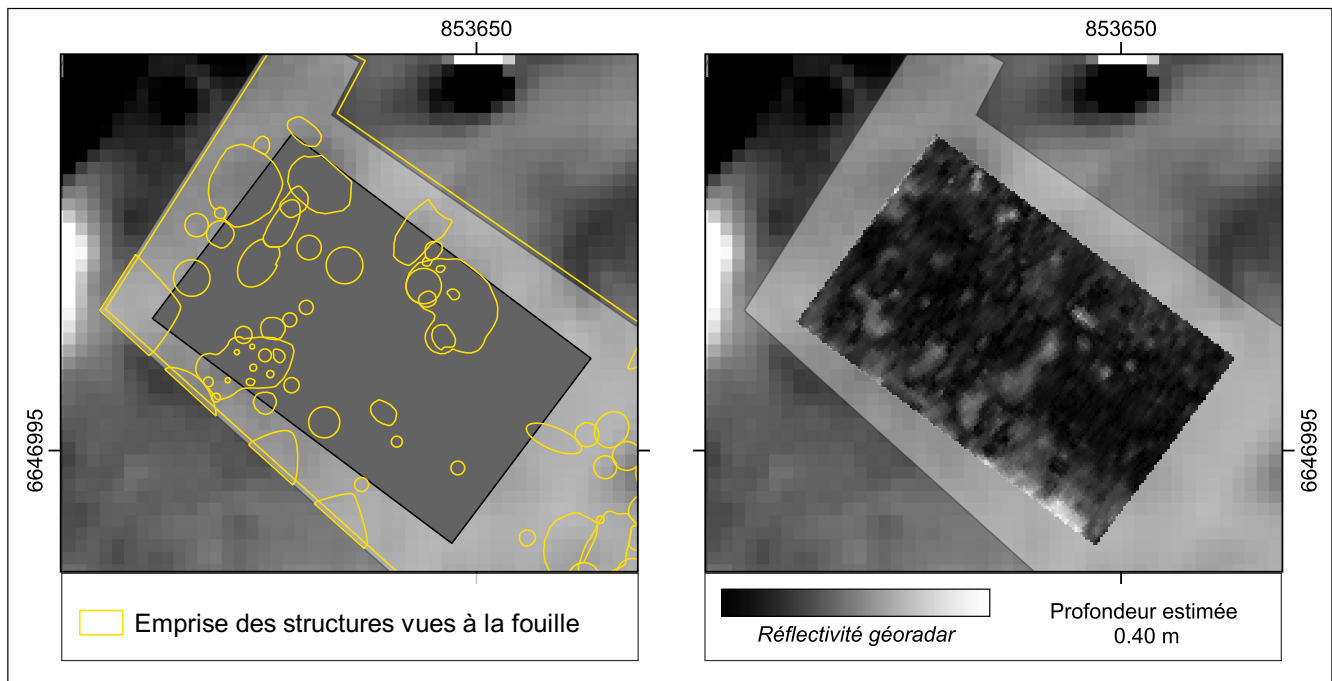


Fig.20 Résultats préliminaires de la prospection géoradar à l'ouest de la zone fouillée (traitement et CAO Ch. Sanchez)

La mise en place sur la fouille de ces démarches géophysique nécessitent une adaptation entre les prospecteurs et les fouilleurs. Certaines méthodes permettent de s'adapter au passages et aux activités de la fouille comme les relevés de susceptibilités magnétiques dont les mesures sont prises point par point. En revanche, dès lors que l'on va employer des appareils à mesure continue, il est nécessaire d'intervenir rapidement en bloquant tout un secteur afin d'obtenir un bloc de données cohérentes. De plus, le prospecteur doit être particulièrement attentif à la présence d'éléments métalliques présents sur le terrain (clou pour les

coups, truelle errante...) pouvant venir perturber certains résultats.

Malgré les contraintes de terrain, l'application de prospection géophysique en cours de fouille offre des outils de compréhension du site qui permettent de conforter les responsables d'opérations dans leurs choix et stratégies de fouilles. La poursuite de ce type d'investigation pour la prochaine triennal relève d'un des nouveaux enjeux de développement d'un outil visant à épauler les équipes de terrains dans leur vision d'un site à l'échelle de la fouille.

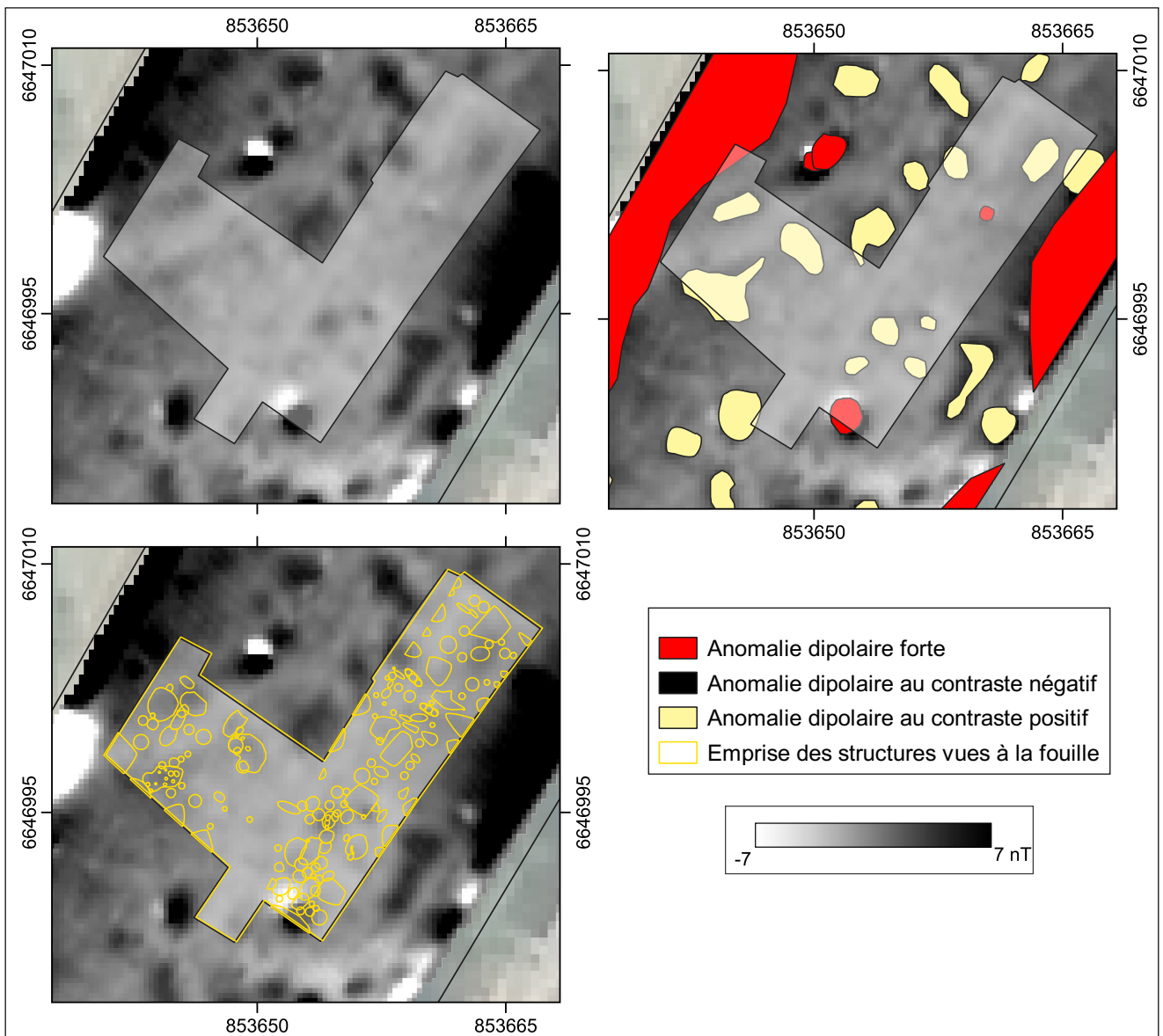


Fig.21 Confrontation entre les résultats de la prospection magnétique extensive de 2020 et les résultats de la fouille (traitement : F.-X. Simon, CAO : Ch. Sanchez)

1.3.3. LA GESTION DU MOBILIER ET DES PRÉLÈVEMENTS

L'une des « contraintes » du site est sans doute la très grande quantité de mobilier qu'il peut livrer. A titre d'exemple, le secteur de Bragny II, fouillé sur à peine 15m², avait déjà livré près de 12 000 fragments d'objets (Dubreucq et al. 2020a). Ainsi, pour ne pas être débordé, il est nécessaire de prendre en charge le matériel dès la sortie de fouille. Grâce à la mise en place d'horaires décalés pour la fouille (6-13h), l'équipe a pu procéder au lavage et au reconditionnement du mobilier chaque jour en fin d'après-midi, permettant à l'issue des 3 semaines de terrain de disposer d'un matériel archéologique totalement lavé, trié, reconditionné et pré-inventorié, par type de matériau et faciliter ainsi à la fois la conservation et la répartition du mobilier aux spécialistes selon la classification proposée par le protocole du SRA Bourgogne-Franche Comté.

Près de 69 prélèvements ont été réalisés entre les deux secteurs. Ils ont été numérotés de 21 à 89. Pour le fossé du secteur 3 (Str. 400), 3 seaux de sédiments de 10 L chacun en moyenne, deux petits sachets pour des C¹⁴ et 13 blocs pour la micromorphologie ont été prélevés.

Dans le secteur 2, on dénombre une dizaine de seaux, 25 blocs pour la micromorphologie, 5 pour la parasitologie et 9 prélèvements pour les phytolithes.


L'objectif est de réaliser différentes analyses pour mieux éclairer la fonction des structures et les activités réalisées sur le site à travers les croisement des résultats issus des analyses des carpo-restes, battitures, ichtyofaune, parasites...

Les prélèvements de 2021 ont été traités par L. Chabert (Master 2), qui a réalisé la flottation, le tamisage à l'eau et l'étude des carpo-restes (Chabert 2021).

Ce fut l'occasion de distinguer notamment les battitures qui ont été traitées cette année par L. Belhade (cf. *infra*).

En parasitologie, les échantillons 2021 et 2022 sont en cours de traitement par C. Maicher.

Les prélèvements de 2022, notamment ceux réalisés en seaux, seront traités prochainement, courant 2023, par A. Tatre et C. Schaal pour les carpo-restes. Quant aux blocs micromorphologiques, il est prévu de réaliser de premières lames minces au cours de 2023, après une sélection centrée sur quelques structures et les niveaux de circulation du secteur 2, complétés de quelques blocs du fossé 400 du secteur 3.



2.
SECTEUR 2 ET 3 :
DONNÉES DE TERRAIN

2. SECTEUR 2 ET 3 : DONNÉES DE TERRAIN (E. D., V. C., A. P., J. B.)

2.1. STRUCTURES ET SOLS ANCIENS DU SECTEUR 2

Comme illustré dans le plan, nous avons décidé d'ouvrir une surface d'environ 230 m² formant un L pour enserrer le secteur de fouille ouvert en 2021. Dès le décapage, une très forte densité de structures a été repérée et comme l'année précédente, cette densité s'est accentuée à chaque fois qu'un nettoyage manuel plus précis a été effectué. Un premier plan et une numérotation de chaque structure visible a été réalisée. Près de 160 structures ont été décomptées (Fig.23) et une seule a finalement été annulée pour le moment.

Face à cette très forte concentration, nous avons décidé de privilégier d'abord la fouille des ensembles situés au sud-ouest de la parcelle pour des raisons techniques mises en évidence l'année dernière. En effet, en cas de fortes pluies, il s'agissait d'éviter l'accumulation de l'eau et la détérioration des structures en bas de pente. En outre, la mise en évidence de niveaux de sols contenant de nombreuses scories et de restes de faune a conforté ce choix, fait dans l'espoir d'aborder enfin un

niveau d'atelier lié à la métallurgie. Nous avons donc décidé de geler dès la première semaine la zone rectangulaire (retour du L) en direction du nord-est (Fig.22).

Ensuite, au fur et à mesure de l'avancée du terrain, d'autres secteurs plus localisés (autour des fosses 229 et 235 par exemple) ont été également mis en suspens en raison d'une plus forte concentration de structures que prévue et de nombreux recoupements, ne permettant pas une fouille sereine sur le temps imparti, de surcroît avec les conditions climatiques difficiles du moment.

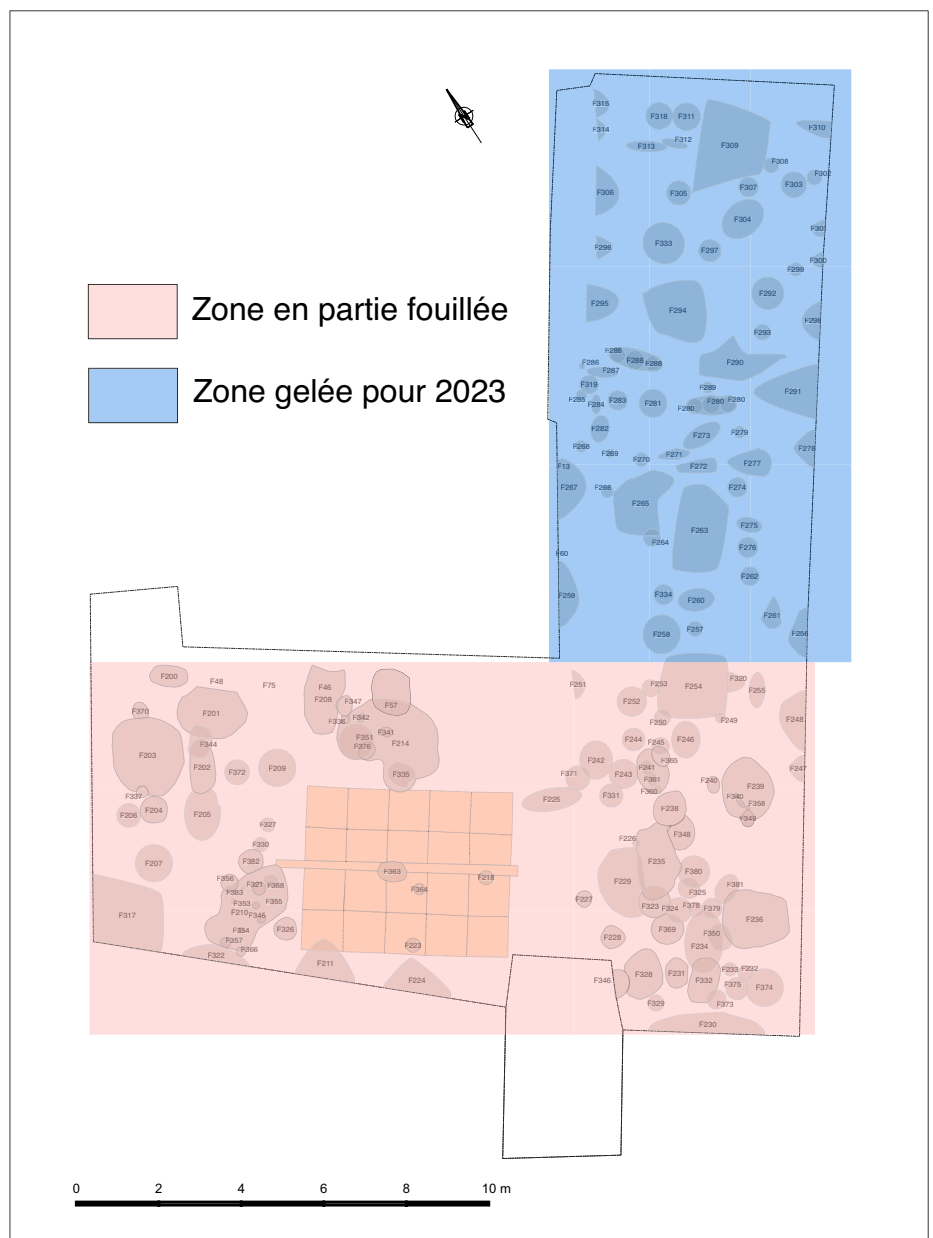


Fig.22 Zone abordée lors de la fouille en 2022 et zone gelée pour 2023 (E. Dubreucq)

| Etat | Type de Structure | Décompte de structures | Pourcentage de structures traitées |
|---------------------------------------|----------------------|------------------------|------------------------------------|
| Annulée | Fosse/TP | 1 | 0,63% |
| Total pour Annulée | | 1 | 0,63% |
| En cours de fouille | Aménagement complexe | 2 | 1,25% |
| | Fosse/TP | 4 | 2,50% |
| Total pour En cours de fouille | | 6 | 3,75% |
| Fouillé | Aménagement complexe | 5 | 3,13% |
| | Fosse/TP | 51 | 31,88% |
| | Grande fosse | 1 | 0,63% |
| | Petite fosse | 1 | 0,63% |
| Total pour Fouillé | | 58 | 36,25% |
| Fouillée à moitié | Fosse/TP | 1 | 0,63% |
| Total pour Fouillée à moitié | | 1 | 0,63% |
| Non fouillé | Fosse/TP | 89 | 55,63% |
| | Grande fosse | 1 | 0,63% |
| | Indéterminé | 2 | 1,25% |
| | Petite fosse/TP | 2 | 1,25% |
| Total pour Non fouillé | | 94 | 58,75% |
| Total général | | 160 | 100,00% |

Fig.23 Tableau récapitulatif des structures fouillées, en cours de fouille et annulées de la campagne 2022

De ce fait, cette année, ce sont près de 58 structures qui ont fait l'objet d'une fouille exhaustive. 6 autres n'ont pas été terminées en raison de leur complexité et devront être reprises l'année prochaine et au moins 94 n'ont pas été du tout traitées et préservées pour la prochaine campagne (Fig.23).

S'ajoutent à ces structures les niveaux de sols identifiés et fouillés dans la partie méridionale de l'aire de fouille (US 2004 à 2006, 2008, 2009) ainsi que les couches supérieures recouvrant le sol ancien 2003, c'est-à-dire les US 2000, 2001 et 2002 correspondant aux US 1000-1001-1002 de 2021, décapée à la pelle mécanique.

Parmi les **58** structures fouillées en 2022, on retrouve de grandes fosses rectangulaires aux angles arrondis ou ovalaires (par exemple Str. 203, 236, 239, 214), complétées de trous de poteaux et de fosses de

moyennes et petites dimensions qui, comme en 2021, ne sont pas toujours évidentes à distinguer des précédents.

Les premières analyses menées en fonction de leurs morphologies, dimensions et fonctions supposées s'appuient sur un corpus un peu plus réduit de **41** structures dont les données sont fiables et abouties (Fig.24).

Les trous de poteaux/piquets sont les plus nombreux (Fig.24). Cette année, ils sont situés quasi exclusivement en bordure ou à l'intérieur des grandes fosses permettant des aménagements internes. Cela tient au fait que nous nous sommes concentrées davantage sur les grandes structures bien visibles et avons peu abordé les trous de poteaux/fosses alentour.

Cela explique aussi les dimensions peu importantes de ces trous de poteaux dont les surfaces au sol sont

| Interprétation | NR |
|---------------------------------------|-----------|
| Trou de poteau/fosse calage | 24 |
| Fosse | 8 |
| Grande fosse avec aménagements | 1 |
| Atelier | 1 |
| Grande fosse : bâtiments semi-excavés | 4 |
| Trou de piquet | 1 |
| Aménagement en creux | 2 |
| Total général | 41 |

Fig.24 Tableau résumant les principaux types structures fouillées à Bragny en 2022 (E. Dubreucq)

comprises entre 0.01 et 0.64 m², avec une très grande majorité mesurant moins de 0.2 m² (Fig.25), alors que la moyenne de ceux trouvés en 2021 s'élevait à 0.4 m².

Les quelques fosses distinguées sont généralement de forme ovale avec des surfaces moyennes variées comprises entre 0,38 et 1,33 m², ce qui ne facilite pas leur reconnaissance et distinction avec certains poteaux, ni leur fonction (Str. 200, 332,202, 208 et 201).

Vestiges probables de bâtiments semi-excavés, les grandes fosses (Str. 235, 236, 214, 203) présentent des surfaces au sol plus élevées (entre 1,78 et 3,3 m²) avec toutefois peu de récurrence dans leurs dimensions excepté pour les structures 214 et 203. Parmi ces dernières, la fosse 210 de forme rectangulaire aux angles arrondis mais peu profonde est celle qui se démarque par ses dimensions et sa surface (3,6 m²). Cette particularité est sans doute à mettre en lien avec sa fonction spécifique que nous détaillerons plus loin.

La tentative de mettre en lien la forme des structures (circulaire, ovale, quadrangulaire...) avec ses dimensions n'apportent que peu d'informations supplémentaires (Fig.26). On peut juste constater que les structures circulaires et ovales semblent fonctionner selon les mêmes modules, notamment pour les plus petites.

Surface en m2

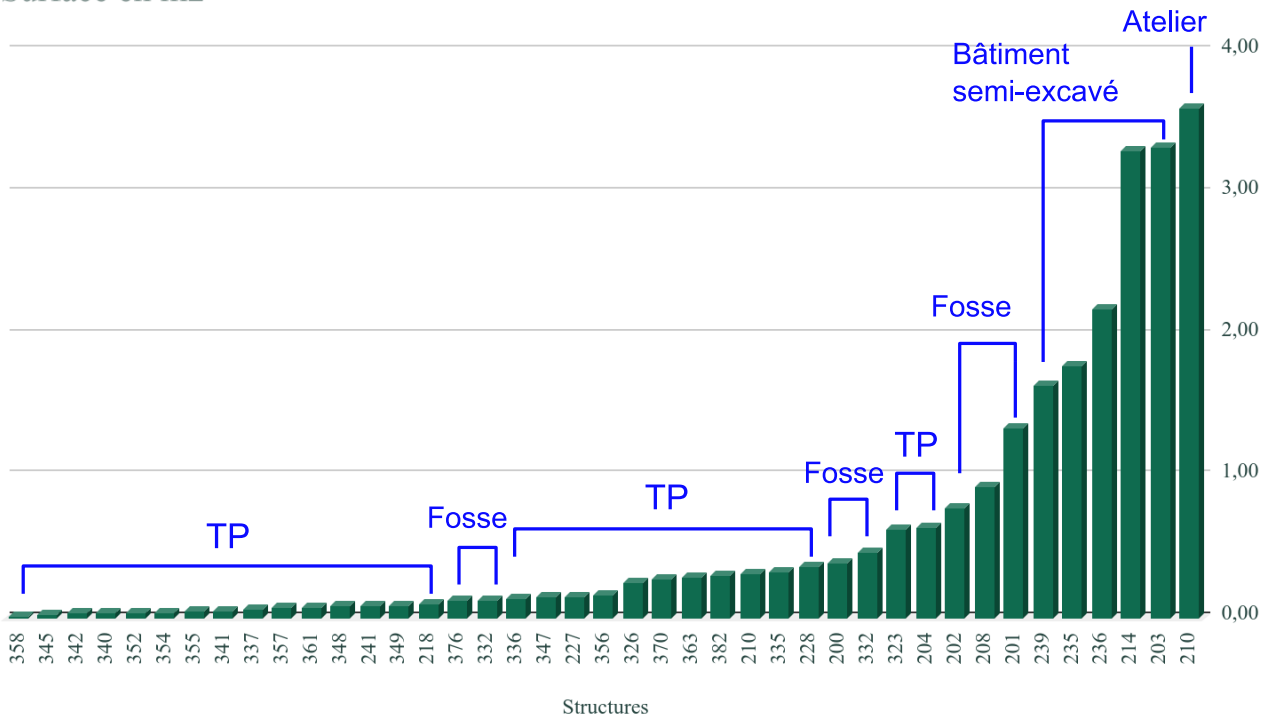


Fig.25 Graphique représentant les surfaces en m² des diverses structures trouvées en 2022 (E. Dubreucq)

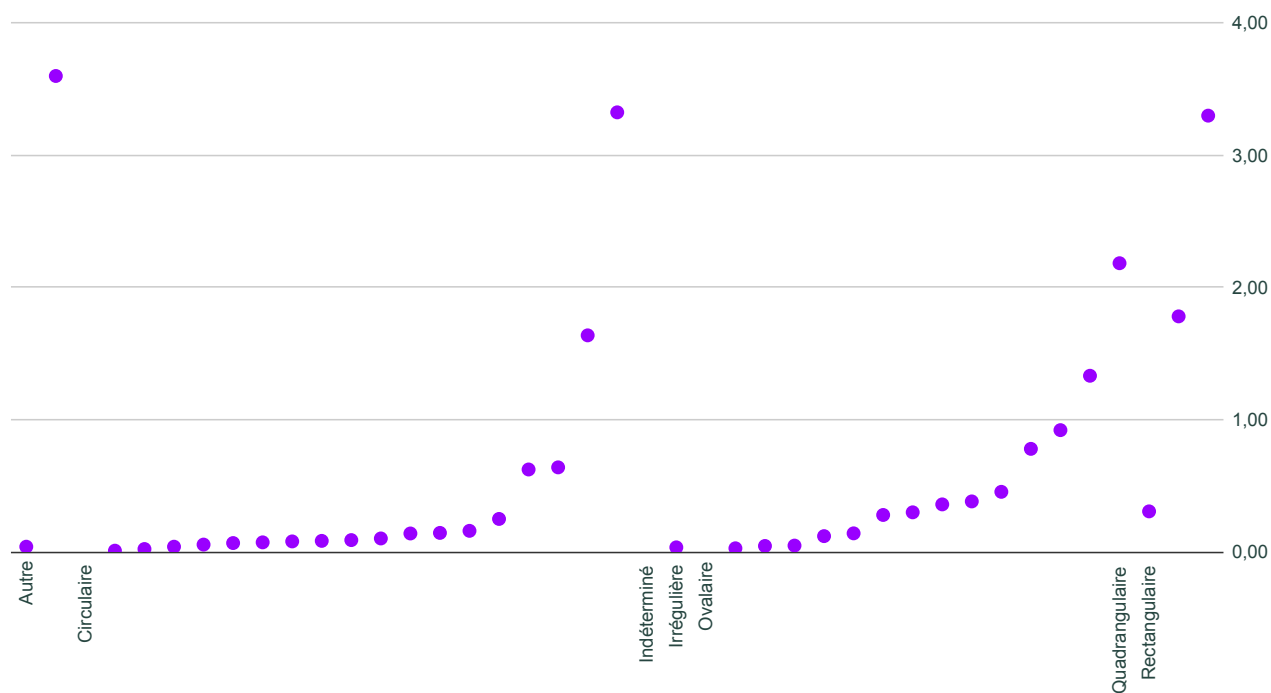
Surface en m² des structures en fonction de leur forme

Fig.26 Graphique représentant les surfaces moyennes exprimées en m² des diverses structures en fonction de leur morphologie (E. Dubreucq)

L'étude fonctionnelle des structures: un dossier en cours

Les structures avec leurs remplissages demeurent, par leur grand nombre, l'un des principaux porteurs d'information sur l'occupation de l'établissement de Bragny. En raison de leur variabilité morphométrique, la caractérisation fonctionnelle de ces faits demeure donc compliquée. Au delà des structures interprétées comme des trous de poteaux, les dynamiques de sédimentation au sein des fosses sont dominées par des apports qui semblent plutôt provenir d'activités de rejet et de comblement volontaire, voire même d'apports d'origine naturelle générés par la dégradation des parois et l'érosion des sols d'occupation adjacents. La détermination de la fonction primaire des fosses, ainsi que de leur variabilité fonctionnelle, pose donc question : y a-t-il des fosses qui sont exclusivement creusées pour extraire des sédiments ? y a-t-il des fosses qui avaient une fonction liée au stockage

ou qui pouvaient constituer des petits espaces creux destinés à la réalisation d'activités particulières ? Si oui, quelle est la nature des produits stockés ou des activités conduites sur place ? Comment ces structures en creux étaient aménagées ? Étaient-elles des espaces couverts et abrités ? La question du remploi des fosses et du changement de leur fonction au cours du temps se pose également.

L'étude géoarchéologique des structures : une nouvelle approche (A. P.)

Afin de répondre à ces questionnements, cette année une étude géoarchéologique intra-site fondée sur l'emploi de la micromorphologie du sol a été mise en place en cours de fouille.

Dans le secteur 2 l'analyse a porté à la fois sur l'étude des séquences de remplissage des fosses, et sur la caractérisation des sols d'occupation mis en

évidence pendant la fouille. Dans le secteur 3, cette même approche a été développée pour l'étude fonctionnelle du fossé (cf. *infra*).

Méthodologie et protocole mis en oeuvre

L'étude géoarchéologique consiste en une approche multi-scalaire réalisée en différentes étapes :

1) l'étude stratigraphique de terrain suivi d'échantillonnages micromorphologiques sur les séquences, réalisée en 2022 (**Fig.27**) ;

2) la réalisation d'analyses micromorphologiques en lame mince, à partir des prélèvements effectués sur le terrain, prévues à partir de 2023.

L'étude stratigraphique de terrain, effectuée sur des coupes et des bermes transversales aux structures en creux, a pour but de délimiter les processus de formation perceptibles à l'œil nu et d'affiner les hypothèses de travail, afin d'établir la stratégie d'échantillonnage pour chaque type de fosse. Les échantillonnages micromorphologiques sont réalisés en prélevant, en coupe, des blocs de sédiment orienté. Ces blocs sont consolidés, en laboratoire, par des résines synthétiques afin de préserver la structure d'origine des couches. Cette technique de prélèvement permet l'analyse de la nature et de l'arrangement tridimensionnel des constituants sur laquelle repose, en micromorphologie, la détermination des processus de formation. Cette démarche permet ainsi un examen quasi-continu, de l'œil nu aux échelles microscopiques, des propriétés pédo-sédimentaires observées sur le terrain et d'identifier des

caractéristiques plus discrètes, permettant d'affiner la compréhension de la nature des processus naturels et anthropiques et de leurs interactions en jeu dans la formation des couches.

Dans le cadre de ce rapport, nous nous limiterons à présenter la stratégie qui a conduit au choix des structures en creux du secteur 2 à étudier. Nous renvoyons au prochain rapport la description détaillée des séquences et la présentation des premiers résultats de l'étude.

Afin de cibler des structures « représentatives » de l'ensemble des structures en creux du site en cours de fouille, l'étude géoarchéologique s'est concentrée sur une sélection de faits, choisis sur la base de deux critères : (1) leur morphologie (dimensions, plans, profils) afin de rendre compte de leur variabilité fonctionnelle ; (2) les caractères morpho-sédimentaires des séquences de comblement (nature des couches et type de stratification, en évaluant plus en particulier la complexité de la stratification du comblement et son degré de différenciation).



Fig.27 Prélèvements micromorphologiques en cours de réalisation sur la structure en creux St. 236 et sur les sols d'occupation à l'extérieur de la fosse (à gauche) (A. Peinetti)

Chaque structure choisie a fait l'objet d'une étude pédo-stratigraphique complète. La stratégie de prélèvement micromorphologique adoptée a consisté en la réalisation d'une colonne continue de prélèvements sur la séquence de remplissage au centre de chaque fosse. La transition entre l'encaissant et le fond de la fosse a été prélevée de façon systématique, car c'est à ce niveau qu'on peut espérer trouver des informations concernant l'aménagement et le premier fonctionnement de la structure. Les prélèvements en colonne continue ont été complétés par un échantillon prélevé sur le bord des fosses, afin d'identifier des possibles aménagements de paroi. Ces derniers ont été facilités par la réalisation de coupes débordantes sur le bord de chaque structure. Enfin, les sols d'occupation extérieurs aux fosses ont été parfois échantillonnés, afin de caractériser l'histoire sédimentaire des sols fonctionnant de manière synchrone aux fosses, mais aussi avant leur creusement et après leur remplissage complet.

L'étude de terrain réalisée sur les coupes débordantes et l'observation de l'articulation de la stratification du comblement avec les sols d'occupation extérieurs a été aussi l'occasion de préciser la position stratigraphique des creusements et le fonctionnement des fosses. Ces observations s'avèrent en effet compliquées en cours de la fouille en raison des caractères homogènes des sols d'occupation (US 2003) dans lesquels ces structures en creux s'inscrivent.

Choix des structures en creux à intégrer dans l'étude et échantillonnages

Cette année quatre structures en creux de morphologie et aux complements différents ont été sélectionnées pour l'étude. La première (St. 328) est une structure peu profonde et au profil évasé, caractérisée par un comblement homogène, interprétée comme un trou de poteau. Elle semble recouper un premier

niveau de sol d'occupation, puis être recouverte par une couche présentant des litages et une porosité subhorizontale. Cette dernière pourrait correspondre à un apport d'aménagement de sol compacté et aux niveaux de circulation dont la mise en place succède au comblement du trou de poteau. Afin de confirmer s'il s'agit d'un trou de poteau et de comprendre dans quel type d'espace cette structure s'insère, au cours de son usage et après sa défonctionnalisation, une colonne de deux prélèvements a été réalisée dans le comblement et dans les niveaux qui la recouvrent, alors qu'un troisième prélèvement englobe les niveaux de sol sur son bord, qui lui sont associés.

La structure 235, au plan ovoïde et aux parois droites, se caractérise par un comblement assez homogène. Deux prélèvements ont été réalisés en son sein.

En revanche, les deux dernières structures se caractérisent par un plan subcirculaire (St. 236 et St. 239) et un remplissage davantage complexe et différencié. La première (St. 236) s'avère creusée dans la partie basale de l'US 2003 (US 2003a) et dans le substrat US 2007, mais les niveaux supérieurs de sol d'occupation (US 2003b) présents sur les bords de la fosse forment également une partie de son remplissage, plus particulièrement dans la partie sommitale de la séquence de comblement. Au contraire, la structure 239 semble creusée à partir des niveaux supérieurs du sol d'occupation 2003, suggérant un creusement plus tardif dans l'histoire du site. La partie haute de la séquence de comblement semble d'ailleurs témoigner d'un recréusement et d'une deuxième phase de fonctionnement de la fosse. Des colonnes continues de prélèvements et des prélèvements sur les bords ont été réalisés sur les deux fosses, pour un total de 10 échantillons. Les sols d'occupation à l'extérieur de la fosse 236 ont été également décrits et prélevés (2 échantillons).

L'étude des dynamiques de formation des séquences de comblement des fosses peut apporter des informations de différente nature :

- Des informations sur la fonction de la fosse même, sur les modalités de son aménagement et sur son histoire fonctionnelle ;
- Des informations à caractère environnemental et socio-économique à travers la caractérisation des matériaux apportés volontairement ou piégés dans la fosse par des apports d'origine naturelle. Ces matériaux donnent la possibilité de reconstituer certaines caractéristiques du pédo-paysage ancien, mais informent également sur la nature des activités pratiqués à proximité des structures en creux et dans le site.

Une sélection de prélèvements pour réaliser une première étude en lame mince sera effectuée, en concertation avec l'équipe de fouille, afin de tester le potentiel informatif des archives sédimentaires des structures en creux et de commencer à répondre aux principales questions posées par la fouille.

Des prélèvements de sédiments en vrac, associés à la colonne de prélèvement micromorphologique de la structure 239, ont été également effectués afin de prévoir d'éventuelles analyses complémentaires (phytolites, géochimie, paléo-parasitologie).

2.1.1. LES US HORS STRUCTURE ET LES NIVEAUX D'OCCUPATION DU SOL ANCIEN (V. C., A. P.)

Forte de l'expérience acquise l'année dernière et compte tenu de lecture difficile des structures et leurs bords due au contexte sédimentaire, cette année une fouille fine du sol ancien a été réalisée parallèlement à celle des structures grâce à la mise en place d'un

carroyage. Deux conditions majeures étaient en effet réunies : d'une part la conservation, bien que bioper-turbé, de la totalité du sol ancien (US 2003) dans lequel les différentes structures ont été aménagées et, d'autre part, des meilleures conditions météorologiques ayant permis d'éviter l'engorgement du terrain pendant la fouille.

Les objectifs fixés étaient de mieux comprendre la pédogénèse du paléosol en lien avec les sondages géoarchéologiques et surtout de vérifier la conservation de niveaux d'occupation potentiellement enregistrés dans l'épaisseur du sol anthropisé (US 2003) et affiner ainsi le phasage du site et des structures (**Fig.28**).

Comme l'année dernière, en-dessous de l'horizon agricole US 2000-2001 et du niveau de colluvionnement US 2002 (US 1002 du secteur 1), le sol ancien **US 2003**, une couche limono-sableuse de couleur brun-clair à jaune-rouge, hétérogène et d'une épaisseur allant de 20 à 40 cm du nord vers le sud a été à nouveau mise au jour. Ce niveau s'est formé sur le toit de l'US 2007, un niveau géologique homogène et massif limono-sableux à sablo-limoneux vers le fond et de couleur de brun à brun orangé - rouge vers le fond, avec de nombreuses traces d'oxydation et des dépôts de fer-manganèse.

C'est donc sur le toit de l'US 2003 que le décapage a été arrêté pour garantir sa conservation et en permettre une fouille fine. Lors de son nettoyage manuel et plus précisément de la zone méridionale du secteur, une couche sablo-limoneuse de couleur brun clair à jaune et très compacte voire fortement indurée, a été identifiée. La présence de mobilier et en particulier de faune très diffuse et parfois concentrée en amas circulaires suggérait la conservation d'un niveau s'apparentant à un reliquat de niveau de fréquentation ou de piétinement en lien ou pas avec des petites fosses de rejets.

| Secteur | US | Type | Description |
|---------|------|---------------------------|---|
| 2 | 2000 | Sol actuel | terre cultivée et niveau supérieur du décapage |
| | 2001 | Horizon arable | Couche limono sableuse de couleur brune, homogène et épaisse |
| | 2002 | Niveau de colluvionnement | Couche limono sableuse de couleur jaune-brun, homogène et épaisse |
| | 2003 | Paléosol | Couche limono sableuse de couleur brun-clair à jaune-rouge, hétérogène |
| | 2004 | Occupation | Couche sablo-limoneuse, granulométrie fine à moyenne, dense de couleur orange marbré noir-gris foncé, avec nombreux agrégats brun et jaune de 2-3 mm à 1-5 cm. |
| | 2005 | Occupation | Couche sablo-limoneuse, avec litages de sable peu exprimés composés de sables fins à moyens de couleur brun clair à jaune, compacte, mobilier à plat ou plus rarement en position oblique qui devient de plus en plus diffus et moins dense vers le sud suivant un axe de dispersion nord-sud. Faune diffuse sur toute la surface et dans l'épaisseur de la couche, tessons céramiques de petite taille et micro fragments de terre cuite épars |
| | 2006 | Occupation | Couche limono-sableuse à sablo-limoneuse, dense, très compacte mais poreuse de couleur brun-clair à jaune-rouge, hétérogène et limites latérales diffuses. |
| | 2007 | Géologique | Couche limono-sableuse à sablo-limoneuse vers le fond de couleur de brun à brun orangé-rouge vers le fond, avec traces d'oxydation, homogène et massive |
| | 2008 | Occupation | Couche sablo-limoneuse avec une forte fraction sableuse et légèrement litée, de couleur brun clair à gris, semi-sec, homogène |
| | 2009 | Naturel ou peu anthropisé | Couche limono-sableuse à sablo-limoneuse, de couleur brun foncé, semi-humide, homogène. |

Fig.28 Tableau des US hors structure et des niveaux d'occupation identifiés au cours de la fouille (V. Cicolani)

Méthodes de fouille, enregistrement et prélèvement

Il a été donc décidé de sonder plus en détail ce secteur en mettant en place un carroyage et procéder

à la fois à une fouille stratigraphique fine de ce niveau et à celle des amas fauniques.

Le carroyage a été implanté dans la moitié sud du secteur en cours de fouille (**Fig.29**), entre le sondage



Fig.29 Situation du carroyage au sud du secteur 2 (Photo : V. Cicolani)

géoarchéologique semi profond (log 2), situé au sud-est, et la structure 210 à l'ouest, sur une surface qui correspond à l'étendue du niveau aux amas fauniques. Le maillage se compose de 20 carrés de 1m de côté, distribués en quatre rangées longitudinales de 5 carrés chacune et séparées, au milieu, par une petite berme. Les carrés ont été numérotés d'une façon continue de 1 à 20 en partant de l'angle sud-ouest de la berme et en procédant de l'ouest vers l'est et du sud vers le nord. La surface ainsi fouillée couvre au total 20 mètres carrés. Le maillage a été relevé dès son implantation et des prises de niveaux ont été régulièrement effectuées pendant la fouille (Fig.30).

La fouille a mobilisé trois étudiants qui ont été initiés à la fouille fine, à la gestion du mobilier et des relevés topographiques par carré. Du point de vue méthodologique, la fouille fine à la truelle a été conduite de manière simultanée dans plusieurs carrés prenant garde à suivre minutieusement les

différents niveaux stratigraphiques. Il a été ainsi possible d'identifier dans chaque carré, en plan comme en coupe, l'étendue des différents niveaux d'occupation de cette portion du site, ici conservés sur 20 à 25 cm d'épaisseur environ dans le sol ancien (US 2003). Les opérations de fouille ont atteint le substrat stérile US 2007, permettant ainsi de documenter l'épaisseur totale de la stratifica-

tion. A chaque changement de strates, les niveaux ont été enregistrés et le mobilier systématiquement mis en sac par carré et US.

Enfin, pour compléter l'étude archéologique des sols d'occupation et mieux caractériser leur processus de formation, nous avons décidé de faire appel à une analyse géoarchéologique en fin de fouille avec la réalisation de prélèvements micromorphologiques couplés à une prospection magnétique réalisée en cours de fouille. Par ces méthodes croisés, il s'agissait



Fig.30 Carroyage en cours de fouille, on aperçoit au fond de l'image les amas de faune encore en place (Photo : V. Cicolani)

d'une part de déterminer quelle est la place occupée par les apports volontaires de sédiments (par exemple les remblais de nivellement ou les apports destinés à aménager le sol), mais également par l'accumulation de rejets et d'apports latéraux naturels (ruissellements de surface et dégradation du bâti environnant) dans les processus de mise en place de la stratification. D'autre part, cette approche croisée a également pour but de poser les bases pour une ref plus vaste sur les variations dans les dynamiques de formation des sols d'occupation en lien avec la répartition des activités humaines et le degré de fréquentation au sein de cet espace, ici exprimés par les variations latérales et verticales des caractères morpho-sédimentaires et la spatialisation des artefacts piégés dans ces niveaux. Enfin, les aspects taphonomiques, liés à l'abandon du site et aux transformations successives subies par la stratification archéologique doivent être appréhendés plus en détail pour apporter des éléments supplémentaires et complémentaires à l'étude fonctionnelle exhaustive du site.

Le suivi géoarchéologique a été réalisé dans l'implantation de la berme-témoin traversant le carroyage. Quatre colonnes d'échantillonnage (chacune constituée d'un ou deux prélèvements, pour un total de cinq échantillons) y ont été prélevées à des intervalles

réguliers le long de la berme, sur son côté nord. Chaque colonne documente le développement intégral de la stratification selon une approche spatiale. L'emplacement de ces quatre colonnes a été également choisi sur la base à la fois des observations archéologiques et des variations mesurées par la géophysique sur ces niveaux de sol d'occupation. Afin de mieux comprendre les variations spatiales dans le degré d'expression et de développement des sols d'occupation du site, deux prélèvements micromorphologiques supplémentaires ont été par ailleurs réalisés dans le sondage profond (log 2) proche du carroyage. Ici le sol ancien se présentait comme un niveau indifférencié, différemment des sols d'occupation stratifiés fouillés à seulement 2m de distance.

Les niveaux de sols reconnus : approches archéologiques et géo-archéologiques

La fouille fine a permis de reconnaître **4** niveaux de sol d'occupation, sur la base des fines variations de texture ou de structure des sédiments et de composition des couches (**Fig.31**). Des trous de poteau et des structures en creux s'inscrivent dans ces niveaux d'occupation ou se situent à leur périphérie, témoignant de leur fonctionnement synchrone. Ces niveaux sont à mettre en relation avec l'US 2003, qui se présente

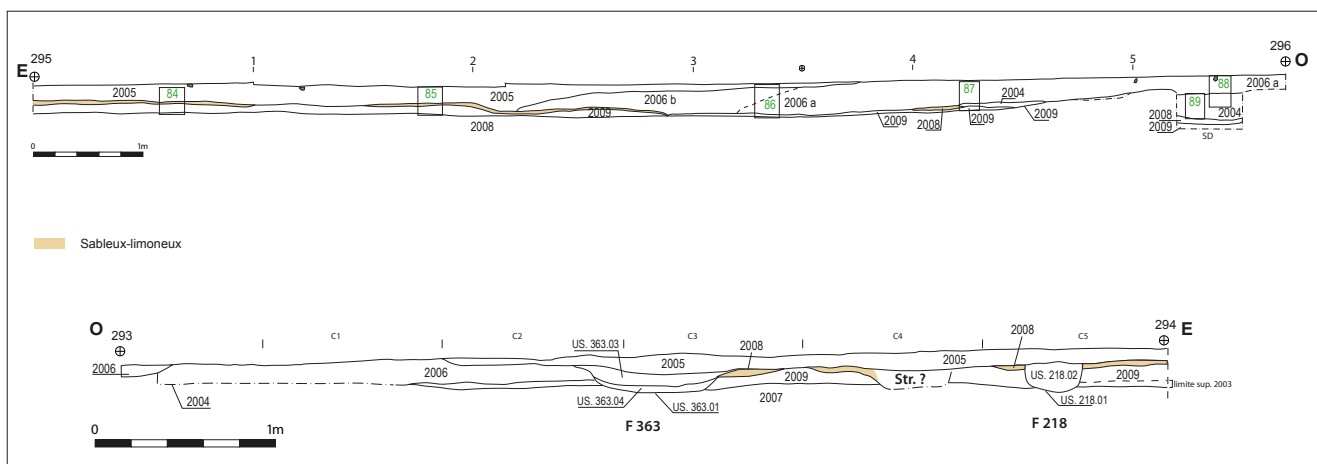


Fig.31 Coupe Est-Ouest et Ouest-Est des sols repérés dans le carroyage (Dessin : V. Cicolani, DAO : D. Beucher, E. Dubreucq)

ailleurs sur le site comme un sol cumulique anthropisé, aux caractères peu différenciés enregistrant toute la vie de l'habitat.

Le niveau le plus superficiel et récent est l'**US 2005**. Il s'agit d'une couche sablo-limoneuse de couleur brun clair à jaune, avec litages peu exprimés composés de sables fins à moyens, compacte. Elle se caractérise surtout par la présence d'un abondant mobilier fragmenté et à plat ou plus rarement en position oblique qui devient de moins en moins dense vers le sud suivant un axe de dispersion nord-sud. La faune, ici particulièrement abondante, est diffuse sur toute la surface et dans l'épaisseur de la couche, associée à des tessons céramiques de petite taille et à des micro fragments de terre cuite épars. Ce niveau d'une épaisseur de 3 à 10 cm, couvre latéralement l'**US 2006**, identifiée exclusivement dans la partie sud-ouest du carroyage et étendue autour de la structure 210, située à la limite occidentale de la zone fouillée par carroyage.

Cette **US 2006**, épaisse jusqu'à 10 cm, est une couche limono-sableuse à sablo-limoneuse, dense, très compacte mais poreuse, de couleur brun-clair à jaune-rouge, hétérogène. Sa limite orientale avec l'**US 2005** est diffuse, marquée notamment par un changement graduel de la nature des résidus d'occupation inclus dans les sédiments. Caractérisée par la présence de nombreuses scories de fer et de bronze de taille millimétrique à centimétriques et de diffus fragments de terre cuite, elle ne présente que de rares restes osseux, la plupart étant piégés dans l'épaisseur de l'**US 2005** sus-jacente. Des variations latérales au sein de l'**US 2006** ont été également observées. D'une part, une concentration majeure de scories de fer et de bronze est visible dans la partie occidentale de la couche (**US 2006a**), en s'approchant de la structure 210 interprétée comme une fosse-atelier. D'autre part, la couleur des sédiments devient graduellement plus claire (brun clair) et la concentration de restes métallurgiques

diminue vers l'est (**US 2006b**). Sa formation semble donc strictement liée à l'utilisation ou à l'abandon de la structure 210.

L'**US 2006** s'étend notamment dans la moitié méridionale du carroyage en demeurant moins présente au nord de la berme. L'ensemble des **US 2005** et **2006** couvre un niveau formé par une succession de deux couches discontinues et conservées de façon localisée : l'**US 2004** et l'**US 2008**.

L'**US 2004** est une couche sablo-limoneuse, de sables fins à moyens, dense et de couleur orange marbrée noir-gris foncé, avec nombreux agrégats brun et jaune de 2-3 mm à 1-5 cm. Ce niveau est apparu après le nettoyage et pendant la fouille de la structure 210. Très compacte et hétérogène, son étendue semblait dans un premier temps se limiter au seul pourtour oriental de la structure. Réduites souvent à l'état de fragments de taille centimétrique et millimétrique, les nombreuses scories de fer et bronze, la présence de battitures, ici prélevées en cours de fouille, et de micro fragments de terre cuite, apparentent ce niveau à un lambeau de sol dont l'utilisation semble en lien avec les activités métallurgiques de la structure 210.

L'**US 2008** est une fine couche lenticulaire discontinue. Il s'agit d'un niveau homogène sablo-limoneux, compact, avec une forte fraction sableuse et légèrement lité, de couleur brun clair à gris. Caractérisé par des inclusions de rares charbons de taille millimétriques, il n'a livré que peu de mobilier, notamment de rares fragments céramiques, quelques scories et surtout de petits nodules et fragments de terre cuite en particulier dans les carrés 1-2 et 6-7.

Enfin, à la base de la séquence, l'**US 2009** a été repérée sur la totalité de la surface fouillée par carroyage. Il s'agit d'une couche homogène limono-sableuse à sablo-limoneuse, de couleur brun foncé. Elle se

caractérisé par la présence de rares fragments millimétriques de terre cuite, concentrés notamment dans sa partie supérieure, et de petits tessons de céramique.

Elle constitue le niveau de base de la stratification archéologique dans ce secteur, car elle couvre l'US 2007. Ce niveau, moins voire peu anthropisé que les successifs, présente des caractères sédimentaires (texture, couleur) proches du substrat alluvio-colluvial de l'US 2007. Sa formation pourrait donc résulter d'un remaniement et d'une transformation du sol d'origine, liés aux premiers épisodes de l'installation du site à l'âge du Fer.

Premier phasage des sols d'occupation et interprétation de la stratification

Bien que concernés par des processus dépositionnels et post-dépositionnels postérieurs à l'abandon du site (par exemple des phénomènes d'érosion mais aussi de recouvrement entraînant une redistribution des résidus de l'occupation dans les niveaux supérieurs ; passage de racines et reprise de la pédogénèse), les sols d'occupation repérés à la fouille demeurent préservés et lisibles. Ils forment une stratification modérément développée et faiblement différenciée avec un apport anthropique différentiel, dont les caractères morpho-sédimentaires et anthropiques ont pu être documentés à travers la mise en place d'une fouille stratigraphique fine.

Ainsi, à la fin de la campagne, quatre phases d'occupation successives ont pu être identifiées sur la base de la séquence stratigraphique documentée grâce au carroyage et à l'approche interdisciplinaire. Ces quatre niveaux ayant été conservés dans l'épaisseur de l'US 2003.

Une première phase d'installation est représentée par l'US 2009 dans laquelle aucune structure n'a

pu être mise en évidence. L'apport anthropique étant limité à la présence de quelques rares tessons; une deuxième phase d'occupation est marquée par les US 2004 et 2008. Dans cette phase deux trous de poteaux (ST 363 et 364) ont été aménagés, recouverts ensuite par le dernier niveau US 2005. Toujours de ce même niveau proviennent une fibule en alliage cuivreux à pied relevé de forme carrée ornée d'une croix incisée et arc à encoches transversales pour accueillir une décor de corail caractéristique du Ha D3 ainsi qu'une aiguille en bronze trouvée plantée dans le carré 9 transperçant les niveaux 2008 et 2009. L'US 2004 est en lien avec les activités métallurgiques de la structure 210 et vraisemblablement avec la phase 1, même si cette information sera précisée une fois la fouille de la structure achevée ; une troisième phase associée à la mise en place de l'US 2006 en lien avec la phase deux de la structure 210 voir avec son abandon et, enfin, une quatrième qui doit probablement être isolée et qui correspond à l'accrétion sédimentaire représentée par l'US 2005. Elle a recouvert et en partie comblé les trous des poteaux 218 et 223, qui dans cet état devaient déjà avoir été abandonnés, leur fond posant sur le niveau géologique US 2007 et son interface US 2009.

Toutefois, ce phasage schématise une dynamique sédimentaire en réalité plus complexe et probablement continue, dont les rythmes et la nature sont difficiles à appréhender sur le terrain en raison des caractères peu différenciés des couches. Les litages et le mobilier à plat, qui rythment localement l'accrétion sédimentaire, tout en suggérant la présence de niveaux de circulation, ne permettent pas encore d'identifier avec précision les sources de cette sédimentation; ainsi les dynamiques de formation des sols d'occupation demeurent, malgré tout, encore peu lisibles et méritent dès la prochaine campagne d'être étudiées plus de près en appliquant ce même protocole et à la lumière des premiers résultats qui seront issus de l'étude des lames minces.

En effet, l'identification de la séquence de niveaux de sol conservés met en exergue l'intérêt de la mise en place d'une fouille fine couplée à un étude géoarchéologique fondée sur la micromorphologie et la mise en œuvre de relevés géophysiques réguliers. L'aller-retour entre les observations archéologiques et géoarchéologiques de terrain, l'analyse en lame mince et les résultats des prospections géomagnétiques réalisées au même temps que la fouille (cf. infra Sanchez) devra permettre, à terme, de mieux appréhender la stratification du site et donc de mieux comprendre son histoire, en renouvelant les questionnements relatifs aux modes d'occupation de l'agglomération de Bragny.

2.1.2. LA FOSSE ATELIER 210 (E. D., J. B.)

Située en bordure de la berme sud-ouest à proximité immédiate des carrés 1, 6, 15 et 16, une fosse quadrangulaire aux angles arrondis a été partiellement fouillée cette année (**Fig.33**).

2.1.2.1. MÉTHODES DE FOUILLE ET DESCRIPTION

Si une interprétation en tant que fosse atelier est désormais proposée (cf. infra), notons que lors de sa découverte, elle se présentait dans son dernier état sous la forme d'une structure en creux bien rectangulaire (**Fig.32**).

Il a donc été décidé de la fouiller par quarts opposés selon deux axes orientés sud-nord et ouest-est. Lorsqu'elles étaient lisibles en plan, les structures en creux présentes dans cet ensemble (essentiellement des trous de poteaux) ont été coupées en deux et fouillées par moitié. Comme ailleurs sur le site, il n'a pas toujours été évident de les distinguer avec précision et il s'est avéré parfois que leur distinction ne soit perçue qu'à posteriori en coupe ou à travers de gros fragments de céramiques, restes de leur calage. Si nous avons



Fig.32 Fosse rectangulaire 210.03 lors de sa fouille (Photo : L. Belhade)

pu remobiliser la documentation pour ne pas perdre d'informations, un certain nombre d'oublis ont d'ores et déjà été constatés, notamment à propos des prélèvements. Bien qu'un prélèvement ait bien été effectué pour mieux documenter le dernier état de la structure (US 210.03), aucun autre n'a été réalisé dans les couches recouvrant le niveau 210.05 que nous allons détailler ensuite, rendant notamment la recherche de battitures fortement compromise. Nous la tenterons lors du démontage de cette couche en 2023, que nous effectuerons selon un carroyage fin, probablement de 25 cm, en espérant que des micro-particules de métal y aient été piégées. Les prélèvements réalisés dans le carroyage, notamment dans les carrés adjacents la structure permettent néanmoins d'avoir une idée du degré de "pollution" par surreprésentation de micro-scories et battitures du sol en lien avec l'activité de l'atelier (US 2004 et US 2006).

Comme nous l'indiquons plus haut, à la fin de la campagne, la probable fosse-atelier mesurait environ 2,40 x 1,50 m pour une profondeur atteinte de 0,40 m. Il est possible que la limite sud évolue quelque peu car elle est en bord de berme et possiblement recoupée par F 322, non abordée durant cette année.

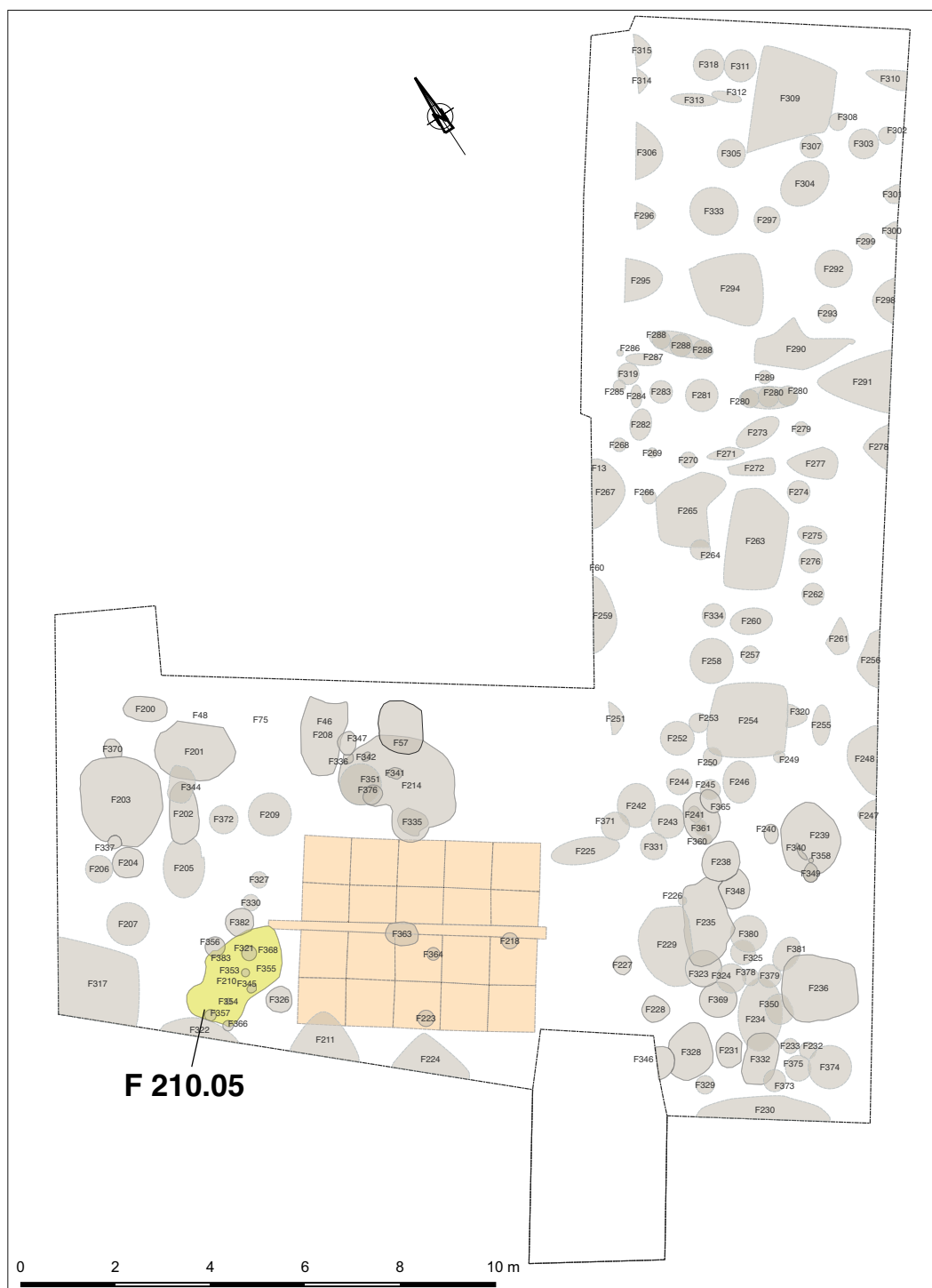


Fig.33 Situation de la fosse-atelier 210.05 au sein du secteur 2 (E. Dubreucq)

La fouille s'est arrêtée sur la couche 210.05, niveau induré à la surface irrégulière qui constitue un aménagement modelé à partir d'un sédiment sablo-limoneux à grain moyen de couleur brun-grisâtre tacheté orangé, hétérogène et compacte, localement plus carbonneux (Fig.34).

Remarquons que des morceaux d'argile blanche crue ont été trouvés posés sur ce sol dans l'angle sud-ouest de la fosse (Fig.35).

Si l'on détaille un peu plus ce niveau, on a d'abord repéré en relief une surface plane, de forme quadrangulaire aux angles arrondis, disposée au centre de la



Fig.34 Vue d'ensemble du niveau 210.05 (Photo : L. Belhade)

fosse dans sa partie la plus profonde. Elle mesurait 0,5 X 0,4m pour une hauteur évaluée entre 0,2 et 0,3 m, disposant de gros morceaux de céramiques pris dans sa structure (Fig.36).

D'autres aménagements ont été modelés eux aussi (Str. 352) et situés le long de la bordure nord-est : un creusement circulaire au fond plat et aux bords évasés (diam : 0,2 m pour une profondeur de 6 cm), prolongé d'un canal placé en oblique (0,20 x 0,04 m) et de plusieurs bourrelets situés à la suite de ce dernier (Fig.37).



Fig.35 Vue de détail sur un fragment d'argile blanche trouvé lors de la fouille du niveau 210.05 (Photo : L. Belhade)

Enfin, ce niveau remonte pour former les bords de la fosse rectangulaire qui sont obliques sur les côtés est, sud et nord et droit sur le versant ouest. Notons que ces bords côté nord-est sont en lien direct avec l'US 2004, niveau de sol riche en déchets métallurgiques, notamment de petits fragments de scories, attestant du piétinement de la zone.

Parallèlement, trois groupes de trous poteaux semblent avoir été aménagés en lien avec l'US 210.05, profitant pour partie des reliefs du niveau induré (Fig.38). Un premier groupe de deux trous de poteau (TP 353, 354) est situé respectivement aux angles sud et ouest de la plateforme quadrangulaire décrite précédemment, et ayant un diamètre similaire d' environ 0,20-0,25 m.

Quatre autres trous de poteaux étaient placés non



Fig.36 Vue sur le niveau 210.05 et plus particulièrement sur l'aire quadrangulaire centrale et l'aménagement 252 (Photo et DAO : E. Dubreucq)



Fig. 37 Vue de détail sur le niveau 210.05 et plus particulièrement sur l'aménagement 252, vue depuis l'Est (Photo : E. Dubreucq)

loin des bords de la structure (TP 356, 357, 366, 368) avec des diamètres d'environ 0,40 m (Fig.38). Les poteaux 357 et 368 étaient situés respectivement au centre des bords sud et nord de la fosse, alors que le poteau 356 était au centre du bord ouest. Le poteau 366 est quant à lui placé à l'angle sud-est de la fosse.

En outre, dans la moitié nord de la structure, plusieurs de ces trous de poteaux comprenaient des fragments de panses de céramiques dans leurs comblements, restes probables des calages (TP 353, 356, 368) (Fig.38).

C'est aussi le cas pour deux autres trous de poteaux dont la fouille n'a pas été finalisée (TP 383 et 355) situés de part et d'autre du dispositif en relief composé des bourrelets et du canal décrit plus haut. D'un diamètre de 0,25 m, ils pourraient peut-être renvoyer au premier groupe (TP 353 et 354).

Enfin, deux derniers trous de poteaux situés sur les abords extérieurs nord et est de la structure (TP 382 et 326) ont des

diamètres plus importants d'environ 0,50 m (Fig.38). Si l'un (TP 382) s'appuie sur le retour de la fosse 210.05, l'autre est par contre extérieur à la fosse elle-même. Leur dimension commune nous pousse à les associer. Il est possible que nous changions d'avis en 2023 lorsque nous finirons la fouille de cet ensemble.

L'US 210.02 recouvre ensuite le niveau induré 210.05 et comble l'ensemble de la structure 210 tandis que les poteaux intérieurs (F 353, 354, 356, 357, 366, 368) sont encore partiellement en place (Fig.39). Cette couche sablo-limoneuse de couleur brun grisâtre, d'aspect hétérogène avec de petites poches de sable jaune est riche en mobilier (scorie, parois de four, métal, faune, déchets de bronze, céramique, meule et argile blanche).

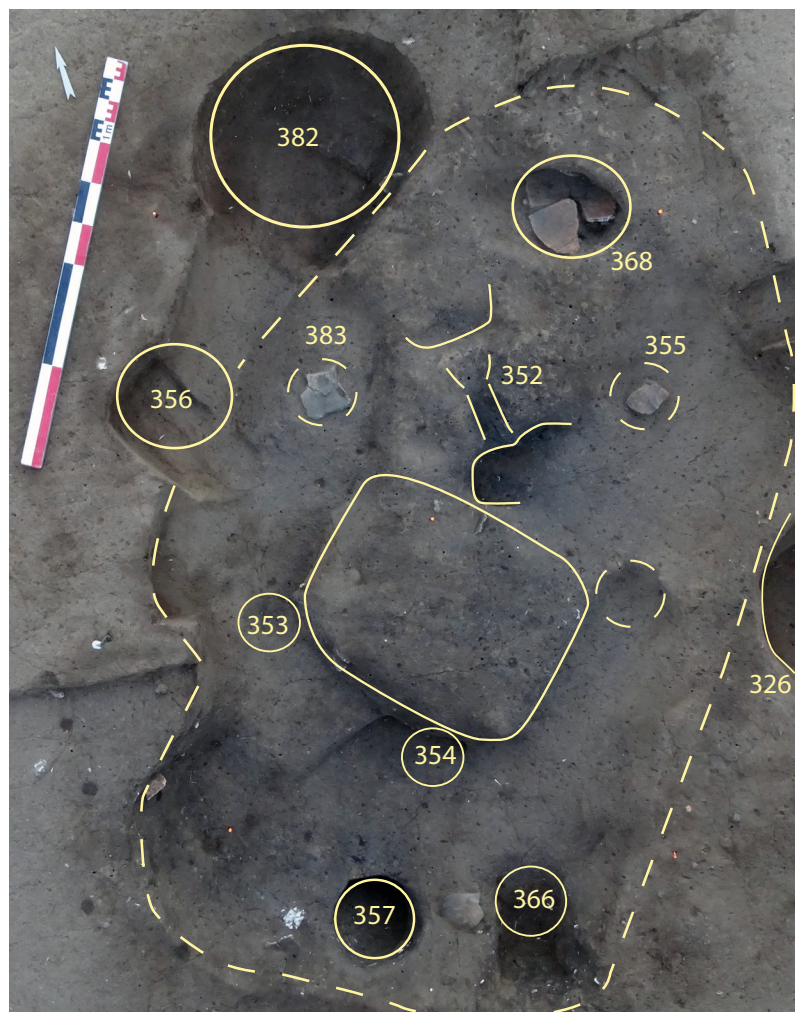


Fig. 38 Situation des divers poteaux en lien avec le niveau 210.05 (Photo : E. Dubreucq)

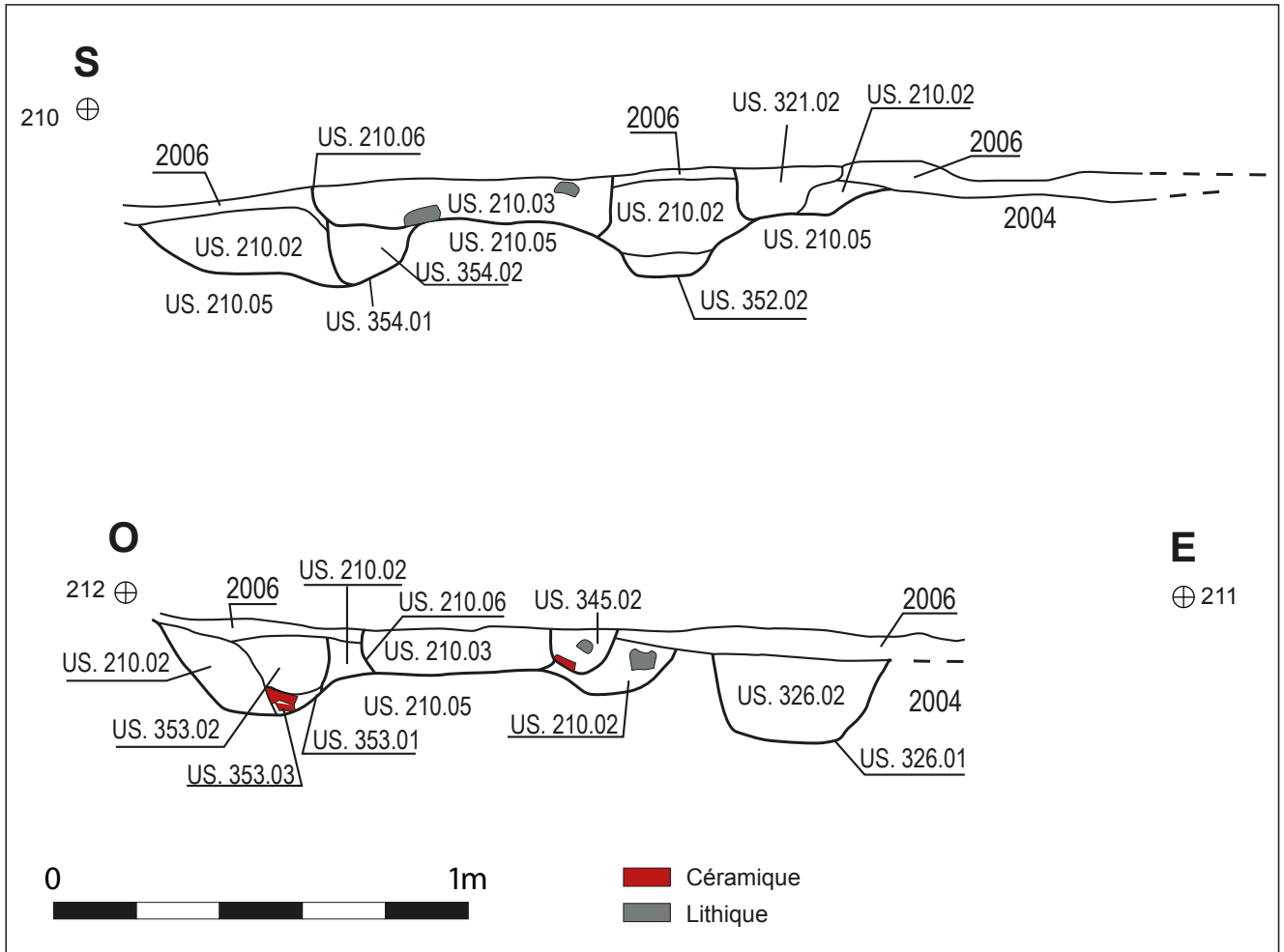


Fig.39 Coupe Sud-Nord et Ouest-Est des structures 210 et autres niveaux associés (Dessin : L. Belhade, DAO : D. Beucher, E. Dubreucq)

De gros fragments de charbons ont été aussi repérés et prélevés dans l'angle sud-ouest de la fosse. Ce niveau marque une étape d'abandon de la structure.

Vient ensuite un niveau de sol, l'US 2006 décrit plus haut qui scelle l'ensemble y compris les trous de poteaux aux abords de la fosse (TP 384 et 326)(Fig.39).

Puis un nouvel aménagement est réalisé par creusement d'une fosse de forme rectangulaire (US 210.06) mesurant 0,64 x 0,48 m de côté (Fig.40). Elle recoupe l'US 2006 et partiellement 210.02, sur une profondeur de 10 à 20 cm (Fig.39), tout en se superposant à l'aménagement quadrangulaire de l'US 210.05 bien que le rectangle ne soit pas de même orientation. Un trou de poteau (TP 321) d'un diamètre de 0,30 m, situé au nord de ce dernier semble en lien avec celui-ci car il coupe

également l'US 2006 et 210.02 (Fig.40).

La fosse 210.06 est ensuite comblée par une couche sablo-limoneuse de couleur brun foncé à noir (US 210.03), elle aussi riche en mobilier (scorie, faune dont deux mandibules quasi complètes et de la céramique). Le poteau 321 est probablement comblé au même moment par un sédiment de couleur noire-grisâtre, meuble et homogène.

Enfin, recoupant à la fois le creusement 210.06 et le comblement 210.03, ainsi que l'US 2006, un dernier trou de poteau (Str. 345) est aménagé sur le bord est de la structure rectangulaire (Fig.40).

Mesurant 15 cm de diamètre, pour une profondeur de 12 cm, il est comblé par une couche sablo-limoneuse gris-brun bleutée avec de petites poches de sable jaune

(US 345.02), caractérisée par la présence de fragments de scories et de faune. Un tesson de céramique tapisse le fond du poteau, là encore possible reste de calage.

2.1.2.2. INTERPRÉTATION

A l'état actuel de la fouille, trois phases différentes ont été différenciées dans ce secteur (**Fig.41**) : une première liée au fonctionnement de la fosse-atelier, en relation avec le sol 2004, repéré lors de la fouille en carroyage, abandonnée, puis scellée par le niveau 2006. Un second état qui correspond au réaménagement et à l'abandon d'une fosse rectangulaire associée à un poteau et enfin un dernier état perçu pour le moment à travers le seul trou de poteau 345, lié possiblement au niveau de sol 2005, et qu'il s'agira de corrélérer avec d'autres structures repérées dans les environs mais non fouillées.

Le premier état distingué est celui qui nous intéresse tout particulièrement car il constitue un

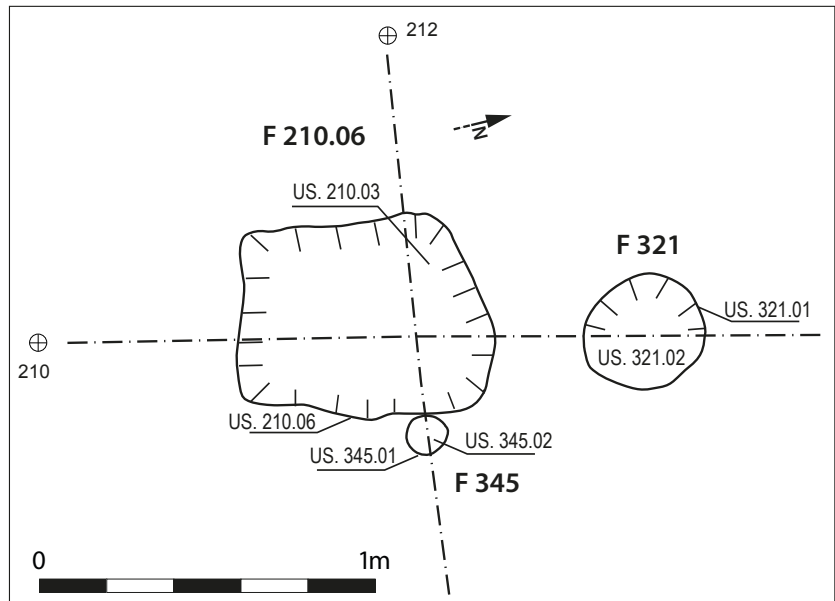


Fig.40 Plan de F210.06, 321 et 345 (Dessin : L. Belhade, DAO : D. Beucher, E. Dubreucq)

ensemble architectural tout à fait original à Bragny. Revenons d'ailleurs sur la possible interprétation de cet ensemble : le support quadrangulaire central et ses aménagements périphériques en creux pourraient rappeler une aire de travail pour la mise en place d'un établi/enclume posée sur la partie rectangulaire aplatie, associée à une petite aire de chauffe (structure circulaire) et un possible système de soufflerie (canal pour l'emplacement d'une tuyère et bourrelets pour maintenir et protéger un système de ventilation de type

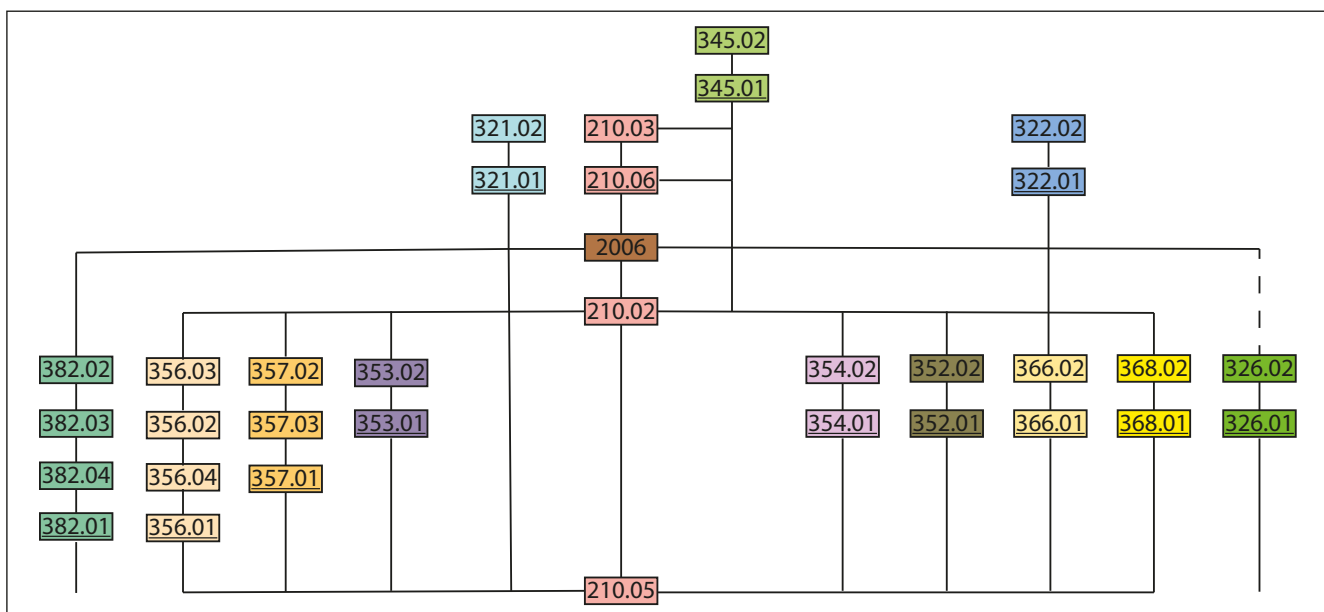


Fig.41 Diagramme de Harris résumant la stratigraphie de la fosse-atelier 210 et des structures associées (DAO : L. Belhade, E. Dubreucq)

soufflet)(**Fig.42**). L'interprétation d'un foyer dans ce secteur repose sur la concentration de cendres/charbons trouvés dans le comblement de F 352, bien qu'il n'y ait pas de forte rubéfaction sur le niveau 210.05. Ce foyer aurait en effet pu faire l'objet d'une mise en forme à part, comme c'est souvent le cas à cette période avec une sole rubéfiée démontée et nettoyée au moment de l'abandon de la structure.

Morphologiquement cette fosse se distingue des autres fosses ovalaires, quadrangulaires de grandes dimensions généralement perçues dans l'agglomération (Feugère, Guillot 1986 ; Flouest 1992 ; Dubreucq et al. 2021). Elles sont la plupart du temps plus profondes (en moyenne 0,6 m en 2021) pour 40

cm ici. De plus, elles ne disposent pas d'aménagements modelés aussi spécifiques. A titre d'exemple, La structure 29, fouillée en 2021, avait livré des niveaux stériles apportés volontairement, et interprétés pour l'instant comme des possibles aménagements de banquettes (US 1215) mais elle n'était pas caractérisée par la présence de sol ou bourrelet plus finement agencés. On a donc une véritable différence de morphologie qui pourrait laisser supposer d'une fonction spécifique (non domestique semble-t-il). Bien entendu, l'aire de travail centrale avec une probable zone de chauffe aménagée nous pousse à l'interpréter comme une fosse-atelier. L'argile crue, les nombreux petits fragments de scorie, déchets de bronze trouvés soit sur le sol 2004 à proximité, soit

sur le sol 210.05 ou le niveau d'abandon (210.02) juste au-dessus, constituent autant d'indices qui nous invitent à interpréter cette structure complexe comme un possible atelier de métallurgistes, peut-être polymétalliques, travaillant à la fois les alliages cuivreux et le fer comme c'est le cas par exemple à Sévaz-Tudinges en Suisse (Mauvilly et al. 1998). Si l'on revient à la morphologie proprement dite de la fosse, on peut en revanche la comparer avec un autre exemple inédit, issu de la fouille menée par J.-L. Flouest en 1989 (**Fig.43**). Il s'agit de la structure BN 20, qui mesure près de 6 m de long, munie de dispositifs proches du point de vue des aménagements de poteaux. De surcroît ici un four encore en place composé d'argile cuite aménagée en arc de cercle était présent dans l'angle sud-ouest de la fosse.

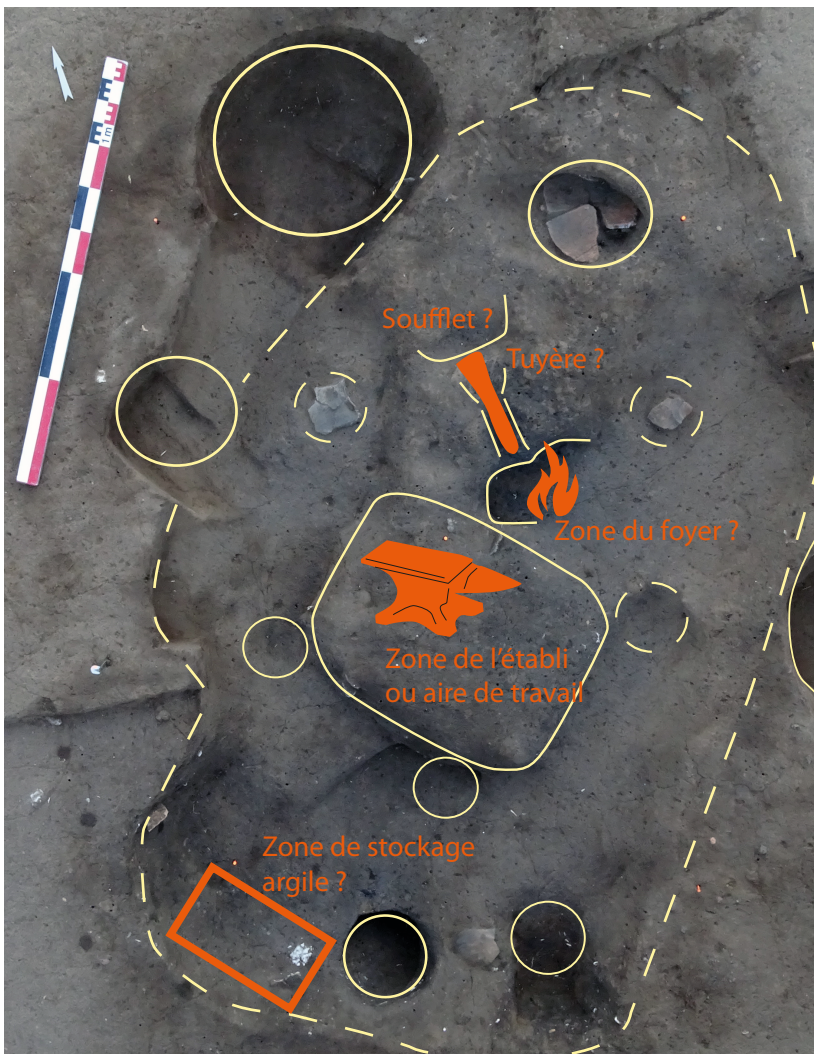


Fig.42 Interprétation possibles des espaces dans la fosse-atelier (DAO : E. Dubreucq)

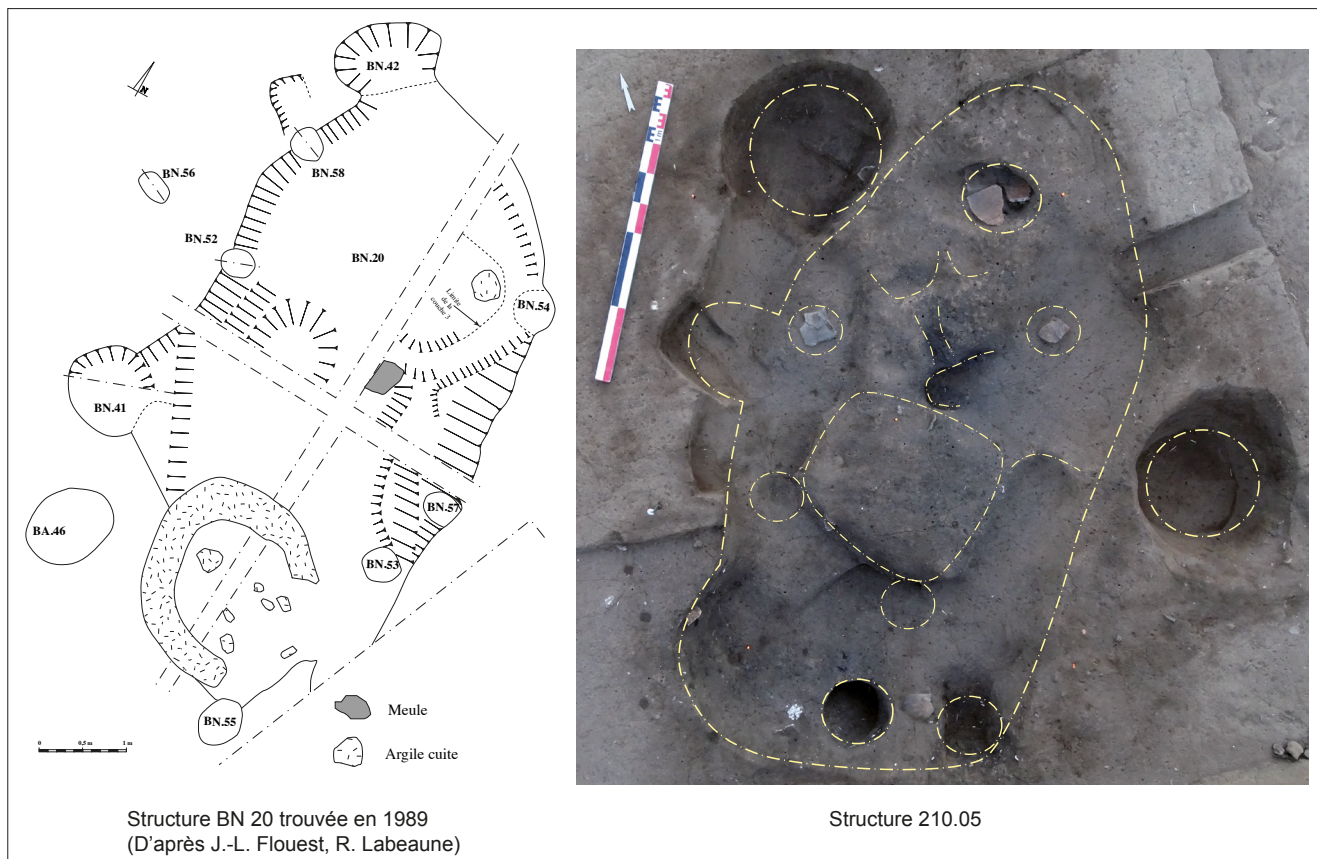


Fig.43 Comparaisons entre la structure BN20 et la fosse-atelier 210.05. Échelles différentes (DAO : E. Dubreucq d'après Flouest, Labeaune)

2.1.3. DES DÉPÔTS VOLONTAIRES D'OBJETS MÉTALLIQUES (E. D.)

Une semaine environ avant la fin du chantier, la fouille d'une petite fosse ou trou de poteau (Str. 332) située le long de la berme dans l'angle sud-est a permis la mise au jour de deux dépôts d'objets métalliques, abandonnés de façon volontaire.

C'est le dépôt d'outils en bronze et en fer (dit dépôt 1) qui est apparu le premier, situé à peu près au milieu de la structure, ce qui a permis de réaliser une coupe en cours de fouille. En descendant dans la moitié fouillée, le second dépôt est apparu placé dans un alignement légèrement différent du premier. Ce dépôt (dit le dépôt 2) est celui d'une crémaillère.

Notons que la fouille a dû être réalisée rapidement, sur une seule journée (en 15h) afin de ne pas

laisser sécher ce dépôt métallique exceptionnel, surtout par temps de canicule, et d'éviter un possible pillage, d'autant qu'un article sortait le même jour dans le journal local. D'un point de vue méthodologique, après la réalisation d'une coupe, il a été décidé de fouiller les deux ensembles en plan et de les prélever au plus vite. Avant le prélèvement, une photogrammétrie a été également réalisée. Les prélèvements ont été effectués en bloc avec un peu de sédiments sous chaque dépôt pour pouvoir vérifier la présence ou non de matériaux organiques lors de leur nettoyage en laboratoire (**Fig.44**). Ils ont été enveloppés de cellophane et entourés de terre du dépôt pour maintenir un peu d'humidité et éviter un séchage trop rapide.

Ils sont désormais pris en charge par M. Bernard du pôle restauration d'Eveha qui devrait réaliser courant janvier un nettoyage pour étude et vérifier la présence de matières organiques, avant une stabilisation.



Fig.44 Prélèvements en cours des deux dépôts (Photo : L. Picot, DAO : E. Dubreucq)

Si lors de la fouille en plan, nous avons la certitude d'avoir clairement deux dépôts dans des contenants organiques séparés en raison de l'aspect contraint de chaque ensemble et de la distance les séparant, nous n'avions pas clairement saisi s'ils avaient été placés en même temps dans la fosse 332 ou s'ils résultaient de deux gestes non simultanés (Fig.45).

En effet, ils ont été mis au jour à peu près sur le même niveau au moment de la fouille et sans que nous puissions différencier clairement les couleurs/textures de sédiments les englobant, nous avons la sensation qu'il s'agissait d'un seul et même dépôt.



Fig.45 Dépôts juste après leur dégagement (Photo : E. Dubreucq)

La reprise de la documentation, notamment des photos de la première coupe en cours de fouille, nous permet de réviser cette première impression (Fig.46).

En effet, même si elle est partielle, cette coupe atteste la présence d'au moins deux comblements principaux (US 332.03 et 332.06) qui n'ont pas été clairement perçus lors de la fouille en plan.

La petite fosse ou trou de poteau (332.01) de forme ovale et mesurant environ 0,7 X 0,65 m de diamètre, est en effet comblée par un sédiment sablo-limoneux de couleur brun-foncé meuble (US 332.03) dans lequel le dépôt de la crémaillère a été réalisé (dépôt dit 2, US 332.04) (Fig.47).

Une autre petite fosse ou trou de poteau semble ensuite avoir été recreusée (US 332.05) sans recouper l'ustensile déjà déposé, pour y installer le second



Fig.46 Coupe NE-SO du dépôt d'outils dit n°1-US 332.02 avec une mise en évidence de deux fosses/trous de poteau contenant les deux dépôts et la structure 234 (Photo : H. Fouillat, DAO : E. Dubreucq)

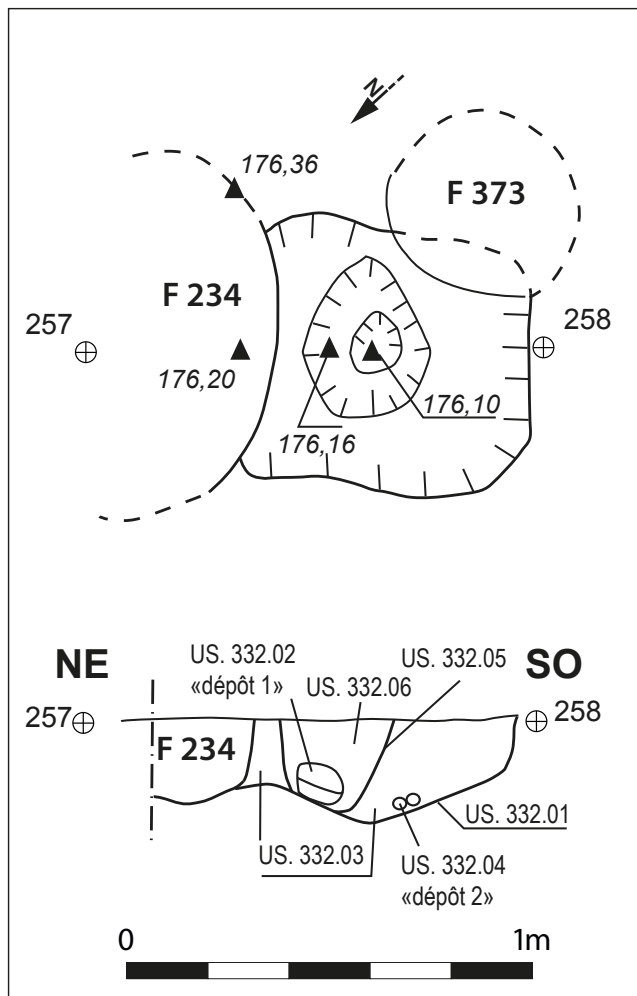


Fig.47 Plan et coupe NE-SO des structures 332 (Dessin : H. Fouillat, DAO : D. Beucher, E. Dubreucq)

dépôt (dit le dépôt 1-US 332.02) (**Fig.47**). Cette dernière mesure environ 0,35 m de large pour une profondeur de 0,25 m, et aux parois évasées. Elle est comblée par un sédiment sablo-limoneux brun-clair avec de nombreuses poches de sable jaune (332.06) qui vient recouvrir le second dépôt d'outil.

Ainsi, ce sont au moins deux épisodes de déposition différents qui ont pu être repérés dans cette petite fosse 332 dont la situation à proximité d'un regroupement de trous de poteaux et de fosses quadrangulaires pourrait indiquer qu'il était situé en plein cœur d'un îlot d'habitation, sans marquage apparent désormais. Notons d'ailleurs que la fosse a été recoupée au sud-ouest par la structure 373 et au nord par 234.

2.2. STRUCTURE DU SECTEUR 3 (V. C., J. B., A. P.)

2.2.1. CONTEXTE GÉNÉRAL

Parallèlement à la poursuite des fouilles au cœur de l'habitat, dans la parcelle ZL 86, il a été également décidé d'entreprendre les premiers sondages en dehors de son emprise présumée. Ce choix a été motivé pour répondre à deux objectifs principaux : il s'agissait d'une part, de compléter le profil pédo-sédimentaire de l'agglomération en réalisant un sondage géoarchéologique (Log 3) sur le versant situé en amont et à l'extérieur de cette dernière, et d'autre part, de mieux évaluer son organisation spatiale, notamment sa possible extension vers le nord, en contrebas du petit plateau qui domine la plaine alluviale de la commune de Bragny-sur-Saône.

En effet, la cartographie des anomalies géophysiques produite pour la commune de Bragny-sur-Saône (Sanchez 2020) avait mis en évidence une occupation certes plus lâche au nord de la parcelle ZL 86 et du chemin de la Faux, mais tout de même présente. Elle se manifeste par des anomalies négatives et positives de formes particulières dont une linéaire s'étendant en direction est-ouest, discontinue et doublée dans son segment oriental par une deuxième anomalie linéaire (**Fig.48**). Ce profil, caractéristique des structures de type fossé, n'a pas pu être détecté sur toute sa longueur et son interruption sur une longueur d'environ 60 m pose question, compte tenu de la présence d'un petit nombre d'anomalies dipolaires dans cette espace « vide », mais également d'autres structures en creux de type fosse et enclos circulaire se situant à quelques mètres au nord du supposé fossé.

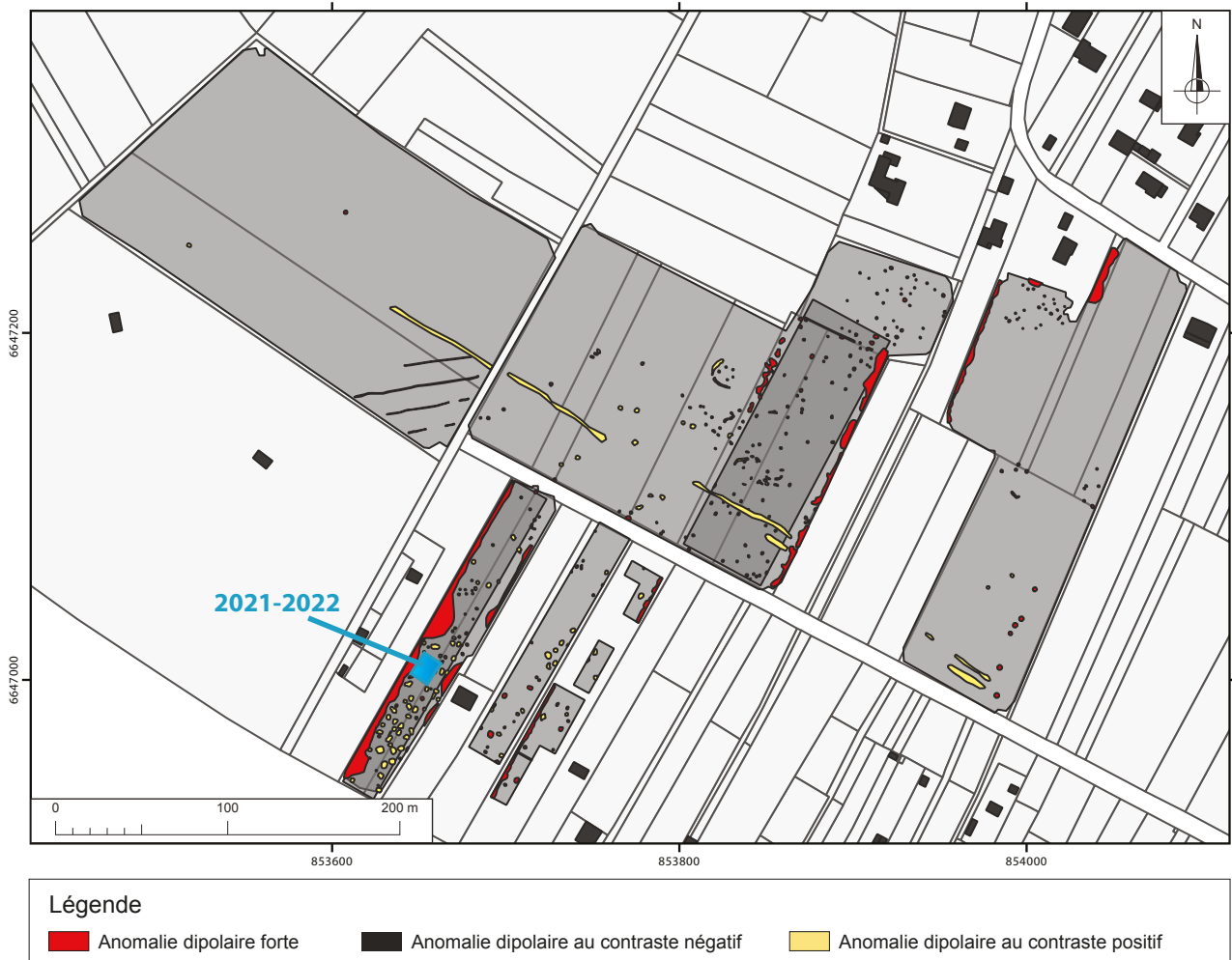


Fig.48 Carte des anomalies magnétiques (d'après Sanchez 2020)

2.2.2. STRATÉGIE DE FOUILLE

Partant de ces constats et avec la volonté de pouvoir répondre à ces deux objectifs scientifiques majeurs, le secteur 3 a été implanté à 10 m au nord du chemin de la Faux et à 100 m du secteur 2, dans la parcelle ZL 93, recouvrant transversalement un segment de l'anomalie linéaire (Fig.49).

Cet emplacement a permis à la fois de procéder au sondage géoarchéologique semi profond déjà planifié et de vérifier par la même occasion la nature de cette anomalie, du moins sur une petite fenêtre d'observation.

À l'aide d'une pelle mécanique avec un godet lisse de 2 m de largeur, une fenêtre de diagnostic de 5 m de large et 10 m de long a donc été ouverte, pour une emprise globale de 70 mètres carrés environ. Le décapage, réalisé du nord vers le sud, a facilité l'enlèvement par passes de 10 à 20 cm des niveaux arables puis d'un épais niveau de colluvionnement subjacent fortement bioperturbé mais qui a partiellement préservé le toit supérieur de l'anomalie linéaire. Visible à partir de 0,60 m de profondeur, elle était encaissée dans un substrat limono-sableux de couleur brun-jaune proche des US 1002 et 2002 de la parcelle ZL 86, mais ici légèrement plus argileux. Un nettoyage manuel de l'ensemble de l'emprise en cours de décapage associé à l'usage d'un détecteur à métaux a été mis en œuvre pour faciliter la

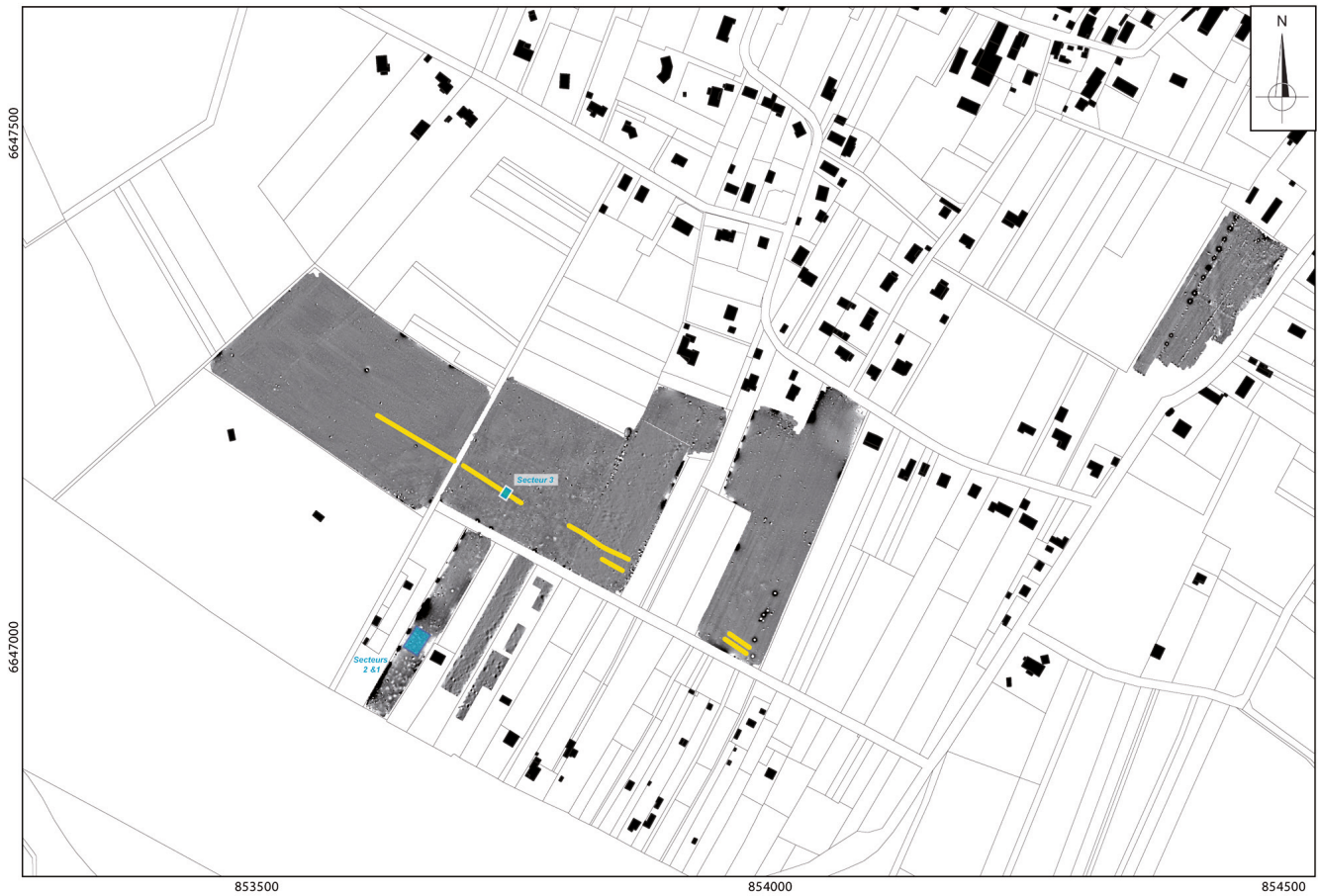


Fig.49 Plan avec la localisation des secteurs 2 et 3 et de l'anomalie linéaire (Fond : C. Sanchez, DAO : V. Cicolani)

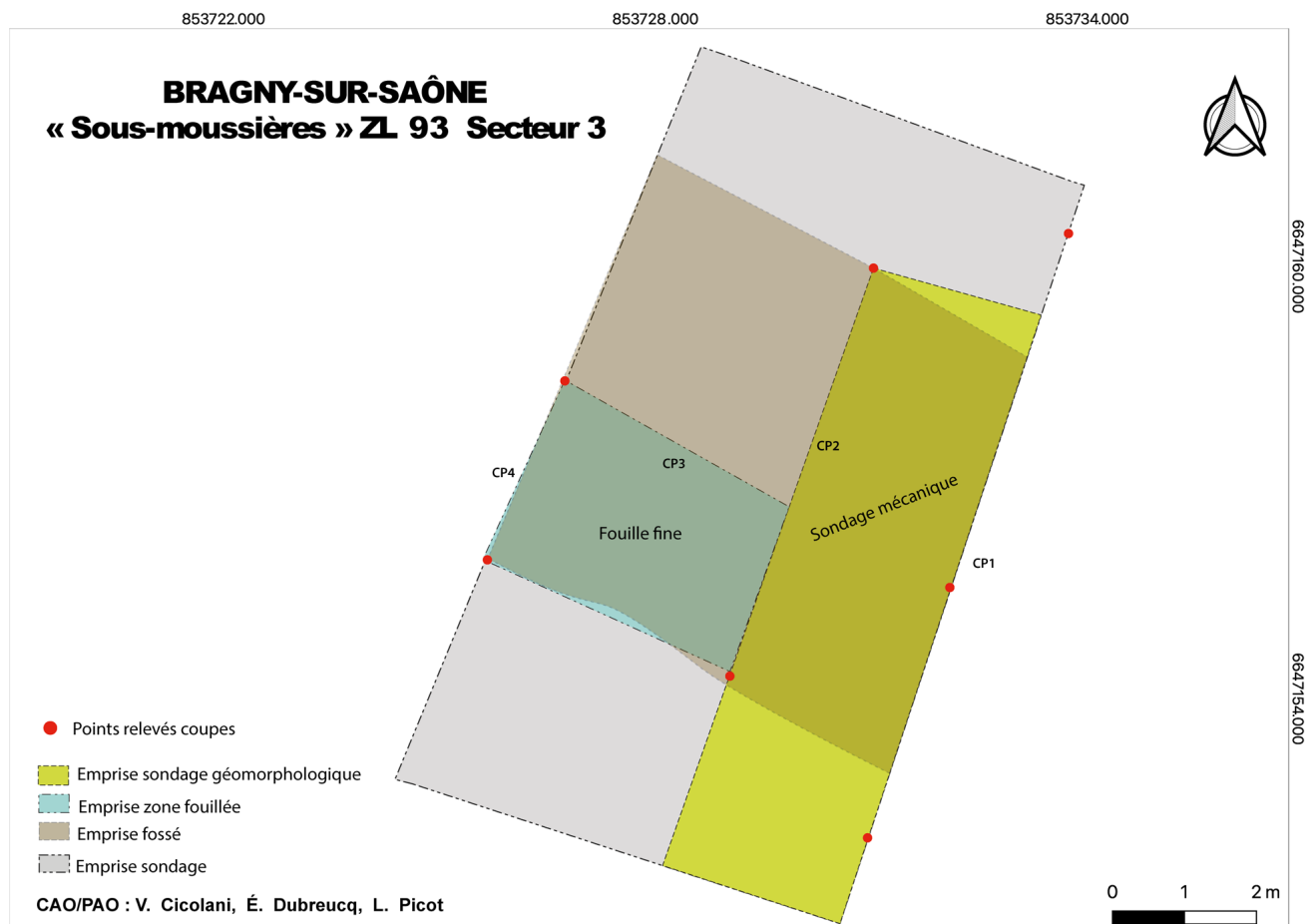


Fig.50 Plan général du secteur 3 avec l'indication des surfaces fouillées et documentées (Plan : L. Picot, DAO : V. Cicolani).



Fig.51 Photo de la structure Str. 400, après la réalisation du log mécanique et nettoyage (Photo : V. Cicolani)

lecture de ce contexte sédimentaire très complexe et repérer la présence éventuelle de fosses et /ou trous de poteaux potentiellement associés à l'anomalie linéaire. Une fois l'anomalie individualisée sous la forme d'un tracé linéaire orienté ouest-est avec une légère inclinaison nord-ouest/sud-est, un sondage plus profond a été réalisé mécaniquement pour atteindre les niveaux géologiques et obtenir une séquence sédimentaire complète du secteur extra-urbain (Fig.50).

Ceci a également permis d'observer rapidement le profil et toute la séquence sédimentaire naturelle et anthropique de la structure, qui s'est révélée être un imposant fossé.

Compte tenu de la nécessité de caractériser et dater la structure, tout en devant faire face aux temps relativement courts de la campagne de fouille et au nombre réduit d'étudiants mobilisables, la stratégie mise en œuvre a visé la fouille manuelle d'un quart du fossé. Le segment a été sélectionné dans la moitié ouest de l'emprise, non affectée par le log, et décapée jusqu'au toit de son comblement supérieur US 400.05 (Fig.50 et Fig.51).

Ceci a permis d'obtenir deux coupes supplémentaires selon les axes nord-sud et ouest-est donnant lieu à

une documentation complète du fossé, selon ses profils longitudinal et transversal, de récupérer du mobilier en position stratigraphique et d'effectuer des prélèvements ciblés dans le but de caractériser les aspects fonctionnels de cette imposante structure : prélèvements pour des analyses carpologique et micromorphologiques ainsi qu'un prélèvement destiné à une datation C¹⁴ (cf. *Infra* et annexes).

La fouille a été réalisée en équipe réduite, grâce au concours de quatre étudiants (Fig.52) encadrés par Veronica Cicolani et avec la collaboration de Jérôme Brenot en charge du Log 3. Elle s'est déroulée pendant trois jours du 21-22 au 25 juillet 2022. La documentation cartographique a été assurée par Laurine Picot encadrée par J. Soichet et les prélèvements micromorphologiques faits par Alessandro Peinetti. Au total, une surface d'environ 8 m² a été fouillée, 7 m³ de terre enlevés, quatre coupes relevées et 19 prélèvements réalisés.

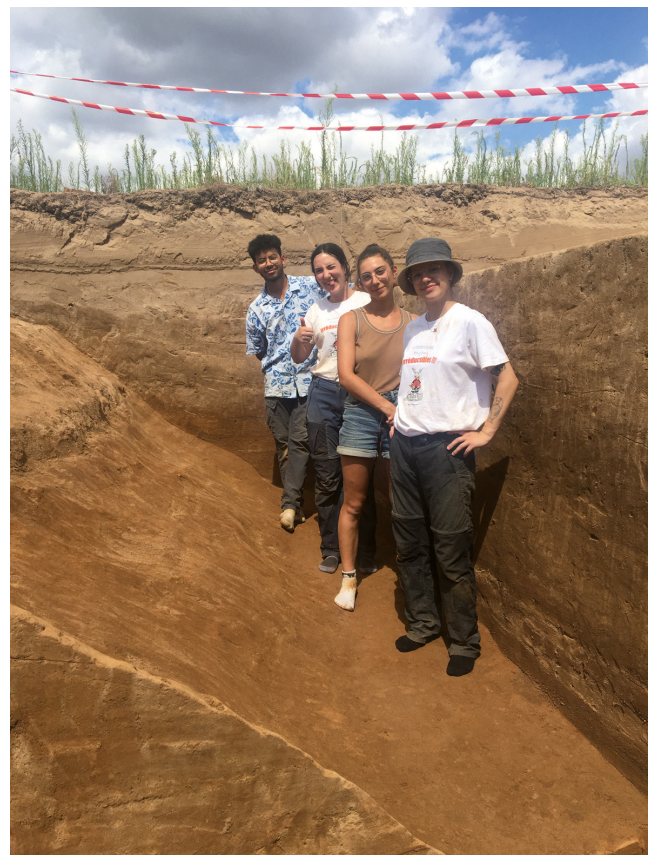


Fig.52 Equipe de fouille du fossé (V. Cicolani)

2.2.3. DESCRIPTION DE LA STRUCTURE STR. 400

La structure Str. 400 est un fossé d'une largeur conservée de 6 m sur les 8 m d'ouverture réalisée à la pelle mécanique pour le sondage géoarchéologique et d'une profondeur de 1,70 m dans son point le plus profond (**Fig.54**). Elle a pu être fouillée manuellement sur une longueur de 3,6 m selon une orientation ouest-est, une largeur de 2,4 m et une hauteur de 1,70 m. En plan, le tracé du fossé est rectiligne aux bords diffus en raison des remaniements et de phénomènes locaux d'érosion dus aux actions post-dépositionnelles de colluvionnement et illuviation ainsi qu'à la mise en culture des remblais supérieurs, non archéologiques. Ceci a donc empêché de restituer avec précision la largeur maximale et supérieure du fossé.

2.2.3.1. ASPECTS GÉOARCHÉOLOGIQUES

En effet, le fossé est recouvert par un niveau de colluvions anthropisées épaisses de 0,6 m à 0,8 m d'épaisseur, formées par sédimentation de sables limoneux, lessivés dans sa moitié supérieure et avec des liserés plus argileux, bruns, concentrés dans la moitié inférieure par les processus de percolation et d'illuviation associée (US 3001) (**Fig.53**).

La structure tronquée par des colluvions historiques a été creusée dans un sédiment limono-sableux finement argileux de couleur orange, très compact, massif et homogène avec une concentration de la fraction argileuse plus importante dans la moitié inférieure, semi-sec à humide vers le fond (US 3002). Le toit supérieur de ce substrat à dominante argileuse qui est apparu au fond du sondage constitue donc le fond du fossé qui est plat. L'humidité de ce substrat serait à

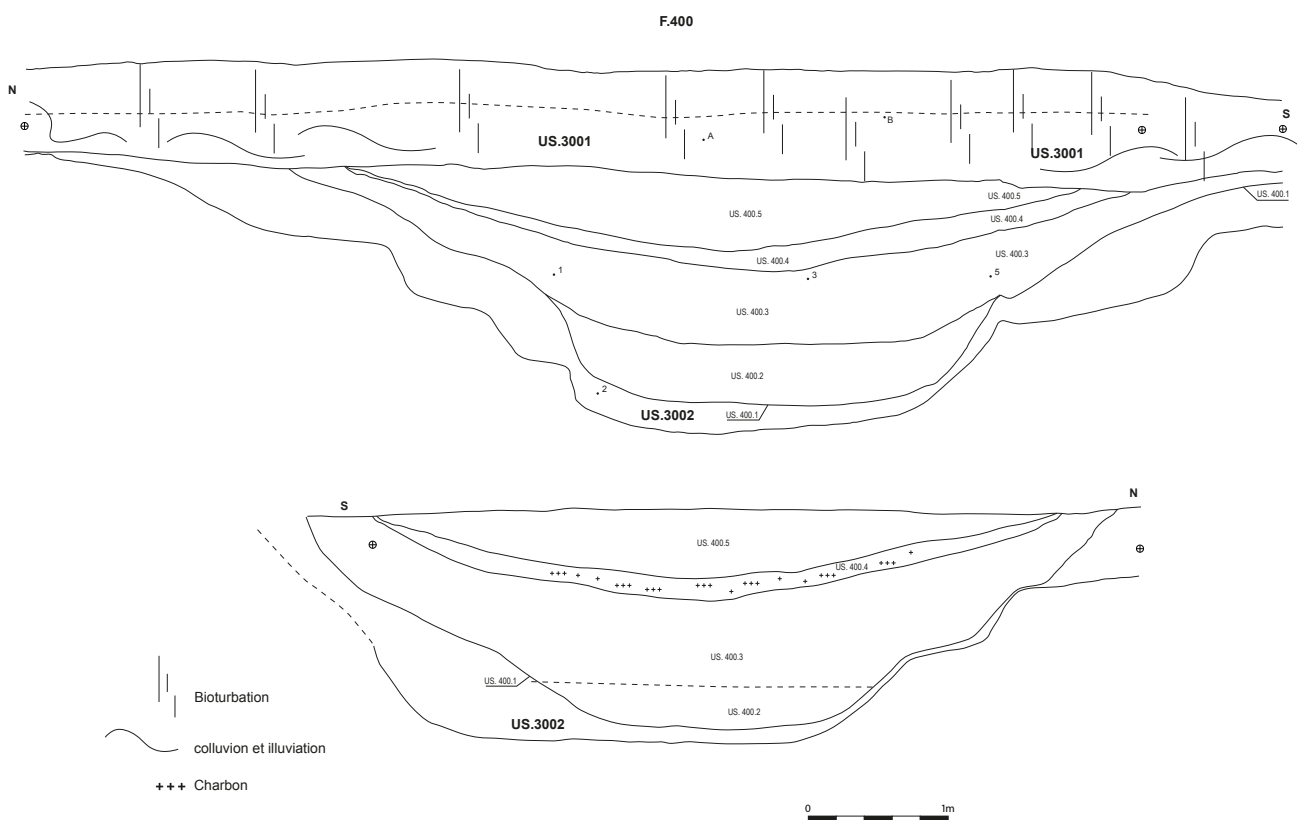


Fig.53 Coupes nord-sud et sud-nord relevées dans le sondage géoarchéologique (Dessin J. Brenot, A. Fouillade, DAO D. Beucher, V. Cicolani)

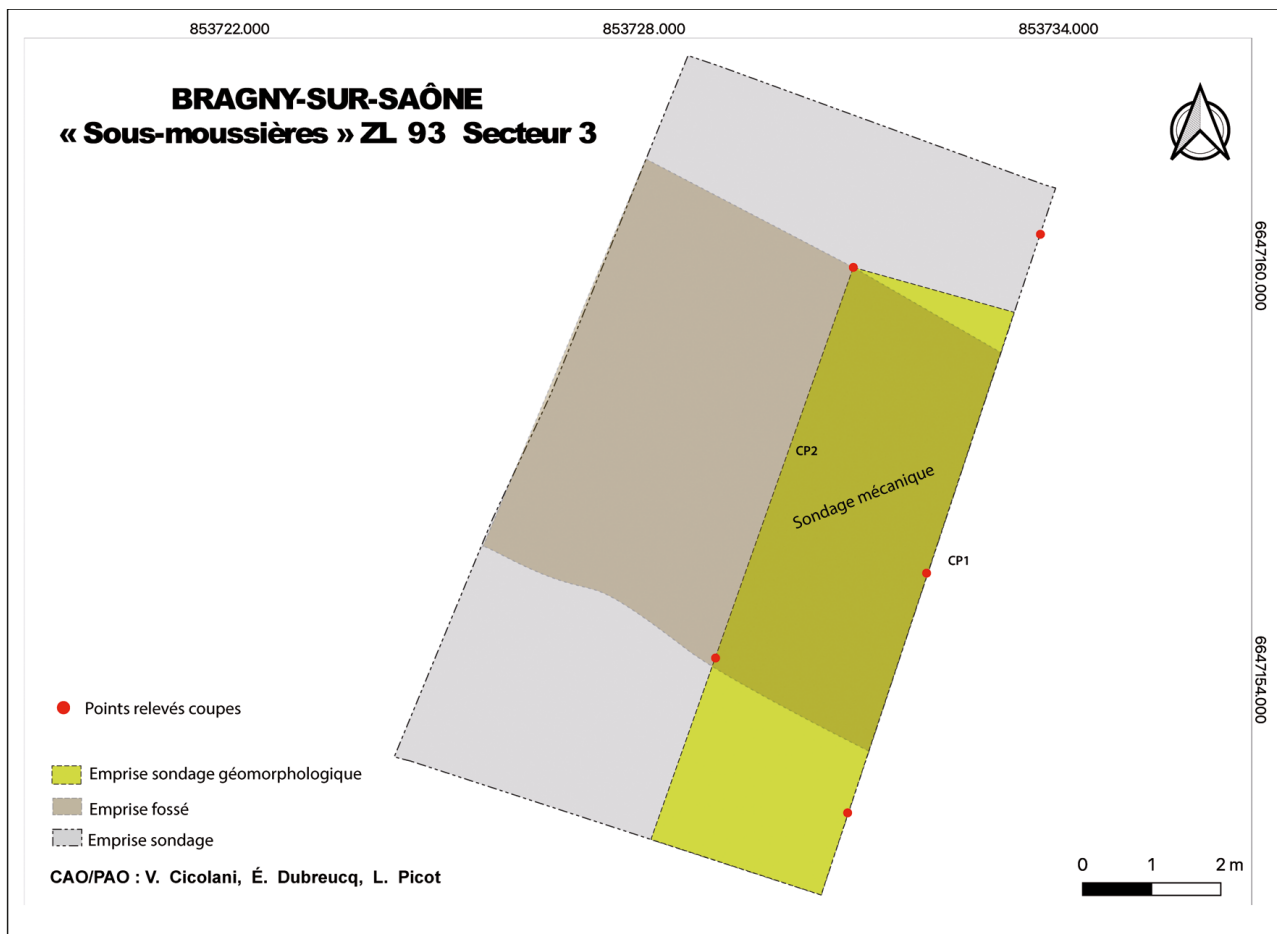


Fig.54 Plan du fossé et coupe transversale après la fouille de sa moitié (Photo : V. Cicolani, DAO : V. Cicolani, E. Dubreucq)

mettre en lien avec la présence d'une nappe alluviale ou d'une nappe perchée d'après les constats géomorphologiques.

2.2.3.2. SÉQUENCE ARCHÉOLOGIQUE

Lors de la fouille, la séquence dépositionnelle ainsi que le profil du fossé ont pu être appréhendés plus finement. Si les limites supérieures ont été quelque peu précisées, le profil demeure difficile à reconstituer avec exactitude dans son tiers supérieur en raison des fortes altérations et troncatures subies depuis les temps historiques par la structure. Néanmoins le fossé présente des bords évasés, bien que irréguliers, et un fond plat qui se pose sur le niveau argileux de l'US 3002 sans donc l'entamer (**Fig.55**).

Le comblement s'est réalisé en cinq grandes phases correspondant à cinq unités stratigraphiques d'une épaisseur moyenne de 0,40 m compactes à très compactes. Une fois la structure creusée (**US 400.01**) son comblement progressif se fait d'abord par des dépôts non anthropiques (**US 400.02**). Le sédiment est une couche sablo-limoneuse de couleur brun gris à gris beige, sèche, meuble et hétérogène. Elle se compose d'une alternance de lits plurimillimétriques sableux à argilo-sableux avec des bandes plus massives 1 à 2 cm. Les litages de sables moyens à fins à la base et de sables très fins à limoneux vers le sommet de la couche se superposent, formant des couplets, et se répartissent selon trois faciès micro-morphologiques. Aucun élément anthropique n'y a été trouvé, ni en position primaire ni résiduelle.

Sur ce niveau vient se poser l'**US 400.03**, une couche sablo-limoneuse à sableuse finement argileuse vers le fond avec des sables fins à très fins, de couleur brun grisâtre, humide, très compacte et homogène. Ce niveau présentait également des poches sableuses très localisées et vers le fond des inclusions millimétriques

et occasionnelles de charbons. La couche a été bioper-turbée par les racines, très abondantes et profondes, parfois associées à des oxydations. Cette altération a profondément modifié les limites extérieures de la couche qui apparaissent irrégulières. Une concentration plus marquée de dépôts carbonatés et de manganèse a été repérée lors de la fouille et visible au centre de la couche. A ce niveau de 50 cm d'épaisseur, suit une couche sableuse et finement argileuse de couleur brun grisâtre, peu meuble et hétérogène, caractérisée par la présence de charbons de 1-5 mm épars à diffus et concentrés surtout au centre de la couche (**US 400.04**). Cette couche, déjà identifiée lors du sondage mécanique, s'est révélée être à la fouille un niveau de faible épaisseur avec une présence moins abondante de charbons et d'étendue assez limitée.

La dernière phase du fossé est caractérisée par un épais dépôt de 0,60 m **US 400.05**. Il s'agit d'une couche sablo-argileuse de couleur brun gris rougeâtre, très compacte, massive et homogène. La couche est profondément altérée par les racines, la mise en culture et l'action lombricienne.

Bien que la temporalité de cette séquence ne puisse pas être appréhendée finement, l'analyse archéologique et pédologique des sédiments permet néanmoins de restituer une séquence d'événements que l'on peut lier à des actions d'ordre anthropique et/ou naturel. En effet la sédimentation du fond du fossé suggère un fonctionnement à l'eau faiblement meuble avec un dépôt formé par décantation en eau calme. Cette phase correspond donc au fonctionnement de la structure, par la suite abandonnée ou en tout cas non entretenue. En effet les comblements intermédiaires et finaux, les seuls ayant livré du mobilier archéologique, correspondent aux moments où le fossé ne devait plus être en fonction et la déposition se fait alors à sec. Le tout dernier niveau, largement remanié, clos la séquence de l'abandon par engorgement progressif.

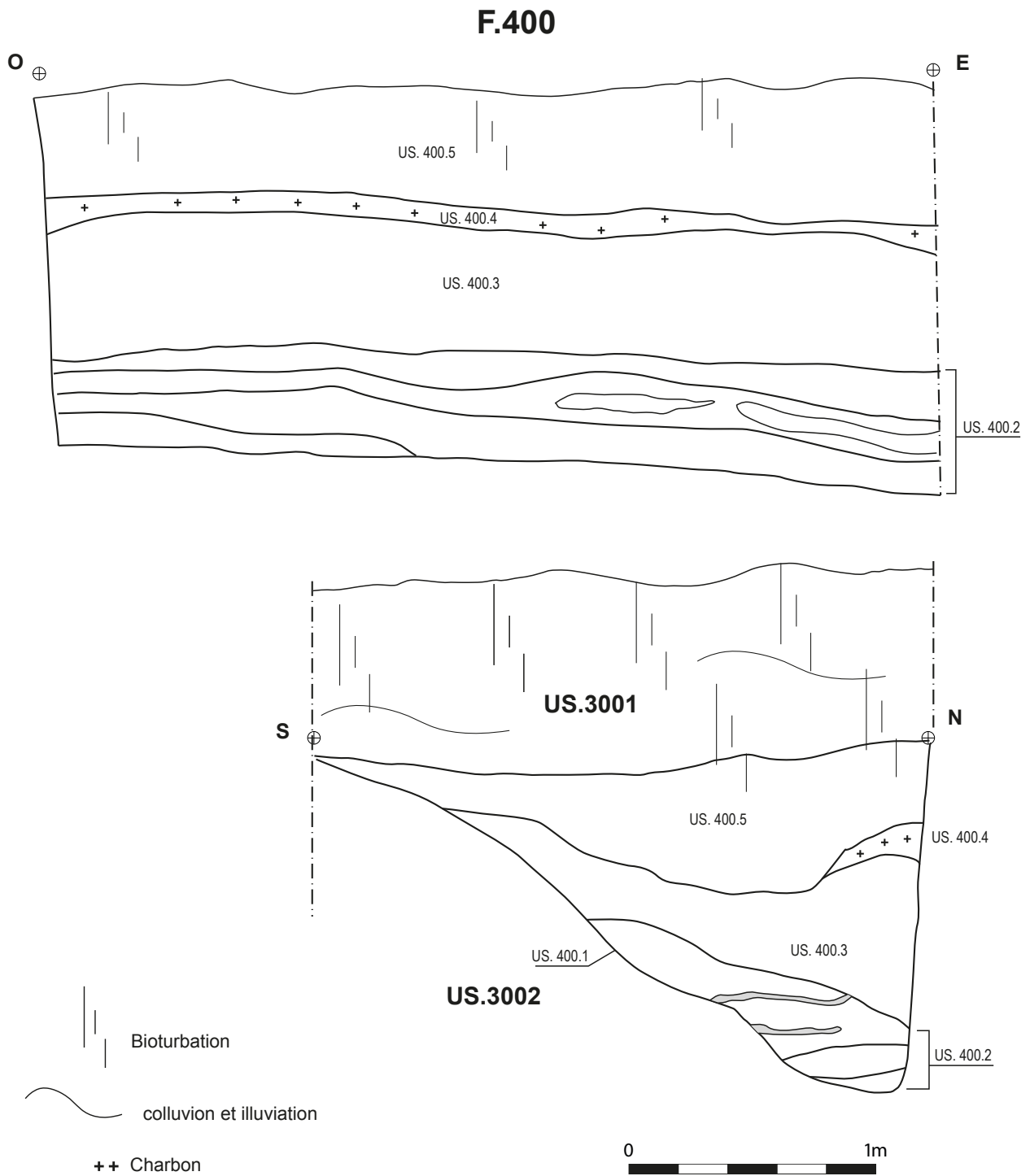


Fig.55 Coupes ouest-est et sud-nord du segment de fossé fouillé. (Dessins : L. Logeron, Z. Bonnin, V. Cicolani ; DAO : D. Beucher, V. Cicolani)

2.2.3.3. LE MOBILIER ARCHÉOLOGIQUE

Le mobilier découvert pendant le sondage mécanique, puis pendant la fouille n'est pas particulièrement abondant mais il est tout de même significatif,

car il a permis non seulement d'obtenir un terminus ante quem de la structure mais également de pouvoir relier le fossé à l'occupation de l'agglomération en raison de sa composition (**Fig.56**).

Les 177 fragments pour une masse globale d'environ 2,6 kg proviennent essentiellement des comblements intermédiaires US 400.02 à 400.04, ainsi que du toit de l'US 400.5 et en position résiduelle dans l'US 3001 en lien donc avec les phases d'abandon.

La découverte de 8 fragments d'amphore de Marseille dans les US 400.04 et 400.03, de céramique commune Ha D3-LTA dans le niveau inférieur US 400.02 et l'absence d'indice en position primaire d'artefacts en lien avec des périodes plus anciennes, notamment de l'âge du Bronze voire du Néolithique, présentes

désormais à Bragny, circonscrit la chronologie du fonctionnement et d'abandon aux mêmes périodes d'occupation de l'agglomération. La composition du faciès mobilier semble aller dans ce même sens car on retrouve des fragments de scories, de fragments lithiques dont des galets, du silex et des fragments d'outils de mouture déjà mis en évidence depuis 2021 dans les secteurs 1 et 2. Bien qu'en cours d'étude par les spécialistes et dans le cadre de deux Masters, toutes les classes principales sont documentées (**Fig.57**), avec un taux de fragmentation élevé pour la céramique, une faible représentation de la faune et une masse de scorie toujours assez élevée.

| US | Type Matériau | NR | Masse (g) |
|--------------------------|-----------------------|------------|-------------|
| 3001 | Amphore | 6 | 352 |
| | Silex | 1 | 0 |
| Total pour 3001 | | 7 | 352 |
| 400.02 | Céramique commune | 22 | 124 |
| | Scorie/Paroi de four | 6 | 335 |
| | Terre | 10 | 78 |
| Total pour 400.02 | | 38 | 537 |
| 400.03 | Amphore | 3 | 21 |
| | Céramique commune | 24 | 99 |
| | Galets, silex, éclats | 8 | 63 |
| | Scorie/Paroi de four | 8 | 337 |
| | Terre | 1 | 7 |
| Total pour 400.03 | | 44 | 527 |
| 400.04 | Amphore | 5 | 60 |
| | Céramique commune | 17 | 129 |
| | Faune | 5 | 37 |
| | Galets, silex, éclats | 7 | 187 |
| | Scorie/Paroi de four | 1 | 70 |
| Total pour 400.04 | | 35 | 483 |
| 400.05 | Céramique commune | 34 | 267 |
| | Galets, silex, éclats | 14 | 94 |
| | Scorie/Paroi de four | 5 | 330 |
| Total pour 400.05 | | 53 | 691 |
| Total général | | 177 | 2590 |

2.2.4. L'ÉTUDE GÉOARCHÉOLOGIQUE FONDÉE SUR LA MICROMORPHOLOGIE : STRATÉGIES ET POTENTIEL DE L'ÉTUDE

Afin de mieux comprendre la temporalité et la nature des processus dépositionnels ayant caractérisé la vie et la/les fonction(s) du fossé, une étude géoarchéologique fondée sur l'emploi de la micromorphologie du sol a été mise en place sur la stratification du comblement du fossé. Cette approche s'articule en deux étapes : 1) une étude pédo-stratigraphique de terrain, qui se situe dans le prolongement des observations géomorphologiques et archéologiques effectuées auparavant, suivi d'échantillonnages micromorphologiques sur les séquences (prélèvement de blocs de sédiments orientés) ; 2) la réalisation d'une étude micromorphologique en lame mince, à partir des prélèvements effectués sur le terrain.

Fig.56 Tableau récapitulatif des différentes classes de mobilier provenant de la fouille du fossé. Données en cours d'étude (V. Cicolani)

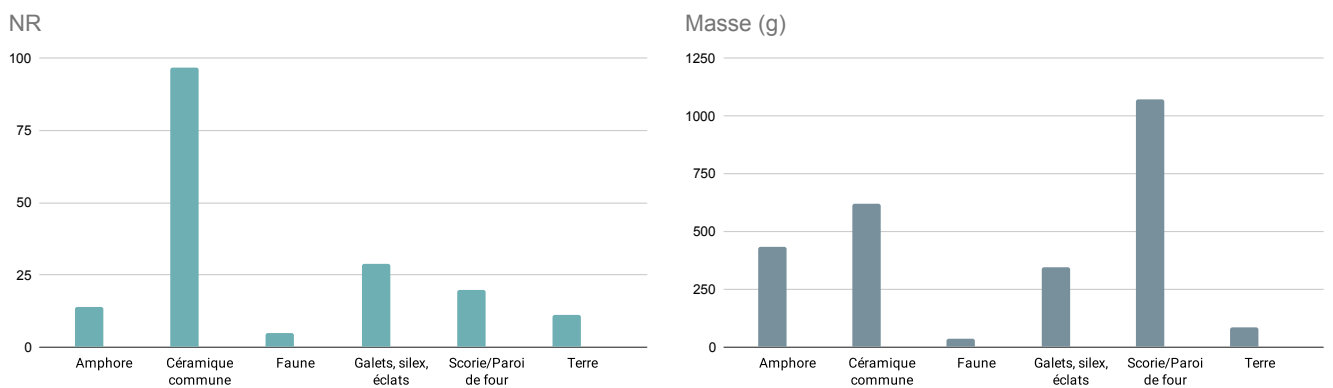


Fig.57 Comparaison des masses et des taux de fragmentation des différentes grandes classes de mobilier provenant du fossé (V. Cicolani)

Comme pour le secteur 2, la campagne de fouille 2022 a été l'occasion de réaliser une étude de terrain et d'effectuer les échantillonnages micromorphologiques, alors que la fabrication et l'analyse des lames minces est prévue pour 2023-2024. Les premières observations archéologiques et géomorphologiques effectuées sur les comblements du secteur 3 ont permis d'ailleurs de mieux orienter l'étude dès ses premières phases, en se focalisant notamment sur les séquences de comblement inférieures du fossé, témoins de ses premières phases de fonctionnement et de sa défonctionnalisation progressive.

Plus spécifiquement, les opérations de terrain se sont attachées à caractériser dans le détail l'US 400.02, qui constitue le premier comblement du fossé. Cette couche se présente finement stratifiée, composée d'une succession de lits/lentilles (0,5-4 cm d'épaisseur) et lamines (1-2 mm d'épaisseur) continus ou semi-continus, à disposition subhorizontale ou avec un léger pendage, localement bioturbés. Différents types de faciès sédimentaires discrets ont pu être distingués sur la base des variations de texture, structure et parfois de couleur des sédiments composants chaque lit ou ensembles de lits. Ces différences traduisent des variations dans l'énergie et dans les modes de dépôt des sédiments qui rythment les premières phases de comblement du fossé.

Ainsi, quatre types de faciès, de 1 à 4, et leurs variantes sont caractéristiques de l'US 400.02 (Fig.58 et Fig.59). Ceux de type 1 se distinguent notamment par la présence d'une succession de lits limono-sableux composés de lamines bien exprimées, à litages grano-classés. Ils traduisent un dépôt par décantation en eaux plutôt calmes. Ces faciès se concentrent dans la partie intermédiaire et au sommet de la séquence qui

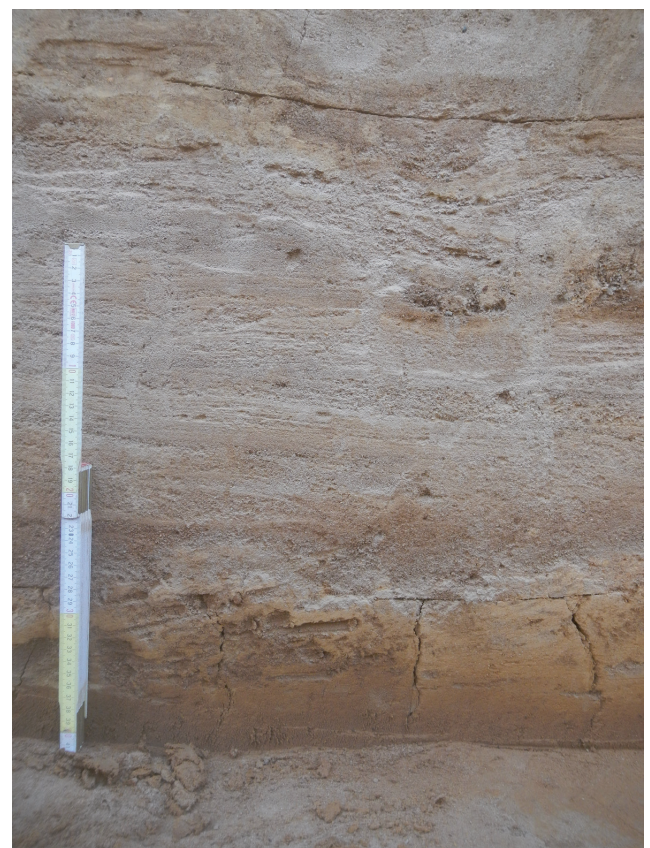


Fig.58 Alternance de différents types de faciès sédimentaires qui composent l'US 400.02, dans l'axe central du fossé (A. Peinetti)

| Faciès | | Caractères morpho-sédimentaires |
|--------|----|--|
| 1 | 1a | Succession de lits composés de lamines bien exprimées, à litages granoclassés comportant des sables moyens à fins à la base et des sables très fin et des limons au sommet. Couleur beige (sédiments secs). Lamines parallèles, légèrement ondulées vers le sommet |
| | 1b | Similaire au faciès 1a, mais de texture plus fine, comportant seulement des sables fins à la base. |
| 2 | | Lentilles à dominance sableuse (sables moyens et grossiers dominantes, emballés dans des sables plus fins et des limons), à entassement de grains. Litages localisés et faiblement exprimés. Couleur beige (sédiments secs). |
| 3 | 3a | Lits à structure massive, limono-sableux (sables fins), épais 0,5-2 cm. Couleur brun (sédiments secs). Litages des sables localisés et faiblement exprimés. Sporadiques charbons infra-mm à mm. |
| | 3b | Poches et lentilles d'épaisseur cm, qui s'alternent localement au faciès de type 3a, mais davantage compactes et sableuses (limons et sables fins accompagnés de sables moyens et grossiers). Couleur beige foncé à brun-gris (sédiments secs). |
| | 3c | Lits à structure massive et texture limono-argileuse à rares sables fins. Couleur brun foncé (sédiments secs). |
| | 3d | Lits à structure massive et texture limoneuse à limono-sableuse (sables fins) et inclusion de sporadiques sables grossiers. Epaisseur moyen 0,5-1 cm. Couleur brun-jaune légèrement orangé (sédiments secs). |
| 4 | | Poches localisées de graviers fins subarrondis enrobés dans des sédiments limoneux à sables fins et rares sables moyens-grossiers. |
| 5 | | Couche grumeleuse, de texture sablo-limoneuse, brun-orangé. |
| 6 | | Lits massifs disposés en bandes, de texture sableuse (sables moyens à grossiers), avec pendage. Couleur grise (sédiments secs). |
| 7 | | Lentilles grumeleuses denses à quasi-massives, limoneuses à sables fins ou limoneuses à sables moyens et rares sables grossiers, épaisses de 1 à 5 cm. Couleur beige-jaune (sédiments secs). |

Fig.59 Tableau récapitulatif des faciès sédimentaires identifiés à la base de la séquence de remplissage du fossé : les faciès de type 1 à 4 composent l'US 400.02 et les faciès de type 5 à 6 caractérisent la transition entre l'US 400.02 et l'US 400.03

compose l'US 400.02, plutôt vers le centre du fossé ou vers le bord sud. Ils peuvent s'intercaler à des faciès de type 2, davantage sableux et faiblement lités. Les faciès sédimentaire de type 3 sont des lits d'épaisseur centimétrique à structure davantage massive, ne présentant pas de lamines et caractérisés par des litages faiblement exprimés. Il s'agit probablement de dépôts liés à des écoulements à plus forte énergie. Ces faciès sont localisés sur le fond du fossé, mais aussi dans la partie sommitale d'US 400.02 (faciès de type 3a intercalés à des rares lentilles de type 3c), et dans toute sa partie septentrionale (faciès de type 3d, alors que vers le bord méridionale on observe des alternances de faciès de type 3a et 3b). Les variations latérales dans

l'expression des faciès de type 3 traduisent, probablement, des mécanismes de sédimentation complexes liés à la nature et à l'énergie des apports en provenance des bords du fossé et liés aux écoulements en son sein. Enfin, les faciès de type 4, de texture particulièrement grossière, constituent des lentilles sporadiques et très localisées au centre du fossé, qui s'intercalent avec des lits de type 3 dans la partie sommitale de l'US 400.02.

Trois autres types de faciès sédimentaire caractérisent la transition entre les US 400.02 et 400.03. Il s'agit de lentilles ou couches aux pendages qui suivent les bords du fossé, matérialisant des dépôts liés aux dégradations des parois du fossé. Ils marquent un

changement dans le type de sédimentation, qui pour les couches médianes et supérieures du comblement, est rythmé par la mise en place de sédiments en ambiance plutôt sèche (US 400.03, US 400.04 et US 400.05). Ils témoignent ainsi d'une mise en eau moins régulière du fossé et d'un changement des dynamiques de son fonctionnement.

Afin de mieux appréhender le fonctionnement du fossé et de caractériser les rythmes et la nature de ses dynamiques de comblement, douze échantillons micromorphologiques ont été prélevés dans la coupe nord-sud du fossé (log 3) (**Fig.60**).

Quatre, prélevés en colonne continue, ciblent les différents types de faciès documentés dans la stratification litée de l'US 400.02 dans la partie centro-méridionale du fossé (PRE 37, 39, 40, 43), alors que deux autres prélèvements sont destinés à caractériser les variations latérales de ces mêmes faciès vers le bord nord du fossé, en direction de l'extérieur de l'agglomération, où la stratification présentait une plus faible différenciation (PRE 41 et 42) (Fig. 63). L'étude micromorphologique vise notamment à caractériser plus en détail le fonctionnement du fossé au moment de sa mise en eau. De plus, le prélèvement 40 se positionne à la transition avec l'encaissant sur le fond du fossé et permettra de mieux appréhender les opérations d'excavation et d'éventuelle réfection de la structure dans le temps. Les six derniers prélèvements ont été effectués dans la partie médiane et supérieure de la séquence de comblement du fossé, en colonne semi-continue, ciblant les US 400.03, US 400.04 et US 400.05 et les transitions entre elles (PRE 31 à 36) (**Fig.61**).



Fig.60 Phase de prélèvement des échantillons micromorphologiques par A. Peinetti (Photo : V. Cicolani)

L'étude micromorphologique permettra d'appréhender la stratification du fossé comme une archive sédimentaire de :

- l'histoire environnementale locale et de l'occupation de l'agglomération de Bragny, en considérant le comblement du fossé comme un témoin indirect de l'état de la couverture pédologique et de l'usage du sol dans les secteurs environnants, à travers l'étude des matériaux qui composent la sédimentation du remplissage du fossé même.
- l'histoire du fonctionnement du fossé, donnant ainsi une image de sa ou ses fonctions. En particulier, il s'agira d'approfondir la caractérisation des rythmes

et des types d'apport, mais aussi de l'intensité des éventuelles réfections de la structure ou d'épisodes de déprise dans son usage, afin de comprendre dans le détail quelles sont les stratégies de gestion de l'eau et d'usage du fossé au cours de l'occupation datant à l'âge du Fer et quelles sont les dynamiques qui caractérisent son abandon et son comblement définitif.

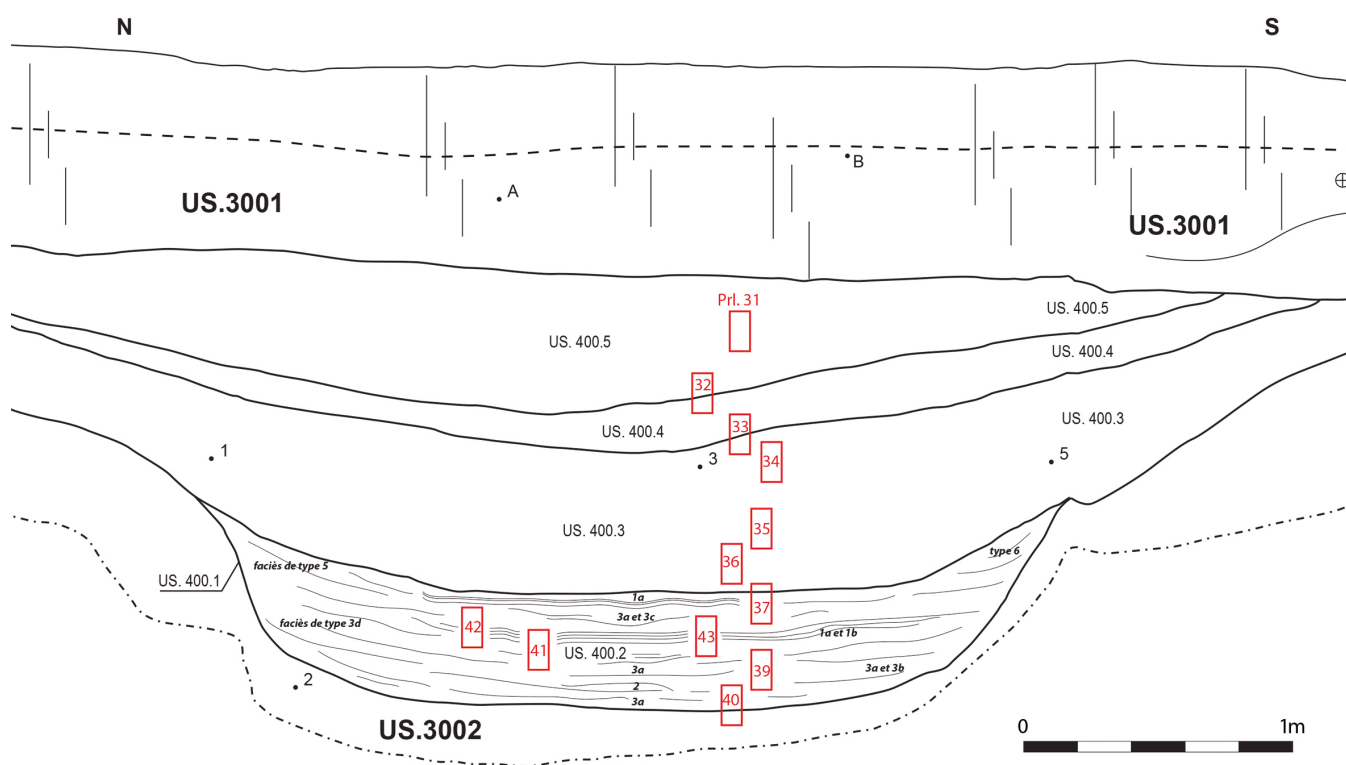


Fig.61 Coupe Est orientation Nord-Sud du fossé avec l'emplacement des échantillons micromorphologiques et la localisation des faciès sédimentaires qui composent l'US 400.02 (DAO : D. Beucher, V. Cicolani, A. Peinetti)

The image shows an archaeological site with a large, circular stone structure, possibly a well or a large pot, in the center. The structure is made of rough, greyish-brown stone and has a deep, dark interior. A blue and white circular marker is visible on the ground to the right of the structure. A black diamond-shaped overlay is centered over the image, containing the text. The background is a flat, greyish-brown ground surface.

3.
ÉTUDES SPÉCIALISÉES
DES SECTEURS 1, 2 ET 3

3. ÉTUDES SPÉCIALISÉES DES SECTEURS 1, 2 ET 3

Le mobilier archéologique issu de la campagne 2022 est moins abondant qu'en 2021, avec des quantités variant quasiment du simple au double, excepté pour les scories (**Fig.62**). Cette différence est probablement liée à un nombre plus réduit de structures fouillées cette année. Ce mobilier provient surtout des grandes fosses qui déjà l'année dernière avaient livrés des assemblages riches et variés en particulier de restes fauniques ou encore la céramique, catégories très bien représentées en 2021 (**Fig.62 à Fig.103**).

| Matériau | Sect. 1 | | Sect. 2 | | Sect. 3 | |
|----------------------|-------------|----------------|-------------|---------------|------------|-------------|
| | NR | Masse (g) | NR | Masse (g) | NR | Masse (g) |
| Céramique | 3600 | 60 000 | 1 775 | 18 286 | 110 | 689 |
| Amphore | 129 | 1185 | 59 | 1185 | 14 | 433 |
| Faune | 4551 | 27 481 | 2186 | 11 439 | - | - |
| Scorie | 719 | 20 152 | 660 | 14 487 | 20 | 1072 |
| Métal | 161 | 3950 | 110 | 461 | - | - |
| Lithique | 231 | 48 750 | 190 | 10 414 | 29 | 659 |
| Terre à bâtir | ND | 14 707 | 154 | 1329 | 11 | 85 |
| Total général | 9391 | 176 225 | 5134 | 57 602 | 184 | 2938 |

Fig.62 Quantités de mobiliers découverts sur les différents secteurs fouillés depuis 2021 (excepté les mobiliers trouvés dans les dépôts)(E. Dubreucq)

Dépendantes des disponibilités des différents chercheurs, de l'avancée des travaux universitaires, des nettoyages pour étude (notamment concernant les dépôts 1 et 2 trouvés cette année), nous proposons ici des états d'avancements variés des études spécialisées avec, quand cela est possible, une première synthèse des deux secteurs fouillés.

3.1. MOBILIERS MÉTALLIQUES, PETITS OBJETS EN CÉRAMIQUE, EN MATIÈRE ORGANIQUE FOSSILE ET EN MATIÈRE DURE ANIMALE (E. D.)

3.1.1. INTRODUCTION

Ces deux années de fouilles ont permis la découverte d'un nombre conséquent de "petits mobiliers" dont nous souhaitons présenter un premier état des lieux. Cela concerne un total de 282 restes pour un NMI maximal de 224 objets et une masse de 4,5 kg (**Fig.63**). Sont exclus pour le moment une partie des objets trou-

vés dans les dépôts volontaires (Str. 332) en raison de leur nettoyage en cours.

Ce corpus comprend une majorité d'objets en fer, un nombre important en alliages cuivreux, complétés d'un bel ensemble d'artéfacts en terre cuite, quelques pièces en matière organique fossile, en terre crue, en os et en pierre (hormis le matériel de mouture et silex) (**Fig.64**).

D'un point de vue méthodologique, l'analyse proposée ici repose sur une approche à la fois quantitative, qualitative et fonctionnelle, visant une caractérisation

| Année | NR | NMI | Masse (g) |
|----------------------|------------|------------|--------------|
| 2021-secteur 1 | 161 | 127 | 3 950 |
| 2022-secteur 2 | 121 | 97 | 556 |
| Total général | 282 | 224 | 4 506 |

Fig.63 Quantification générale des mobiliers par secteur (excepté une partie des objets trouvés dans les dépôts 1 et 2)(E. Dubreucq)

| Matériau | NR | NMI | Masse (g) |
|---------------------------|------------|------------|--------------|
| Fer | 153 | 128 | 1 377 |
| Alliages cuivreux | 83 | 64 | 162 |
| Terre cuite | 34 | 24 | 1 560 |
| Terre crue | 7 | 3 | 1 241 |
| Matière organique fossile | 3 | 3 | 22 |
| Os | 1 | 1 | 73 |
| Pierre | 1 | 1 | 71 |
| Total général | 282 | 224 | 4 506 |

Fig.64 Quantification générale des mobiliers par matériau (excepté une partie des objets trouvés dans les dépôts 1 et 2)(E. Dubreucq)

de la fonctionnalité et du rôle socio-économique de l'objet par une répartition selon des « catégories fonctionnelles », regroupant des grandes familles d'objets. La prise en compte des assemblages et des contextes constitue un autre aspect important de l'étude, permettant de proposer une interprétation plus générale du mobilier, à l'échelle des structures, du site, et à une échelle régionale ou supra-régionale.

Concernant leur état de conservation, les objets en fer ne sont pas toujours lisibles et ont nécessité un nettoyage pour étude (micro-sablage réalisé au Centre archéologique du Mont Beuvray par nos soins)

3.1.2. APPROCHE FONCTIONNELLE

Le tableau suivant permet de résumer la répartition des différents mobiliers selon une approche fonctionnelle (Fig.65), approche dont le vocabulaire a fait l'objet d'une normalisation récente (Briand et al. 2013), réadaptée aux besoins de l'étude. Nous abordons ensuite dans le texte avec plus ou moins de détails les différents types d'objets découverts.

Les mobiliers qui nous sont parvenus se rapportent aux mêmes grandes familles que les assemblages issus des secteurs anciennement fouillés, en cours de réexamen depuis 2019

| Catégorie fonctionnelle | NMI | Masse (g) | Type de mobilier |
|--------------------------------------|-----|-----------|---|
| Parure-vêtement | 23 | 54 | Fibules, bracelets, crochet de chaussure, pendeloque-panier, anneau |
| Soin du corps | 3 | 31 | Rasoirs, pince à épiler ? |
| Activités culinaires | 6 | 185 | Couteaux, attache d'anse de récipient |
| Guerre-prédation | 4 | 39 | Balles de fronde |
| Divers-polyvalent | 23 | 162 | Clous, anneaux, rivets, crochet de suspension, ferrure |
| Artisanat du métal (excepté scories) | 120 | 1 034 | Matrices, ciseaux, ciselets, moules, déchets de coulée, lingot, barres, chutes, préformes de fibule, objets en cours de fabrication |
| Textile | 21 | 1 511 | Aiguilles, pesons, fusaioles, dévidoirs |
| Travail du bois ou du cuir | 1 | 20 | Gouge ou emporte-pièce ? |
| Travail du cuir | 2 | 20 | Alène, poinçon |
| Divers-production | 7 | 1 420 | Manche d'outil, virole, terre crue pour artisanat (céramique ou métal), serpette ?, polissoir |
| Indéterminé | 13 | 31 | Tiges, tôles |

Fig.65 Quantification par catégories fonctionnelles du mobilier des secteurs 1 et 2 (excepté une partie des objets des dépôts 1 et 2) (E. Dubreucq)

(Dubreucq 2020a, p. 73, Dubreucq 2020b, p. 62). En termes de nombre et de masse, l'artisanat du métal constitue très clairement la catégorie la mieux représentée. Les éléments de parure et de vêtement, les petits mobiliers non classables (divers-polyvalent) comptent également parmi les objets les plus nombreux; bien que de petites dimensions, ils représentent au final une masse de métal abandonnée relativement peu élevée. Inversement les mobiliers en lien avec le travail du textile (les pesons surtout) sont très prégnants en termes de masse car de grande dimensions et fabriqués en terre cuite, donc plus lourds. Le même constat peut être avancé pour les éléments de la catégorie "divers-production" avec un outil en pierre ou des pains de terre crue relativement imposants.

3.1.2.1. LES ÉLÉMENTS DE PARURE ET DE VÊTEMENT

En plus de nous renseigner sur les costumes des populations, les éléments de parure et de vêtement constituent parmi les mobiliers les plus intéressants quand il s'agit d'aborder les questions chronologiques et culturelles (**Fig.66**).

Destinées à la fixation des vêtements, les fibules sont au nombre de 13. Toutefois la plupart sont très fragmentées ne permettant pas toujours leur reconnaissance ou attribution à un type spécifique. Peu d'entre elles sont en alliages cuivreux.

C'est le cas d'une fibule quasi complète trouvée en 2022 dans le niveau de sol US 2008 (M-044045-61-US 2008-iso 46)(**Fig.66**, n°1). Avec un arc de section en D ajouré, elle dispose d'espaces vides qui devaient accueillir à l'origine un décor en corail. Ces espaces sont composés d'une incision longitudinale centrale et de deux incisions transversales placées de part et d'autre de la grande incision. Sa particularité réside aussi dans la présence d'un pied relevé de forme carré, également

orné d'un motif en forme de croix de Saint-André incisé. Ces diverses caractéristiques typologiques permettent de l'attribuer au type F2G1 selon Mansfeld. La répartition de ce type de fibule apparaît très dispersée (Adam 1996, Fig. 2) avec une prédominance plutôt dans les régions orientales de l'arc alpin. Quelques exemplaires sont toutefois présents dans l'Est de la France: autour de Salins, à Clamecy dans la Nièvre (Chevrier 1995, Pl. 50, n°3), à Chamouilley en Haute-Marne (Lepage 1984, Fig. 61, n° 1-2) et dans la nécropole des Jogasses à Chouilly (Hatt, Roualet 1976, n° 832-928). Les pièces de Haute-Marne possèdent un décor cruciforme incisé, proche de l'une des pièces de Salins. En Champagne, l'une des fibules des Jogasses est sans ornementation (n° 823) alors que l'autre possède un décor de cinq cercles oculés, placés comme sur un dé (« occhi di dado »). Ce décor est très présent sur les exemplaires situés au sud des Alpes, laissant supposer d'une fabrication dans ces régions, pour au moins une partie des pièces (Adam 1996, p. 40). L'origine du type à pied relevé carré est, en effet, une question récurrente. La diversité des décors présents sur les pieds mais aussi sur l'arc, pourrait présumer de plusieurs foyers de productions, répartis au sud et au nord des Alpes (Adam 1996, p. 42). Notons que l'exemplaire de Bragny se différencie des autres pièces de même type par la morphologie du motif creusé dans l'arc plus complexe, composé d'une incision longitudinale et de deux incisions transversales placées de part et d'autre de la première. En outre, cette fibule rappelle aussi plusieurs autres modèles ajourés avec décor de corail (fibule à tête de canard, fibule au pied bouleté) trouvés sur le site lors des fouilles d'Antonin Guillot et dispersées dans plusieurs secteurs (Bragny "Cordey, Bragny III, IV et V) (Feugère, Guillot 1986, Fig. 33, n°12 à 16)

Pour la datation de ces pièces, les contextes les plus anciens sont ceux des Jogasses (Hatt, Roualet 1976; Adam 1996) et d'une pièce de la nécropole de Santa Lucia en Slovénie, placés à la fin du Ha D2.

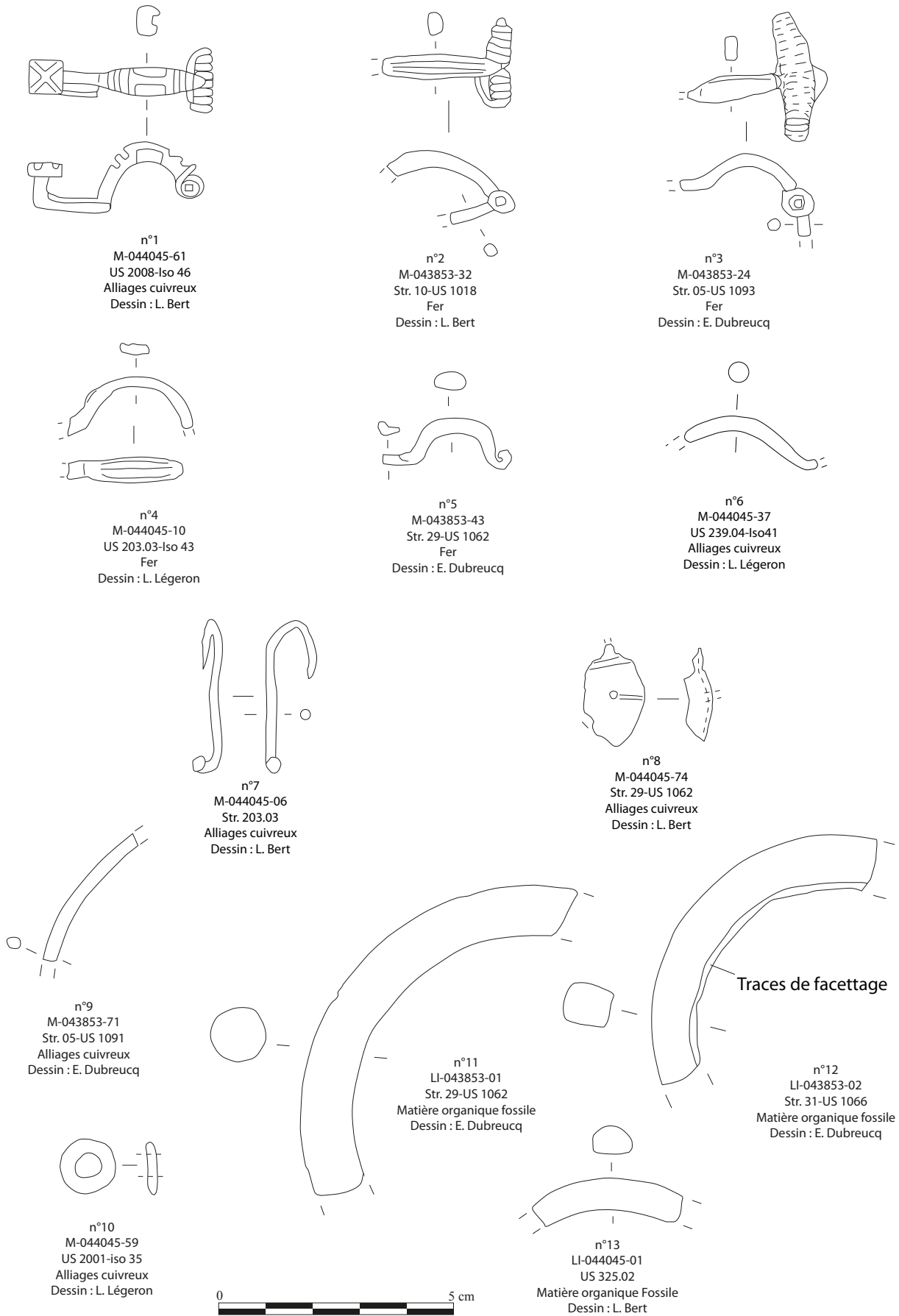


Fig.66 Eléments de parure et de vêtement trouvés dans les secteurs 1 et 2 (DAO : D. Beucher, E. Dubreucq)

Généralement, elles appartiennent à des contextes plus récents (Adam 1996) comme à Salins où, trouvées dans la couche C, elles sont datées dans une phase avancée du Ha D3 en association notamment avec des amphores massaliètes (Piningre, Ganard 2004, p. 376). Grâce aux diverses comparaisons disponibles, une datation à la fin du Ha D3 peut être proposée pour cet exemplaire.

Un autre exemple en bronze (M-044045-37-Str. 239.04-iso 41) dispose d'un arc de section circulaire filiforme (**Fig.66**, n°6). Son pied désormais absent ne permet de l'attribuer qu'à la grande famille des fibules de type F qui apparaissent au cours du Ha D3 et au début de LTA1. D'autres exemplaires en fer sont dans le même cas : certains avec un arc de section triangulaire ramassé (M-043853-24-Str. 05-US 1093) (**Fig.66**, n°3), d'autres avec un arc de section rectangulaire aplati décoré de lignes longitudinales incisées (M-044045-10-Str. 203.03-iso 43) ou de section en D, décoré ou non lui aussi de lignes longitudinales (M-043853-32-Str. 08-US 1018 ; M-043853-43-Str. 29-US 1062) (**Fig.66**, n°2-4-5).

Les autres pièces de fibule sont surtout représentées par des fragments d'ardillons et de ressorts isolés.

En alliages cuivreux, un crochet de chaussure provient également de la structure 203 (M-044045-06-Str. 203.03) (**Fig.66**, n°7). Il se compose d'une tige de section circulaire, terminée d'une extrémité bouletée repliée. Déformée, l'autre extrémité formait un œillet, réalisé par repliement de la tige, pour permettre sa fixation. Très régulièrement découvert dans les tombes ou sur les habitats, ce type de pièce semble apparaître dès le Ha D2-D3 notamment dans le Jura (Vuilleme, Roulière 1991, p. 50). Représentées entre autres à Messein (Lagadec et alii 1989), ou encore Bourguignon-les-Morey (Dubreucq 2013, Pl. 10, n°5), la morphologie de la pièce qui nous intéresse ici trouve quelques parallèles strictement identiques en Côte d'Or, dans les tumulus de Me-loisey (Nicolardot 1968, Pl. 72, n°2), de Couchey La rente

Neuve (Nicolardot 1968, Pl. 44, n°13) ou encore dans le hameau de Talant La Peute Combe (Dubreucq 2014, n°1086). Issus de fouilles anciennes, les assemblages des tombes ne peuvent être reconstitués avec précision. Toutefois, au regard des autres objets présents dans ces sépultures, par exemple un bracelet à petits tampons terminaux, une datation autour de LTA1 de ces éléments pourrait être proposée, ce qui n'est pas incohérent avec les assemblages découverts sur le site dijonnais (Labeaune, Alix 2014).

Quatre bracelets complètent ensuite les éléments de parure. Le premier est réalisé en bronze, avec une section ovale et muni d'un jonc simple (M-043853-71-Str. 05-US 1091) (**Fig.66**, n°9). Faute d'extrémités conservées, sa typologie ne peut être affinée. Les trois autres sont en matière organique fossile (LI-043853-01-Str. 29-US 1066 ; LI-043853-02-Str. 31-US 1066 ; LI-044045-01-Str. 325.02) et présentent une section en D ou circulaire simple, rendant également leur attribution chronologique délicate (**Fig.66**, n°11-12-13). En effet, il s'agit de types apparaissant dès la fin du Bronze final (BF IIIa) dans l'Est de la France (Plouin 2006, p. 91 ; Baron 2009, p. 73). Ils continuent d'être usités durant le Ha C, comme en attestent notamment les nombreuses découvertes réalisées sur l'habitat de Eckbolsheim (67) où un atelier de fabrication a d'ailleurs été mis en évidence (Baron 2011). Il est ensuite très largement retrouvé en contexte domestique sur les sites de l'Est de la France dans des niveaux du Ha D2-D3 et du début de LTA (à Vix, Bourguignon-les-Morey, Illfurth, Salins pour ne citer que les plus connus) (Chaume 2001) ; Piningre, Ganard 2004, p. 270). A Bragny, on en retrouve dans les secteurs de BR. I et "propriété Cordey" (Feugère, Guillot 1986, Fig. 22, n°1 à 3 ; Dubreucq 2020, p. 75 ; Flouest, Labeaune 2020, p. 100), où trois exemplaires au moins ont été découverts dans chaque zone avec notamment la présence d'une préforme en cours de fabrication attestant de leur possible conception dans l'agglomération (Dubreucq 2020, p. 76).

Enfin, la découverte exceptionnelle en 2021 d'une pendeloque en alliage cuivreux caractéristique de la culture de Golasecca (Italie nord-occidentale) mérite aussi d'être rappelée (M-043853-74-Str. 29-US 1062) (**Fig.66**, n°8). Dotée de son anneau de suspension et d'un profil courbe continu, la pendeloque s'inscrit dans la famille de pendeloques coniques à profil continu et courbe (De Marinis 1981; Cicolani 2017, p.141, fig. 112). Dans le domaine de Golasecca, les pendeloques coniques caractérisent les ensembles funéraires du Ve s. av. n.è. (G IIIA1 et G IIIA2) et elles se divisent en trois variantes (A,B,C). Les variantes A et B sont exclusivement présentes dans la première moitié du Ve s. av. n.è. et la distinction est donnée par la présence d'une moulure située à mi-hauteur du corps dans la variante B. Cette même moulure sur l'exemplaire de Bragny permet donc de classer la pendeloque dans la variante B datée entre 480 et 450 av. n.è.

3.1.2.2. LE SOIN DU CORPS

Conçus en métal depuis le Bronze Final, les instruments de toilette apparaissent dans le monde funéraire sous la forme de rasoir et de pince à épiler jusqu'au début du premier âge du Fer (Ha C1-C2). La fin de la période hallstattienne voit leur développement sur les sites d'habitats, avec la diversification des types d'ustensiles et leur fabrication, pour une partie d'entre eux, désormais en fer (Dubreucq 2013). Concernant les fouilles récentes de 2021 et 2022, on remarque que ce domaine est particulièrement mal représenté avec deux possibles fragments de lame de rasoir (M-043853-29-Str. 05-US 1012 ; M-044045-60-US 2001-iso 36) (**Fig.67**, n°1) et de bras de pince à épiler (M-043853-10-US 1003), alors même qu'une fabrication a été repérée dans le secteur de Bragny II (Dubreucq 2020, p. 63) et par une chute dans le secteur 1 fouillé en 2021 (cf. In-fra).

3.1.2.3. LES ACTIVITÉS CULINAIRES

A la fin du premier et au début du second âge du Fer, les couteaux constituent l'un des éléments essentiels de la vie domestique, dont la destination première est la découpe des produits alimentaires (Dubreucq 2013, p. 75). Au même titre que les lames actuelles, elles arborent des morphologies variées, correspondant à des fonctions plus ou moins spécialisées (Kaurin 2005).

Lors des fouilles récentes, ce sont cinq pièces qui ont été découvertes, plus ou moins bien conservées (M-043853-13/15-Str.2-US 1005 ; M-043853-17/18-Str. 03-US 1109-iso 5 ; M-043853-43-Str. 29-US 1062 ; M-044045-13-Str. 210.03-iso 38 ; M-044045-54-US 2001) (**Fig.67**, n°3 à 7). Deux lames en particulier sont identifiables : une première au dos et au tranchant rectilignes (M-044045-54-US 2001) peut être rattachée aux couteaux dits « de cuisine » (**Fig.67**, n°2). Leur usage pouvait être multi-fonctionnel : trancher, émincer, portionner (Kaurin 2005, p. 23). La seconde (M-043853-17/18-Str. 03-US 1109-iso 5) dispose d'une partie de la lame et notamment de la jonction entre la lame et le manche à plaquettes qui forme un ressaut typique des couteaux à désosser les chairs (Kaurin 2005, p. 23) (**Fig.67**, n°8). Comparables à des exemplaires trouvés à la Heuneburg (Sievers 1984, n° 1910-1913), à Châtillon-sur-Glâne (Dubreucq 2013, Pl. 61, n°1975-877 ; 1975), à Salins (Dubreucq 2013, Pl. 31, n°2-5) ou encore à Bourges "Port-Sec" (Augier et al. 2012, Fig. 127-129), il peut être clairement attribué à des activités de boucherie.

Sur les habitats, la vaisselle métallique apparaît plus généralement sous forme fragmentée. Il s'agit souvent des anses et des attaches d'anses, qui fixées par rivetage, ont tendance à se détacher plus facilement. Le reste des récipients en tôle sont relativement rares et très morcelés (Dubreucq 2013, p. 77). Le site

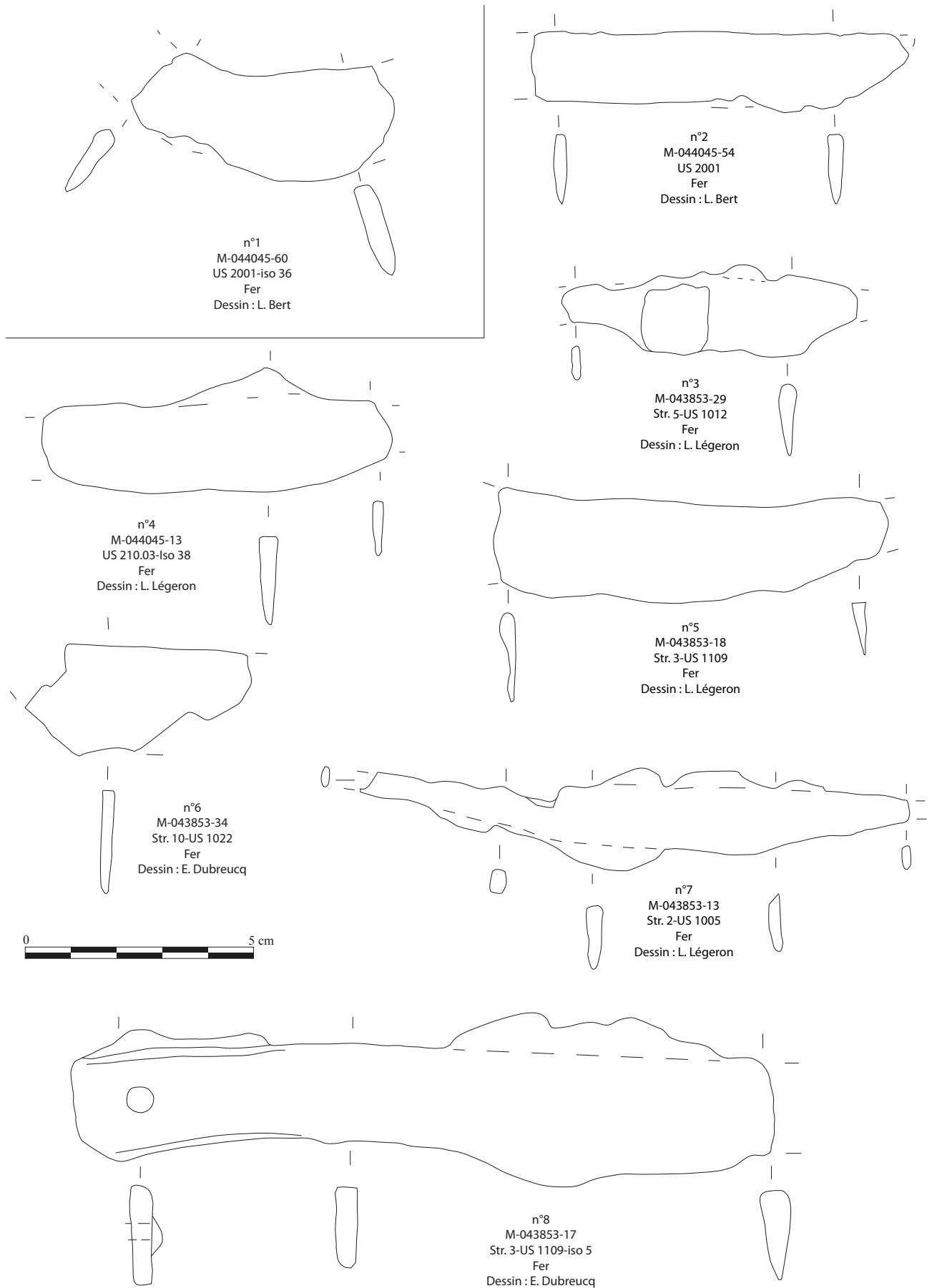


Fig.67 Lame de rasoir et de couteaux trouvés dans les secteurs 1 et 2 (DAO : D. Beucher, E. Dubreucq)

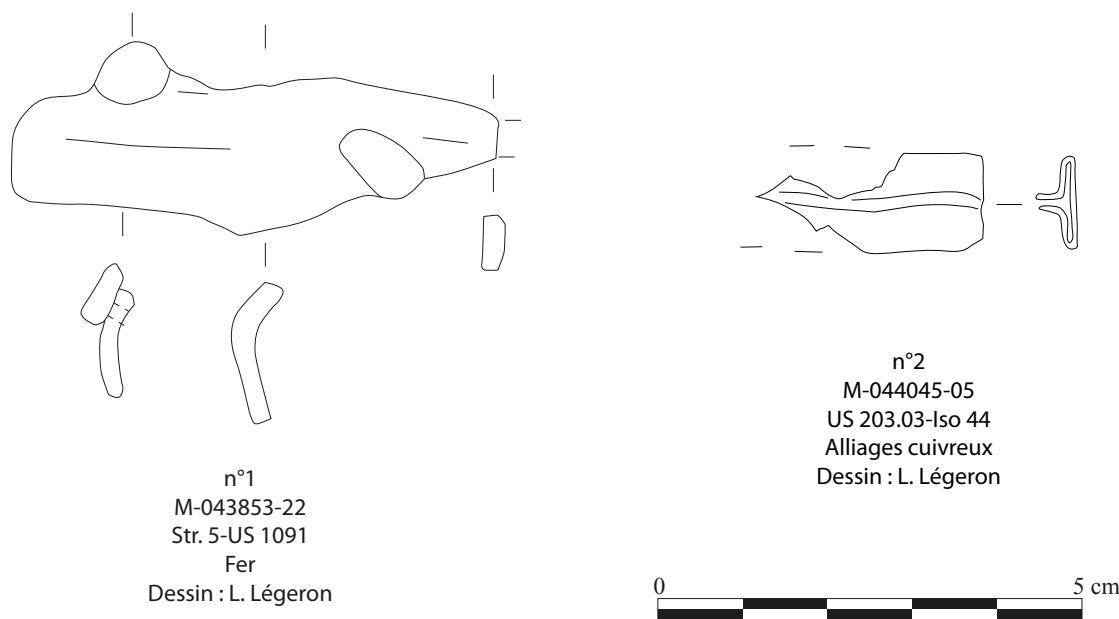


Fig.68 Fragments d'éléments de vaisselle dans les secteurs 1 et 2 (DAO : D. Beucher, E. Dubreucq)

de Bragny n'échappe pas à la règle. De forme foliacée avec une nervure centrale longitudinale et un profil incurvé, une attache d'anse de récipient en fer est issue de la structure 5 (M-043853-22-Str. 05-US 1091), sans que nous soyons en mesure de l'attribuer à un type de récipient plus précis, peut-être une situle (**Fig.68**, n°1). Une agrafe de réparation de vaisselle provient de la structure 203 (M-044045-05-Str. 203.03-iso 44) (**Fig.68**, n°2). Sa spécificité est d'être repliée en sorte de former comme élément en forme d'oméga qui permettrait très aisément de l'insérer et de l'emboîter dans la zone déchirée de la tôle de vaisselle pour l'étanchéifier. Ce type de réparation est bien documenté sur un certain nombre de récipients répartis entre le Jura, la Bourgogne et la région Centre notamment à Bourges et datée entre le Ha D2 et LTA1 (Milcent 2007, p. 205).

3.1.2.4. GUERRE-PRÉDATION

Quatre balles de fronde en terre cuite (C-043853-22-Str 3-US 1109 ; C-044045-4-Str. 214.02-iso 34 ; C-044045-8-Str. 236.02-iso 33 ; C-044045-9-Str. 239.04) viennent compléter un panel de pièces trouvées sur

quasi tous les secteurs des fouilles anciennes (Feugère, Guillot 1986, Fig. 30 ; Flouest, Labeaune 2020)(**Fig.69**, n°1 à 4). Utilisables pour la chasse notamment des oiseaux, voire pour la guerre, ces quelques éléments pèsent entre 7 et 10 g, soit une masse dans les fourchettes basses de ce type d'objets pouvant atteindre jusqu'à 16 g (Dubreucq 2020, secteur de Bragny II, Fig. 48, n°4). Notons qu'au moins deux exemplaires ont subi le feu avec l'une qui semble avoir été découpée (C-044045-4-Str. 214.02-iso 34 ; C-044045-8-Str. 236.02-iso 33) alors qu'une troisième est également très usée (C-044045-9-Str. 239.04).

En 2021, l'élément en fer interprété comme une possible manipule de bouclier (Dubreucq, Cicolani 2021, p. 85) a été requalifié en cerclage/poignée après un nettoyage pour étude, classé dans la catégorie qui suit du divers-polyvalent (**Fig.69**, n°5).

3.1.2.5. DIVERS-POLYVALENT

La catégorie « divers/polyvalent », une catégorie un peu « fourre-tout », permet néanmoins de regrouper

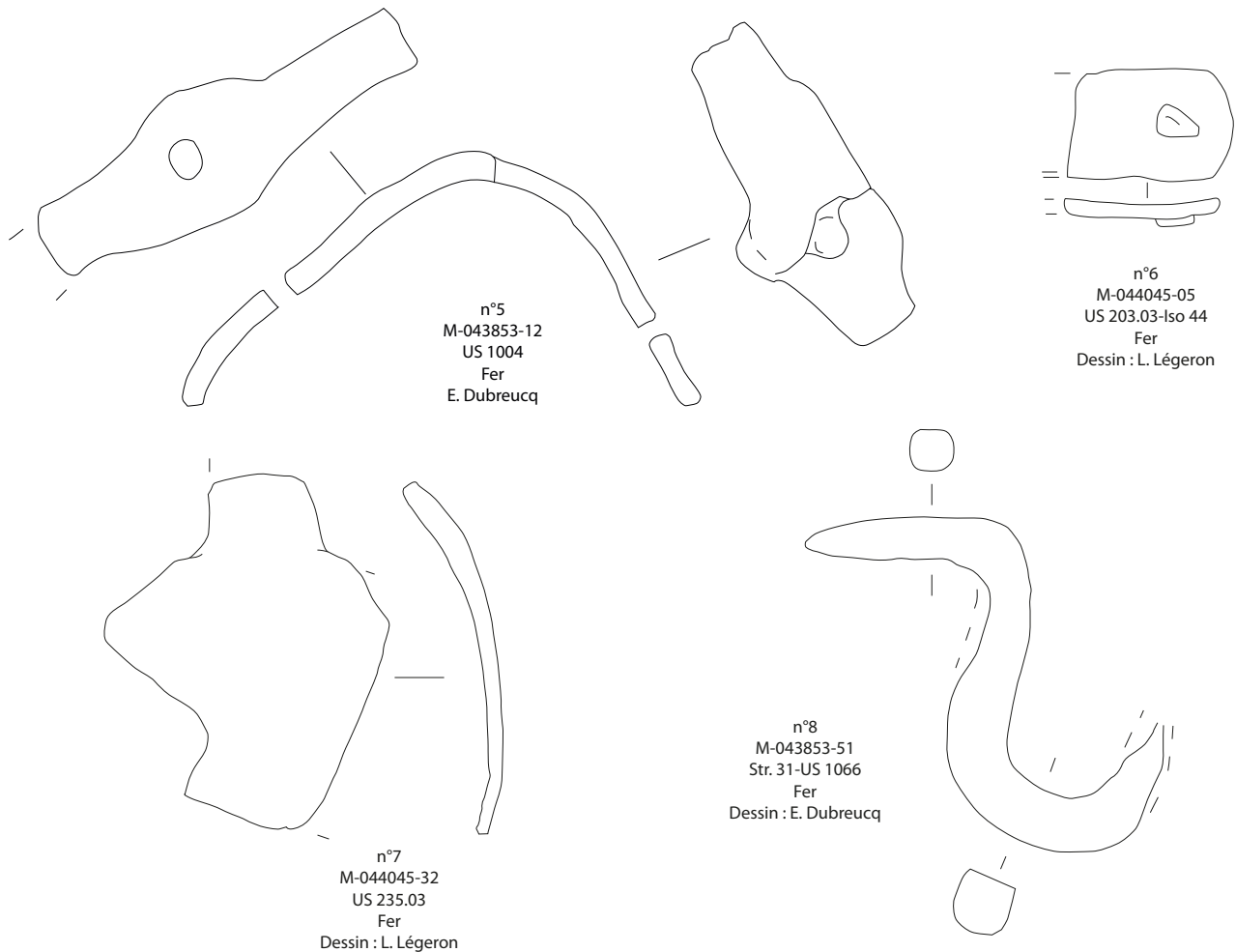
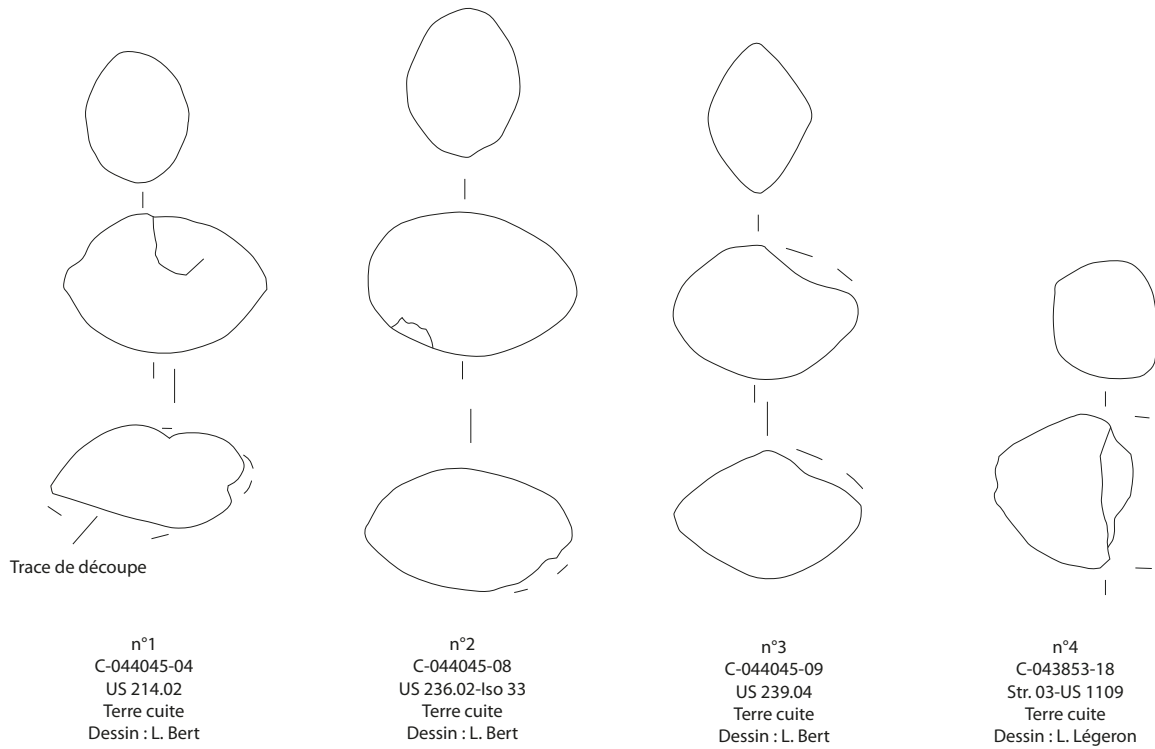


Fig.69 Fragments de balles de fronde et diverses pièces classées dans la catégorie divers-polyvalents (DAO : D. Beucher, E. Dubreucq)

des objets qui ont été identifiés mais dont la fonction précise n'est pas déterminée (Briand et al. 2013). Ils ont pu participer à la fois aux éléments d'huissierie, à l'aménagement intérieur ou à la confection de meubles ou d'objets utilisés dans le cadre de la vie quotidienne par les populations anciennes. S'ils ne sont pas trouvés en position primaire, leur potentiel informatif est faible, constituant aussi de piètres indicateurs chronologiques. Peu ou mal considérés, ces éléments de quincaillerie demeurent pourtant l'un des éléments importants pour observer l'évolution et la diffusion du métal, en particulier du fer dans les sociétés de la protohistoire ancienne. Le développement de l'utilisation des éléments métalliques pour renforcer ou remplacer certaines pièces du mobilier en bois est un fait essentiel. Il témoigne du développement (ou non) du métal dans le cadre de la vie quotidienne des ou d'une partie de la population(s) (Dubreucq 2013, p. 79). Comme la plupart du temps, les pièces les plus repérées sont des éléments d'assemblages de type anneaux, clous et rivets. Parmi les artefacts rares, notons la présence d'une petite ferrure, possible élément de meuble (M-043853-34-Str. 10-US 1022) ou un crochet de suspension (M-043853-51-Str. 31-US 1066) (**Fig.69**, n°6-8).

3.1.2.6. L'ARTISANAT DU MÉTAL

Comme dans les autres secteurs fouillés de l'agglomération, l'artisanat du métal est particulièrement bien représenté dans le mobilier trouvé depuis 2021.

Cela concerne tout d'abord un panel d'outils qui ont pu être à la fois utilisés pour la métallurgie du fer ou des métaux fusibles. En effet, un lot de ciseaux et de ciselets nous sont parvenus permettant respectivement la mise en forme du métal par découpe et déformation (M-043853-02-US 1001 ; M-043853-37a-Str. 17-US 1036 ; M-043853-37b-Str. 17-US 1036 ; M-043853-37c-Str. 17-US 1036 ; M-044045-22-Str. 214.02). Il est remarquable que trois de ces outils aient été trouvés dans la fosse

17, formant probablement une panoplie d'outils issue d'un même atelier (**Fig.70**, n°1-2). Parmi ces ustensiles, notons que le ciselet trouvé dans la structure 214 dispose d'un emmanchement à douille (M-044045-22-Str. 214.02)(**Fig.70**, n°3). Si ces éléments constituent des types d'outils très courants à Bragny (Feugère, Guillot 1986, p. 186, Fig. 28, n°14-15 ; Dubreucq 2020a, p. 76) et sur les sites où la métallurgie a été identifiée, deux autres outils sont par contre beaucoup plus originaux. En alliages cuivreux, ils proviennent de la partie supérieure du dépôt dit "dépôt 1" (M-044045-43-Str. 332.02 ; M-044045-44-Str. 332.02)(**Fig.70**, n°4-5). Ils n'ont pas eu besoin de nettoyage ce qui permet déjà de les intégrer à cette étude. Très proches morphologiquement, ils sont composés d'une barre de section rectangulaire aplatie, se terminant à chaque extrémité par un petit tenon de forme rectangulaire. Sur la face avers, des cupules de tailles différentes (diam : 2, 3 et 7 mm) sont creusées. Selon la pièce, l'agencement de ces cupules n'est pas tout à fait le même, pouvant former des lignes simples ou des lignes plus complexes où les petites cupules sont placées en quinconce (M-044045-44-Str. 332.02)(**Fig.70**, n°5). Sur le revers, seul le second exemplaire dispose aussi des mêmes empreintes hémisphériques dont l'organisation semble toutefois beaucoup plus aléatoire et appliquées de façon moins soignée, nous donnant l'impression que leur réalisation a été ratée.

Cette morphologie très spécifique nous pousse à les interpréter comme de possibles matrices pour la mise en forme de tôle fine et/ou l'ajout de décor. En effet, les bossettes constituent des motifs très courants sur les plaques de ceinture comme le petit fragment trouvé dans le secteur de Br. III (Feugère, Guillot 1986, p. 182, Fig. 23), pour la fabrication des timbales de fibules ou pour la mise en forme de petites têtes de rivets par exemple. Nous avons volontairement gardé un peu de sédiment à l'intérieur de ces matrices pour tenter de faire une analyse RFX au cas où ces outils aient pu

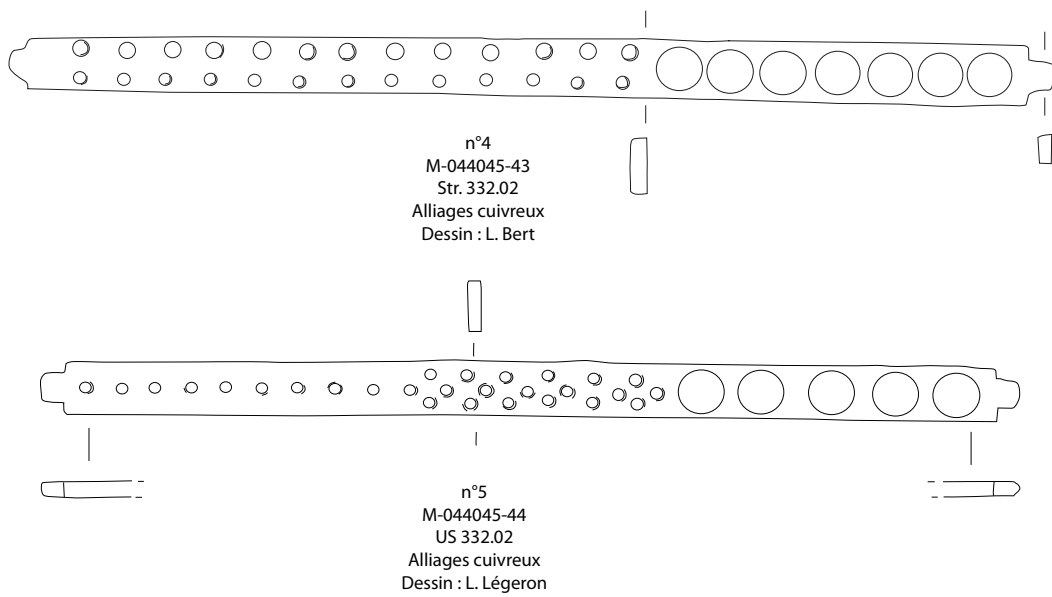
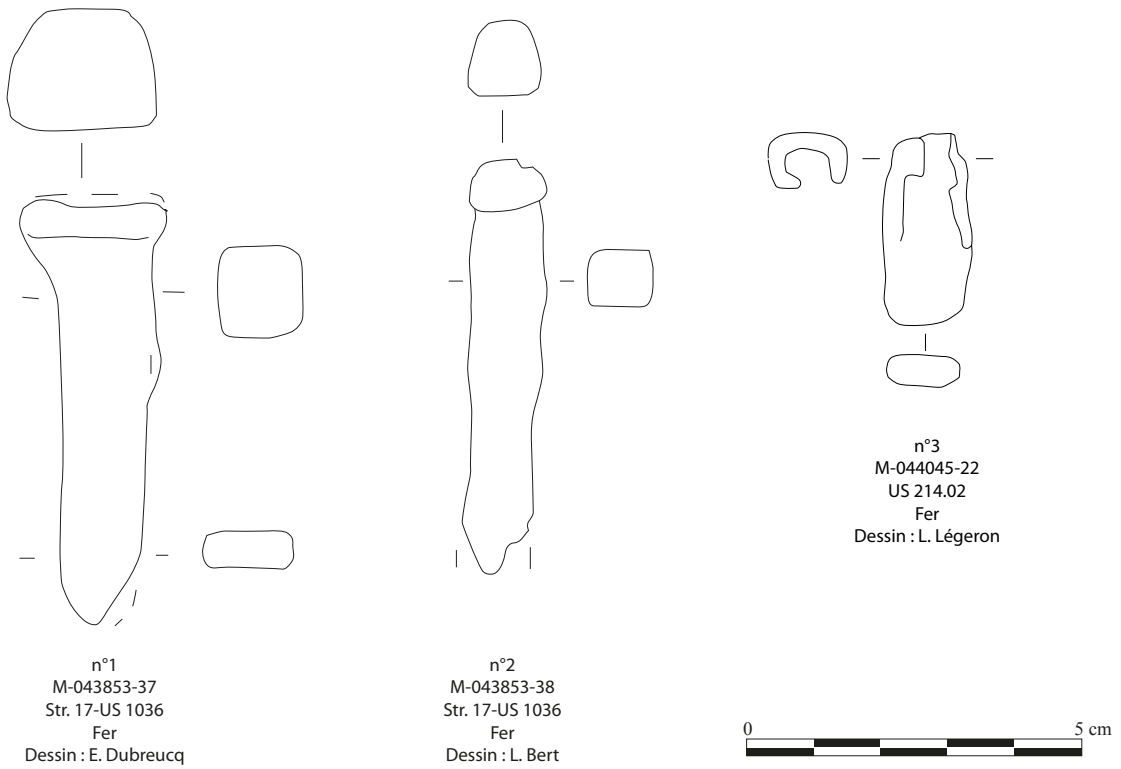


Fig.70 Panel des outils liés au travail des métaux (DAO : D. Beucher, E. Dubreucq)

servir aussi à la mise en forme d'objets en or. En effet, une petite chute de fil a été découverte lors des fouilles anciennes (Feugère, Guillot 1986, Fig. 25) attestant bien de cet artisanat de luxe dans l'agglomération. En outre, les deux encoches aux extrémités devaient permettre leur fixation dans un billot en bois sur l'établi. Du point de vue des comparaisons, ce type d'outil semble plutôt rare car en bronze, il a pu être recyclé. Il a néanmoins été mis au jour sur un autre établissement, où la métallurgie est très présente, en l'occurrence à Port-Sec sud à Bourges (Augier et al. 2012, p. 148, Fig. 185, n°57-2618-4431).

Excepté les scories et battitures traitées à part (cf. *infra*), les mobiliers en rapport avec la métallurgie du fer sont relativement abondants avec près de 75 restes (**Fig.72-Fig.73**). Il s'agit d'éléments de matières premières (**Fig.72**, n°1 à 13) : chutes ou soies de petites barres de section en D ou rectangulaires (M-043853-14-Str.02-US 1005 ; M-043853-33-Str.10-US 1022 ; M-043853-57-Str.49-US 1116 ; M-043853-11-US 1003), avec quelques exemplaires un peu plus massifs (M-043853-25-Str.05-US 1012-iso n°2) qui attestent plutôt de la mise en forme de petits mobiliers. De forme trapézoïdale épaisse (M-043853-31-Str. 06-US 1014 ;

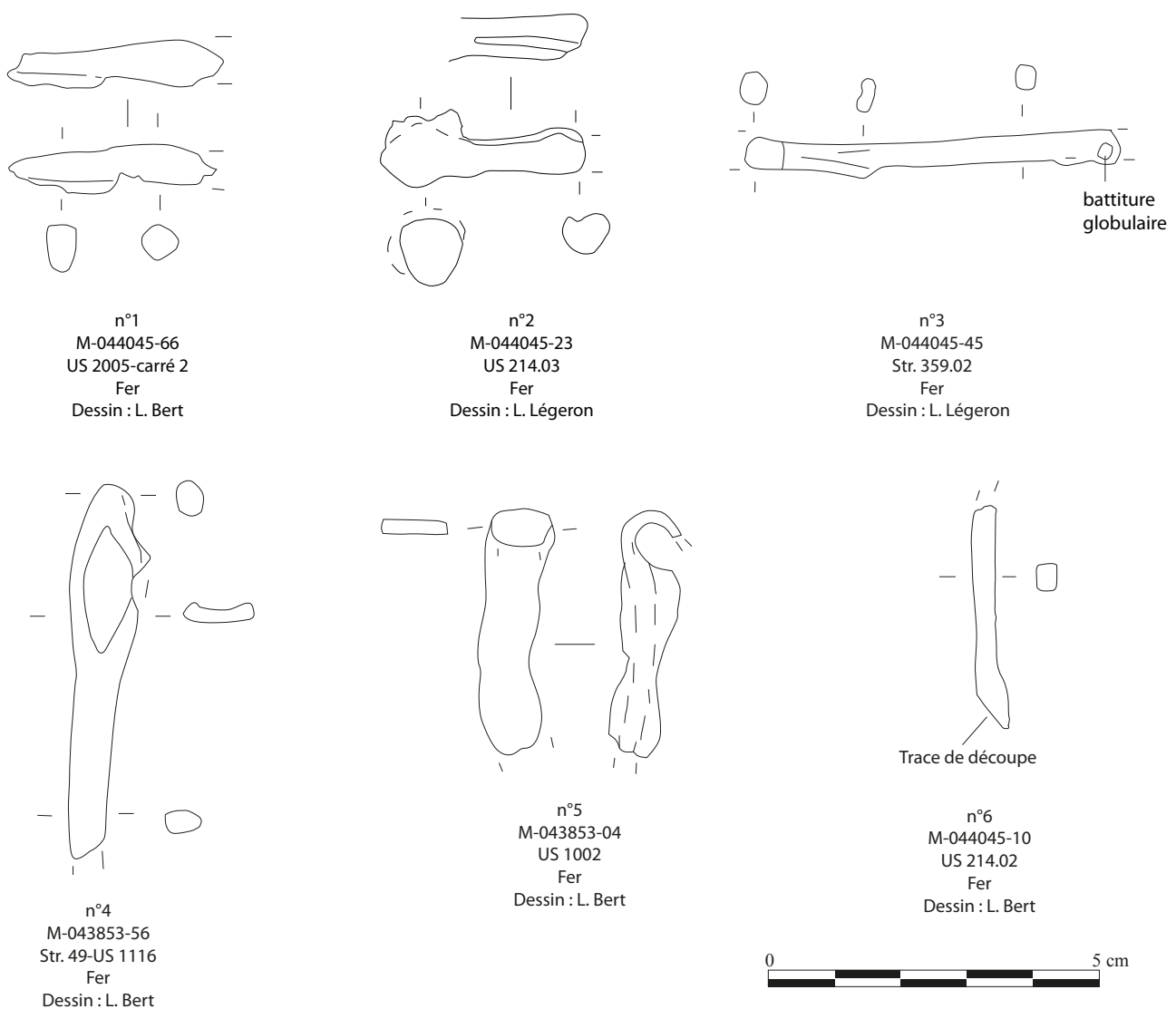


Fig.71 Panel des objets en fer en cours de fabrication (DAO : D. Beucher, E. Dubreucq)

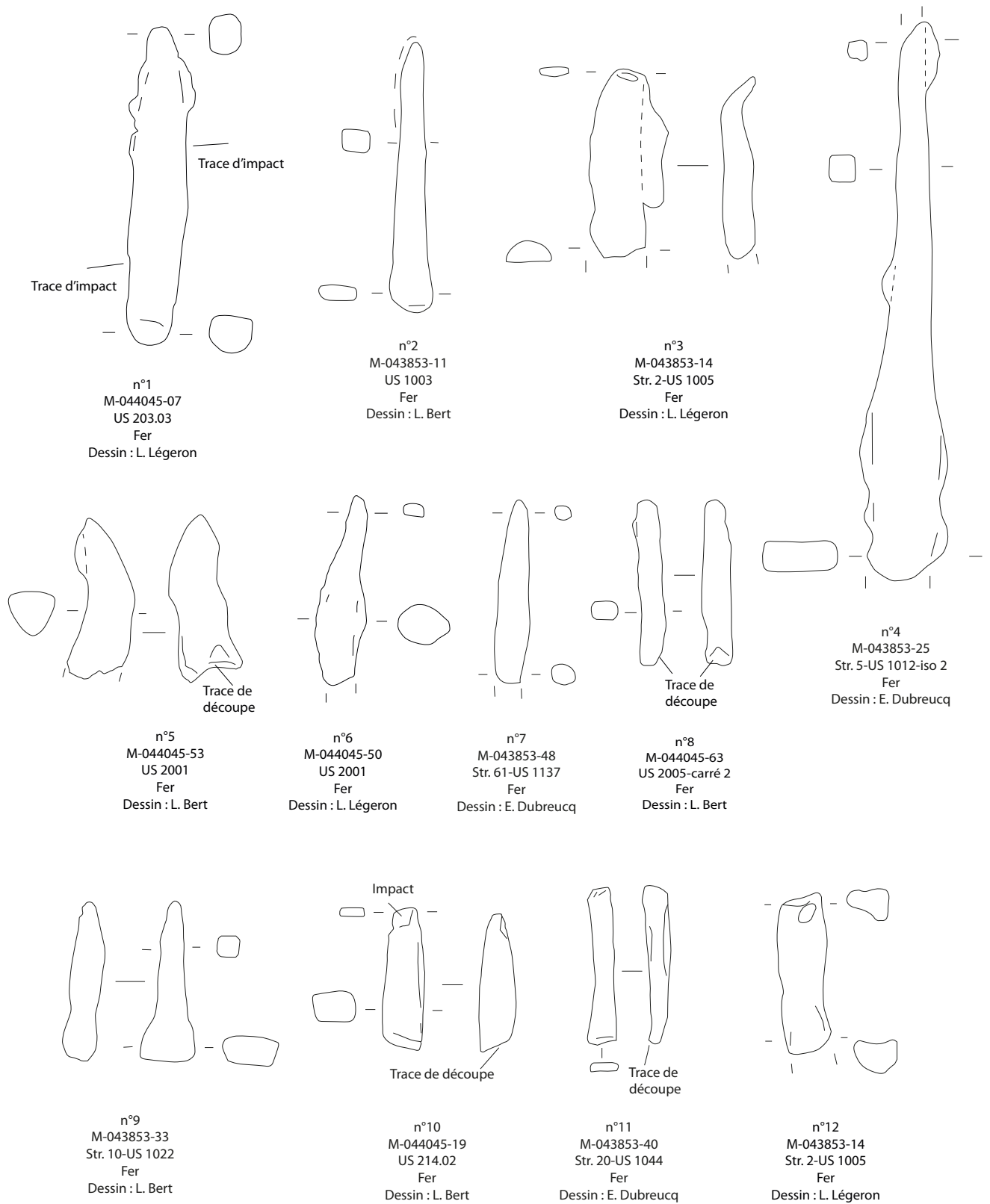


Fig.72 Panel des chutes de barres liées au travail du fer (DAO : D. Beucher, E. Dubreucq)

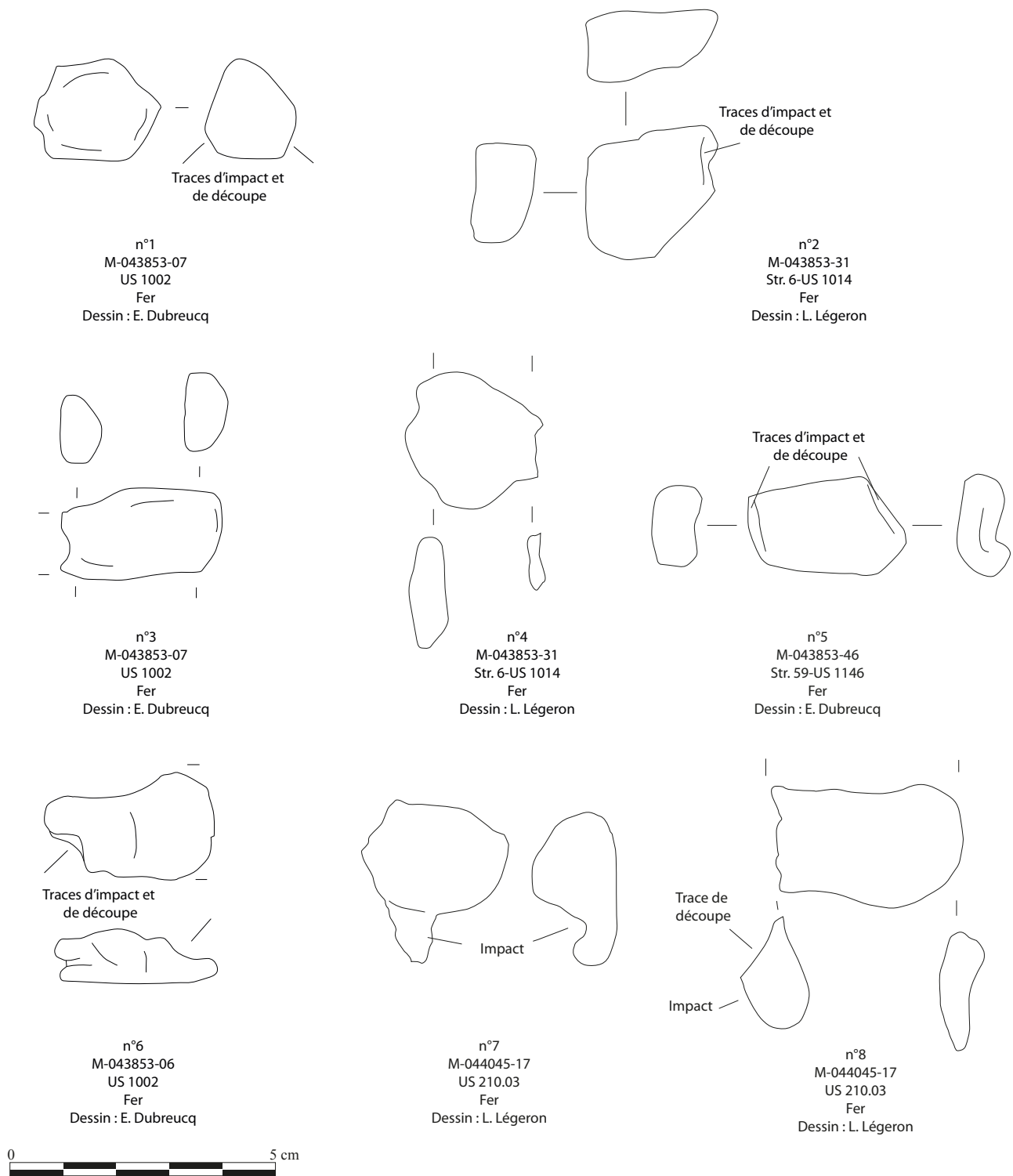


Fig.73 Panel des chutes atypiques liées au travail du fer (DAO : D. Beucher, E. Dubreucq)

M-043853-46-Str.59-US 1146 ; M-043853-07-US 1002) ou de forme hémisphérique (M-043853-59-Str.49-US 1116), des chutes moins normées complètent le panel des déchets (**Fig.73**, n°1 à 8). Des objets en cours

de manufacture sont aussi représentés confirmant bien la mise en forme de petits objets : des fibules (M-043853-53-Str. 42-US 1098 ; M-043853-56-Str. 49-US 1116 ; M-044045-45-Str. 359.02 ; M-044045-66-US 2005),

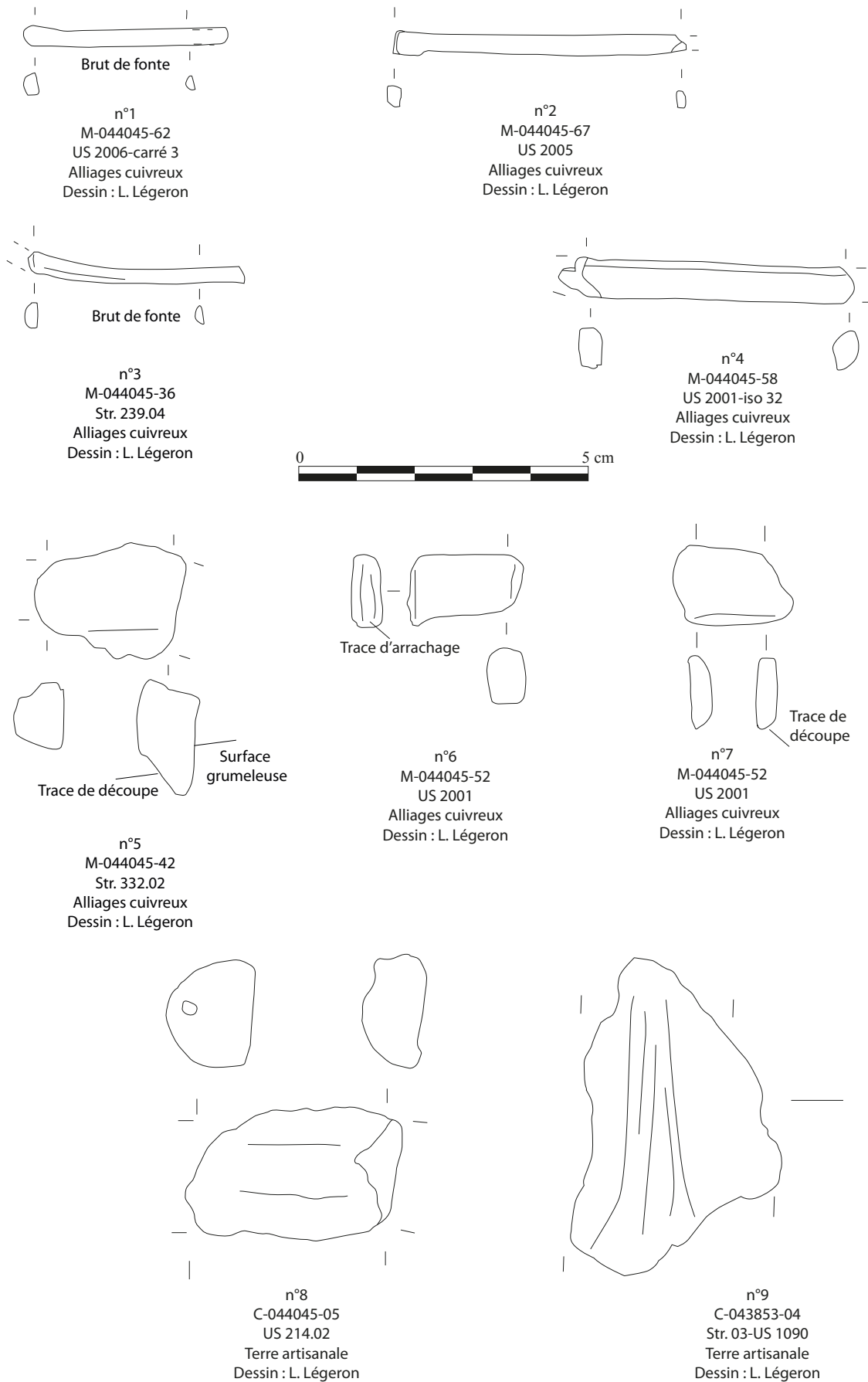


Fig.74 Panel des chutes liées au travail des alliages cuivreux (DAO : D. Beucher, E. Dubreucq)

pinces à épiler (M-043853-04-US 1002 ; M-043853-14-Str. 02-US 1005), voire peut-être un clou (M-043853-36-Str. 10-US 1022)(**Fig.71**, n°1 à 6).

Notons que des battitures globulaires se sont agglomérées sur plusieurs de ces fragments attestant de leur présence dans l'atelier au moment d'opérations de soudure (M-043853-58-Str.49-US 1116 ; M-043853-59-Str.49-US 1116 ; M-044045-45-Str. 359.02).

Un peu moins abondante, la métallurgie des alliages cuivreux est toutefois bien représentée sur les deux secteurs fouillés depuis 2021 avec près de 42 restes (**Fig.74**, n°1 à 9). En raison du recyclage, cela concerne surtout de petits déchets de moins de 1 g : billes de coulée (M-043853-76-Str. 31-US 1066), canal et cône de coulée (M-043853-75-Str. 29-US 1062), petites scories informes (M-044045-26-Str. 235.02 ; M-044045-35-Str. 239.02), un fragment de moule attestant de la fonte (C-044045-05-Str. 214.02), de petites chutes avec

traces de martelage et découpes (M-043853-79-Str. 64-US 1176 ; M-044045-67-US 2005) et quelques éléments plus massifs de type lingots ou barre en cours d'utilisation (M-044045-42-Str. 332.02 ; M-044045-52-US 2001). A l'inverse du fer, nous ne sommes pas en mesure de préciser les mobiliers qui ont été fabriqués.

3.1.2.7. LE TEXTILE

Également bien représentée, la confection de textiles et plus spécifiquement l'activité de filage ressort à travers la présence d'au moins huit fusaïoles (C-043853-08-Str. 29-US 1062 ; C-043853-09-Str. 31-US 1066 ; C-043853-10-Str. 31-US 1108 ; C-043853-11-Str. 31-US 1108 ; C-044045-01-Str. 201.03 ; C-044045-03-Str. 214.02 ; C-044045-02-Str. 228.02 ; C-044045-07-Str. 236.02)(**Fig.76**, n°1 à 8). Elles ont pu être rattachées à la typologie récemment proposée par F. Médard et ses collègues pour les fusaïoles du Bronze final à l'âge du Fer (Médard et al. 2017, p. 562, fig. 5). Six grands

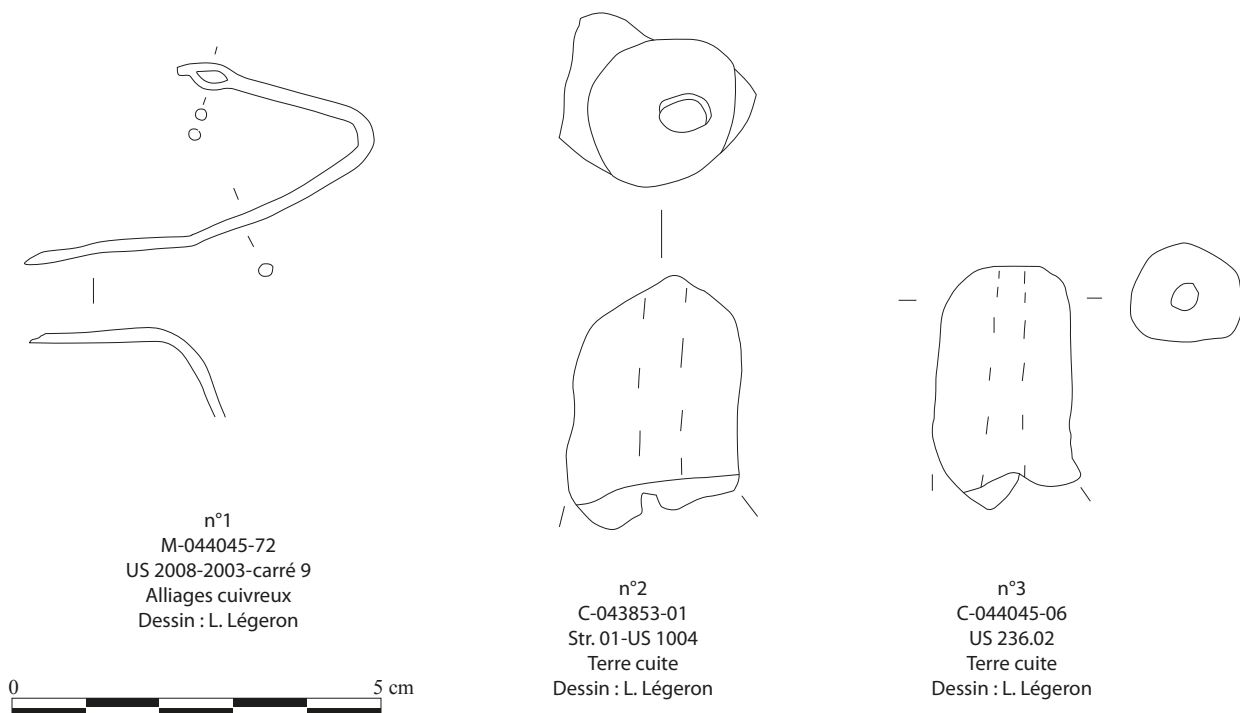


Fig.75 Aiguille et fragments de dévidoirs issus des deux secteurs de fouille (DAO : D. Beucher, E. Dubreucq)

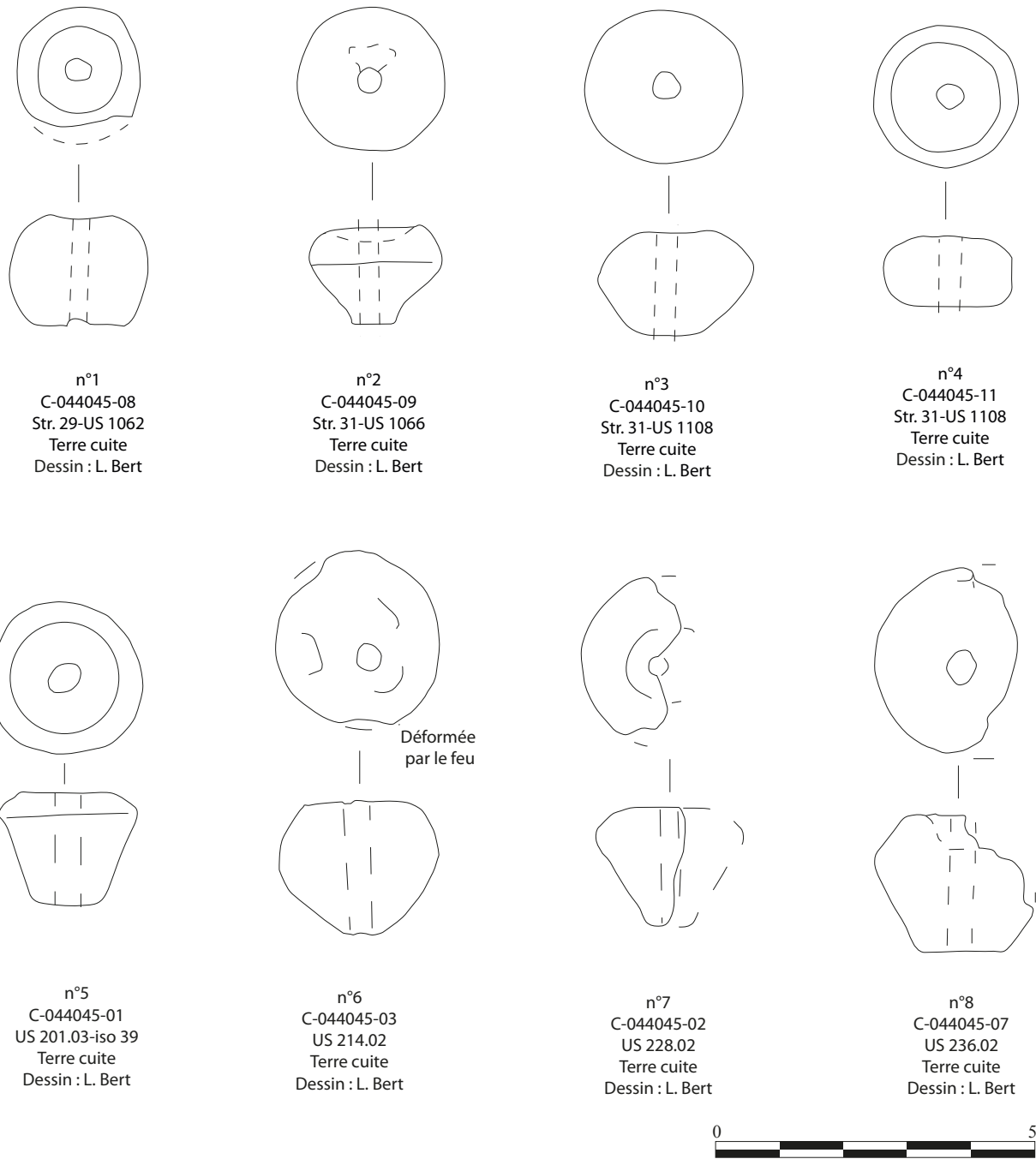


Fig.76 Fusaioles découvertes dans les deux secteurs de fouille (DAO : D. Beucher, E. Dubreucq)

types ont été distingués à Bragny qui d'un point de vue chronologique restent des modèles génériques propres à une partie de l'âge du Bronze, au premier âge du fer et au début du second (Médard et al. 2017, p. 562). En outre, si l'on s'intéresse aux aspects techniques de la fabrication du fil, il est nécessaire de prendre en considération le diamètre et la masse

de ces fusaioles, utilisées en tant que contrepoids et pour leur force d'inertie. On remarque que du point de vue du diamètre, le lot découvert est très homogène avec des dimensions variant de 22 à 26 mm et des masses s'échelonnant entre 6 et 15 g, données en corrélation avec ce qui est généralement observés pour la fin du premier et le début du second âge du

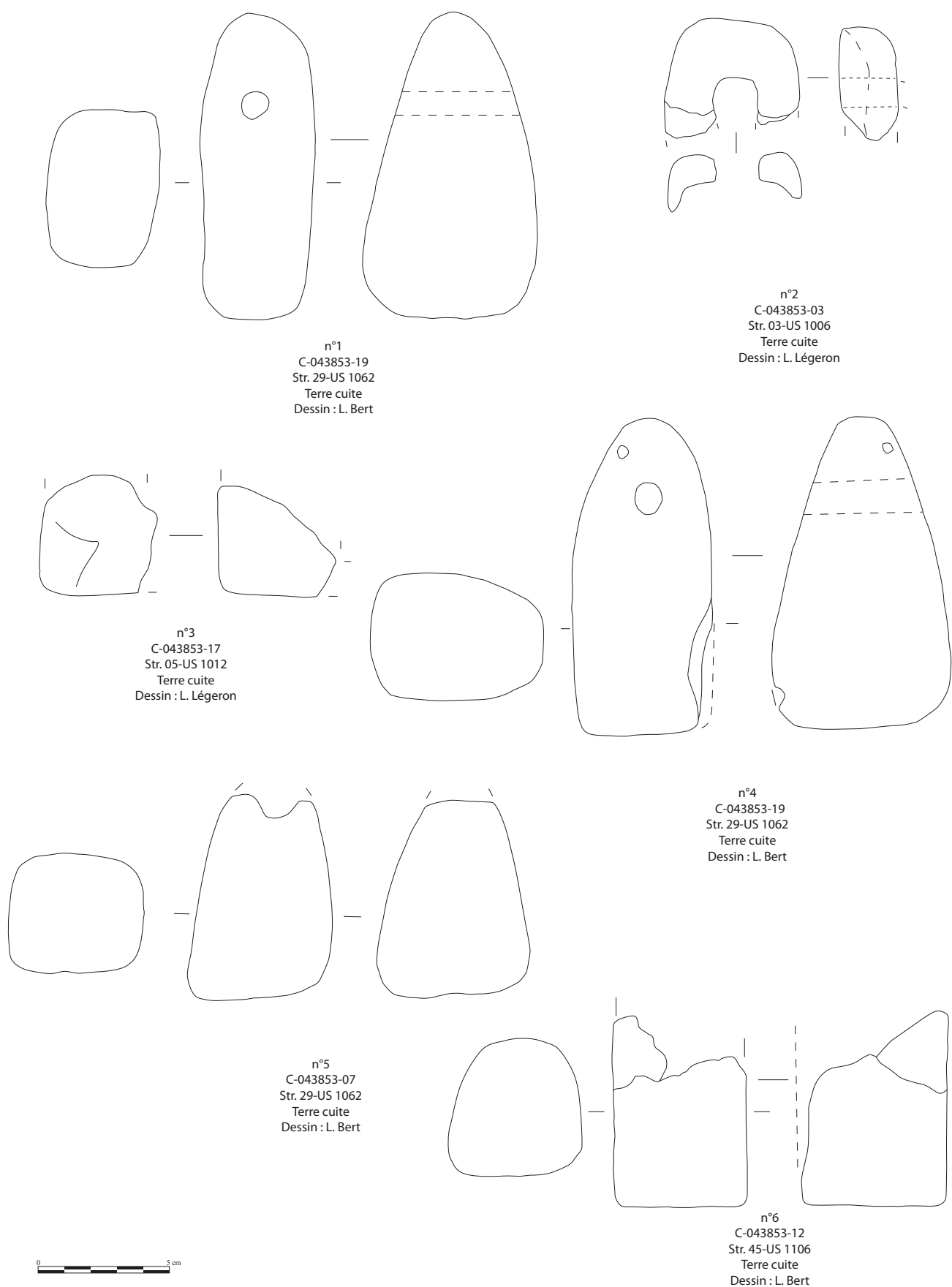


Fig.77 Panel de pesons découverts dans les deux secteurs de fouille (DAO : D. Beucher, E. Dubreucq)

Fer où les fils fabriqués sont relativement fins et de bonne qualité (Médard et al. 2017, p. 570).

Un lot de neuf pesons illustre également une activité de tissage à partir d'un métier à tisser (C-043853-02-Str. 01-US 1004 ; C-043853-03-Str. 03-US 1006 ; C-043853-04-Str. 03-US 1090 ; C-043853-05-Str. 06-US 1014 ; C-043853-06-Str. 08-US 1018 ; C-043853-07-Str. 29-US 1062 ; C-043853-19-Str. 29-US 1062 ; C-043853-12-Str. 45-US 1106 ; C-043853-16-Str. 29-US 1062 C-043853-17-Str. 05-US 1012) (**Fig.77**, n°1 à 6). Tous de forme tronconique et muni d'une perforation traversante dans leur partie supérieure, ils ont pour caractéristique d'être massif, pesant entre 283 et 420 g pour les mieux conservés. Ces dimensions importantes iraient dans le sens d'un tissage de fil à gros diamètre pour supporter la tension exercée par ces derniers. Classique pour toute l'Antiquité, leur morphologie ne permet pas de leur attribuer une datation précise. L'un des fragments a permis d'observer la technique pour leur fabrication, en l'occurrence l'utilisation de deux parties symétriques accolées ensemble

(**Fig.77**, n°2). En outre, si l'on s'attarde sur leur répartition, on remarque qu'ils proviennent tous de la partie nord du secteur 1, ce qui pourrait laisser supposer la présence d'un métier plutôt dans cette zone de l'habitat.

Deux fragments de dévidoirs viennent aussi compléter les ustensiles en terre cuite associés au textile (C-043853-01-Str. 01-US 1004 ; C-044045-06-Str. 236.02-iso 6) ainsi que deux aiguilles en alliages cuivreux (M-043853-69-Str. 05-US 1012 ; M-044045-72-US 2008/2003)(**Fig.75**, n°1 à 3). D'après leur dimension, elles ont permis la couture de travaux fins.

3.1.2.8. LE TRAVAIL DU BOIS ET/OU DU CUIR

Très caractéristique du travail du cuir ou de la peau, notamment pour le perçage de ces matériaux, une petite alène en fer provient de la structure 208 (M-044045-11-Str. 208. 02)(**Fig.78**, n°1). Un poinçon pourrait être lui aussi associé au même type d'activité (M-043853-49-Str. 75-US 1169)(**Fig.78**, n°2).

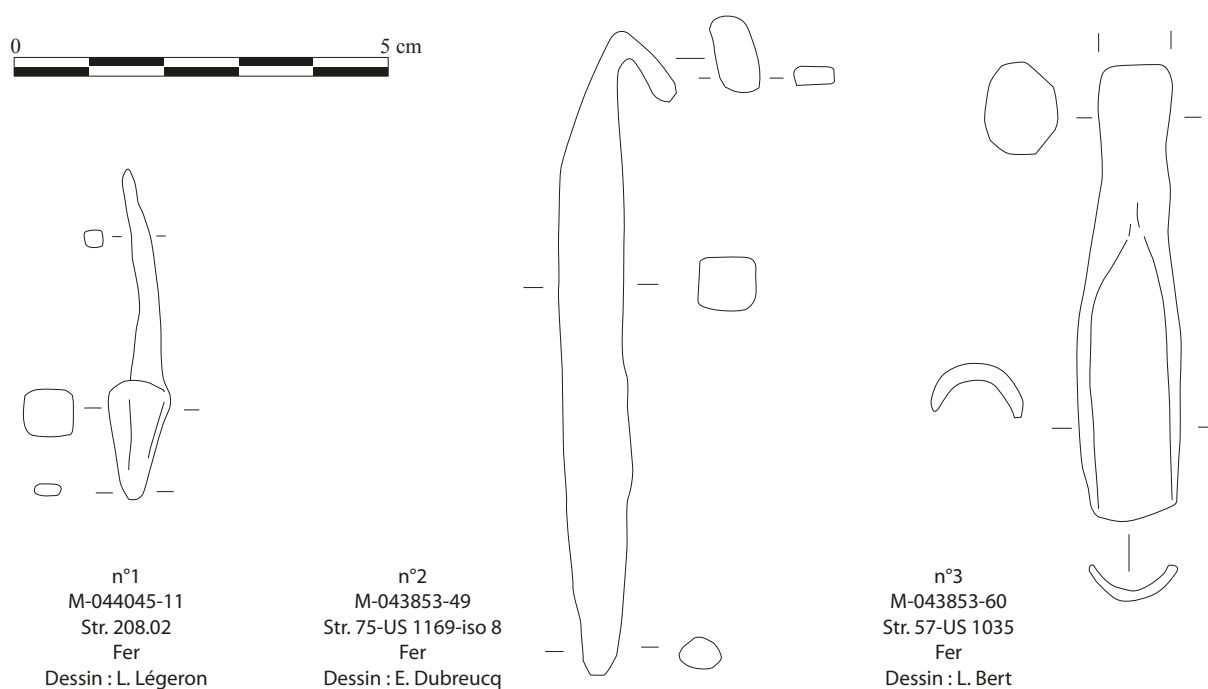


Fig.78 Lots d'outils pour le travail du bois et/ou du cuir (DAO : D. Beucher, E. Dubreucq)

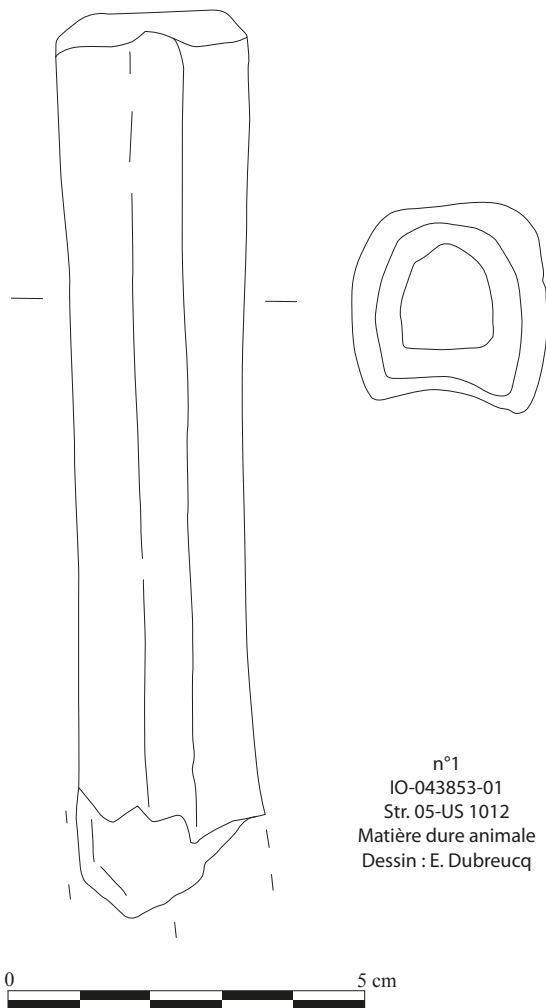
Enfin, interprétée comme une gouge en 2021 (M-043853-60-Str. 57-US 1035), une extrémité d'outil en forme de goutte d'eau creuse pourrait également avoir servi comme emporte-pièce, en comparaison avec d'autres outils plus récents (Duvauchelle 2005, Pl. 42, n°227). Du fait de l'absence du système d'emmanchement, nous ne tranchons pas entre les deux possibilités (**Fig.78**, n°3).

3.1.2.9. DIVERS-PRODUCTION

Les mobiliers classés dans « divers » productions sont généralement des mobiliers ubiquistes, pouvant relever de plusieurs activités menées à l'échelle domestique et/ou artisanales ou des pièces appartenant

assurément à la famille des outils mais dont la fonction n'est pas complètement assurée. A Bragny, cela concerne un peu plus d'une demi-douzaine d'artéfacts fabriqués dans des matériaux variés. C'est le cas pour un manche en matière dure animale (métatarse de boeuf) dont l'une des extrémités a été aménagée pour permettre l'emmanchement d'un outil (IO-043853-01-Str. 05-US 1012)(**Fig.79**, n°1). Cet aménagement est un creusement de forme quadrangulaire profond d'au moins 3 cm et large de 1.6 à 2 cm, sous-entendant un outil relativement massif.

Relevant probablement d'activités d'entretien des espaces verts (jardins-haies) ou peut-être du travail de l'osier, un fragment de serpette mérite d'être remarqué



n°4
C-043853-13
Str. 46-US 1141
Terre crue
Photo : E. Dubreucq

Fig.79 Manche d'outil en os et terre crue (DAO : D. Beucher, E. Dubreucq)

car il s'agit d'un outil peu courant à cette période (Dubreucq 2013)(M-043853-44-Str. 29 uincaillerie plus classique (M-043853-19-Str. 03-US 1090).

Enfin la présence de blocs de terre crue découverts dans plusieurs structures (C-043853-13-Str. 46-US 1137 ; C-043853-14-Str. 46-US 1141 ; C-043853-15-Str. 61-US 1137) pourraient témoigner d'un artisanat céramique (poterie, petits mobiliers), de la confection de moules et tuyères pour le travail du métal, voire d'une utilisation pour les plaques foyères et l'architecture (Fig. 81, n°2). Cette terre de couleur (grise) semble toutefois différente de celle trouvée dans la fosse-atelier 210 de couleur bien blanche.

3.2. PREMIÈRES REMARQUES SUR L'ÉTUDE DES SCORIES ET DES BATTITURES (L. B.)

3.2.1. LES DÉCHETS SCORIFIÉS

Des pré-inventaires ont été réalisés sur les scories et parois de four extraits des fouilles de 2021 et 2022. Cela a permis de quantifier les déchets métallurgiques sur ces secteurs. Un peu plus de 20 kg ont été prélevés sur le secteur 1 en 2021, plus de 14 kg sur le secteur 2 et 1 kg sur le secteur 3 en 2022 (Fig.80).

| | NR | Masse (en g) |
|--------------|-----|--------------|
| Sect. 1-2021 | 719 | 20152 |
| Sect. 2-2022 | 660 | 14487 |
| Sect. 3-2022 | 20 | 1072 |

Fig.80 Quantification des déchets scorifiés découverts dans les différents secteurs fouillés (L. Belhade)

En outre, les études en cours ont d'ores et déjà permis d'identifier différentes morphologies des scories : fragments de parois, fragments de scories, scories informes, culots... Bien que l'ensemble de ces déchets soient présents sur les différents secteurs de

fouilles, seuls les culots de forge seront abordés ici plus précisément. L'identification des culots (NMI) par rapport au reste des déchets métallurgiques (NR) apporte quelques indications.

On ne s'attardera pas, ici, sur les déchets issus du secteur 3 en raison de leurs faibles quantités. En ce qui concerne les culots des secteurs 1 et 2, on peut remarquer que leurs proportions par rapport à la totalité des déchets métallurgiques sont similaires d'un secteur à l'autre (Fig.81). Par ailleurs, lors des inventaires, une fragmentation importante de ces ensembles a été remarquée ce qui est cohérent avec la découverte fréquente en position secondaire de ce type de matériaux.

| | Total des déchets (NR) | Nbre de culots |
|-------------|------------------------|----------------|
| Sect 1-2021 | 719 | 99 |
| Sect 2-2022 | 660 | 62 |
| Sect 3-2022 | 20 | 9 |

Fig.81 Quantification des culots de forge par rapport à l'ensemble des déchets découverts dans les différents secteurs fouillés (L. Belhade)

S'ajoute à cela la comparaison entre les déchets extraits de structures et ceux découverts hors structures, seulement réalisable dans le secteur 2, puisque les niveaux de sol du secteur 1 n'ont pas été repérés (Fig.82).

| Sect. 2 | Provenance de structures | Provenance hors structures |
|----------------|--------------------------|----------------------------|
| Déchets (en g) | 7286 | 7201 |
| Déchets (en%) | 50,3 | 49,7 |

Fig.82 Quantification des scories selon leur provenance (issues ou non de structures)(L. Belhade)

On peut souligner que près de 50 % des scories est issu des niveaux de sol tandis que l'autre moitié provient des comblements de structures fouillées. On

note que F210 interprété comme une fosse atelier est la structure comportant le plus de déchets métallurgiques, soit près de 3 kg fortement fragmentés.

En outre, on distingue trois catégories principales de scories selon de la nature des matériaux constitutif (Berranger et al, 2015, p 21 ; Serneels in Anderson et al, 2003, p 140-151) :

- Les scories argilo-sableuses (SAS) sont caractérisées par des couleurs claires, un aspect vitreux, une forte porosité, une densité plutôt faible et une forme irrégulière. Leur aspect général est souvent partiellement fondu et hétérogène comportant des inclusions pouvant provenir d'une altération de la paroi de foyer ou d'ajouts volontaires en tant que décapant ou d'isolant pour limiter la réaction oxydante.
- Les scories grises denses (SGD) sont caractérisées par des couleurs grises aux tons variables, une porosité moindre, une densité légèrement plus importante qu'une roche normale et une forme plutôt arrondie. Son aspect est généralement en gouttelette et lisse. Cela est dû à son état qui a été liquide lors du fonctionnement du foyer.
- Les scories ferreuses rouillées (SFR) sont caractérisées par des couleurs gris sombre, terreuse ou rouillée à l'extérieur, une faible porosité, une densité forte et des formes variables. Son aspect général est souvent irrégulier et déchiqueté.

Elles sont souvent riches en fer métallique, si celui-ci n'est pas entièrement corrodé.

L'identification des culots selon leurs types a permis également de mettre en évidence la prédominance de certains d'entre eux (**Fig.83**). En effet, les culots SFR dominant sur les deux secteurs avec près de la moitié de la totalité des culots. Néanmoins, dans le cas du secteur 1, la différence avec les culots SGD est faible. Les culots SAS sont quant à eux peu représentés. Les culots dit « mixtes » sont ceux qui comportent les caractéristiques de plusieurs types de scories, mais là encore, ils sont peu représentés. En ce qui concerne les culots indéterminés, il s'agit de culots qui n'ont pu être sablés et comportant trop de concrétions exogènes pour permettre une identification.

3.2.2. LES BATTITURES

Les battitures sont des éclats centimétriques à millimétriques de fer ou d'oxyde métallique. Ces déchets se forment sur la surface du métal chauffé et se détachent sous l'impact du marteau, le plus souvent lors de la fin de mise en forme ou lors de finitions. Deux types de battitures peuvent être identifiés par leurs formes. L'une est appelée lamellaire avec deux surfaces planes, l'autre globulaire avec une forme boursoufflé en bille (Leroy, Cabboi, 2019, p. 36).

Issus de la fouille de 2021, ces déchets magnétiques ont pu être collectés grâce à un aimant passé au-dessus des sédiments prélevés et tamisés. Les 20

| | Total Culots (NMI) | Culot SFR (NMI) | Culot SGD (NMI) | Culot SAS (NMI) | Culots mixtes (NMI) | Culots indéterminés (NMI) |
|--------------------|--------------------|-----------------|-----------------|-----------------|---------------------|---------------------------|
| Sect 1-2021 | 99 | 45 | 40 | 6 | 6 | 2 |
| Sect 2-2022 | 62 | 31 | 19 | 4 | 2 | 4 |

Fig.83 Quantification des scories selon leur types et leur secteur (L. Belhade)

| Prélèvement | Structure | US | Masse sédiments (en g) | Masse des battitures (en g) | Rapport Sédiment/Battitures (en %) | Type de battitures |
|-------------|-----------|------|------------------------|-----------------------------|------------------------------------|----------------------------|
| 1 | 10 | 1100 | 190,2 | 0,3 | 0,16 | Lamellaires et globulaires |
| 2 | 8 | 1018 | 165,9 | 0,3 | 0,18 | Lamellaires et globulaires |
| 3 | 31 | 1108 | 156,2 | 0,05 | 0,03 | Lamellaires et globulaires |
| 4 | 3 | 1006 | 164,1 | 0,1 | 0,06 | Lamellaires et globulaires |
| 5 | 14 | 1030 | 196,1 | 0,4 | 0,2 | Lamellaires et globulaires |
| 6 | 10 | 1022 | 202,7 | 0,2 | 0,1 | Lamellaires et globulaires |
| 7 | 15 | 1032 | 161,3 | 0,1 | 0,06 | Lamellaires et globulaires |
| 8 | 46 | 1141 | 182,6 | 0,2 | 0,11 | Lamellaires et globulaires |
| 9 | 2 | 1005 | 171,6 | 0,6 | 0,35 | Lamellaires et globulaires |
| 10, 11 | 5 | 1012 | 453,7 | 1,8 | 0,4 | Lamellaires et globulaires |
| 12, 13 | 5 | 1091 | 479,7 | 0,9 | 0,19 | Lamellaires et globulaires |
| 14 | 13 | 1109 | 250,4 | 0,2 | 0,08 | Lamellaires et globulaires |
| 15 | 17 | 1036 | 220,3 | 0,4 | 0,18 | Lamellaires et globulaires |
| 16 | 3 | 1109 | 260,7 | 0,4 | 0,15 | Lamellaires et globulaires |
| 17 | 29 | 1062 | 184,4 | 0,3 | 0,16 | Lamellaires et globulaires |
| 18 | 64 | 1176 | 165,3 | 1,6 | 0,97 | Lamellaires et globulaires |
| 19 | 59 | 1144 | 150,6 | 0,2 | 0,13 | Lamellaires et globulaires |
| 20 | 42 | 1098 | 192,1 | 0,2 | 0,1 | Lamellaires et globulaires |

Fig.84 Tableau synthétique des battitures découvertes dans le secteur 1 (L. Belhade)

prélèvements se sont avérés positifs et comportent des battitures lamellaires et globulaires. Leur présence complète le panel de déchets métallurgiques sur le site et confirme la présence d'ateliers de forge. Cependant, aucune concentration n'a été mise en évidence, les quantités collectées dans chaque prélèvement sont du même ordre (**Fig.84**). On peut néanmoins constater une quantité légèrement plus importante pour le prélèvement 18 provenant de F64. En raison des très petites quantités concernées, il semble que ces déchets aient été déplacés depuis la zone de travail de l'artisan et soient en position secondaire.

3.3. LA CÉRAMIQUE DES SECTEURS 1 ET 2 : PREMIERS RÉSULTATS (L. P. ; D. B.)

Introduction

L'étude du corpus céramique provenant des fouilles 2021 (Dubreucq, Cicolani 2021) et 2022 est réalisée dans le cadre du Master ASA/ACTE à l'Université de Bourgogne avec la réalisation d'un mémoire pour chaque année. Lors du master 1 (Picot, 2022), il a pu être possible de commencer l'étude du corpus provenant de la fouille 2021. Le matériel de la fouille 2022 est venu compléter ce corpus et l'année universitaire actuelle doit permettre d'en finaliser l'étude.

L'inventaire de l'ensemble de fragments céramiques des campagnes 2021 et 2022 a été réalisé et nous permet déjà de donner quelques éléments quantitatifs : le corpus 2021 représente 5026 restes pour un poids total de 60 kg tandis que celui de 2022 se compose de 1874 restes pour 19 kg.

Les deux années réunies représentent 6900 restes correspondant à 584 individus (NMI bord) pour 79 kg.

Présentation générale

Le lavage, le tri et le reconditionnement des assemblages céramiques ont été réalisés durant les deux campagnes de fouilles ainsi que pendant les stages de post-fouilles organisés par le PCR Confluence chaque automne.

L'inventaire et les dessins des tessons ont quant à eux été réalisés en dehors de ces stages. Ces derniers ont toutefois permis de procéder à des corrections sur l'inventaire et les dessins quand cela était nécessaire grâce à l'aide de D. Bardel et R. Labeaune.

3.3.1. LES PRODUCTIONS MODELÉES

Le corpus est majoritairement composé de productions modelées. En effet, celles-ci représentent 98,9% du nombre de restes total, soit 6824 restes. Parmi ces derniers, on retrouve 564 NMI (bord), ce qui correspond environ à 8,3% des productions modelées et 8,5% environ des NMI (bord) du corpus entier.

3.3.1.1. ASPECTS TECHNOLOGIQUES

Si l'on s'intéresse à la pâte des productions modelées, on distingue deux grands groupes. D'une part les individus à pâte fine, d'autre part ceux à pâte grossière. On détermine ces deux groupes en prenant en compte les inclusions visibles ainsi que la matrice de la pâte.

La pâte fine correspond aux céramiques dont la composition de la pâte laisse paraître peu voire aucune inclusion. Généralement, on distingue un aspect de surface qui est lissé mais aussi bien plus travaillé que pour les individus à pâte grossière.

La pâte grossière quant à elle présente, à l'inverse, une pâte plus épaisse où les inclusions et dégraissants sont visibles. Son traitement de surface est moins travaillé : généralement une surface rugueuse ou parfois régularisée. On peut rencontrer divers types de dégraissants tels que le mica, la chamotte, le quartz et l'oxyde métallique. Si la chamotte est un dégraissant ajouté, les quartz et oxydes métalliques sont quant à eux présents en raison de la nature géologique des argiles qui sont employés.

Le traitement de surface de ces deux groupes peut également s'expliquer par l'utilisation qui en sera faite : les individus à pâte fine sont plus travaillés puisqu'ils seront employés en tant que récipient pour des liquides par exemple ou encore en tant que vaisselle de présentation. À l'inverse, les vases à pâte grossière seront utilisés pour du stockage ou bien la cuisson (Bardel 2012, p. 76).

Enfin, une tendance a été observée dans ce corpus pour les productions modelées : les individus à pâte fine sont présents en plus grande quantité que les individus à pâte grossière. En effet, ce dernier est composé à 55% d'individus à pâte fine contre 45% d'individus à pâte grossière. Il s'agit par ailleurs d'une tendance normale qui est observée pour les sites de cette période, y compris Bragny (Bardel 2012 ; Dubreucq, Thivet 2021, p. 86).

3.3.1.2. LE RÉPERTOIRE TYPOLOGIQUE DES FORMES ET DES DÉCORS

Le corpus est présenté dans un tableau typologique (**Fig.85**) à l'aide de la classification du Centre-Est

| | | | | | | |
|--------------------------------------|--|--|--|--|--|--|
| F.B. à corps simple | 11100 | | Coupe tronconique | | 11200 | |
| | 12100 | | Coupe hémisphérique | | 12200 | |
| F.B. à corps monosegmenté à complexe | Coupe à marli 21200 | | 22110 | | Jatte à bord rentrant basse à profonde 22120 | |
| | 23100 | | 23200 | | 22200 | |
| | Jatte à bord droit basse à profonde 23100 | | Jatte à carène 24100 | | Jatte à carène médiane 24500 | |
| | 23200 | | 24300 | | 24500 | |
| | Jatte à carène médiane 25100 | | Ecuelle carénée 32200 | | Ecuelle à épaulement haut et col droit 34100 | |
| | Ecuelle à épaulement haut et col déversé 34200 | | Ecuelle à épaulement médian et col droit 34300 | | Ecuelle à épaulement-ressaut bas 34400 | |
| F.H. à corps simple ou monosegmenté | Pot tronco-elliptique simple 41100 | | Pot elliptique à bord droit 41200 | | Pot à épaulement court 61100 | |
| | Pot à épaulement arrondi 61200 | | | | | |
| Formes hautes à corps complexe | Bouteille / jarre / gobelet 71100 | | | Bouteille / jarre / gobelet à épaulement 74200 | | |
| | | | | | | |
| Fonds | Fond à pied creux 82000 | | Fond à pied creux court droit 82220 | | Fond annulaire 83000 | |
| | | | | | | |
| dessins L. Picot | | | | | | |

Fig.85 Tableau synthétique des formes du corps de Bragny 2021 (L. Picot)

(Bardel 2012, p. 94). Ce dernier propose une documentation graphique de toutes les formes identifiées et rassemble pour le moment seulement la première partie du corpus provenant de la fouille 2021 ; la deuxième partie (celle de la fouille ayant eu lieu en 2022) étant encore en cours d'illustration.

Par ailleurs, si l'on s'intéresse au NTI, ce sont 17 types qui ont été identifiés au sein de ce corpus où les formes basses sont prédominantes par rapport aux formes hautes.

LES FORMES BASSES SIMPLES

- Types 11000 : ce sont les coupes et bols tronconiques, basses (type 11100) ou profondes (11200). La majorité des individus sont en pâte fine à mi-fine, quelques-uns en pâte grossière. Deux individus présentent des décors plastiques. Parmi tous les NMI (bord) du répertoire modelé, ils représentent environ 5% de celui-ci pour 26 individus.
- Types 12000 : les coupes et bols hémisphériques présents dans ce corpus se déclinent en deux sous-types : les formes basses (type 12100) et les formes profondes (type 12200). Comme pour le type précédent, on retrouve la même tendance concernant le type de pâte : ce sont quasi exclusivement des individus à pâte fine à mi-fine pour très peu de pâte grossière. Deux individus possèdent des décors plastiques. Ils représentent environ 6,5% des NMI (bord) du répertoire modelé pour un total de 37 individus.
- Type 13000 : on ne retrouve qu'un seul exemplaire de ces coupes cylindriques dans le corpus. Plus précisément, il s'agit d'une coupe cylindrique profonde (type 13200). Ce dernier présente une pâte fine. Ce type n'est pas représenté

sur la planche typologique car il appartient au corpus 2022 encore en cours d'étude.

LES FORMES BASSES MONOSEGMENTÉES ET COMPLEXES

- Type 21000 : il s'agit des coupes à marli. Un seul exemplaire de ce type a été inventorié dont le profil est arrondi à marli (type 21200) et la pâte fine.
- Types 22000 : ce type est parmi les plus représentés dans le corpus avec 124 NMI (bord), soit environ 22% des NMI (bord) de répertoire modelé. Il correspond aux jattes et bols à bord rentrant. Plus précisément, il s'agit ici d'individus dont le profil est bas à moyen (type 22100) avec en grande majorité des pâtes fines à mi-fines. Un individu présente un décor plastique.
- Types 23000 : les jattes et bols à bord droit sont présents en plus petite quantité que le type précédent, pour environ 8% du NMI total des productions modelées (45 NMI (bord)). Ils ne présentent que des profils bas à moyen (type 23100) excepté pour un individu de type profond (type 23200). La tendance est également portée sur les individus à pâte fine à mi-fine. Deux individus présentent des décors plastiques.
- Types 24000 : il y a peu de jattes carénées dans le corpus, seulement 4 NMI (bord), soit moins de 1% du NMI total des productions modelées. Tous en pâtes fines, aucun d'entre eux ne présente des décors. Parmi les types identifiés, on remarque déjà une jatte à carène haute de forme profonde (type 24100). Deux jattes à carène médiane, l'une à carène aiguë (type 24310) et l'autre à carène plus arrondie et partie haute développée (type 24330). Enfin, une jatte à carène médiane avec un bord déversé (type 24500) a également été observée.

- Type 25000 : un seul exemplaire de ce type, soit une jatte à ressaut haut (25100), a été identifié dans le corpus. Ce dernier est en pâte fine, aucun décor n'est visible.

- Type 32000 : les écuelles carénées à col court (32200) ne représentent qu'environ 1,5% du NMI total des productions modelées (8 NMI (bord)). Toutes en pâtes fines, certaines présentent des décors peints.

- Types 34000 : le type englobe toutes les écuelles à épaulement avec un col court. On distingue quatre sous-types dans le corpus.

Les écuelles à épaulement haut et col droit (type 34100) sont les plus nombreuses. On dénombre 14 NMI (bord), ce qui représente environ 2,5% des NMI (bord) des productions modelées. Elles ont toutes une pâte fine et présentent des décors.

Les écuelles à épaulement haut et col déversé (type 34200) sont également nombreuses puisqu'on compte 12 NMI (bord). Cela équivaut à environ 2,1% des NMI (bord) des productions modelées. La moitié d'entre elles a été façonnée au tour tandis que l'autre moitié est modelée et présente une pâte fine. Les seuls décors visibles sont sur les individus façonnés au tour.

Les écuelles à épaulement médian et col droit (type 34300) sont moins représentées comparé aux autres types. Ce sont 9 individus qui ont été comptabilisés (NMI bord) et donc environ 1,6% en NMI (bord) des productions modelées. Tous en pâte fine, certains d'entre eux présentent des décors peints.

Les écuelles à épaulement-ressaut (type 34400), pour la grande majorité en pâte fine, sont les moins présentes dans ce corpus. On ne compte que 5 individus (NMI bord) qui correspondent à moins de 1% des

NMI (bord) des productions modelées. Un seul individu présente un décor peint.

LES FORMES HAUTES SIMPLES OU MONOSEGMENTÉES

- Types 41000 : il s'agit des pots à profils elliptiques. Ils présentent des profils tronco-elliptique (type 41100) ou bien tronconique avec la partie haute convergente (type 41200). Un individu est en pâte fine, les autres varient entre mi-fine et grossière. Ils représentent moins de 1% des NMI (bord) du répertoire modelé pour un total de 4 individus. Certains présentent des décors plastiques.

- Types 61000 : les pots à épaulement haut ont une forme tronconique dont l'épaulement peut varier, étant alors court (type 61100) ou bien arrondi et plus développé (type 61200). Ce sont 6 individus qui ont été comptabilisés et donc environ 1% en NMI (bord) des productions modelées. Ils sont, pour la majorité, en pâte grossière tandis que d'autres sont en pâte fine à mi-fine. A l'exception d'un individu, ils présentent tous des décors plastiques.

LES FORMES HAUTES COMPLEXES

- Type 71000 : ce sont les bouteilles/jarres/gobelets biconiques à épaulement et encolure resserrée. Ces derniers sont en pâte fine ou grossière. Seuls 2 NMI (bord) ont été enregistrés pour ce type, soit moins de 1% des NMI (bord) du répertoire modelé. Un seul individu présente un décor plastique.

- Types 74000 : ce sont les bouteilles/jarres/gobelets biconiques à épaulement arrondi et encolure développée. Ces derniers sont tous en pâte fine. On ne compte que 7 individus (NMI bord) qui

correspondent à environ de 1,2% des NMI (bord) des productions modelées. Aucun individu ne possède de décor.

LES ASSISES

Les assises plates sont les types de fonds les plus récurrents dans ce corpus. En plus de ces derniers, il a été possible d'observer également un fond à ombilic (type 81000) (1 NMI fond). Les fonds à pied creux (82000) sont ceux dont le NMI (fond) est le plus grand avec un total de 10 individus, suivi par les fonds annulaires (83000) dont le NMI est à 2 individus. Tous les

individus sont en pâte fine. Seuls les types 82000 et 83000 ont été représentés, l'individu appartenant au type 81000 faisant partie du corpus encore en cours d'étude.

LES DÉCORS

Les décors peints

On retrouve des tessons sur lesquels figurent un décor peint en petite quantité dans le corpus. Seulement 56 restes (soit moins de 1% du répertoire modelé) dont 11 individus (NMI bord) présentent un décor

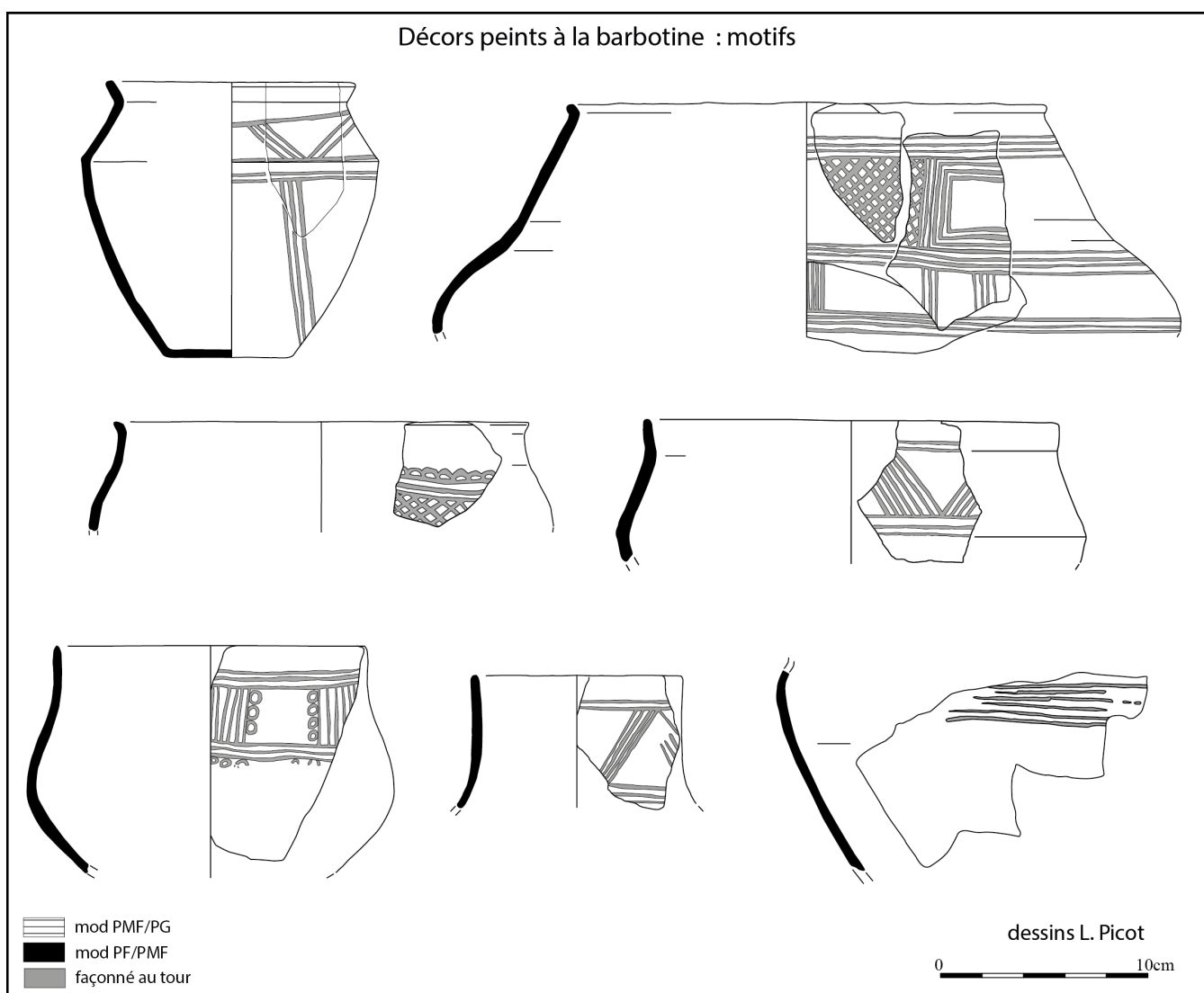


Fig.86 Différents motifs des décors peints à la barbotine de Bragny 2021 (L. Picot)

peint. Ce dernier correspond généralement à de la barbotine et rarement des aplats de peinture rouge : seulement deux tessons sur les 56 NR possèdent un décor peint correspondant à de la peinture rouge. Et l'une des deux panses présente un décor peint mêlant peinture rouge et barbotine.

Le décor peint a principalement été mis en évidence sur des individus à pâte fine. Seuls deux décors se trouvent sur des individus à pâte grossière.

Généralement, ils sont présents sur des écuelles à épaulement (type 34000).

Les motifs identifiés sont variés : lignes horizontales ou verticales, chevrons emboîtés, résilles, métopes à lignes verticales et festons (**Fig.86**).

Les décors plastiques

À l'inverse des décors peints, on retrouve plus de décors plastiques dans le corpus. En effet, ce sont 360 restes dont 28 NMI (bord et fond) comptabilisés (**Fig.87**). Aussi, 290 restes appartiennent aux productions fines à mi-fines contre seulement 70 restes pour les productions mi-fines à grossières.

Différents types de décors plastiques ont été remarqués tels que les décors modelés, les décors incisés ou encore les décors d'impressions (**Fig.88** à **Fig.90**). Les décors impressionnés ou

| Type de décor | | NR | NMI |
|-----------------|--------------------|-----|-----|
| Décor plastique | Cordon | 114 | 4 |
| | % | 32 | 14 |
| Décor plastique | Modelage de picots | 67 | 2 |
| | % | 19 | 7 |
| Décor plastique | Impressions | 159 | 20 |
| | % | 44 | 71 |
| Décor plastique | Cannelures | 2 | 0 |
| | % | 1 | 0 |
| Décor plastique | Incisions | 18 | 2 |
| | % | 5 | 7 |
| Total | | 360 | 28 |

Fig.87 Tableau des techniques décoratives plastiques par NR et NMI pour les productions modelées (L. Picot)

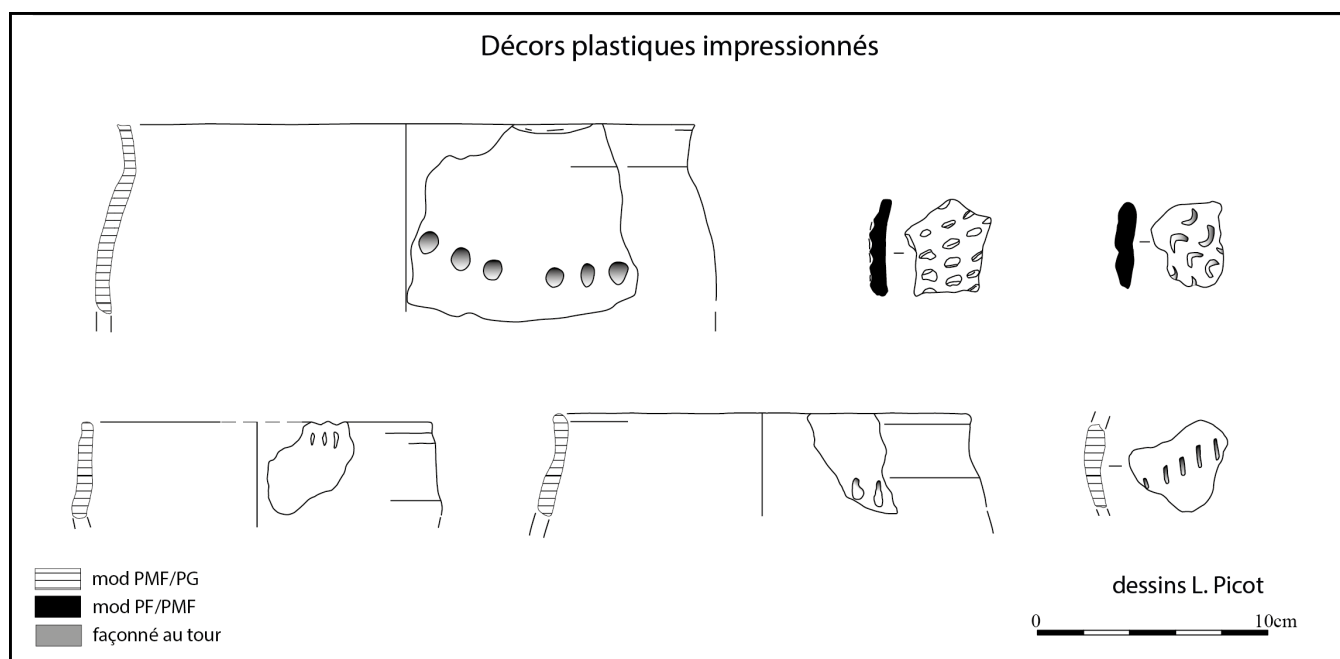


Fig.88 Décors plastiques impressionnés de Bragny 2021 (L. Picot)

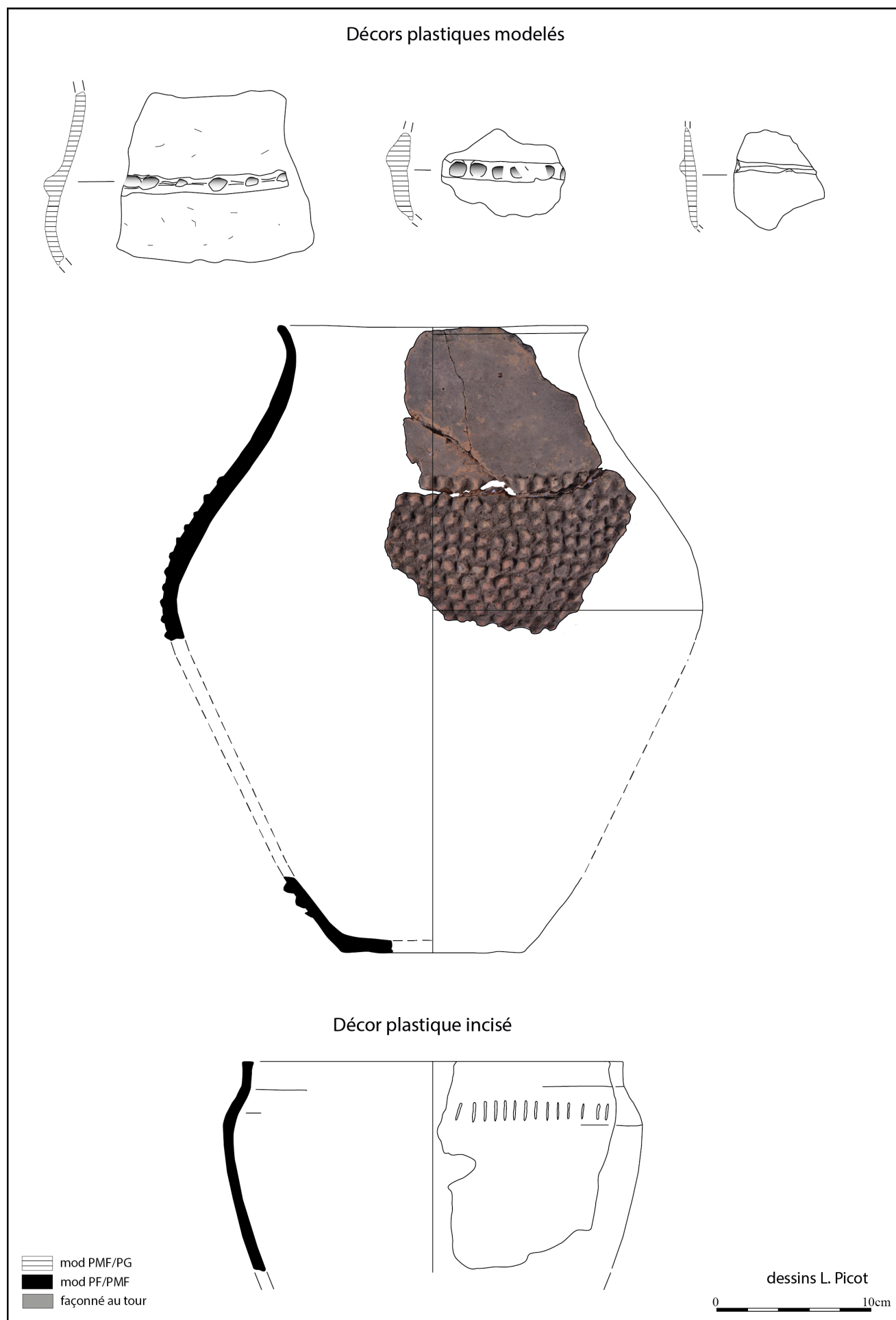


Fig.89 Décors plastiques modelés et incisés de Bragny 2021 (L. Picot)

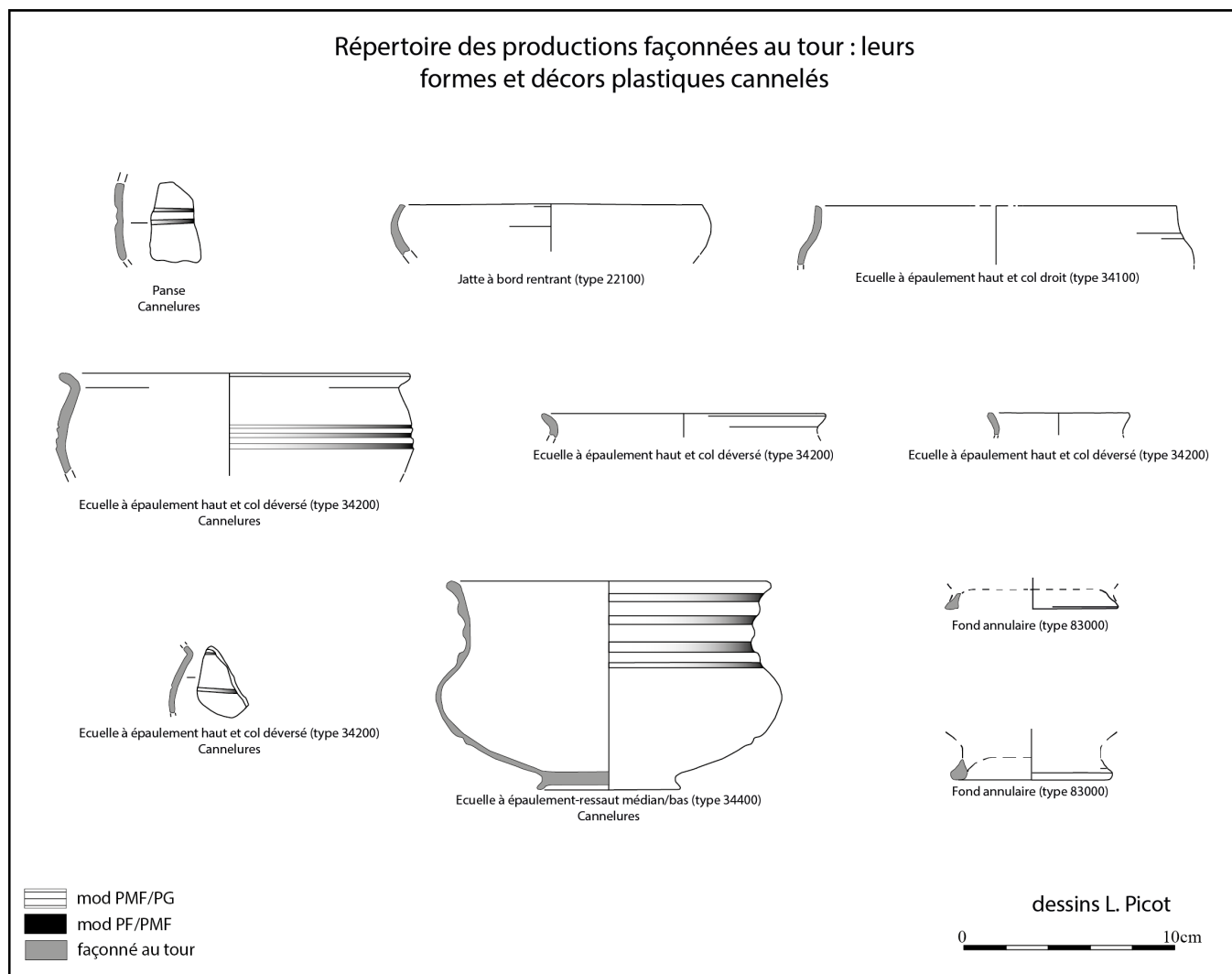


Fig.90 Décors plastiques cannelés de Bragny 2021 (L. Picot)

bien incisés s'apparentent à des décors linéaires, à l'inverse des décors modelés que l'on peut caractériser de décors plastique couvrant (cf. *infra*).

Les décors modelés regroupent différents types de cordons ainsi que le modelage de picots. Ces deux techniques décoratives regroupent 180 NR. Les cordons présentent la majorité des restes, soit 114 NR pour 4 NMI (bord). Il peut s'agir de cordons digités ou lisses. Quant au modelage de picots, ce sont 67 restes (dont deux tessons ayant également des impressions) comptabilisés dont 1 NMI (bord) et 1 NMI (fond). L'un des deux individus possédant un modelage de picots possède un décor que l'on peut qualifier de plastique couvrant puisqu'il se trouve sur la totalité de la panse.

Ce genre de décor peut servir à faciliter la préhension du vase. On observe une tendance pour les formes hautes du répertoire typologique pour les deux techniques décoratives. De plus, ces décors appartiennent à des individus dont les productions peuvent être fine à mi-fine ou bien grossières avec des finitions généralement régularisées. À l'exception d'un exemple de modelage de picots, toutes les autres productions grossières présentent des cordons digités.

Les décors incisés ont été observés sur 18 tessons dont 2 NMI (bord). Il peut s'agir d'incision réalisée à l'aide d'un outil tranchant, comme à la pointe ou bien encore au peigne, laissant paraître des tracés horizontaux ou verticaux. On observe ces décors sur un

individu à forme basse (une jatte à bord rentrant) ainsi que sur une forme haute (pot à épaulement). Ces décors sont visibles sur des individus dont la production se situe entre fine à mi-fine avec des finitions généralement régularisées.

Enfin, les décors d'impressions sont ceux ayant été observés sur le plus de tessons : 161 restes dont 20 NMI (bord). Parmi tous ces tessons, deux d'entre eux correspondent à des panses décorées par des cannelures horizontales. Tandis que les 159 autres restes correspondent à des impressions, sur des panses ou bien des bords. Il peut s'agir de lignes d'impressions ou bien encore d'impressions qui recouvrent toute la surface du tesson. Plusieurs types d'applications ont été remarquées : digitée, oblique, lunule, digito-unguéales, au poinçon ou bien même mêlé à une autre technique décorative (cf. supra). Ces décors sont observés, en majorité, sur des formes hautes tels que des pots à profil tronco-elliptique ou bien encore des pots à épaulement. Quelques coupes ainsi que des écuelles présentent aussi ces décors. La majorité des restes appartiennent aux productions fines à mi-fines. Des productions grossières sont également présentes et possèdent toutes des décors étant des impressions digitées.

3.3.2. LES PRODUCTIONS FAÇONNÉES AU TOUR

Bien que présent en petite quantité (cf. *infra*) en comparaison avec le répertoire des individus modelés, les productions façonnées au tour ont été le sujet de nombreuses études comme dans le cadre d'un travail universitaire de maîtrise (Collet 1990). On dénombre seulement 76 restes, ce qui représente 1,1% du nombre de restes total. Parmi tous ces tessons, on retrouve 20 NMI (bord), ce qui correspond à moins de 0,3% des NMI (bord) du corpus entier.

3.3.2.1. ASPECTS TECHNOLOGIQUES

À l'inverse des productions modelées, celles façonnées au tour sont très peu présentes dans le corpus. On entend par cette désignation de « façonné au tour » tous les individus n'étant pas modelés. Au contraire, il s'agit là d'une production « dont la chaîne opératoire fait appel à un dispositif rotatif » (Augier et al. 2013, p. 565). L'emploi d'un tel dispositif n'est plus seulement utilisé pour réaliser les finitions mais également pendant le façonnage de l'individu.

Bien que certaines productions façonnées au tour présentent une matrice de pâte et un traitement de surface différents des productions modelées, il arrive dans le cas du corpus étudié que la distinction entre vases modelés et vases façonnés au tour soit parfois plus compliquée puisque les individus façonnés ne présentent pas tous des pâtes d'une grande finesse. Toutefois, le répertoire façonné au tour de ce corpus présente exclusivement des individus en pâte fine avec une finition lissée.

3.3.2.2. LE RÉPERTOIRE TYPOLOGIQUE DES FORMES ET DES DÉCORS

Les individus façonnés au tour possèdent un répertoire proche de celui des productions modelées. On remarquera tout de même que celui de ce groupe se spécialise dans les productions orientées vers la vaisselle de présentation (**Fig.90**).

LES FORMES BASSES MONOSEGMENTÉES ET COMPLEXES

- Types 22000 : une seule jatte à bord rentrant (type 22100) a été identifiée dans les productions façonnées au tour. Il s'agit d'une rare représentation de cette forme pour une telle production (Dubreucq, Thivet 2021, p. 90).

- Types 34000 : tout comme pour les productions modelées, celles façonnées au tour présentent aussi des écuellés à épaulement. On retrouve plusieurs sous-types de ces individus.

34100 : seulement un individu (NMI bord) a été observé pour ce type. Il ne présente pas de décor plastique.

34200 : les écuellés à épaulement haut et col déversé sont, dans ce corpus, le type privilégié du répertoire façonné au tour. Certains individus présentent des décors plastiques, des cannelures horizontales. 10 NMI ont été identifiés pour ce type.

34400 : tout comme pour le type 34100, on ne trouve qu'un seul de ces individus dans le répertoire façonné au tour. Il ne présente pas de décor plastique.

LES ASSISES

Les assises façonnées au tour présentent, tout comme pour celles modelées, des fonds. On peut en effet observer des fonds annulaires (type 83000) pour un total de 5 NMI (fond).

LES DÉCORS

Les décors plastiques – les cannelures

Concernant les décors plastiques dans le répertoire des productions façonnées au tour, on observe pour seul et unique type de décor les cannelures (**Fig.90**). Ces impressions sont observées sur 19 restes dont 7 NMI (bord). Les cannelures sont exclusivement horizontales et observables, parmi le répertoire typologique, sur les écuellés à épaulement haut (34200) ainsi que sur une écuelle à épaulement-ressaut (34400).

3.3.3. PRINCIPAUX RÉSULTATS DU MASTER 1

L'étude du corpus provenant de la fouille 2021 a permis d'obtenir des premiers résultats, notamment sur les questions de taphonomie ou encore de la répartition du mobilier sur le site.

Un poids moyen a été calculé à l'échelle du site mais également pour chaque structure afin d'avoir une idée du taux de fragmentation. Le poids moyen du corpus 2021 était donc de 13 gr/NR. Des structures comme le F29, soit une grande fosse ovale, présentaient des poids moyens plus élevés (19 gr/NR), révélant donc une meilleure conservation.

Un groupe de 164 tessons, provenant de diverses structures, présente des traces de surcuisson. On peut notamment penser à la structure 4, une fosse, pour laquelle 248 restes ont été mis au jour. Parmi ces derniers, 1 individu (soit 59 restes) présentait des traces de surcuisson. Ces traces de brûlures ne sont pas dues à des raisons taphonomiques, aucune mention d'un contexte réduit par le feu n'est faite (Dubreucq, Cicolani 2021, p. 36). Ces traces de surcuisson peuvent donc être en lien avec l'utilisation ou bien encore correspondre au moment de la production de l'individu.

Si l'on s'intéresse au tableau d'inventaire quantifié, bien que les données soient encore en cours de traitement pour la campagne 2022, on voit que certaines structures présentent un plus grand nombre de restes ainsi que de NMI (**Fig.91**). Dans le cas de la fouille 2021, ces dernières se révèlent être des fosses. La structure 29 et 3 possèdent respectivement 67 et 56 NMI, soit 14% et 11% sur l'ensemble des NMI de la campagne 2021 (cf. *supra*).

| Numéro de structure | Type de structure | Campagne | Poids (gr) | NR | Poids moyen par NR | Restes par structure en % | NMI | NMI en % |
|---------------------|--|-----------|------------|-----|--------------------|---------------------------|-----|----------|
| 1 | Indéterminé | 2021 | 856 | 59 | 14 | 0,86% | 8 | 1,37 |
| 2 | Grande fosse ovalaire | 2021 | 2898 | 259 | 11 | 3,75% | 17 | 2,91 |
| 3 | Grande fosse ovalaire | 2021 | 5968 | 461 | 13 | 6,68% | 51 | 8,73 |
| 4 | Fosse | 2021 | 4322 | 248 | 17 | 3,59% | 22 | 3,77 |
| 5 | Grande fosse rectangulaire | 2021 | 6806 | 595 | 11 | 8,62% | 45 | 7,71 |
| 6 | Grande fosse ovalaire | 2021 | 1292 | 82 | 16 | 1,19% | 13 | 2,23 |
| 7 | Petite fosse | 2021 | 286 | 37 | 8 | 0,54% | 8 | 1,37 |
| 8 | Grande fosse ovalaire | 2021 | 2654 | 228 | 12 | 3,30% | 15 | 2,57 |
| 9 | Petite fosse allongé avec trou de poteau aménagé | 2021 | 12 | 14 | 1 | 0,20% | 2 | 0,34 |
| 10 | Grande fosse ovalaire | 2021 | 4550 | 333 | 14 | 4,83% | 50 | 8,56 |
| 13 | Trou de poteau | 2021 | 322 | 22 | 15 | 0,32% | 3 | 0,51 |
| 15 | Trou de poteau | 2021 | 12 | 3 | 4 | 0,04% | 0 | 0,00 |
| 16 | Trou de poteau | 2021 | 104 | 18 | 6 | 0,26% | 1 | 0,17 |
| 17 | Grande fosse quadrangulaire | 2021 | 2884 | 202 | 14 | 2,93% | 16 | 2,74 |
| 18 | Fosse | 2021 | 162 | 16 | 10 | 0,23% | 0 | 0,00 |
| 19 | Trou de poteau | 2021 | 164 | 22 | 7 | 0,32% | 1 | 0,17 |
| 20 | Trou de poteau | 2021 | 682 | 44 | 16 | 0,64% | 6 | 1,03 |
| 21 | Trou de poteau | 2021 | 24 | 7 | 3 | 0,10% | 0 | 0,00 |
| 23 | Fosse avec trou de poteau | 2021 | 654 | 54 | 12 | 0,78% | 2 | 0,34 |
| 24 | Trou de poteau | 2021 | 12 | 3 | 4 | 0,04% | 0 | 0,00 |
| 26 | Trou de poteau | 2021 | 104 | 17 | 6 | 0,25% | 1 | 0,17 |
| 27 | Trou de poteau | 2021 | 406 | 36 | 11 | 0,52% | 4 | 0,68 |
| 28 | Trou de poteau | 2021 | 68 | 7 | 10 | 0,10% | 1 | 0,17 |
| 29 | Grande fosse ovalaire | 2021 | 12785 | 687 | 19 | 9,96% | 67 | 11,47 |
| 31 | Petite fosse avec petit trou de pote | 2021 | 1990 | 122 | 16 | 1,77% | 12 | 2,05 |
| 32 | Fosse | 2021 | 192 | 17 | 11 | 0,25% | 0 | 0,00 |
| 33 | Trou de poteau | 2021 | 26 | 1 | 26 | 0,01% | 0 | 0,00 |
| 36 | Trou de poteau | 2021 | 20 | 4 | 5 | 0,06% | 0 | 0,00 |
| 37 | Trou de poteau | 2021 | 86 | 10 | 9 | 0,14% | 0 | 0,00 |
| 38 | Trou de poteau | 2021 | 30 | 5 | 6 | 0,07% | 0 | 0,00 |
| 39 | Petite fosse | 2021 | 146 | 8 | 18 | 0,12% | 1 | 0,17 |
| 41 | Trou de poteau | 2021 | 48 | 5 | 10 | 0,07% | 2 | 0,34 |
| 42 | Petite fosse avec un trou de poteau | 2021 | 1082 | 89 | 12 | 1,29% | 6 | 1,03 |
| 43 | Trou de poteau | 2021 | 78 | 11 | 7 | 0,16% | 1 | 0,17 |
| 45 | Trou de poteau | 2021 | 330 | 27 | 12 | 0,39% | 7 | 1,20 |
| 46 | Fosse | 2021 | 358 | 44 | 8 | 0,64% | 3 | 0,51 |
| 47 | Trou de poteau | 2021 | 56 | 5 | 11 | 0,07% | 1 | 0,17 |
| 48 | Fosse | 2021 | 142 | 22 | 6 | 0,32% | 0 | 0,00 |
| 49 | Fosse | 2021 | 108 | 19 | 6 | 0,28% | 3 | 0,51 |
| 51 | Trou de poteau | 2021 | 28 | 9 | 3 | 0,13% | 0 | 0,00 |
| 54 | Trou de poteau | 2021 | 40 | 4 | 10 | 0,06% | 0 | 0,00 |
| 55 | Trou de poteau | 2021 | 12 | 2 | 6 | 0,03% | 1 | 0,17 |
| 57 | fosse/trou de poteau | 2021/2022 | 1293 | 94 | 14 | 1,36% | 9 | 1,54 |
| 58 | Fosse avec trou de poteau | 2021 | 142 | 18 | 8 | 0,26% | 1 | 0,17 |
| 59 | Trou de poteau | 2021 | 352 | 46 | 8 | 0,67% | 7 | 1,20 |
| 61 | Fosse | 2021 | 22 | 5 | 4 | 0,07% | 0 | 0,00 |
| 63 | Trou de poteau | 2021 | 6 | 3 | 2 | 0,04% | 0 | 0,00 |
| 64 | Trou de poteau | 2021 | 234 | 29 | 8 | 0,42% | 3 | 0,51 |
| 66 | Trou de poteau | 2021 | 128 | 6 | 21 | 0,09% | 0 | 0,00 |
| 68 | Trou de poteau | 2021 | 86 | 7 | 12 | 0,10% | 0 | 0,00 |
| 69 | Trou de poteau | 2021 | 156 | 13 | 12 | 0,19% | 2 | 0,34 |
| 70 | Trou de poteau | 2021 | 70 | 14 | 5 | 0,20% | 2 | 0,34 |
| 71 | Fosse | 2021 | 96 | 8 | 12 | 0,12% | 4 | 0,68 |
| 73 | Trou de poteau | 2021 | 26 | 4 | 7 | 0,06% | 0 | 0,00 |
| 74 | Trou de poteau ou fosse ? | 2021 | 42 | 5 | 8 | 0,07% | 2 | 0,34 |
| 75 | Fosse ? | 2021 | 160 | 12 | 13 | 0,17% | 1 | 0,17 |
| 77 | Trou de poteau | 2021 | 84 | 11 | 8 | 0,16% | 1 | 0,17 |
| 78 | Trou de poteau | 2021 | 102 | 10 | 10 | 0,14% | 2 | 0,34 |

| | | | | | | | | |
|---------------------------|-------------------------------|------|------|-----|----|-------|-------|------|
| 79 | Trou de poteau | 2021 | 84 | 2 | 42 | 0.03% | 0 | 0.00 |
| 81 | Trou de poteau | 2021 | 32 | 3 | 11 | 0.04% | 0 | 0.00 |
| 29/30 | Fosse/Radier | 2021 | 1272 | 54 | 24 | 0.78% | 4 | 0.68 |
| 29/83 | Fosse | 2021 | 714 | 60 | 12 | 0.87% | 3 | 0.51 |
| 3/13 | Fosse ovulaire/trou de poteau | 2021 | 216 | 4 | 54 | 0.06% | 1 | 0.17 |
| 30/83 | Radier/fosse | 2021 | 1412 | 82 | 17 | 1.19% | 1 | 0.17 |
| 31/82 | Fosse/trou de poteau | 2021 | 180 | 12 | 15 | 0.17% | 7 | 1.20 |
| Décapage - US 1000 | Couche de décapage | 2021 | 2107 | 131 | 16 | 1.90% | 10 | 1.71 |
| Décapage - US 1001/1002 | Couche de décapage | 2021 | 1920 | 324 | 6 | 4.70% | 27 | 4.62 |
| Décapage - US 1003 | Couche de décapage | 2021 | 1900 | 264 | 7 | 3.83% | 18 | 3.08 |
| 200 | Trou de poteau | 2022 | 120 | 13 | 9 | 0.19% | 0 | 0.00 |
| 201 | Fosse | 2022 | 730 | 89 | 8 | 1.29% | 12 | 2.05 |
| 202 | Trou de poteau | 2022 | 104 | 13 | 8 | 0.19% | 0 | 0.00 |
| 203 | Fosse | 2022 | 882 | 63 | 14 | 0.91% | 9 | 1.54 |
| 204 | Trou de poteau | 2022 | 56 | 9 | 6 | 0.13% | 1 | 0.17 |
| 208 | Fosse | 2022 | 170 | 9 | 19 | 0.13% | 2 | 0.34 |
| 210 | Atelier | 2022 | 1288 | 78 | 17 | 1.13% | 5 | 0.86 |
| 214 | Fosse | 2022 | 3619 | 368 | 10 | 5.33% | 34 | 5.82 |
| 218 | Trou de poteau | 2022 | 60 | 10 | 6 | 0.14% | 1 | 0.17 |
| 226 | Trou de poteau | 2022 | 46 | 7 | 7 | 0.10% | 1 | 0.17 |
| 227 | Trou de poteau | 2022 | 12 | 3 | 4 | 0.04% | 0 | 0.00 |
| 228 | Trou de poteau | 2022 | 33 | 7 | 5 | 0.10% | 3 | 0.51 |
| 229 | Fosse | 2022 | 35 | 3 | 12 | 0.04% | 1 | 0.17 |
| 231 | Fosse | 2022 | 93 | 22 | 4 | 0.32% | 0 | 0.00 |
| 235 | Fosse | 2022 | 1140 | 108 | 11 | 1.57% | 5 | 0.86 |
| 236 | Fosse | 2022 | 1047 | 113 | 9 | 1.64% | 7 | 1.20 |
| 238 | Fosse | 2022 | 38 | 5 | 8 | 0.07% | 0 | 0.00 |
| 239 | Fosse | 2022 | 681 | 95 | 7 | 1.38% | 5 | 0.86 |
| 240 | Trou de poteau | 2022 | 41 | 6 | 7 | 0.09% | 0 | 0.00 |
| 323 | Trou de poteau | 2022 | 10 | 1 | 10 | 0.01% | 0 | 0.00 |
| 325 | Trou de poteau | 2022 | 4 | 2 | 2 | 0.03% | 0 | 0.00 |
| 326 | Trou de poteau | 2022 | 37 | 12 | 3 | 0.17% | 1 | 0.17 |
| 328 | Trou de poteau | 2022 | 260 | 23 | 11 | 0.33% | 1 | 0.17 |
| 332 | Fosse | 2022 | 98 | 11 | 9 | 0.16% | 1 | 0.17 |
| 335 | Trou de poteau | 2022 | 270 | 22 | 12 | 0.32% | 3 | 0.51 |
| 336 | Trou de poteau | 2022 | 15 | 3 | 5 | 0.04% | 0 | 0.00 |
| 337 | Trou de poteau | 2022 | 9 | 1 | 9 | 0.01% | 0 | 0.00 |
| 341 | Trou de poteau | 2022 | 39 | 10 | 4 | 0.14% | 0 | 0.00 |
| 345 | Trou de poteau | 2022 | 9 | 2 | 5 | 0.03% | 1 | 0.17 |
| 347 | Trou de poteau | 2022 | 27 | 6 | 5 | 0.09% | 0 | 0.00 |
| 349 | Trou de poteau | 2022 | 31 | 5 | 6 | 0.07% | 1 | 0.17 |
| 352 | Trou de poteau | 2022 | 226 | 16 | 14 | 0.23% | 0 | 0.00 |
| 356 | Trou de poteau | 2022 | 280 | 9 | 31 | 0.13% | 1 | 0.17 |
| 359 | Fosse | 2022 | 429 | 41 | 10 | 0.59% | 4 | 0.68 |
| 363 | Fosse | 2022 | 14 | 3 | 5 | 0.04% | 0 | 0.00 |
| 370 | Trou de poteau | 2022 | 13 | 5 | 3 | 0.07% | 0 | 0.00 |
| 371 | Trou de poteau | 2022 | 32 | 3 | 11 | 0.04% | 0 | 0.00 |
| 376 | Trou de poteau | 2022 | 908 | 34 | 27 | 0.49% | 0 | 0.00 |
| 382 | Trou de poteau | 2022 | 503 | 13 | 39 | 0.19% | 1 | 0.17 |
| 400 | Fossé | 2022 | 619 | 97 | 6 | 1.41% | 8 | 1.37 |
| Carroirage - US 2005 | Couche de carroirage | 2022 | 1284 | 183 | 7 | 2.65% | 14 | 2.40 |
| Carroirage - US 2005/2006 | Couche de carroirage | 2022 | 223 | 33 | 7 | 0.48% | 2 | 0.34 |
| Carroirage - US 2005/2008 | Couche de carroirage | 2022 | 124 | 20 | 6 | 0.29% | 2 | 0.34 |
| Carroirage - US 2006 | Couche de carroirage | 2022 | 329 | 42 | 8 | 0.61% | 2 | 0.34 |
| Carroirage - US 2008 | Couche de carroirage | 2022 | 178 | 22 | 8 | 0.32% | 5 | 0.86 |
| Carroirage - US 2009 | Couche de carroirage | 2022 | 97 | 17 | 6 | 0.25% | 1 | 0.17 |
| Décapage - US 2001 | Couche de décapage | 2022 | 1266 | 131 | 10 | 1.90% | 5 | 0.86 |
| Décapage - US 2003 | Couche de décapage | 2022 | 6 | 1 | 6 | 0.01% | 0 | 0.00 |
| Décapage - US 3001 | Couche de décapage | 2022 | 70 | 13 | 5 | 0.19% | 0 | 0.00 |
| Total | | | | | | | 584 | 100% |
| | | | | | | | 6900 | 100% |
| | | | | | | | 79960 | 100% |

Fig.91 Tableau d'inventaire quantifié Bragny 2021 et 2022 (L. Picot)

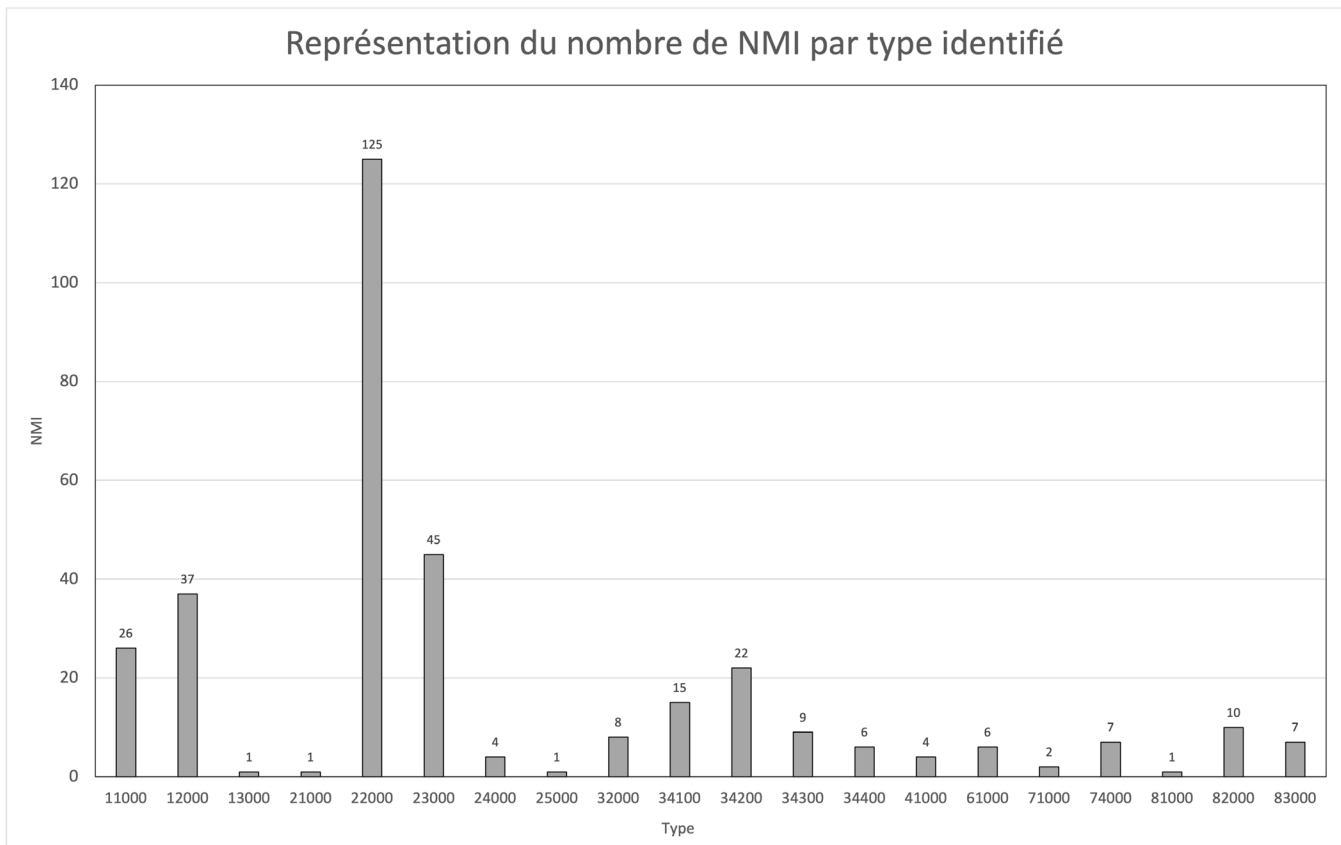


Fig.92 Représentation du nombre de NMI par type identifié (L. Picot)

Parmi les types identifiés, les formes basses sont présentes en plus grand nombre que les formes hautes, à raison de 300 NMI (bord) pour les formes basses contre 19 NMI (bord) pour le second groupe (**Fig.92**). Il s'agit notamment de forme basse de type jattes à bord rentrant (type 22000), jattes à bord droit (type 23000) mais également les coupes et bols tronconiques ou hémisphériques (types 11000 et 12000). Ces constats avaient déjà été faits lors de l'étude des collections anciennes (Bardel 2020, p. 72). Concernant les fonds, on dénombre 18 NMI (fonds).

Il est aussi possible d'observer une prédominance pour les productions modelées de type pâte fine. Cette tendance a notamment été observée au cours de l'étude des collections des fouilles anciennes (Bardel 2012 ; Dubreucq, Thivet 2021, p. 86). Le répertoire des individus façonnés au tour est bien moindre en comparaison.

Aussi, l'étude de ce corpus montre peu de nouvelles formes parmi celles déjà connues. En effet, les

travaux menés par J.-L. Flouest et R. Labeaune ont permis de dresser un classement des groupes céramiques par ensemble stratigraphique. La comparaison entre ce classement et le corpus en cours d'étude révèle très peu de nouvelles formes (Flouest, Labeaune 2009 ; Bardel 2020 p. 72) mais vient plutôt enrichir nos connaissances sur ces dernières. En effet, cela permet de dresser des planches pour chaque forme observée ainsi que mettre en avant les particularités morphologiques pouvant varier, telles que la forme du bord.

3.3.4. UN MASTER 2 EN COURS

L'étude du corpus provenant de la campagne de fouille programmée 2022 est encore en cours de réalisation. Actuellement, l'inventaire de ce dernier est terminé (**Fig.91**). L'étape de représentation graphique n'est pas encore achevée. La moitié des dessins papiers et la DAO restent encore à faire.

Il sera ensuite question de réaliser une analyse chronologique fine par comparaison typologique des assemblages ainsi qu'une remise en contexte au sein du site mais aussi en proposant des comparaisons à l'échelle locale et supra-régionale.

3.3.5. CONCLUSION

Parmi les premiers résultats obtenus, rappelons la mise en évidence de la prédominance des productions modelées de type pâte fine. Il s'agit là d'un fait déjà observé au cours de l'étude des collections des fouilles anciennes (Bardel 2012 ; Dubreucq, Thivet 2021, p. 86). Le répertoire des individus façonnés au tour est bien moindre en comparaison.

La présentation de toutes les formes identifiées dans le corpus brosse un portrait détaillé permettant de réaliser une typologie. Cette classification a permis de mettre des éléments en avant, comme la prédominance de certaines formes (cf. *supra* ; types 22000, 23000, 12000, 11000 par exemple). Plus encore, cette typologie vient enrichir nos connaissances sur le répertoire céramique de Bragny-sur-Saône. Elle permettra, au cours de l'année universitaire en cours, d'apporter de nouveaux éléments chronologiques essentiels pour la compréhension et interprétation du site et de ses fouilles en cours.

3.4. LES IMPORTATIONS CÉRAMIQUES À BRAGNY : LES AMPHORES (R. R., M. L.)

3.4.1. LES PRODUCTIONS MASSALIÈTES (R. R.)

Seul le mobilier de la campagne 2022 est présenté dans ce rapport, sous la forme d'un inventaire et d'une étude préliminaire. L'ensemble des importations sera inventorié dans un second temps et une étude plus développée sera proposée dans un prochain rapport.

Les importations céramiques découvertes à Bragny en 2022 sont en majorité des amphores de Marseille, micacées (A-MAS) et non micacées (A-MNM), et 1 fragment de vaisselle de type claire de tradition massaliète (**Fig.93**).

Les amphores massaliètes micacées (A-MAS) sont représentées par 26 fragments, auxquels on peut ajouter 11 éclats (tessons ne présentant pas les deux faces interne et externe, ce qui ne permet pas d'en connaître l'épaisseur ; leur prise en compte peut conduire à surévaluer la présence des vases possédant des parois épaisses) ; on note également un certain nombre de cassures fraîches (ce qui porte à 48 le NR total).

A ce stade la masse des restes n'a pas été intégrée (elle le sera dans l'étude complète des importations, fouilles anciennes et récentes).

Peu d'éléments de formes d'A-MAS ont été découverts en 2022 : 1 col et 1 anse dans la structure 200 ; 2 autres fragments de col dans les US 2005-2006 et 2008.

La pâte de tous ces fragments est généralement beige ou rosée avec de nombreuses paillettes de mica fines et denses, ce qui est caractéristique des productions du Ve siècle av. J.-C. ; toutefois en l'absence de bord, ou de forme un peu plus complète, aucune datation ne peut être véritablement proposée.

Ces fragments proviennent de 11 structures différentes, de quelques couches d'occupation, ainsi que du décapage et du nettoyage (**Fig.94**). Dans la structure 203, deux fragments recollent (cassure ancienne).

Le lot étudié comportait également 9 fragments d'amphores qui semblent être des amphores massaliètes non micacées (A-MNM) : leur pâte est rosée-orangée pour la surface externe, grise à cœur et sur la surface interne, avec un dégraissant sableux assez

| Secteur | Structure | US | autre info | A-MAS | A-MNM | CI-Mas |
|---------|-----------|-----------|---------------------------------------|-----------|----------|----------|
| 2 | 200 | 2 | | 3 | | |
| 2 | 203 | 3 | | 3 | | |
| 2 | 203 | 2 ou 3 | | | 1 | |
| 2 | 210 | 2 | 1/4 N. O. | 2 | | |
| 2 | 210 | 2 | quart S-O | | 2 | |
| 2 | 210 | 2 | quart S-O | | 1 | |
| 2 | 210 | 2 | | | 1 | |
| 2 | 214 | 2 | quart S-E | 1 | | |
| 2 | 214 | 5 | | 1 éclat | | |
| 2 | 235 | 2 | | 4 | 1 | |
| 2 | 236 | 2 | | 1 | | |
| 2 | 239 | 4 | 1/4 sud | 1 éclat | | |
| 2 | 323 | 2 | | 2 | 1 | |
| 2 | 335 | 2 | TP fosse 214 | 2 éclats | | |
| 2 | 347 | 2 | | 1 | | |
| 2 | | 1003 | nettoyage | | 1 | |
| 2 | | 2005 | carré 19 | 1 | | |
| 2 | | 2005 | carré 11 | 1 | | |
| 2 | | 2005 | carré 4 niveau 1 | 1 | | |
| 2 | | 2005 | carré 8 niveau 1 | 1 | | |
| 2 | | 2005 | | 1 | | |
| 2 | | 2005 | | | 1 | |
| 2 | | 2008 | carré 3 | 1 | | |
| 2 | | 2006-2005 | | 1 | | |
| 2 | | | décapage | 1 | | |
| 2 | | | décapage et berme N.O. côté secteur 1 | 1 | | |
| 3 | 400 | 2 | | | | 1 |
| | | | | 26 | 9 | 1 |

Fig.93 Inventaire des importations massaliètes (ou de tradition massaliète) (R. Roure)

présent. Leur identification n'est pas certaine : les fragments devront être revus et comparés à d'autres dont l'identification est assurée, ce qui n'a pas pu être fait pour ce rapport. Aucun élément de forme n'a été retrouvé pour cette production. Ces fragments d'amphores sont présents dans les mêmes structures que les fragments d'amphores massaliètes micacées (203, 210, 235, 323) ; 1 fragment provient de l'US 1003 (nettoyage) (**Fig.94**).

Les productions d'amphores massaliètes non micacées correspondent aux premières productions de Marseille, entre -545 et -510 environ (la cité produit ensuite exclusivement des amphores micacées).

Dans le secteur 3, la structure 400 a livré la base d'une anse trifide assez originale (un boudin d'argile est accolé à une anse bifide aplatie pour former l'anse trifide). La pâte est rougeâtre, sableuse, bien épurée, et comporte des micas très fins. Ce type d'anse appartient

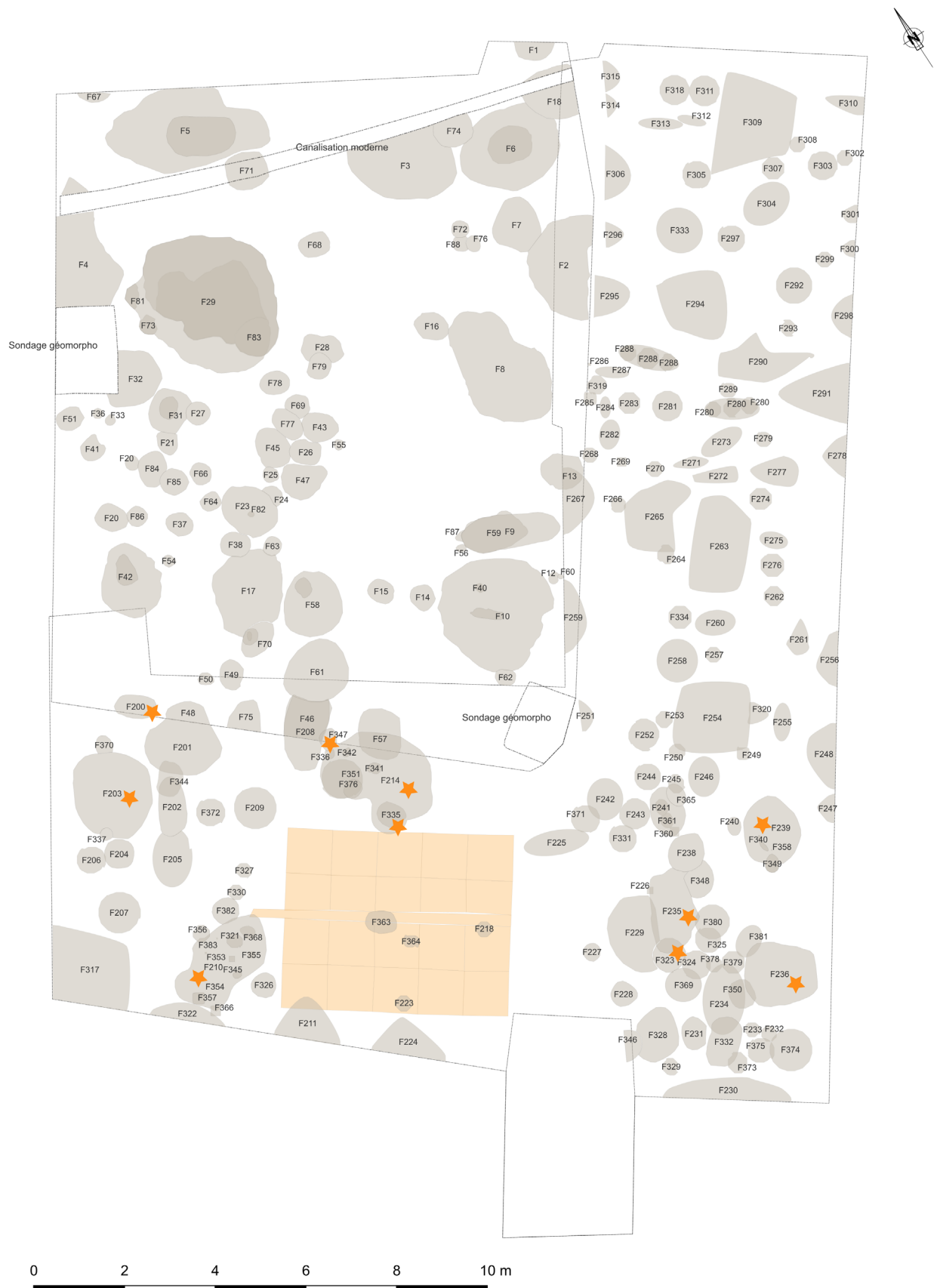


Fig.94 Répartition des importations massaliètes (ou de tradition massaliète) dans le secteur 2 (R. Roure)

très probablement à une cruche, d'assez grande dimension, et pourrait être soit massaliète soit de production locale, selon des traditions potières inspirées de celles des Massaliètes. La forme de l'anse rappelle celle d'une cruche découverte lors d'une fouille préventive à Rousset, non loin d'Aix-en-Provence (Archeodunum, 2017), dont le décor orientait vers une production locale.

3.4.2. UN TESSON CARTHAGINOIS ? (M. L.)

Un rapide examen des fragments d'amphores qui constituent les lots du site de Bragny-sur-Saône a permis de mettre en évidence la présence d'un fragment d'amphore particulier. La quasi-totalité du mobilier amphorique observé présente clairement une pâte massaliète ; les différents ensembles examinés représentent un nouvel exemple de l'importance économique des conteneurs de Massalia dans les réseaux d'échanges de la Gaule interne à cette période. Cependant, un fragment d'amphore, malheureusement informe, présente des caractéristiques pétrographiques qui révèlent une provenance distincte. Ce tesson possède une matrice rouge/orangée, associée à des inclusions grossières relativement bien classées (**Fig.95**).



Fig.95 Pâte du tesson d'amphore probablement punique (Photo : M. Luaces)

Parmi les éléments qui constituent le dégraissant de cette pâte, on note la présence d'un grand nombre d'inclusions de quartz éolien, associé à des microfossiles, de la calcite et à de rares inclusions d'hématite. Cet inventaire de la composition de la pâte, non exhaustif au demeurant, invite plutôt à chercher la provenance de ce fragment en Afrique du Nord. Une comparaison avec les groupes de référence en ma possession pour le V^{ème} siècle av. J.-C. a permis d'observer de très nettes similitudes avec le mobilier dit punique en provenance du nord de la Tunisie actuelle (Capelli et Piazza, 2013). En l'état, et bien qu'aucune véritable étude pétrographique ne confirme mes observations, Carthage semble être la provenance la plus probable pour ce tesson. L'absence empêche d'être assurée de la chronologie de ce fragment, cette même pâte ayant marqué l'ensemble des conteneurs carthaginois entre le VIII^{ème} et le I^{er} siècle avant notre ère. Néanmoins, eu égard du contexte de découverte de ce tesson, il semble s'agir de l'un des plus anciens exemples d'importations puniques en Gaule. On doit préciser ici que Carthage, fondation tyrienne du début de l'âge du Fer, était déjà un centre économique particulièrement dynamique au V^e siècle av. J.-C., la métropole punique ayant engagée dès l'époque archaïque – si ce n'est auparavant – l'exportation de ses produits conditionnés en amphore (Docter, Annis et Jacobs, 1996). Ce fragment d'amphore issu du site de Bragny-sur-Saône pourrait être une nouvelle illustration de l'extension de ce commerce.

3.5. PREMIERS APPORTS À PROPOS DES DÉCOUVERTES LITHIQUES (A. F. ; L. J.)

Le mobilier lithique trouvé en 2021 a fait l'objet d'une étude dans un Master 1 soutenu en 2022 à l'Université de Paris I sous la direction de L. Jaccottey et S. Krausz. Ce Master intégrait l'étude de plusieurs secteurs de Bragny (BR. I, II, III et 2021), qui ont fait l'objet d'un résumé publié dans le rapport de PCR (Fouillade dans volume PCR).

Nous proposons ici les principales conclusions de ce master concernant le secteur 1. Est ensuite abordé le secteur 2 et 3, qui seront intégrés dans un master 2 en cours de réalisation.

L'objectif de ce mémoire était de restituer la chaîne opératoire des outils de mouture du site, autrement dit, l'étude du matériel depuis l'obtention de la matière première jusqu'à son abandon et/ou emploi. Cette étude permet de reconstituer les échanges et voies de circulation de biens autour de Bragny-sur-Saône, d'étudier les modes de fabrication des outils de mouture et les possibles standardisations et/ou centralisations de l'artisanat meulier, de l'utilité de ces instruments jusqu'à leur emploi.

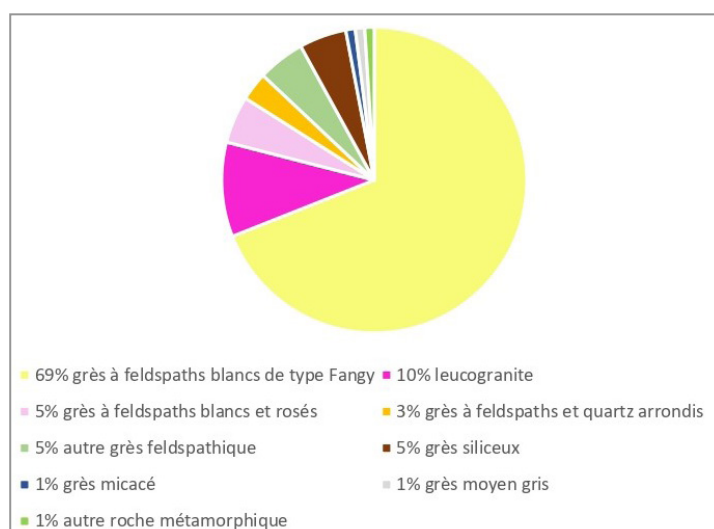


Fig.96 Répartition des différents matériaux trouvés dans le secteur 1 (Dessin, DAO : A. Fouillade)

Dans un premier temps, je me suis penchée sur les caractéristiques intrinsèques du matériel. Autrement dit, la question géologique, sur les matières premières, leur provenance. Ensuite, j'ai considéré l'approche typologique du mobilier afin de déterminer le type de moulins mis au jour sur le site, notamment par l'étude technologique – étape de façonnage – et l'étude tracéologique, à partir des traces d'usure présentes sur les outils.

Dans un second temps, j'aborde les caractéristiques extrinsèques du matériel, c'est-à-dire la répartition spatiale au sein des zones de fouilles notamment pour tenter de reconstituer le nombre minimum d'individus.

3.5.1. LE MATÉRIEL LITHIQUE DU SECTEUR 1

214 pièces lithiques ont été inventoriées. L'ensemble pèse 52,34 kg. 87 fragments correspondent à des outils de mouture. 51 sont des fragments d'outils de mouture indéterminés et 24 autres possèdent un bord. Neuf molettes dont 2 molettes débordantes (n°11 et 85) et 2 molettes couvrantes (n°63 et 117) ont été inventoriées. Trois meules, dont deux bords, ont été prises en compte. L'un correspond à une meule à molette couvrante. Une extrémité de meule à molette courte a également été recensée.

Ont été dessinés les meules à molette courte (n°86) et à molette couvrante (n°84), les molettes débordantes (n°11 et 85), les molettes couvrantes (n°63 et 117), les molettes indéterminées (n°1, 6, 41 et 88), les outils de mouture indéterminés comprenant une partie de la surface active et du flanc (n°54, 59 et 104) et les fragments (n°4 et 49). Certains des outils indéterminés ont aussi été dessinés (n°90 et 94) (Fig.97)

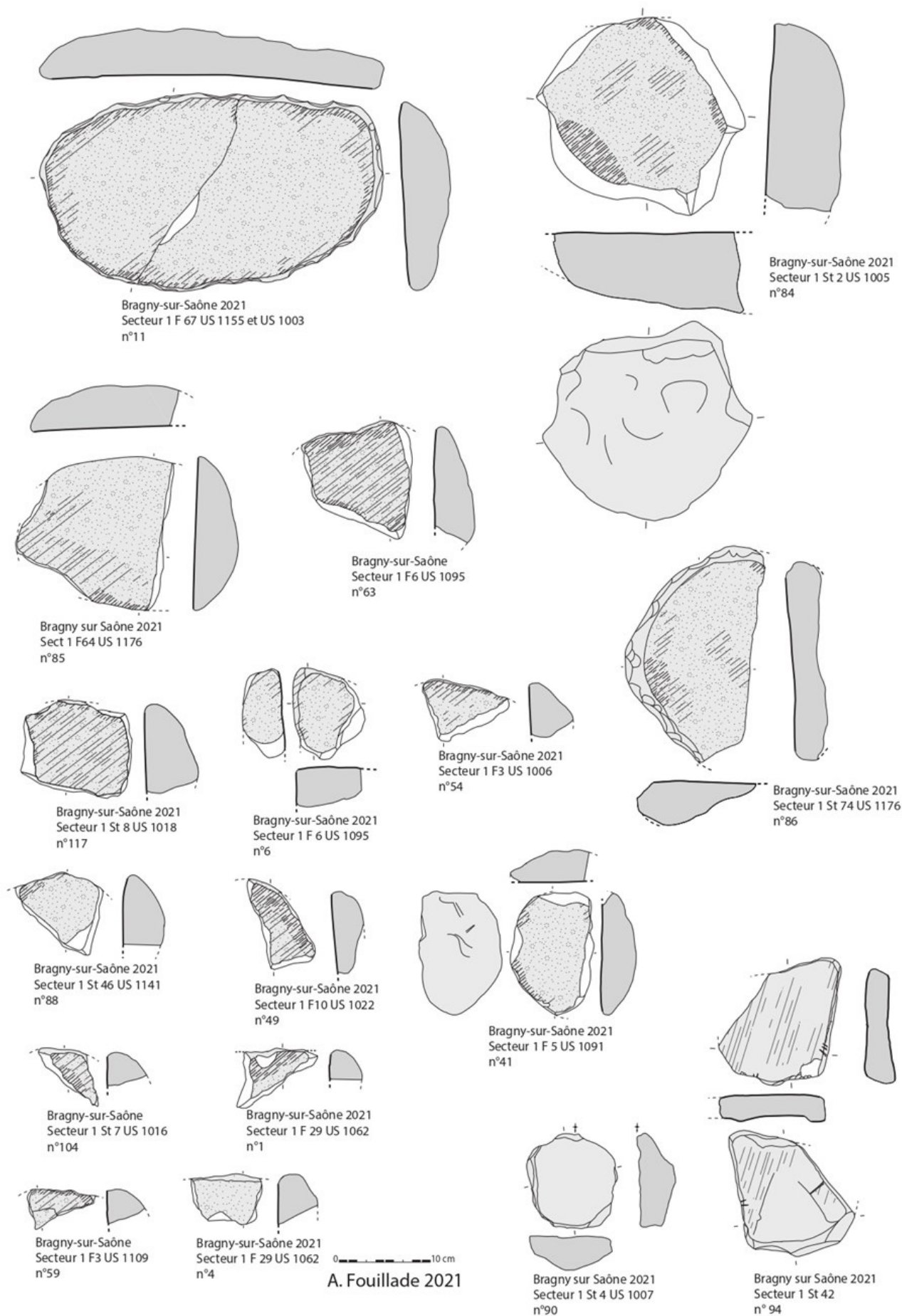


Fig.97 Fragments de meules trouvés dans le secteur 1 (Dessin, DAO : A. Fouillade)

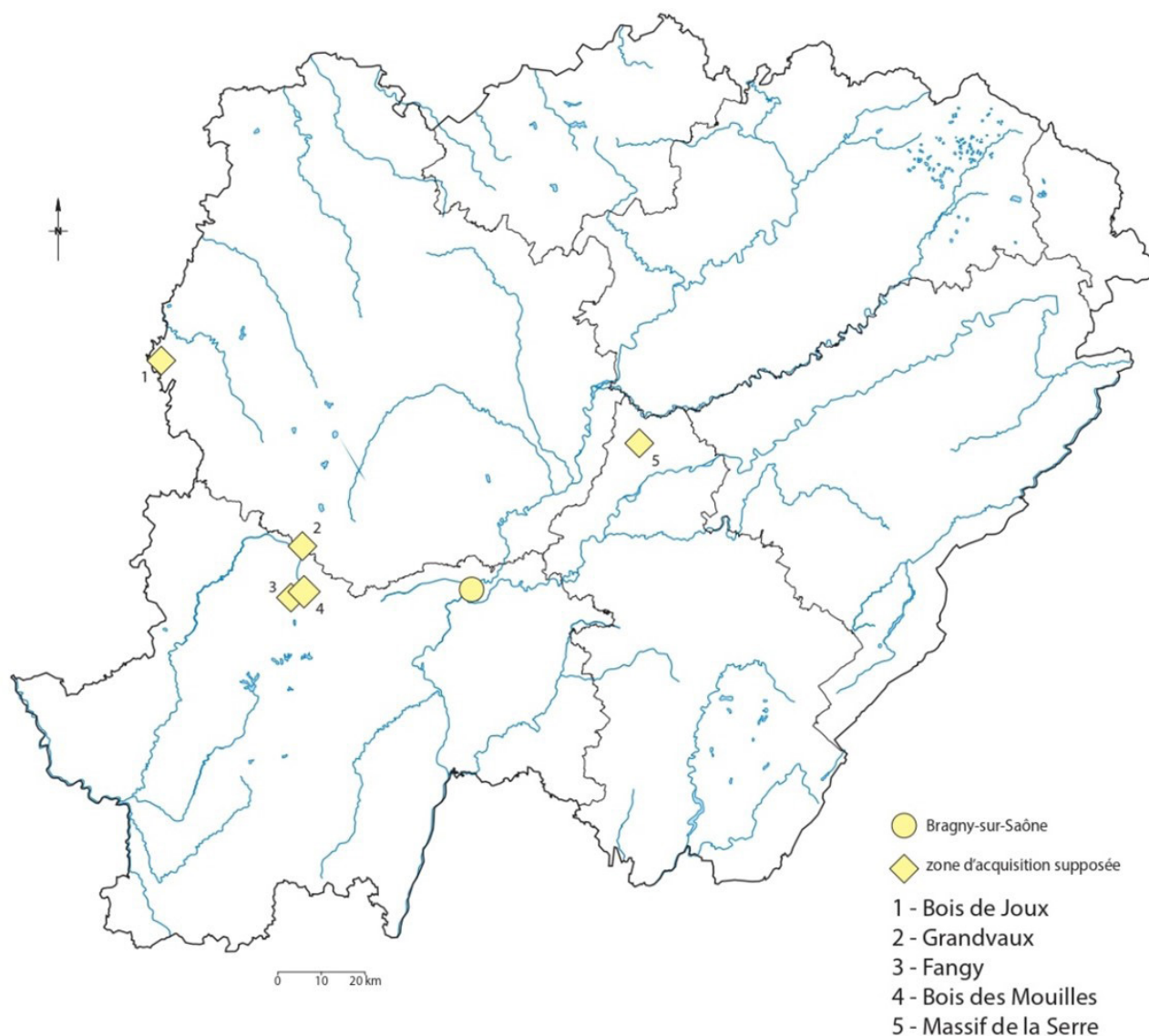


Fig.98 Localisation des affleurements géologiques (DAO : L. Jaccottey)

3.5.1.1. MATIÈRES PREMIÈRES

Les matériaux sont marqués par la variété des roches employées, gréseuse et granitique principalement (**Fig.96**).

Toutes les roches ne sont pas connues, certaines sont apparentées à des types dont les affleurements sont localisés (**Fig.98**). La majorité des affleurements identifiés se situent dans le massif du Morvan, soit à une distance d'approvisionnement régionale voire

extrarégionale, d'une cinquantaine de kilomètres (Hamon et al. 2017). Les grès sont majoritairement feldspathiques, à petits feldspaths blancs, similaires à celui-ci de l'affleurement de Fangy, dont l'extraction en carrières de meules rotatives, gauloises et antiques (Jaccottey 2015), se situent au sud du village de Tintry. Les granites et leucogranites proviennent du Morvan. C'est la seule zone régionale où des granites émergent. Seuls les affleurements sont connus, aucune carrière n'a été interprétée en tant que tel. L'achalandage devait s'effectuer via la vallée de la Dheune, par voie navigable afin de faciliter le transport.

3.5.1.2. APPROCHE SPATIALE

Afin d'étudier la répartition spatiale du mobilier sur les zones de fouilles – comme ça a été fait pour Bragny I et II par Luc Jaccottey – j'ai placé sur le plan de la fouille de 2021 réalisé par Emilie Dubreucq, avec le logiciel Adobe Illustrator, du plan de Bragny 2021, le mobilier lithique dans les structures. J'y ai ensuite placé les outils de mouture et fragments indéterminés selon leur masse et leur roche dans la structure à laquelle ils appartiennent.

Une fois obtenus les plans, j'ai sorti de leurs sacs tous les fragments d'une même catégorie de roches (grès à feldspaths blancs, leucogranite...) et les ai placés sur une table afin de comparer chaque fragment. Cette étape m'a permis de reconstituer quelques remontages, même s'ils restent exceptionnels.

Sur les propositions de répartition, j'ai repris les légendes faites par Luc Jaccottey pour son travail entrepris sur Bragny I et II. Afin de distinguer de quel type d'élément il s'agit, deux symboles ont été choisis (**Fig.99**). Le premier, le rond, correspond à un fragment d'outil de mouture. Le second symbole, l'étoile, correspond quant à lui à un simple fragment, sans aucune trace visible de manipulation ou travail quelconque. Seule la provenance de la matière première nous indique qu'elle n'est pas locale, et correspond probablement à un fragment de mouture. Sur les plans, celle-ci est d'ailleurs reconnaissable selon un code couleur mis en place par Luc Jaccottey

- ✧ fragment de - de 49 g
- ★ fragment de 50 à 99 g
- ☆ fragment de 100 à 499 g
- ☆ fragment de + de 500 g
- fragment d'outil de mouture de - de 49 g
- fragment d'outil de mouture de 50 à 99 g
- fragment d'outil de mouture de 100 à 499 g
- fragment d'outil de mouture de + de 500 g
- grès à petits feldspaths blancs
- grès peu feldspathique
- grès à quartz rosés à rouge
- grès de la Serre
- leucogranite
- grès à petits feldspaths rosés et quartz arrondis
- grès à petits feldspaths blancs et rosés
- grès à petits feldspaths blancs et micas blancs
- grès moyen gris
- grès siliceux
- grès micacé
- granite à biotites
- grès de type Grandvaux
- grès quartzitique

Fig.99 Légende proposée pour les cartes de répartition (D'après L. Jaccottey)

que j'ai complété. Enfin, les symboles peuvent varier en taille, selon le poids du fragment.

Le calcul du NMI ou nombre minimum d'individus consiste à décompter la quantité minimale d'individus, en l'occurrence d'outils de mouture. L'ensemble des outils ou fragments correspondant à un seul et même individu, compte pour une unité (Milleville 2007). Ainsi, le NMI dépend de la matière première et

du type de fragment retrouvé. NMI vs NR, j'ai choisi de travailler en termes de NMI plutôt qu'en termes de NR ou nombre de restes, auquel cas les résultats auraient été sensiblement différents étant donné le nombre de restes assez élevé. En effet, j'observe un fort taux de fragmentations du mobilier lithique ; aucun outil n'a été retrouvé entier. Ces fragments ne sont pas pour autant gros puisque le poids moyen du lithique sur le site est de 0,19 kg. Le NMI est largement inférieur au NR. L'objectif est d'estimer le nombre d'outils utilisés

dans une zone précise de l'agglomération. Le NR a donc moins d'intérêt. L'étude de la répartition spatiale ainsi que les remontages – en plus du poids moyen et de l'indice de fragmentation - ont prouvé que la fragmentation est forte.

En outre, de manière générale, je constate que la répartition du mobilier n'est pas égale sur l'ensemble du secteur 1 (**Fig.100**). La moitié nord du site fournit plus de mobilier lithique que la moitié sud. Certaines fosses, surtout celles d'un volume important, comprennent un

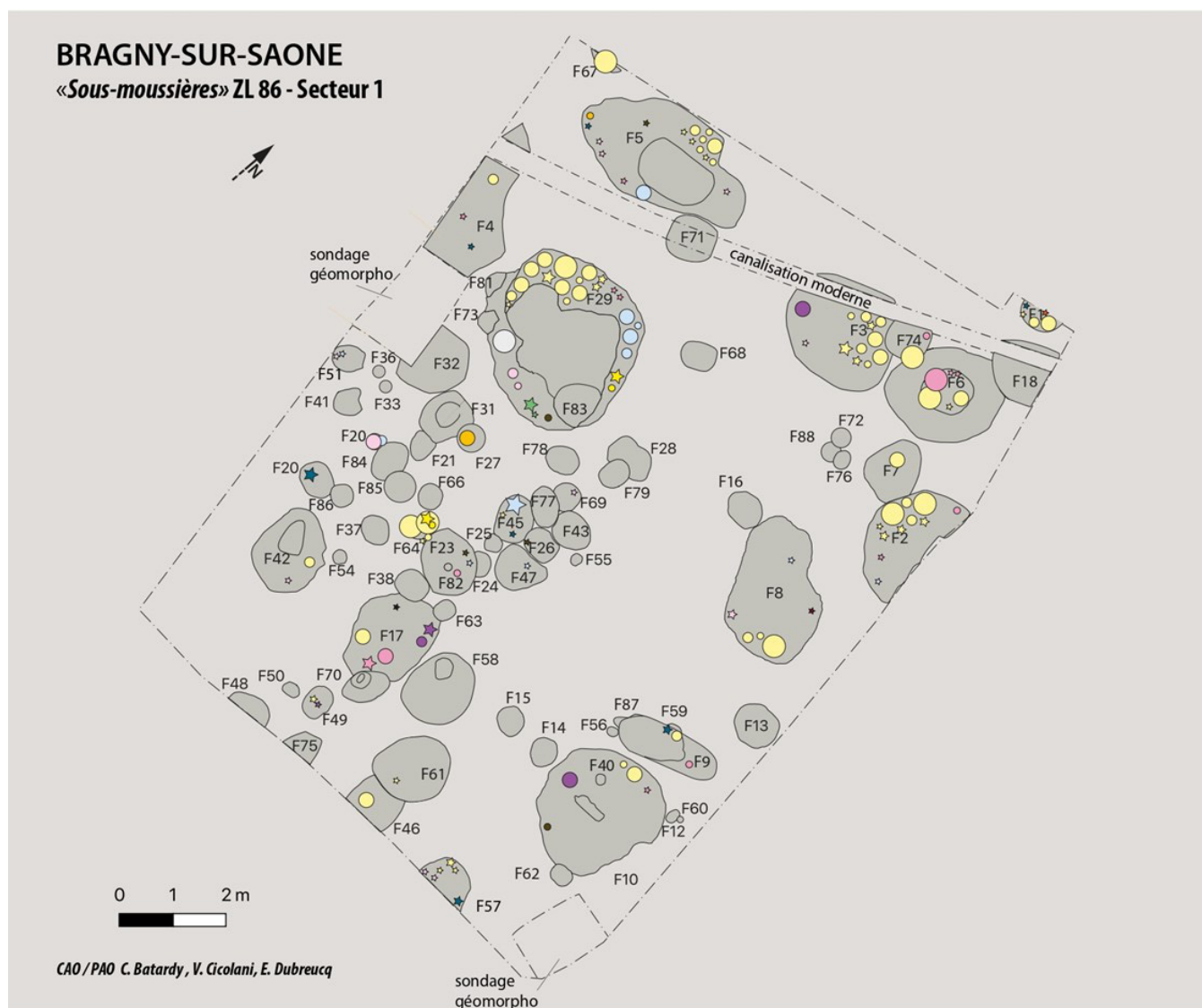


Fig.100 Répartition du matériel lithique sur le secteur 1 (DAO : A. Fouillade)

nombre considérable de fragments lithiques. Notamment la fosse 29 qui regroupe le plus de fragments. A l'inverse, d'autres structures ne recueillent aucun fragment. Dans la moitié sud, le mobilier est plus éparpillé dans les structures dont les tailles varient. En outre, le mobilier lithique est en contexte de rejet, dans des couches venant combler les structures, majoritairement les fosses. Les trous de poteaux sont moins riches en mobilier lithique mais il se peut que ceux-ci aient servi en tant que calage de poteau (par exemple F 45)

Quelques fragments constitués d'une roche spécifique ont été retrouvés sur le site. Je n'ai aucune preuve

qu'il s'agisse de matériel de mouture au vu de la dimension des fragments. Ceux-ci ne font généralement que quelques grammes et les plus gros ne dépassent pas les 500 g. Au vu de leur taille, il est impossible de reconstituer l'outil ni même de l'identifier. Un certain nombre de roches n'ont que peu de fragments. La provenance non locale des roches prouve que celles-ci ont été importées. J'en établis donc un NMI d'outils indéterminés en fonction de la matière première. Ce NMI est de 4 ; respectivement un fragment de granite à biotites, un fragment de grès quartzitique, un fragment de grès à quartz rosés à rouge et deux fragments de grès de type Grandvaux.

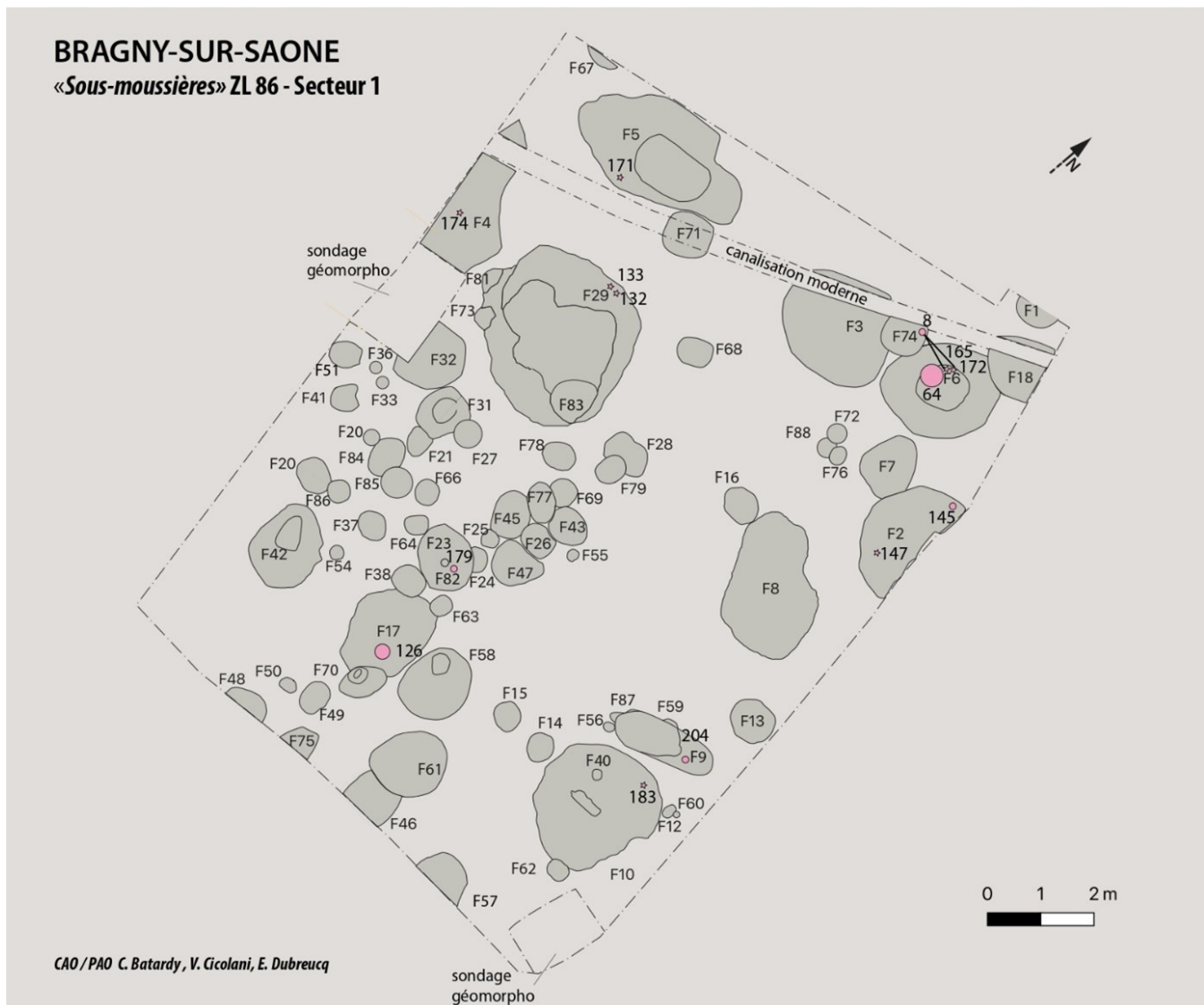


Fig.101 Répartition des leucogranites (DAO : A. Fouillade)

3.5.1.3. RÉPARTITION DU MATÉRIEL DE MOUTURE

Je tiens à préciser qu'au sein de chaque catégorie de roches (grès feldspathique, leucogranite, grès peu feldspathique...) il existe des différences notables visibles à l'œil nu ou avec une loupe..

Ainsi, si une distinction est observable entre fragments, ceux-ci ne font pas forcément partie d'un même outil mais peuvent être issus d'un même lieu d'extraction/ de ramassage.

LEUCOGRANITE

Dans le regroupement au nord-est du site, 4 fragments, dont deux outils de mouture, ont été identifiés (n°64, 8, 165 et 172 (**Fig.101**)). Ceux-ci appartiennent à deux faciès différents – l'un grossier rose, l'autre plus clair - ils ne font donc pas partie du même outil. Les deux autres fragments sont rattachables à l'un des fragments d'outil qui viennent d'être décrits. On obtient donc un NMI de 2 outils de mouture.

Dans la structure 2, se trouvent deux fragments en leucogranite dont l'un appartient à un outil de

mouture (n°145 et 147). Celui-ci est en leucogranite moyen rose, tandis que l'autre fragment est plutôt grossier rosé orangé. On obtient donc un troisième outil de mouture et une roche comprenant un unique fragment.

Dans le quart nord-ouest, 4 fragments ont été mis au jour (n°171, 174, 132 et 133). Deux sont constitués d'une roche similaire (n°133 et 174) à l'un des fragments d'outils de mouture identifié à l'est de la zone fouillée, celui en leucogranite grossier rose clair (n°147). Les deux autres se distinguent, quant à eux, par le matériau, l'un fin rose (n°132), l'autre moyen rose clair (n°171). Ils sont donc associés à des outils (de mouture ?).

Dans la structure 17, au sud-ouest du site, un fragment de mouture en leucogranite grossier rose clair est également présent (n°126). Le matériau est similaire à l'un des fragments d'outils de mouture au nord-est de la zone fouillée. Ils pourraient faire partie du même instrument malgré l'éloignement des structures dans lesquelles ils ont été trouvés.

Dans la structure 23, un fragment d'outil de mouture (n°179) d'une matière première encore différente est inventorié. De même pour la structure 9 (n°204).

Dans la structure 10, un fragment (n°183) est constitué du même type de leucogranite que l'outil de mouture de la structure 2 (n°145), ils sont donc apparentés au même instrument.

Ainsi, on obtient un NMI de 5 pour les outils de mouture tandis que le NMI d'outils indéterminés est de 3. Le NMI total d'outils en tout genre est donc de 8.

GRÈS PEU FELDSPATHIQUE

Cet ensemble est nettement moins important que les grès feldspathiques. Sur les quatre fragments, dont deux appartiennent à des outils de mouture (n°99 et 131 en mouture et n°98 et 83), la roche est très similaire. Malgré le manque de remontage, je regroupe les quatre fragments sous un même individu. Le NMI pour cette roche est donc d'un.

GRÈS MICACÉ

Aucun des fragments de grès micacé trouvés dans les structures ne sont reconnus comme outil de mouture, seul un fragment est hors structure. Cette roche n'est pas locale, elle a été importée pour être utilisée en tant qu'outil ; celui-ci n'étant pas identifiable. Aucun fragment de grès micacé n'a le même aspect. Aucun remontage n'est envisageable. Chaque fragment est associé à un type de roches (n°23, 122, 150, 153, 158, 178 et 185). Le NMI est donc de 7.

Le seul outil de mouture (n°102) en grès micacé est apparu dans l'US 1003. Ce fragment est composé d'un grès micacé encore différent des autres.

GRÈS GROSSIER À FELDSPATHS BLANCS

Le grès grossier à feldspaths blancs de type Fangy est la roche la plus représentée dans le corpus.

Dans le quart nord-est de la zone fouillée, qui comprend les structures 1, 3, 6, 7 et 74, le mobilier lithique y est concentré (**Fig.102**). Chaque matière première des fragments de matériel de mouture est unique. Les fragments sont quant à eux assimilables à des roches de fragments de mouture. Aucun remontage n'a cependant pu être fait.

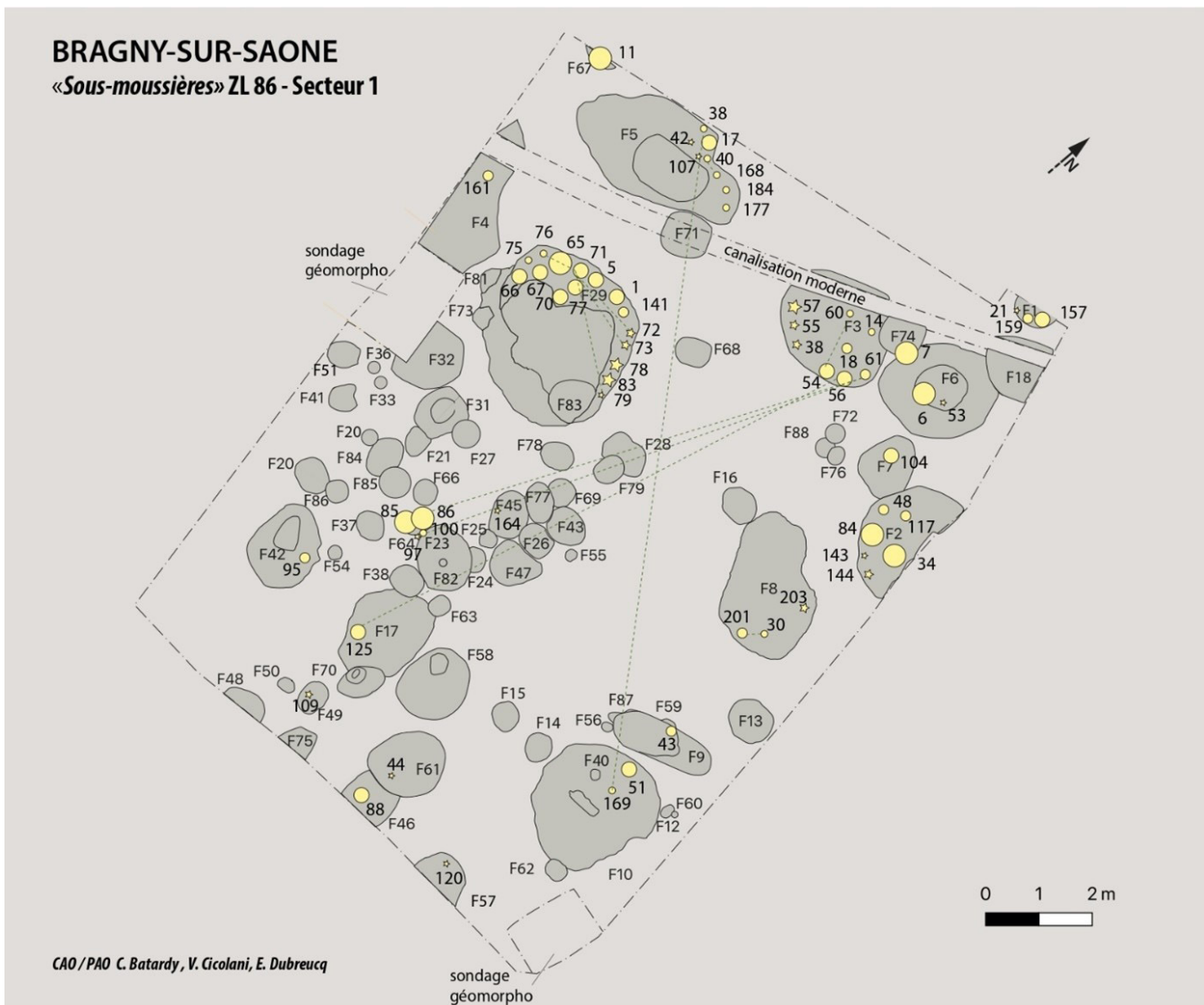


Fig.102 Répartition des grès grossier à feldspaths blancs (DAO : A. Fouillade)

Dans la structure 6, le fragment n°53 est composé d'une roche identifiable à celle du fragment de mouture n°53. A l'inverse, le fragment de mouture n°63 est façonné dans un autre grès à petits feldspaths blancs. La structure comprend donc 2 fragments d'outils de mouture différents.

La structure 3 livre aussi un nombre conséquent de fragments (n°38, 55 et 57 en fragments et n°14, 18, 54, 56, 60 et 61 en mouture). Excepté deux éléments (n°54 et 60), chaque fragment de mouture est façonné dans une matière première différente. Les deux fragments n°54 et 60 sont, quant à eux, composés d'une roche semblable. Malgré leur différence de profil

- selon la forme et l'arrondi des flancs – on suppose qu'ils font partie du même individu et que le profil (et donc la coupe) observé n'est pas symétrique.

Ainsi, pour le quart nord-est, le NMI des outils de mouture est de 10.

Dans le quart nord-ouest du site, quatre structures comprennent du mobilier lithique en grès feldspathique blanc grossier dont deux qui mobilisent le plus de mobilier – les structures 5 et 29. Ces mêmes structures ont aussi une taille plus élevée que les autres, de plus de deux mètres de diamètre.

La structure 29 comprend onze fragments d'outils de mouture (n°1, 5, 65, 66, 67, 70, 71, 75, 76, 77 et 141). Seuls deux d'entre eux – fragments n°71 et 76 - sont composés d'une roche similaire. Cette fosse comprend aussi trois fragments dont les roches peuvent être rapprochées à celles déjà reconnues dans la structure (n°72, 73, 79). Aucun remontage n'a pu être reconstitué.

La structure 5 comprend six fragments d'outils de mouture (n°177, 168, 184, 40, 17 et 38) et deux débris (n°42 et 107). Ces six fragments sont tous distinguables sauf les fragments n°40 et 168 dont la roche est similaire. La roche du débris, quant à elle, n'est pas associable à une autre.

La structure 67 comprend une moitié de molette dont l'autre extrémité a été mise au jour dans l'US 1003 (n°11).

La structure 4 comprend un fragment d'outil de mouture (n°161) dont la roche n'est pas associable à celle d'une autre structure.

Ainsi, pour le quart nord-ouest, le NMI des outils de mouture est de 17 avec 1 débris qui n'est rattachable à aucune roche utilisée pour la mouture.

Concernant le quart sud-est, le mobilier en grès grossier à feldspaths blancs est réparti dans plusieurs structures, six au total (St 8, 59, 10, 57, 61 et 46). Chaque structure comprend un fragment de mouture ou un débris dont les roches sont différentes, exceptées dans la structure 10.

Celle-ci comprend le fragment n°169 dont la roche est similaire à celle du fragment n°38, de la fosse 5, soit à l'opposé de la zone fouillée. De même, la structure 8 fait exception. Celle-ci recueille plusieurs fragments (n°30, 201 et 203) dont deux (n°30 et 201) sont composés d'un matériau commun, néanmoins aucun remontage n'est possible.

Ainsi, le NMI pour le quart sud-est s'élève à 5 outils de mouture et 2 débris d'outils.

Enfin, le quart sud-ouest comprend un mobilier en grès grossier à feldspaths blancs dans cinq structures (St 17, 64, 42, 49 et 45). Aucun remontage n'est réalisable mais les rapprochements de roches sont plus marquées. Ainsi, sur l'ensemble des fragments (n°95, 85, 86, 100 et 125 pour la mouture, n°109, 164 et 97), n'ont été comptabilisés que deux outils de mouture.

En effet, je constate une similarité du faciès entre les fragments de mouture n°86 et 100 de la structure 64 et le n°61 de la structure 3 ; entre le fragment n°125 (St 17) et le n°18 de la structure 3.

Notons qu'une partie des fragments en grès à feldspaths blancs ont brûlé. Ils sont éparpillés sur l'ensemble du site et généralement regroupés dans les grandes structures. Le NMI de grès grossier à feldspaths blancs est élevé, étant donné que c'est la roche la plus représentée dans le corpus. Celui-ci s'élève à 34 outils de mouture et 4 outils non déterminés.

GRÈS À FELDSPATHS BLANCS ET ROSÉS

Les fragments de grès feldspaths blancs et rosés sont peu nombreux, éparpillés sur le site, généralement un ou deux fragments maximum sont dans les mêmes structures.

Tous les fragments observés n'ont pas permis de rapprochements dans les roches. Ainsi, chaque fragment correspond à un outil de mouture ou autre outil. Le NMI s'élève donc à 3 outils de mouture (n° 82, 99 et 149), 10 débris (n°10, 13, 83, 96, 155, 119, 121, 148, 202 et 212) et un fragment de matrice ou enclume (n°9) faisant partie d'un probable outil non déterminé.

GRÈS À FELDSPATHS ROSÉS ET QUARTZ ARRONDIS

Cette roche est peu représentée dans le corpus ; 7 fragments compris dans 6 structures. Aucun n'a pu être relié à un autre ; aucun remontage n'est possible. Ainsi, je compte 5 outils de mouture dont deux en grès de type Serre (n°37 et 105 en grès type Serre et n°45, 49 et 58) et 2 fragments d'outils indéterminés (n°15 et 46).

GRÈS À FELDSPATHS BLANCS ET MICAS BLANCS

Malgré un regroupement dans la structure 29, la plupart des fragments de grès à feldspaths blancs et micas blancs sont peu nombreux et répartis sur l'ensemble du site. Tous les fragments de mouture (mouture n°2, 3, 41, 63, 68 et 81 et fragments n°22, 106, 118, 146, 160, 175, 181 et 186) ne sont ni associables par leur roche, ni remontable. Ainsi, 6 outils de mouture sont façonnés dans cette roche.

Concernant les débris, excepté le n°146 de la fosse 2 et le n°181 de la fosse 23 dont les roches sont très similaires à l'oeil nu et à la loupe, tous les autres sont distinguables.

Ainsi, le NMI est de 6 outils de mouture et 6 outils indéterminés.

GRÈS SILICEUX

Sur les cinq fragments en grès siliceux issus de fosses différentes (St 5, 12, 23, 26 et 29/30), deux sont identifiés en tant qu'outils de mouture (n°131 et 173 en mouture, n°108, 180 et 187). Aucune roche d'un fragment n'est attribuable à la roche d'un autre fragment. Ainsi, on dénombre deux outils de mouture et trois débris de potentiels outils indéterminés.

GRÈS MOYEN GRIS

Ce grès moyen gris n'est constitué que d'un seul fragment d'outil de mouture (n°4). Celui-ci se trouve dans la structure 29, fosse qui regroupe un certain nombre de fragments de tout type de roches. Le NMI pour ce grès est d'un individu.

Le NMI total concernant les outils de mouture s'élève donc à 58, c'est-à-dire que le secteur 1 comprend au moins 58 instruments – meule ou molette – de mouture.

3.5.2. LE MATÉRIEL LITHIQUE DU SECTEUR 2

Le mobilier lithique issu des fouilles de Bragny-sur-Saône en 2022 comprend 216 fragments. Il est constitué de 30 fragments d'outils de mouture, de 6 molettes, de 6 percuteurs, d'un mortier, d'un lissoir, d'un outil indéterminé, de 74 débris, de 42 éclats et de 55 pierres brutes.

Les matières premières ne sont pas détaillées ici car elles sont identiques à celles identifiées dans le secteur 1.

3.5.2.1. TYPOLOGIE

Du fait de la forte fragmentation du mobilier lithique, la reconnaissance des molettes ainsi que leur typologie, est rendue difficile. Concernant les molettes, seulement une est identifiée en tant que molette couvrante – avec surface active plane longitudinalement et transversalement ; les autres n'ont pas une surface active assez importante pour permettre une identification. L'une de ces molettes a été réemployée, c'est pourquoi elle comprend deux surfaces actives. Aucune meule n'a été identifiée parmi le matériel issu des fouilles 2022.

3.5.2.2. CONCLUSION

Le mobilier lithique de Bragny-sur-Saône (secteur 2) est composé de 36 fragments d'outils de mouture – dont six molettes, incluant une molette couvrante – de six percuteurs, d'un mortier, d'un lissoir, d'un outil indéterminé et de fragments non identifiés. Le remploi d'une molette avait déjà été observé dans le mobilier de 2021.

3.6. LA FAUNE DE BRAGNY : PREMIÈRES REMARQUES (C. L.)

Le 10 et 11 novembre 2022, une partie de la faune découverte à Bragny-sur-Saône a été inventoriée avec celle découverte lors des campagnes estivales de 2021 et 2022 et une partie de celle de « Bragny III ». Ici n'est abordé que celle trouvée récemment. Dans l'ensemble, les restes animaux sont très bien conservés, malgré une partie, assez conséquente, brûlée à différents degrés de température. De nombreuses traces de découpe sont visibles et clairement lisibles. Les espèces représentées sont majoritairement celles des animaux de rente (boeuf, porc, caprinés) avec l'impression d'une surabondance de porc. Le cortège semble être d'abord représenté par le porc, puis par les caprinés et ensuite par le bœuf. Certains fragments de crânes et de mandibules, avec des dentitions déciduales, témoignent de la présence de juvéniles, à l'opposé, les usures dentaires et les pathologies osseuses (abcès dentaire, exostose...) indiquent la présence d'animaux réformés ayant fourni des services de leur vivant (laine, lait, traction). Le chien prend la quatrième place du cortège. Quelques traces de découpe ont été observées indiquant la consommation de sa chair et/ou la récupération de sa fourrure. Quelques rares restes de chevaux sont attestés, mais aucune trace de découpe n'est observée, leur chair n'a probablement pas été consommée. Aucun taxon sauvage n'a été répertorié, même pas des fragments de bois de cerf qui, pourtant,

sont récurrents sur les sites d'habitat pré-protolithiques.

Une étude plus approfondie est envisagée sous la forme d'un master.

3.7. ANALYSES DES CARPO-RESTES (L. C.)

Les carpo-restes découverts lors de la fouille de 2021 ont été tamisés et étudiés par L. Chabert dans le cadre de son master 2 dont nous intégrons ici les principaux résultats (Chabert 2022). Le texte qui suit est issu de son mémoire soutenu en juin 2021 à l'Université de Franche-Comté sous la direction de C. Schaal et M. Thivet.

En 2021, 15 structures en creux ont fait l'objet de 18 prélèvements représentant au total 143 L de sédiment.

3.7.1. TAMISAGE DES PRÉLÈVEMENTS, TRI ET IDENTIFICATION DES MACRORESTES

Les sédiments de Bragny-sur-Saône sont de nature sèche. Ce sont uniquement les carporestes conservés par carbonisation ou minéralisation qui auront pu être

préservés. Nous avons donc adapté le protocole de tamisage à la nature des potentiels macrorestes végétaux. Les prélèvements ont été traités par flottation manuelle, puis tamisés au travers d'une colonne de tamis composée de deux mailles de 1 mm et de 0,5 mm.

Le tri des refus de tamis s'est effectué sous stéréomicroscope au grossissement x 5 à x 32.

Des atlas de référence (Jacomet et al. 2006, Capers et al. 2006, Neef et al. 2012) et des collections de graines actuelles et fossiles (collection de C. Schaal,

laboratoire Chrono-Environnement) ont été utilisés pour l'identification des carpores.

Les grains de céréales trop corrodés ou fragmentés pour être spécifiquement déterminés ont été regroupés sous l'appellation Cerealia. Certaines caryopses de blés corrodés ont été déterminées au rang du genre *Triticum* sp. Les caryopses des différents blés nus (*Triticum aestivum*, *Triticum durum* et *Triticum turgidum*) ne sont pas distinguables entre eux : ils apparaissent sous l'appellation groupée *Triticum aestivum/durum/turgidum*. Il n'est possible de différencier les blés nus hexaploïdes (*Triticum aestivum*) des blés nus tétraploïdes (*Triticum durum/turgidum*) qu'à partir des éléments de rachis (Zech-Matterne et al. 2017, Ferrage-Toulemonde 2013). Selon J. Wiethold, il doit s'agir de *Triticum aestivum* (froment), l'espèce la plus répandue à la Protohistoire et à l'Antiquité (Wiethold et Tikonoff 2020).

Les légumineuses sauvages et cultivées offrent souvent un mauvais état de conservation et une forte fragmentation sous forme carbonisée. Beaucoup n'ont pas pu être identifiées à l'espèce ni au genre, les parties discriminantes comme le hile ayant disparu. Elles sont présentées pour les légumineuses sauvages sous le terme *Fabaceae*, et *Fabaceae sativae* pour les légumineuses cultivées.

La mention cf. (*confer*) est présente devant certaines espèces, pour indiquer que leur détermination est incertaine. Quelques taxons ont été associés à deux espèces ou deux genres à la fois, car il était difficile de les différencier morphologiquement. C'est le cas pour les genres de fétuque et d'ivraie *Festuca/Lolium* sp., de pomme et de poire *Malus* sp. / *Pyrus* sp., ou encore la renouée persicaire ou à feuille de patience *Polygonum persicaria/Polygonum lapathifolium*. Les semences indéterminées ont été rassemblées sous le terme *Indeterminatae*.

3.7.2. GROUPEMENTS ÉCOLOGIQUES, DÉCOMPTÉ DES MACRORESTES, ENREGISTREMENT DES DONNÉES

Les taxons sont classés en larges groupes :

- Les plantes cultivées : les céréales, les légumineuses et les oléagineuses. Une plante cultivée est une plante qui a été mise en culture et récoltée par les hommes dans le but de produire des biens (alimentation, construction, fibres).
- Les plantes sauvages, et parmi elles les fruits sauvages, les messicoles et rudérales, les prairiales et les plantes sauvages au groupe écologique non précisé. Les fruits sauvages ont un statut particulier au sein des plantes sauvages. Ils sont en effet associés aux plantes de cueillette, car ils ont potentiellement pu être récoltés comme complément alimentaire aux plantes cultivées. Les messicoles sont des plantes poussant dans les cultures céréalières. Les rudérales poussent quant à elles préférentiellement sur des zones anthropisées, remaniées et piétinées, à proximité des habitats, sur des friches, en bordures de champs, ou encore sur des zones occupées par les animaux domestiques. Les taxons déterminés au rang du genre ou de la famille regroupant plusieurs espèces aux écologies variées sont rangés sous le terme « groupe écologique non précisé ».
- Les autres types de restes : les indéterminées et les MOC (Matière Organique Carbonisée), correspondant à des restes de préparations alimentaires de type pain, galette ou bouillie.

Tous les fragments et graines entières ont été isolés et comptés. Les restes sont dénombrés en Nombre Minimum d'Individu (NMI). Le NMI parmi les fragments

a été estimé selon la méthode dite « au jugé » (Pradat 2015), soit le nombre de fragments jugés nécessaires à la reconstitution d'une graine. Les nomenclatures latines et vernaculaires des espèces et le classement de la flore sauvage reposent sur la Flore de la Suisse et des territoires limitrophes (Aeschimann et Burdet 1994).

Les résultats carpologiques ont été enregistrés sur la base de données en ligne *Carpodata* qui permet l'accès ouvert et l'échange international des données (Schaal 2020).

3.7.3. RÉSULTATS

Tous les prélèvements de Bragny-sur-Saône se sont révélés positifs en carporestes. Le NMI total est de 515. Tous les macrorestes végétaux découverts sont carbonisés, et leur état de conservation est plutôt médiocre. La densité moyenne est de 3,6 restes par litre de sédiment. Cette densité peu élevée correspond au « bruit de fond » de l'économie végétale du site. En effet, les densités variant entre une (ou moins) à dix semences par litre correspondent à des captations fortuites et accidentelles des macrorestes dans les structures (Wiethold et Tikonoff 2020, Matteredne 2001). La majorité des prélèvements du site (18 d'entre eux) présentent ce cas. Ces faibles ensembles livrent en majorité les espèces les plus fréquemment consommées et traitées sur le site (Matteredne 2001). Les densités de deux autres prélèvements présentent des densités supérieures à dix graines par litre. Elles peuvent indiquer la présence de dépotoirs riches en éléments brûlés issus de l'activité agricole, domestique ou culinaire, accumulés sur le long terme (Matteredne 2001).

3.7.3.1. LES PLANTES CULTIVÉES

Les plantes cultivées sont au nombre de 378, et représentent 73 % de l'effectif total des carporestes. Elles comptent des céréales, largement majoritaires

(NMI : 374), et des légumineuses (NMI : 4). Le spectre des espèces cultivées représentées est large, mais le nombre de mentions est peu élevé. Les céréales sont représentées par leurs caryopses, ainsi que par leurs glumes, fourches (*furca*) et rachis, des éléments de la balle de céréale.

Ce sont les caryopses de céréales indéterminées *Cerealia* (NMI : 311) qui dominent le corpus céréalière. Viennent ensuite les caryopses d'orge vêtue *Hordeum vulgare var. vulgare* (NMI : 43) (fig. 30), de millet commun *Panicum miliaceum* (NMI : 3), et de millet des oiseaux *Setaria italica* (NMI : 3), les glumes de blé indéterminé *Triticum sp.* (NMI : 3), et les caryopses des sétaires ou millets *Setaria sp. / Panicum sp.* (NMI : 2). Le blé amidonnier *Triticum dicoccum* (NMI : 3) est représenté par un caryopse, une base de glume et une fourche. Le blé nu *Triticum aestivum/durum/turgidum* (NMI : 2) compte un caryopse et un fragment de rachis. La cf. orge commune cf. *Hordeum vulgare* et l'orge nue *Hordeum vulgare var. nudum* sont toutes deux représentées par un caryopse. Un grain de blé cf. amidonnier *Triticum cf. dicoccum* a été trouvé, ainsi qu'une base de glume de blé cf. épeautre *Triticum cf. spelta*.

Deux espèces de légumineuses sont représentées à Bragny-sur-Saône : le pois *Pisum sativum* (NMI : 1), auquel il faut ajouter une mention incertaine cf. *Pisum sativum* (NMI : 1) et la lentille *Lens culinaris* (NMI : 1). Une mention de légumineuse indéterminée *Fabaceae sativae* est à noter.

3.7.3.2. LES PLANTES SAUVAGES

Ce large groupe de plantes compte 131 mentions (25 % de l'effectif total), représentées par restes de fruits sauvages, d'herbacées sauvages comprenant des messicoles et rudérales, des plantes des milieux humides et des prairiales, ainsi que par quelques restes

de plantes au statut non précisé.

Les fruits sauvages, ou plantes de cueillette (NMI : 24), sont représentés par trois espèces et une mention double de genre : la noisette *Corylus avellana* (NMI : 13), les prunelles *Prunus spinosa* (NMI : 1), le sureau yèble *Sambucus ebulus* (NMI : 9), et la pomme ou la poire *Malus sp. / Pyrus sp.* (NMI : 1).

Les herbacées sauvages (NMI : 31), comptent :

- des mentions de plantes messicoles et rudérales (NMI : 28), dont le chénopode blanc *Chenopodium album* (NMI : 11), la fétuque ou ivraie *Festuca sp. / Lolium sp.* (NMI : 6), le gaillet gratteron *Galium aparine* (NMI : 4), le gaillet bâtard *Galium spurium* (NMI : 2), le scléranthe annuel *Scleranthus annuus* (NMI : 2), les sétaires *Setaria sp.* (NMI : 1), et la véronique à feuilles de lierre *Veronica hederifolia* (NMI : 2) ;
- un genre de plantes des milieux humides, les laïches *Carex sp.* (NMI : 1) ;
- une plante prairiale, la petite oseille *Rumex acetosella* (NMI : 2).

Les plantes sauvages au statut non précisé (NMI : 76) sont représentées par deux mentions de genre, l'oseille *Rumex sp.* (NMI : 56) et la vesce *Vicia sp.* (NMI : 2), et trois mentions de famille botanique, les Astéragées (NMI : 1), les Fabacées (NMI : 6) et les Poacées (NMI : 11).

3.7.3.3. LES AUTRES TYPES DE RESTES

Cette dernière catégorie inclut deux bourgeons et trois graines indéterminés, ainsi qu'un fragment de Matière Organique Carbonisée (MOC).

3.7.4. DISCUSSION

Ce sont les plantes cultivées, et les céréales notamment, qui présentent un signal prépondérant au sein du corpus carpologique. Le spectre des céréales est varié, bien que le nombre de mentions au sein de chaque espèce soit faible. En dehors de l'orge vêtue *Hordeum vulgare var. vulgare* qui semble dominer l'assemblage, il n'est pas possible d'établir un rang d'importance au sein des autres espèces céréalières. Il semblerait toutefois que l'économie végétale du site repose sur la culture de l'orge vêtue, des blés vêtus (de l'amidonner tout particulièrement) et du millet. Les différentes espèces de blés vêtus et d'orge vêtue présentent des exigences de traitement dans le champ et post-récolte similaires (Matterne 2001), rendant la pratique de la méturie envisageable. Il est à noter que les céréales ont été retrouvées sous la forme de caryopses, mais aussi d'éléments de la balle de céréale, comme les segments de rachis, les bases d'épillettes (furca) et les bases de glume. Ces mentions correspondent à une étape avancée du nettoyage, certainement liée au décorticage (Durand et al. 2011). Le décorticage des espèces vêtues est généralement un travail domestique, réalisé de façon journalière ou hebdomadaire en fonction des besoins (Ferrage-Toulemonde 2013), les grains décortiqués étant sensibles à l'humidité et aux attaques de parasites. Par ailleurs, le stockage des espèces vêtues dans leurs enveloppes permet la protection de la récolte contre l'humidité, les attaques fongiques ou les insectes. Ce mode de conservation est adapté à un stockage en silo souterrain, une pratique ayant eu cours lors du Hallstatt et du début du second âge du Fer (Gransar 2003). Suite aux traitements des récoltes, la balle des céréales a pu être utilisée comme fourrage pour les bêtes, ou servir aux constructions en torchis. Les faibles occurrences de ces éléments peuvent être le fait de leur réemploi, mais aussi de leur mauvaise résistance face à la carbonisation (Ferrage-Toulemonde 2013). Le spectre de la flore sauvage

compte des espèces adventices des cultures d'hiver, comme les bromes *Bromus sp.*, ou les gaillets gratteron et bâtard *Galium aparine* et *Galium spurium*. Elles ont pu être associées aux cultures d'hiver que sont l'orge vêtue, les blés vêtus et le blé nu. Par ailleurs, les dimensions de ces adventices, proches de celles des céréales, tendent à démontrer l'activité de décortilage des récoltes d'espèces vêtues. Ces dernières, débarrassées lors de l'étape du vannage des petites semences d'adventices, pouvaient toujours être accompagnées des semences d'adventices plus grandes à séparer des récoltes avant leur consommation lors du décortilage.

Les chénopodes blancs *Chenopodium album* et les sétaires *Setaria sp.* sont quant à eux des adventices plus typiques des cultures d'été, et ont pu être associés aux cultures de légumineuses (pois et lentille) ou de millet (Wiethold dans Labeaune et al. 2007).

La mention d'espèces des milieux humides, les laïches *Carex sp.* est à noter. Leur présence

dans les rejets domestiques principalement constitués de plantes cultivées peut attester de l'exploitation de ce milieu par les habitants de Bragny-sur-Saône. Les tiges des plantes humides ont pu être récoltées pour constituer des litières végétales, ou pour confectionner des toitures ou des vanneries (Lachiver 1997).

Malgré le caractère peu représentatif des données issues du corpus carpologique de Bragny-sur-Saône, il nous est possible de rendre compte d'une image générale de l'économie végétale du site.

C'est une agriculture s'inscrivant dans le même schéma que celui présenté dans la synthèse régionale des données carpologiques de Bourgogne – Franche-Comté à l'âge du Fer (Chabert 2022), qui semble se dessiner à Bragny. Il semblerait en effet que

l'agriculture y étant illustrée repose sur une diversité d'espèces de céréales et de légumineuses, avec une représentation majoritaire de l'orge vêtue, des blés vêtus et du millet commun.

Cette agriculture variée, reposant sur des espèces rustiques d'hiver et d'été, complétée de la cueillette de fruits sauvages, a pu constituer un moyen pour la population de l'agglomération de Bragny-sur-Saône de mettre en place un système agricole stable, assuré par un niveau minimal de production (Ferrage-Toulemont 2013).

3.8. LE MOBILIER NÉOLITHIQUE (A. D.)

Les différents éléments cités ci-dessous ont été extraits du texte plus général proposé par A. Denaire, dans le cadre du rapport de PCR "Confluence", identifiant les découvertes préhistoriques faites dans les différents secteurs de Bragny.

3.8.1. LE NÉOLITHIQUE MOYEN

Une petite anse à perforation verticale recueillie dans la fosse 4 du secteur 1 (**Fig.103**, n° 1) trouve plusieurs parallèles régionaux, par exemple dans le niveau 9 du fameux site de Chassey-le-Camp (Thevenot, 2005, fig. 39, n° 7 et 8) ou encore parmi le mobilier recueilli sur celui de « L'Arène » à Granges, toujours en Saône-et-Loire (Thevenot, 2005, fig. 153, n° 2, 3, 5 et 6). Compte tenu du caractère fruste de la pâte dans laquelle a été façonnée la pièce de Bragny, notre préférence va davantage vers ce site que celui de Chassey dont les productions se distinguent par leur qualité. Attribué au Néolithique ancien cardial à cause de la présence de plusieurs tessons à cordons, rien ne permet toutefois de conclure à l'homogénéité de l'ensemble de « L'Arène » et de relier ces anses avec les cordons. Une attribution plus tardive, au Néolithique moyen I, est parfois évoquée. Après tout, de telles préhensions

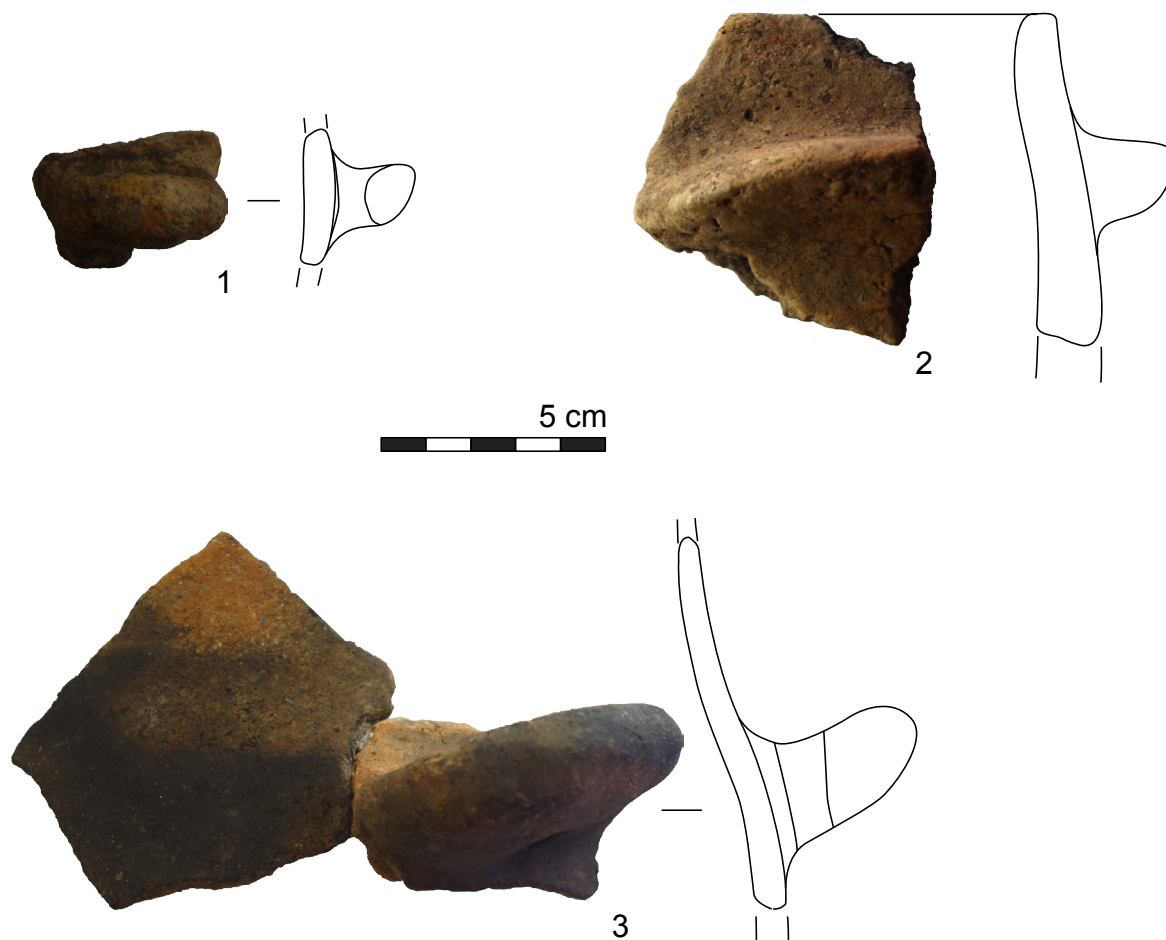


Fig.103 Tessons datés du Néolithique trouvés sur les secteurs 1 et 2 (Dessin, DAO : A. Denaire)

existent aussi dans le Cerny, donc à l'horizon Néolithique moyen I (Bourdeau, 1997, fig. 5, n° 1)

La structure 208 a livré les fragments d'un vase à panse globulaire, muni d'une languette horizontale perforée verticalement (**Fig.103**, n° 3). Cette languette se distingue nettement de la pièce précédente par ses dimensions imposantes. Si certaines languettes de Chassey peuvent lui être rapprochées (Thevenot, 2005, fig. 19, n° 6 par ex.), les meilleures comparaisons pointent vers la culture de Cerny (Constantin, 1992, fig. 3, n° 4, fig. 6, n° 2 et fig. 9, n° 8-9 ; Simonin et al, 2017, fig. 25, n° 15). Comme la petite anse de la structure 4, on hésite donc entre Néolithique moyen I et II, même

si la première option emporte notre conviction compte tenu de ses dimensions.


De la même structure 208 provient un petit fragment d'anse ou de manche décollé au niveau de sa jonction avec la surface d'un vase ou d'un cuilleron (non dessiné). Ce fragment est toutefois trop petit et sa surface trop abîmée pour que l'on puisse trancher. Précisons seulement que les cuillères sont bien attestées en contexte Cerny ainsi que sur le site de Chassey tant dans les niveaux chasséens que du niveau 5... Néolithique final (Thevenot, 2005, fig. 92, n° 12 et fig. 128, n° 5 par exemple).

Ces exemples illustrent la difficulté – et la vanité de parfois essayer – de dater des pièces isolées. Pour ces trois pièces, il est impossible de trancher de manière définitive entre NMI et NMII et le fait que la grosse anse à perforation verticale de la fosse 208 fonctionnerait mieux dans l'option Cerny n'interdit pas que les deux autres tessons soient plus tardifs, éventuellement chasséen. Que de pincettes prises en arriver à ce constat!

3.8.2. LA FIN DU NÉOLITHIQUE

Outre le possible fragment de cuillère de la fosse 8, la fin du Néolithique est attestée par trois autres artefacts, dont un tesson d'un récipient à paroi rectiligne découvert dans la fosse 208 du même site. Ce récipient est muni d'une languette ovale arquée, placée deux centimètres sous la lèvre (**Fig.103**, n° 2). Les contextes livrant des vases avec de telles caractéristiques ne manquent pas dans le centre-est de la France ou dans les régions limitrophes, du Néolithique moyen au Néolithique final. C'est toutefois vers cette dernière option que va notre préférence compte tenu de l'épaisseur de ce tesson et de sa finition assez « brute ». Les autres caractéristiques de la pâte vont également dans ce sens. Pour illustration, évoquons les gobelets à paroi verticales du proche habitat d'Ouroux-sur-Saône « Le Grand Bois et le Taillis » munis eux-aussi de languettes, perforées ou non, placées très haut sur leur profil (Thevenot, 2005, fig. 166, n° 4, 5 et 8) ou encore ceux du niveau 5 de Chassey-le-Camp (Thevenot, 2005, fig. 127, n° 2). Bien que peu de datations radiocarbones accompagnent ces découvertes, une fourchette calée entre 2900 et 2300 av. J.-C. semble pouvoir être avancée (Thevenot, 2005, p. 276). D'autres comparaisons, tout aussi convaincantes, mais provenant de contextes un peu plus lointains peuvent aussi être évoquées, notamment l'Auvernier et l'Auvernier-Cordé de Suisse occidentale (Stöckli, 2009, Taf. 43-49) ou encore le Horgen du lac de Chalain dans le Jura français (Giligny 1997, pl.

8 ; Stöckli, 2009, Taf. 166-167). Cela ne change rien à la datation proposée pour le tesson de Bragny, toutes ces cultures appartenant au Néolithique final.

An archaeological excavation site with several workers. A large black diamond-shaped overlay is centered on the image, containing white text. The background shows a dirt excavation pit with various tools and equipment scattered around. A person is sitting on the edge of the pit on the left, and another person is standing on the right. A bucket of soil is visible in the bottom right corner.

4.
SYNTHÈSE SUR LES
FOUILLES MENÉES À
BRAGNY ENTRE
2021 ET 2022

4. SYNTHÈSE SUR LES FOUILLES MENÉES À BRAGNY ENTRE 2021 ET 2022

4.1. DISCUSSION AUTOUR DES ASSEMBLAGES DE MOBILIERS CONCERNANT LES SECTEURS DE L'HABITAT (SECTEURS 1 ET 2)

L'observation des assemblages de mobilier et leur position sur le site nous permettent généralement de proposer une discussion autour de la datation, la fonctionnalité et l'importance socio-économique des espaces étudiés. Selon les cas, nous privilégions une approche par structure ou par secteur même si, en termes de précision, elle n'est pas complètement satisfaisante (**Fig.104**).

A Bragny, une présentation des assemblages par structures est prévue à terme, lorsque toutes les études spécialisées seront abouties.

La présentation qui en est faite ici est donc provisoire et concerne essentiellement certaines catégories, dont les études sont plus avancées, voire finalisées.

Sans prendre en compte le phasage, la répartition des mobiliers par structures donne déjà quelques informations. Comme en 2021 et de façon logique, ce sont les structures les plus volumineuses qui livrent le plus de mobiliers (Str. 3-5-6-29-214-210-236-203 et 239) ainsi que les niveaux de sols anciens, en particulier l'US 2005. Dernier état, cette couche semble en effet avoir accumulé beaucoup de faune, particulièrement abondante dans la dernière phase de comblement d'autres structures, phénomène repéré en 2021 dans certaines

NR par structures

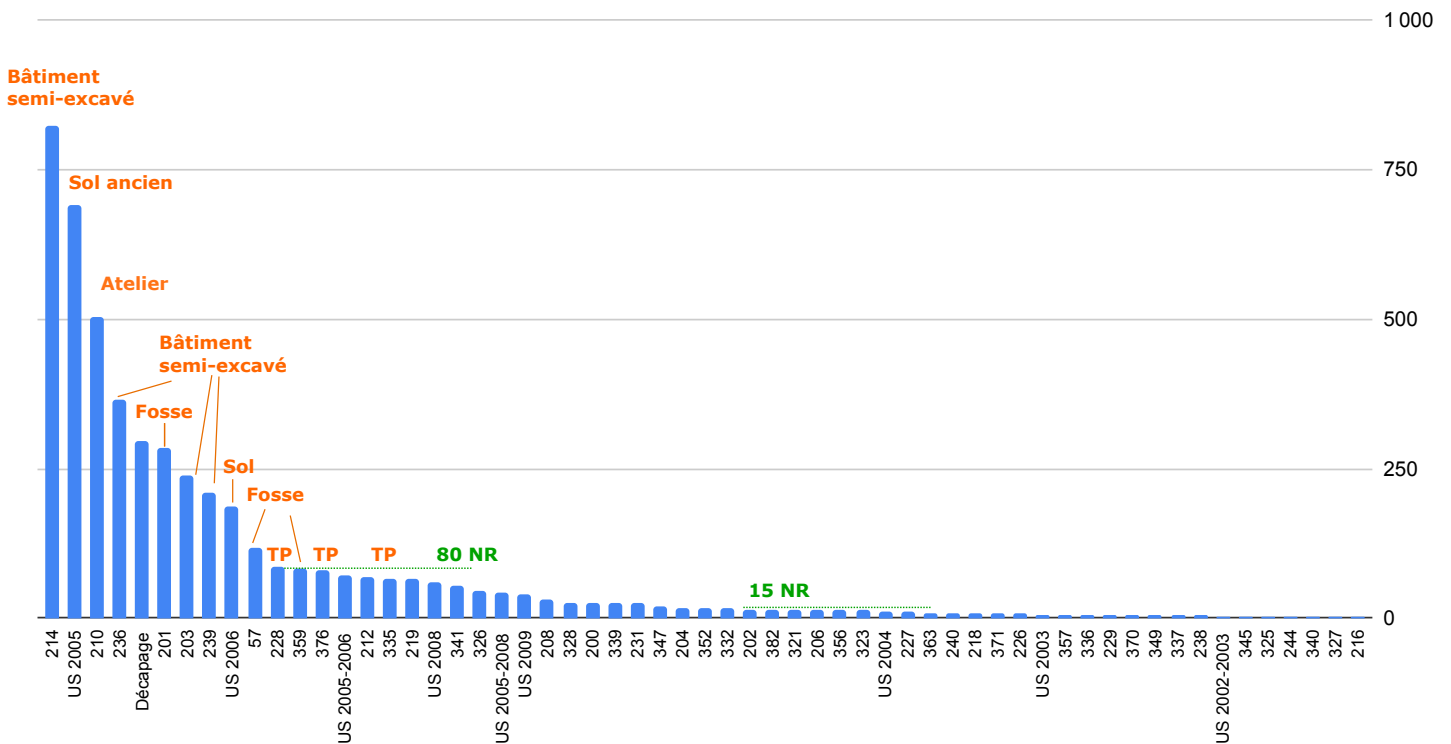


Fig.104 Graphique représentant le nombre de restes par structures dans le secteur 2 (E. Dubreucq)

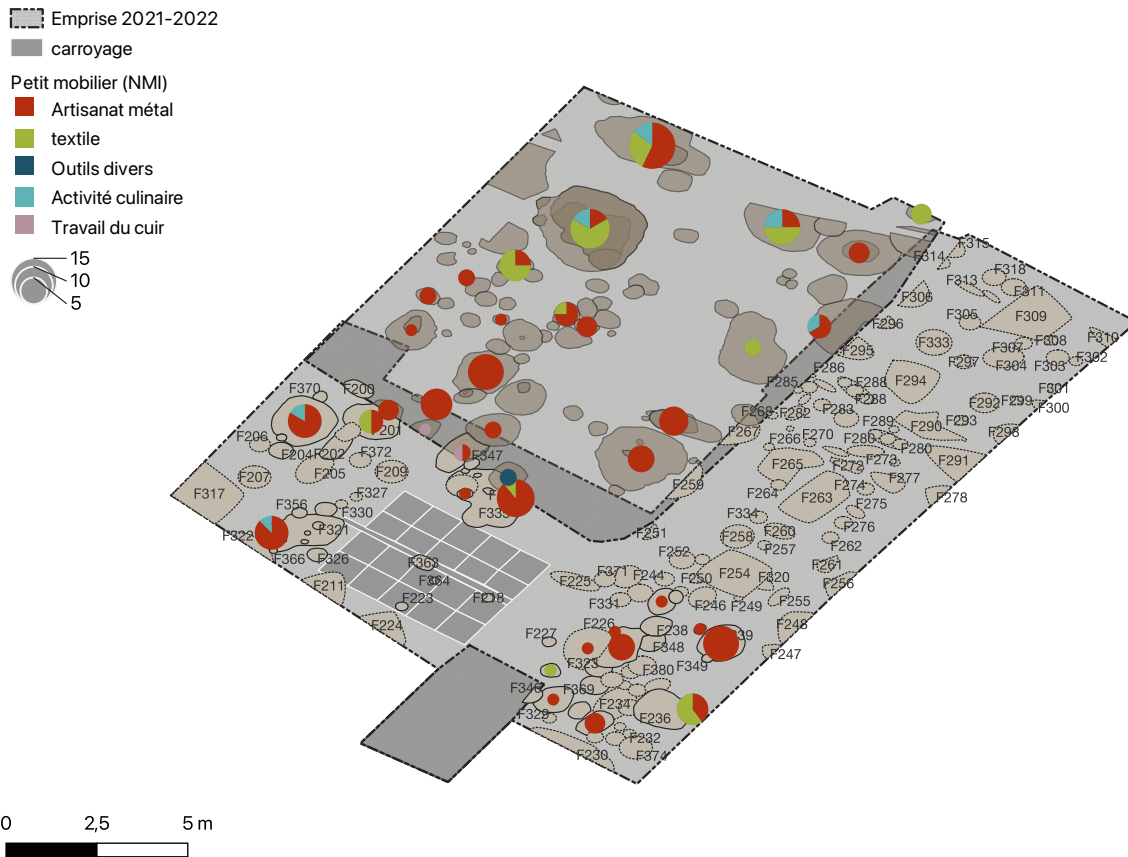


Fig.105 Carte de répartition du petit mobilier selon sa fonctionnalité (V. Cicolani)

structures (Str. 3-6-8-10 et 17) qui pourraient constituer l'ultime phase de l'occupation du site (Dubreucq, Cicolani 2021, p. 89).

Si l'on s'attarde sur la répartition du "petit mobilier" (métal, petits objets en terre cuite et matière organique fossile), force est de constater que les déchets liés à la métallurgie du fer sont présents quasi partout, dispersés sous la forme de petits déchets (chutes essentiellement) avec seulement deux structures où le nombre d'objets se rapportant à cette activités sont plus élevés : en l'occurrence les grandes fosses 17 et 214 (avec respectivement 8 et 7 NMI) (**Fig.105**). L'étude préliminaire des battitures du secteur 1 confirme cette dispersion. En effet, tous les prélèvements réalisés en ont livré, mais dans des quantités peu importantes et sans véritable concentration (cf. supra). Ce qui

indiquerait qu'elles sont plutôt en position secondaire dans ce secteur. Le même phénomène a été observé pour les scories (celles du secteur 1), qui apparaissent plus abondantes dans seulement deux grandes structures 3 et 5, toutefois en lien avec des niveaux de complements détritiques (US 1006 et US 1012). C'est le cas aussi pour deux gros fragments en pierre trouvés en remploi comme calage de trous de poteaux (F 26 et F45). Massives, ces deux pièces avec des surfaces planes et des traces de fer incrustées pourraient en effet avoir été des supports de frappe, de type enclume, utilisées à un moment donné dans un atelier (F 210 ?), puis abandonnées. La question se pose également pour un lot de ciseaux trouvés dans la structure 17, dans l'unique comblement d'abandon de la fosse.

Contrairement à d'autres secteurs comme celui de

Bragny II qui par exemple a livré des chutes de grandes dimensions, les différents types de déchets découverts attestent surtout de la mise en forme de petits mobiliers : des fibules assurément et de possibles pinces à épiler réalisées à partir de petits barres dont un certain nombre de soies de préhension nous sont parvenues. Plus ténue, la métallurgie des alliages cuivreux est toutefois présente dans les deux secteurs avec semble-t-il une densité plus importante dans l'angle sud du secteur 2, autour des structures 235-236-239 et 332. Si l'entièreté du dépôt d'objets métalliques de cette dernière fosse est encore en cours de nettoyage, notons qu'un fragment de lingot découpé et les deux outils vus précédemment (matrices) se rapportent à cette activité; cette dernière a aussi pu se tenir dans la fosse-atelier 210, en raison de la découverte de petits fragments de déchets dans son comblement supérieur et ses alentours (Str. 201-203-208 et 214).

Si l'on s'attarde sur l'activité de filage et de tissage, il est intéressant de remarquer que la majorité des découvertes se concentrent dans la partie nord du secteur 1 (Str. 1-5-6-8-29-31 et 45) avec quelques fusaioles et la totalité des pesons, laissant supposer qu'au moins un métier à tisser devait être présent dans ce secteur (**Fig.105**). Si ce dernier semble plutôt se rapporter à une activité artisanale spécialisée, les fusaioles sont généralement plutôt considérées comme ustensiles de la vie quotidienne et pourraient permettre d'évoquer plutôt des activités à l'échelle de la maisonnée ? Mis à part, une petite fosse qui en a livré près de 3 exemplaires (Str. 31) ainsi qu'un bâtiment semi-excavé (Str. 236), les autres apparaissent dispersées dans les structures 29, 201, 214 et 228.

Pour continuer sur les activités de production, la répartition des quelques outils liés au travail du cuir est particulièrement parlante (**Fig.105**). En effet, ils sont tous issus d'un même secteur, trouvés dans les structures 57-75 et 208. Cette concentration dans un

espace si restreint nous pousse à supposer la confection d'objets dans cette zone, en lien avec les structures elles-mêmes (la 208 restant à finir de fouiller) ou celles toutes proches (Str. 214 ?).

Le petit mobilier évoquant la vie quotidienne (parures et éléments de vêtement, couteaux, quincaillerie diverse, petits ustensiles liés au soin du corps) reste plus difficile à interpréter en termes de répartition. On note pour les éléments de costume une présence plus appuyée dans la partie nord du secteur 1 (Str. 3-5-8-29 et 31) avec quelques pièces de qualité (pendeloque Golasecca et deux bracelets en matière organique fossile). Dans le secteur 2, seul le crochet de chaussure (Str. 203), une parure annulaire en roche noire (Str. 325) et la fibule complète en bronze issue de l'US 2008 se distinguent.

Relevant au départ d'une activité quotidienne, notamment la confection de farine pour l'alimentation, les éléments de meule sont très abondants à Bragny et en particulier dans le secteur 1 qui en a livré près de 58 NMI (cf. *Supra*). Cette abondance fait de Bragny un site relativement original dans la vallée de la Saône et dans le reste du monde hallstattien où le nombre de moulins est beaucoup plus faible (Fouillade 2022, p. 183). En matériau importé, ce type de mobilier a été façonné par l'emploi de roches d'origines variées, permettant d'évoquer des approvisionnements et des circuits commerciaux, à une échelle régionale, complémentaires de ceux généralement évoqués pour Bragny (sud de la Gaule ou Italie du Nord), notamment en lien avec la vallée de la Dheune (Jaccottey 2020, Fouillade 2022). Une autre caractéristique de ce corpus, est sa forte fragmentation, et la réutilisation des fragments de meule pour une ou des autres activités, possiblement le travail du métal (Fouillade 2022, p. 185), ce qui n'est pas aberrant au vu des nombreuses découvertes liées à la métallurgie issues de deux secteurs fouillés depuis 2021. Si l'on observe la répartition des éléments

lithiques dans le secteur 1, il semble que les plus fortes concentrations soient observables encore dans la partie nord, comme une grande partie du reste du mobilier, là où les comblements détritiques sont les plus importants (Str. 2-3-5-6-7-8 et 29).

Parmi les mobiliers découverts, on note également quelques marqueurs de statut qui sont toutefois peu abondants par rapport à la quantité de mobilier découvert. Parmi la céramique, on peut citer quelques vases tournés cannelés, utilisés comme vaisselle de présentation (20 NMI, cf. étude L. Picot), et les quelques amphores massaliètes/punique attestant de la consommation du vin dans le secteur (cf. étude R. Roure). Hormis le mobilier des dépôts volontaires, notamment la crémaillère qui constitue un objet rare pour cette période (seuls quelques exemplaires sont connus à cette période) (Dubreucq 2013), seuls la fibule incrustée de corail, le pendeloque de Golasecca et les quelques bracelets en lignite constituent des mobiliers sortant de l'ordinaire. La découverte d'une agrafe de réparation de vaisselle dans ce cadre pourrait plutôt être liées aux activités artisanales de la fosse-atelier toute proche que de la présence d'un récipient dans la zone fouillée.

| Type de structures | NMI |
|---|------------|
| Trou de poteau | 87 |
| Trou de poteau ou fosse ? | 7 |
| Fosse | 14 |
| Fosse avec trou de poteau/fosse de calage | 9 |
| Fosse-atelier | 1 |
| Grande fosse circulaire | 1 |
| Grande fosse ovale | 9 |
| Grande fosse quadrangulaire | 2 |
| Grande fosse rectangulaire | 3 |
| Aménagement en creux : foyer ? | 1 |
| Aménagement modelé | 1 |
| Indéterminé | 2 |
| Total général | 137 |

Fig.106 Types de structures découvertes sur les deux secteurs de Bragny en 2021 et 2022

4.2. TYPOLOGIES ET ORGANISATION DES STRUCTURES DES SECTEURS DE L'HABITAT (SECT. 1 ET 2)

Comme c'est souvent le cas à l'âge du Fer, la majorité des structures documentées sur les deux secteurs de fouille à Bragny sont des trous de poteaux (**Fig.106**).

Ils sont pour la plupart de forme ovale à circulaire, munis de bords évasés ou droits avec des fonds plats ou en cuvette. Ils disposent d'un comblement simple lié à leur phase

d'abandon excepté quelques cas plus complexes comme la structure 26, où il a été possible de reconnaître un probable fantôme de poteau, attestant d'un chevron de 10 cm de largeur, d'après la trace rectangulaire repérée (Str. 14) ou de 40-50 cm pour les calages de poteaux des structures 335 ou 382 par exemple. Des pierres



Fig.107 Coupe du poteau F45 avec un possible calage (Photo : A. Vincelot)

artisanales (possibles enclumes) en position secondaire dans la structure 45 (Fig.107) et plus couramment, des tessons de céramiques notamment d'amphores semblent avoir joué un rôle de calage (par exemple Str. 353 et 358).

En nous attardant sur les dimensions et volumes de ces structures, on remarque qu'ils connaissent toutefois des variations importantes avec de très petits modules (0,004 m³) à des modules beaucoup plus importants allant jusqu'à 0,29 m³ mais plus rares (Str. 57 et 59) (Fig.108). Il est intéressant d'observer que ces variations semblent former des modules récurrents qui pourraient avoir un sens du point de vue des matériaux (modules des bois ?) et/ou de l'organisation de l'architecture en fonction du type de construction (bâtiment, auvent, ...)

Sans avoir fini la fouille du secteur, il est à ce stade, encore délicat d'aller plus loin dans l'interprétation de leur distribution dans l'espace et de leur relation avec les autres fosses ou les plus grandes structures considérées la plupart du temps comme des restes de bâtiments semi-excavés avec lesquelles ils formaient un ensemble plus complexe.

Quelques fosses ont été distinguées des simples trous de poteaux, notamment lorsque leurs dimensions dépassent 0,9 m de diamètre ou de long (par exemple pour les Str. 7-9-23-31-32-39-42-46-61-58-201-202-208-328-332). Notons qu'elles mesurent entre 0,6 et 1,7 m, avec une profondeur comprise entre 20 et 40 cm, des bords généralement évasés et un fond plat ou en cuvette. Une seule est de forme rectangulaire aux angles arrondis (Str. 210.06), rappelant la forme d'un cuvelage, peu profond (20 cm).

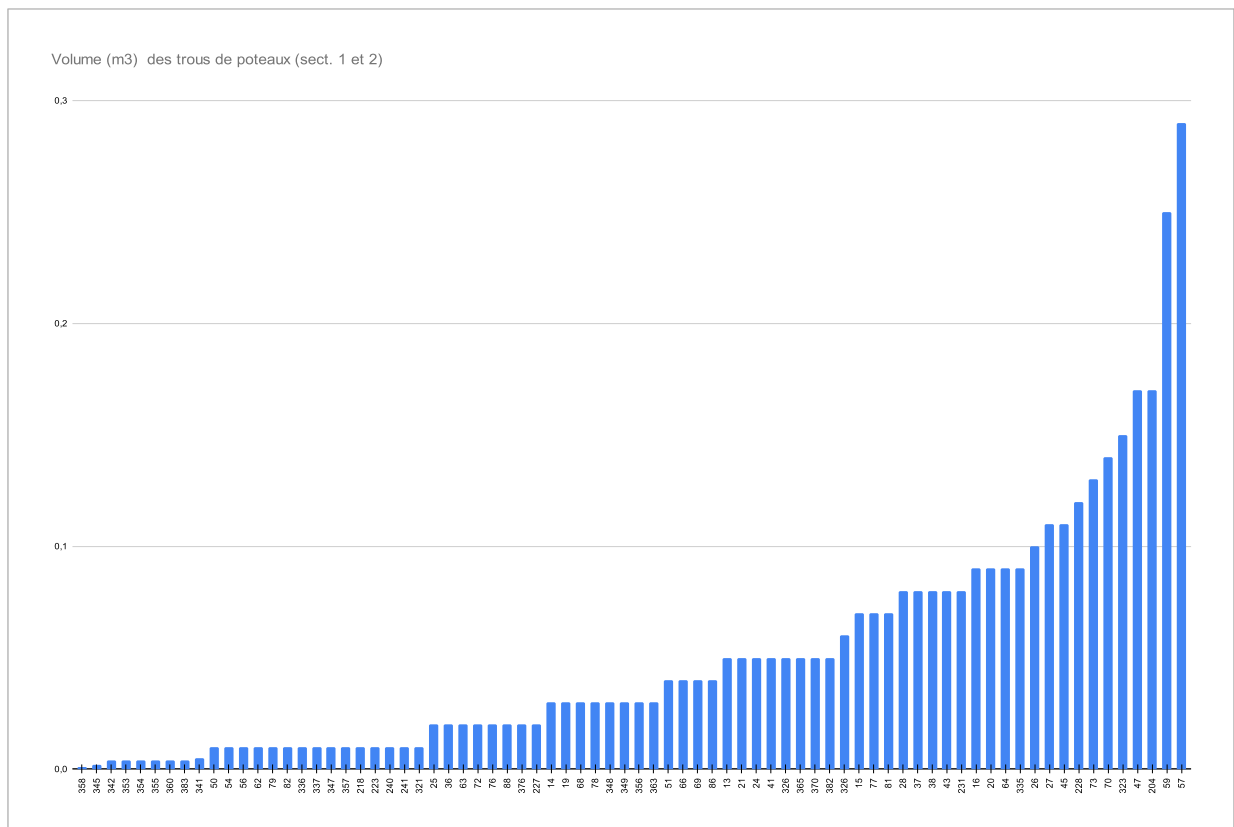


Fig.108 Graphique représentant les volumes des trous de poteaux trouvés sur les deux secteurs (E. Dubreucq)

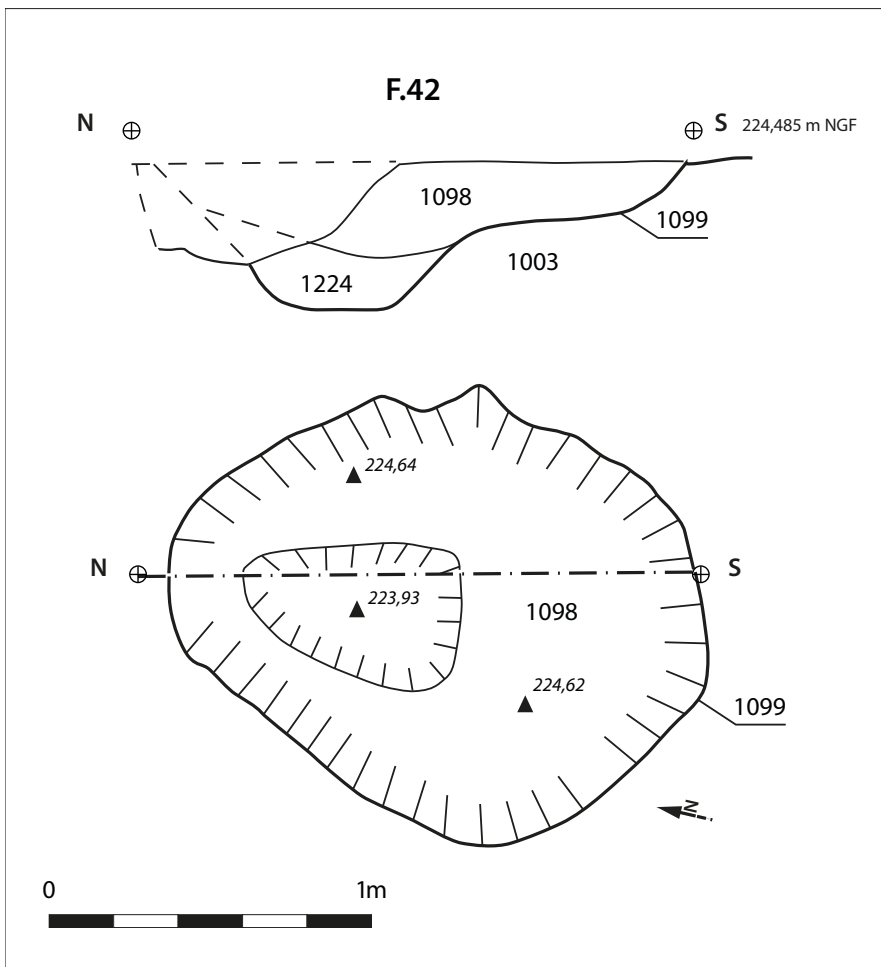


Fig.109 Plan et coupe de F42 (Dessin : H. Fouillat ; DAO : D. Beucher

Certaines d'entre elles disposent d'ailleurs d'un surcreusement circulaire ou ovalaire permettant là encore l'intégration d'un possible poteau. Ce surcreusement peut être situé en position centrale comme dans les structures 23/82 et 9 ou décentrée comme dans F42 et F58. Pour celles-ci en particulier, il n'est pas exclu qu'elles constituent un trou de poteau dont l'installation ait pu nécessiter une plus grande fosse de calage que ce qui a été observé ailleurs (**Fig.109**).

Toutefois, ces petites fosses munies de poteaux ont pu aussi avoir une fonction spécifique (artisanat ?) que nous ne sommes pas en mesure d'éclaircir pour le moment. Nous espérons que les prélèvements micro-morphologiques permettront d'en dire plus ces prochaines années.

En outre, on peut remarquer que le calcul des volumes réalisés sur ce type de structures intermédiaires est moins parlant que pour les poteaux (**Fig.110**). Cela tient peut-être au fait qu'elles avaient des fonctions plus variées.

Le troisième type de structure regroupe les grandes fosses (NMI : 15), la plupart du temps de forme ovalaire, plus rarement rectangulaire ou quadrangulaire, avec une seule véritablement circulaire. Dans tous les cas, elles sont recoupées et/ou flanquées de poteaux/petites fosses aux dimensions variées avec lesquelles elles fonctionnaient. Elles disposent d'une stratigraphie un peu plus complexe (excepté les Str. 2, 8, 17, 235) permettant d'évoquer pour certaines des aménagements internes : banquettes, peut-être des vides-sanitaires et les considérer comme de probables bâtiments

semi-excavés (Str. 3-5-6-10-29-203-214). Elles ont pour la plupart deux à trois couches différentes attestant d'au moins deux phases principales de comblement. On ne dispose que très rarement des niveaux de fonctionnement hormis peut-être au fond des structures 5 et 10.

Du point de vue de leur dimensions, là aussi la variabilité est importante puisque elles peuvent mesurer de 1,28 à 3,8 m de long pour une profondeur allant de 0,35 à 0,7 m. Du point de vue de leur volume, force est de constater que toutes les fosses de plus de 2m³ proviennent exclusivement de la zone nord du secteur 1 (**Fig.111**), celles qui ont notamment livré le matériel le plus abondant et quelques-uns des marqueurs de

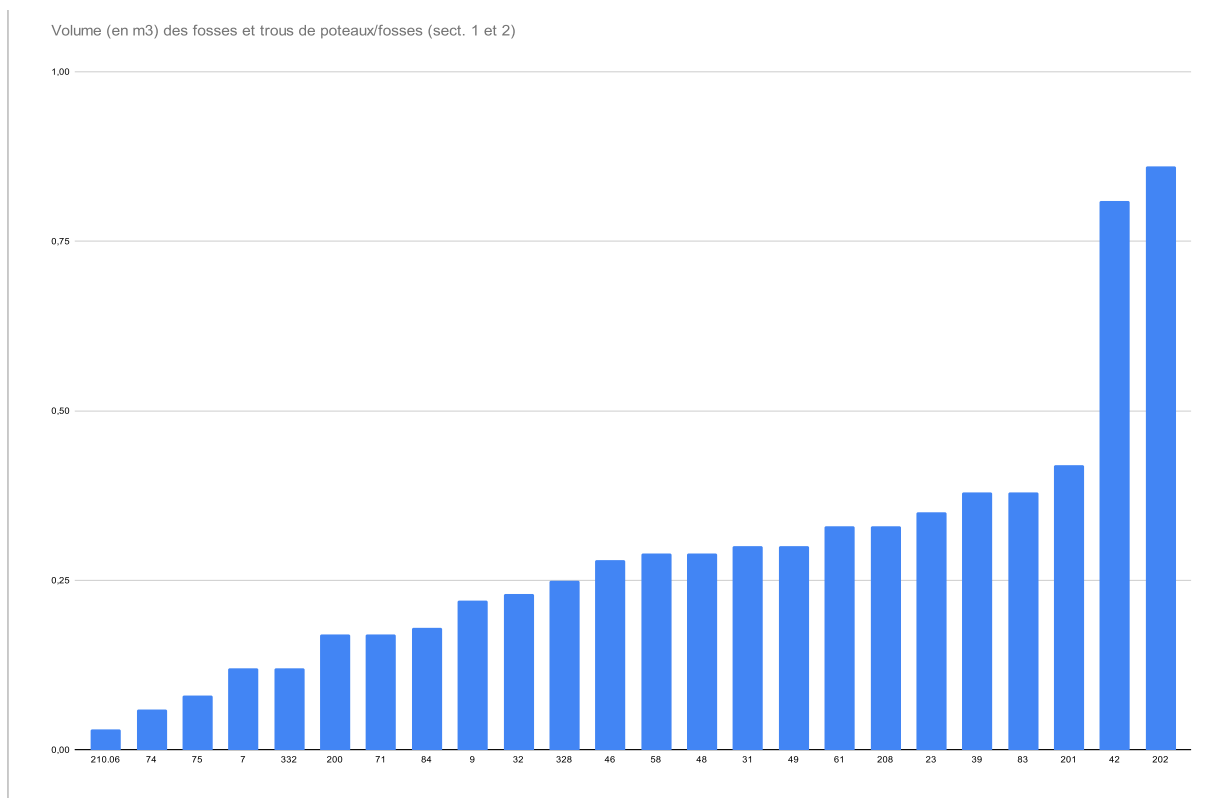


Fig.110 Graphique représentant les volumes des fosses trouvées sur les deux secteurs (E. Dubreucq)

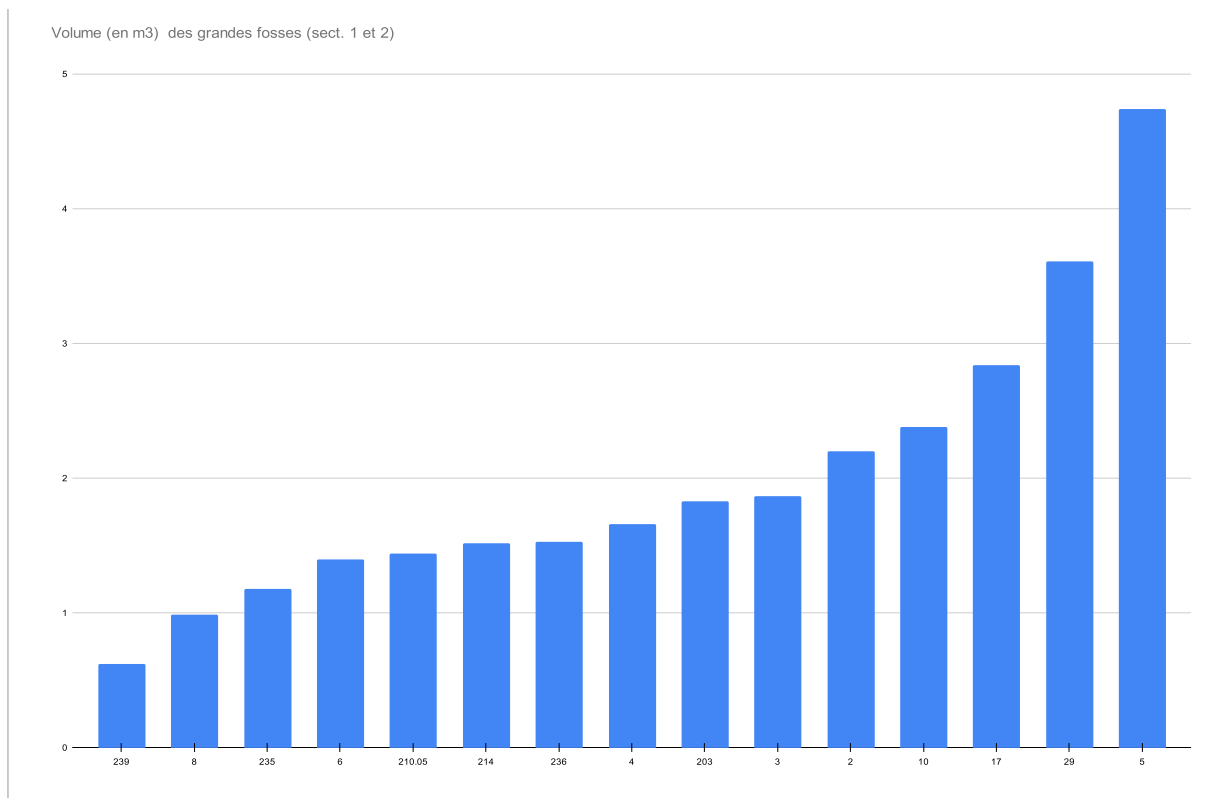


Fig.111 Graphique représentant les volumes des grandes fosses trouvées sur les deux secteurs (E. Dubreucq)

statut (en particulier Str. 29 et 5). La taille des structures pourrait peut-être avoir un sens si ce n'est fonctionnel, social également.

L'un des apports principaux de la fouille de 2022 a été la découverte d'un autre type de bâtiment semi-excavé (Str. 210.05). De forme rectangulaire aux angles arrondis, peu profond par rapport aux fosses décrites juste avant, il se distingue par le façonnage en relief d'espaces spécifiques qui ont probablement été destinés à la métallurgie (cf. Supra). Cette proposition repose à la fois sur la morphologie des espaces modelés (petite plate-forme quadrangulaire centrale, possible

emplacement d'un foyer et d'un aménagement pour positionner un système de soufflerie) et la présence d'un sol entourant la fosse riches en micro-fragment de scories (US 2004) fonctionnant probablement avec l'espace de travail et distinct de l'espace juste attenant. En tout cas, c'est comme cela que nous avons envie d'interpréter la limite bien nette perçue grâce aux prospections magnétiques (**Fig.112**).

Mise à part une structure proche découverte lors des fouilles de J.-L. Flouest, ce type d'aménagement très particulier n'a pas encore trouvé de comparaisons. Il est intéressant car il est morphologiquement très

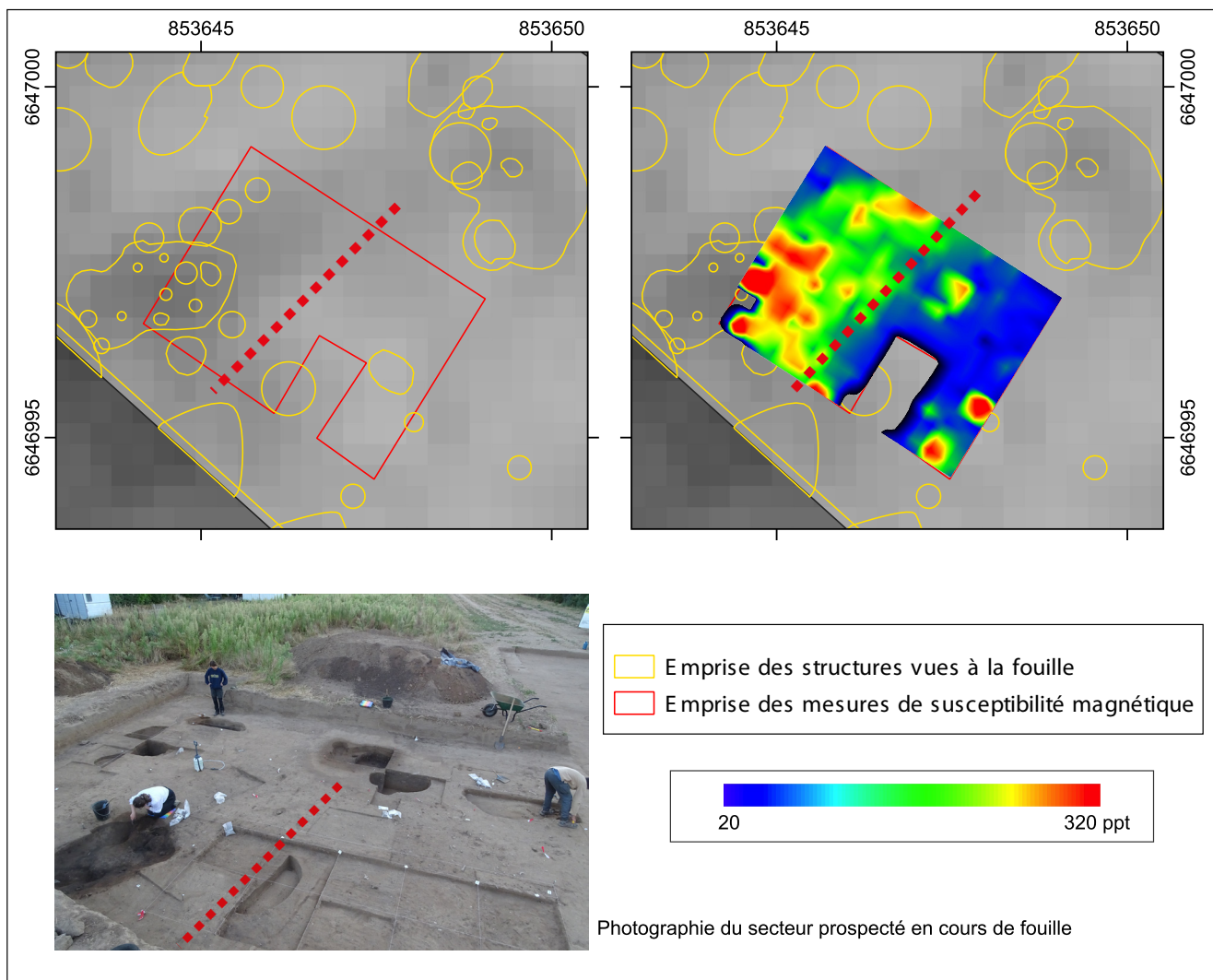


Fig.112 Limite de sol qui semble se percevoir sur les résultats de la prospections magnétiques (en tiret rouge : la limite présumée) (DAO : C. Sanchez, E. Dubreucq)

distinct des grandes fosses réparties régulièrement dans toute l'agglomération (que ce soient dans nos fouilles ou celles plus anciennes de Flouest et Guillot). Le fait que ce lieu soit clairement un espace de travail, avec une typologie propre nous permet aussi d'apporter des arguments quant à la fonction des autres grandes fosses. En effet, on peut supposer que ces dernières n'ont pas une fonction artisanale comme on le soupçonnait précédemment (ou en tout cas pas liées au travail des métaux) mais plus probablement une fonction domestique. Cela nous permettrait ainsi de tenter de discriminer les espaces de vie des espaces artisanaux, notamment liés à la métallurgie.

Du point de vue du fonctionnement de la structure, comme nous le décrivons plus haut, une petite plate-forme rectangulaire a pu servir pour la mise en place d'un établi/enclume associée à un possible emplacement d'un foyer et d'un dispositif modelé permettant l'installation d'un système de soufflerie. La découverte dans l'angle sud-ouest de restes de terre crue de couleur blanche (importée sur le site) va aussi dans le sens de la pratique de la métallurgie. En effet, ce type de matériau a pu être employé pour la mise en forme de moule, de creuset pour la fonte des alliages cuivreux, ou la conception de tuyères, bloc tuyères ou la réfection du foyer. Les nombreux trous de poteaux associés restent toutefois à mieux caractériser pour comprendre les aménagements liés aux espaces de travail de ceux liés aux contraintes architecturales, d'autant que la partie sud du bâtiment n'a pas encore été finie de fouiller. Les nombreux restes de mobiliers/déchets dispersés aux alentours de la structure 210 nous permettent de supposer qu'ils proviennent probablement de cet atelier. L'analyse plus poussée des scories par M. Berranger en 2023 (études métallographiques, analyses chimiques) devraient aussi nous permettre d'affiner la question des types de productions, des méthodes de travail des artisans, en comparaison avec les autres déchets déjà abordés et les autres secteurs de

l'agglomération qui sont en cours de reprise également (Cf. Rapport de PCR, travaux de L. Belhade, M. Berranger). C'est le cas aussi pour les pierres artisanales dont le corpus de plus en plus étoffé (quasi 100 NR) devrait pouvoir être abordé prochainement par M. Pieters.

Pour conclure cette première analyse typologique de structures, nous attendons beaucoup de la micro-morphologie, approche nécessaire pour clarifier certains aspects fonctionnels, notamment autour des fosses de tailles moyennes à grandes (Peinetti à venir). Prévue aussi courant 2023, l'étude de la terre à bâtir devrait nous permettre d'apporter des compléments sur les techniques de construction en terre et bois utilisées sur le site. Elle permettra peut-être aussi de repérer des éléments liés aux structures de chauffe, grandes absentes des découvertes récentes.

En outre, la fouille de 2022 est venue confirmer l'orientation générale des structures selon un axe nord-est-sud-ouest, perçue également dans la zone gelée cette année sur la partie septentrionale du secteur 2. Si des espaces vides, interprétés pour l'instant comme des espaces de circulation/pacage/jardin ont été repérés dans le secteur 1 et dans la partie sud-ouest du secteur 2 (zone du carroyage), notons qu'ils semblent absents de la bande non fouillée où dès le décapage une très forte densité de structures est ressortie (**Fig.113**). Ce qui montre dès lors une organisation différentielle des espaces de l'agglomération.

4.3. ÉTATS DES CONNAISSANCE SUR LA CHRONOLOGIE DES SECTEURS DE L'HABITAT FOUILLÉS EN 2021 ET 2022

En combinant les approches mobilières à l'étude de la stratigraphie des deux secteurs fouillés, nous pouvons d'ores et déjà proposer quelques remarques sur la chronologie des secteurs de l'habitat abordés ces deux dernières années. Il nous manque toutefois l'étude

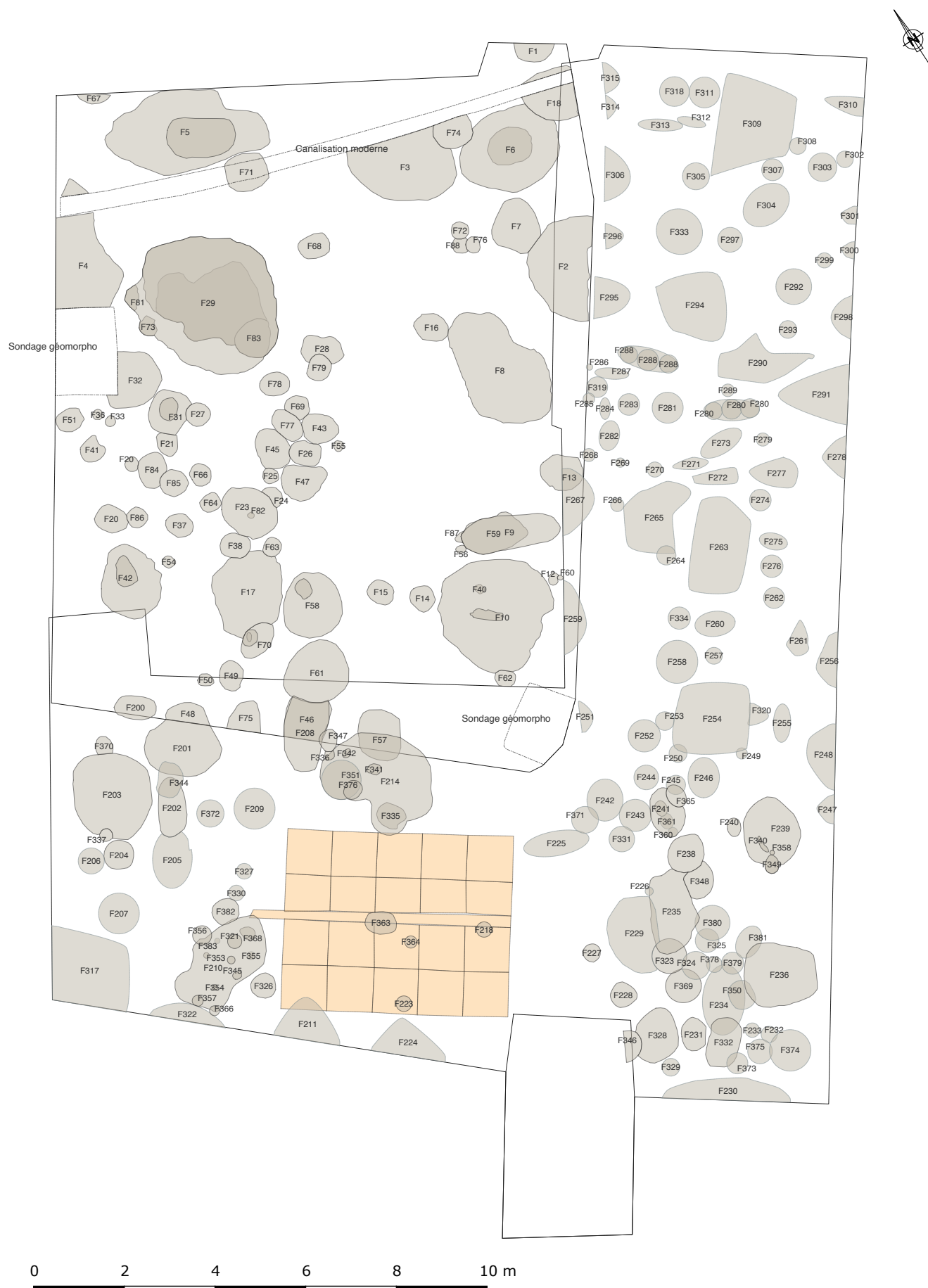


Fig.113 Plan d'ensemble des structures trouvées dans les deux secteurs (DAO : L. Picot, V. Cicolani, E. Dubreucq)

phasée de la céramique, qui doit être réalisée courant 2023 dans le cadre d'un Master 2 réalisé par L. Picot à l'Université de Bourgogne. Les propositions faites sont donc provisoires et devront être complétées et vérifiées.

Si elle ne correspond pas à une véritable phase reconnue sur le terrain, la nouveauté des fouilles récentes est la mise en évidence de mobiliers néolithiques dispersés à travers quelques structures : quelques fragments de céramique et des éléments lithiques (Str.

4, 8, et 208) témoignant d'une fréquentation du site à l'époque chasséenne et/ou au Néolithique final (Jaccotey 2021 dans Dubreucq, Cicolani 2021, p. 86 ; Denaire *supra*).

Pour la fin du premier et le début du second âge du Fer, l'étude générale de la stratigraphie, nous permet de distinguer au moins deux séquences (peut-être trois) dans les "grosses" structures, dans quelques trous de poteaux et à travers l'étude récente des niveaux de

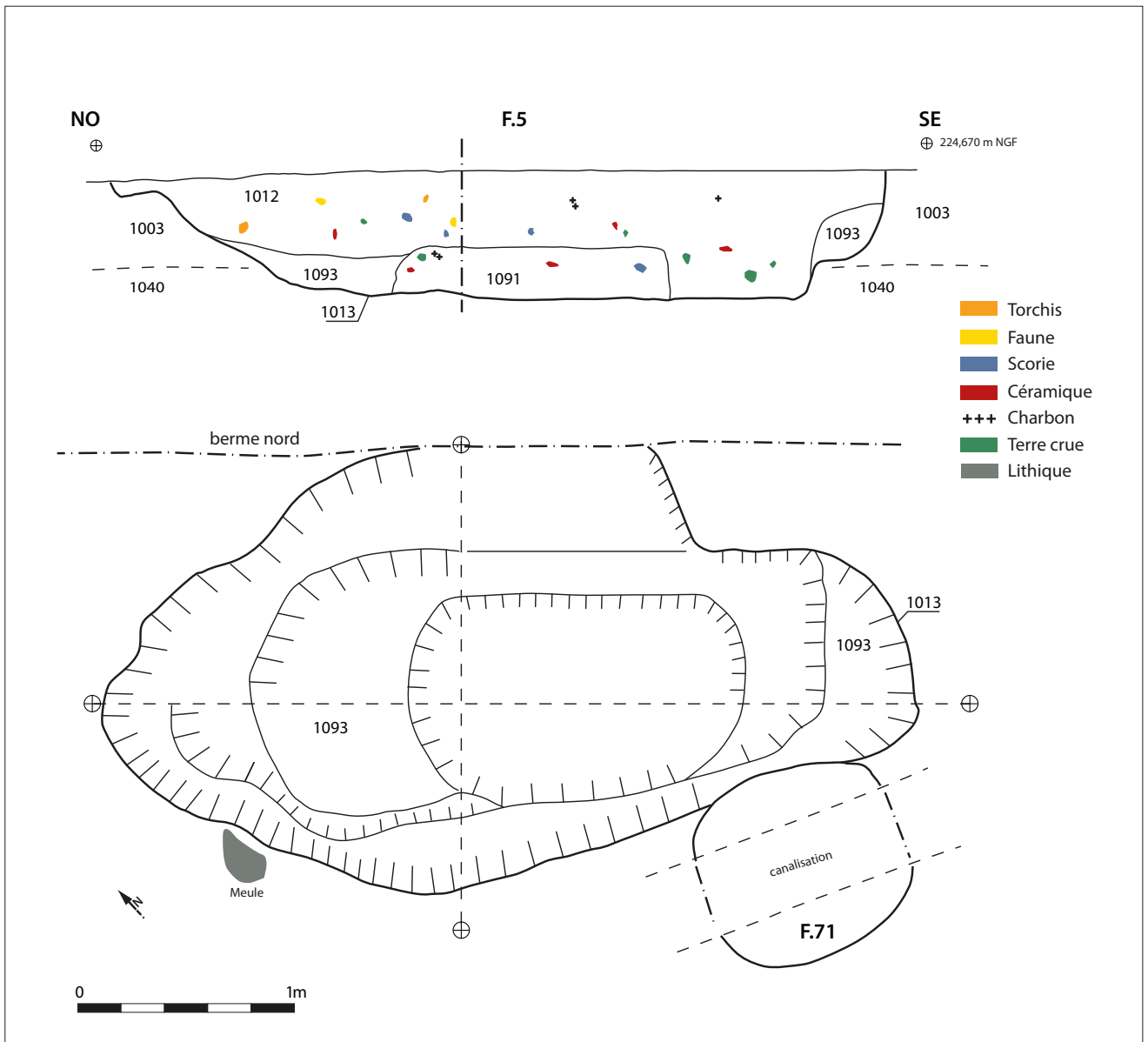


Fig.114 Exemple de la structure 5, munie d'au moins deux phases de comblement/fonctionnement (Dessin : S. Critchel, Z. Bonnin, DAO : D. Beucher, E. Dubreucq)

sols du secteur 2, associés ou non à la fosse-atelier qui semble aussi avoir connue deux grandes phases. Cela semble être aussi le cas pour les dépôts volontaires réalisés dans la structure 332 dont deux étapes ont été finalement distinguées.

La première phase est liée à la construction et au fonctionnement de structures plus ou moins complexes qui disposent quasi toutes d'une ou deux dernières phase de comblement volontaire (excepté les structures 4 et 29 pour les grandes fosses), caractérisée par un sédiment riche en matière organique, charbons et mobiliers (céramique, meule, métal, enclume et faune) (**Fig.114**).

Pour les structures 4 et 29, le comblement terminal est moins charbonneux, de couleur brun-grisâtre, comme un certain nombre d'autres structures réparties également sur tout le secteur fouillé (Str. 13-14-16-31-37-38-42-51-63-64-66-68-69-77-85-203-204-235) (**Fig.115**).

Concernant cette fois exclusivement les trous de poteaux et les petites fosses, un sédiment limoneux-sableux de couleur brun-jaunâtre vient sceller définitivement les structures suivantes dans le secteur 1 : Str 19-21-24-25-28-32-33-34-49-43-50-54-58-55-72-75-78-79-87-88 (**Fig.116**).



Fig.115 Coupe longitudinale de la structure 4 (Cliché : A. Lemoine)

Ce comblement n'a toutefois pas encore été véritablement repéré dans le secteur 2, à moins qu'il corresponde à la couche 2005, qui vient recouvrir quelques structures en creux (Str. 214, 218, 228 ?, 363).



Fig.116 Exemple de la coupe du poteau F21 comprenant un sédiment limoneux-sableux de couleur brun-jaunâtre (Cliché : A. Perrot)

Il s'agira d'être vigilant en 2023 lorsque nous aborderons plus en détail les nombreuses petites fosses, potentiellement des trous de poteau, notamment dans le sud-est du secteur.

Ainsi, lorsqu'il s'agit de la dernière phase de comblement des structures, trois types de sédimentation ont été repérés, mais qui demeurent encore difficiles à interpréter. Sont-elles différentes en raison de leur appartenance à un état différent, ou est-ce un phénomène lié à la fonctionnalité des structures ? probablement les deux, même si en avançant de plus en plus dans la fouille, on a la sensation que cela pourrait correspondre plutôt à des états différents, qui dans le secteur 2 semble associé à des niveaux de sols différents.

Un travail plus approfondi sur la répartition des structures en fonction de leur stratigraphie relative, leur niveau d'apparition, associé aux données mobilières, notamment chronologiques, devrait nous l'espérons permettre de

démêler ces questions. Il nous a semblé préférable de terminer la fouille du secteur 2 avant de proposer une synthèse plus avancée de ces questions.

De par leurs concentrations et leurs recouvrements, les différents poteaux et fosses dans le quart ouest du secteur 1 ou l'angle sud-est du secteur 2, attestent assurément de plusieurs phases de réaménagement. Et au vu de la dégradation rapide du sol lors de pluies violentes (dont nous avons fait l'expérience en 2021), il est possible que l'espace de temps entre ces reconstructions soit relativement court.

Bien que le mobilier soit encore en cours d'étude, la présence de quelques marqueurs chronologiques permettent déjà de préciser la fréquentation générale de la zone fouillée.

La mise en évidence de mobiliers néolithiques (céramique, probables éléments lithiques) permettent d'évoquer pour la première fois à Bragny une fréquentation/occupation au cours de la période chasséenne. Dispersés dans plusieurs structures (F4 et F8 par exemple) et mêlés à du mobilier plus récent, il s'agit probablement d'éléments résiduels, comme cela semble aussi être le cas dans le secteur de Bragny III, fouillé par A. Guillot et dont la reprise du matériel a permis de reconnaître cette phase plus ancienne, jusque-là absente des publications.

Le reste du mobilier observé, notamment le métal, semble à première vue typique de la fin du premier et du début du second âge du Fer (cf. *Supra*) ; que ce soit les quelques éléments de fibules, le crochet de chaussure et le pendeloque-panier qui indiquent des datations entre la fin du Ha D3 et le tout début de LTA1 (500-475 à 450 avant notre ère). La céramique ira aussi dans ce sens même si nous devons encore attendre une étude plus aboutie (renseignement oral L. Picot, D. Bardel).

A l'instar des secteurs de Bragny II (Dubreucq et al. 2020a) et de certains ensembles fouillés par J. L. Flouest, nous n'avons pas encore mis en évidence des mobiliers plus récents datés de LTA récente ou LTB1.

Ce qui pourrait indiquer que cette partie de l'agglomération n'est peut-être plus occupée durant l'ultime phase d'occupation, qui semble d'après les premiers indices à disposition se recentrer plutôt dans le "cœur" de l'aire généralement définie pour le site.

4.4. QUID DE LA PERCEPTION DES ÉCHANGES ET DES RÉSEAUX DE CIRCULATION DANS LES SECTEURS FOUILLÉS RÉCEMMENT

Parmi les axes que nous avons souhaité développer dans ce programme autour de Bragny, un volet était consacré à la question de l'intégration du site aux réseaux de circulation et d'échanges (volet 3 : Dubreucq 2020, p. 20).

A ce propos, les deux premières années de fouilles ont été largement satisfaisantes car elles ont permis de renouveler une partie du corpus des mobiliers importés, à travers la découverte d'une pendeloque originale de Golasecca, de nombreux fragments d'amphores majoritairement massaliètes (Roure dans ce volume), quelques éléments en pâte claire de la vallée du Rhône et, plus originale, un possible tesson d'amphore d'origine punique ! (Luaces dans ce volume). Il pourrait constituer la trouvaille la plus septentrionale connue à ce jour. Pour l'instant isolée, il s'agit probablement d'une amphore arrivée par l'intermédiaire des commerçants marseillais, où ce type de production est plus courante au cours du Ve siècle avant.

Parallèlement aux réseaux à longue distance désormais bien caractérisés à Bragny depuis les premières fouilles des années 1970 (Feugère, Guillot 1986),

l'étude d'autres mobiliers en particulier du matériel de mouture apporte un nouvel éclairage sur la question des échanges. En effet, les collègues lithiciens ont pu montrer la très grande diversité des roches gréseuses et granitiques, utilisées dans le cadre de ces activités, toutes importées de secteurs plus ou moins lointains (Jaccotey 2020 ; Fouillade 2021 et dans ce volume). Façonnées probablement à proximité de leur lieux d'extraction et non sur place, ces ustensiles, pendant longtemps peu considérés sur les sites de la fin du premier âge du Fer, nous fournissent de bons indices pour caractériser des circuits d'échanges régionaux voire extra-régionaux, mettant en jeu d'autres voies que la Saône ou le Doubs. En effet, la majorité des affleurements identifiés se situent dans le massif du Morvan, soit à une distance d'approvisionnement d'une cinquantaine de kilomètres. Dans ce cas, c'est très probablement la vallée de la Dheune qui a constitué l'espace de circulation privilégié (Jaccotey 2020 ; Fouillade 2021 et dans ce volume), jusqu'ici peu considéré dans les recherches autour de la Confluence.

4.5. LA QUESTION DES DÉPÔTS VOLONTAIRES EN PLEIN COEUR DE L'AGGLOMÉRATION : PREMIÈRES CONSIDÉRATIONS

L'un des faits originaux de la campagne de 2022 a été la découverte de deux dépôts volontaires d'objets métalliques trouvés dans les structures 332 (332.01 et 332.05). Au moment où nous rédigeons cette synthèse, le dégagement en cours d'une partie du mobilier vient de s'achever, nous permettant de proposer une première image du dépôt d'outils (dépôt dit n°1) composé semble-t-il de quatre outils en fer, à emmanchement à douilles (hache ou herminette, voire un marteau) complété de deux matrices en alliages cuivreux destinées au travail des métaux (cf. *supra*) (Fig.117).



Fig.117 Quatre outils à douilles présents dans le dépôt juste après leur nettoyage (photo : M. Bernard)

Pour rappel, le second dépôt ne comprenait semble-t-il qu'un seul objet, une crémaillère qui semble complète, en cours de nettoyage.

Déposés en entier et bien emballés dans des contenants, ces objets ont donc été placés intentionnellement dans deux petites fosses (ou trous de poteaux), rappelant une pratique très courante au cours de l'âge du Bronze, qui s'atténue au Ha C (Milcent 2004, p. 64) et qui depuis quelques années semble de plus en plus souvent mis en évidence sur les sites de l'âge du Fer (par exemple Bataille, Guillaumet 2006 ; Gransar et al. 2007). Cela tient certainement au fait de l'évolution des techniques de fouilles, plus attentives à ce type de pratiques et du développement de l'archéologie préventive qui a permis la multiplication des contextes de découvertes.

Sans reprendre en détail tous les exemples de cette pratique pour la fin du premier et le début du second âge du Fer, notons d'abord que quelques régions, en particulier, le Bassin parisien (Chevrier 2007) ou le Languedoc (Guilaine et al. 2017) sont marqués durant la phase moyenne du Hallstatt (Ha D1) par un phénomène large de dépositions qui s'inscrit dans la continuité des pratiques de l'âge du Bronze (Milcent 2004). En effet, ce sont surtout des panoplies féminines représentées dans l'Aube et la petite vallée de la Seine (Chevrier 2007, p. 669) ou des lots d'outils (des haches surtout) et des restes

liés à la métallurgie, présents dans les dépôts launaciens (Guilaine et al. 2017). Pour le domaine halls-tattien occidental, quelques découvertes de ce type remontent au début du 20^e siècle par exemple sur le site du Camp du Château à Salins-les-Bains (39), où un coutelas et une broche à rôtir ont été trouvés complets et associés (Piroutet 1932 ; Dubreucq 2013, p. 203) sans que nous puissions pousser l'interprétation plus en avant faute de données de terrain fiables. A Clamecy (58), c'est un dépôt de quelques fibules qui ont été réunies au pied du rempart, datées typologiquement du Ha D3 (Chevrier 1995). En excluant le dépôt de la Douix à Châtillon-sur-Seine, qui relève des pratiques en milieu humide (Cicolani et al. 2014), on peut aussi citer les assemblages originaux mis en évidence sur le site rural de Pont-sur-Seine "La Gravière"(10) (Dubreucq 2012). Trouvés dans le plus gros silo du site, il s'agit d'un ensemble remarquable de onze objets métalliques parmi lesquels ressortent trois couteaux de découpe, une probable broche à rôtir, une « hache-marteau » et des éléments de parure et de vêtement (deux fibules et un torque) formant un costume féminin daté de LTA1. Visible dans les autres structures du site à travers les très nombreux restes d'ossements animaux en partie calcinés, ce dépôt a été mis en relation directe avec une pratique attestée de consommation collective de viande, les couteaux et la hache-marteau semblant renvoyer à une possible panoplie de sacrificateur. La hache constitue en effet l'un des outils régulièrement associé au sacrifice animal, et représenté parfois dans les ensembles funéraires de la fin du Ha D, comme dans la tombe de Hochdorf en Wurtemberg, où la hache est liée à un couteau et une pique, interprétés comme un équipement d'abattage (Krauße 1999, 183). S'agit-il de la même symbolique évoquée dans le dépôt dit n°1 ? Une étude typologique et tracéologique notamment des marques perçues sur les tranchants sera toutefois nécessaire pour appuyer cette première hypothèse.

Il a en effet pu s'agir aussi d'ustensiles pour le travail du bois, voire même d'une évocation des pratiques plus anciennes de déposer ce type d'outil dans les dépôts comme durant tout l'âge du Bronze et au premier âge du Fer du moins dans le domaine atlantique ou launacien. Les outils en alliages cuivreux destinés à la mise en forme du métal relèvent de la même symbolique duelle : ils peuvent renvoyer à l'évocation de la communauté des artisans tout en constituant une catégorie de mobilier très régulièrement placés dans les dépôts depuis les débuts de la protohistoire. Du fait de sa rareté, la crémaillère trouvée dans le dépôt 2 est par contre plus originale. Utilisée pour la suspension du chaudron, ustensile de base pour la cuisson des aliments, elle pourrait quant à elle plutôt renvoyer à l'évocation du foyer, de l'espace domestique.

En outre, ce type de pratique symbolique sur les sites d'habitats durant l'âge du Fer est de mieux en mieux documentée, faisant l'objet de plusieurs synthèses régionales dans l'Ouest (Nillesse 2006) et le nord de la Gaule (Gransar et al. 2007, p. 560). Dans ce dernier article, une grille de lecture et d'interprétation de ces phénomènes a été proposée, renvoyant dans notre cas de figure plutôt à des pratiques relevant soit des rites de fondation ou d'abandon, soit d'acte propitiatoire ou d'un possible culte domestique (Gransar et al. 2007, p. 561). Le fait que premier dépôt ait livré une crémaillère, symbole du foyer et de l'installation dans un lieu ? (comme le fait de pendre la crémaillère encore actuellement lorsque l'on s'installe dans une nouvelle maison), nous pousserait à l'interpréter comme un possible dépôt de fondation intervenant lors de l'installation de la communauté ou d'une partie de cette communauté. Après un laps de temps difficile à évaluer entre les deux épisodes, le deuxième dépôt est réalisé sans bouleverser le premier qui semble avoir été gardé en mémoire. Dans ce dernier cas, peut-on considérer qu'il s'agit d'un dépôt d'abandon où des outils de

métallurgistes, entre autres, sont délaissés au même moment que l'abandon de l'atelier situé à quelques dizaines de mètres ? En tout cas, deux trous de poteaux viennent recouper les structures 332, indiquant qu'une autre phase de fonctionnement du secteur a encore cours après la réalisation de ces pratiques.

L'étude des macro-restes issus des prélèvements, la reconnaissance de possibles matières organiques sur les objets métalliques, une étude typo-technologique de ces mobiliers et la fouille des structures alentour devraient aussi permettre de mieux reconsidérer ces deux dépôts exceptionnels dans leur environnement.

Notons qu'à Bragny, ce type de pratique pourrait avoir été repérée lors des fouilles de J.-L. Flouest (Flouest 1993, p. 160). Au fond d'un bâtiment semi-excavé (BN 86), deux petites fosses ont livré respectivement un lot d'au moins six céramiques complètes, pour partie retournées et une table de meule complète (Flouest 1993, Fig. 9).

4.6. LE SECTEUR 3 : UNE RELECTURE DE L'ORGANISATION ET DES LIMITES DE L'AGGLOMÉRATION

La réalisation d'un sondage géoarchéologique en amont du site, le long de la pente et sur un segment d'anomalie linéaire s'est révélée être un choix judicieux qui a permis de faire avancer parallèlement deux importants dossiers : d'une part, l'obtention d'un profil géo-pédologique complet dans lequel l'agglomération s'installe, évolue et interagit et, d'autre part, l'acquisition et vérification des premiers éléments concernant l'organisation spatiale de l'habitat et son interaction avec le milieu naturel (Axes scientifiques 1 et 2).

Les dynamiques de remplissage restituables grâce aux observations à la fois géomorphologiques et

archéologiques indiquent que cet imposant ouvrage d'environ 6 m de largeur conservée et de 1,70 m de profondeur creusé jusqu'au niveau argileux basal (US 3002), est resté ouvert assez longtemps, à l'eau calme, pour ensuite se colmater progressivement par une alternance d'événements anthropiques et naturels, puis enfin être engorgé et tronqué en raison de la remise en culture du versant et des phénomènes de colluvionnement et illuviation bien enregistrés dans les niveaux supérieurs qui scellent le fossé (**Fig.118**). La chronologie du colmatage est difficile à préciser en raison de la position résiduelle des vestiges archéologiques, provenant exclusivement des comblements intermédiaires et supérieurs. En effet, si une chronologie relative d'abandon est fournie par les fragments d'amphore de Marseille, leur association à des assemblages peu diagnostiques du point de vue chronologique et sensiblement identiques ne permet pas d'apprécier en détail la cette séquence formée alors que le fossé était déjà au sec et peut-être plus ou peu entretenu. Enfin, son creusement dans un encaissant très argileux vers le fond tout en lui garantissant une étanchéité naturelle exclut par la même occasion l'extraction de l'argile comme activité anthropique associable à la première phase de fonctionnement de la structure.

Interprétations possibles et questions ouvertes

Compte tenu des caractéristiques géoarchéologiques et des dimensions réduites de la fenêtre d'observation, il serait imprudent d'avancer ici une interprétation précise et ferme de la/les fonction(s) possibles du fossé ST 400. Néanmoins, un certain nombre de considérations peuvent d'ores et déjà être avancées en attendant de réaliser des investigations plus étendues et d'étoffer ainsi ce dossier.

Le fossé revêt sans doute une fonction de délimitation territoriale, rôle par ailleurs joué dans la plupart

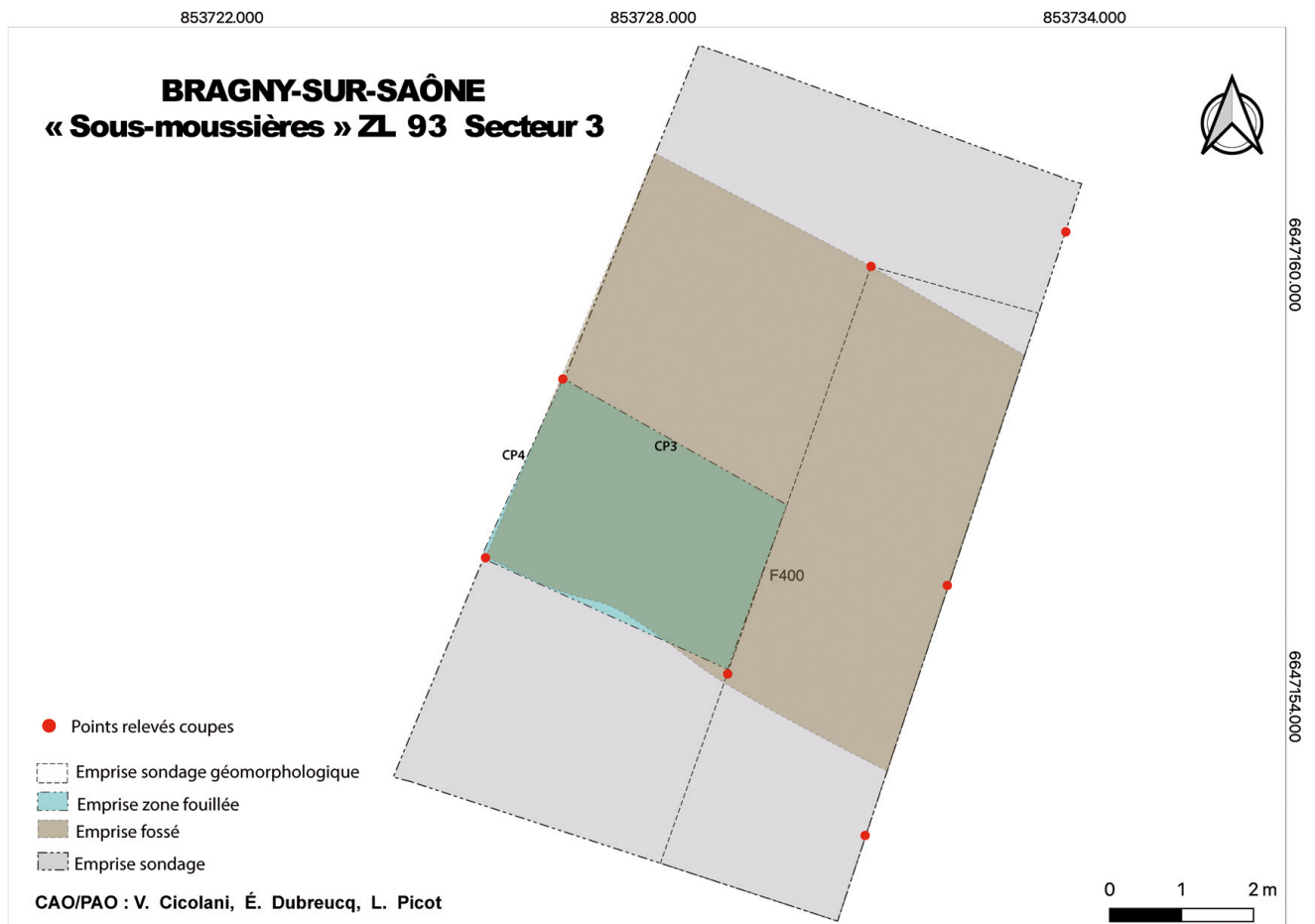


Fig.118 Plan du sondage avec la restitution du segment de fossé fouillé (L. Picot, V. Cicolani)

des agglomérations urbaines ou à vocation artisanale connues en Europe occidentale entre la fin du premier et le deuxième âge du Fer. Quant à savoir si cette délimitation est à corrélérer d'une façon stricte avec la seule occupation en bord de Saône ou si elle est liée à une logique d'organisation socio-économique du territoire plus complexe et étendue, la question reste ouverte. En effet la présence d'anomalies inexplorées à la fois au nord du fossé et son interruption invite à réfléchir à une articulation plus complexe du micro territoire au sein duquel le fossé a été mis en œuvre.

Par ailleurs, l'absence de mobilier dans le comblement basal ou en position primaire ne nous permet pas de dater la première phase de son fonctionnement, ni de la relier à des formes ou phases spécifiques de l'occupation de l'agglomération. Seules les phases

d'abandon progressif sont à ce stade corrélables.

Une fonction hydraulique peut être évoquée mais elle apparaît peu probable, compte-tenu de l'orientation perpendiculaire du fossé à la plus grande pente. Cependant, un fonctionnement secondaire en tant que drain n'est pas à exclure totalement étant donné la nature argileuse de l'encaissant sous-jacent sur lequel le fossé vient se poser et les indices de ruissellement identifiés dans la stratigraphie du comblement basal.

Enfin, du point de vue architectural, la restitution du fossé se heurte également à l'absence d'indices probants (Fig.119). Pendant la fouille fine, aucun vestige architectural a été découvert, ni de trous de poteaux évoquant une possible palissade, ni de talus et ceci, malgré le grand volume de terre de déblais induits par

le creusement. En outre, la troncature superficielle du fossé liée au colluvionnement historique a compromis du moins dans ce secteur la restitution en élévation de l'ouvrage. A ce stade de l'étude, nous ne pouvons donc qu'avancer des hypothèses et celle d'une fonction symbolique, territoriale ou défensive voire les trois à la fois est pour l'instant à considérer comme plus robuste. D'autres sondages, notamment au niveau de l'interruption, extrémités et espace vide, et le long de son segment oriental là où un dédoublement est visible en géophysique, seront nécessaires afin d'améliorer le modèle archéologique juste esquissé ici et d'en préciser le phasage.

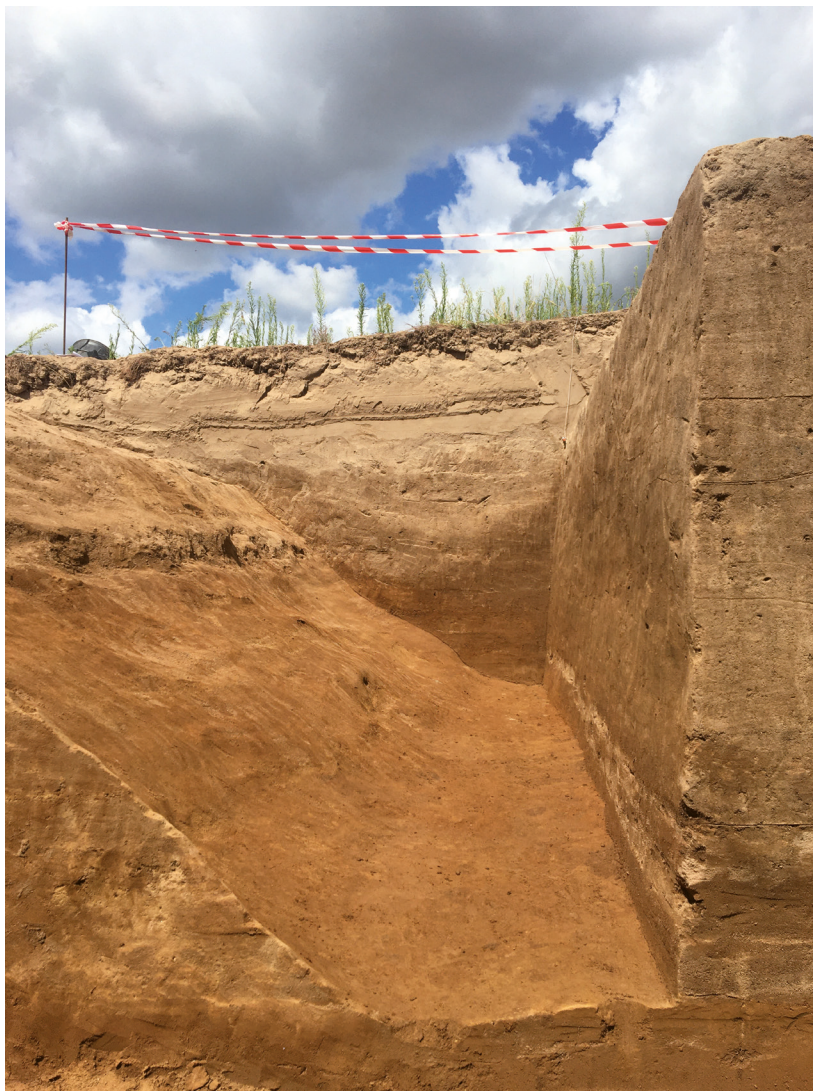



Fig.119 Fossé à la fin de la fouille: profil est orientation sud-nord (Photo : V. Cicolani)

An aerial photograph of an archaeological excavation site. The site is a large, rectangular area of earth with several smaller pits and trenches. A person in a blue sweatshirt stands in the upper left, and another person in a white shirt is kneeling in the lower left. A large black diamond shape is overlaid on the center of the image, containing white text. The background shows a field of tall green grass.

5.
**CONCLUSION ET
PROGRAMMATION
2023-2025**

5. CONCLUSION ET PROGRAMMATION 2023-2025

A partir des résultats obtenus lors des recherches anciennes, des nouvelles campagnes de prospections géophysiques, nous avons souhaité démarrer une fouille afin de répondre au mieux à trois grands axes de recherche définis précédemment et que nous rappelez ici :

Volet 1 : Comprendre l'organisation spatiale et sociale de l'agglomération de Bragny

Volet 2 : Mieux connaître les ateliers et les artisans du métal dans l'agglomération

Volet 3 : Appréhender l'intégration de l'agglomération artisanale et commerciale au cœur des réseaux de circulation

Souffrant de fenêtres de fouilles souvent trop étroites, il était en effet encore difficile de comprendre l'organisation spatiale de l'agglomération malgré la mise en évidence d'une orientation générale des structures nord-sud et ouest-est, confirmée désormais (cf. *infra*).

Les travaux de terrain menés en 2021 et 2022 ont permis la découverte de nombreuses structures (près de 200 repérées) contribuant déjà à préciser l'organisation générale de l'agglomération ainsi qu'une partie de la fonction des bâtiments (domestiques et/ou artisanaux) et des structures annexes.

Une révision des données matérielles (céramiques, petits mobiliers métalliques, lithique et non métalliques etc...) associée à une analyse spatiale de leur répartition devrait contribuer à une discussion sur la fonction des espaces et les aspects socio-économiques, avec en toile de fond les questions

chronologiques qui méritent d'être affinées pour bien distinguer les deux (ou trois) phases principales repérées dans ce secteur de l'agglomération.

Ces questions sont d'autant plus intéressantes que certains établissements connaissent un processus de proto-urbanisation caractérisé par une planification stricte de l'espace comme par exemple à Vix, Mont Lassois (Chaume, Mordant 2011) ou à la Heuneburg (Krausse, Beilharz 2010), où de véritables quartiers ont pu être mis en évidence.

Qu'en est-il à Bragny, considéré comme un site ouvert ? Découvert en prospection géophysique par C. Sanchez au nord du site, un fossé monumental dont la fouille d'un tronçon a débuté en 2022 a permis également d'alimenter et reconsidérer la question des limites de l'agglomération (**Fig.120**), qu'il s'agira désormais d'affiner ces prochaines années : limites du fossé, présence ou non d'une palissade, dispositif d'entrée... ?

En outre, ce qui fait la particularité de Bragny au cours du Ve siècle av. n.è. est le développement d'une métallurgie à grande échelle. Si les données sur l'artisanat et l'artisan du métal ont largement évolué ces dernières années, notamment grâce à des découvertes régionales dans le cadre de l'archéologie préventive (Talent, Saint-Julien) (Labeaune, Alix 2014 ; Christin et al. 2021), ce qui ressort toutefois, c'est la difficulté encore aujourd'hui d'appréhender les ateliers dans le sens physique du terme et évaluer comment s'organisent les structures dans l'espace de travail, en corrélation avec l'outillage et les déchets produits. A l'échelle des habitats, il s'agit aussi de comprendre comment les ateliers s'intègrent dans le site et en mesurer l'impact dans l'organisation spatiale et fonctionnelle : sont-ils installés en bordure des sites comme c'est le cas dans plusieurs établissements fortifiés (Bourguignon-les-Morey et Messein par exemple) ou alors plutôt en plein centre comme dans le hameau de



Fig.120 Localisation des différents secteurs de fouille abordés par A. Guillot (BR. I à V), J. L. Flouest et les fouilles récentes de 2021 et 2022 (Sect. 1 à 3) (Fond de carte : C. Sanchez, DAO : E. Dubreucq)

Talant, ou encore organisés en véritables quartiers périphériques comme à Bourges, à la Heuneburg ou bien à Lyon ?

La nouveauté en 2022 est justement la découverte d'une structure d'atelier en place, associée à plusieurs niveaux de sols, jusque-là non repérés lors des fouilles anciennes.

Un dépôt volontaire d'objets métalliques a aussi été trouvé à quelques mètres, composé de plusieurs outils rangés dans un contenant et posés à côté d'une crémaillère, elle aussi complète et emballée. Ce type de dépôt est très exceptionnel et permet d'interroger la question des pratiques symboliques à une période où elles sont particulièrement mal connues, tout en permettant de discuter des panoplies d'outils des artisans.

L'importance des activités artisanales et de leur meilleure caractérisation à Bragny devraient ainsi permettre de mieux définir ces réseaux, probablement très diversifiés d'après les témoignages indirects évoqués par les importations. Une relecture de ces mobiliers par un certain nombre de spécialistes est en cours et devrait permettre de corréliser à la fois l'importance de ces échanges de marchandises qui ont eu lieu sur le site, notamment en lien avec sa position géographique idéale et les transferts non marchands de type technologiques par exemple. Les fouilles récentes ont d'ailleurs permis d'alimenter le corpus de ces importations.

La possibilité de populations « non celtiques » présentes sur le site et évoquée à plusieurs reprises mérite aussi dans ce contexte d'être discutée (Flouest 1993 ; Cicolani 2017). Nous nous attacherons à définir

les marqueurs ou non de cette présence et leur contribution au monde artisanal et commercial de Bragny.

En nous appuyant sur les prospections géophysiques réalisées par C. Sanchez (parcelles 83, 85, 86), depuis 2021, nous avons privilégié un secteur où les anomalies étaient particulièrement nombreuses. Leur forte susceptibilité magnétique était en effet en mesure d'indiquer la présence d'ateliers de métallurgistes (structures en place avec foyers) ou des grandes fosses de bâtiments semi-excavés, remplies de déchets métallurgiques comme dans le secteur de Bragny II, réétudié en 2020.

Au vu de la très grande densité des vestiges découverts en 2022 (plus importante que ce qu'indiquait la géophysique), nous souhaitons pouvoir terminer la

fouille du secteur ouvert, voire la prolonger en 2023 et 2024, en direction de la Saône.

En raison de la difficulté engendrée par l'ouverture de plusieurs secteurs en même temps, nous souhaitons reporter à 2024 la reprise de sondages sur le système de fossé(s) qui limite(nt) l'agglomération. En effet, les résultats obtenus cette année sont très encourageants et donnent envie de continuer la recherche en parallèle sur ce thème.

Toutefois il s'agit d'ouvrages monumentaux qui nécessitent une véritable implication de l'équipe en termes d'effectifs, de moyens mécaniques pour une meilleure caractérisation. En repartant des résultats géophysiques qui seront réinterprétés de façon plus fine par C. Sanchez, nous souhaitons proposer

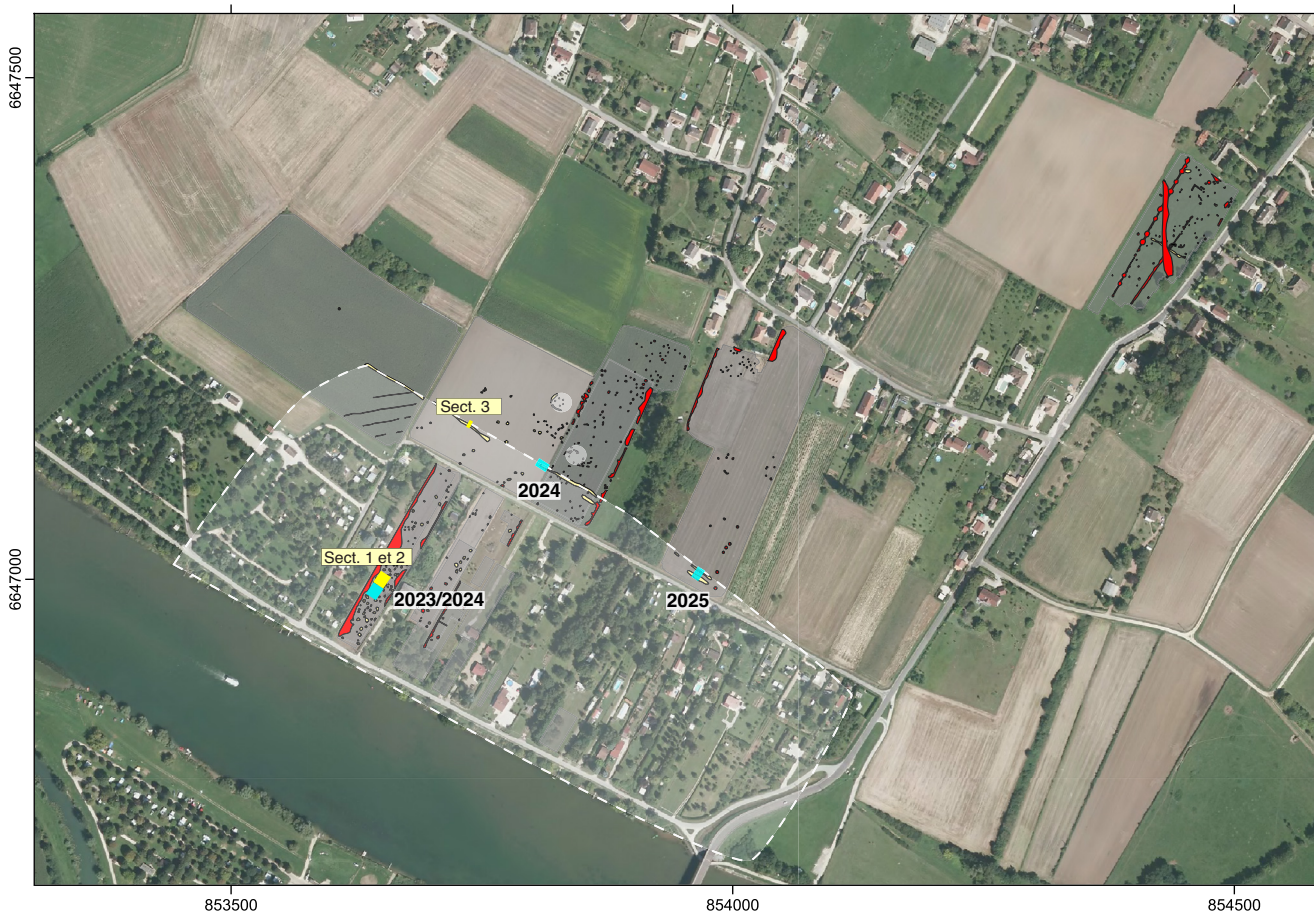


Fig.121 Localisation des sondages envisagés pour le prochain triennal (DAO : E. Dubreucq)

l'ouverture d'un autre sondage au niveau de l'interruption (réelle ?) du fossé (**Fig.121**). Cette dernière évaluée, d'après la géophysique sur près de 40 m de long, interroge. S'agit-il d'un dispositif d'entrée véritablement monumental, est-ce dû à une mauvaise conservation du fossé dans ce secteur ?

Si le mobilier et les structures ne sont pas trop abondants, un autre sondage pourrait ensuite aborder une autre zone plus à l'est où le fossé semble se dédoubler (**Fig.121**). L'aspect bien parallèle des deux tracés de linéaires laisserait à penser qu'il s'agit d'un seul et même ouvrage fonctionnant ensemble, barrant et délimitant l'agglomération protohistorique ? Ce thème est d'autant plus intéressant que les découvertes récentes autour de quelques grands sites (Vix ou la Heuneburg) ont permis de mettre en évidence la très grande complexité des systèmes de fortifications, en lien d'ailleurs à chaque fois avec le fonctionnement de la rivière associée (la Seine ou le Danube). Pour l'instant Bragny n'est pas considéré comme un établissement de hauteur, mais les recherches menées prochainement sur l'autre versant du village actuel (Cf. Rapport PCR, Axe 1) viseront néanmoins à tenter de déterminer si l'occupation telle qu'elle est actuellement connue sur le bord de la Saône ne fait pas partie d'un ensemble plus étendu. La compréhension du système de délimitation du site ou d'une partie de l'agglomération prend donc tout son sens.

BRAGNY 2022

F236

COUPE NS

6.

BIBLIOGRAPHIE

6. BIBLIOGRAPHIE

Des épées pour la Saône ? Les dépôts de l'âge du Bronze en milieu humide, cat. expo. Musée Denon, Châlon-sur-Saône, juin 2022-janv. 2023, 2022.

Adam 1996

ADAM A.-M., *Le fibule di tipo celtico nel Trentino*, Trento : Servizio beni culturali della Provincia autonoma di Trento, coll. « Patrimoine storico artistico del Trentino », 19.

Aeschimann, Burdet 1994

AESCHIMANN D., BURDET H.M., *Flore de la Suisse et des territoires limitrophes. Le nouveau Binz*. Neuchâtel : éditions du Griffon, 1994.

Anderson et al. 2003

ANDERSON T. J., AGUSTONI C., DUVAUCHELLE A., *Des artisans à la campagne: carrière de meules, forge et voie gallo-romaines à Châbles (FR)*, Fribourg : Academic press, coll. « Archéologie fribourgeoise », 19.

Aspinall et al. 2008

ASPINALL, A., GAFFNEY, C., SCHMIDT, A., *Magnetometry for Archaeologists, Geophysical Methods for Archaeology*. AltaMira Press, Lanham, Maryland, 208 p.

Augier et al. 2012

AUGIER L., BUCHSENSCHUTZ O., DURAND R., *Un complexe princier de l'âge du Fer: le quartier artisanal de Port Sec sud à Bourges (Cher)*, Bourges, Tours : Bourges plus, service d'archéologie préventive, coll. « Supplément à la Revue archéologique du Centre de la France », 41.

Augier et al. 2013

AUGIER L., BALZER I., BARDEL D., BERTRAND E., DEFFRESSIGNE S., FLEISCHER F., HAGMANN S.,

LANDOLT M., ROTH-ZEHNER M., SAUREL M., TAPPERT C., THIERRIN-MICHAEL G., TIKONOFF N., VAN ES M. *La céramique façonnée au tour, témoin privilégié de la diffusion des techniques au Hallstatt D et à La Tène A/B1*. In : COLIN A., VERDIN F. (eds.) : L'âge du Fer en Aquitaine et ses marges. Mobilité des hommes, diffusion des idées, circulation des biens dans l'espace européen à l'âge du Fer. Actes du 35 Colloque International de l'AFEAF, Bordeaux 2-5 juin 2011, 2013, p. 563-594.

Bardel 2012

BARDEL D., *Société, économie et territoires à l'âge du Fer dans le Centre-Est de la France : analyse des corpus céramiques des habitats du Ha D-LT A (VIIe-Ve av. J.-C.)*, Doctorat d'archéologie sous la direction de J.P. Guillemet et P. Barral, Université de Dijon, novembre 2012, 3 vol. 1420 p.

Bardel 2020

BARDEL D., *La Céramique des fouilles Guillot (1969-1979) / Secteur de BRAGNY I*. In : Dubreucq (e.), Thivet (M.) (coord.), *La confluence Saône-Doubs à l'âge du Fer (VIe s av. J.-C. au Ier siècle de notre ère)* Projet Collectif de Recherche, rapport annuel 2020.

Bataille, Guillaumet 2006

BATAILLE G., GUILLAUMET J.-P., *Les dépôts métalliques au second âge du Fer en Europe tempérée*, Glux-en-Glenne : Bibracte, Centre archéologique européen, coll. « Bibracte », 11.

Benech 2000

BENECH C., *Interprétation conjointe de cartographies magnétique et électromagnétique des propriétés magnétiques des sols anthropisés*. Géophysique, Université Pierre et Marie Curie - Paris VI, 158p.

Benkert et al. 2010

BENKERT A., CURDY P., EPINEY-NICOUD C., KAENEL G., MAC CULLOUGH F., MAUVILLY M., RUFFIEUX M., «

Zentralisierungsprozess und Siedlungsdynamik in der Schweiz (8.-4. Jh. v. Chr.). », in Krause D., Beilharz D., *Fürstensitze und Zentralorte der frühen Kelten. Abschlusskolloquium des DFG 1171, Teil II.*, Stuttgart : Theiss Verlag, coll. « Forschungen und Berichte zur Vor- und Frühgeschichte in Baden-Württemberg », 120, pp. 79-118.

Berranger 2014

BERRANGER M., *Le fer, entre matière première et moyen d'échange, en France, du VIIe au Ier siècle av. J.-C.: approches interdisciplinaires*, Dijon, France : Éditions universitaires de Dijon.

Berranger et al. 2017

BERRANGER M., BAUVAIS S., BOUKEZZOULA M., LEROY S., DISSER A., VEGA E., AUBERT M., DILLMANN P., FLUZIN P., « Analyse technologique, étude de provenance et datation par le radiocarbone du dépôt de demi-produits ferreux de Durrenentzen (Haut-Rhin, France) : une vision renouvelée de l'économie du fer au premier âge du Fer », *ArchéoSciences*, 41, pp. 45-67.

Briand et al. 2013

BRIAND A., DUBREUCQ É., DUCREUX A., FEUGÈRE M., GALTIER C., GIRARD B., JOSSET D., MULOT A., TAILLANDIER V., TISSERAND N., « Le classement fonctionnel des mobiliers d'instrumentum », *Les nouvelles de l'Archéologie*, 33, pp. 14-18.

Capelli, Piazza 2013

CAPELLI S., PIAZZA M. Annexe. Analyses en microscopie optique d'amphores de types Maña C et « Tripolitaine ancienne » provenant du dépotoir de Mnihla. *Antiquités africaines*, 49, pp. 193-197.

Cararra et al. 2013

CARRARA S., DUBREUCQ É., PESCHER B., « La fabrication des fibules à timbale comme marqueur des contacts et des transferts technologiques au cours

du Ha D-LTA1. Nouvelles données d'après les sites de Bourges, Lyon et Plombières-les-Dijon. », in *Mobilités des hommes, diffusion des idées, circulation des biens dans l'espace européen à l'âge du Fer*, Actes du Colloque AFEAF de Bordeaux, Pessac : A. Colin, F. Verdin, coll. « Aquitania », pp. 535-548.

Carrara 2009

CARRARA S., « L'agglomération urbaine de Lyon-Vaise (Rhône) à la fin du VIe siècle et au Ve siècle avant J.-C. : bilan des découvertes », in *Actes du XXXIIe colloque AFEAF, L'âge du Fer dans la boucle de la Loire. Les gaulois sont dans la ville.*, vol. 35, Paris-Tours : Supplément Revue Archéologique du Centre de la France, pp. 205-235.

Carrara et al. 2021

CARRARA S., avec les contributions de BERTRAND, É., MÈGE, C. ET MAZA, G., « Le site de Lyon et ses céramiques importées à la fin du VIe s. et au Ve s. a.C. : marqueurs de circuits commerciaux, indices de mixité ethnique et de mutations socio-culturelles », in Brun P., Chaume B., Sacchetti F., éd. *Vix et le phénomène princier*, Actes du colloque de Châtillon-sur-Seine, 2016, Pessac, Ausonius éditions, collection DAN@ 5, 2021, 95-132, [en ligne] <https://una-editions.fr/le-site-de-lyon-et-ses-ceramiques-importees>

Chaume 2001

CHAUME B., *Vix et son territoire à l'âge du Fer. Fouilles du mont Lassois et environnement du site princier*, Montagnac : Editions Monique Mergoïl, coll. « Protohistoire européenne, 6 ».

Chaume, Mordant 2011

CHAUME B., MORDANT C. (éd.), *Le complexe aristocratique de Vix: nouvelles recherches sur l'habitat, le système de fortification et l'environnement du mont Lassois*, Dijon, France : Éditions universitaires de Dijon.

Chevrier 2007

CHEVRIER S., « Les dépôts métalliques du Hallstatt D1 dans le Bassin parisien », in DAUBIGNEY A., DUNNING C., KAENEL G., ROULIÈRE-LAMBERT (éd.), *L'âge du Fer dans l'arc jurassien et ses marges. Dépôts, lieux sacrés et territorialité à l'âge du fer.*, Besançon : Presses Universitaires de Franche-Comté, pp. 659-670.

Christin 2021

CHRISTIN L., *SAINT-JULIEN (21) CHEMIN DE CHAMPOIRON-Habitat et artisanat au nord de Dijon.*, Rapport Final d'Opération archéologique, Dijon : Eveha.

Cicolani 2017

CICOLANI V., *Passeurs des Alpes: la culture de Golasecca : entre Méditerranée et Europe continentale à l'âge du fer*, Paris : Hermann éditeurs, coll. « Collection Histoire et Archéologie ».

Cicolani et al. 2015

CICOLANI V., DUBREUCQ É., MILCENT P.-Y., MELIN M., « Aux sources de la Douix, Objets et dépôts métalliques au premier âge du Fer à partir d'un site remarquable. », in OLMER F., ROURE R. (éd.), *Les gaulois au fil de l'eau. Actes du Colloque AFEAF de Montpellier.*, Bordeaux : Ausonius Éditions, coll. « Mémoires ; 39 », pp. 387-407.

Cicolani, Tribouillard 2018

CICOLANI V. ET TRIBOUILLARD E. "Analyse exploratoire des relations transalpines au premier âge du Fer : les cartes de chaleur et la BaseFer. in HIRIART E., GENECHESI J., CICOLANI V. ET AL. (dir.): *Monnaies et archéologie en Europe celtique Mélanges en l'honneur de Katherine Gruel*. Bibracte, 2018.

Cicolani, Huet 2019

CICOLANI V., HUET T., « Essai de modélisation des échanges et des réseaux de circulation dans les Alpes centrales au premier âge du Fer », in *La conquête de la montagne: des premières occupations humaines*

à l'anthropisation du milieu [en ligne], s.l. : Éditions du Comité des travaux historiques et scientifiques, URL : <https://halshs.archives-ouvertes.fr/halshs-02314978>.

Cicolani, Gambari 2021

CICOLANI V., GAMBARI F.M., « Des chefs guerriers aux seigneurs des terres et du commerce : les «princes» de la zone occidentale de la culture de Golasecca entre VIIIe et Ve s. a.C. » in Patrice Brun, Bruno Chaume, Federica Sacchetti. *Vix et le phénomène princier*, 5, UN@ Editions, p.191-205, 2021, Vix et le phénomène princier, 978-2-35613-360-1. [10.46608/DANA5.9782356133823.12](https://hal.archives-ouvertes.fr/hal-03338467). <hal-03338467>

Cicolani, Zamboni 2022

CICOLANI V., ZAMBONI L., « Alpine Connections: Iron Age Mobility in the Po Valley and the Circum-Alpine Regions » in Fernández-Götz, M., C. Nimura, P. Stockhammer and R. Cartwright (eds) (2023): *Rethinking Migrations in Late Prehistoric Eurasia*. Proceedings of the British Academy 254. Oxford University Press, Oxford

Collet 1990

COLLET S., *les céramiques noires tournées "cannelées" et les céramiques peintes de Bragny (71) Hallstatt final*. Lyon : université Lumière Lyon II, 1990 (mémoire de maîtrise).

Collet 1996

COLLET S., « Le Hallstatt en Saône-et-Loire, Bragny-sur-Saône. », in *30 ans d'archéologie en Saône-et-Loire.*, Dijon : s.n., pp. 162-165.

Collet 2002

COLLET S., « La céramique tournée cannelée hallstattienne et du début de La Tène. », in MARANSKI D., GUICHARD V. (éd.), *Les Ages du Fer en Nivernais, Bourbonnais et Berry oriental. Actes du 17e colloque de l'AFEAF de Nevers*, 1993., Glux-en-Glenne : Centre archéologique

Européen, coll. « Bibracte ; 6 », pp. 107-116.

Collet, Flouest 1997

COLLET S., FLOUEST J.-L., « Activités métallurgiques et commerce avec le monde méditerranéen au Ve siècle av. J.-C. à Bragny-sur-Saône (Saône et Loire). », in BRUN P., CHAUME B. (éd.), *Vix et les éphémères principautés celtiques. Les VIIe-Ve siècles avant J.-C. en Europe centro-occidentale. Actes du colloque de Châtillon-sur-Seine, Paris, 1993*, Paris : Errance, pp. 165-172.

De Marinis 1981

DE MARINIS R. C., « Studio del periodo GIIIA in Lombardia. », *Studi Archeologici*, 1, pp. 41-284.

Docter et al. 1996

DOCTER R. F., ANNIS M. B. ET JACOBS L., Archaic commercial amphorae from Carthage: A technological analysis. *Newsletter. Department of Pottery Technology Leiden University*, 13, pp. 53-79.

Dubreucq 2013

DUBREUCQ É., *Métal des premiers Celtes: productions métalliques sur les habitats des provinces du Hallstatt centre-occidental*, Dijon : Éditions universitaires de Dijon, coll. « Collection Art, archéologie & patrimoine ».

Dubreucq 2014

DUBREUCQ É., « Le mobilier métallique du site de la Peute-Combe à Plombières-les-Dijon (21). », in *Talant, Plombières-Les-Dijon, Peute Combe, Les Vaux Bruns-Découvertes d'un établissement rural gallo-romain et d'un hameau à vocation artisanale du Ve siècle avant J.-C.*, INRAP, Dijon : R. Labeaune, S. Alix, pp. 200-241.

Dubreucq 2018

DUBREUCQ É., « Les artisans du métal au Hallstatt D-La Tène A1 (600-425 BC) dans les territoires du Hallstatt centre-occidental. Préfiguration de l'excellence

des artisans laténiens. », in *KunstHandWerk, Beiträge der 26. Tagung der AG Eisenzeit Gemeinsam, Bad Salzhausen, 3.-6. Oktober 2013.*, Langenweißbach : Beier & Beran. Archäologische Fachliteratur, coll. « Beiträge zur Ur- und Frühgeschichte Mitteleuropas ; 84 », pp. 39-50.

Dubreucq et al. 2018

DUBREUCQ E., MILCENT P.-Y., BLET-LEMARQUAND M., ARMBRUSTER B., GRATUZE B., OLIVIER L., « L'or hallstattien en France et Suisse occidentale : approches typologiques, technologiques et analytiques. », in *Iron Age gold in Celtic Europe – society, technology and archaeometry*, International conference of Toulouse, 11-14 mars 2015, Toulouse : Schwab, Milcent, Armbruster, Perniska, coll. « Forschungen zur Archäometrie und Altertumswissenschaft », pp. 133-180.

Dubreucq 2020

DUBREUCQ E., « Une nouvelle fouille programmée à Bragny « Sous Moussière ». », in Dubreucq É., Thivet M. (éd.), PCR La confluence Saône-Doubs à l'âge du Fer (VIe s. av. J.-C. au Ier siècle de notre ère). *Projet scientifique 2020-2022*. [en ligne], s.l. : UMR 6249 Chrono-environnement ; UMR 5608 TRACES ; Université de Franche-Comté (UFC), pp. 15-19, URL : <https://hal.archives-ouvertes.fr/hal-02507473> [lien valide au 4 février 2022].

Dubreucq et al. 2020a

DUBREUCQ É., JACCOTTEY L., COLIN DE VERDIÈRE P., « 2.2 Étude des collections anciennes de Bragny-sur-Saône : les fouilles Guillot 1973-1974 et le secteur de Bragny II. », in DUBREUCQ E., THIVET M., PCR *La confluence Saône-Doubs à l'âge du Fer (VIe S. av. J.-C. au Ier siècle de notre ère). Projet Scientifique 2021-2023, Rapport annuel 2020.*, vol. 1, Besançon : s.n., pp. 51-86.

Dubreucq et al. 2020b

DUBREUCQ E., BARDEL D., LACHICHE C., « 2.2 Etude préliminaire des collections anciennes de Bragny-sur-Saône : les fouilles Guillot (1969-1979) / secteur de Bragny I », in DUBREUCQ E., THIVET M., *PCR La confluence Saône-Doubs à l'âge du Fer (VIe S. av. J.-C. au Ier siècle de notre ère). Projet Scientifique 2020-2023, Rapport annuel 2020.*, vol. 1, Besançon : s.n., pp. 60-83.

Dubreucq et al. 2020c

DUBREUCQ E., CICOLANI V., FILIPPINI A., « Productions métalliques au premier et au début du second âge du fer dans le domaine nord-alpin centre-occidental (7e-5e siècles av. J.-C.). Quand créativité et spécialisation caractérisent les artisans », *Séances de la Société préhistorique française* [en ligne], Séance de la Société préhistorique française, 16, http://www.prehistoire.org/offres/file_inline_src/515/515_P_49179_5fc111e63d683_7.pdf, URL : <https://halshs.archives-ouvertes.fr/halshs-02314988> [lien valide au 4 février 2022].

Dubreucq, Cicolani 2021

DUBREUCQ É., CICOLANI V. (dir.), SANCHEZ C., JACCOTTEY L., BEHALDE L., FOUILLADE A., *L'agglomération de Bragny-sur-Saône « Sous Moussières ». Nouvelles données pour la fin du premier et le début du second âge du Fer dans le secteur de la confluence Saône-Doubs-Dheune*, Rapport de fouille programmée 2021, Besançon, UMR 6249 Chrono-environnement, 1 vol.

Dubreucq, Thivet 2021

DUBREUCQ É., THIVET M. (dir.), BARDEL D., BRENOT J., CRUZ F., DUBREUCQ É., FLOUEST J.-L., GUILLOT M., JACCOTTEY L., LABEAUNE R., LACHICHE C., MOULIN C., PERRUCHE R., SANCHEZ C., THIVET M., *Projet Collectif de Recherche «La Confluence Saône / Doubs à l'âge du Fer» (VIe s. av. J.-C. au Ier s. de notre ère)*. Rapport intermédiaire 2021, Besançon, UMR 6249 Chrono-environnement, 1 vol.

Durand et al. 2011

DURAND F., WIETHOLD J., VENAULT S., BARRAL P., Résidus du décortilage de céréales provenant d'une fosse de La Tène ancienne (LT B) mise en évidence sur le site de la « rue du Pont Charon » à Mirebeau-sur-Bèze (Côte-d'Or, Bourgogne). In : WIETHOLD (J.) dir. — *Carpologia. Articles réunis à la mémoire de Karen Lundström-Baudais*. Actes des rencontres d'archéobotanique organisées par Bibracte, Centre archéologique européen, et le Centre de Recherches Archéologiques de la Vallée de l'Oise, 9-12 juin 2005, Glux-en-Glenne. Glux-en-Glenne : Bibracte, 2011, p. 39-50 (Bibracte ; 20).

Ernenwein, Hargrave 2009

ERNENWEIN E., HARGRAVE M., *Archaeological Geophysics for DoD Field Use: a Guide for New and Novice Users*, 108 p.

Feugère, Guillot 1986

FEUGÈRE M., GUILLOT A., « Fouilles de Bragny, 1. Les petits objets dans leur contexte du hallstatt final » [en ligne], URL : <https://halshs.archives-ouvertes.fr/halshs-00550364> [lien valide au 27 novembre 2019].

Filippini 2015

FILIPPINI A., *La métallurgie du fer dans le centre-est de la France au Ve siècle avant J.-C. : approches historique, archéologique et archéométrique*, Tours : Feracé, coll. « Bituriga : archéologie de la cité », 2015–1.

Flouest 1993

FLOUEST J.-L., « Activités métallurgiques et commerce avec le monde méditerranéen au Ve siècle av. J.-C. à Bragny-sur-Saône (Saône et Loire). », in *Fonctionnement social de l'âge du Fer : opérateurs et hypothèses pour la France. Actes de la Table Ronde internationale de Lons-le-Saunier (Jura)*, Lons-le-Saunier : Daubigney A., pp. 21-31.

Flouest 2007

FLOUEST J.-L., « Approches quantitatives de la production de fer sur le site hallstattien de Bragny-sur-Saône (Saône-et-Loire) », in *L'économie du fer protohistorique : de la production à la consommation du métal. Actes du 28e colloque de l'AFEAF, Toulouse, 20-23 mai 2004*, Pessac : Fédération Aquitania, pp. 265-270.

Flouest 2009

FLOUEST J.-L., « Un centre d'activités métallurgiques au confluent de la saône et du Doubs : Bragny-sur-Saône (saône-et-Loire) », in LORRE CH., CICOLANI V ; (dir), Golasecca. *Du commerce et des hommes à l'âge du Fer (VIIIe-Ve siècle av. J.;_C.). cat. d'exposition*, Musée d'Archéologie nationale, château de Saint-Germain-en-Laye, 27 novembre 2009 -26 avril 2010, Paris : RMN, pp. 130-131.

Flouest, Labeaune 2009

FLOUEST J.-L., LABEAUNE R., Groupes de céramiques de Bragny-sur-Saône classés par ensembles stratigraphiques. In : CHAUME (B.). dir. — *La céramique hallstattienne de France orientale : approches typologique et chrono-culturelle* ; actes du colloque international de Dijon, 21-22 nov. 2006. Dijon : éditions universitaires de Dijon, 2009, p. 153-180.

Flouest, Sachetti sous presse

FLOUEST J.-L., SACHETTI F., « Contextes stratigraphiques des amphores de Bragny-sur-Saône (fouilles 1987-1989). », in *Des amphores chez les Celtes Hallstattiens. L'Europe et le vin de la Méditerranée archaïque, actes de la table Ronde, 26-27 novembre 2012, Aix-en-Provence.*, Aix-en-Provence : Presses Universitaires de Provence.

Gaillard 2018

GAILLARD A., *Une occupation agricole diachronique du plateau de Saint-Didier-en-Bresse, de l'âge du Fer à la fin du Moyen ge : Saint-Didier-en-Bresse « Rue du*

Clouselot » : gazoduc, Val de Saône., Rapport de fouille préventive, Dijon : INRAP GES.

Germinet, Salin 2012

GERMINET D., SALIN M., « La faune du quartier de Port-Sec. », in Augier L., Buchsenschutz O., Durand R., *Un complexe princier de l'âge du Fer: le quartier artisanal de Port Sec sud à Bourges (Cher)*, Bourges, Tours : Bourges plus, service d'archéologie préventive, coll. « Supplément à la Revue archéologique du Centre de la France », 41, pp. 71-108.

Gransar 2003

GRANSAR F., L'apport de l'étude du stockage à la reconstitution des systèmes agro-alimentaires de l'âge du Fer en France septentrionale. In : ANDERSON (P.C.), CUMMINGS (L.S.), SCHIPPERS (T.K.), SIMONEL (B.) dir. , *Le traitement des récoltes : un regard sur la diversité du Néolithique au présent*. Actes des XXIIIe rencontres internationales d'archéologie et d'histoire d'Antibes, APDCA, Antibes, p.201-218.

Gransar et al. 2007

GRANSAR F., ZECH-MATTERNE V., AUXIETTE G., DESENNE S., HÉNON B., MALRAIN F., PINARD E., « Expressions symboliques, manifestations rituelles et cultuelles en contexte domestique au 1er millénaire avant notre ère dans le Nord de la France », in BARRAL P., DAUBIGNEY A., DUNNING C., KAENEL G., LAMBERT M.-J. (éd.), *L'âge du Fer dans l'arc jurassien et ses marges : dépôts, lieux sacrés et territorialité à l'âge du Fer. Actes du XXIXe colloque international de l'AFEAF, Bienne, canton de Berne, Suisse, 5-8 mai 2005*, Besançon : Annales Littéraires de l'Université de Besançon, coll. « Environnement, sociétés et archéologie ; 11 », pp. 549-564.

Guilaine et al. 2017

GUILAINE J., CAROZZA L., GARCIA D., GASCÓ J., JANIN T., MILLE B., ARTIOLI G., VERGER S., *Launac et le*

Launacien: dépôts de bronzes protohistoriques du sud de la Gaule, Montpellier : Presses universitaires de la Méditerranée, coll. « Mondes anciens (Montpellier) ».

Guillaumet, Labaune 2011

GUILLAUMET J.-P., LABAUNE Y., « Les activités artisanales de Bibracte et d'Autun. Une pérennité des savoir-faire. », in Reddé M. (éd.), *Aspects de la Romanisation dans l'Est de la Gaule.*, Glux-en-Glenne : s.n., coll. « Bibracte ; 21 », pp. 895-906.

Guillot 1976

GUILLOT A., « Le confluent de la Saône et du Doubs au premier Age du Fer », *Revue Archéologique de l'Est*, 27, pp. 109-133.

Hamon et al. 2017

HAMON C., BRISOTTO V., MILLEVILLE A., MONCHABLON C., AUBRY L., COUSSERAN-NÉRÉ S., JACCOTTEY L., DONNART K., FRONTEAU G., GISCLON J.-L. Evolution des meules va-et-vient du Néolithique à l'âge du Fer en France : exploitation de la base de données du PCR Meule. *Revue Archéologique de l'Est*, Dijon, pp. 285-300.

Hatt, Roualet 1976

HATT J.-J., ROUALET P., « Le cimetière des Jogasses en Champagne et les origines de la civilisation de La Tène (première partie) », *RAE*, 17, 3-4, pp. 421-448.

Hesse 1978

HESSE, A., *Manuel de prospection géophysique appliquée à la reconnaissance archéologique*. Centre de recherches sur les techniques gréco-romaines, Dijon.

Hulin et al. 2012

HULIN G., BROES F., FECHNER K., « Caractérisation de phénomènes anthropiques par la mesure de paramètres magnétiques sur surface décapée : Premiers résultats sur le projet Canal Seine-Nord Europe », *ArcheoSciences*, 36, 2012.

Hulin et al. 2014

HULIN G), JAGOU B), DE MUYLDER M., HENTON (A.), LAMOTTE (D.), LEFEVRE (P.), ROUSSEAU (A.) - Reconnaître et caractériser les zones de forge sur surface décapée. Apport de la géophysique à l'étude paléométallurgie, *Archéopages*, 39, 2014, pp. 92-99.

Jaccottey 2015

JACCOTTEY L., *Les carrières de meules de Bibracte et d'Autun*, 368 p.

Jaccottey 2020

JACCOTTEY L., « Les meules de Bragny-sur-Saône : état des connaissances. », in DUBREUCQ É., THIVET M. (éd.), *PCR La confluence Saône-Doubs à l'âge du Fer (VIe s. av. J.-C. au Ier siècle de notre ère). Projet scientifique 2020-2022*. [en ligne], s.l. : UMR6249 Chrono-environnement ; UMR 5608 TRACES ; Université de Franche-Comté (UFC), p. <https://www.nakala.fr/data/11280/8d5ff3f9>, URL : <https://hal.archives-ouvertes.fr/hal-02507473> [lien valide au 4 février 2022].

Jacomet 2004

JACOMET S. , Archeobotany. A vital toll in the investigation of lake-dwellings. In : MENOTTI (F.) (dir) *Living on the lake in prehistoric Europe. 150 years of lake-dwelling research*. London/New York, Routledge. *PalArch's Journal of Archaeology of Egypt / Egyptology*, 2004, p.162-177.

Kaurin 2008

KAURIN J., « Approche fonctionnelle des couteaux de la fin de l'âge du fer. Exemple de la nécropole orientale de l'oppidum du Titelberg (G.-D. de Luxembourg). », *Archäologisches Korrespondenzblatt*, 38-4, pp. 521-536.

Krausse, Beilharz 2010

KRAUSSE D., BEILHARZ D. (éd.), *Fürstentum und Zentralorte der frühen Kelten. Abschlusskolloquium des DFG*

1171, Teil II., Stuttgart : Theiss Verlag, coll. « Forschungen und Berichte zur Vor- und Frühgeschichte in Baden-Württemberg », 120.

Labeaune 1991

LABEAUNE R., *Etude, dans la stratigraphie, de la céramique commune de Bragny-sur-Saône. Fouilles de 1987-1988-1989.*, (Dijon, France, Université de Bourgogne).

Labeaune et al. 2014

LABEAUNE R., ALIX S., CHAMPOUGNY A., BÉMILLI C., BERRANGER M., TALANT, *Plombières-les Dijon, Côte-d'Or, Bourgogne, Peute Combe, Les Vaux Bruns: découverte d'un établissement rural gallo-romain et d'un hameau à vocation artisanale du Ve siècle avant J. C. rapport de fouille*, Dijon : Inrap GES.

Labeaune 2014

LABEAUNE R., « Un village stratifié du Ve siècle av. J.-C. à Talant (Côte-d'Or) : premiers résultats », in BARRAL P., GUILLAUMET J.-P., ROULIÈRE-LAMBERT M.-J., SARACINO M., VITALI D. (éd.), *Les Celtes et le Nord de l'Italie : Premier et Second âges du Fer = I Celti e l'Italia del Nord : Prima e Seconda Età del ferro*. Actes du 36e colloque international de l'AFEAF, Vérone, 17-20 mai 2012, vol. 36, Dijon : *Revue archéologique de l'Est*, pp. 707-715.

Labeaune, Wiethold 2005

LABEAUNE R., WIETHOLD J., Pluvet «Larrivoux» un habitat de plaine du premier âge du fer : premiers résultats sur les macro-restes végétaux. In : PETIT (Ch.) dir. : *Occupation et gestion des plaines alluviales dans le Nord de la France de l'âge du Fer à l'époque gallo-romaine*. Actes de la table-ronde de Molesme, 17-18 septembre 1999. Besançon : Presses Universitaires Franc-Comtoises, 2005, p. 197-210.

Labeaune, Wiethold 2007

LABEAUNE R., WIETHOLD J., L'habitat du Premier âge du Fer dans le Dijonnais (Côte d'Or) d'après les fouilles récentes : résultats archéologiques et carpologiques. In : BARRAL (Ph.), DAUBIGNEY (A.), DUNNING (C.), KAENEL (G.), ROULIÈRE-LAMBERT (M.-J.) dir. , *L'âge du Fer dans l'arc jurassien et ses marges. Dépôts, lieux sacrés et territorialité à l'âge du Fer*. Actes du XXIXème colloque international de l'AFEAF ; Bienne, 5-8 mai 2005, volume 1. Besançon : Presses universitaires de Franche-Comté, 2.

Labeaune et al. 2017

LABEAUNE R., BERRANGER M., DUBREUCQ É., DUNIKOWSKY C., « Les chaînes opératoires de production dans les forges hallstattiennes de Talant « la Peute-Combe » (Côte d'Or). », in MARION S., DEFFRESSIGNE S., KAURIN J., BATAILLE G. (éd.), *Production et proto-industrialisation aux âges du fer. Perspectives sociales et environnementales. Actes du XXXIXe colloque international de l'AFEAF, (Nancy, 13-17 mai 2015)*, vol. Mémoire 47, Bordeaux : Ausonius, pp. 383-402.

Labeaune, Flouest 2009

LABEAUNE R., FLOUEST J.-L., « Groupes de céramiques de Bragny-sur-Saône classés par ensembles stratigraphiques », in CHAUME B. (éd.), *La céramique hallstattienne : approches typologique et chrono-culturelle.*, Dijon : Ed. universitaires de Dijon, coll. « Art, archéologie & patrimoine », pp. 153-180.

Lachiver 1997

LACHIVER M., *Dictionnaire du monde rural. Les mots du passé*. Paris : éditions Fayard, 1997.

Lagadec et al. 1989

LAGADEC J.-P., DUVAL P., EVEILLARD J., LEROY M., PLOQUIN A., « Bilan de sept campagnes de fouilles à la Cité d'Afrique de Messein (Meurthe-et-Moselle) », *Revue Archéologique de l'Est*, pp. 147-197.

Landolt 2004

LANDOLT M., *La nécropole hallstattienne de Chaillon (Meuse)*, Strasbourg : Université M. Bloch : s.n.

Lecornoué 2016

LECORNOUÉ J., *Diagnostic archéologique sur le tronçon B12 : gazoduc, Val de Saône.*, Rapport de diagnostic archéologique, Dijon : INRAP GES.

Lecornoué 2017

LECORNOUÉ J., *Fosses d'extraction de sable et fréquentation des bords de Saône du Mésolithique à nos jours : gazoduc, Val de Saône, Bragny-sur Saône, Le Pâquier des Écherons.*, Rapport de diagnostic archéologique, Dijon : INRAP GES.

Lepage 1984

LEPAGE L., *Les âges du fer dans les bassins supérieurs de la Marne, de la Meuse et de l'Aube et le tumulus de la Mottote à Nijon (Haute-Marne)*, Reims : Société archéologique champenoise, coll. « Mémoires de la Société archéologique champenoise », 3.

Mansfeld 1973

MANSFELD G., *Die Fibeln der Heuneburg 1950-1970: ein Beitrag zur Geschichte der Späthallstattfibeln*, Berlin, Allemagne : Verlag Walter De Gruyter & Co.

Marinval 1992

MARINVAL P., Archaeobotanical data on millets (*Panicum miliaceum* and *Setaria italica*) in France. Amsterdam, *Review of Palaeobotany and Palynology*, 73, 1992, p. 259-270.

Marinval 1999

MARINVAL P., Les graines et les fruits : la carpologie. In : FERDIÈRE (A.) dir., *La botanique*. Paris : éditions erance, 1999, p. 105-137

Matterne 2001

MATTERNE V., *Agriculture et alimentation végétale durant l'âge du Fer et l'époque gallo-romaine en France septentrionale*. Paris I : mémoire de Thèse, éditions Monique Mergoïl, Montagnac, 2001

Mauvilly et al. 1998

MAUVILLY M., ANTENNEN I., CRISTOBAL E., RUFFIEUX M., SERNEELS V., « Sevaz Tudinges : chronique d'un atelier de métallurgistes du début de La Tène dans la Broye. », *Archéologie Suisse*, 21, pp. 144-154

Milcent 2007

MILCENT P.-Y. (éd.), *Bourges-Avaricum: un centre proto-urbain celtique du Ve s. av. J.-C. : Les fouilles du quartier Saint-Martin-des-Champs et les découvertes des établissements militaires*, Bourges, France : Edition de la ville de Bourges.

Modarressi-Tehrani 2009

MODARRESSI-TEHRANI D., *Untersuchungen zum früh-eisenzeitlichen Metallhandwerk im westlichen Hallstatt- und Frühlatenegebiet*, Rahden, Allemagne : VML, Verlag Marie Leidorf.

Morel-Lecornoué 2016

MOREL-LECORNOUÉ J., *Diagnostic archéologique sur le tronçon B13 : gazoduc, Val de Saône.*, Rapport de diagnostic archéologique, Dijon : INRAP GES.

Neef et al. 2012

NEEF R., CAPPERS R.T.J., BEKKER R.M., *Digital atlas of economic plants in archaeology*. Groningen : Barkhuis and Groningen University Library, 2012.

Nicolardot 1968

NICOLARDOT J.-P., *Protohistoire de la montagne beau-noise*, Lieu de publication inconnu : éditeur inconnu.

Orengo 2003

ORENGO L., *Forges et forgerons dans les habitats laténiens de la Grande Limagne d'Auvergne: fabrication et consommation de produits manufacturés en fer en Gaule à l'Age du fer*, (Montagnac, Monique Mergoil).

Pétréquin et al. 2015

PÉTREQUIN PI., PÉTREQUIN A.-M., FLOUEST A., GANARD V., JACCOTTEY L., JAMMEL-REYNAL L., PININGRE J.-F., PRODEO F., SEARA F., « La céramique NMB, substrats, styles et techniques. Trajectoires historiques des groupes de la Motte-aux-Magnins et de la Molle-Pierre », in PÉTREQUIN PI., PÉTREQUIN A.-M., *Clairvaux et le Néolithique Moyen Bourguignon*, Besançon : Presse Universitaires de Franche-Comté, pp. 517-737.

Picot 2022

PICOT L., *Étude du corpus céramique de La Tène ancienne de la fouille 2021 de Bragny-sur-Saône « Sous Moussière »*, Mémoire de master 1, Université de Bourgogne, 2021-2022, 2 vol., 59 et 24 p.

Piningre, Ganard 2004

PININGRE J.-F., GANARD V., *Les nécropoles protohistoriques des Moidons et le site princier du camp du château à Salins (Jura): les fouilles récentes et la collection du Musée des Antiquités Nationales*, Paris : Éd. du Comité des Travaux Historiques et Scientifiques, coll. « Documents préhistoriques », 17.

Pradat 2015

PRADAT B., Les comptages des céréales et des légumineuses en carpologie : recensement des méthodes utilisées en France et essais comparatifs sur des assemblages archéobotaniques. *ArchéoSciences, revue d'archéométrie*, 39, 2015, p. 51-68.

Rajot 1986

RAJOT J.-L., « Le site hallstattien de Charmes à Mancey. », 84, pp. 137-199.

Rapin 2001

RAPIN A., « Un bouclier celtique dans la colonie grecque de Camarina (Sicile). », *Germania*, 79, pp. 275-283.

Sanchez 2020

SANCHEZ C., « Prospection géophysique extensive de la confluence Saône-Doubs. », in DUBREUCQ É., THIVET M. (éd.), *PCR La confluence Saône-Doubs à l'âge du Fer (VIe s. av. J.-C. au Ier siècle de notre ère). Projet scientifique 2020-2022*. [en ligne], s.l. : UMR 6249 Chrono-environnement ; UMR 5608 TRACES ; Université de Franche-Comté (UFC), pp. 44-57, URL : <https://hal.archives-ouvertes.fr/hal-02507473> [lien valide au 4 février 2022].

Schaal 2020

SCHAAL C., « 3.4.1 Evaluations et études bio-archéologique », in Dubreucq E., Thivet M., *PCR La confluence Saône-Doubs à l'âge du Fer (VIe S. av. J.-C. au Ier siècle de notre ère). Projet Scientifique 2020-2023, Rapport annuel 2020.*, vol. 1, Besançon : s.n., pp. 146-158.

Sievers 1984

SIEVERS S., *Die Kleinfunde der Heuneburg: die Funde aus den Grabungen von 1950-1979*, Mainz am Rhein, Allemagne : Verlag Philipp von Zabern.

Simon 2014

SIMON, F. X. *L'apport de l'outil géophysique pour la reconnaissance et la caractérisation des sites en archéologie préventive, méthodes et perspectives : exemples en Alsace* (Doctoral dissertation, Université Pierre et Marie Curie-Paris VI).

Tabbagh 1986

TABBAGH, A., Applications and advantages of the Slingram electromagnetic method for archaeological prospecting, *Geophysics*, 51, 3, pp. 576-584

Thevenot 1969

THEVENOT J.-P., « Le Camp de Chassey après un siècle de recherches. », *Mémoires de la Société Eduenne*, 51, pp. 149-173.

Thevenot 1997

THEVENOT J.-P., « Que représente Chassey au premier âge du Fer ? », in BRUN P., CHAUME B. (éd.), *Vix et les éphémères principautés celtiques. Les VIIe-Ve siècles avant J.-C. en Europe centro-occidentale. Actes du colloque de Châtillon-sur-Seine, Paris, 1993*, Paris : Errance, pp. 173-185.

Thevenot 2005

THEVENOT J.-P., *Le Camp de Chassey (Chassey-le-Camp, Saône-et-Loire): les niveaux néolithiques du rempart de « la Redoute »*, Dijon : Revue archéologique de l'Est, coll. « Revue archéologique de l'Est », 22.

Thivet 2020

THIVET M., « La confluence au second âge du Fer : fouille programmée sur le site de Verdun-sur-le-Doubs "Le petit Chauvort" », in DUBREUCQ É., THIVET M. (éd.), *PCR La confluence Saône-Doubs à l'âge du Fer (VIe s. av. J.-C. au Ier siècle de notre ère). Projet scientifique 2020-2022*. [en ligne], s.l. : UMR 6249 Chrono-environnement ; UMR 5608 TRACES ; Université de Franche-Comté (UFC), pp. 116-199, URL : <https://hal.archives-ouvertes.fr/hal-02507473> [lien valide au 4 février 2022].

Toulemonde 2013

TOULEMONDE F., *Economie végétale et pratiques agricoles au Bronze final et au premier âge du Fer, de la côte de l'Île-de-France à la côte de Champagne*. Paris : Mémoire de Thèse, UFR Histoire de l'Art et Archéologie, 2013

Toulemonde et al. 2022

TOULEMONDE F., WIETHOL J., BONNAIRE E., DAOULAS G., DERREUMAUX M., DURAND F., PRADAT B.,

ROUSSELET O., SCHAAL C., ZECH-MATTERNE V. , Millets in Bronze Age agriculture and food consumption in northeastern France. In : KIRLEIS (W.), DAL CORSO (M.), FILIPOVIĆ (D.) dir. -MILLET AND WHAT ELSE? *The wider context of the adoption of millet cultivation in Europe*. Sidestone Press, 2022.

Verger 1994

VERGER S., *Les Tombes à char de La Tène ancienne en Champagne et les rites funéraires aristocratiques en Gaule de l'Est au Ve siècle avant J.-C.*, (S.l., s.n).

Verger, Pernet 2013

VERGER S., PERNET L., *Une odyssée gauloise: parures de femmes à l'origine des premiers échanges entre la Grèce et la Gaule*, Arles : Errance, coll. « Collection Archéologie de Montpellier Agglomération », 4.

Wiethold, Tikonoff 2020

WIETHOLD J. et TIKONOFF N., Un habitat et une zone d'artisanat de la fin de l'âge du Bronze Final et du Premier âge du Fer à Marly la Grange aux Ormes (Moselle). Dijon : *Revue Archéologique de l'Est*, Quarante-neuvième supplément, 2020, p. 81-97.

Zech-Matterne et al. 2008

ZECH-MATTERNE (V.), DERREUMAUX (M.), PREISS (S.), Archéologie des textiles et teintures végétales. *Les Nouvelles de l'Archéologie*, 114, 2008.



7.
CATALOGUE DES
STRUCTURES FOUILLÉES
EN 2022

7. CATALOGUE DES STRUCTURES FOUILLÉES EN 2022

ST : 200

Type de Structure : Fosse

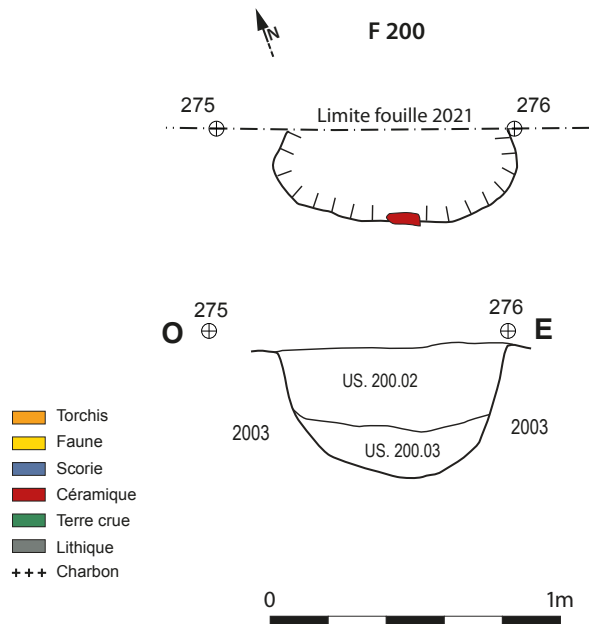
Forme : Ovalaire

Dimension (L x l x P) en m : 0,85 x 0,45 x 0,55

Description : creusement de forme ovalaire aux bords légèrement évasés et fond en cuvette

Comblement : *US 200.02* : couche sablo-limoneuse de couleur brun jaunâtre, meuble et hétérogène. Traces de racines dans la partie supérieure. *US 200.03* : couche sablo-limoneuse de couleur brun foncé, meuble et homogène.

Mobilier : céramique, fragments de faune, lithique



ST : 201

Type de Structure : Fosse

Forme : Ovale

Dimension (L x l x P) en m : 1,36 x 0,98 x 0,40

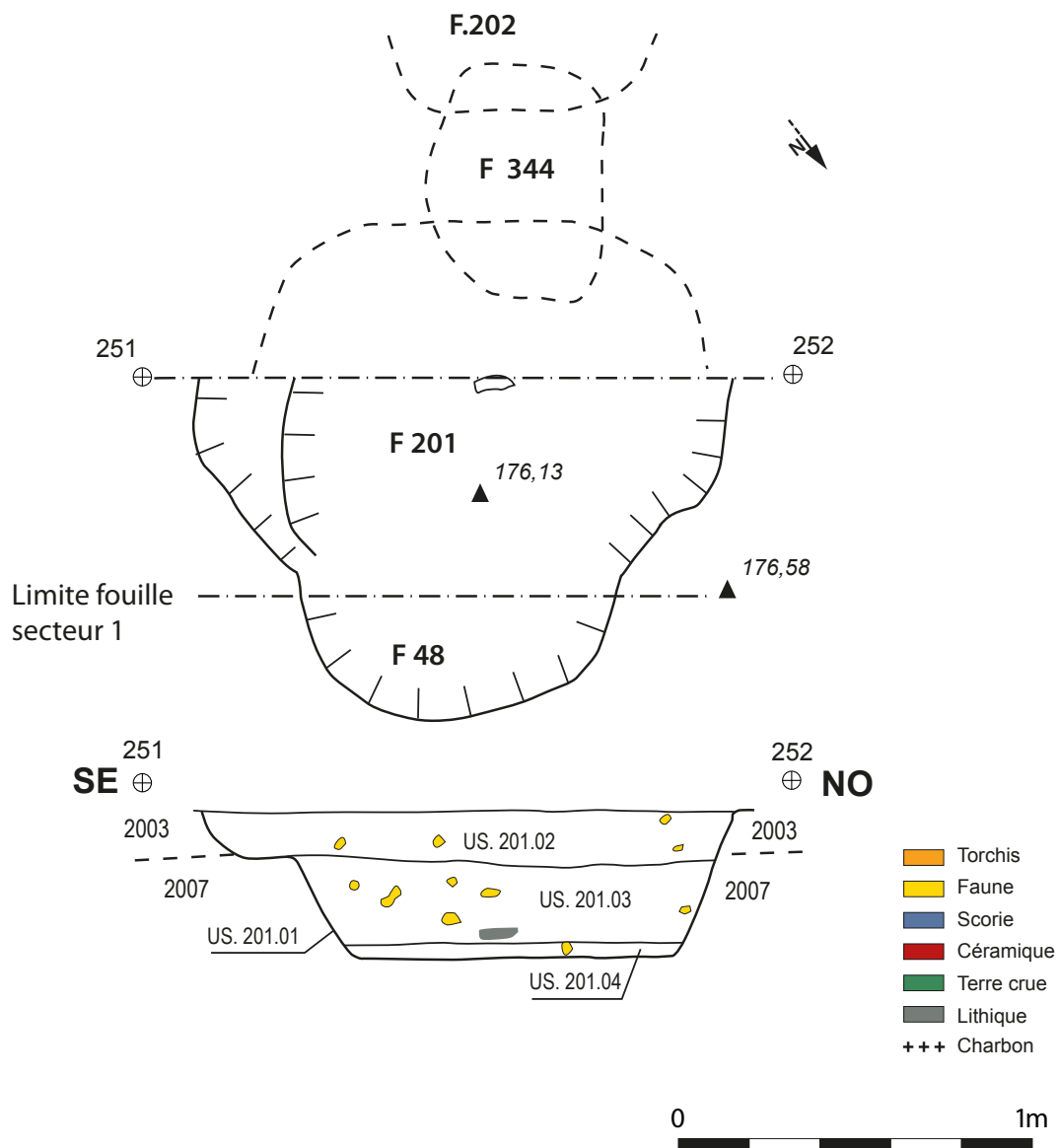
Description : creusement ovalaire aux parois légèrement évasées et fond plat. La structure correspond à la moitié sud de la ST 48 du secteur 1 Bragny 2021. Elle est recoupée au sud par 344 non fouillée en 2022.

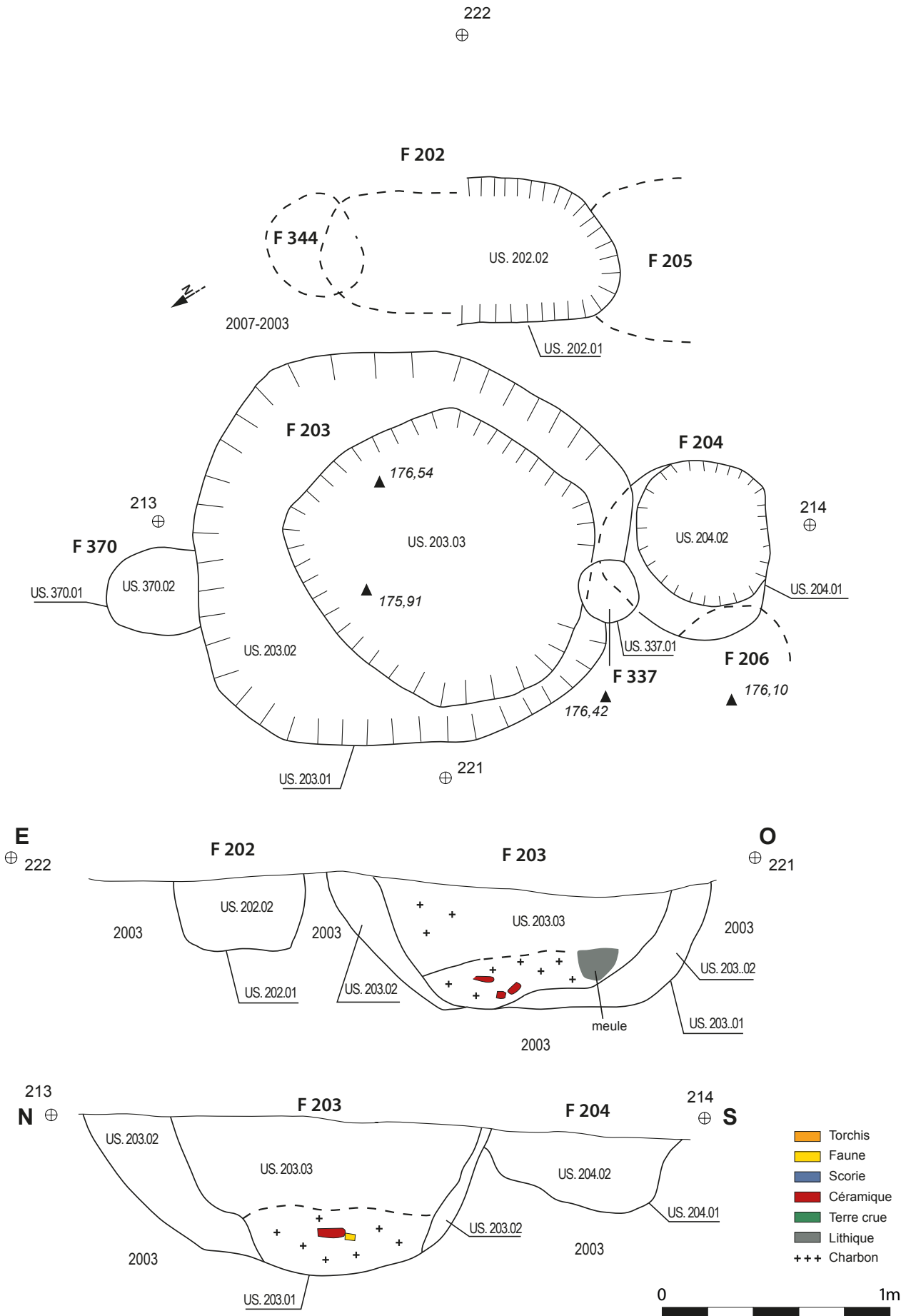
Comblement : US 201.02 : couche sablo-limoneuse de couleur brun jaunâtre, compacte et hétérogène.

US 201.03 : couche limono argileuse de couleur noir, meuble et homogène, riche en apports anthropiques.

US 201.04 : couche sablo-limoneuse de couleur brun à orange foncé, peu compacte et homogène. Elle se distingue par son caractère très peu anthropisé et située en interface entre le niveau géologique US 2007 et le comblement 201.03.

Mobilier : céramique, faune, scories, meule, alliages cuivreux, matériaux de construction, lithique





ST : 202

Type de Structure : Fosse

Forme : Ovale

Dimension (L x l x P) en m : 1,30 x 0,60 x 0,35

Description : creusement de forme ovale aux parois verticales et fond plat.

Comblement : *US 202.02* : couche sablo-limoneuse de couleur brun clair, meuble et homogène et peu anthropisée avec des rares inclusions millimétriques de charbon.

Mobilier : rares fragments de céramique, scories

ST : 204

Type de Structure : Fosse

Forme : Circulaire

Interprétation : Trou de poteau

Dimension (L x l x P) en m : 0,80 X 0,80 X 0,34

Description : Creusement circulaire à parois verticales et fond en cuvette

Comblement : *US 204.02* : couche sablo-limoneuse de couleur brun gris clair, meuble et hétérogène.

Mobilier : céramique, faune

ST : 203

Type de Structure : Fosse

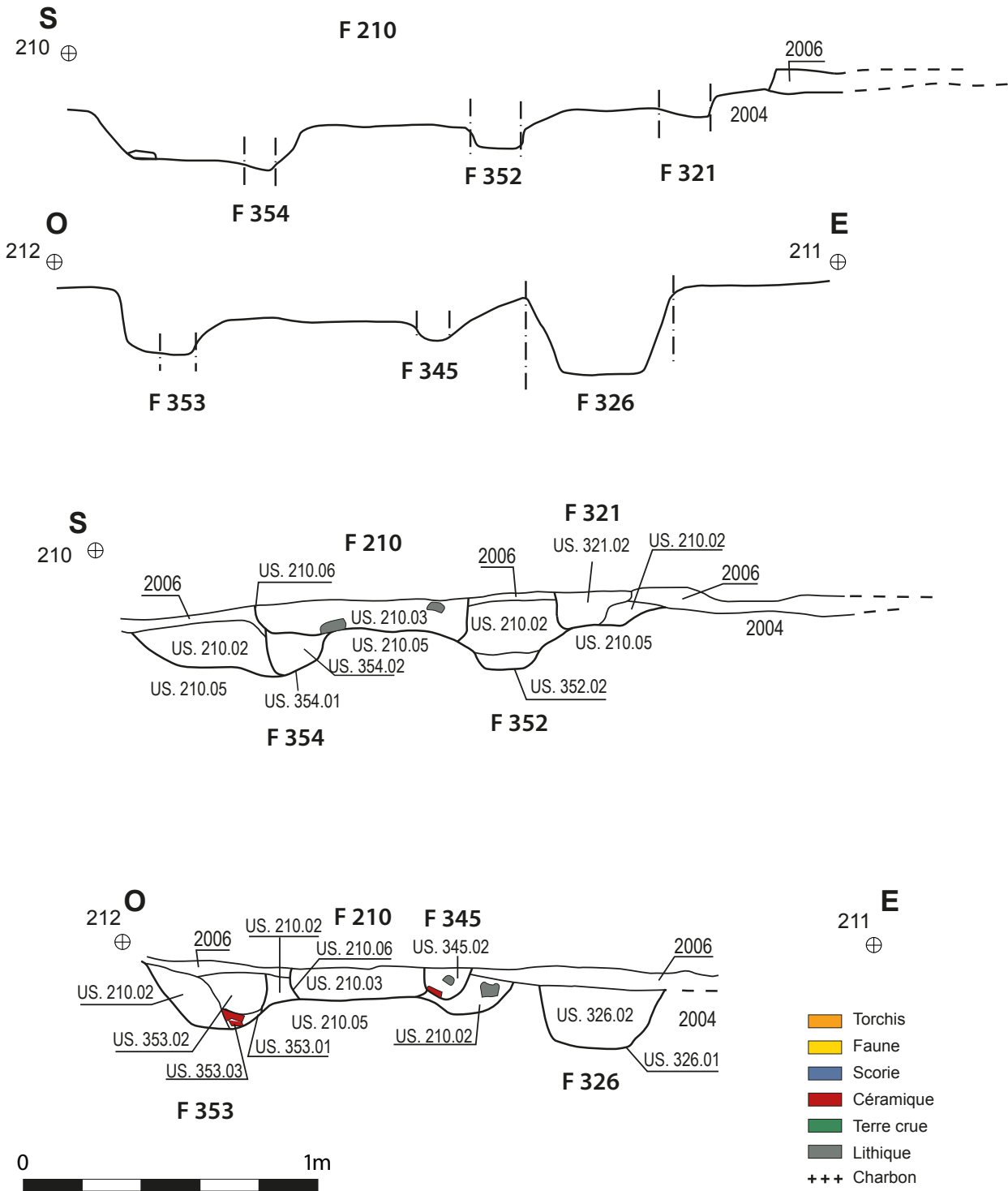
Forme : Circulaire

Dimension (L x l x P) en m : 1,90 x 1,75 x 0,70

Description : creusement circulaire irrégulier aux parois évasées et fond plat et irrégulier

Comblement : *US 203.02* couche de couleur brun clair jaunâtre, peu compacte et homogène. Le sédiment est aménagé le long des parois formant une sorte de banquette d'épaisseur comprise entre 20 et 40 cm. *US 203.03* : couche sablo-limoneuse de couleur brun gris foncé à noir, meuble et hétérogène. Le mobilier archéologique ainsi que de nombreuses inclusions millimétriques charbonneuses sont concentrés surtout dans la moitié inférieure de la couche. Le comblement s'appuie contre l'*US 203.02*.

Mobilier : faune, céramiques, fer, alliage cuivreux, scories, lithique



ST : 210 (210.05 et 210.06)**ST : 210.05****Type de Structure** : Fosse-atelier**Forme** : Rectangulaire aux angles arrondis**Dimension (L x l x P) en m** : 2,40 X 1,50 X 0,4

Description : Aménagement modelé à partir d'un sédiment sablo-limoneux à grain moyen de couleur brun-grisâtre tacheté orangé, hétérogène et compacte, localement plus charbonneux. Il forme une fosse rectangulaire aux angles arrondis. Si l'on détaille un peu plus ce niveau, on a d'abord repéré en relief une surface plane, de forme quadrangulaire aux angles arrondis, disposée au centre de la fosse dans sa partie la plus profonde. Elle mesurait 0,5 X 0,4m pour une hauteur évaluée entre 0,2 et 0,3 m, disposant de gros morceaux de céramiques pris dans sa structure. D'autres aménagements ont été modelés eux aussi (Str. 352) et situés le long de la bordure nord-est : un creusement circulaire au fond plat et aux bords évasés (diam : 0,2 m pour une profondeur de 6 cm), prolongé d'un canal placé en oblique (0,20 x 0,04 m) et de plusieurs bourrelets situés à la suite de ce dernier.

Enfin, ce niveau remonte pour former les bords de la fosse rectangulaire qui sont obliques sur les côtés est, sud et nord et droit sur le versant ouest. Notons que ces bords côté nord-est sont en lien direct avec l'US 2004, niveau de sol riche en déchets métallurgiques, notamment de petits fragments de scories, attestant du piétinement de la zone.

Parallèlement, trois groupes de trous poteaux semblent avoir été aménagés en lien avec l'US 210.05, profitant pour partie des reliefs du niveau induré.

Un premier groupe de deux trous de poteau (TP 353, 354) est situé respectivement aux angles sud et ouest de la plateforme quadrangulaire décrite précédemment, et ayant un diamètre similaire d'environ 0,20-0,25 m.

Quatre autres trous de poteaux étaient placés non loin des bords de la structure (TP 356, 357, 366, 368) avec

des diamètres d'environ 0,40 m. Les poteaux 357 et 368 étaient situés respectivement au centre des bords sud et nord de la fosse, alors que le poteau 356 était au centre du bord ouest. Le poteau 366 est quant à lui placé à l'angle sud-est de la fosse.

En outre, dans la moitié nord de la structure, plusieurs de ces trous de poteaux comprenaient des fragments de panses de céramiques dans leurs comblements, restes probables des calages (TP 353, 356, 368).

C'est aussi le cas pour deux autres trous de poteaux dont la fouille n'a pas été finalisée (TP 383 et 355) situés de part et d'autre du dispositif en relief composé des bourrelets et du canal décrit plus haut. D'un diamètre de 0,25 m, ils pourraient peut-être renvoyer au premier groupe (TP 353 et 354).

Enfin, deux derniers trous de poteaux situés sur les abords extérieurs nord et est de la structure (TP 382 et 326) ont des diamètres plus importants d'environ 0,50 m. Si l'un (TP 382) s'appuie sur le retour de la fosse 210.05, l'autre est par contre extérieur à la fosse elle-même. Leur dimension commune nous pousse à les associer.

Comblement : US 210.02 : couche sablo-limoneuse de couleur brun grisâtre, d'aspect hétérogène avec de petites poches de sable jaune. Elle est riche en mobilier (scorie, parois de four, métal, faune, déchets de bronze, céramique, meule et argile blanche). De gros fragments de charbons ont été repérés et prélevés dans l'angle sud-ouest de la fosse.

Mobilier : céramique, métal, faune, scorie, argile blanche

ST : 210.06**Type de Structure** : Fosse**Forme** : Rectangulaire**Dimension (L x l x P) en m** : 0,64 X 0,48 X 0,1

Description : Creusement de forme rectangulaire aux angles arrondis, aux bords verticaux et au fond plat, s'appuyant sur 210.05 et recoupant 2006, 210.02, 354.02, 354.01, tout étant recoupé par 345.01. Elle se superpose à l'aménagement quadrangulaire de l'US 210.05 bien que le rectangle ne soit pas de même orientation.

Comblement : US 210.03 : couche sablo-limoneuse de couleur brun foncé à noir, d'aspect hétérogène avec de petites poches de sable jaune. Elle est riche en mobilier (scorie, faune dont deux mandibules quasi complètes, céramique).

Mobilier : faune, céramique, fer, alliages cuivreux, scories, lithique, argile blanche

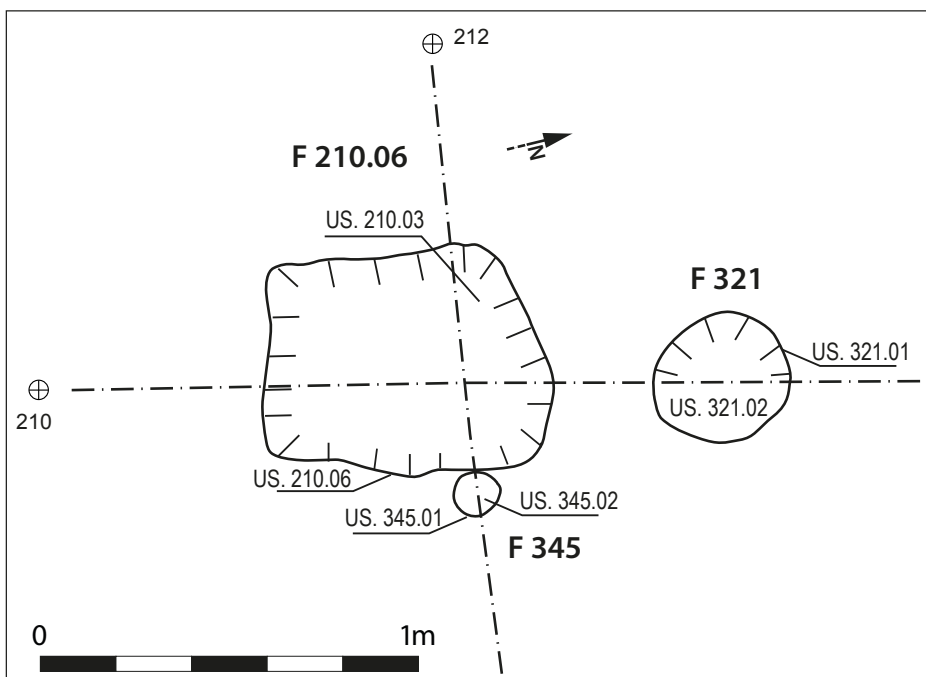
ST : 214**Type de Structure** : Fosse avec aménagements**Forme** : Rectangulaire**Interprétation** : Bâtiment semi-excavé**Dimension (L x l x P) en m** : 2,20 X 1,50 X 0,46

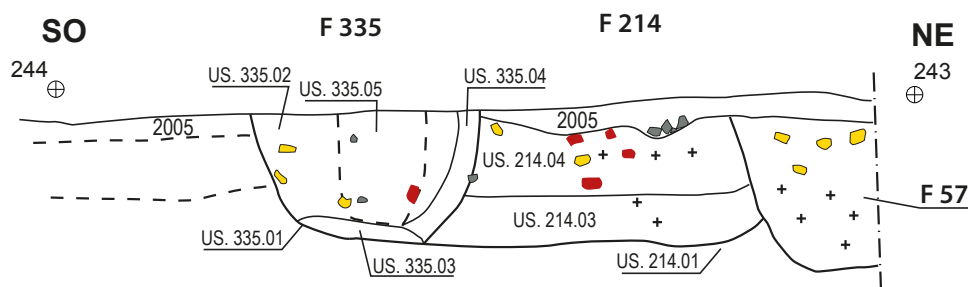
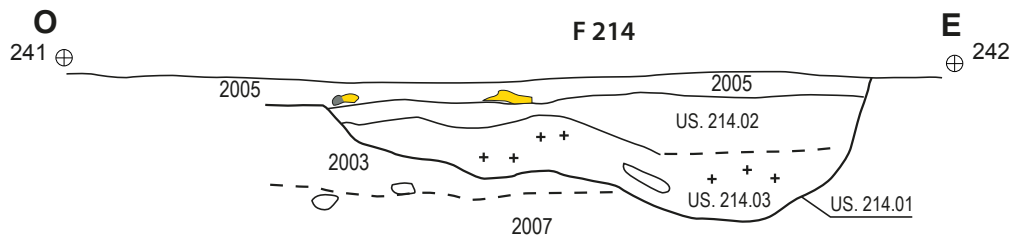
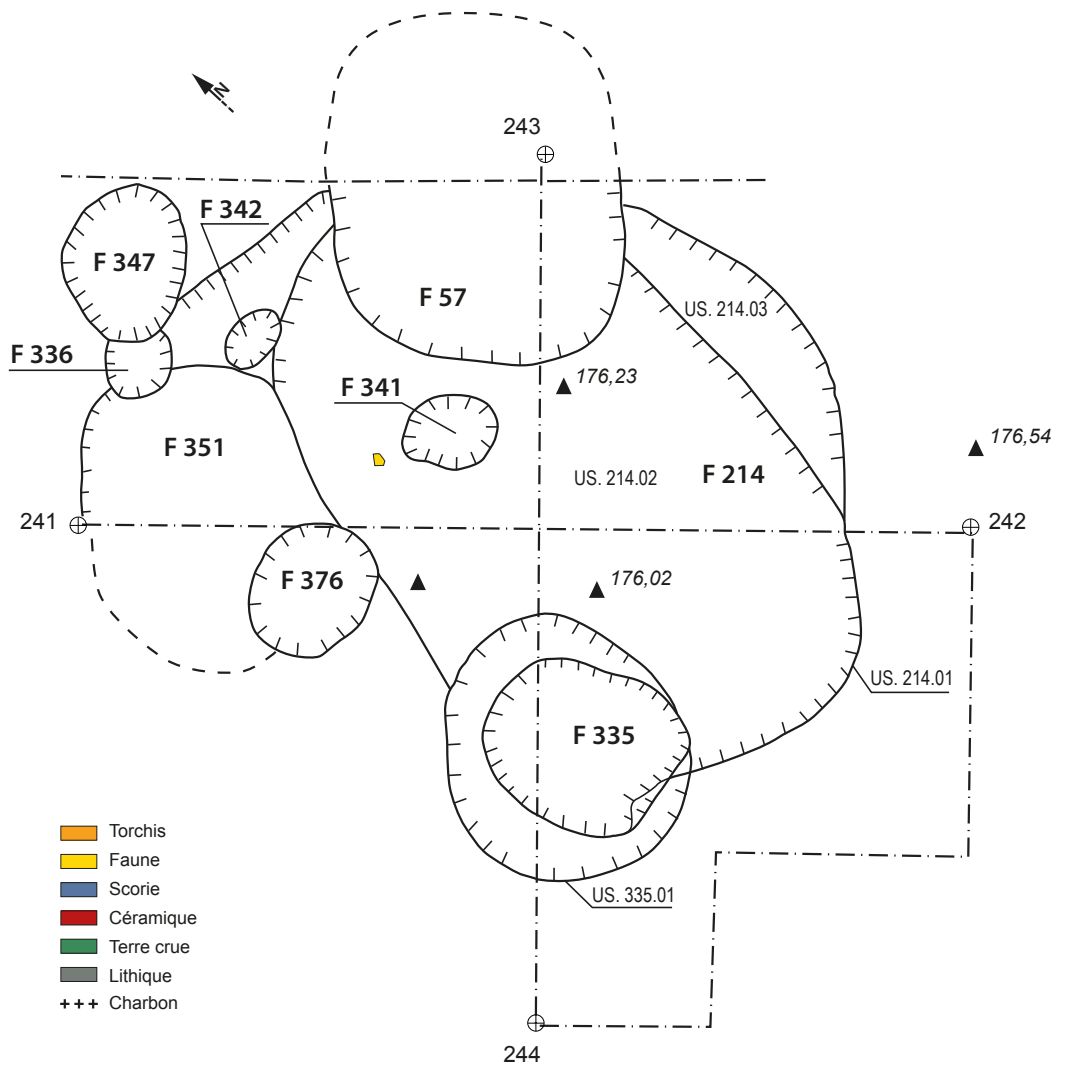
Description : Creusement rectangulaire aux angles arrondis et de faible profondeur. Les parois sont légèrement évasées et le fond résulte plat tout en étant légèrement irrégulier. Les limites nord-est et nord-ouest apparaissent diffuses. La structure est aménagée dans l'US 2003 et dans sa partie septentrionale, elle est recoupée par la structure 57 située dans la berme sud du secteur 1 adjacent.

Comblement : US 214.02 : couche sablo-limoneuse finement argileuse de couleur brun gris foncé, meuble et hétérogène. Elle se caractérise par des inclusions millimétriques et éparses de terre cuite et une concentration abondante de mobilier archéologique, en particulier de restes fauniques. US 214.03 : couche sablo-limoneuse de couleur brun orangé à brun jaunâtre, peu compacte et hétérogène. Elle se caractérise par la présence d'inclusions millimétriques et éparses de terre

cuite et une moindre concentration en mobilier archéologique mais qui demeure diversifié. US 214.04 : Fine couche superficielle sablo-limoneuse finement argileuse, de couleur brun foncé peu organique et anthropisée.

Mobilier : céramique, scories, lithique (meule), faune, lithique autre





ST : 218

Type de Structure : Fosse

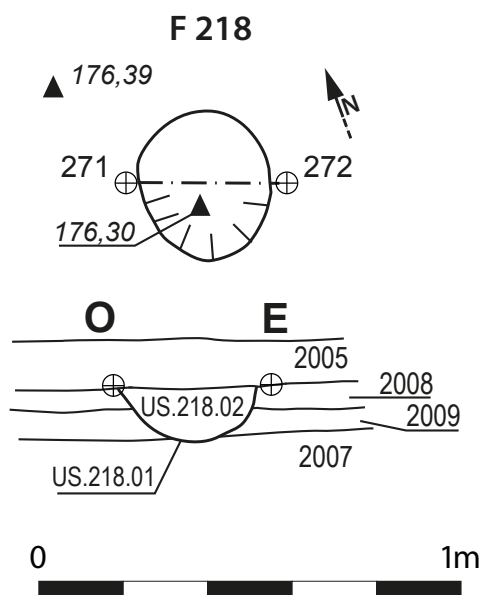
Forme : Circulaire

Interprétation : Trou de poteau

Dimension (L x l x P) en m : 0,32 X 0,32 X 0,12

Description : Creusement circulaire aux parois verticales et fond légèrement en cuvette. La structure a été aménagée dans l'US 2007 recoupant ainsi les niveaux US 2008 et 2009 plus anciens de la vie de l'habitat.

Comblement : US 218.02 : couche sablo-limoneuse de couleur brun gris, compacte et homogène. Elle n'a livré qu'un seul fragment de céramique, non diagnostiqué



ST : 223

Type de Structure : Fosse

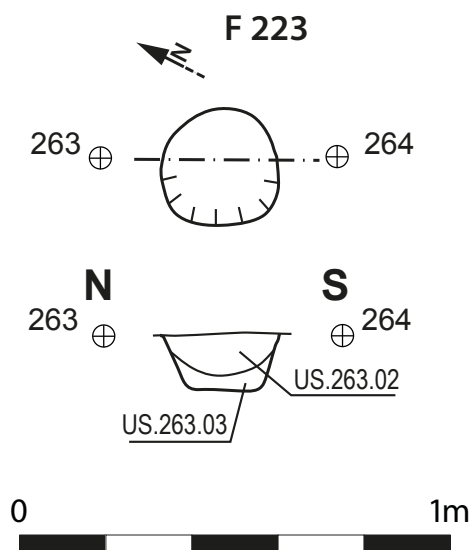
Forme : Circulaire

Interprétation : Trou de poteau

Dimension (L x l x P) en m : 0,26 X 0,26 X 0,12

Description : Creusement circulaire de petites dimensions, aux parois évasées et fond plat. La structure a été aménagée en dessous du niveau US 2005. Bien que conservé sur une faible profondeur, son comblement riche en inclusions organique pourrait indiquer l'existence d'un négatif de poteau.

Comblement : US 223.02 : couche sablo-limoneuse de couleur brun jaunâtre meuble et homogène riche en inclusions millimétriques de terre cuite et de charbons et n'ayant pas livré de mobilier archéologique.



ST : 227

Type de Structure : Fosse

Forme : Circulaire

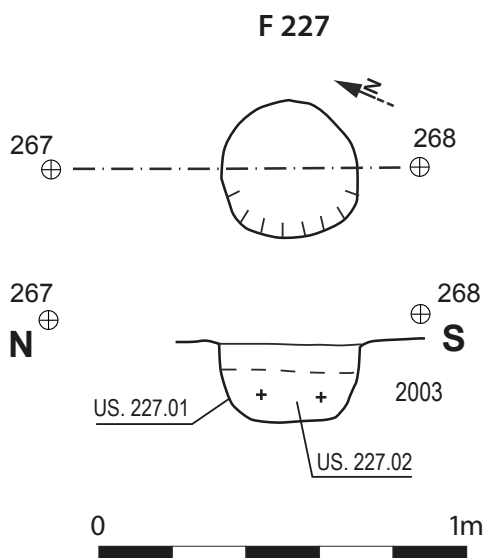
Interprétation : Trou de poteau

Dimension (L x l x P) en m : 0,38 X 0,38 X 0,20

Description : Creusement circulaire de petites dimensions aux parois légèrement évasées et fond plat.

Comblement : US 227.02 : couche sablo-limoneuse finement argileuse de couleur brun gris foncé à très foncé vers sa moitié inférieure, peu compacte et homogène. Elle se caractérise par la présence d'inclusions millimétriques de terre cuite et la présence de nodules centimétriques de terre à bâtir de couleur beige.

Mobilier : céramique, faune, lithique, terre artisanale



ST : 228

Type de Structure : Fosse

Forme : Ovalaire

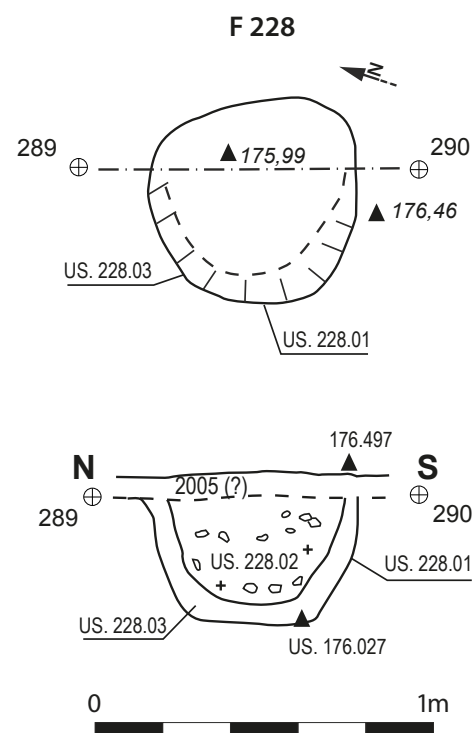
Interprétation : Trou de poteau

Dimension (L x l x P) en m : 0,60 X 0,60 X 0,44

Description : Creusement circulaire de forme un peu irrégulière et petites dimensions, aux parois évasées et fond plat légèrement irrégulier.

Comblement : US 228.02 : couche sablo-limoneuse finement argileuse de couleur noir tacheté jaune, meuble et hétérogène riche en inclusion millimétriques de charbon et de terre cuite. US 228.03 : couche sablo-limoneuse de couleur brun clair à jaune, meuble et homogène avec des inclusions millimétriques de charbons et terre cuite et sans mobilier correspondant au comblement de la fosse de calage pour le poteau US 228.02.

Mobilier : céramique, faune, matériaux de construction (TBR).



ST : 231

Type de Structure : Fosse

Forme : Ovale

Interprétation : Trou de poteau

Dimension (L x l x P) en m : 0,60 X 0,60 X 0,30

Description : Creusement ovalaire aux parois évasées et fond plat.

Comblement : *US 231.02* : couche limono-sableuse finement argileuse de couleur brun gris foncé, meuble et homogène caractérisée par la présence de rares inclusions de terre cuite millimétriques et des fragments de faune et céramiques centimétriques et occasionnels.

Mobilier : céramique, faune.

ST : 235

Type de Structure : Fosse

Forme : Rectangulaire

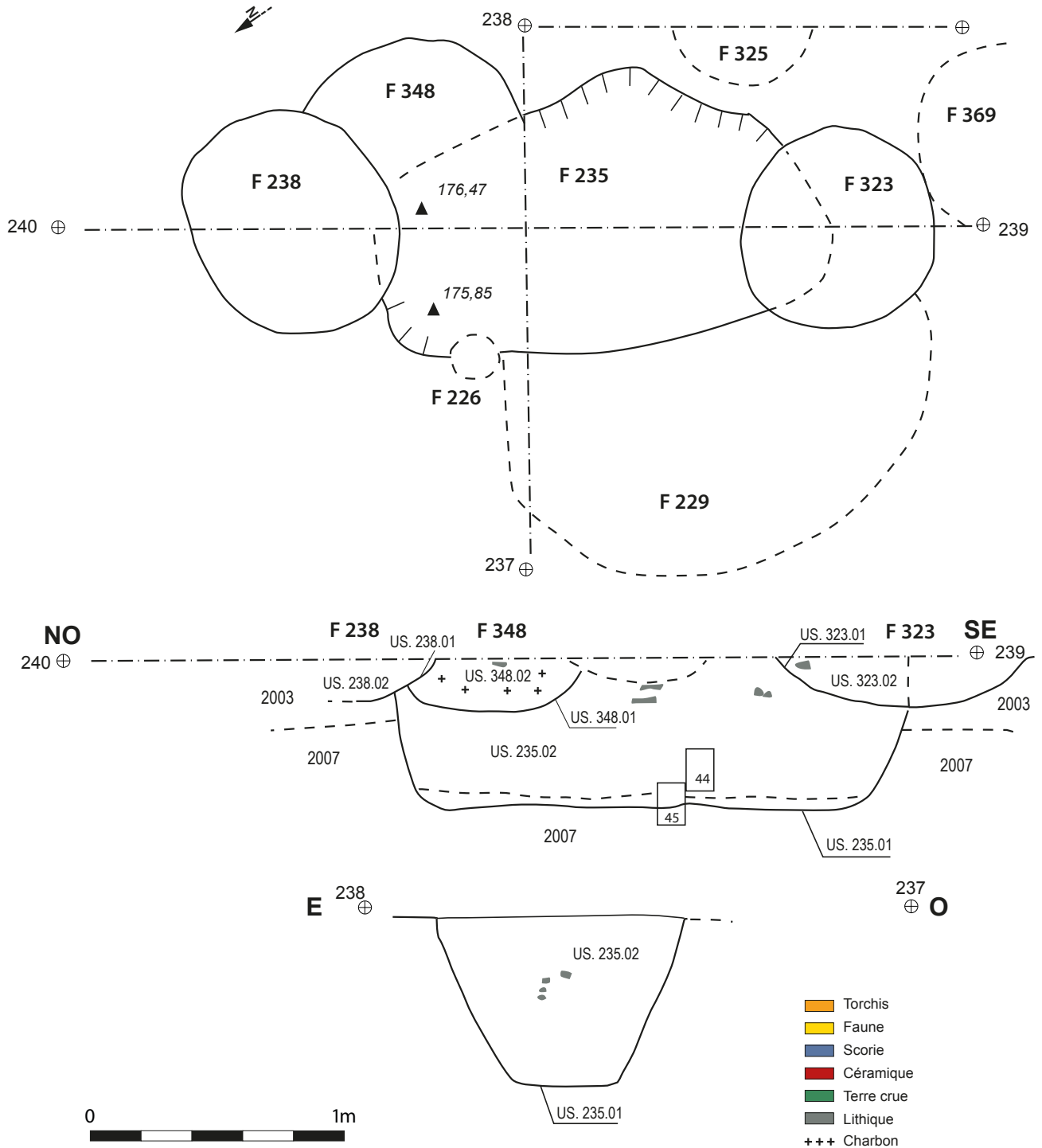
Interprétation : Bâtiment semi-excavé

Dimension (L x l x P) en m : 1,98 x 0,90 x 0,66

Description : Creusement rectangulaire irrégulier aux angles arrondis avec parois verticales ayant un profil légèrement concave. Le fond est plat et les bords supérieurs sont diffus rendant la lecture parfois difficile. La structure est coupée par quatre autres fosses de taille variée altérant partiellement la lecture des comblements supérieurs.

Comblement : *US 235.02* : couche sablo-limoneuse de couleur brun foncé, matrice granuleuse très fine à moyen composée de sables fins à très fins. Sa texture se caractérise également par la présence d'inclusions millimétriques de terre cuite et de charbons ainsi que de battitures. Le mobilier est à plat ou en position oblique et se compose de fragments centimétriques de céramique, ainsi que de fragments de faune, de meule et des éléments lithiques. Sont également attestées les scories, des fragments d'alliage cuivreux et des battitures éparses dans la couche. Un prélèvement a été réalisé pour mieux caractériser fonctionnellement cet assemblage.

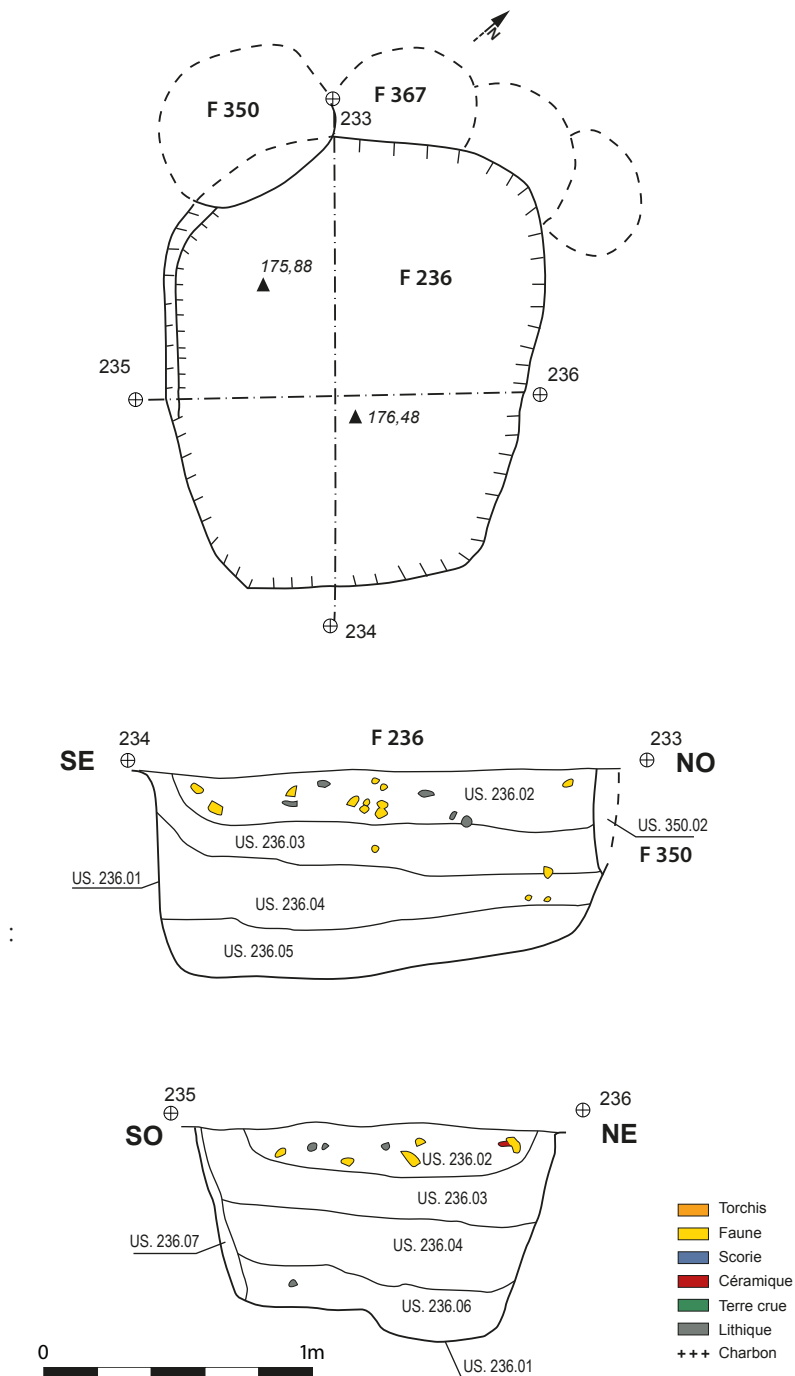
Mobilier : céramique, métal, faune, scories, lithique



ST : 236**Type de Structure** : Grande fosse**Forme** : Quadrangulaire**Interprétation** : Bâtiment semi-excavé**Dimension (L x l x P) en m** : 1,68 X 1,30 X 0,70

Description : Creusement quadrangulaire aux angles arrondis coupé le long de son bord septentrional par la Str. 350, non fouillée. Les parois sont verticales et légèrement évasées et le fond est plat.

Comblement : US 236.02 : couche sablo-limoneuse à sable très fin à moyen et finement argileuse de couleur brun noirâtre, meuble, hétérogène avec inclusions millimétriques de charbon, de terre cuite diffuses et une poche d'argile de couleur blanche. Le mobilier est mieux représenté dans la moitié supérieure de la couche et sa limite inférieure est nette. On remarque également la présence de battitures lamellaires. US 236.03 couche sablo-limoneuse à sable fin à très fin, texture massive avec inclusion d'agrégats brun jaunâtres près de la limite sud-est, en interface avec le niveau 2003. Son aspect est hétérogène, le sédiment est meuble. On remarque également la présence de quelques battitures millimétriques et éparses avec de fragments millimétriques de charbon et de terre cuite. Des fragments de céramique, de faune et lithique ainsi que de nodules de terre à bâtir sont aussi présents. US 236.04 : couche sableuse avec sable fin à très fin finement limoneuse, matrice massive, plus compacte et granulo-argileuse vers le fond faiblement anthropisé. Elle est de couleur brun clair jaunâtre, meuble et d'aspect hétérogène. Les inclusions millimétriques de charbons et de terre cuite sont sporadiques. Le mobilier y est peu documenté et il se compose de quelques fragments millimétriques et occasionnels de faune. US 236.06 : couche sablo-limoneuse à sable fin à très fin en position d'interface entre le comblement finale et le niveau de sol ancien 2007 vers la limite de creusement. Elle est de couleur brun clair à jaune, meuble et homogène et elle présente des inclusions de petits graviers et un fragment centimétrique de céramique ayant migré depuis la couche supérieure. De par sa nature, texture et couleur elle interprétable comme un niveau altéré de 2007 ou bien comme un épisode de sédimentation naturelle dans une fosse laissée à l'air et sans protection.



Mobilier : céramique, faune, scorie, lithique, terre artisanale.

ST : 238

Type de Structure : Fosse

Forme : Ovale

Interprétation : Fosse de calage

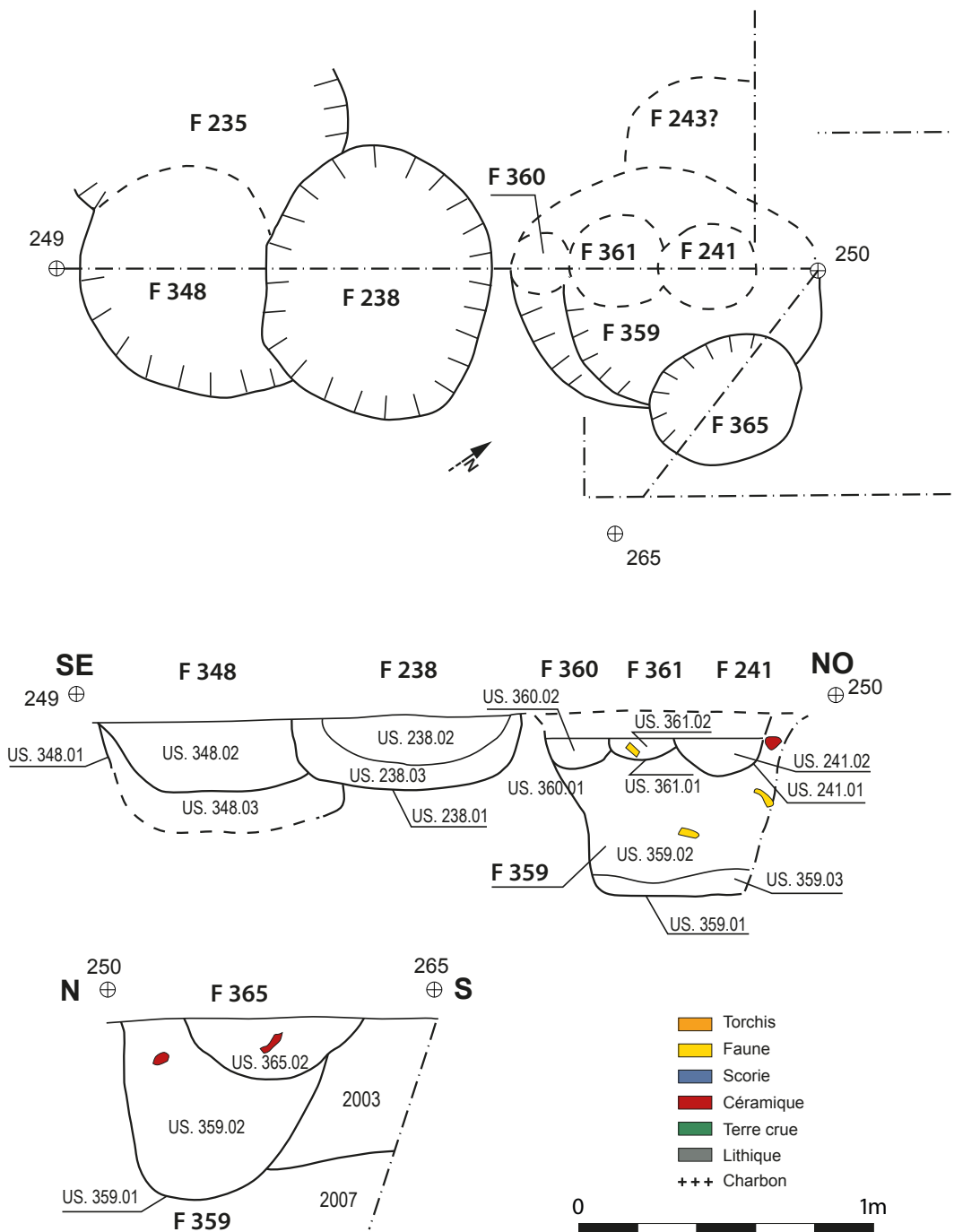
Dimension (L x l x P) en m : 0,75 X 0,9 X 0,25

Description : Creusement ovaire aux parois verticales et fond plat qui coupe les fosses 348 et 235, la fosse 348 recoupant elle aussi la fosse 235 plus ancienne.

Comblement : US 238.02 : couche sablo-limoneuse de

couleur brun gris foncé caractérisée par des litages et des inclusions éparses et millimétriques de terre cuite et de fragments centimétriques de céramique roulée.
 US 238.03 : couche limono-sableuse brun gris clair avec litages fins et réguliers et petit enfoncement en cuvette vers la paroi sud-est suggérant la possibilité qu'il s'agisse d'un calage.

Mobilier : céramique



ST : 239

Type de Structure : Fosse

Forme : Circulaire

Interprétation : Fosse avec aménagements

Dimension (L x l x P) en m : 1,28 x 1,28 x 0,48

Description : Creusement circulaire aux parois légèrement évasées au profil concave et fond plat. La structure est associée à un poteau dans sa première phase de fonctionnement (Str. 349) puis réaménagée dans un deuxième temps donnant lieu aux deux comblements supérieurs les plus riches en mobilier. Bien que les limites soient nettes les comblements supérieurs ont été remaniés par l'action de racines ici assez denses et au moins un terrier visible dans le quart SE.

Comblement : *US 239.02* : couche limono-sableuse finement argileuse avec sables très fins à fines et rares sables moyens, de couleur brun foncé, compact et d'aspect homogène. Elle présente des inclusions millimétriques de charbon et de fragments diffus de terre cuite de couleur rouge, jaune-orange et rose de taille allant de 2 mm à 2 cm. *US 239.03* : couche sablo-argileuse finement limoneuse avec sables très fin à moyen, texture massive avec des légers litages. Elle est de couleur brun à brun gris foncé, meuble et d'aspect homogène. Il est à souligner la présence d'une concentration d'argile crue au centre de la couche associée à quelques fragments céramiques disposés à plat et des restes fauniques. *US 239.04* : couche sablo-limoneuse avec sable très fin à moyen, de couleur brun noirâtre, meuble et légèrement limitée vers le fond où l'on remarque une percolation de micro charbons depuis le niveau supérieur de la couche où se trouvent des poussières charbonneuses qui lui ont conféré cette nuance plus foncée. Très peu de mobilier y a été retrouvé, de dimensions millimétriques à centimétriques et plutôt dans la partie supérieure de la couche.

Mobilier : céramique, scories, faune, lithique, terre artisanale, 1 fibule (ISO 41).

ST : 240

Type de Structure : Fosse

Forme : Circulaire

Interprétation : Trou de poteau

Dimension (L x l x P) en m : 0,32 X 0,32 X 0,18

Description : Creusement circulaire aux parois verticales et fond plat.

Comblement : *US 240.02* : couche sablo-limoneuse de couleur brun clair jaunâtre, meuble et d'aspect homogène.

Mobilier : céramique, scories, alliages cuivreux

ST : 241

Type de Structure : Fosse

Forme : Circulaire

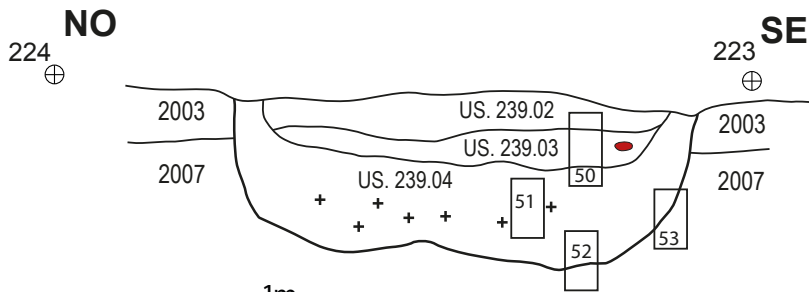
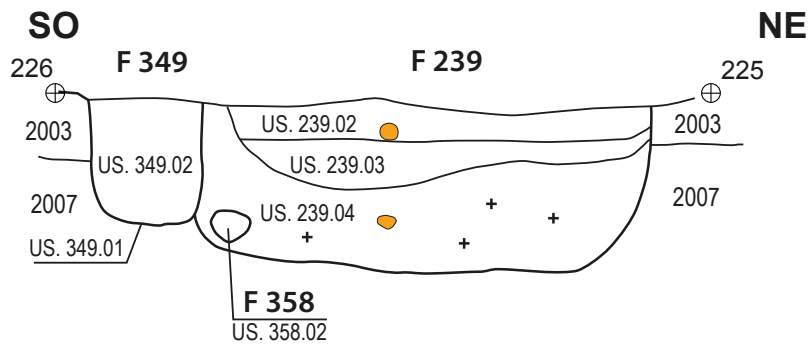
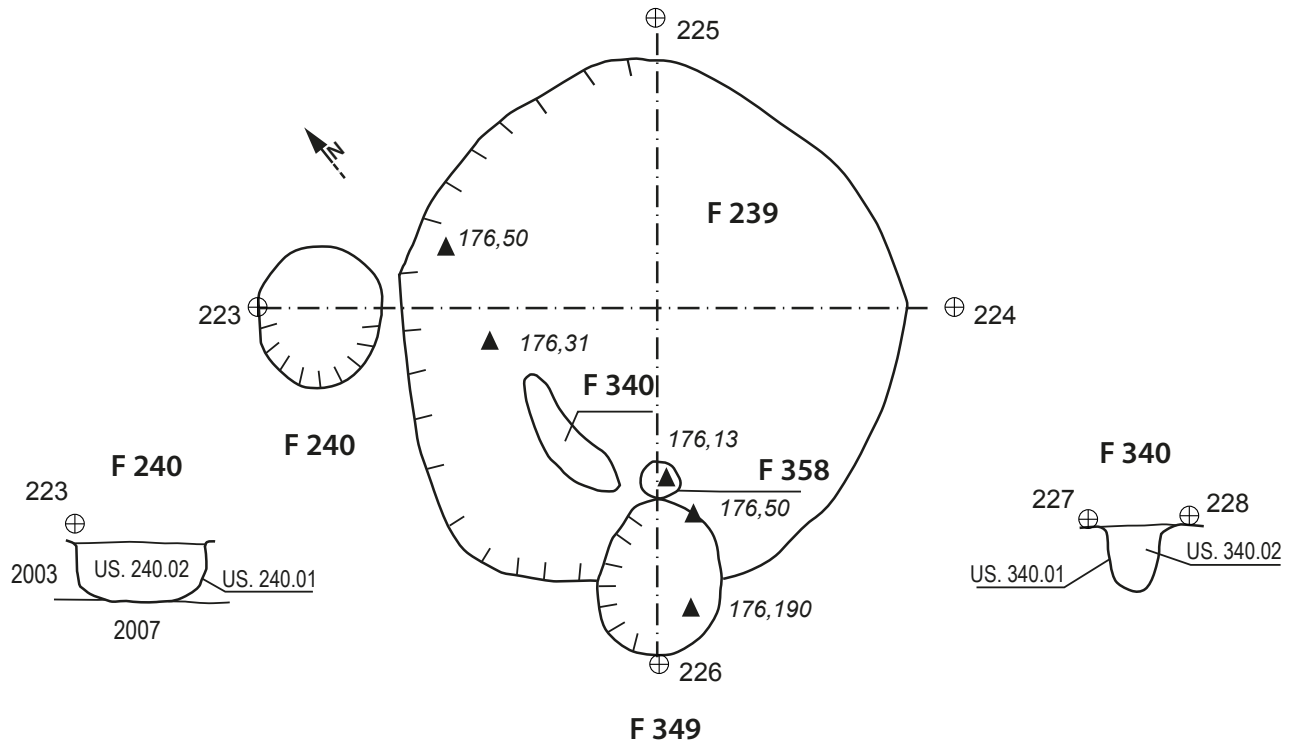
Interprétation : Trou de poteau

Dimension (L x l x P) en m : 0,29 X 0,29 X 0,17

Description : Creusement circulaire aux parois verticales et fond plat de petites dimensions et faible profondeur. La structure est aménagée dans 359 et elle recoupe le trou de poteau 361 situé à l'ouest.

Comblement : *US 241.02* : couche sablo-limoneuse de couleur brun clair, meuble et d'aspect hétérogène caractérisée par la présence de quelques inclusions millimétriques de charbon et de terre cuite, des poches d'argiles beige ainsi que des fragments de céramique et de faune.

cf. figure Str. 238



- Torchis
- Faune
- Scorie
- Céramique
- Terre crue
- Lithique
- +++ Charbon

ST : 321**Type de Structure** : Fosse**Forme** : Circulaire**Interprétation** : Trou de poteau**Dimension (L x l x P) en m** : 0,30 X 0,30 X 0,12

Description : Creusement circulaire aux parois évasées et droites avec un fond en cuvette peu accentuée. Le creusement recoupe l'US 2006 et l'un des comblements de la fosse 210 (210.02) en s'appuyant sur le niveau enduré 210.05. Il est comblé par 321.02.

Comblement : US 321.02 : couche sablo-limoneuse de couleur noire-grisâtre, meuble, homogène, avec des inclusions centimétriques de terre cuite et millimétriques de charbons épars ainsi que de fragments de scories et de faune.

ST : 323**Type de Structure** : Fosse**Forme** : Circulaire**Interprétation** : Trou de poteau**Dimension (L x l x P) en m** : 0,78 X 0,80 X 0,30

Description : Creusement circulaire aux parois évasées et fond en cuvette peu accentuée. Le creusement re-

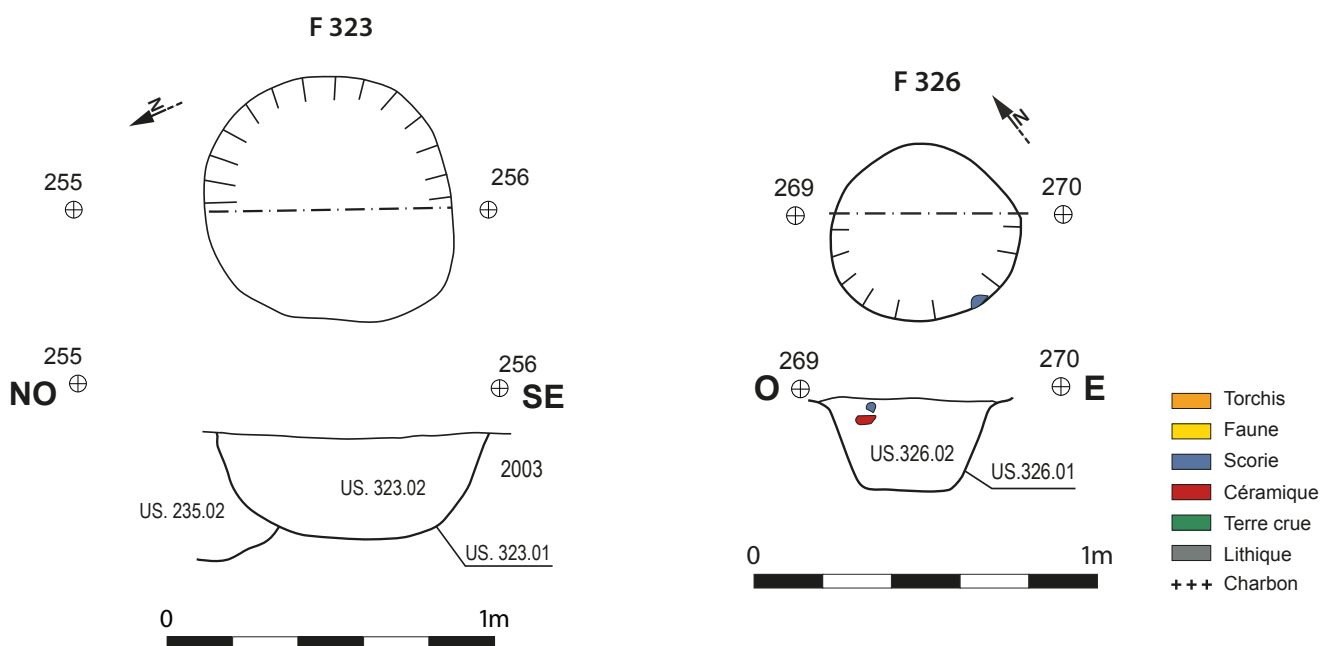
coupe la fosse 235 à son extrémité sud-est et il semble également recouper la fosse 229 située au sud-ouest.

Comblement : US 323.02 : couche sablo-limoneuse de couleur brun jaunâtre, peu compacte, homogène avec des inclusions centimétriques de terre cuite et millimétriques de charbons épars ainsi que de fragments de céramique et fauniques.

ST : 326**Type de Structure** : Fosse**Forme** : Circulaire**Interprétation** : Trou de poteau**Dimension (L x l x P) en m** : 0,50 X 0,50 X 0,30

Description : Creusement circulaire aux parois légèrement évasées et fond plat. La structure est située à proximité de la structure 210.

Comblement : US 326.02 : couche sablo-limoneuse de couleur brun gris foncé, meuble et homogène avec inclusions millimétriques de terre cuite et ayant livré des fragments de céramique, fauniques et des scories. Un fantôme de poteau est perceptible vers le fond de la couche.



ST : 328

Type de Structure : Fosse

Forme : Ovale

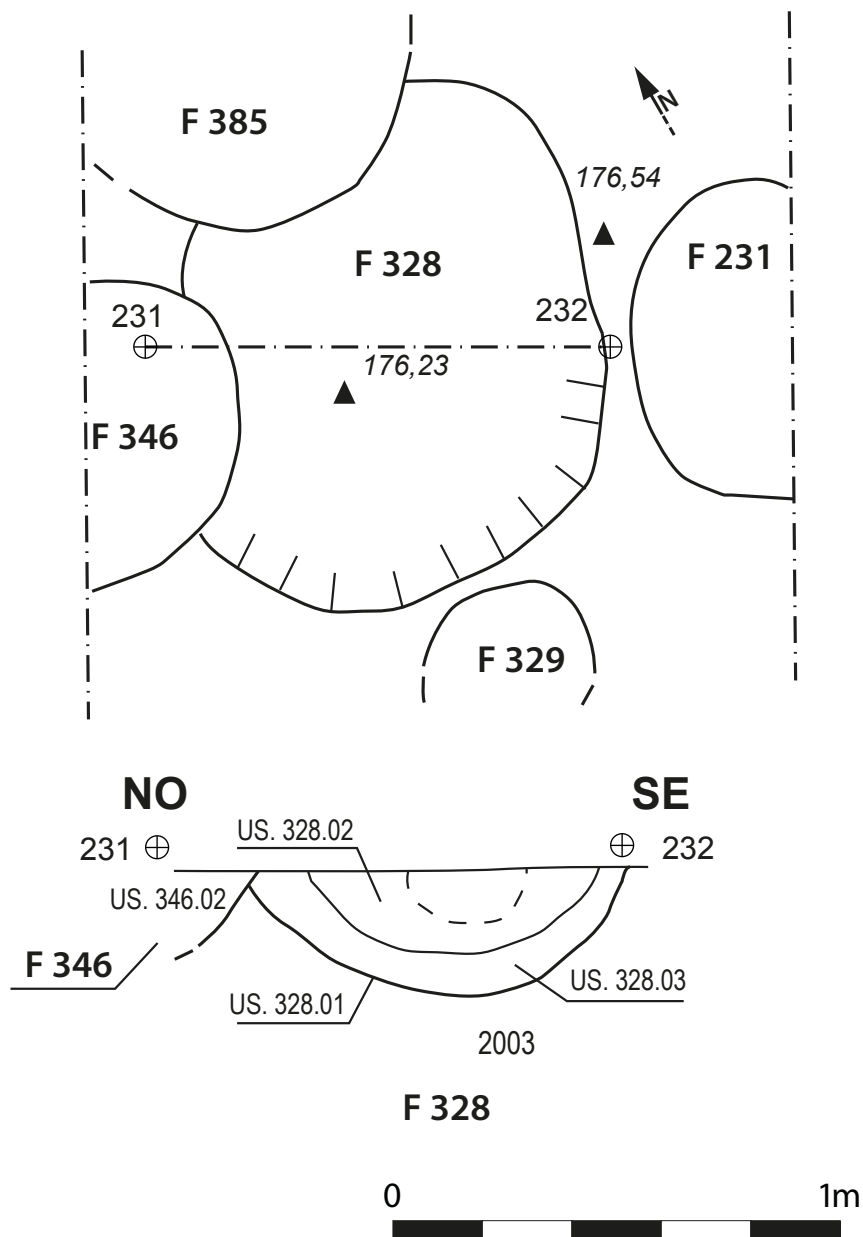
Interprétation : Trou de poteau

Dimension (L x l x P) en m : 0,95 X 1,1 X 0,3

Description : Creusement ovalaire aux parois évasées et fond en cuvette. La structure est coupée par 385 et 346 le long de son bord ouest.

Comblement : US 328.02 : couche sablo-limoneuse

de couleur brun gris foncé tacheté jaune, meuble avec rares inclusions millimétriques de terre cuite et un objet en fer. Elle présente un profil en cuvette dans l'angle sud-est suggérant la possibilité qu'il s'agisse d'une fosse de calage creusée dans 328.03. US 328.03 : couche sablo-limoneuse de couleur brun gris clair avec litages fins et réguliers, meuble et homogène avec rares inclusions millimétriques de terre cuite, de fragments de céramique, de faune et scorie.



ST : 332 (332.01 et 332.05)

332.01

Forme : Ovale

Dimension (L x l x P) en m : 0,7 x 0,65 x 0,27

Description : Creusement de forme ovale aux bords quasi-droits et fond en cuvette, surcreusé dans la partie centrale de la fosse.

Comblement : *US 332.04* : Dépôt d'une crémaillère en fer dit "dépôt 2", probablement dans un contenant en matière organique de type sac ? qui a contraint l'objet.
US 332.03 : couche sablo-limoneuse brun-sombre avec quelques poches de sable plus jaune qui recouvre le dépôt de la crémaillère.

332.05

Forme : Ovale

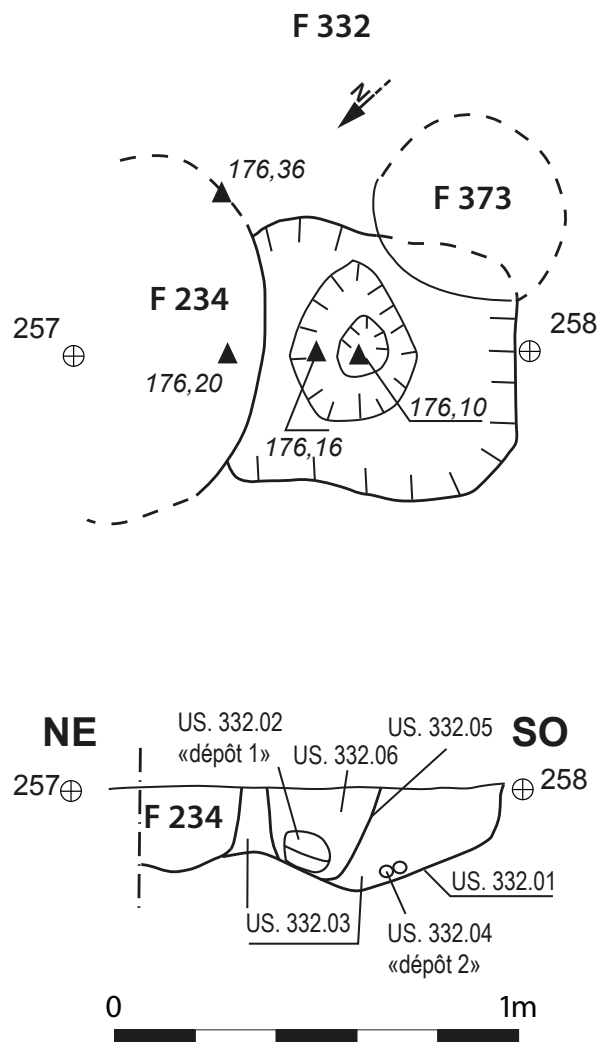
Dimension (L x l x P) en m : 0,35 x 0,35 x 0,25

Description : Creusement de forme ovale aux parois évasées qui vient recouper la fosse 332.01.

Comblement : *US 332.02* : Dépôt d'outils en fer et en alliages cuivreux, dit "dépôt 1", probablement dans un contenant en matière organique de type sac, qui a contraint les objets.

US 332.06 : sédiment sablo-limoneux brun-clair avec de nombreuses poches de sable jaune qui vient recouvrir le second dépôt d'outil.

Notons que ces fosses ont été recoupées au sud-ouest par la structure 373 et au nord par 234.



ST : 335

Type de Structure : Fosse

Forme : Circulaire

Interprétation : Fosse de calage

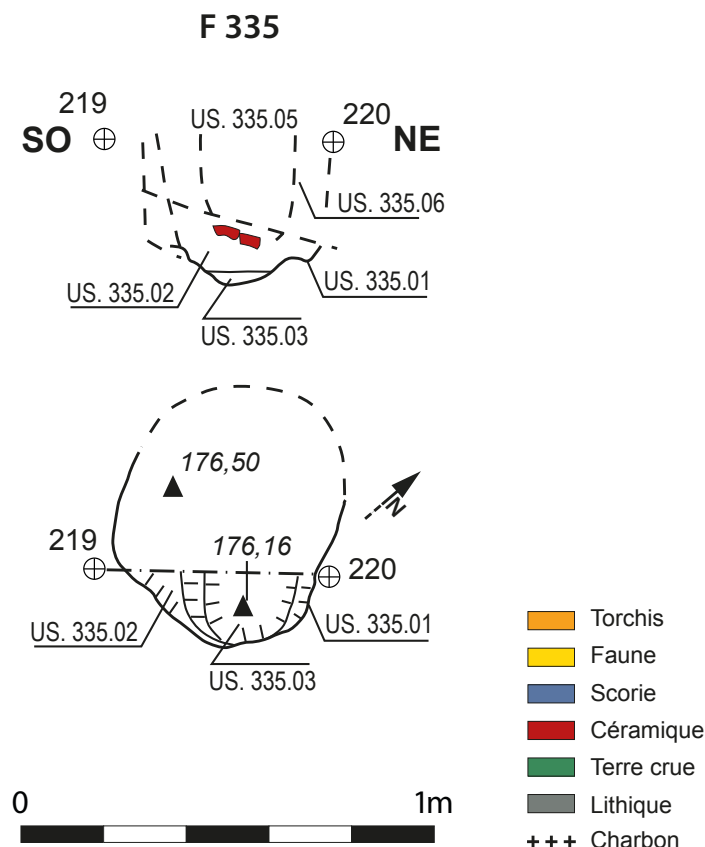
Dimension (L x l x P) en m : 0,57 x 0,57 x 0,40

Description : creusement circulaire aux parois verticales légèrement évasées et fond en cuvette formant une fosse de calage dans laquelle est encore visible le fantôme du poteau. Il recoupe la structure 214 le long de son bord sud-ouest composant avec elle l'ensemble B.

Comblement : *US 335.02* : couche sablo-limoneuse brun gris orangée, meuble et hétérogène ayant livré de fragments de céramique et de restes fauniques à plat en particulier vers la paroi sud-ouest. *US 335.03* : couche sablo-limoneuse de couleur brun clair à jaune, meuble et homogène avec des rares inclusions de terre

cuite et de céramique. La couche recouvre sur une faible épaisseur le fond de la fosse. *US 335.03* : couche sablo-limoneuse de couleur brun clair à jaune, meuble et homogène avec des rares inclusions de terre cuite et de céramique. La couche recouvre sur une faible épaisseur le fond de la fosse. *US 335.04* : couche sablo-limoneuse brun gris foncé proche de 335.02 mais plus foncée et située entre le fantôme du poteau 333.05-06 et la paroi nord-est de la fosse de calage. *US 335.05* : couche sablo-limoneuse de couleur brun gris très foncé à noir d'aspect hétérogène et peu compacte. Elle est caractérisée par la présence d'agrégats d'argile couleur jaunâtre, inclusions centimétriques de terre cuite et des fragments de céramique et fauniques. *US 335.06* : limite de creusement du poteau *US 335.05*.

Mobilier : céramique et faune.



ST : 336

Type de Structure : Fosse

Forme : Circulaire

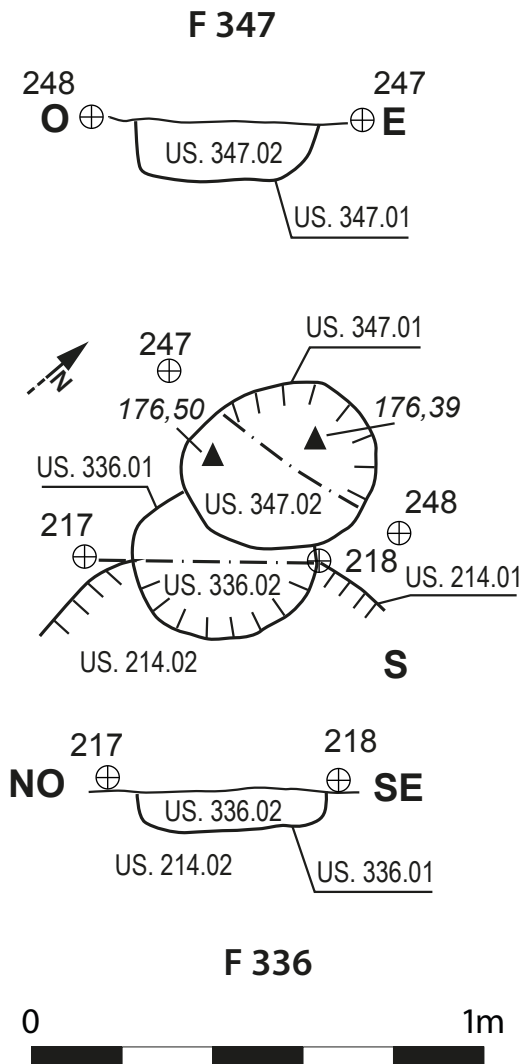
Interprétation : Trou de poteau

Dimension (L x l x P) en m : 0,40 x 0,35 x 0,12

Description : creusement circulaire de petites dimensions aux parois légèrement évasées et fond plat qui recoupe la structure 214.

Comblement : US 336.02 : couche sablo-limoneuse de couleur brun gris clair tachetée jaune, meuble et d'aspect hétérogène. Elle se caractérise par la présence de rares inclusions millimétriques de terre cuite et quelques fragments de céramique ainsi que des scories.

Mobilier : céramique, scorie



ST : 337

Type de Structure : Fosse

Forme : Circulaire

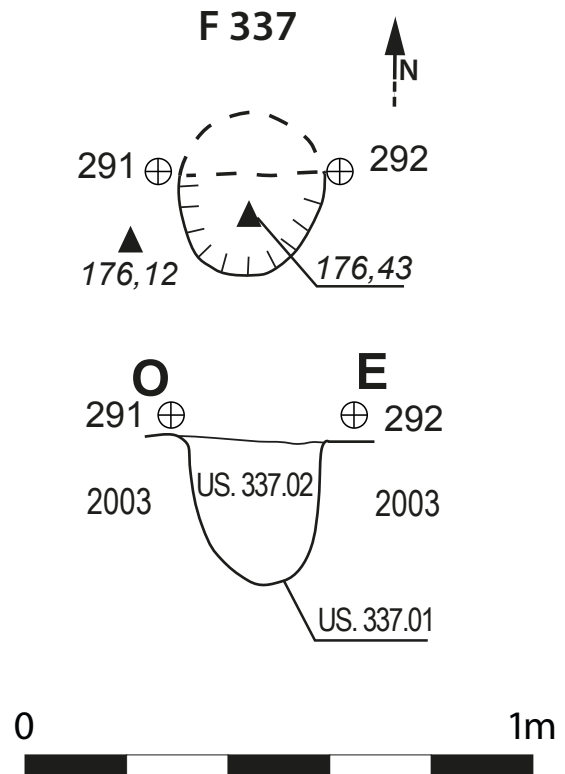
Interprétation : Trou de poteau

Dimension (L x l x P) en m : 0,28 x 0,20 x 0,32

Description : creusement circulaire de petites dimensions aux parois verticales et fond en cuvette qui coupe la structure 204

Comblement : US 337.02 : couche sablo-limoneuse de couleur brun clair à jaune, meuble et homogène. Elle est caractérisée par la présence de rares inclusions de terre cuite, quelques fragments de céramique, faune ainsi que de fragments d'ordre centimétrique (1 à 3 cm) de terre cuite rubéfiée type parois de four.

Mobilier : céramique, faune, terre artisanale



ST : 340

Type de Structure : Fosse

Forme : Irrégulière

Interprétation : Fosse avec aménagement

Dimension (L x l x P) en m : 0,35 x 0,10 x 0,20

Description : creusement de forme allongé et incurvé de petites dimensions découvert dans le quart sud-ouest de la structure 239.

Comblement : US 340.02 : couche sablo-limoneuse de couleur orange à jaune clair, meuble et homogène ayant livré quelques fragments de faune.

cf. figure Str. 239

ST : 341

Type de Structure : Fosse

Forme : Ovalaire

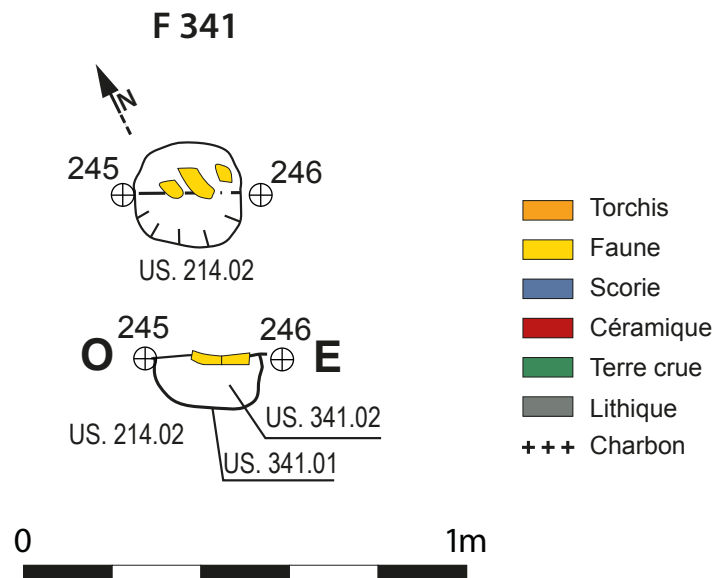
Interprétation : Trou de poteau

Dimension (L x l x P) en m : 0,22 x 0,22 x 0,12

Description : creusement circulaire de petites dimensions aux parois verticales et fond plat. Découvert dans le quart nord-ouest de la structure 214 dont il coupe le comblement supérieur 214.02

Comblement : 341.02 : couche sablo-limoneuse de couleur brun gris très foncé meuble et homogène avec des inclusions de terre cuite et caractérisée par la présence de nombreux restes fauniques.

Mobilier : céramique, faune



ST : 342

Type de Structure : Fosse

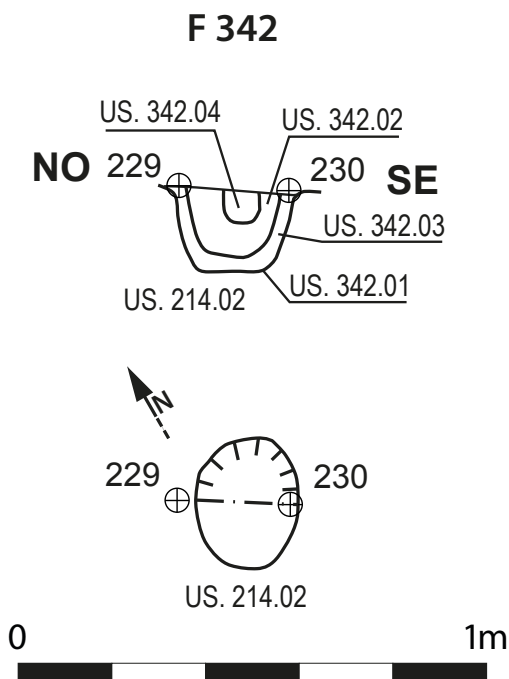
Interprétation : Fosse de calage, avec négatif du poteau

Dimension (L x l x P) en m : 0,20 x 0,14 x 0,16

Description : creusement circulaire aux parois légèrement évasées et fond en cuvette. Découvert dans le quart sud-est de la structure 210 dont il coupe le comblement 210.02 et 210.03 et le creusement 210.06.

Comblement : *US 342.02* : couche sablo-limoneuse de couleur gris foncé, meuble et homogène correspondant au comblement de la fosse dans laquelle s'installe le poteau 342.04. *US 343.03* : couche sablo-limoneuse de couleur jaune clair meuble et homogène formant un liseré de couleur jaune visible en coupe. Elle correspond probablement à une déposition du sédiment liée au creusement du calage pour l'installation du poteau. *US 342.04* : couche sablo-limoneuse de couleur beige jaune clair, meuble et homogène correspondant au négatif du poteau

Mobilier : céramique, faune



ST : 345

Type de Structure : Fosse

Forme : Circulaire

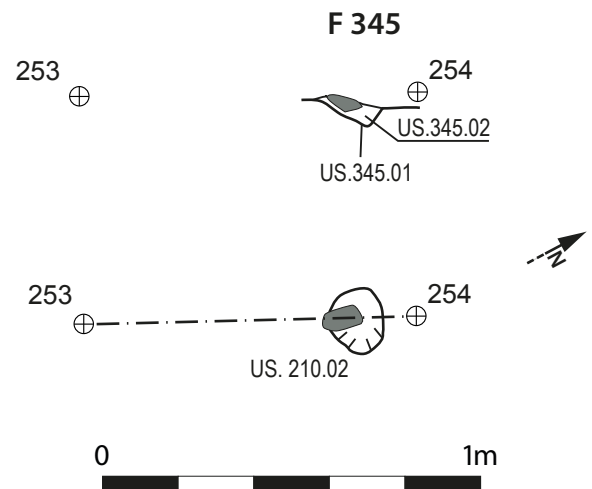
Interprétation : Trou de poteau

Dimension (L x l x P) en m : 0,15 X 0,15 X 0,12

Description : Creusement circulaire aux parois légèrement évasées et fond en cuvette. Découvert dans le quart sud-est de la structure 210 dont il coupe le comblement 210.02 et 210.03 et le creusement 210.06.

Comblement : *US 345.02* : couche sablo-limoneuse gris-brun bleutée avec de petites poches de sable jaune, homogène, caractérisée par la présence de fragments de scories et de faune. Un tesson de céramique tapisse le fond du poteau.

Mobilier : céramique



ST : 347

Type de Structure : Fosse

Forme : Ovalaire

Interprétation : Trou de poteau

Dimension (L x l x P) en m : 0,47 X 0,30 X 0,13

Description : Creusement ovalaire aux parois verticales et fond plat.

Comblement : *US 347.02* : couche sablo-limoneuse de couleur brun foncé à noir, meuble et homogène ayant livré des fragments de céramique, de faune et quelques scories ainsi que du mobilier lithique.

Mobilier : céramique, faune, scorie, lithique

Cf. figure Str. 336

ST : 348

Type de Structure : Fosse

Forme : Circulaire

Interprétation : Trou de poteau

Dimension (L x l x P) en m : 0,40x0,20

Description : Creusement circulaire aux parois verticales et fond plat correspondant à un trou de poteau recoupé le long de son bord est par la structure 238

Comblement : *US 348.02* : couche sablo-limoneuse de couleur gris brun jaunâtre, meuble et homogène sans inclusions ni mobilier. *US 348.03* : couche sablo-limoneuse brun foncé rougeâtre sans mobilier ni inclusions.

Cf. figure Str 238

ST : 349

Type de Structure : Fosse

Forme : Circulaire

Interprétation : Trou de poteau

Dimension (L x l x P) en m : 0,30 X 0,30 x 0,36

Description : Creusement circulaire aux parois verticales et fond plat qui recoupe la structure 239 le long de son bord sud-ouest.

Comblement : *US 349.02* : couche sablo-limoneuse de couleur jaune foncé meuble et homogène avec des

rare fragments céramiques centimétriques

Mobilier : céramique

Cf. figure Str 239

ST : 352

Type de Structure : Aménagement

Forme : Autre

Dimension (L x l x P) en m : 0,2 X 0,2 X 0,06

Description : Aménagement modelé dans le niveau de sol 210.05 de forme circulaire, prolongé d'un creux longitudinal placé en oblique comblé par 352.02 (partie circulaire) et 210.02 (pour la partie longitudinale).

Comblement : *US 352.02* : couche sablo-limoneuse noire-bleutée, hétérogène avec de petites poches jaune-orangée qui tapisse le fond de la partie circulaire de la structure.

ST : 353

Type de Structure : Fosse

Forme : Circulaire

Interprétation : Trou de poteau

Dimension (L x l x P) en m : 0,15 X 0,15 X 0,2

Description : Creusement circulaire aux parois verticales et fond en cuvette. Découvert dans le quart nord-ouest de la structure 210 dont il sert d'appui au comblement 210.02.

Comblement : *US 353.02* : couche sablo-limoneuse gris-brun avec de petites poches de sable jaune, homogène qui semble scellée par un niveau de sable jaune dans sa partie supérieure. *US 353.03* : couche sablo-limoneuse brun-grisâtre, homogène qui tapisse le fond du trou de poteau et qui dispose de gros fragments de panse de céramiques, reste d'un calage possible du poteau.

Cf. figure Str 210

ST : 354

Type de Structure : Fosse

Forme : Circulaire

Interprétation : Trou de poteau

Dimension (L x l x P) en m : 0,2 X 0,2 X 0,14

Description : Creusement circulaire aux parois verticales et fond en oblique. Découvert dans le quart sud-est de la structure 210 où il s'appuie sur 210.05 et sert d'appui à 210.02 (?). Il est recoupé par 210.06.

Comblement : US 354.02 : couche sablo-limoneuse gris-brun foncé avec de petites poches de sable jaune, homogène avec quelques tessons de céramiques.

Mobilier : céramique

ST : 355

Type de Structure : Fosse

Forme : Ovalaire

Interprétation : Trou de poteau

Dimension (L x l x P) en m : 0,24 X 0,19 X 0,1

Description : Creusement de forme ovalaire. A compléter en 2023.

Comblement : 355.02 : couche sablo-limoneuse marron-grisâtre meuble et homogène avec un gros fragment de panse qui semble former un calage ?

Mobilier : céramique

ST : 356

Type de Structure : Fosse

Forme : Circulaire

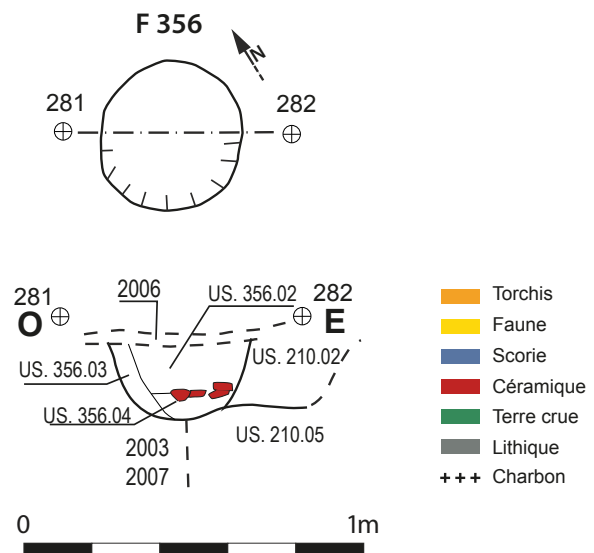
Interprétation : Trou de poteau

Dimension (L x l x P) en m : 0,4 X 0,4 X 0,25

Description : Creusement circulaire aux parois évasées et fond en cuvette. Découvert dans le quart nord-ouest de la structure 210. Il semble s'appuyer sur 210.05 à l'est alors qu'il recoupe 2003/2007 à l'ouest. En bordure de la structure.

Comblement : US 356.02 : couche sablo-limoneuse brun-grisâtre, hétérogène et meuble avec un peu de mobilier et de petites poches de sable jaune. US 356.03 : couche sablo-limoneuse brun-jaunâtre, homogène et meuble. US 356.04 : couche sablo-limoneuse noire-jaunâtre, hétérogène avec de petites poches jaune-orangée qui tapisse le fond de la partie circulaire de la structure. Elle contenait de gros morceaux de panse destinés au calage du poteau.

Mobilier : céramique



ST : 357

Type de Structure : Fosse

Forme : Circulaire

Dimension (L x l x P) en m : 0,26 X 0,26 X 0,13

Description : creusement circulaire aux parois droites et fond plat. Découvert dans le quart sud-ouest de la structure 210. Il semble s'appuyer sur 210.05. En bordure interne de la structure.

Comblement : US 357.02 : couche sablo-limoneuse noire-jaunâtre, hétérogène avec de petites poches jaune-orangée avec fragments de faune et de céramique. US 357.03 : couche sablo-limoneuse noire, homogène et meuble, qui tapisse le fond du poteau.

Mobilier : faune, céramique

ST : 358

Type de Structure : Fosse

Forme : Circulaire

Interprétation : Trou de piquet

Dimension (L x l x P) en m : 0,10 x 0,10 x 0,10

Description : Creusement circulaire de petites dimensions aux parois légèrement évasées et fond en cuvette situé à proximité du trou de poteau 349 et découvert pendant la fouille de la structure 239. Il s'agit d'un probable aménagement en lien avec un état de fonctionnement de la structure.

Comblement : US 358.02 : couche sablo-limoneuse de couleur jaune clair, meuble et homogène sans mobilier et peu anthropisée.

ST : 359

Type de Structure : Fosse

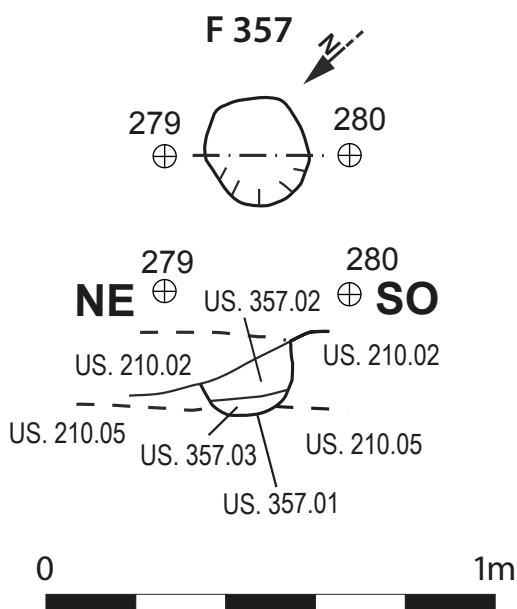
Forme : Indéterminé

Interprétation : Trou de poteau

Dimension (L x l x P) en m : 0,55 (P)

Description : Creusement de forme irrégulière à fond plat dans lequel s'installent les trois fosses 241, 361 et 360. En cours de fouille.

Cf. figure Str 238



ST : 360

Type de Structure : Fosse

Forme : Circulaire

Interprétation : Trou de poteau

Dimension (L x l x P) en m : 0,20 X 0,20 X 0,14

Description : Creusement de petites dimensions de forme circulaire aux parois légèrement évasées et fond en cuvette. Il est aménagé dans la fosse 359 et il est coupé par la fosse 361 à l'ouest.

Comblement : 360.02 : couche sablo-limoneuse de couleur brun clair hétérogène et compacte avec des nombreuses inclusions argileuses de couleur beige à jaune.

Mobilier : céramique

Cf. figure 359

ST : 361

Type de Structure : Fosse

Forme : Circulaire

Interprétation : Trou de poteau

Dimension (L x l x P) en m : 0,27 X 0,27 X 0,13

Description : Creusement de petites dimensions de forme circulaire aux parois légèrement évasées et fond en cuvette. Il est aménagé dans la fosse 359, il coupe la structure 360 à l'est et il est coupé par la fosse 241 à l'ouest.

Comblement : US 361.02 : couche sablo-limoneuse de couleur brun clair hétérogène et compacte avec des nombreuses inclusions argileuses de couleur beige à jaune

Mobilier : céramique, faune

Cf. figure 359

ST : 363

Type de Structure : Fosse

Forme : Ovale

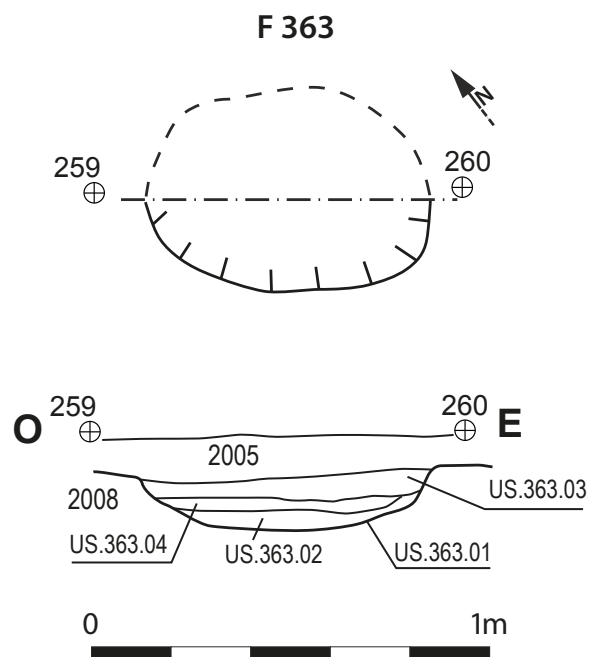
Interprétation : Trou de poteau

Dimension (L x l x P) en m : 0,7 X 0,4 X 0,15

Description : Creusement ovale aux parois légèrement évasées et fond en cuvette. La structure est apparue après décapage manuel de l'US 2005 dans le carré 3.

Comblement : US 363.02 : couche sablo-limoneuse finement argileuse et très compacte de couleur brun clair homogène caractérisée par des inclusions millimétriques de terre cuite et de fragments de faune et céramique. Par sa texture et composition elle correspond à un reliquat de l'US 2005, niveau de piétinement et recharge de sol de la dernière phase d'occupation du site. US 363.03 : couche limono-sableuse finement argileuse de couleur brun grisâtre compacte et hétérogène avec inclusions millimétriques de terre cuite et peu anthropisée. Elle s'apparente à l'US 2008. US 363.04 : couche limono-sableuse de couleur brun clair meuble et homogène correspondant à une déposition naturelle du sédiment sur le fond de la structure

Mobilier : céramique, faune



ST 364

Type de Structure : Fosse

Forme : Ovale

Interprétation : Trou de poteau

Description : Creusement circulaire de petites dimensions aux parois verticales et fond plat. Installé dans l'US 2003 et coupant les deux niveaux de piétinement 2006 et 2008.

Comblement : US 364.02 : couche sablo-limoneuse finement argileuse très compacte de couleur gris à noir avec inclusions millimétriques de charbons et terre cuite. Peu anthropisée

US 364.03 : couche sablo-limoneuse finement argileuse très compacte de couleur brun foncé à noir avec inclusions millimétriques de charbons et terre cuite. Peu anthropisée

ST : 368

Type de Structure : Fosse

Forme : Ovale

Interprétation : Trou de poteau

Dimension (L x l x P) en m : 0,4 X 0,3 X 0,1

Description : Creusement de forme ovale. A compléter en 2023.

Comblement : US 368.02 : couche sablo-limoneuse grise meuble et homogène avec de gros fragments de panse d'amphore qui semble former un calage ?

Mobilier : céramique

ST : 366

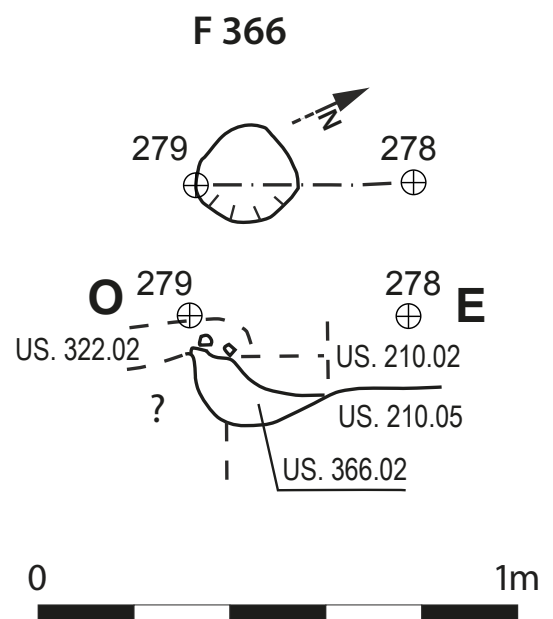
Type de Structure : Fosse

Forme : Circulaire

Dimension (L x l x P) en m : 0,2 X 0,2 X 0,15

Description : Creusement circulaire aux parois droites et fond plat. Découvert dans le quart sud-est de la structure 210. Il semble s'appuyer sur 210.05. En bordure interne de la structure. Côté sud, il est mal caractérisé car en bord de berme et recoupé par F322.

Comblement : US 366.02 : couche sablo-limoneuse noire-jaunâtre, hétérogène et meuble, avec de petites poches jaune-orangée.



ST : 370

Type de Structure : Fosse

Forme : Circulaire

Interprétation : Trou de poteau

Dimension (L x l x P) en m : 0,52 X 0,52 X 0,23

Description : Creusement circulaire aux parois légèrement évasées et fond plat. Il recoupe le long de son bord nord la structure 203

Comblement : US 370.02 : couche sablo-limoneuse de couleur brun, meuble et ayant livré plusieurs fragments de céramique ainsi que des éléments lithiques.

Mobilier : céramique, lithique

ST : 376

Type de Structure : Fosse

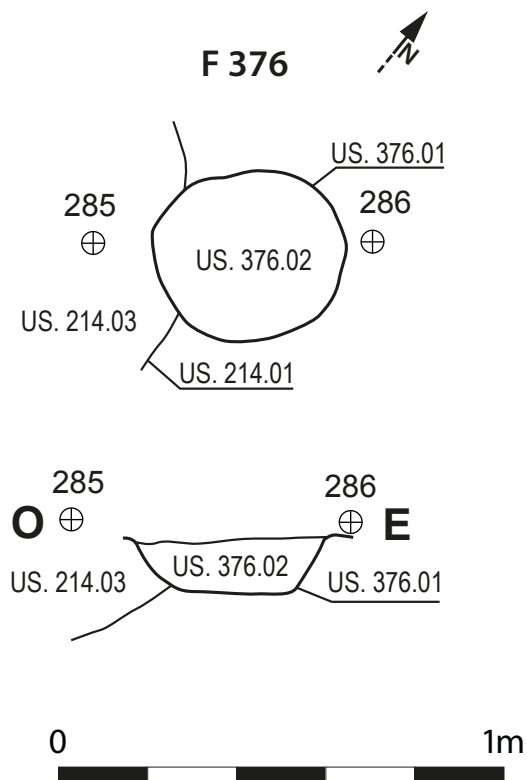
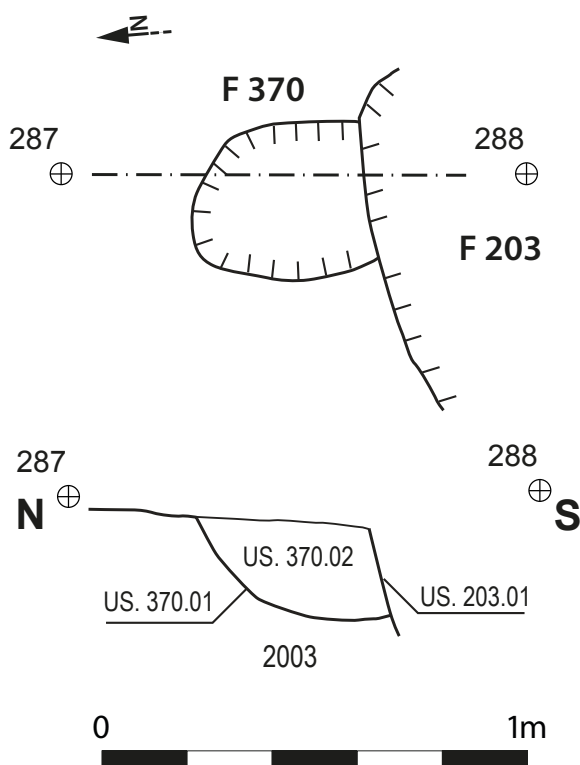
Forme : Ovaleire

Dimension (L x l x P) en m : 0,40 X 0,30 X 0,20

Description : Creusement ovaleire qui semble avoir recoupé la structure 214 dans son quart sud-ouest.

Comblement : US 376.02 : couche sablo-limoneuse couleur brun clair, homogène meuble ayant livré des fragments de céramique, lithiques, fauniques et quelques scories. Deux fragments de céramiques étaient posés à plat contre le bord supérieur du creusement au niveau supérieur du comblement.

Mobilier : céramique, faune, lithique, scorie



Y 2022



ANNEXES



| | |
|--|-----|
| ANNEXE 1 - LISTE DES US FOUILLÉES EN 2022 | 212 |
| ANNEXE 2 - LISTING DES US HORS STRUCTURES DU SECTEUR 2 ET 3 | 218 |
| ANNEXE 3 - LISTING DES PHOTOGRAPHIES DU SECTEUR 2 (2022) | 220 |
| ANNEXE 4 - LISTING DES PHOTOGRAPHIES DU SECTEUR 3 (2022) | 232 |
| ANNEXE 5 - LISTING DES RELEVÉS DU SECTEUR 2 ET 3 (2022) | 233 |
| ANNEXE 6 - LISTING DES POINTS TOPOGRAPHIQUES (2022) | 235 |
| ANNEXE 7 - LISTING DES PRÉLÈVEMENTS DES SECTEURS 2 ET 3 (2022) | 254 |
| ANNEXE 8 - LISTING DES ISOLATIONS DU SECTEUR 2 (2022) | 257 |
| ANNEXE 9 - PRÉ-INVENTAIRE DU MOBILIER DU SECTEUR 1 (2021) | 258 |
| ANNEXE 10 - PRÉ-INVENTAIRE DU MOBILIER DU SECTEUR 2 (2022) | 309 |
| ANNEXE 11 - PRÉ-INVENTAIRE DU MOBILIER DU SECTEUR 3 (2022) | 347 |
| ANNEXE 12 - INVENTAIRE DU MOBILIER MÉTALLIQUE, DES OBJETS EN MATIÈRE ORGANIQUE FOSSILE, EN TERRE CUITE, EN MATIÈRE DURE ANIMALE | 350 |
| ANNEXE 13 - PRÉ-INVENTAIRE DES AMPHORES ET AUTRES IMPORTATIONS TROUVÉES EN 2022 . | 363 |
| ANNEXE 12 - PRÉ-INVENTAIRE DES SCORIES DES SECTEURS 1-2 ET 3 | 365 |
| ANNEXE 15 - INVENTAIRE SIMPLIFIÉ DU MOBILIER LITHIQUE DU SECTEUR 2 ET 3 | 371 |

| US | Type US | Description | Mobilier | Etat |
|---------------|------------------|---|--|---------|
| 200.01 | Creusement | Creusement de forme ovulaire aux bords légèrement évasés et fond en cuvette | | Fouillé |
| 200.02 | Comblement supé | Couche sablo-limoneuse de couleur brun jaunâtre, meuble et hétérogène. Traces de racines dans la partie supérieure | céramique, fragments de faune | Fouillé |
| 200.03 | Comblement infér | Couche sablo-limoneuse de couleur brun foncé, meuble et homogène | céramique, faune, lithique | Fouillé |
| 201.01 | Creusement | Creusement ovulaire aux parois légèrement évasées et fond plat. La structure correspond à la moitié sud de la ST 48 du secteur 1 Bragny 2021. Elle est recoupé au sud par 344 non fouillée en 2022. | | Fouillé |
| 201.02 | Comblement supé | Couche sablo-limoneuse de couleur brun jaunâtre, compacte et hétérogène | Céramique, faune, scories, meule, alliages cuivreux, matériaux de construction | Fouillé |
| 201.03 | Comblement inter | Couche limono argileuse de couleur noir, meuble et homogène, riche en apports anthropiques | Céramique, faune, scories, meule, alliages cuivreux, matériaux de construction, lithique | Fouillé |
| 201.04 | Comblement infér | Couche sablo-limoneuse de couleur brun à orange foncé, peu compacte et homogène. Elle se distingue par son caractère très peu anthropisé et situé en interface entre le niveau géologique US 2007 et le comblement 201.03. | | Fouillé |
| 202.01 | Creusement | Creusement de forme ovulaire aux parois verticales et fond plat. | Rares fragments de céramique, scories | Fouillé |
| 202.02 | Comblement | Couche sablo-limoneuse de couleur brun clair, meuble et homogène et peu anthropisée | | Fouillé |
| 203.01 | Creusement | Creusement circulaire irrégulier aux parois évasées et fond plat et irrégulier | | Fouillé |
| 203.02 | Comblement infér | Couche de couleur brun clair jaunâtre, peu compacte et homogène. Le sédiment est aménagé le long des parois formant une sorte de banquette d'épaisseur comprise entre 20 et 40 cm. | | Fouillé |
| 203.03 | Comblement supé | Couche sablo-limoneuse de couleur brun gris foncé à noir, meuble et hétérogène. Le mobilier archéologique ainsi que de nombreuses inclusions millimétriques charbonneuses sont concentrés surtout dans la moitié inférieure de la couche. Le comblement s'appuie contre l'US 403.02 | Faune, Céramiques, Fer, Alliage cuivreux, Scories, Lithique | Fouillé |
| 204.01 | Creusement | Creusement circulaire à parois verticales et fond en cuvette | | Fouillé |
| 204.02 | Comblement | Couche sablo-limoneuse de couleur brun gris clair, meuble et hétérogène. | Céramique, faune | Fouillé |
| 208.01 | Creusement | Creusement ovulaire aux parois légèrement évasées et fond plat. Elle correspond à la partie manquante de la ST 46 fouillée partiellement en 2021 dans le secteur 1, située en bord de berme sud. | | Fouillé |
| 208.02 | Comblement supé | Couche sablo-limoneuse de couleur brun gris clair, meuble, hétérogène et riche en mobilier. Dans sa partie supérieure la couche est encore partiellement altérée par l'action des racines | Faune, Céramiques, Fer, Alliage cuivreux, Scories, Lithique, Argile crue | Fouillé |

| US | Type US | Description | Mobilier | Etat |
|---------------|------------------|---|---|---------------------|
| 208.03 | Comblement infér | Couche sablo-limoneuse de couleur brun foncé à noir, compacte et d'aspect homogène. Elle se caractérise par une faible anthropisation. | | Fouillé |
| 210.01 | Creusement | Couche sablo-limoneuse de couleur brun grisâtre, d'aspect hétérogène avec de petites poches de sable jaune. Elle est riche en mobilier (scorie, parois de four, métal, faune, déchets de bronze, céramique, meule et argile blanche). De gros fragments de charbons ont été repérés et prélevés dans l'angle sud-ouest de la fosse. | Faune , Céramiques, Métal, Scories (3kg), Argile blanche crue, lithique | En cours de fouille |
| 210.02 | Comblement | Couche sablo-limoneuse de couleur brun foncé à noir, d'aspect hétérogène avec de petites poches de sable jaune. Elle est riche en mobilier (scorie, faune dont deux mandibules quasi complètes, céramique). | Faune, céramique, fer, alliages cuivreux, scories, lithique, argile blanche | En cours de fouille |
| 210.03 | Comblement | Aménagement modelé à partir d'un sédiment sablo-limoneux à grain moyen de couleur brun-grisâtre tacheté orangé, hétérogène et compacte, localement plus charbonneux. Il forme une fosse rectangulaire aux angles arrondis. A l'intérieur de la fosse, une zone centrale de forme quadrangulaire aux angles également arrondis, apparaît en relief pour former une possible aire de travail. Elle mesure 0,5X0,4m pour une hauteur évaluée entre 0,2 et 0,3 m et dispose de gros morceaux de céramiques pris dans sa structure. Situés à quelques centimètres au nord-est de celle-ci, plusieurs autres aménagements ont été modelés : un canal (F 352) et des bourrelets situés dans le prolongement de ce dernier qui pourrait rappeler un emplacement pour caler un système de soufflerie. Divers poteaux (352-353-354-355-356-357-366-368-382) témoignent aussi d'aménagements en lien avec ce niveau de sol. A noter, des morceaux d'argile blanche crue devraient poser sur le sol dans la zone sud-ouest, recouvert par 210.02. | Faune , Céramiques, Scories | Fouillé |
| 210.05 | Construction | Creusement de forme rectangulaire aux angles arrondis, aux bords verticaux et au fond plat, s'appuyant sur 210.05 et recoupant 2006, 210.02, 354.02, 354.01, tout étant recoupé par 345.01. | Céramiques | En cours de fouille |
| 210.06 | Creusement | Creusement rectangulaire aux angles arrondis et de faible profondeur. Les parois sont légèrement évasées et le fond résulte plat tout en étant légèrement irrégulier. Les limites nord-est et nord-ouest apparaissent diffuses. La structure est aménagée dans l'US 2003 et dans sa partie septentrionale elle est recoupée par la structure 57 située dans la berme sud du secteur 1 adjacent. | | Fouillé |
| 214.01 | Creusement | Couche sablo-limoneuse finement argileuse de couleur brun gris foncé, meuble et hétérogène. Elle se caractérise par des inclusions millimétriques et éparces de terre cuite et une concentration abondante de mobilier archéologique, en particulier de restes fauniques. | Céramique, Scories, Lithique (meule), Faune, Lithique autre | Fouillé |
| 214.02 | Comblement supé | | | Fouillé |

| US | Type US | Description | Mobilier | Etat |
|---------------|------------------|---|---|-------------------|
| 214.03 | Comblement infér | Couche sablo-limoneuse de couleur brun orangé à brun jaunâtre, peu compacte et hétérogène. Elle se caractérise par la présence d'inclusions millimétriques et éparces de terre cuite et une moindre concentration en mobilier archéologique mais qui demeure diversifié | Céramique, Scories, Faune | Fouillé |
| 214.04 | Comblement supé | Fine couche superficielle sablo-limoneuse finement argileuse, de couleur brun foncé peu organique et anthropisée. En coupe sont encore visibles plusieurs racines et de rares fragments millimétriques de faune = 2005? | Faune | Fouillé |
| 218.01 | Creusement | Creusement circulaire aux parois verticales et fond légèrement en cuvette. La structure a été aménagée dans l'US 2007 recoupant ainsi les niveaux US 2008 et 2009 plus anciens de la vie de l'habitat. | | Fouillée à moitié |
| 218.02 | Comblement | Couche sablo-limoneuse de couleur brun gris, compacte et homogène. Elle n'a livré qu'un seul fragment de céramique, non diagnostique | Céramique | Fouillée à moitié |
| 223.01 | Creusement | Creusement circulaire de petites dimensions et arasé aux parois évasées et fond plat. La structure a été aménagée en de-dessous du niveau US 2005. Bien que conservé sur une faible profondeur, son comblement riche en inclusions organique pourrait indiquer l'existence d'un négatif de poteau | | Fouillé |
| 223.02 | Comblement | Couche sablo-limoneuse de couleur brun jaunâtre meuble et homogène riche en inclusions millimétriques de terre cuite et de charbons. et n'ayant pas livré de mobilier archéologique. | | Fouillé |
| 227.01 | Creusement | Creusement circulaire de petites dimensions aux parois légèrement évasées et fond plat. | | Fouillé |
| 227.02 | Comblement | Couche sablo-limoneuse finement argileuse de couleur brun gris foncé à très foncé vers sa moitié inférieure, peu compacte et homogène. Elle se caractérise par la présence d'inclusions millimétriques de terre cuite et la présence de nodules centimétriques de terre à bâtir de couleur beige. | Céramique, Faune, Lithique, Terre artisanale | Fouillé |
| 228.01 | Creusement | Creusement circulaire de forme un peu irrégulière et petites dimensions, aux parois évasées et fond plat légèrement irrégulier. | | Fouillé |
| 228.02 | Comblement supé | Couche sablo-limoneuse finement argileuse de couleur noir tacheté jaune, meuble et hétérogène riche en inclusion millimétriques de charbon et de terre cuite | Céramique, Faune, Matériaux de construction (TBR) | Fouillé |
| 228.03 | Comblement infér | Couche sablo-limoneuse de couleur brun clair à jaune, meuble et homogène avec des inclusions millimétriques de charbons et terre cuite et sans mobilier correspondant au comblement de la fosse de calage pour le poteau US 228.02 | | Fouillé |
| 231.01 | Creusement | Creusement ovalaire aux parois évasées et fond plat | | Fouillé |

| US | Type US | Description | Mobilier | Etat |
|---------------|-----------------------------|---|--|---------|
| 231.02 | Comblement | Couche limono-sableuse finement argileuse de couleur brun gris foncé, meuble et homogène caractérisée par la présence de rares inclusions de terre cuite millimétriques et des fragments de faune et céramiques centimétriques et occasionnels | Céramique, Faune | Fouillé |
| 235.01 | Creusement | Creusement rectangulaire irrégulier aux angles arrondis avec parois verticales ayant un profil légèrement concave. Le fond est plat et les bords supérieurs sont diffus rendant la lecture parfois difficile. La structure est coupée par quatre autres fosses de taille variée altérant partiellement la lecture des comblements supérieurs. | | Fouillé |
| 235.02 | Comblement | Couche sablo-limoneuse de couleur brun foncé, matrice granuleuse très fine à moyen composée de sables fins à très fins. Sa texture se caractérise également par la présence d'inclusions millimétriques de terre cuite et de charbons ainsi que de battitures. Le mobilier est à plat ou en position oblique et se compose de fragments centimétriques de céramique, ainsi que de fragments de faune, de meule et des éléments lithiques. Sont également attestées les scories, des fragments d'alliage cuivreux et des battitures éparées dans la couche. Un prélèvement a été réalisé pour mieux caractériser fonctionnellement cet assemblage. | Céramique, Métal, Faune, Scories, Lithique | Fouillé |
| 236.01 | Creusement | Creusement quadrangulaire aux angles arrondis coupé le long de son bord septentrional par la ST 350, non fouillée. Les parois sont verticales et légèrement évasées et le fond est plat. | | Fouillé |
| 236.02 | Comblement supé lamellaire. | Couche sablo-limoneuse à sable très fin à moyen et finement argileuse de couleur brun noirâtre, meuble, hétérogène avec inclusions millimétriques de charbon, de terre cuite diffuses et une poche d'argile de couleur blanche. Le mobilier est mieux représenté dans la moitié supérieure de la couche et sa limite inférieure est nette. On remarque également la présence de battitures | Céramique, Faune, Scorie, Lithique, Terre artisanale | Fouillé |
| 236.03 | Comblement inter | Couche sablo-limoneuse à sable fin à très fin, texture massive avec inclusion d'agrégats brun jaunâtres près de la limite sud-est. en interface avec le niveau 2003. Son aspect résulte hétérogène et le sédiment est meuble. On remarque également la présence de quelques battitures millimétriques et éparées avec de fragments millimétriques de charbon et de terre cuite. Des fragments de céramique, de faune et lithique ainsi que de nodules de terre à bâtir sont aussi présents. | Céramique, Faune, Lithique, Terre à bâtir | Fouillé |
| 236.04 | Comblement infé | Couche sableuse avec sable fin à très fin finement limoneuse, matrice massif, plus compacte et granulo-argileuse vers le fond faiblement anthropisée. Elle est de couleur brun clair jaunâtre, meuble et d'aspect hétérogène. Les inclusions millimétriques de charbons et de terre cuite sont sporadiques. Le mobilier y est peu documenté et il se compose de quelques fragments | Faune | Fouillé |

| US | Type US | Description | Mobilier | Etat |
|---------------|------------------|--|--|---------|
| 236.06 | Comblement infér | Couche sablo-limoneuse à sable fin à très fin en position d'interface entre le comblement finale et le niveau de sol ancien 2007 vers la limite de creusement.. Elle est de couleur brun clair à jaune, meuble et homogène et elle présente des inclusions de petits graviers et un fragment centimétrique de céramique ayant migré depuis la couche supérieure. De par sa nature, texture et couleur elle interprétable comme un niveau altéré de 2007 ou bien comme un épisode de sédimentation naturelle dans une fosse laissée à l'air et sans protection. | | Fouillé |
| 238.01 | Creusement | Creusement circulaire aux parois verticales et fond plat qui coupe les fosses 348 et 235, la fosse 348 recoupant elle aussi la fosse 235 plus ancienne | | Fouillé |
| 238.02 | Comblement supé | Couche sablo-limoneuse de couleur brun gris foncé caractérisée par des litages et des inclusions centimétriques de terre cuite et de fragments centimétriques de céramique roulée. | Céramique | Fouillé |
| 238.03 | Comblement infér | Couche limono-sableuse brun gris clair avec litages fins et réguliers et petit enfoncement en cuvette vers la paroi sud-est suggérant la possibilité qu'il s'agisse d'un calage. | | Fouillé |
| 239.01 | Creusement | Creusement circulaire aux parois légèrement évassées au profil concave et fond plat. La structure est associée à un poteau dans sa première phase de fonctionnement (ST 349) puis réaménagée dans un deuxième temps donnant lieu aux deux comblements supérieurs les plus riches en mobilier. Bien que les limites soient nettes les comblements supérieurs ont été remaniés par l'action de racines ici assez denses et au moins un terrier visible dans le quart SE. | | Fouillé |
| 239.02 | Comblement supé | Couche limono-sableuse finement argileuse avec sables très fins à fines et rares sables moyens, de couleur brun foncé, compact et d'aspect homogène. Elle présente des inclusions millimétriques de charbon et de fragments diffus de terre cuite de couleur rouge, jaune-orange millimétriques et rose de taille allant de 2 mm à 2 cm. | Céramique, Scoris, Faune | Fouillé |
| 239.03 | Comblement inter | Couche sablo-argileuse finement limoneuse avec sables très fin à moyen, texture massive avec des légers litages. Elle est de couleur brun à brun gris foncé, meuble et d'aspect homogène. Il est à souligner la présence d'une concentration d'argile crue au centre de la couche associée à quelques fragments céramiques disposés à plat et des restes fauniques. | Céramique, Lithique, Terre artisanale, 1 fibule (ISO 41) | Fouillé |
| 239.04 | Comblement infér | Couche sablo-limoneuse avec sable très fin à moyen, de couleur brun noirâtre, meuble et légèrement limitée vers le fond où l'on remarque une percolation de micro charbons depuis le niveau supérieur de la couche où se trouvent des poussières charbonneuses qui lui ont conféré cette nuance plus foncée. Par texture, couleur et matrice très proche de 2007 mais plus perturbée; on se situe donc vers une phase de transition entre le comblement inférieur et le niveau de sol 2007. Très peu de mobilier y a été retrouvé, de dimensions millimétriques à centimétriques et plutôt dans la partie supérieure de la couche. | Céramique, Lithique, Faune, Scorie | Fouillé |
| 240.01 | Creusement | Creusement circulaire aux parois verticales et fond plat. | | Fouillé |

| US | Type US | Description | Mobilier | Etat |
|---------------|------------|---|--------------------------|-------------------|
| 240.02 | Comblement | Couche sablo-limoneuse de couleur brun clair jaunâtre, meuble et d'aspect homogène contenant de fragments de céramique, d'alliage cuivreux et scories. | Céramique, Scorie, Métal | Fouillé |
| 241.01 | Creusement | Creusement circulaire aux parois verticales et fond plat de petites dimensions et faible profondeur. La structure est aménagée dans 359 et elle recoupe le trou de poteau 361 situé à l'ouest. | | Fouillé |
| 241.02 | Comblement | Couche sablo-limoneuse de couleur brun clair, meuble et d'aspect hétérogène caractérisée par la présence de quelques inclusions millimétriques de charbon et de terre cuite, des poches d'argiles beige ainsi que des fragments de céramique et de faune. | Céramique, Faune | Fouillée à moitié |
| 326.01 | Creusement | Creusement circulaire aux parois évasées et fond plat. Découvert près du quart sud-est de la structure 210, recoupant le niveau géologique 2003 ou 2007. | | Fouillé |
| 326.02 | Comblement | Couche sablo-limoneuse brun-grisâtre, homogène et meuble avec un peu de mobilier (scorie et faune). | Scorie, faune, céramique | Fouillé |

| Listing des US hors structures des secteurs 2 et 3 | | | |
|--|------|-----------------------------|--|
| Secteur | US | Type de niveau | |
| 2 | 2000 | Sol actuel | |
| | 2001 | Horizon arable | |
| | 2002 | Niveau de colluvionnement | |
| | 2003 | Paléosol | |
| | 2004 | Occupation | |
| 3 | 2005 | Occupation | |
| | 2006 | Occupation | |
| | 2007 | Géologique | |
| | 2008 | Occupation | |
| | 2009 | Naturel ou peu anthropisé | |
| | 3000 | Terre cultivée | |
| | 3001 | Horizon arable, bioperturbé | |
| | | | |
| | | | |
| | | | |

| Description | |
|---|--|
| terre cultivée et niveau supérieur du décapage | |
| Couche limono sableuse de couleur brune, homogène et épaisse | |
| Couche limono sableuse de couleur jaune-brun, homogène et épaisse | |
| Couche limono sableuse de couleur brun-clair à jaune-rouge, hétérogène | |
| Couche sablo-limoneuse, granulométrie fine à moyenne, dense de couleur orange marbré noir-gris foncé, avec nombreux agrégats brun et jaune de 2-3 mm à 1-5 cm. | |
| Couche sablo-limoneuse, avec litages de sable peu exprimés composés de sables fins à moyens de couleur brun clair à jaune, compacte, mobilier à plat ou plus rarement en position oblique qui devient de plus en plus diffus et moins dense vers le sud suivant un axe de dispersion nord-sud. Faune diffuse sur toute la surface et dans l'épaisseur de la couche, tessons céramiques de petite taille et micro fragments de terre cuite épars | |
| Couche limono-sableuse à sablo-limoneuse, dense, très compacte mais poreuse de couleur brun-clair à jaune-rouge, hétérogène et limites latérales diffuses. | |
| Couche limono-sableuse à sablo-limoneuse vers le fond de couleur de brun à brun orangé- rouge vers le fond, avec traces d'oxydation, homogène et massive | |
| Couche sablo-limoneuse avec une forte fraction sableuse et légèrement litée, de couleur brun clair à gris, semi-sec, homogène | |
| Couche limono-sableuse à sablo-limoneuse, de couleur brun foncé, semi-humide, homogène. | |
| Terre cultivée | |
| Couche légèrement limoneux-argileux de couleur brun orangée, meuble et hétérogène, matrice de sable fin à moyen, lessivée dans sa moitié supérieure et des liserés de couleur brun et argileux concentrés dans la moitié inférieure. | |

| Listing des US hors structures des secteurs 2 et 3 | | | |
|--|----|----------------|---|
| Secteur | US | Type de niveau | Description |
| | | 3002 | Couche limono-argilo-sableuse de couleur orange, très compacte, massive et homogène avec une concentration de la fraction argileuse plus importante dans la moitié inférieure, semi-sec à humide vers le fond |

| Listing photographies-Secteur 2-2022 | | | | | |
|--------------------------------------|--------------|------------------------------|---------------|--------|----------|
| N° Photos | Structure/US | Observations | Vue depuis le | Auteur | Date |
| 661-663 | | Coupe Berme nord, O-E | S | ED | 07/20/22 |
| 664-676 | | Coupe berme Est, orienté N-S | O | ED | 07/20/22 |
| 677-685 | | Coupe berme Sud, orienté E-O | N | ED | 07/20/22 |
| 686-692 | | Coupe berme O , orienté S-N | E | ED | 07/20/22 |
| 702-703 | | Photos perche, zone S-O | O | ED | 07/20/22 |
| 704-708 | | Photos perche, zone S-O | S | ED | 07/20/22 |
| 709-710 | | Photos perche, zone S-E | S | ED | 07/20/22 |
| 711-717 | | Photos perche, zone N-E | E | ED | 07/20/22 |
| 718 | | Vue d'ensemble du chantier | N-E | ED | 07/20/22 |
| 720 | | Photos perche, zone N-E | N | ED | 07/20/22 |
| 721 | | Photos perche, zone N-E | O | ED | 07/20/22 |
| 722-725 | | Photos perche, zone S-O | O | ED | 07/20/22 |
| 726-729 | | Photos perche, zone N-E | E | ED | 07/20/22 |
| 736-739 | F200 | Plan | N-E | ED | 07/21/22 |
| 740-741 | F201 | Plan | N-E | ED | 07/21/22 |
| 742-743 | F202 | Plan | N-E | ED | 07/21/22 |
| 744-745 | F203 | Plan | N-E | ED | 07/21/22 |
| 746-747 | F204 | Plan | N-E | ED | 07/21/22 |
| 748-749 | F205 | Plan | N-E | ED | 07/21/22 |
| 750-752 | F206 | Plan | N-E | ED | 07/21/22 |
| 753-754 | F207 | Plan | N-E | ED | 07/21/22 |
| 755-756 | F208 | Plan | N-E | ED | 07/21/22 |
| 757-758 | F209 | Plan | N-E | ED | 07/21/22 |
| 759-760 | F210 | Plan | N-E | ED | 07/21/22 |
| 761-762 | F211 | Plan | S-E | ED | 07/21/22 |
| 763-764 | F212 | Plan | S-E | ED | 07/21/22 |
| 765-766 | F213 | Plan | S-E | ED | 07/21/22 |
| 769 | F215 à 220 | Vue d'ensemble du chantier | N-E | ED | 07/21/22 |
| 770-771 | F215-216 | Plan | N-E | ED | 07/21/22 |
| 772-774 | F217-218 | Plan | N-E | ED | 07/21/22 |
| 775-776 | F219 | Plan | S-E | ED | 07/21/22 |
| 777-778 | F220-221 | Plan | S-E | ED | 07/21/22 |
| 779-780 | F222 | Plan | S-E | ED | 07/21/22 |
| 781-782 | F223 | Plan | S-E | ED | 07/21/22 |

Listing photographies-Secteur 2-2022

| N° Photos | Structure/US | Observations | Vue depuis le | Auteur | Date |
|-----------|--------------|--------------|---------------|--------|----------|
| 783-784 | F224 | Plan | S-E | ED | 07/21/22 |
| 785-786 | F225 | Plan | S-E | ED | 07/21/22 |
| 787-788 | F226 | Plan | N-O | ED | 07/22/22 |
| 789-791 | F227 | Plan | N-O | ED | 07/22/22 |
| 793-795 | F228 | Plan | N-O | ED | 07/22/22 |
| 796-797 | F229 | Plan | O | ED | 07/22/22 |
| 798-799 | F316 | Plan | O | ED | 07/22/22 |
| 800-802 | F230 | Plan | N-E | ED | 07/22/22 |
| 803-804 | F231 | Plan | N-E | ED | 07/22/22 |
| 805-806 | F232 | Plan | N-E | ED | 07/22/22 |
| 807-808 | F233-234 | Plan | N-E | ED | 07/22/22 |
| 809-810 | F235 | Plan | N-E | ED | 07/22/22 |
| 811-812 | F236 | Plan | E | ED | 07/22/22 |
| 813-814 | F237 | Plan | N-O | ED | 07/22/22 |
| 815-816 | F238 | Plan | O | ED | 07/22/22 |
| 817-818 | F239 | Plan | N-O | ED | 07/22/22 |
| 819-820 | F240 | Plan | N-O | ED | 07/22/22 |
| 821-822 | F241 | Plan | N-E | ED | 07/22/22 |
| 823-824 | F242-243 | Plan | N-E | ED | 07/22/22 |
| 825-826 | F244 | Plan | N-E | ED | 07/22/22 |
| 827-828 | F245 | Plan | N-E | ED | 07/22/22 |
| 829-830 | F246 | Plan | N-E | ED | 07/22/22 |
| 831-832 | F247-248 | Plan | N-O | ED | 07/22/22 |
| 833-834 | F249 | Plan | S | ED | 07/22/22 |
| 835-836 | F250 | Plan | S-O | ED | 07/22/22 |
| 837-838 | F251 | Plan | N-O | ED | 07/22/22 |
| 839-840 | F252-253 | Plan | S | ED | 07/22/22 |
| 841-843 | F254 | Plan | S-O | ED | 07/22/22 |
| 844-845 | F255 | Plan | S-E | ED | 07/22/22 |
| 846-847 | F256 | Plan | N-E | ED | 07/22/22 |
| 848-849 | F320 | Plan | N-E | ED | 07/22/22 |
| 850-851 | F257-258 | Plan | S-O | ED | 07/22/22 |
| 852-853 | F259 | Plan | S-E | ED | 07/22/22 |
| 854-855 | F260 | Plan | N | ED | 07/22/22 |

Listing photographies-Secteur 2-2022

| N° Photos | Structure/US | Observations | Vue depuis le | Auteur | Date |
|-----------|--------------|--------------|---------------|--------|----------|
| 856-857 | F261 | Plan | N-O | ED | 07/22/22 |
| 858-859 | F262 | Plan | N-O | ED | 07/22/22 |
| 860-861 | F263 | Plan | S-E | ED | 07/22/22 |
| 862-863 | F264-265-266 | Plan | O | ED | 07/22/22 |
| 864-865 | F267 | Plan | S-O | ED | 07/22/22 |
| 866-867 | F268 | Plan | S-E | ED | 07/22/22 |
| 868-869 | F269 | Plan | S-E | ED | 07/22/22 |
| 870-871 | F270-271 | Plan | N-E | ED | 07/22/22 |
| 872-873 | F272-273 | Plan | S-O | ED | 07/22/22 |
| 874-875 | F274 | Plan | S-O | ED | 07/22/22 |
| 877-878 | F275-276 | Plan | N-O | ED | 07/22/22 |
| 883-884 | F277 | Plan | S-O | DD,JW | 07/25/22 |
| 885-886 | F278 | Plan | N-E | DD,JW | 07/25/22 |
| 887-888 | F279 | Plan | N | DD,JW | 07/25/22 |
| 889-890 | F280 | Plan | S-O | DD,JW | 07/25/22 |
| 891-892 | F281 | Plan | S-O | DD,JW | 07/25/22 |
| 894-895 | F282 | Plan | N-O | DD,JW | 07/25/22 |
| 896-897 | F283 | Plan | S-E | DD,JW | 07/25/22 |
| 898-899 | F284-285 | Plan | S-E | DD,JW | 07/25/22 |
| 902-903 | F286 | Plan | N-E | DD,JW | 07/25/22 |
| 905-907 | F287 | Plan | N-E | DD,JW | 07/25/22 |
| 908-909 | F288 | Plan | N-E | DD,JW | 07/25/22 |
| 910-911 | F289 | Plan | S-O | DD,JW | 07/25/22 |
| 913-914 | F290 | Plan | S-O | DD,JW | 07/25/22 |
| 915-916 | F291 | Plan | N-O | DD,JW | 07/25/22 |
| 917-918 | F292 | Plan | O | DD,JW | 07/25/22 |
| 919-920 | F293 | Plan | S-O | DD,JW | 07/25/22 |
| 922-923 | F319 | Plan | S-O | DD,JW | 07/25/22 |
| 925-926 | F295 | Plan | S-O | DD,JW | 07/25/22 |
| 927-928 | F294 | Plan | N-O | DD,JW | 07/25/22 |
| 929-930 | F296 | Plan | S-E | DD,JW | 07/25/22 |
| 931-932 | F297 | Plan | N-E | DD,JW | 07/25/22 |
| 933-934 | F298 | Plan | N-O | DD,JW | 07/25/22 |
| 935-936 | F299 | Plan | N-O | DD,JW | 07/25/22 |

| Listing photographies-Secteur 2-2022 | | | | | | |
|--------------------------------------|-------------------------------|---|---------------|--------|----------|--|
| N° Photos | Structure/US | Observations | Vue depuis le | Auteur | Date | |
| 937-938 | F300 | Plan | N-O | DD,JW | 07/25/22 | |
| 939-940 | F301 | Plan | N-O | DD,JW | 07/25/22 | |
| 941-942 | F302-303 | Plan | N-E | DD,JW | 07/25/22 | |
| 943-944 | F304 | Plan | S | DD,JW | 07/25/22 | |
| 946-948 | F305 | Plan | S-O | DD,JW | 07/25/22 | |
| 949-951 | F306 | Plan | S-E | DD,JW | 07/25/22 | |
| 952-953 | F307-308 | Plan | S-E | DD,JW | 07/25/22 | |
| 954-955 | F310 | Plan | E | DD,JW | 07/25/22 | |
| 957-958 | F311-312 | Plan | S-E | DD,JW | 07/25/22 | |
| 959-960 | F313 | Plan | O | DD,JW | 07/25/22 | |
| 961-962 | F314-315 | Plan | S-E | DD,JW | 07/25/22 | |
| 963-964 | F318 | Plan | N-O | DD,JW | 07/25/22 | |
| 965-966 | F309 | Plan | S-O | DD,JW | 07/25/22 | |
| 967-968 | F321 | Plan TP avant fouille | N-O | LB | 07/25/22 | |
| 969 | F321 | Coupe avant fouille | | LB | 07/25/22 | |
| 970-971 | F322 | Plan avant fouille (coupé par la berme) | S-E | EC | 07/25/22 | |
| 972-973 | F322 | Coupe avant fouille | | EC | 07/25/22 | |
| 974 | F321 | Coupe avant fouille | | LB | 07/25/22 | |
| 975-976 | F317 | Plan | S-E | LB | 07/25/22 | |
| 979-980 | F235-323-324-325 | Plan du petit sondage, avant fouille | S-E | Léana | 07/25/22 | |
| 981-983 | F321 | Plan après fouille de moitié | N-O | LB | 07/25/22 | |
| 984-986 | F321 | Coupe après fouille de moitié | | LB | 07/25/22 | |
| 987-989 | F231-332 | Plan en cours de fouille | S | HF | 07/26/22 | |
| 990-991 | F231-332 | Coupe | | HF | 07/26/22 | |
| 992 | F231-332 | Plan | S | HF | 07/26/22 | |
| 996 | F231-332 | Coupe (Sans plaquette) | | HF | 07/26/22 | |
| 997-998 | F 203, quart N-O, US 02 et 03 | Plan en cours de fouille | N-O | CB | 07/26/22 | |
| 999-1000 | F210, quart S-E, US 03 | Plan en cours de fouille, 1ere passe après fouille de l'US 03 | S-E | EC | 07/26/22 | |
| 1001-1002 | F210, quart S-E, US 03 | Coupe en cours de fouille | | EC | 07/26/22 | |

| Listing photographies-Secteur 2-2022 | | | | | |
|--------------------------------------|-----------------------------|---|---------------|--------|----------|
| N° Photos | Structure/US | Observations | Vue depuis le | Auteur | Date |
| 1007-1010 | F235-241-243-331 | Plan des différentes structures qui apparaissent dans le petit sondage, avant fouille. | N-O | JR | 07/26/22 |
| 1013-1015 | F231-332 | Plan en cours de fouille de F231 avec 332 qui la coupe | S | HF | 07/26/22 |
| 1016-1021 | F231-332 | Coupe (idem) | | HF | 07/26/22 |
| 1023-1025 | F231-332 | Plan (idem) | S | HF | 07/26/22 |
| 1047-1048 | F203, quart N-O, US 03 | Plan en cours de fouille, vu sur une banquette et apparition d'un niveau de faune à environ 30 cm de profondeur (Us 03) | N-O | CB | 07/27/22 |
| 1049-1050 | F204 | Plan après fouille (vu avec deux structures a proximité dont 206) | N-O | DD | 07/27/22 |
| 1051-1052 | F204 | Coupe N-S | N-O | DD | 07/27/22 |
| 1057-1060 | F335 (F214, quart S-E) | Plan : vue sur le TP 335 dans le quart S-E de F 214 | O | LP | 07/27/22 |
| 1061-1062 | F336, (F214, quart N-O) | Plan : vue sur TP 336 dans le quart N-O de F214 | N-O | LP | 07/27/22 |
| 1064-1065 | F210, quart S-E, US 03 | Plan : quart S-E après fouille de 210.03 | S-E | EC | 07/27/22 |
| 1066-1065 | F210, quart S-E, US 03 | Coupe O-E du quart S-E après fouille US 210.03 | S | EC | 07/27/22 |
| 1068-1070 | F210, quart N-O | Coupe EO après fouille de US 03 (et 02en cours) | N | LB | 07/27/22 |
| 1071-1072 | F210, quart N-O | Coupe N-S après fouille de US 03 (02 en cours) | O | LB | 07/27/22 |
| 1073-1075 | F336 (F214 quart N-O) | Plan du TP 336 dans F214 du quart N-O) | N | LP | 07/27/22 |
| 1076-1077 | F336 (F214 quart S-E) | Coupe O-E du TP336) | S | LP | 07/27/22 |
| 1078-1079 | F201 | Plan avant fouille F201 | N-E | Angèle | 07/27/22 |
| 1081-1083 | F 239 quart N-E | Plan du quart après fouille de US 02, vue US 03 | E | JW | 07/27/22 |
| 1084-1087 | F239 quart N-E | Plan du quart après fouille de US 02, détails de US 03 avec une concentration de terre crue | N-E | JW | 07/27/22 |
| 1089-1091 | F335 US02 (F214, quart S-E) | Coupe du TP 335 dans le quart S-E de F214 | E | LP | 07/27/22 |

| Listing photographies-Secteur 2-2022 | | | | | |
|--------------------------------------|---------------------------------|---|--------------------|--------|----------|
| N° Photos | Structure/US | Observations | Vue depuis le | Auteur | Date |
| 1092-1094 | F335 US 02 (F214, quart S-E) | Plan du TP 3354 en cours de fouille | S-E | LP | 07/27/22 |
| 1095-1098 | F203 quart N-O | Plan du quart en cours de fouille | N-O | CB | 07/28/22 |
| 1099-1101 | F203 quart N-O (F204) | Plan du quart en cours de fouille, vue large avec F204 en cours de fouille à proximité | N-O | CB | 07/28/22 |
| 1102-1105 | F203 quart N-O | Coupe E-O (en cours de fouille), non mouillées | N | CB | 07/28/22 |
| 1106-1112 | F203 quart N-O | Coupe N-S (en cours de fouille), non mouillées | O | CB | 07/28/22 |
| 1113-1114 | F239 quart S-O | Plan du quart en cours de fouille sur US 03 (ERREUR sur la plaquette, il s'agit de L'US 03 et non 02) | N-O | ZB | 07/28/22 |
| 1115 | F239 quart S-O | Détails en plan de l'US 03 avec une concentration de terre crue | N-O | ZB | 07/28/22 |
| 1116-1120 | F203 quart N-O | Coupe E-O en cours de fouille, mouillées | N | CB | 07/28/22 |
| 1121-1128 | F203 quart N-O | Coupe N-S en cours de fouille, mouillées | O | CB | 07/28/22 |
| 1129-1132 | F210 | Plan zénithal F210, quarts N-O et S-E fouillés jusqu'à l'US 05 | S-O (depuis berme) | LB | 07/28/22 |
| 1133-1134 | F210 | Plan F210, quarts N-O et S-E fouillés jusqu'à US 05 | N-O | ED | 07/28/22 |
| 1135-1136 | F210 | Plan F210, quarts N-O et S-E fouillés jusqu'à US 05 | S-E | ED | 07/28/22 |
| 1137-1141 | F210 | Plan zénithal F210, quarts N-O et S-E fouillés jusqu'à l'US 05. Vue sur F339 non fouillé (TP) au N-E | S-O | ED | 07/28/22 |
| 1142-1152 | | Ambiance | | | 07/28/22 |
| 1153-1155 | F210 quart N-O | Coupe EO, fouillé jusqu'à US 05 | N | LB | 07/28/22 |
| 1156-1160 | F210 quart N-O | Coupe NS, fouillé jusqu'à US 05, plus détails des reliefs de l'US 05 | O | LB | 07/28/22 |
| 1161-1162 | F210 quart S-E | Coupe SN, fouillé jusqu'à US 05, plus détails du TP | E | EC | 07/28/22 |
| 1163-1164 | F 210 quart S-E | Coupe OE, fouillé jusqu'à US 05, plus détails du TP | S | EC | 07/28/22 |
| 1165-1167 | F239, Quart S-O | Plan en cours de fouille sur US 03, détails de la sablière F 340 | N-O | ZB | 07/28/22 |
| 1168-1169 | | Plan en cours de fouille | S-E | LL | 07/28/22 |

| Listing photographies-Secteur 2-2022 | | | | | | |
|--------------------------------------|------------------------------|--|---------------|--------|---------------|--|
| N° Photos | Structure/US | Observations | Vue depuis le | Auteur | Date | |
| 1170 | F212 | Coupe en cours de fouille | E | LL | 07/28/22 | |
| 1171-1179 | US 2005 | Plan, nettoyage et test fouille de l'US 2005 comprenant (au moins) F 222, 220, 219, (223?) | S-O | LL | 07/28/22 | |
| 1180-1186 | | Ambiance | | ED | 28-29/07/2022 | |
| 1187-1191 | F235 quart NO | Coupe NS en cours de fouille | N-O | JR | 07/29/22 | |
| 1196-1197 | F235 quart NO | Coupe EO en cours de fouille | N-E | JR | 07/29/22 | |
| 1198-1201 | F340 (F239 quart S-O) | Plan après fouille de la sablière F340 | O | ZB | 07/29/22 | |
| 1202-1205 | F236 quart N-E | Plan fin de fouille du quart | N-E | GD | 07/29/22 | |
| 1206-1209 | F341 et 342 (F214 quart N-O) | Plan des TP 341 et 342 avant fouille dans F214 | S-E | AF | 07/29/22 | |
| 1210-1211 | F236 quart N-E | Coupe SE-NO | N-E | GD | 07/29/22 | |
| 1212-1214 | F236 quart N-E | Coupe SO-NE | S-E | GD | 07/29/22 | |
| 1216-1217 | F335 (F214 quart S-E) | Coupe S-N, F335 visible dans la coupe du quart de F214 | S-E | LP | 07/29/22 | |
| 1218-1219 | F335 (F214 quart S-E) | Plan de F335 visible entre les quart S de 214 | S-E | LP | 07/29/22 | |
| 1220-1221 | F210 | Plan zénithal après fouille US 03 des quarts S-O et N-E | S-O | EC | 07/29/22 | |
| 1222-1223 | F212 | Plan de F212 en cours de fouille | S-O | Léo | 07/29/22 | |
| 1225-1226 | F235 quart SE | Coupe NO-SE | S-E | Léana | 07/29/22 | |
| 1228-1230 | F235 quart S-E | Détails coupe NO-SE | S-E | Léana | 07/29/22 | |
| 1231-1232 | F235 quart S-E | Coupe ON-ES | S-O | Léana | 07/29/22 | |
| 1233-1235 | F235 | Plan avec les quart NO et SE fouillés | N-O | Léana | 07/29/22 | |
| 1236-1242 | F342 | Plan du TP342 1/2 fouillé, situé dans le quart NO de F214 | S-O | AF | 07/29/22 | |
| 1243-1244 | F342 | Plan du TP342 1/2 fouillé, situé dans le quart NO de F214 | S-O | AF | 07/29/22 | |
| 1245-1248 | F328 | Plan après fouille | S-O | HF | 07/29/22 | |
| 1249-1252 | F328 | Coupe après fouille de moitié | S-O | HF | 07/29/22 | |
| 1253-1255 | F239 | Plan de la structure en cours de fouille part quart (NE et S-O) | N-E | JW | 07/29/22 | |
| 1257-1258 | F239 quart NE | Plan | N-O | JW | 07/29/22 | |
| 1259-1260 | F239 quart NE | Coupe SE- NO | N-E | JW | 07/29/22 | |

| Listing photographies-Secteur 2-2022 | | | | | | |
|--------------------------------------|------------------------|---|---------------|--------|----------|--|
| N° Photos | Structure/US | Observations | Vue depuis le | Auteur | Date | |
| 1262-1263 | F239 quart NE | Coupe SO-NE | S-E | JW | 07/29/22 | |
| 1264-1266 | F342 (F214 quart N-O) | Plan TP342 fouillé | S-O | AF | 07/29/22 | |
| 1267-1269 | F335 (214 quart S-E) | Coupe du TP335 dans la coupe S-N de F214 | S-E | LP | 07/30/22 | |
| 1270-1272 | F335 (214 quart S-E) | Plan de la moitié fouillée du TP 335 | S-E | LP | 07/30/22 | |
| 1273-1274 | F201 | Plan en cours de fouille (US03) | N-O | AV | 07/30/22 | |
| 1275-1277 | F341 (214 quart N-O) | Plan du TP à moitié fouillé | N-O | AF | 07/30/22 | |
| 1278-1280 | F341 (214 quart N-O) | Coupe du TP à moitié fouillé | N-O | AF | 07/30/22 | |
| 1282-1285 | F239 quart S-O | Plan du quart fouillé | N-E | JW | 07/30/22 | |
| 1286-1291 | F239 | Plan général de la structure avec les quarts S-O et N-E fouillés | S-E (Berme E) | JW | 07/30/22 | |
| 1293-1295 | F239 quart S-O | Coupe NO-SE | NO | JW | 07/30/22 | |
| 1297-1298 | F239 quart S-O | Coupe NE-SO | NO | JW | 07/30/22 | |
| 1299-1302 | F341 (214 quart N-O) | Plan du TP 341 entièrement fouillé | E | AF | 07/30/22 | |
| 1375-1380 | F321 | Coupe du TP à moitié fouillé, semble être recoupé par 210 | N-O | LB | 08/01/22 | |
| 1381-1383 | F328-346 | Plan des TP fouillé à moitié | S-O | HF | 08/01/22 | |
| 1384-1386 | F328-346 | Coupe NO-SE des TP | S-O | HF | 08/01/22 | |
| 1387-1389 | F336 (F347) | Plan du TP 336 entièrement fouillé recoupé par 347 | S-E | AF | 08/01/22 | |
| 1390-1391 | F235-238-348 | Plan de 348 (gauche) et 238 (droite) avant fouille qui coupe le quart N-E en cours de fouille de 235 | S-E | LB/JR | 08/01/22 | |
| 1392-1393 | F235-238-348 | Plan de 348 (droite) et 238 (gauche) avant fouille qui coupe le quart N-E en cours de fouille de 235 | N-O | LB/JR | 08/01/22 | |
| 1394-1397 | F235-238-348 | Coupe de 238 (à gauche) et 348 (à droite) vue depuis le bord N-E de F 235. 348 coupe 235, 238 coupe 348 et 235. | N-O | LB/JR | 08/01/22 | |
| 1398-1399 | F 349 (F239 quart S-O) | Plan avant fouille du TP 349 qui coupe 239 | S-E | J-W | 08/01/22 | |

| Listing photographies-Secteur 2-2022 | | | | | |
|--------------------------------------|----------------------------------|--|---------------|-----------|----------|
| N° Photos | Structure/US | Observations | Vue depuis le | Auteur | Date |
| 1400-1402 | F 349 (F239 quart S-O) | Détails de la coupe NE-SO de 239, vue du TP 349 qui coupe 239 | N-O | JW | 08/01/22 |
| 1403-1404 | F347 (336) | Plan du TP 347 fouillé de moitié, qui coupe le TP 336 | N-E | AF | 08/01/22 |
| 1405-1406 | F347 (336) | Coupe EO du TP 347 | N-E | AF | 08/01/22 |
| 1407 | F201 | Plan de F201 en cours de fouille US 03 | N-E | Angèle | 08/01/22 |
| 1408-1409 | F201 | Coupe de F201 e cours de fouille | N-E | Angèle | 08/01/22 |
| 1410-1412 | F236-350-234 | Plan de 350 et 234 non fouillé. 350 coupe le quart S-O de 236 fouillé et 234 coupe 350. | S-O | Laurine P | 08/01/22 |
| 1413-1414 | F236 quart S-O | Coupe OE de 236 quart S-O | S-O | Laurine P | 08/01/22 |
| 1415-1417 | F236-350-234 | Plan de 350 et 234 non fouillé. 350 coupe le quart S-O de 236 fouillé et 234 coupe 350. | S-O | Laurine P | 08/01/22 |
| 1418-1419 | F236 quart S-O | Coupe NS de 236 quart S-O | N-O | Laurine P | 08/01/22 |
| 1420-1422 | F347 (336) | Plan du TP fouillé entièrement | N-E | AF | 08/01/22 |
| 1423-1425 | F 321,04 – 210,05 | Plan du TP 321 à moitié fouillé, coupé par la structure 210. Vue de 321,04 (complètement supérieur du TP) et de 210,05 (US compacte de la fosse) dans la partie non fouillé au-delà de la coupe du TP. | N-O | EC | 08/01/22 |
| 1426-1427 | F210 | Détails d'une petite concentration de mobilier pouvant suggérer un trou de piquet ainsi que la coupe du TP 354. | S-O | LB | 08/01/22 |
| 1428-1429 | F210 | Détails de la coupe S-N du TP 354 dans 210 | S-E | LB | 08/01/22 |
| 1430-1433 | F239.03 quart N-E | Plan du quart en cours de fouille et détail d'une concentration d'argile cru dans l'us 03 | N-O | JW | 08/01/22 |
| 1436-1438 | F214 Quart S-E | Plan du quart fouillé | N-E | LP | 08/01/22 |
| 1442-1443 | F214 Quart S-E | Coupe NO-SE du quart S-E fouillé | N-E | LP | 08/01/22 |
| 1444-1447 | F214 quart N-O (341,342,336,347) | Plan du quart de 214 en cours de fouille avec les différents TP qui la coupe et qui sont à proximité | N-O | AF | 08/01/22 |
| 1449-1450 | F349 | Coupe de F349 dans la coupe S-O de F239 | ? | JW | 08/01/22 |
| 1455-1457 | F219 | Plan avant fouille | S-O | Léo ? | 08/02/22 |
| 1459-1463 | F238 | Coupe S-N | S-E | JR | 08/02/22 |
| 1464-1468 | F238-348 | Plan de 238 à moitié fouillé et 348 non fouillé qui est coupé par cette dernière | S-E | JR | 08/02/22 |

| Listing photographies-Secteur 2-2022 | | | | | | |
|--------------------------------------|----------------------|--|---------------|--------|----------|--|
| N° Photos | Structure/US | Observations | Vue depuis le | Auteur | Date | |
| 1469-1471 | F238-348 | Plan de 238 à moitié fouillé et 348 non fouillé qui est coupé par cette dernière | N-O | JR | 08/02/22 | |
| 1472-74 | F349 | Plan du TP 349 fouillé coupé par 239 | N-O | JW | 08/02/22 | |
| 1475-1477 | F349 | Coupe du TP 349 fouillé coupé par 239 | N-O | JW | 08/02/22 | |
| 1478 | F210 | Plan de la fosse en cours de fouille | E | EC | 08/02/22 | |
| 1479-1480 | F352 (210) | Plan du TP 352 dans la partie extérieure de la fosse 210 | E | EC | 08/02/22 | |
| 1481-1483 | F201 (344-338) | Plan de la fosse 201 fouillé de moitié coupé par 344 et 338 non fouillé | N-E | AV | 08/02/22 | |
| 1484-1487 | F201 | Coupe OE de la fosse 201 | N-E | AV | 08/02/22 | |
| 1488-1489 | F203 quart S-E | Plan du quart fouillé | S-E | CB | 08/02/22 | |
| 1495- | | | | | | |
| 1497,1502-1503 | F203 quart S-E | Coupe OE du quart fouillé | S-E | CB | 08/02/22 | |
| 1498-1501 | F203 quart S-E | Coupe S-N du quart fouillé | N-O | CB | 08/02/22 | |
| 1504-1513 | F203-204 | Plan de F203 avec les quarts S-E et N-O fouillé et 204 fouillé de moitié (O) | O | CB | 08/02/22 | |
| 1514-1516 | F356 (210) | Plan du TP 356 coupé par la fosse 210 (quart N-O) | O | LB | 08/02/22 | |
| 1517-1519 | F357 (210) | Plan du TP 357 dans la partie extérieure de la fosse 210 (Quart SO) | N-O | LB | 08/02/22 | |
| 1520-1521 | F335 (214 quart SE) | Plan de F335 fouillé qui coupe les quarts S de 214 | S-E | LP | 08/02/22 | |
| 1522-1523 | F335 (214 quart SE) | Coupe de F335 fouillé qui coupe les quarts S de 214 | S-E | LP | 08/02/22 | |
| 1524-1527 | F342 (214 quart N-O) | Coupe NE-SO des limite de la fosse 214. Vue sur le TP 342 (Fantôme, Trou de poteau et érosion du sol autour) | S-E | AF | 08/02/22 | |
| 1531-1532 | F358 (239) | Plan non fouillé du trou de piquet 358 dans la fosse 239 | N-O | JW | 08/02/22 | |
| 1532-1534 | F210 | Plan de détails dans la fosse 210 : pierre calcaire et céramique dans le comblement 02. On discerne un TP marqué par les morceaux de céramique | S | EC | 08/02/22 | |
| 1535-1536, 1539 | US 2008 | Plan de la zone en carroyage, vue sur l'US 2008 | S | VC | 08/03/22 | |

| Listing photographies-Secteur 2-2022 | | | | | |
|--------------------------------------|-------------------------|---|---------------|--------|----------|
| N° Photos | Structure/US | Observations | Vue depuis le | Auteur | Date |
| 1540-1542 | F203-204-337 | Plan de 203 fouillé en quarts opposés et 204 fouillé de moitié. Le TP 337 coupe 204 (et 203?) | N-O | CB | 08/03/22 |
| 1543-1544 | F214-342-347-336-351-57 | Plan du quart N-E de 214 avec vue sur les TP 342-347-336 fouillés. 351 est la fosse situé au S-O du quart non fouillé et la fosse 57 (sect 1) coupe 214 sur sa partie nord. | N-E | AF | 08/03/22 |
| 1546-1548 | F214-57 | Coupe N-S de 214 du quart N-E, vue sur 57 qui coupe 214. | O | AF | 08/03/22 |
| 1549-1550 | F359 (241-360-361) | Plan de 359 partiellement fouillé (moins d'un quart) recoupe par trois TP successifs (361-360-241 de droite a gauche) | S-O | LB | 08/03/22 |
| 1551-1556 | F359 (241-360-361) | Coupe de 359 partiellement fouillé (moins d'un quart) recoupe par trois TP successifs (361-360-241 de droite a gauche) | S-O | LB | 08/03/22 |
| 1557-1558 | F239-349 | Plan de la fosse 239 fouillé entièrement, avec le TP 349 qui recoupe. Plus au nord vue sur le TP 240 fouillé de moitié. | S-O | JW | 08/03/22 |
| 1559 | F239-349 | Plan de la fosse 239 fouillé entièrement, avec le TP 349 qui recoupe. Plus au nord vue sur le TP 240 fouillé de moitié. | N-E | JW | 08/03/22 |
| 1560-1562 | F328 (228-346-329) | Plan du TP 328 fouillé de moitié, vue sur 346 qui recoupe, 228 (N) et 329 (S) en plan à proximité | S-O | HF | 08/03/22 |
| 1567-1569 | F214 quart S-E | Coupe EO du quart S-E fouillé de la fosse 214. | S-O | LP | 08/03/22 |
| 1570-1571 | F362-345 (210) | Plan des TP fouillé de moitié dans la structure 210 (quart S-E) | S-E | LB | 08/03/22 |
| 1572-1574 | F362 (210) | Plan de 362 fouillé de moitié (ANNULATION) | S-E | LB | 08/03/22 |
| 1575-1576 | F362 (210) | Coupe de 362 fouillé de moitié (ANNULATION) | S-E | LB | 08/03/22 |
| 1577-1578 | F345 (210) | Plan du TP 345 fouillé de moitié | S-E | LB | 08/03/22 |
| 1579-1580 | F345 (210) | Coupe du TP 345 fouillé de moitié | S-E | LB | 08/03/22 |
| 1581-1582 | F240 | Plan du TP fouillé de moitié | S | JW | 08/03/22 |
| 1583-1584 | F240 | Coupe NO-SE du TP fouillé de moitié | S | JW | 08/03/22 |
| 1585-1587 | F214-57 | Plan du quart N-O de la fosse 214 en cours de fouille. F57 coupe la 214 | S-E | AF | 08/03/22 |

| Listing photographies-Secteur 2-2022 | | | | | |
|--------------------------------------|----------------|--|---------------|--------|----------|
| N° Photos | Structure/US | Observations | Vue depuis le | Auteur | Date |
| 1588-1589 | F214-57 | Coupe NO-SE du quart N-O de la fosse 214 en cours de fouille. F57 coupe la 214 | N-O | AF | 08/03/22 |
| 1590 | F363 | Plan de 363 avant fouille (coupé par la berme témoin du carroyage) | S-O | DD | 08/03/22 |
| 1591-1592 | F363 | Coupe OE de la berme témoin du carroyage qui surplombe 363 | S-O | DD | 08/03/22 |
| 1593-1594 | F362-345 (210) | Plan de 362 (annulé) et 345 fouillé dans le quart S-E de 210 | S-E | LB | 08/03/22 |
| 1595-1596 | F345 (210) | Plan de 345 fouillé | S-E | LB | 08/03/22 |
| 1597-1599 | F240 | Plan du TP 240 fouillé | S | JW | 08/03/22 |
| 1600-1601 | F210 | Plan, détails du quart S-E avec une céramique et un objet lithique (vue sur le TP 366) | S-O | LB | 08/03/22 |
| 1603-1605 | F323 | Coupe EO de F323 qui coupe 235 | N-O | LB | 08/03/22 |
| 1606-1610 | F323 | Plan de F323 qui coupe 235 | N-O | LB | 08/03/22 |
| 1611-1612 | F236 | Plan de la fosse 236 fouillé | N-E | LP | 08/03/22 |
| 1613-1614 | F236 | Plan de la fosse 236 fouillé | S-E | LP | 08/03/22 |
| 1615-1616 | F332-233 | Coupe NE-SO de 332 coupé par 233, vue sur des objets en métal en place | N-O | HF | 08/03/22 |
| 1617-1620 | F332-233 | Plan du détails des objets en métal en place dans F332 | N-O | HF | 08/03/22 |
| 1621-1626 | F363 | Plan de 363 fouillé jusqu'à la berme témoin du carroyage | S-E | DD | 08/03/22 |
| 1627-1628 | F363 | Coupe OE de F363 sur la berme témoin | S-E | DD | 08/03/22 |
| 1629-1631 | F214 | Plan du quart N-O F214 fouillé | N-O | AF | 08/03/22 |
| 1632-1634 | F214 | Coupe NO-SE quart N-O F214 | N-E | AF | 08/03/22 |
| 1635-1637 | F214 | Coupe OE quart NO 214 | N-O | AF | 08/03/22 |

| Listing photographies-Secteur 3-2022 | | | | | |
|--------------------------------------|--------------|--|---------------|--------|----------|
| Photos n° | Structure/US | Observations | Vue depuis le | Auteur | Date |
| 629-632 | F300 | Décapage fossé | | ED | 07/18/22 |
| 633-646 | F300 | Coupe N-S | O | VC | 07/18/22 |
| 647-657 | F300 | Coupe N-S | E | VC | 07/18/22 |
| 1027-1032 | F400 | Profil après fouille de moitié du fossé du secteur 4 | | VC | 07/27/22 |
| 1033-1036 | F400 | Coupe (idem) | | VC | 07/27/22 |
| 1038 | F400 | Plan (idem) | S | VC | 07/27/22 |
| 1039-1040 | F400 | Plan (idem) | E | VC | 07/27/22 |
| 1042-1043 | F400 | Plan (idem) | N | VC | 07/27/22 |
| 1044-1045 | F400 | Plan (idem) | S | VC | 07/27/22 |
| 1046 | F400 | Coupe | | VC | 07/27/22 |
| 1303-1374 | F400 | Prélèvement micromorpho | N-O | VC | 07/30/22 |

ANNEXE 5 - LISTING DES RELEVÉS DU SECTEUR 2 ET 3 (2022)

| Listing des relevés-Secteur 2 et 3 | | | | | | |
|------------------------------------|---------------|---|------------|-----------------|-----------------|------------|
| N° de dessin | N° de planche | Description | Dessin | Orientation axe | Auteur(s) | Date |
| 200 | 1 | Berme Nord | Coupe | O-E | | 20/07/2022 |
| 201 | 2 | Berme Est | Coupe | N-S | | 20/07/2022 |
| 202 | 1 | Berme Sud | Coupe | E-O | E.C./D.D. | 20/07/2022 |
| 203 | 3 | Berme Sud | Coupe | E-O | L.L./A.F. | 20/07/2022 |
| 204 | 1 | Berme Ouest | Coupe | S-N | E.C./D.D. | 21/07/2022 |
| 205 | 4 ; 17 | F 210 ; 321 ; (F 345 ; 326) | Plan/Coupe | S/N-O/E | E.C./Lén.B. | 26/07/2022 |
| 206 | 5 | Sect 3, F400 coupe N-S | Coupe | S/N-N/S | A.F./J.B. | 26/07/2022 |
| 207 | 6 | Sect 3, F400 coupe O-E | Coupe | O/E-S/N | V.C. | 27/07/2022 |
| 208 | 4 | F 231 | Plan/Coupe | O-E | H.F. | 27/07/2022 |
| 209 | 7 | F 204 ; 203 | Plan/Coupe | N-S | D.D./C.B. | 27/07/2022 |
| 210 | 3 | F 336 ; 347 | Plan/Coupe | N-S | N. M./A.F./L.P. | 27/07/2022 |
| 211 | 3 | F 335 | Plan/Coupe | N-S | Lu.P. | 28/07/2022 |
| 212 | 7 | F 203 | Coupe | E-O | C.B. | 28/07/2022 |
| 213 | 8 | Plan F 239 ; 340 ; 240 ; 349 ; 358 et coupe F 240 | Plan/Coupe | O-E | Z.B. | 28/07/2022 |
| 214 | 8 | F 340 | Coupe | O-E | Z.B. | 29/07/2022 |
| 215 | 9 | F 235 (F 348 ; 238 ; 323 ; 229 ; 226) | Plan | N/S-O/E | J.R. | 29/07/2022 |
| 216 | 9 | F 235 (F 348 ; 238 ; 323) | Coupe | NE/SO-SE/NO | J.R. | 29/07/2022 |
| 217 | 3 | F 342 | Plan/Coupe | N/O-S/E | A.F. | 29/07/2022 |
| 218 | 10 | F 328 | Plan/Coupe | N-E-S-O | H.F. | 29/07/2022 |
| 219 | 8 | F 236 (F 350 ; 367) | Plan | NO-SE-NE-SO | G.D./La.P. | 29/07/2022 |
| 220 | 11 | F 214 (F 335 ; 341 ; 342 ; 347 ; 336 ; 351 ; 376 , 57) | Plan | N-S | Lu.P. | 30/07/2022 |
| 221 | 10 | F 341 | Plan/Coupe | N/O-S/E | A.F. | 30/07/2022 |
| 222 | 8 | F 236 | Coupe | S/O-N/E | G.D. | 30/07/2022 |
| 223 | 11 | F 214 ; F 335 ; F 57 | Coupe | N-S | Lu.P. | 30/07/2022 |
| 224 | 8 | F 239 ; 349 | Coupe | SO/NE-SE/NO | J.W. | 01/08/2022 |
| 225 | 11 | F214 | Coupe | O-E | Lu.P. | 01/08/2022 |
| 226 | 10 | F 238 ; 348 ; 359; 360 ; 361 ; 241 | Plan/Coupe | S-N | J.R. | 02/08/2022 |
| 227 | 10 | F 201 | Plan/Coupe | O-E | A.V. | 02/08/2022 |
| 228 | 4 | F 345 | Plan/Coupe | S-N | L.B. | 03/08/2022 |
| 229 | 9 | F 323 | Plan/Coupe | E-O | J.R. | 03/08/2022 |
| 230 | 12 | F 332 (F234 ; 373) | Plan/Coupe | N/E-S/O | H.F. | 04/08/2022 |
| 231 | 13 | F 363 | Plan/Coupe | O-E | D.D. | 04/08/2022 |
| 232 | 10 | F 348 | Plan/Coupe | S-N | J.R. | 04/08/2022 |
| 233 | 13 | F 368 | Plan/Coupe | O-E | E.C. | 04/08/2022 |
| 234 | 12 | F 364 | Plan/Coupe | N-S | L.L. | 05/08/2022 |
| 235 | 14 | F 227 | Plan/Coupe | N/O-S/E | G.D. | 05/08/2022 |
| 236 | 13 | F 326 | Plan/Coupe | O-E | L.B. | 05/08/2022 |
| 237 | 12 | F 218 | Plan/Coupe | N/O-S/E | A.V. | 05/08/2022 |
| 238 | 13 | F 208 | Plan/Coupe | E-O | J.R. | 05/08/2022 |
| 239 | 15 | F 200 | Plan/Coupe | O-E | E.C. | 06/08/2022 |
| 240 | 14 | F 366 | Plan/Coupe | S-N | L.B. | 06/08/2022 |
| 241 | 14 | F 357 | Plan/Coupe | N-S | L.B. | 06/08/2022 |
| 242 | 14 | F 356 | Plan/Coupe | N/O-S/E | L.B. | 06/08/2022 |
| 243 | 14 | F 352 | Plan/Coupe | S-N | L.B. | 06/08/2022 |
| 244 | 11 | F 376 | Plan/Coupe | E-O | A.F. | 06/08/2022 |
| 245 | 15 | F 370 | Plan/Coupe | N-S | E.C. | 06/08/2022 |
| 247 | 14 | F 228 | Plan/Coupe | N-S | L.L./La.P. | 08/08/2022 |

| Listing des relevés-Secteur 2 et 3 | | | | | | |
|---|----------------------|--------------------------------|---------------|------------------------|------------------|-------------|
| N° de dessin | N° de planche | Description | Dessin | Orientation axe | Auteur(s) | Date |
| 248 | 7 | F 337 | Plan/Coupe | O-E | D.D. | 08/08/2022 |
| 249 | 16 | Berme carrés côté nord et F218 | Coupe | O-E | V.C./A.P. | 08/08/2022 |
| 250 | 16 | Berme carrés côté sud | Coupe | E-O | V.C./A.P. | 08/08/2022 |
| 251 | 17 | Profils F 210 | Profil | S-N ; O-E | L.B. | 09/08/2022 |
| 252 | 17 | F 382 | Plan/Coupe | N-S | L.B. | 09/08/2022 |

ANNEXE 6 - LISTING DES POINTS TOPOGRAPHIQUES (2022)

| Listing des points topographiques-2022 | | | | | | |
|--|------------|-------------|---------|-----------|------------------|----------------|
| ID | X | Y | Z | Référence | Structure | Situation |
| borne1 | 853665.248 | 6647010.351 | 177.413 | STA | | |
| borne2 | 853660.984 | 6646990.561 | 177.073 | STA | | |
| borne3 | 853645.258 | 6646993.078 | 177.017 | STA | | |
| borne4 | 853640.91 | 6647003.238 | 177.294 | STA | | |
| 1 | 853662.331 | 6647009.391 | 177.018 | CCPE | berme nord | pts ouest |
| 1 | 853726.866 | 6647164.314 | 182.461 | | | tedt |
| 2 | 853666.908 | 6647006.101 | 177.005 | CCPE | berme nord & est | angle N/E |
| 2 | 853729.061 | 6647162.904 | 182.425 | | | |
| 3 | 853653.809 | 6646987.169 | 177.004 | CCPE | berme est | pts sud |
| 3 | 853733.795 | 6647161.174 | 182.382 | | | |
| 4 | 853650.28 | 6646989.842 | 176.768 | CCPE | berme sud | pts ouest |
| 4 | 853730.563 | 6647150.881 | 181.954 | | | |
| 5 | 853648.459 | 6646991.66 | 176.623 | CCPE | berme sud 2 | pts est |
| 5 | 853724.62 | 6647152.821 | 182.078 | | | |
| 6 | 853640.956 | 6646998.374 | 176.633 | CCPE | berme sud 2 | pts ouest |
| 6 | 853731.4 | 6647159.919 | 181.535 | | | |
| 7 | 853640.876 | 6646998.503 | 176.731 | CCPE | berme ouest | pts sud |
| 7 | 853729.115 | 6647153.385 | 181.639 | | | |
| 8 | 853645.135 | 6647005.232 | 176.74 | CCPE | berme ouest | pts nord |
| 8 | 853666.877 | 6647006.127 | 177.309 | | | |
| 9 | 853645.601 | 6647003.058 | 176.581 | ST | 200 | pts ouest |
| 9 | 853662.234 | 6647009.354 | 177.268 | | | |
| 10 | 853646.107 | 6647002.619 | 176.607 | ST | 200 | pts est |
| 10 | 853662.042 | 6647009.091 | 177.171 | | | |
| 11 | 853645.426 | 6647002.127 | 176.548 | ST | 201 | pts ouest |
| 11 | 853661.27 | 6647009.52 | 177.283 | | | |
| 12 | 853646.442 | 6647001.313 | 176.545 | ST | 201 | pts est |
| 12 | 853658.544 | 6647005.266 | 177.16 | | | |
| 13 | 853645.672 | 6647001.371 | 176.533 | ST | 201 | pts sud |
| 13 | 853660.541 | 6647004.072 | 176.829 | | | |
| 14 | 853646.199 | 6647002.136 | 176.587 | ST | 201 | pts nord |
| 14 | 853661.545 | 6646999.115 | 176.809 | | | |
| 15 | 853644.817 | 6647000.883 | 176.492 | ST | 202 | pts ouest |
| 15 | 853659.044 | 6647000.776 | 176.825 | | | |
| 16 | 853645.492 | 6647000.385 | 176.493 | ST | 202 | pts est |
| 16 | 853662.3 | 6647002.17 | 176.729 | | | Iso 20 |
| 17 | 853643.7 | 6647001.85 | 176.509 | ST | 203 | pts ouest |
| 17 | 853662.23 | 6647002.079 | 176.718 | | | Iso 20 |
| 18 | 853644.823 | 6647000.955 | 176.49 | ST | 203 | pts est |
| 18 | 853660.5 | 6647002.542 | 176.733 | | | Iso 21 |
| 19 | 853644.667 | 6647002.027 | 176.53 | ST | 203 | pts nord |
| 19 | 853660.032 | 6647002.756 | 176.716 | | | Iso 22 |
| 20 | 853643.76 | 6647000.967 | 176.48 | ST | 203/204 | jonction ouest |
| 20 | 853659.852 | 6647003.374 | 176.735 | | | Iso 23 |

ANNEXE 6 - LISTING DES POINTS TOPOGRAPHIQUES (2022)

| Listing des points topographiques-2022 | | | | | | |
|--|------------|-------------|---------|-----------|-----------|----------------|
| ID | X | Y | Z | Référence | Structure | Situation |
| 21 | 853644.117 | 6647000.652 | 176.48 | ST | 203/204 | jonction est |
| 21 | 853660.128 | 6647000.394 | 176.661 | | | Iso 24 |
| 22 | 853643.491 | 6647000.665 | 176.472 | ST | 204 | pts ouest |
| 22 | 853660.616 | 6646999.391 | 176.596 | | | Iso 25 |
| 23 | 853644.071 | 6647000.19 | 176.461 | ST | 204 | pts est |
| 23 | 853656.408 | 6646992.892 | 176.497 | | | Iso 26 |
| 24 | 853643.572 | 6647000.071 | 176.45 | ST | 204 | pts sud |
| 24 | 853646.348 | 6647003.808 | 176.514 | | | Iso 27 |
| 25 | 853643.965 | 6646999.848 | 176.444 | ST | 205 | pts ouest |
| 25 | 853643.203 | 6646998.191 | 176.396 | | | Iso 28 |
| 26 | 853644.71 | 6646999.218 | 176.452 | ST | 205 | pts est |
| 26 | 853649.394 | 6646995.425 | 176.468 | | | Iso 29 |
| 27 | 853643.921 | 6646999.011 | 176.427 | ST | 205 | pts sud |
| 27 | 853666.987 | 6647006.118 | 177.116 | | | |
| 28 | 853644.702 | 6647000.05 | 176.468 | ST | 205 | pts nord |
| 28 | 853660.663 | 6646997.731 | 176.549 | | | |
| 29 | 853643.275 | 6647000.142 | 176.451 | ST | 206 | pts est |
| 29 | 853653.646 | 6646987.185 | 176.943 | | | |
| 30 | 853642.563 | 6646999.957 | 176.445 | ST | 206 | pts sud |
| 30 | 853650.264 | 6646989.819 | 176.918 | | | |
| 31 | 853643.361 | 6647000.814 | 176.471 | ST | 206 | pts nord |
| 31 | 853648.466 | 6646987.326 | 176.996 | | | |
| 32 | 853642.642 | 6646999.544 | 176.443 | ST | 207 | pts ouest |
| 32 | 853646.482 | 6646988.553 | 177.025 | | | |
| 33 | 853643.323 | 6646998.957 | 176.438 | ST | 207 | pts est |
| 33 | 853648.62 | 6646991.756 | 176.454 | | | |
| 34 | 853647.729 | 6647000.152 | 176.531 | ST | 208 | pts ouest |
| 34 | 853641 | 6646998.525 | 176.71 | | | |
| 35 | 853648.266 | 6646999.651 | 176.547 | ST | 208 | pts est |
| 35 | 853645.386 | 6647005.525 | 177.122 | | | |
| 36 | 853647.355 | 6646999.895 | 176.515 | ST | 208 | pts sud/ouest |
| 36 | 853647.16 | 6647004.508 | 177.134 | | | |
| 37 | 853648.076 | 6646999.349 | 176.514 | ST | 208 | pts sud/est |
| 37 | 853646.365 | 6647003.109 | 177.155 | | | |
| 38 | 853647.908 | 6647000.42 | 176.56 | ST | 208 | pts nord/ouest |
| 38 | 853654.027 | 6646997.894 | 176.858 | | | |
| 39 | 853648.629 | 6646999.831 | 176.545 | ST | 208 | pts nord/est |
| 39 | 853661.553 | 6647009.798 | 177.257 | | | |
| 40 | 853646.4 | 6646999.852 | 176.548 | ST | 209 | pts ouest |
| 40 | 853650.99 | 6646991.221 | 176.45 | | | |
| 41 | 853647.093 | 6646999.271 | 176.508 | ST | 209 | pts est |
| 41 | 853649.282 | 6646992.409 | 176.485 | | | |
| 42 | 853644.683 | 6646997.874 | 176.419 | ST | 210 | pts sud/ouest |
| 42 | 853648.703 | 6646991.573 | 176.451 | | | |

ANNEXE 6 - LISTING DES POINTS TOPOGRAPHIQUES (2022)

| Listing des points topographiques-2022 | | | | | | |
|--|------------|-------------|---------|-----------|-----------|----------------|
| ID | X | Y | Z | Référence | Structure | Situation |
| 43 | 853645.445 | 6646997.005 | 176.429 | ST | 210 | pts sud/est |
| 43 | 853648.738 | 6646991.497 | 175.139 | | | |
| 44 | 853646.138 | 6646999.461 | 176.478 | ST | 210 | pts nord/ouest |
| 44 | 853648.478 | 6646991.062 | 175.189 | | | |
| 45 | 853646.849 | 6646998.877 | 176.492 | ST | 210 | pts nord/est |
| 45 | 853648.455 | 6646991.118 | 176.51 | | | |
| 46 | 853644.442 | 6646995.203 | 176.401 | ST | 211 | pts ouest |
| 46 | 853733.798 | 6647160.648 | 181.809 | | | |
| 47 | 853645.522 | 6646994.226 | 176.44 | ST | 211 | pts est |
| 47 | 853730.894 | 6647152.177 | 181.774 | | | |
| 48 | 853645.462 | 6646995.434 | 176.423 | ST | 211 | pts nord |
| 48 | 853729.413 | 6647154.649 | 181.245 | | | |
| 49 | 853645.94 | 6646995.927 | 176.432 | ST | 212 | pts ouest |
| 49 | 853731.249 | 6647159.841 | 181.253 | | | |
| 50 | 853646.528 | 6646995.439 | 176.44 | ST | 212 | pts est |
| 51 | 853647.283 | 6646997.077 | 176.449 | ST | 213 | pts ouest |
| 52 | 853647.671 | 6646996.838 | 176.449 | ST | 213 | pts est |
| 53 | 853648.342 | 6646999.113 | 176.491 | ST | 214 | pts ouest |
| 54 | 853650.292 | 6646997.816 | 176.521 | ST | 214 | pts est |
| 55 | 853648.502 | 6646998.611 | 176.501 | ST | 214 | pts sud/ouest |
| 56 | 853648.508 | 6646998.61 | 176.501 | ST | 214 | pts sud |
| 57 | 853648.874 | 6646998.13 | 176.492 | ST | 214 | pts sud/est |
| 58 | 853649.241 | 6646997.467 | 176.493 | ST | 214 | pts sud/est2 |
| 59 | 853649.315 | 6646999.547 | 176.548 | ST | 214 | pts nord/ouest |
| 60 | 853650.232 | 6646998.894 | 176.539 | ST | 214 | pts nord/est |
| 61 | 853648.799 | 6646996.882 | 176.484 | ST | 215 | pts ouest |
| 62 | 853649.135 | 6646996.644 | 176.485 | ST | 215 | pts est |
| 63 | 853649.126 | 6646996.651 | 176.485 | ST | 216 | pts ouest |
| 64 | 853649.637 | 6646996.425 | 176.484 | ST | 216 | pts est |
| 65 | 853649.629 | 6646996.411 | 176.484 | ST | 217 | pts ouest |
| 66 | 853650.359 | 6646996.013 | 176.508 | ST | 217 | pts est |
| 67 | 853649.836 | 6646996.104 | 176.49 | ST | 217 | pts sud |
| 68 | 853650.18 | 6646996.472 | 176.507 | ST | 217 | pts nord |
| 69 | 853650.572 | 6646996.123 | 176.515 | ST | 217 | pts nord/est2 |
| 70 | 853650.394 | 6646996.27 | 176.51 | ST | 217 | pts nord/est1 |
| 71 | 853649.419 | 6646996.161 | 176.476 | ST | 218 | pts ouest |
| 72 | 853649.834 | 6646995.768 | 176.504 | ST | 218 | pts est |
| 73 | 853649.403 | 6646995.876 | 176.492 | ST | 218 | pts sud |
| 74 | 853649.723 | 6646996.167 | 176.484 | ST | 218 | pts nord |
| 75 | 853648.725 | 6646996.099 | 176.468 | ST | 219 | pts ouest |
| 76 | 853649.335 | 6646995.577 | 176.49 | ST | 219 | pts est |
| 77 | 853648.781 | 6646995.686 | 176.469 | ST | 219 | pts sud |
| 78 | 853649.167 | 6646996.15 | 176.485 | ST | 219 | pts nord |
| 79 | 853648.854 | 6646995.306 | 176.478 | ST | 220 | pts ouest |

ANNEXE 6 - LISTING DES POINTS TOPOGRAPHIQUES (2022)

| Listing des points topographiques-2022 | | | | | | |
|--|------------|-------------|---------|-----------|-----------|----------------|
| ID | X | Y | Z | Référence | Structure | Situation |
| 80 | 853649.251 | 6646994.945 | 176.496 | ST | 220 | pts est |
| 81 | 853649.232 | 6646994.885 | 176.496 | ST | 221 | pts ouest |
| 82 | 853649.556 | 6646994.576 | 176.505 | ST | 221 | pts est |
| 83 | 853648.485 | 6646994.518 | 176.494 | ST | 222 | pts ouest |
| 84 | 853648.835 | 6646994.161 | 176.495 | ST | 222 | pts est |
| 85 | 853647.059 | 6646994.3 | 176.469 | ST | 223 | pts ouest |
| 86 | 853647.27 | 6646994.029 | 176.47 | ST | 223 | pts est |
| 87 | 853646.065 | 6646993.747 | 176.45 | ST | 224 | pts ouest |
| 88 | 853647.299 | 6646992.688 | 176.444 | ST | 224 | pts est |
| 89 | 853646.974 | 6646993.915 | 176.46 | ST | 224 | pts nord |
| 90 | 853651.234 | 6646995.581 | 176.522 | ST | 225 | pts ouest |
| 91 | 853652.493 | 6646994.889 | 176.547 | ST | 225 | pts est |
| 92 | 853651.767 | 6646995.091 | 176.532 | ST | 225 | pts sud |
| 93 | 853651.986 | 6646995.61 | 176.557 | ST | 225 | pts nord |
| 94 | 853651.269 | 6646994.319 | 176.521 | ST | 226 | pts ouest |
| 95 | 853651.636 | 6646994.039 | 176.528 | ST | 226 | pts est |
| 96 | 853651.03 | 6646993.004 | 176.504 | ST | 227 | pts ouest |
| 97 | 853651.036 | 6646993.009 | 176.504 | ST | 227 | pts est |
| 98 | 853651.416 | 6646992.768 | 176.492 | ST | 227 | pts est |
| 99 | 853651.084 | 6646992.208 | 176.484 | ST | 228 | pts ouest |
| 100 | 853651.115 | 6646991.731 | 176.475 | ST | 228 | pts sud/ouest |
| 101 | 853651.107 | 6646991.213 | 176.476 | ST | 228 | pts sud |
| 102 | 853651.633 | 6646991.834 | 176.462 | ST | 228 | pts est |
| 103 | 853651.695 | 6646992.668 | 176.472 | ST | 228 | pts nord |
| 104 | 853651.832 | 6646993.738 | 176.516 | ST | 229 | pts ouest |
| 105 | 853651.758 | 6646993.005 | 176.454 | ST | 229 | pts sud/ouest |
| 106 | 853651.938 | 6646992.934 | 176.454 | ST | 229 | pts sud |
| 107 | 853652.03 | 6646992.73 | 176.47 | ST | 229 | pts sud/est1 |
| 108 | 853652.339 | 6646992.905 | 176.477 | ST | 229 | pts sud/est2 |
| 109 | 853652.286 | 6646993.595 | 176.488 | ST | 229 | pts est |
| 110 | 853652.339 | 6646994.077 | 176.501 | ST | 229 | pts nord/est |
| 111 | 853652.306 | 6646994.658 | 176.528 | ST | 229 | pts nord |
| 112 | 853652.051 | 6646994.553 | 176.523 | ST | 229 | pts nord/ouest |
| 113 | 853651.021 | 6646989.406 | 176.42 | ST | 230 | pts ouest |
| 114 | 853653.168 | 6646987.804 | 176.438 | ST | 230 | pts est |
| 115 | 853651.75 | 6646990.755 | 176.462 | ST | 231 | pts ouest |
| 116 | 853652.23 | 6646990.37 | 176.45 | ST | 231 | pts est |
| 117 | 853653.402 | 6646989.317 | 176.456 | ST | 232 | pts ouest |
| 118 | 853653.691 | 6646989.109 | 176.452 | ST | 232 | pts est |
| 119 | 853652.655 | 6646990.414 | 176.446 | ST | 233 | pts ouest |
| 120 | 853653.192 | 6646990.109 | 176.467 | ST | 233 | pts est |
| 121 | 853652.721 | 6646989.933 | 176.461 | ST | 233 | pts sud |
| 122 | 853653.157 | 6646990.593 | 176.464 | ST | 233 | pts nord |
| 123 | 853652.41 | 6646991.09 | 176.468 | ST | 234 | pts ouest |

ANNEXE 6 - LISTING DES POINTS TOPOGRAPHIQUES (2022)

| Listing des points topographiques-2022 | | | | | | |
|--|------------|-------------|---------|-----------|-----------|----------------|
| ID | X | Y | Z | Référence | Structure | Situation |
| 124 | 853653.016 | 6646990.658 | 176.468 | ST | 234 | pts est |
| 125 | 853652.467 | 6646990.628 | 176.449 | ST | 234 | pts sud |
| 126 | 853652.718 | 6646990.472 | 176.444 | ST | 234 | pts sud/est |
| 127 | 853652.897 | 6646991.224 | 176.473 | ST | 234 | pts nord |
| 128 | 853652.295 | 6646992.519 | 176.481 | ST | 235 | pts ouest |
| 129 | 853653.245 | 6646991.955 | 176.481 | ST | 235 | pts est |
| 130 | 853652.486 | 6646991.788 | 176.473 | ST | 235 | pts sud |
| 131 | 853653.12 | 6646992.767 | 176.496 | ST | 235 | pts nord |
| 132 | 853653.882 | 6646990.393 | 176.476 | ST | 236 | pts ouest |
| 133 | 853654.212 | 6646989.548 | 176.468 | ST | 236 | pts sud/est |
| 134 | 853654.975 | 6646989.201 | 176.433 | ST | 236 | pts sud/est |
| 135 | 853655.665 | 6646990.199 | 176.458 | ST | 236 | pts nord/est |
| 136 | 853654.727 | 6646990.487 | 176.466 | ST | 236 | pts nord |
| 137 | 853655.274 | 6646991.385 | 176.464 | ST | 237 | pts ouest |
| 138 | 853655.415 | 6646991.321 | 176.465 | ST | 237 | pts est |
| 139 | 853655.285 | 6646991.097 | 176.466 | ST | 237 | pts sud |
| 140 | 853655.481 | 6646991.566 | 176.484 | ST | 237 | pts nord |
| 141 | 853654.111 | 6646993.328 | 176.515 | ST | 238 | pts ouest |
| 142 | 853654.559 | 6646993.053 | 176.494 | ST | 238 | pts est |
| 143 | 853654.078 | 6646992.907 | 176.514 | ST | 238 | pts sud |
| 144 | 853654.464 | 6646993.58 | 176.531 | ST | 238 | pts nord |
| 145 | 853655.635 | 6646993.214 | 176.541 | ST | 239 | pts ouest |
| 146 | 853656.568 | 6646992.655 | 176.549 | ST | 239 | pts est |
| 147 | 853655.732 | 6646992.431 | 176.524 | ST | 239 | pts sud |
| 148 | 853656.408 | 6646993.51 | 176.551 | ST | 239 | pts nord |
| 149 | 853655.221 | 6646993.601 | 176.54 | ST | 240 | pts ouest |
| 150 | 853655.581 | 6646993.423 | 176.549 | ST | 240 | pts est |
| 151 | 853653.842 | 6646994.44 | 176.562 | ST | 241 | pts ouest |
| 152 | 853655.304 | 6646993.918 | 176.545 | ST | 241 | pts est |
| 153 | 853654.479 | 6646993.888 | 176.541 | ST | 241 | pts sud |
| 154 | 853654.721 | 6646994.408 | 176.568 | ST | 241 | pts nord |
| 155 | 853652.975 | 6646995.762 | 176.557 | ST | 242 | pts ouest |
| 156 | 853653.628 | 6646995.251 | 176.538 | ST | 242 | pts est |
| 157 | 853653.063 | 6646995.131 | 176.562 | ST | 242 | pts sud |
| 158 | 853653.492 | 6646995.914 | 176.558 | ST | 242 | pts nord |
| 159 | 853653.978 | 6646994.965 | 176.582 | ST | 243 | pts est |
| 160 | 853653.483 | 6646995.125 | 176.549 | ST | 243 | pts sud/ouest |
| 161 | 853653.641 | 6646994.886 | 176.572 | ST | 243 | pts sud |
| 162 | 853653.691 | 6646995.407 | 176.535 | ST | 243 | pts nord/ouest |
| 163 | 853653.862 | 6646995.311 | 176.551 | ST | 243 | pts nord |
| 164 | 853654.149 | 6646995.61 | 176.565 | ST | 244 | pts ouest |
| 165 | 853654.525 | 6646995.266 | 176.578 | ST | 244 | pts est |
| 166 | 853654.605 | 6646995.017 | 176.582 | ST | 245 | pts ouest |
| 167 | 853654.947 | 6646994.765 | 176.579 | ST | 245 | pts est |

ANNEXE 6 - LISTING DES POINTS TOPOGRAPHIQUES (2022)

| Listing des points topographiques-2022 | | | | | | |
|--|------------|-------------|---------|-----------|-----------|----------------|
| ID | X | Y | Z | Référence | Structure | Situation |
| 168 | 853655.131 | 6646994.942 | 176.572 | ST | 246 | pts ouest |
| 169 | 853655.699 | 6646994.469 | 176.554 | ST | 246 | pts est |
| 170 | 853655.169 | 6646994.376 | 176.562 | ST | 246 | pts sud |
| 171 | 853655.613 | 6646995.151 | 176.56 | ST | 246 | pts nord |
| 172 | 853657.139 | 6646992.82 | 176.542 | ST | 247 | pts ouest |
| 173 | 853657.156 | 6646992.451 | 176.521 | ST | 247 | pts sud |
| 174 | 853657.445 | 6646992.901 | 176.514 | ST | 247 | pts nord |
| 175 | 853657.535 | 6646993.732 | 176.586 | ST | 248 | pts ouest |
| 176 | 853657.58 | 6646993.088 | 176.569 | ST | 248 | pts sud |
| 177 | 853657.818 | 6646994.186 | 176.579 | ST | 248 | pts nord/ouest |
| 178 | 853658.324 | 6646994.216 | 176.562 | ST | 248 | pts nord |
| 179 | 853656.304 | 6646994.795 | 176.6 | ST | 249 | pts ouest |
| 180 | 853656.519 | 6646994.673 | 176.596 | ST | 249 | pts est |
| 181 | 853655.057 | 6646995.587 | 176.629 | ST | 250 | pts ouest |
| 182 | 853655.411 | 6646995.412 | 176.625 | ST | 250 | pts est |
| 183 | 853654.112 | 6646997.206 | 176.614 | ST | 251 | pts est |
| 184 | 853653.711 | 6646997.044 | 176.621 | ST | 251 | pts sud |
| 185 | 853654.024 | 6646997.66 | 176.585 | ST | 251 | pts nord |
| 186 | 853654.5 | 6646996.383 | 176.632 | ST | 252 | pts ouest |
| 187 | 853655.143 | 6646996.077 | 176.633 | ST | 252 | pts est |
| 188 | 853655.209 | 6646996.373 | 176.634 | ST | 253 | pts ouest |
| 189 | 853655.546 | 6646996.139 | 176.623 | ST | 253 | pts est |
| 190 | 853655.942 | 6646996.604 | 176.635 | ST | 254 | pts ouest |
| 191 | 853657.025 | 6646995.937 | 176.595 | ST | 254 | pts est |
| 192 | 853656.317 | 6646996.086 | 176.622 | ST | 254 | pts sud |
| 193 | 853656.603 | 6646996.518 | 176.623 | ST | 254 | pts nord |
| 194 | 853656.542 | 6646995.824 | 176.612 | ST | 254 | pts sud/est |
| 195 | 853656.838 | 6646996.422 | 176.61 | ST | 254 | pts nord/est |
| 196 | 853655.12 | 6646995.397 | 176.612 | ST | 254' | pts sud/ouest |
| 197 | 853656.536 | 6646994.674 | 176.598 | ST | 254' | pts sud/est |
| 198 | 853655.802 | 6646996.739 | 176.643 | ST | 254' | pts nord/ouest |
| 199 | 853657.264 | 6646995.95 | 176.601 | ST | 254' | pts nord/est |
| 200 | 853657.025 | 6646995.367 | 176.605 | ST | 320 | pts ouest |
| 201 | 853657.362 | 6646995.117 | 176.598 | ST | 320 | pts est |
| 202 | 853656.885 | 6646995.166 | 176.602 | ST | 320 | pts sud |
| 203 | 853657.163 | 6646995.567 | 176.608 | ST | 320 | pts nord |
| 204 | 853657.435 | 6646994.94 | 176.601 | ST | 255 | pts ouest |
| 205 | 853657.624 | 6646994.696 | 176.6 | ST | 255 | pts est |
| 206 | 853657.397 | 6646994.45 | 176.593 | ST | 255 | pts sud |
| 207 | 853657.762 | 6646995.159 | 176.601 | ST | 255 | pts nord |
| 208 | 853658.814 | 6646995.425 | 176.518 | ST | 256 | pts ouest |
| 209 | 853658.836 | 6646994.976 | 176.536 | ST | 256 | pts sud |
| 210 | 853659.432 | 6646995.864 | 176.51 | ST | 256 | pts nord |
| 211 | 853659.117 | 6646995.658 | 176.518 | ST | 256 | pts nord/ouest |

ANNEXE 6 - LISTING DES POINTS TOPOGRAPHIQUES (2022)

| Listing des points topographiques-2022 | | | | | | |
|--|------------|-------------|---------|-----------|-----------|----------------|
| ID | X | Y | Z | Référence | Structure | Situation |
| 212 | 853656.929 | 6646996.996 | 176.578 | ST | 257 | pts ouest |
| 213 | 853657.207 | 6646996.751 | 176.578 | ST | 257 | pts est |
| 214 | 853655.878 | 6646997.302 | 176.594 | ST | 258 | pts ouest |
| 215 | 853656.689 | 6646996.952 | 176.598 | ST | 258 | pts est |
| 216 | 853656.016 | 6646996.835 | 176.627 | ST | 258 | pts sud |
| 217 | 853656.568 | 6646997.589 | 176.559 | ST | 258 | pts nord |
| 218 | 853655.143 | 6646999.081 | 176.506 | ST | 259 | pts est |
| 219 | 853654.568 | 6646998.685 | 176.531 | ST | 259 | pts sud |
| 220 | 853655.282 | 6646999.916 | 176.527 | ST | 259 | pts nord |
| 221 | 853657.074 | 6646997.614 | 176.551 | ST | 260 | pts ouest |
| 222 | 853657.875 | 6646997.257 | 176.546 | ST | 260 | pts est |
| 223 | 853657.054 | 6646997.292 | 176.57 | ST | 260 | pts sud |
| 224 | 853657.857 | 6646997.528 | 176.552 | ST | 260 | pts nord |
| 225 | 853658.696 | 6646996.288 | 176.544 | ST | 261 | pts ouest |
| 226 | 853658.983 | 6646996.021 | 176.527 | ST | 261 | pts est |
| 227 | 853658.578 | 6646995.897 | 176.54 | ST | 261 | pts sud |
| 228 | 853659.078 | 6646996.503 | 176.548 | ST | 261 | pts nord |
| 229 | 853658.532 | 6646996.191 | 176.544 | ST | 261 | pts sud/ouest |
| 230 | 853658.866 | 6646995.839 | 176.528 | ST | 261 | pts sud/est |
| 231 | 853658.72 | 6646997.393 | 176.561 | ST | 262 | pts ouest |
| 232 | 853659.029 | 6646997.048 | 176.582 | ST | 262 | pts est |
| 233 | 853657.417 | 6646998.387 | 176.558 | ST | 263 | pts sud/ouest |
| 234 | 853658.284 | 6646997.806 | 176.574 | ST | 263 | pts sud/est |
| 235 | 853658.7 | 6646999.89 | 176.641 | ST | 263 | pts nord/ouest |
| 236 | 853659.195 | 6646999.639 | 176.654 | ST | 263 | pts nord |
| 237 | 853659.366 | 6646998.95 | 176.619 | ST | 263 | pts nord/est |
| 238 | 853651.707 | 6647011.92 | 177.29 | ST | borne 5 | |
| 239 | 853657.251 | 6646999.455 | 176.585 | ST | 264 | pts ouest |
| 240 | 853657.538 | 6646999.143 | 176.578 | ST | 264 | pts est |
| 241 | 853657.249 | 6647000.726 | 176.612 | ST | 265 | pts ouest |
| 242 | 853657.994 | 6646999.966 | 176.616 | ST | 265 | pts est |
| 243 | 853656.814 | 6646999.995 | 176.6 | ST | 265 | pts sud/ouest |
| 244 | 853657.555 | 6646999.246 | 176.578 | ST | 265 | pts sud/est |
| 245 | 853657.745 | 6647000.774 | 176.655 | ST | 265 | pts nord/ouest |
| 246 | 853658.317 | 6647000.648 | 176.712 | ST | 265 | pts nord |
| 247 | 853658.605 | 6647000.171 | 176.67 | ST | 265 | pts nord/est |
| 248 | 853656.986 | 6647000.919 | 176.622 | ST | 266 | pts ouest |
| 249 | 853657.203 | 6647000.721 | 176.61 | ST | 266 | pts est |
| 250 | 853656.744 | 6647001.208 | 176.609 | ST | 267 | pts est |
| 251 | 853655.863 | 6647000.867 | 176.583 | ST | 267 | pts sud |
| 252 | 853656.618 | 6647002.088 | 176.702 | ST | 267 | pts nord |
| 253 | 853657.052 | 6647002.172 | 176.724 | ST | 268 | pts ouest |
| 254 | 853657.28 | 6647001.997 | 176.729 | ST | 268 | pts est |
| 255 | 853657.59 | 6647001.643 | 176.686 | ST | 269 | pts ouest |

ANNEXE 6 - LISTING DES POINTS TOPOGRAPHIQUES (2022)

| Listing des points topographiques-2022 | | | | | | |
|--|------------|-------------|---------|-----------|-----------|----------------|
| ID | X | Y | Z | Référence | Structure | Situation |
| 256 | 853657.726 | 6647001.488 | 176.686 | ST | 269 | pts est |
| 257 | 853658.083 | 6647001.13 | 176.688 | ST | 270 | pts ouest |
| 258 | 853658.341 | 6647000.917 | 176.695 | ST | 270 | pts est |
| 259 | 853658.577 | 6647000.867 | 176.708 | ST | 271 | pts ouest |
| 260 | 853659.297 | 6647000.531 | 176.7 | ST | 271 | pts est |
| 261 | 853658.912 | 6647000.569 | 176.697 | ST | 271 | pts sud |
| 262 | 853659.056 | 6647000.793 | 176.725 | ST | 271 | pts nord |
| 263 | 853658.823 | 6647000.445 | 176.678 | ST | 272 | pts ouest |
| 264 | 853659.524 | 6646999.808 | 176.647 | ST | 272 | pts sud/est |
| 265 | 853659.725 | 6647000.074 | 176.705 | ST | 272 | pts nord/est |
| 266 | 853659.3 | 6647000.71 | 176.724 | ST | 273 | pts sud/ouest |
| 267 | 853660.043 | 6647000.424 | 176.722 | ST | 273 | pts sud/est |
| 268 | 853659.395 | 6647000.951 | 176.727 | ST | 273 | pts nord/ouest |
| 269 | 853660.266 | 6647000.706 | 176.721 | ST | 273 | pts nord/est |
| 270 | 853659.595 | 6646999.323 | 176.577 | ST | 274 | pts ouest |
| 271 | 853659.994 | 6646999.063 | 176.585 | ST | 274 | pts est |
| 272 | 853659.371 | 6646998.482 | 176.562 | ST | 275 | pts ouest |
| 273 | 853659.76 | 6646998.048 | 176.566 | ST | 275 | pts est |
| 274 | 853659.431 | 6646998.112 | 176.561 | ST | 275 | pts sud |
| 275 | 853659.73 | 6646998.335 | 176.571 | ST | 275 | pts nord |
| 276 | 853659.019 | 6646997.986 | 176.556 | ST | 276 | pts ouest |
| 277 | 853659.407 | 6646997.68 | 176.567 | ST | 276 | pts est |
| 278 | 853659.922 | 6646999.839 | 176.686 | ST | 277 | pts ouest |
| 279 | 853660.773 | 6646999.191 | 176.696 | ST | 277 | pts est |
| 280 | 853660.255 | 6646999.239 | 176.627 | ST | 277 | pts sud |
| 281 | 853660.736 | 6646999.708 | 176.715 | ST | 277 | pts nord |
| 282 | 853661.45 | 6646999.242 | 176.729 | ST | 278 | pts ouest |
| 283 | 853661.52 | 6646998.751 | 176.675 | ST | 278 | pts sud |
| 284 | 853661.925 | 6646999.386 | 176.685 | ST | 278 | pts nord |
| 285 | 853660.452 | 6647000.371 | 176.713 | ST | 279 | pts ouest |
| 286 | 853660.683 | 6647000.194 | 176.724 | ST | 279 | pts est |
| 287 | 853659.838 | 6647001.393 | 176.718 | ST | 280 | pts sud/ouest |
| 288 | 853660.707 | 6647000.756 | 176.718 | ST | 280 | pts sud/est |
| 289 | 853660.025 | 6647001.798 | 176.731 | ST | 280 | pts nord/ouest |
| 290 | 853660.071 | 6647001.533 | 176.717 | ST | 280 | pts nord |
| 291 | 853660.936 | 6647000.976 | 176.722 | ST | 280 | pts nord/est |
| 292 | 853658.879 | 6647002.216 | 176.727 | ST | 281 | pts ouest |
| 293 | 853659.332 | 6647001.691 | 176.742 | ST | 281 | pts est |
| 294 | 853658.929 | 6647001.817 | 176.723 | ST | 281 | pts sud |
| 295 | 853659.42 | 6647002.266 | 176.736 | ST | 281 | pts nord |
| 296 | 853657.611 | 6647002.34 | 176.7 | ST | 282 | pts ouest |
| 297 | 853657.914 | 6647002.075 | 176.709 | ST | 282 | pts est |
| 298 | 853657.549 | 6647001.954 | 176.702 | ST | 282 | pts sud |
| 299 | 853657.989 | 6647002.456 | 176.718 | ST | 282 | pts nord |

ANNEXE 6 - LISTING DES POINTS TOPOGRAPHIQUES (2022)

| Listing des points topographiques-2022 | | | | | | |
|--|------------|-------------|---------|-----------|-----------|-----------------|
| ID | X | Y | Z | Référence | Structure | Situation |
| 300 | 853658.32 | 6647002.679 | 176.707 | ST | 283 | pts ouest |
| 301 | 853658.704 | 6647002.398 | 176.726 | ST | 283 | pts est |
| 302 | 853657.921 | 6647002.802 | 176.721 | ST | 284 | pts ouest |
| 303 | 853658.105 | 6647002.664 | 176.723 | ST | 284 | pts est |
| 304 | 853657.894 | 6647002.546 | 176.708 | ST | 284 | pts sud |
| 305 | 853658.167 | 6647002.934 | 176.726 | ST | 284 | pts nord |
| 306 | 853657.76 | 6647003.22 | 176.729 | ST | 285 | pts ouest |
| 307 | 853657.922 | 6647003.022 | 176.722 | ST | 285 | pts est |
| 308 | 853658.171 | 6647003.732 | 176.756 | ST | 286 | pts ouest |
| 309 | 853658.299 | 6647003.672 | 176.746 | ST | 286 | pts est |
| 310 | 853658.359 | 6647003.524 | 176.746 | ST | 287 | pts ouest |
| 311 | 853658.867 | 6647003.087 | 176.743 | ST | 287 | pts est |
| 312 | 853658.969 | 6647003.277 | 176.746 | ST | 288 | pts sud/ouest |
| 313 | 853658.965 | 6647003.275 | 176.746 | ST | 288 | pts sud/ouest |
| 314 | 853659.73 | 6647002.576 | 176.734 | ST | 288 | pts sud/est |
| 315 | 853659.151 | 6647003.608 | 176.755 | ST | 288 | pts nord/ouest |
| 316 | 853659.961 | 6647002.699 | 176.74 | ST | 288 | pts nord/est |
| 317 | 853660.404 | 6647001.7 | 176.734 | ST | 289 | pts ouest |
| 318 | 853660.62 | 6647001.523 | 176.735 | ST | 289 | pts est |
| 319 | 853660.506 | 6647001.976 | 176.739 | ST | 290 | pts sud/ouest |
| 320 | 853661.253 | 6647001.318 | 176.741 | ST | 290 | pts sud |
| 321 | 853661.787 | 6647001.207 | 176.747 | ST | 290 | pts sud/est |
| 322 | 853660.833 | 6647002.371 | 176.749 | ST | 290 | pts nord/ouest1 |
| 323 | 853661.211 | 6647002.269 | 176.753 | ST | 290 | pts nord/ouest2 |
| 324 | 853661.716 | 6647002.326 | 176.755 | ST | 290 | pts nord |
| 325 | 853661.811 | 6647001.733 | 176.748 | ST | 290 | pts nord/est1 |
| 326 | 853662.388 | 6647001.24 | 176.772 | ST | 290 | pts nord/est2 |
| 327 | 853661.432 | 6647000.959 | 176.732 | ST | 291 | pts ouest |
| 328 | 853662.153 | 6646999.684 | 176.678 | ST | 291 | pts sud |
| 329 | 853662.864 | 6647000.718 | 176.76 | ST | 291 | pts nord |
| 330 | 853663.316 | 6647001.772 | 176.805 | ST | 292 | pts ouest |
| 331 | 853663.265 | 6647001.31 | 176.798 | ST | 292 | pts sud |
| 332 | 853663.761 | 6647001.908 | 176.811 | ST | 292 | pts nord |
| 333 | 853662.213 | 6647002.152 | 176.765 | ST | 293 | pts ouest |
| 334 | 853662.491 | 6647001.879 | 176.765 | ST | 293 | pts est |
| 335 | 853659.806 | 6647004.487 | 176.802 | ST | 295 | pts est |
| 336 | 853658.892 | 6647004.544 | 176.791 | ST | 295 | pts sud |
| 337 | 853659.42 | 6647005.308 | 176.832 | ST | 295 | pts nord |
| 338 | 853660.439 | 6647005.719 | 176.845 | ST | 296 | pts est |
| 339 | 853659.954 | 6647005.688 | 176.847 | ST | 296 | pts sud |
| 340 | 853660.253 | 6647006.168 | 176.862 | ST | 296 | pts nord |
| 341 | 853662.152 | 6647004.544 | 176.824 | ST | 297 | pts ouest |
| 342 | 853662.568 | 6647004.189 | 176.812 | ST | 297 | pts est |
| 343 | 853663.313 | 6647001.748 | 176.807 | ST | 298 | pts ouest |

ANNEXE 6 - LISTING DES POINTS TOPOGRAPHIQUES (2022)

| Listing des points topographiques-2022 | | | | | | |
|--|------------|-------------|---------|-----------|-----------|----------------|
| ID | X | Y | Z | Référence | Structure | Situation |
| 344 | 853663.281 | 6647001.287 | 176.791 | ST | 298 | pts sud |
| 345 | 853663.763 | 6647001.902 | 176.811 | ST | 298 | pts nord |
| 346 | 853663.732 | 6647002.967 | 176.81 | ST | 299 | pts ouest |
| 347 | 853663.978 | 6647002.741 | 176.824 | ST | 299 | pts est |
| 348 | 853664.304 | 6647002.863 | 176.829 | ST | 300 | pts ouest |
| 349 | 853664.307 | 6647002.652 | 176.841 | ST | 300 | pts sud |
| 350 | 853664.507 | 6647002.882 | 176.82 | ST | 300 | pts nord |
| 351 | 853664.705 | 6647003.505 | 176.822 | ST | 301 | pts ouest |
| 352 | 853664.752 | 6647003.226 | 176.804 | ST | 301 | pts sud |
| 353 | 853665.01 | 6647003.513 | 176.818 | ST | 301 | pts nord |
| 354 | 853665.308 | 6647004.593 | 176.858 | ST | 302 | pts ouest |
| 355 | 853665.587 | 6647004.358 | 176.875 | ST | 302 | pts est |
| 356 | 853664.665 | 6647004.756 | 176.852 | ST | 303 | pts ouest |
| 357 | 853665.211 | 6647004.443 | 176.854 | ST | 303 | pts est |
| 358 | 853663.37 | 6647004.938 | 176.838 | ST | 304 | pts ouest |
| 359 | 853664.006 | 6647004.636 | 176.843 | ST | 304 | pts ouest2 |
| 360 | 853663.858 | 6647004.337 | 176.825 | ST | 304 | pts est |
| 361 | 853662.844 | 6647004.509 | 176.83 | ST | 304 | pts sud/ouest |
| 362 | 853664.794 | 6647005.115 | 176.86 | ST | 304 | pts nord/ouest |
| 363 | 853664.862 | 6647004.981 | 176.859 | ST | 304 | pts nord/est |
| 364 | 853662.234 | 6647006.1 | 176.85 | ST | 305 | pts ouest |
| 365 | 853662.747 | 6647005.8 | 176.859 | ST | 305 | pts est |
| 366 | 853661.28 | 6647006.733 | 176.854 | ST | 306 | pts est |
| 367 | 853660.497 | 6647006.585 | 176.867 | ST | 306 | pts sud |
| 368 | 853661.172 | 6647007.596 | 176.844 | ST | 306 | pts nord |
| 369 | 853663.781 | 6647005.277 | 176.853 | ST | 307 | pts ouest |
| 370 | 853664.19 | 6647005.024 | 176.84 | ST | 307 | pts est |
| 371 | 853664.622 | 6647005.434 | 176.869 | ST | 308 | pts ouest |
| 372 | 853664.848 | 6647005.143 | 176.861 | ST | 308 | pts est |
| 373 | 853662.772 | 6647005.777 | 176.855 | ST | 309 | pts sud/ouest |
| 374 | 853664.32 | 6647005.277 | 176.847 | ST | 309 | pts sud/est |
| 375 | 853664.305 | 6647007.464 | 176.911 | ST | 309 | pts nord/ouest |
| 376 | 853665.284 | 6647006.16 | 176.895 | ST | 309 | pts nord/est |
| 377 | 853665.789 | 6647005.818 | 176.897 | ST | 310 | pts ouest |
| 378 | 853666.186 | 6647005.132 | 176.883 | ST | 310 | pts sud |
| 379 | 853666.419 | 6647005.478 | 176.908 | ST | 310 | pts nord |
| 380 | 853663.425 | 6647007.644 | 176.904 | ST | 311 | pts ouest |
| 381 | 853663.886 | 6647007.147 | 176.897 | ST | 311 | pts est |
| 382 | 853662.864 | 6647007.164 | 176.855 | ST | 312 | pts ouest |
| 383 | 853663.281 | 6647006.776 | 176.884 | ST | 312 | pts est |
| 384 | 853662.196 | 6647007.599 | 176.858 | ST | 313 | pts ouest |
| 385 | 853662.849 | 6647007.036 | 176.858 | ST | 313 | pts est |
| 386 | 853661.86 | 6647008.181 | 176.872 | ST | 314 | pts est |
| 387 | 853661.544 | 6647008.073 | 176.881 | ST | 314 | pts sud |

ANNEXE 6 - LISTING DES POINTS TOPOGRAPHIQUES (2022)

| Listing des points topographiques-2022 | | | | | | |
|--|------------|-------------|---------|------------|------------|------------------|
| ID | X | Y | Z | Référence | Structure | Situation |
| 388 | 853661.794 | 6647008.543 | 176.879 | ST | 314 | pts nord |
| 389 | 853662.247 | 6647008.653 | 176.916 | ST | 315 | pts est |
| 390 | 853661.804 | 6647008.561 | 176.881 | ST | 315 | pts sud |
| 391 | 853662.127 | 6647009.181 | 176.974 | ST | 315 | pts nord |
| 392 | 853652.065 | 6646994.59 | 176.53 | ST | 316 | pts ouest |
| 393 | 853652.381 | 6646994.3 | 176.516 | ST | 316 | pts est |
| 394 | 853641.665 | 6646999.659 | 176.419 | ST | 317 | pts ouest |
| 395 | 853641.993 | 6646997.449 | 176.338 | ST | 317 | pts sud |
| 396 | 853642.661 | 6646998.508 | 176.421 | ST | 317 | pts nord |
| 397 | 853662.881 | 6647008.008 | 176.902 | ST | 318 | pts ouest |
| 398 | 853663.338 | 6647007.54 | 176.9 | ST | 318 | pts est |
| 399 | 853657.957 | 6647003.375 | 176.739 | ST | 319 | pts ouest |
| 400 | 853658.319 | 6647003.099 | 176.725 | ST | 319 | pts est |
| 401 | 853645.411 | 6646997.853 | 176.419 | ISO | 32 | |
| 402 | 853653.952 | 6646990.17 | 176.38 | ISO | 33 | |
| 403 | 853641.729 | 6646999.707 | 176.437 | ST | 317 | pts long berme O |
| 404 | 853642.712 | 6646998.54 | 176.448 | ST | 317 | pts est |
| 405 | 853642.022 | 6646997.419 | 176.351 | ST | 317 | pts berme sud |
| 406 | 853650.45 | 6646991.851 | 176.489 | pts geophy | zone nord | pts sud/ouest |
| 407 | 853653.532 | 6646989.567 | 176.455 | pts geophy | zone nord | pts sud |
| 408 | 853654.326 | 6646989.066 | 176.464 | pts geophy | zone nord | pts sud/est |
| 409 | 853665.896 | 6647006.618 | 176.972 | pts geophy | zone nord | pts nord |
| 410 | 853666.779 | 6647006.189 | 176.971 | pts geophy | zone nord | pts nord/est |
| 411 | 853662.623 | 6647009.04 | 177.023 | pts geophy | zone nord | pts nord/ouest |
| 412 | 853652.821 | 6646997.267 | 176.616 | pts geophy | zone ouest | pts nord/est |
| 413 | 853649.364 | 6646992.694 | 176.517 | pts geophy | zone ouest | pts sud/est |
| 414 | 853645.449 | 6647002.798 | 176.577 | pts geophy | zone ouest | pts nord/ouest |
| 415 | 853642.002 | 6646998.149 | 176.434 | pts geophy | zone ouest | pts sud/ouest |
| 416 | 853644.773 | 6646997.434 | 176.392 | ST | 321 | pts ouest |
| 417 | 853644.92 | 6646997.133 | 176.416 | ST | 321 | pts est |
| 418 | 853643.535 | 6646996.025 | 176.36 | ST | 322 | pts est |
| 419 | 853643.013 | 6646996.588 | 176.361 | ST | 322 | pts ouest |
| 420 | 853643.458 | 6646996.383 | 176.336 | ST | 322 | pts nord |
| 421 | 853652.414 | 6646991.424 | 176.465 | ST | 323 | pts sud |
| 422 | 853652.712 | 6646991.868 | 176.464 | ST | 323 | pts nord |
| 423 | 853652.661 | 6646991.534 | 176.458 | ST | 323/324 | pts jonction |
| 424 | 853652.986 | 6646991.272 | 176.447 | ST | 324 | pts nord |
| 425 | 853653.009 | 6646991.071 | 176.479 | ST | 324 | pts est |
| 426 | 853653.314 | 6646991.531 | 176.426 | ST | 325 | pts sud |
| 427 | 853653.614 | 6646991.96 | 176.451 | ST | 325 | pts nord |
| 428 | 853653.32 | 6646991.935 | 176.438 | ST | 325 | pts ouest |
| 429 | 853644.638 | 6646996.321 | 176.38 | ST | 326 | pts ouest |
| 430 | 853644.987 | 6646995.888 | 176.414 | ST | 326 | pts est |
| 431 | 853644.609 | 6646995.966 | 176.4 | ST | 326 | pts sud |

ANNEXE 6 - LISTING DES POINTS TOPOGRAPHIQUES (2022)

| Listing des points topographiques-2022 | | | | | | |
|--|------------|-------------|---------|-----------|-----------|---------------------|
| ID | X | Y | Z | Référence | Structure | Situation |
| 432 | 853651.586 | 6646990.499 | 176.437 | ST | 328 | pts ouest |
| 433 | 853651.898 | 6646990.298 | 176.436 | ST | 328 | pts est |
| 434 | 853651.293 | 6646990.221 | 176.443 | ST | 329 | pts ouest |
| 435 | 853651.304 | 6646989.873 | 176.432 | ST | 329 | pts est |
| 436 | 853651.186 | 6646990.005 | 176.429 | ST | 329 | pts angle sud ouest |
| 437 | 853651.404 | 6646990.052 | 176.432 | ST | 329 | pts arc |
| 438 | 853645.318 | 6646998.373 | 176.43 | ST | 330 | pts ouest |
| 439 | 853645.478 | 6646998.067 | 176.433 | ST | 330 | pts est |
| 440 | 853648.798 | 6646999.186 | 176.495 | ISO | 34 | |
| 441 | 853646.84 | 6646999.162 | 176.501 | ISO | 35 | |
| 442 | 853647.617 | 6646998.942 | 176.505 | CCPE | 209 | |
| 443 | 853643.276 | 6646996.359 | 176.602 | CCPE | 210 | |
| 444 | 853645.279 | 6646995.603 | 176.539 | CCPE | 211 | |
| 445 | 853643.625 | 6646997.679 | 176.51 | CCPE | 212 | |
| 447 | 853651.295 | 6646990.579 | 176.494 | CCPE | 215 | |
| 448 | 853652.853 | 6646989.827 | 176.497 | CCPE | 216 | |
| 449 | 853643.393 | 6646999.938 | 176.521 | CCPE | 214 | |
| 450 | 853643.452 | 6646999.875 | 176.53 | CCPE | 214 | |
| 451 | 853644.922 | 6647002.367 | 176.553 | CCPE | 213 | |
| 452 | 853648.515 | 6646999.506 | 176.577 | CCPE | 217 | |
| 453 | 853648.968 | 6646999.65 | 176.567 | CCPE | 218 | |
| 454 | 853649.124 | 6646997.477 | 176.447 | CCPE | 219 | |
| 455 | 853649.43 | 6646997.88 | 176.457 | CCPE | 220 | |
| 456 | 853643.367 | 6647001.931 | 176.589 | CCPE | 221 | |
| 457 | 853646.018 | 6647000.106 | 176.609 | CCPE | 222 | |
| 458 | 853652.616 | 6646991.759 | 176.479 | ST | 235 | pts sud |
| 459 | 853653.295 | 6646993.512 | 176.441 | ST | 235 | pts nord |
| 460 | 853653.772 | 6646992.492 | 176.457 | ST | 235 | pts est |
| 461 | 853652.704 | 6646992.573 | 176.48 | ST | 235 | pts ouest |
| 462 | 853660.418 | 6647004.385 | 176.799 | ST | 294 | pts nord |
| 463 | 853660.994 | 6647002.658 | 176.766 | ST | 294 | pts sud |
| 464 | 853660.264 | 6647003.313 | 176.757 | ST | 294 | pts ouest |
| 465 | 853661.705 | 6647003.891 | 176.807 | ST | 294 | pts est |
| 466 | 853661.326 | 6647005.561 | 176.835 | ST | 333 | pts nord |
| 467 | 853661.693 | 6647004.636 | 176.8 | ST | 333 | pts sud |
| 468 | 853661.052 | 6647004.921 | 176.814 | ST | 333 | pts ouest |
| 469 | 853661.879 | 6647005.428 | 176.823 | ST | 333 | pts est |
| 470 | 853643.575 | 6646995.976 | 176.349 | ST | 322 | pts est |
| 471 | 853642.477 | 6646997.054 | 176.35 | ST | 322 | pts ouest |
| 472 | 853643.189 | 6646996.745 | 176.372 | ST | 322 | pts nord |
| 473 | 853653.45 | 6646994.769 | 176.49 | ST | 331 | pts est |
| 474 | 853652.787 | 6646994.706 | 176.541 | ST | 331 | pts ouest |
| 475 | 853652.531 | 6646989.451 | 176.467 | ST | 332 | pts sud |
| 476 | 853652.395 | 6646990.053 | 176.398 | ST | 332 | pts nord |

ANNEXE 6 - LISTING DES POINTS TOPOGRAPHIQUES (2022)

| Listing des points topographiques-2022 | | | | | | |
|--|------------|-------------|---------|-----------|-----------|----------------|
| ID | X | Y | Z | Référence | Structure | Situation |
| 477 | 853656.866 | 6646998.231 | 176.491 | ST | 334 | pts nord |
| 478 | 853656.893 | 6646997.741 | 176.503 | ST | 334 | pts sud |
| 479 | 853649.18 | 6646997.568 | 176.438 | ST | 335 | pts sud |
| 480 | 853649.37 | 6646997.81 | 176.199 | ST | 335 | pts nord |
| 481 | 853648.615 | 6646999.551 | 176.539 | ST | 336 | pts ouest |
| 482 | 853648.961 | 6646999.668 | 176.539 | ST | 336 | pts est |
| 483 | 853643.67 | 6647000.949 | 176.427 | ST | 337 | pts nord |
| 484 | 853643.73 | 6647000.635 | 176.278 | ST | 337 | pts sud |
| 485 | 853645.438 | 6646996.798 | 176.431 | ST | 339 | pts nord |
| 486 | 853645.393 | 6646996.43 | 176.432 | ST | 339 | pts sud |
| 487 | 853655.675 | 6646992.945 | 176.317 | ST | 340 | pts nord |
| 488 | 853655.735 | 6646992.773 | 176.311 | ST | 340 | pts sud |
| 489 | 853655.664 | 6646992.81 | 176.308 | ST | 340 | pts ouest |
| 490 | 853655.766 | 6646992.886 | 176.312 | ST | 340 | pts est |
| 491 | 853653.56 | 6646997.037 | 176.622 | US | 2005 | pts nord/est |
| 492 | 853651.202 | 6646998.382 | 176.601 | US | 2005 | pts nord/ouest |
| 493 | 853649.994 | 6646996.767 | 176.493 | US | 2005 | pts ouest |
| 494 | 853648.595 | 6646997.752 | 176.484 | US | 2005 | pts ouest2 |
| 495 | 853646.18 | 6646994.241 | 176.44 | US | 2005 | pts sud/ouest |
| 496 | 853648.962 | 6646992.741 | 176.497 | US | 2005 | pts sud/est |
| 497 | 853650.595 | 6646991.72 | 176.508 | US | 2005 | pts sud/est |
| 498 | 853644.704 | 6646997.925 | 176.412 | ISO | 36 | |
| 499 | 853646.857 | 6646995.719 | 176.37 | ISO | 37 | |
| 500 | 853643.95 | 6646997.172 | 176.413 | ISO | 38 | |
| 501 | 853732.17 | 6647156.095 | 181.524 | ST | 400 | pts est |
| 502 | 853726.647 | 6647158.137 | 181.517 | ST | 400 | pts ouest |
| 503 | 853725.703 | 6647155.886 | 181.541 | ST | 400 | pts sud/ouest |
| 504 | 853727 | 6647158.243 | 181.468 | ST | 400 | pts nord/ouest |
| 505 | 853729.97 | 6647156.629 | 179.885 | ST | 400 | pts central |
| 506 | 853655.282 | 6646993.593 | 176.634 | CCPE | 223 | |
| 507 | 853656.631 | 6646992.454 | 176.627 | CCPE | 224 | |
| 508 | 853656.528 | 6646993.659 | 176.571 | CCPE | 225 | |
| 509 | 853655.51 | 6646992.143 | 176.569 | CCPE | 226 | |
| 510 | 853655.635 | 6646992.826 | 176.358 | CCPE | 227 | |
| 511 | 853655.738 | 6646992.848 | 176.338 | CCPE | 228 | |
| 512 | 853649.071 | 6646999.551 | 176.419 | CCPE | 229 | |
| 513 | 853649.151 | 6646999.31 | 176.458 | CCPE | 230 | |
| 514 | 853650.965 | 6646990.82 | 176.48 | CCPE | 231 | |
| 515 | 853651.877 | 6646990.314 | 176.487 | CCPE | 232 | |
| 516 | 853653.607 | 6646990.607 | 176.578 | CCPE | 233 | |
| 517 | 853653.616 | 6646990.597 | 176.531 | CCPE | 233 | |
| 518 | 853655.245 | 6646989.659 | 176.554 | CCPE | 234 | |
| 519 | 853654.174 | 6646989.438 | 176.531 | CCPE | 235 | |
| 520 | 853654.943 | 6646990.695 | 176.532 | CCPE | 236 | |

ANNEXE 6 - LISTING DES POINTS TOPOGRAPHIQUES (2022)

| Listing des points topographiques-2022 | | | | | | |
|--|------------|-------------|---------|------------|-----------|----------------|
| ID | X | Y | Z | Référence | Structure | Situation |
| 521 | 853652.214 | 6646993.611 | 176.594 | CCPE | 237 | |
| 522 | 853654 | 6646992.434 | 176.579 | CCPE | 238 | |
| 523 | 853652.332 | 6646991.403 | 176.591 | CCPE | 239 | |
| 524 | 853654.611 | 6646994.609 | 176.621 | CCPE | 240 | |
| 525 | 853662.72 | 6647009.11 | 177.011 | pts geophy | zone nord | pts nord/ouest |
| 526 | 853654.061 | 6646996.874 | 176.551 | pts geophy | zone nord | pts sud/ouest |
| 527 | 853666.776 | 6647006.19 | 176.977 | pts geophy | zone nord | pts nord/est |
| 528 | 853658.139 | 6646993.932 | 176.502 | pts geophy | zone nord | pts sud/est |
| 529 | 853662.438 | 6647008.656 | 176.938 | pts geophy | zone nord | pts nord/ouest |
| 530 | 853666.463 | 6647005.787 | 176.91 | pts geophy | zone nord | pts nord/est |
| 531 | 853644.112 | 6646996.636 | 176.239 | pts geophy | zone sud | pts sud/ouest |
| 532 | 853647.468 | 6646994.404 | 176.464 | pts geophy | zone sud | pts sud/est |
| 533 | 853645.684 | 6646999.12 | 176.453 | pts geophy | zone sud | pts nord/ouest |
| 534 | 853649.065 | 6646997.025 | 176.414 | pts geophy | zone sud | pts nord/est |
| 535 | 853731.718 | 6647154.905 | 181.705 | CCPE | 400 | fosse |
| 536 | 853732.345 | 6647157.19 | 180.574 | CCPE | 400 | photog1 |
| 537 | 853731.792 | 6647155.486 | 180.525 | CCPE | 400 | photog3 |
| 538 | 853731.365 | 6647154.217 | 180.626 | CCPE | 400 | photog5 |
| 539 | 853732.254 | 6647156.956 | 179.916 | CCPE | 400 | photog2 |
| 540 | 853731.757 | 6647155.515 | 179.727 | CCPE | 400 | photog4 |
| 541 | 853731.372 | 6647154.345 | 179.902 | CCPE | 400 | photog6 |
| 542 | 853731.029 | 6647159.977 | 181.511 | FOS | 400 | |
| 543 | 853727.859 | 6647161.075 | 181.544 | FOS | 400 | |
| 544 | 853729.044 | 6647154.369 | 181.281 | FOS | 400 | |
| 545 | 853725.802 | 6647156.324 | 181.293 | FOS | 400 | |
| 546 | 853648.927 | 6646992.671 | 176.527 | | carroyage | |
| 547 | 853648.099 | 6646993.229 | 176.498 | | carroyage | |
| 548 | 853647.277 | 6646993.796 | 176.498 | | carroyage | |
| 549 | 853646.476 | 6646994.385 | 176.487 | | carroyage | |
| 550 | 853645.655 | 6646994.957 | 176.464 | | carroyage | |
| 551 | 853644.833 | 6646995.551 | 176.459 | | carroyage | |
| 552 | 853645.977 | 6646997.166 | 176.496 | | carroyage | |
| 553 | 853646.773 | 6646996.581 | 176.491 | | carroyage | |
| 554 | 853647.587 | 6646996.018 | 176.495 | | carroyage | |
| 555 | 853648.396 | 6646995.431 | 176.506 | | carroyage | |
| 556 | 853649.223 | 6646994.862 | 176.528 | | carroyage | |
| 557 | 853650.048 | 6646994.292 | 176.568 | | carroyage | |
| 558 | 853649.48 | 6646993.486 | 176.527 | | carroyage | |
| 559 | 853645.385 | 6646996.348 | 176.469 | | carroyage | |
| 560 | 853647.119 | 6646998.786 | 176.558 | | carroyage | |
| 561 | 853651.174 | 6646995.94 | 176.61 | | carroyage | |
| 562 | 853650.043 | 6646994.283 | 176.569 | | berme | alessandro |
| 563 | 853650.197 | 6646994.501 | 176.628 | | berme | alessandro |
| 564 | 853645.51 | 6646997.707 | 176.562 | | berme | alessandro |

ANNEXE 6 - LISTING DES POINTS TOPOGRAPHIQUES (2022)

| Listing des points topographiques-2022 | | | | | | |
|--|------------|-------------|---------|-----------|------------------|------------|
| ID | X | Y | Z | Référence | Structure | Situation |
| 565 | 853645.341 | 6646997.606 | 176.491 | | berme | alessandro |
| 566 | 853652.117 | 6646996.876 | 176.565 | | 2005 | pendage |
| 567 | 853651.324 | 6646997.455 | 176.553 | | 2005 | pendage |
| 568 | 853649.851 | 6646996.282 | 176.489 | | 2005 | pendage |
| 569 | 853650.773 | 6646995.536 | 176.51 | | 2005 | pendage |
| 570 | 853648.856 | 6646995.766 | 176.465 | | 2005 | pendage |
| 571 | 853649.407 | 6646994.635 | 176.486 | | 2005 | pendage |
| 572 | 853647.391 | 6646994.546 | 176.456 | | 2005 | pendage |
| 573 | 853648.006 | 6646993.59 | 176.471 | | 2005 | pendage |
| 574 | 853646.646 | 6646995.025 | 176.453 | | 2006 | pendage |
| 575 | 853647.249 | 6646995.657 | 176.454 | | 2006 | pendage |
| 576 | 853649.417 | 6646998.687 | 176.398 | CCPE | 245 | |
| 577 | 853649.33 | 6646998.978 | 176.458 | CCPE | 246 | |
| 578 | 853649.146 | 6646999.729 | 176.595 | CCPE | 247 | |
| 579 | 853648.588 | 6646999.961 | 176.595 | CCPE | 248 | |
| 580 | 853646.212 | 6646996.329 | 176.372 | carr1 | 2006 | niv2 |
| 581 | 853653.811 | 6646987.214 | 176.982 | LIMF | | |
| 582 | 853659.427 | 6646995.513 | 177.026 | LIMF | | |
| 583 | 853664.566 | 6647002.726 | 177.221 | LIMF | | |
| 584 | 853667.073 | 6647006.089 | 177.289 | LIMF | | |
| 585 | 853662.367 | 6647009.48 | 177.254 | LIMF | | |
| 586 | 853662.099 | 6647009.297 | 177.247 | LIMF | | |
| 587 | 853661.365 | 6647009.642 | 177.262 | LIMF | | |
| 588 | 853659.371 | 6647006.862 | 177.157 | LIMF | | |
| 589 | 853656.842 | 6647003.079 | 177.119 | LIMF | | |
| 590 | 853656.977 | 6647002.892 | 177.092 | LIMF | | |
| 591 | 853653.926 | 6646998.066 | 177.092 | LIMF | | |
| 592 | 853646.426 | 6647003.266 | 177.167 | LIMF | | |
| 593 | 853647.117 | 6647004.564 | 177.141 | LIMF | | |
| 594 | 853645.24 | 6647005.558 | 177.174 | LIMF | | |
| 595 | 853640.717 | 6646998.453 | 177.115 | LIMF | | |
| 596 | 853648.232 | 6646991.681 | 176.918 | LIMF | | |
| 597 | 853646.169 | 6646988.647 | 177.064 | LIMF | | |
| 598 | 853648.615 | 6646987.156 | 176.985 | LIMF | | |
| 599 | 853650.308 | 6646989.675 | 176.933 | LIMF | | |
| 600 | 853651.157 | 6646991.137 | 176.481 | LIMF | | |
| 601 | 853649.065 | 6646992.655 | 176.504 | LIMF | | |
| 602 | 853646.058 | 6646996.416 | 176.362 | carr1 | 2006 | carre1 |
| 603 | 853646.955 | 6646995.924 | 176.382 | carr1 | 2006 | carre2 |
| 604 | 853646.314 | 6646995.141 | 176.372 | carr1 | 2006 | carre7 |
| 605 | 853648.457 | 6646994.654 | 176.493 | carr1 | 2005 | carre4 |
| 606 | 853648.455 | 6646994.648 | 176.493 | carr1 | 2005 | carre10 |
| 607 | 853648.837 | 6646993.381 | 176.487 | carr1 | 2005 | carre5 |
| 608 | 853646.21 | 6646995.787 | 176.416 | carr1 | carre croisement | |

ANNEXE 6 - LISTING DES POINTS TOPOGRAPHIQUES (2022)

| Listing des points topographiques-2022 | | | | | | |
|--|------------|-------------|---------|-----------|------------------|-----------|
| ID | X | Y | Z | Référence | Structure | Situation |
| 609 | 853647.052 | 6646995.185 | 176.46 | carr1 | carre croisement | |
| 610 | 853647.849 | 6646994.625 | 176.467 | carr1 | carre croisement | |
| 611 | 853648.663 | 6646994.03 | 176.474 | carr1 | carre croisement | |
| 612 | 853650.664 | 6646997.236 | 176.532 | ST | 219 | pts ouest |
| 613 | 853651.729 | 6646996.516 | 176.553 | ST | 219 | pts est |
| 614 | 853650.829 | 6646996.242 | 176.532 | ST | 219 | pts sud |
| 615 | 853651.577 | 6646997.46 | 176.573 | ST | 219 | pts nord |
| 616 | 853645.548 | 6647002.533 | 176.552 | ST | 338 | pts nord |
| 617 | 853645.601 | 6647002.31 | 176.569 | ST | 338 | pts sud |
| 618 | 853649.478 | 6646998.945 | 176.363 | ST | 341 | pts est |
| 619 | 853649.413 | 6646998.739 | 176.314 | ST | 341 | pts ouest |
| 620 | 853649.223 | 6646999.552 | 176.402 | ST | 342 | pts nord |
| 621 | 853649.151 | 6646999.329 | 176.41 | ST | 342 | pts sud |
| 622 | 853655.53 | 6646992.461 | 176.263 | ST | 349 | pts ouest |
| 623 | 853655.785 | 6646992.291 | 176.508 | ST | 349 | pts est |
| 624 | 853655.649 | 6646992.315 | 176.187 | ST | 349 | alti inf |
| 625 | 853655.713 | 6646992.281 | 176.502 | ST | 349 | alti sup |
| 626 | 853654.65 | 6646990.094 | 175.885 | ST | 236 | alti inf |
| 627 | 853654.657 | 6646989.7 | 176.477 | ST | 236 | alti sup |
| 628 | 853653.359 | 6646990 | 176.437 | ST | 350 | pts sud |
| 629 | 853653.6 | 6646990.637 | 176.468 | ST | 350 | pts nord |
| 630 | 853654.154 | 6646992.515 | 176.483 | ST | 348 | pts sud |
| 631 | 853653.776 | 6646993.328 | 176.455 | ST | 348 | pts nord |
| 632 | 853651.126 | 6646990.901 | 176.467 | ST | 346 | pts est |
| 633 | 853650.796 | 6646990.47 | 176.463 | ST | 346 | pts ouest |
| 634 | 853649.07 | 6646999.94 | 176.542 | ST | 347 | pts nord |
| 635 | 853648.811 | 6646999.727 | 176.398 | ST | 347 | pts sud |
| 636 | 853648.486 | 6646998.671 | 176.497 | ST | 351 | pts ouest |
| 637 | 853648.907 | 6646999.433 | 176.409 | ST | 351 | pts est |
| 638 | 853645.456 | 6647001.56 | 176.496 | ST | 344 | pts nord |
| 639 | 853645.668 | 6647001.077 | 176.451 | ST | 344 | pts sud |
| 640 | 853644.936 | 6646997.008 | 176.267 | ST | 352 | pts ouest |
| 641 | 853644.985 | 6646996.898 | 176.255 | ST | 352 | pts est |
| 642 | 853644.45 | 6646996.54 | 176.32 | ST | 345 | pts sud |
| 643 | 853644.375 | 6646996.625 | 176.293 | ST | 345 | pts nord |
| 644 | 853655.948 | 6646993.462 | 176.22 | ISO | 41 | |
| 645 | 853648.371 | 6646999.398 | 176.562 | CCPE | 241 | |
| 646 | 853650.605 | 6646997.616 | 176.561 | CCPE | 242 | |
| 647 | 853650.134 | 6646999.316 | 176.583 | CCPE | 243 | |
| 648 | 853648.516 | 6646997.141 | 176.572 | CCPE | 244 | |
| 649 | 853653.993 | 6646992.454 | 176.617 | CCPE | 249 | |
| 650 | 853654.321 | 6646995.06 | 176.647 | CCPE | 250 | |
| 651 | 853644.006 | 6646997.387 | 176.185 | ST | 353 | pts est |
| 652 | 853643.852 | 6646997.487 | 176.218 | ST | 353 | pts ouest |

ANNEXE 6 - LISTING DES POINTS TOPOGRAPHIQUES (2022)

| Listing des points topographiques-2022 | | | | | | |
|--|------------|-------------|---------|-----------|-----------|-----------|
| ID | X | Y | Z | Référence | Structure | Situation |
| 653 | 853643.903 | 6646996.67 | 176.177 | ST | 354 | pts nord |
| 654 | 853643.805 | 6646996.581 | 176.205 | ST | 354 | pts sud |
| 655 | 853644.43 | 6646997.048 | 176.254 | ST | 355 | pts sud |
| 656 | 853644.564 | 6646997.136 | 176.242 | ST | 355 | pts nord |
| 657 | 853645.903 | 6647002.186 | 176.132 | ST | 201 | alti inf |
| 658 | 853645.862 | 6647002.425 | 176.576 | ST | 201 | alti sup |
| 659 | 853652.761 | 6646991.913 | 175.852 | ST | 235 | alti inf |
| 660 | 853652.456 | 6646991.772 | 176.471 | ST | 235 | alti sup |
| 661 | 853649.078 | 6646998.135 | 176.165 | ST | 335 | alti inf |
| 662 | 853648.958 | 6646998.332 | 176.501 | ST | 335 | alti sup |
| 663 | 853649.481 | 6646998.203 | 176.023 | ST | 214 | alti inf |
| 664 | 853650.053 | 6646998.278 | 176.538 | ST | 214 | alti sup |
| 665 | 853644.364 | 6647001.66 | 175.912 | ST | 203 | alti inf |
| 666 | 853644.63 | 6647001.639 | 176.54 | ST | 203 | alti sup |
| 667 | 853649.433 | 6646994.296 | 176.467 | carr1 | 2008 | carre5 |
| 668 | 853648.954 | 6646993.427 | 176.459 | carr1 | 2008 | carre10 |
| 669 | 853647.284 | 6646994.41 | 176.439 | carr1 | 2008 | carre8 |
| 670 | 853648.077 | 6646994.022 | 176.49 | carr1 | 2005 | carre9 |
| 671 | 853655.853 | 6646992.518 | 176.191 | ST | 358 | alti sup |
| 672 | 853644.102 | 6646997.815 | 176.419 | ST | 356 | pts ouest |
| 673 | 853644.377 | 6646997.741 | 176.422 | ST | 356 | pts est |
| 674 | 853643.316 | 6646996.79 | 176.249 | ST | 357 | pts ouest |
| 675 | 853643.413 | 6646996.535 | 176.261 | ST | 357 | pts est |
| 676 | 853643.562 | 6646996.78 | 176.148 | ST | 357 | pts nord |
| 677 | 853649.602 | 6646999.045 | 176.231 | ISO | 42 | |
| 678 | 853647.708 | 6646995.295 | 176.439 | carr1 | 2008 | carre3 |
| 679 | 853648.533 | 6646994.734 | 176.459 | carr1 | 2008 | carre4 |
| 680 | 853649.321 | 6646994.193 | 176.453 | carr1 | 2008 | carre5 |
| 681 | 853647.164 | 6646994.506 | 176.434 | carr1 | 2008 | carre8 |
| 682 | 853648.001 | 6646993.948 | 176.458 | carr1 | 2008 | carre9 |
| 683 | 853648.81 | 6646993.389 | 176.449 | carr1 | 2008 | carre10 |
| 684 | 853643.752 | 6646996.329 | 176.356 | CCPE | 253 | |
| 685 | 853644.565 | 6646996.608 | 176.363 | CCPE | 254 | |
| 686 | 853643.9 | 6646996.334 | 176.217 | ST | 362 | alti inf |
| 687 | 853644.472 | 6646996.544 | 176.249 | ST | 345 | alti inf |
| 688 | 853649.403 | 6646995.093 | 176.498 | carr2 | emprise | |
| 689 | 853648.557 | 6646995.649 | 176.47 | carr2 | emprise | |
| 690 | 853647.723 | 6646996.197 | 176.463 | carr2 | emprise | |
| 691 | 853646.913 | 6646996.768 | 176.456 | carr2 | emprise | |
| 692 | 853646.064 | 6646997.302 | 176.449 | carr2 | emprise | |
| 693 | 853646.549 | 6646997.985 | 176.495 | carr2 | emprise | |
| 694 | 853647.347 | 6646997.399 | 176.455 | carr2 | emprise | |
| 695 | 853648.166 | 6646996.835 | 176.467 | carr2 | emprise | |
| 696 | 853648.981 | 6646996.277 | 176.478 | carr2 | emprise | |

ANNEXE 6 - LISTING DES POINTS TOPOGRAPHIQUES (2022)

| Listing des points topographiques-2022 | | | | | | |
|--|------------|-------------|---------|--------------|-----------|-----------|
| ID | X | Y | Z | Référence | Structure | Situation |
| 697 | 853649.791 | 6646995.699 | 176.49 | carr2 | emprise | |
| 698 | 853650.628 | 6646995.101 | 176.561 | carr2 | emprise | |
| 699 | 853651.203 | 6646995.946 | 176.545 | carr2 | emprise | |
| 700 | 853650.37 | 6646996.507 | 176.518 | carr2 | emprise | |
| 701 | 853649.55 | 6646997.083 | 176.491 | carr2 | emprise | |
| 702 | 853648.738 | 6646997.633 | 176.529 | carr2 | emprise | |
| 703 | 853647.922 | 6646998.208 | 176.501 | carr2 | emprise | |
| 704 | 853647.125 | 6646998.795 | 176.571 | carr2 | emprise | |
| 705 | 853650.021 | 6646995.062 | 176.493 | carr2 | 2005 | carre11 |
| 706 | 853649.142 | 6646995.642 | 176.479 | carr2 | 2005 | carre12 |
| 707 | 853648.279 | 6646996.245 | 176.452 | carr2 | 2005 | carre13 |
| 708 | 853647.506 | 6646996.784 | 176.446 | carr2 | 2005 | carre14 |
| 709 | 853646.689 | 6646997.357 | 176.456 | carr2 | 2005 | carre15 |
| 710 | 853650.473 | 6646995.796 | 176.505 | carr2 | 2005 | carre16 |
| 711 | 853649.62 | 6646996.38 | 176.469 | carr2 | 2005 | carre17 |
| 712 | 853648.818 | 6646996.95 | 176.489 | carr2 | 2005 | carre18 |
| 713 | 853648.01 | 6646997.491 | 176.471 | carr2 | 2005 | carre19 |
| 714 | 853647.162 | 6646998.087 | 176.478 | carr2 | 2005 | carre20 |
| 715 | 853644.572 | 6647001.319 | 175.909 | ISO | 43 | |
| 717 | 853643.921 | 6647001.39 | 176.283 | ISO | 44 | |
| 718 | 853643.902 | 6647001.541 | 176.208 | ISO | 45 | |
| 719 | 853652.967 | 6646992.331 | 176.64 | CCPE | 255 | |
| 720 | 853652.064 | 6646991.547 | 176.639 | CCPE | 256 | |
| 721 | 853649.974 | 6646995.117 | 176.475 | carr2 | 2008 | carre11 |
| 722 | 853649.175 | 6646995.683 | 176.439 | carr2 | 2008 | carre12 |
| 723 | 853647.127 | 6646998.652 | 176.485 | carr2 | 2006 | carre20 |
| 724 | 853648.641 | 6646995.907 | 176.375 | ISO | 46 | |
| 725 | 853647.316 | 6646996.21 | 176.51 | CCPE | 259 | |
| 726 | 853648.059 | 6646995.7 | 176.508 | CCPE | 260 | |
| 727 | 853652.942 | 6646990.054 | 176.43 | CCPE | 257 | |
| 728 | 853652.258 | 6646989.173 | 176.437 | CCPE | 258 | |
| 729 | 853645.268 | 6646997.138 | 176.369 | CCPE | 261 | |
| 730 | 853644.961 | 6646997.562 | 176.367 | CCPE | 262 | |
| 731 | 853647.918 | 6646994.996 | 176.44 | CCPE | 264 | |
| 732 | 853648.221 | 6646995.409 | 176.441 | CCPE | 263 | |
| 733 | 853650.018 | 6646995.115 | 176.43 | carr2 | 2009 | carre11 |
| 734 | 853649.229 | 6646995.645 | 176.408 | carr2 | 2009 | carre12 |
| 735 | 853648.409 | 6646996.213 | 176.365 | carr2 | 2009 | carre13 |
| 736 | 853650.5 | 6646995.805 | 176.43 | carr2 | 2009 | carre16 |
| 737 | 853649.679 | 6646996.361 | 176.441 | carr2 | 2009 | carre17 |
| 738 | 853648.757 | 6646996.671 | 176.384 | carr2 | 2009 | carre18 |
| 739 | 853652.117 | 6646989.637 | 176.362 | ptsphotogram | 1 | |
| 740 | 853652.592 | 6646989.944 | 176.233 | ptsphotogram | 2 | |
| 741 | 853653.001 | 6646989.979 | 176.41 | ptsphotogram | 3 | |

| Listing des points topographiques-2022 | | | | | | |
|--|------------|-------------|---------|--------------|--------------|-----------|
| ID | X | Y | Z | Référence | Structure | Situation |
| 742 | 853652.919 | 6646989.383 | 176.425 | ptsphotogram | 4 | |
| 743 | 853652.455 | 6646989.134 | 176.321 | ptsphotogram | 5 | |
| 744 | 853652.414 | 6646989.461 | 176.281 | ptsphotogram | 6 | |
| 745 | 853653.794 | 6646991.462 | 176.453 | ISO | 48 | |
| 746 | 853649.382 | 6646994.684 | 176.416 | CCPE | 271 | 272 |
| 747 | 853649.681 | 6646994.485 | 176.409 | CCPE | 272 | |
| 748 | 853649.506 | 6646994.544 | 176.296 | ST | 2009/carre 5 | alti inf |
| 749 | 853649.477 | 6646994.418 | 176.391 | ST | 2009/carre 5 | alti sup |
| 750 | 853648.582 | 6647000.148 | 176.363 | ISO | 49 | |
| 751 | 853655.064 | 6646994.361 | 176.644 | CCPE | 265 | |
| 752 | 853651.317 | 6646992.492 | 176.596 | CCPE | 268 | |
| 753 | 853651.144 | 6646993.513 | 176.597 | CCPE | 267 | |
| 754 | 853644.613 | 6646996.492 | 176.461 | CCPE | 269 | |
| 755 | 853645.051 | 6646995.878 | 176.486 | CCPE | 270 | |
| 756 | 853643.356 | 6646996.773 | 176.239 | ISO | 47 | bloc 1 |
| 757 | 853643.458 | 6646997.25 | 176.15 | ISO | 47 | bloc 2 |
| 758 | 853643.221 | 6646996.83 | 176.194 | ISO | 47 | bloc 3 |
| 759 | 853643.22 | 6646997.121 | 176.135 | ISO | 47 | bloc 4 |
| 760 | 853648.883 | 6646999.822 | 176.661 | CCPE | 274 | |
| 761 | 853647.743 | 6647000.5 | 176.671 | CCPE | 273 | |
| berme est | 853653.79 | 6646987.155 | 176.991 | CCPE | | |
| berme nord | 853662.316 | 6647009.393 | 177.002 | CCPE | | |
| berme nord & est | 853666.886 | 6647006.079 | 177.001 | CCPE | | |
| berme sud | 853653.819 | 6646987.312 | 176.766 | CCPE | | |
| berme sud2 | 853650.278 | 6646989.825 | 176.764 | CCPE | | |

Listing des prélèvements secteurs 2 et 3

| N° PRE | STR | US | Description (Volume, nbr sceaux/sacs) | Nature du prélèvement | Date | Commentaire | Priorité |
|--------|-----|---------------|---|-------------------------|----------|--|----------|
| 21 | 400 | 400,04 | 1 seau | Carpologie | 22-juil. | Milieu de couche | |
| 22 | 400 | 400,04 | 2 seau | Carpologie | 22-juil. | Base de couche | |
| 23 | 400 | 400,04 | 1 sachet | Datation C14 | 22-juil. | Milieu de couche | |
| 24 | 400 | 400,04 | 2 sachet | Datation C14 | 22-juil. | Base de couche | |
| 25 | 236 | 236,02 | 1 seau | Carpologie Battiture | 25-juil. | Une battiture | |
| 26 | 210 | 210,03 | 1 seau | Carpologie Battiture | 26-juil. | Comblement central | |
| 27 | 236 | 236,03 | 1 seau | Carpologie Battiture | 26-juil. | Sud-Ouest de la fosse | |
| 28 | 235 | 235,02 | 1 seau | Carpologie Battiture | 26-juil. | | |
| 29 | 239 | 239,04 | 1 seau | Carpologie Battiture | 28-juil. | Quart Nord-Est | |
| 30 | 201 | 201,03 | 1 seau | Carpologie Battiture | 30-juil. | Dans US 400.05 | |
| 31 | 400 | 400,05 | 1 Bloc | Micromorpho | 30-juil. | fossé dans US 400.05 | |
| 32 | 400 | 400.05/04 | 1 Bloc | Micromorpho | 30-juil. | fossé interface US 400.05/400.04 | |
| 33 | 400 | 400.03/04 | 1 Bloc | Micromorpho | 30-juil. | fossé interface 400.03/04 | |
| 34 | 400 | 400,03 | 1 Bloc | Micromorpho | 30-juil. | fossé US 400.03 supérieure | |
| 35 | 400 | 400,03 | 1 Bloc | Micromorpho | 30-juil. | fossé US 400.03 inférieure | |
| 36 | 400 | 400.03/02 | 1 Bloc | Micromorpho | 30-juil. | fossé US 400.03 fond | * |
| 37 | 400 | 400.03/02 | 1 Bloc | Micromorpho | 30-juil. | fossé interface US 400.03/02 | * |
| 38 | 400 | 400,02 | 1 Bloc | Micromorpho | 30-juil. | fossé US 400.02 supérieure -> fragmente en prelevement | * |
| 39 | 400 | 400,02 | 1 Bloc | Micromorpho | 30-juil. | fossé US 400.02 inférieure | * |
| 40 | 400 | 400.02/3002 | 1 Bloc | Micromorpho | 30-juil. | fossé interface 400.02/3002 | * |
| 41 | 400 | 400,02 | 1 Bloc | Micromorpho | 30-juil. | fossé 400.02 milieu | * |
| 42 | 400 | 400,02 | 1 Bloc | Micromorpho | 30-juil. | fossé 400.02 angle Nord | * |
| 43 | 400 | 400,02 | 1 Bloc (10x15x6) | Micromorpho | 31-juil. | fossé US 400.02 comme PR 38 / prelevement double | * |
| 44 | 235 | 235,02 | 1 Bloc | Micromorpho | 1-août | | |
| 45 | 235 | 2007 + 235.02 | 1 Bloc | Micromorpho | 1-août | | * |
| 46 | 328 | 328.02/03 | 1 Bloc | Micromorpho | 1-août | | |

Listing des prélèvements secteurs 2 et 3

| N° PRE | STR | US | Description (Volume, nbr sceaux/sacs) | Nature du prélèvement | Date | Commentaire | Priorité |
|--------|---------------------|-----------------------|---|-------------------------|--------|-------------|----------|
| 47 | 328 | 328.03/2007 328.02 | 1 Bloc | Micromorpho | 1-août | | * |
| 48 | 328 | /03/2007 | 1 Bloc | Micromorpho | 1-août | | * |
| 49 | Carre 1 niveau 2 | US 2006? | 1 Bloc | Carpologie Battiture | 1-août | | |
| 50 | 239 | | 1 Bloc | Micromorpho | 1-août | | |
| 51 | 239 | | 1 Bloc | Micromorpho | 1-août | | |
| 52 | 239 | | 1 Bloc | Micromorpho | 1-août | | |
| 53 | 239 | | 1 Bloc | Micromorpho | 1-août | | |
| 54 | 239 | 239,02 | 1 Bloc | Phytolithes | 1-août | | |
| 55 | 239 | 239,02 | 1 Bloc | Phytolithes | 1-août | | |
| 56 | 239 | 239,03 | 1 Bloc | Phytolithes | 1-août | | |
| 57 | 239 | 239,04 | 1 Bloc | Phytolithes | 1-août | | |
| 58 | 239 | 239,04 | 1 Bloc | Phytolithes | 1-août | | |
| 59 | 239 | 239,04 | 1 Bloc | Phytolithes | 1-août | | |
| 60 | 239 | 239,04 | 1 Bloc | Phytolithes | 1-août | | |
| 61 | 239 | 239,04 | 1 Bloc | Phytolithes | 1-août | | |
| 62 | Carre 2 niveau 2 | 2006? | 1 Bloc | Carpologie Battiture | 1-août | | |
| 63 | 239 | 239,02 | 1 Bloc | Paléoparasitologie | 1-août | | |
| 64 | 239 | 239,03 | 1 Bloc | Paléoparasitologie | 1-août | | |
| 65 | 239 | 239,03 | 1 Bloc | Paléoparasitologie | 1-août | | |
| 66 | 239 | 239,03 | 1 Bloc | Paléoparasitologie | 1-août | | |
| 67 | 239 | 239,03 | 1 Bloc | Paléoparasitologie | 1-août | | |
| 68 | Carre 7 niveau 2 | 2006? | 1 Bloc | Carpologie Battiture | 1-août | | |
| 69 | 210 | 210,02 | Charbon | Anthracologie | 2-août | | |
| 70 | 236 | 236,02 | Bloc micromorpho | Mircromorpho | 2-août | | * |
| 71 | 236 | 236,02/03 | Bloc micromorpho | Mircromorpho | 2-août | | * |
| 72 | 236 | 236,03/04 | Bloc micromorpho | Mircromorpho | 2-août | | * |

Listing des prélèvements secteurs 2 et 3

| N° PRE | STR | US | Description (Volume, nbr sceaux/sacs) | Nature du prélèvement | Date | Commentaire | Priorité |
|--------|------------------------|---------------|---|-------------------------|--------|-----------------------------------|----------|
| 73 | 236 | 236,04 | Bloc micromorpho | Mircromorpho | 2-août | | * |
| 74 | 236 | 236,04/06 | Bloc micromorpho | Mircromorpho | 2-août | | * |
| 75 | 236 | 2007/04 | Bloc micromorpho | Mircromorpho | 2-août | | * |
| 76 | 236 | 2003 | Bloc micromorpho | Mircromorpho | 2-août | | |
| 77 | 236 | 2003 | Bloc micromorpho | Mircromorpho | 2-août | | |
| 78 | Sondage e geol | 2002/2003 | Bloc micromorpho | Mircromorpho | 2-août | Loc secteur 2 | |
| 79 | (log 2) | 2003/2007 | Bloc micromorpho | Mircromorpho | 2-août | Loc secteur 2 | |
| 80 | 203 | 203,03 | 1/2 seau | Carpologie Battiture | 3-août | Couche noire | |
| 81 | 332 | 332,02 | 1 seau | Carpologie | 4-août | Terre autour du mobilier du dépôt | |
| 82 | 332 | 332,02 | 1 seau | Carpologie | 4-août | Terre autour du mobilier du dépôt | |
| 83 | 228 | 228,02 | Sac de 5L | Battiture | 5-août | | |
| 84 | Carre 11 | 2005/2009 | | Mircromorpho | | | * |
| 85 | Carre 12 9 | 2005/2008/200 | | Mircromorpho | 8-août | | |
| 86 | Carre 14 | 2005/2008 | | Mircromorpho | 8-août | | * |
| 87 | Carre 15 | 2005/2006 | | Mircromorpho | 8-août | | |
| 88 | Après carre 15 | 2006/2004 | | Mircromorpho | 8-août | | * |
| 89 | Après carre 15 9 | 2004/2008/200 | | Mircromorpho | 8-août | | * |

| Listing Isolation-Secteur 2-2022 | | | | |
|---|-------------------|-------------|-----------------|--|
| n°iso | Structures | US | Matériau | Remarques |
| 20 | | 2002/3 | Li | mouture |
| 21 | | 2002/3 | Li | mouture |
| 22 | | 2002/3 | Li | mouture |
| 23 | | 2002/3 | Li | mouture |
| 24 | | 2002/3 | Cp | scorie |
| 25 | | 2002/3 | Li | mouture |
| 26 | | 2002/3 | M | alliage cuivreux |
| 27 | | 2002/3 | Cp | scorie |
| 28 | | 2002/3 | Cp | scorie |
| 29 | | 2002/3 | M | tôle bronze |
| 30 | | 2003 | M | morceau fer |
| 31 | | | M | nnulé |
| 32 | 327 | 327.02 | M | tige bouletée bronze (str?) |
| 33 | 236 | 236.02 | C | balle fronde |
| 34 | 214 | 214.02 | C | balle fronde |
| 35 | Entre 210/209 | | M | anneau bronze |
| 36 | Entre 210/327 | | M | fragment lame |
| 37 | 212 | 212.02 | M | tige alliage cuivreux en cours martelage |
| 38 | 210 | 210.03 | M | lame (fragment) |
| 39 | 201 | 201.03 | C | fusaïole |
| 40 | 201 | 201.03 | M | tige alliage cuivreux |
| 41 | 239 | 239.04 | M | arc fibule |
| 42 | 214 | 214.02 | C | balle fronde |
| 43 | 203 | 203.03/2007 | M | arc fibule fin Ha/début LT (interface 203.03/2007) |
| 44 | 203 | 203.03 | M | alliage cuivreux |
| 45 | 203 | 203.03 | Li | fragment meule |
| 46 | Carré 13 | | M | fibule sous 2008 |
| 47 | 210 | 210.02 | Au | bloc argile blanche |
| 48 | 325 | 325.02 | Li | fragment bracelet |
| 49 | 208 | 208.02 | C | fragment céram (anse?)- Néolithique ? |

| Pré-inventaire du mobilier-Secteur 1 | | | | | | | | | | | |
|--------------------------------------|---------|--------------|---------------|-----------|------|----------------------|-----------|----|-----|---------------------------|--|
| Année | Secteur | Code Matière | n° inventaire | Structure | US | Matériau | Masse (g) | NR | NMI | Type objet | Description |
| 2021 | 1 | AMP | | 1 | 1004 | Céramique | | 1 | | | |
| 2021 | 1 | C | 245 | 1 | 1004 | Céramique | 4 | 1 | 1 | Céramique | Ecuelle à épaulement haut, col déversé |
| 2021 | 1 | C | 249 | 1 | 1004 | Céramique | 10 | 2 | 2 | Céramique | Jatte à bords rentrants |
| 2021 | 1 | C | 250 | 1 | 1004 | Céramique | 4 | 1 | 1 | Céramique | Gobelet arrondi |
| 2021 | 1 | C | 251 | 1 | 1004 | Céramique | 4 | 1 | 1 | Céramique | Coupe hémisphérique |
| 2021 | 1 | C | 246 | 1 | 1004 | Céramique | 280 | 14 | | Céramique | Lot de panses |
| 2021 | 1 | C | 247 | 1 | 1004 | Céramique | 48 | 1 | 1 | Céramique | Bord |
| 2021 | 1 | C | 247 | 1 | 1004 | Céramique | 8 | 1 | 1 | Céramique | Panse |
| 2021 | 1 | C | 248 | 1 | 1004 | Céramique | 526 | 37 | | Céramique | Lot de panses |
| 2021 | 1 | C | 252 | 1 | 1004 | Céramique | 8 | 1 | 1 | Céramique | Jatte, écuelle |
| 2021 | 1 | C | 253 | 1 | 1004 | Céramique | 12 | 1 | 1 | Céramique | Bord aplati, abimé |
| 2021 | 1 | F | F-043853-4 | 1 | 1004 | Faune | 262 | 41 | | Faune | |
| 2021 | 1 | M | 043853-12 | 1 | 1004 | Fer | 24,4 | 4 | 1 | Poignée ou cerclage? | Pièce composée d'une bande de tôle terminée aux deux extrémités d'une partie trapézoïdale perforée pour la fixation sur un support. Le profil est arrondi. Poignée ou cerclage ? |
| 2021 | 1 | LI | 043853-21 | 1 | 1004 | Lithique | 10 | 1 | | débris | |
| 2021 | 1 | LI | 043853-157 | 1 | 1004 | Lithique | 240 | 1 | | outil mouture indéterminé | |
| 2021 | 1 | LI | 043853-158 | 1 | 1004 | Lithique | 20 | 1 | | débris | |
| 2021 | 1 | LI | 043853-159 | 1 | 1004 | Lithique | 80 | 1 | | outil mouture indéterminé | |
| 2021 | 1 | LI | 043853-160 | 1 | 1004 | Lithique | 30 | 1 | | débris | |
| 2021 | 1 | CP | 043853-4 | 1 | 1004 | Scorie/Paroi de four | 570 | 5 | 4 | Scorie | 1 fragment de paroi de four avec de la scorie, 1 culot indéterminé |
| 2021 | 1 | MC | | 1 | 1004 | Terre à bâtir | 345 | | | | |
| 2021 | 1 | C | 043853-1 | 1 | 1004 | Terre cuite | 17,1 | 1 | 1 | Dévidoir | Fragment de cylindre muni d'une perforation qui le traverse longitudinalement et qui s'évase légèrement vers son extrémité non conservée ; fragment probable de dévidoir. |
| 2021 | 1 | C | 043853-2 | 1 | 1004 | Terre cuite | 110,9 | 1 | 1 | Peson | Fragment de peson massif de forme tronconique, perforé dans sa partie supérieure pour sa suspension. Seule la partie proximale est ici conservée. |

| Pré-inventaire du mobilier-Secteur 1 | | | | | | | | | | | |
|--------------------------------------|---------|--------------|---------------|-----------|------|-----------|-----------|-----|-----|------------|--------------------------------------|
| Année | Secteur | Code Matière | n° inventaire | Structure | US | Matériau | Masse (g) | NR | NMI | Type objet | Description |
| 2021 | 1 | AMP | | 2 | 1005 | Céramique | | 6 | | Céramique | Amphore |
| 2021 | 1 | C | 187 | 2 | 1005 | Céramique | 28 | 1 | 1 | Céramique | Coupe hémisphérique basse |
| 2021 | 1 | C | 187 | 2 | 1005 | Céramique | 40 | 2 | 1 | Céramique | Jatte à bord rentrant basse |
| 2021 | 1 | C | 187 | 2 | 1005 | Céramique | 86 | 2 | 1 | Céramique | Jatte à bord rentrant basse |
| 2021 | 1 | C | 187 | 2 | 1005 | Céramique | 62 | 1 | 1 | Céramique | Ecuelle à épaulement haut, col droit |
| 2021 | 1 | C | 187 | 2 | 1005 | Céramique | 10 | 1 | 1 | Céramique | Ecuelle à épaulement haut, col droit |
| 2021 | 1 | C | 187 | 2 | 1005 | Céramique | 8 | 1 | 1 | Céramique | Ecuelle à épaulement-ressaut |
| 2021 | 1 | C | 281 | 2 | 1005 | Céramique | 116 | 4 | 1 | Céramique | Ecuelle à épaulement-ressaut |
| 2021 | 1 | C | 191 | 2 | 1005 | Céramique | | 2 | 1 | Céramique | Jatte à bords droits, encoché |
| 2021 | 1 | C | 191 | 2 | 1005 | Céramique | 154 | 2 | 2 | Céramique | Lot jatte à bords rentrants |
| 2021 | 1 | C | 188 | 2 | 1005 | Céramique | 30 | 2 | | Céramique | Lot de panses |
| 2021 | 1 | C | 189 | 2 | 1005 | Céramique | 18 | 1 | | Céramique | Fragment panse |
| 2021 | 1 | C | 190 | 2 | 1005 | Céramique | 2 | 1 | 1 | Céramique | Ecuelle à épaulement, bord déversé |
| 2021 | 1 | C | 191 | 2 | 1005 | Céramique | | 1 | 1 | Céramique | Bord |
| 2021 | 1 | C | 191 | 2 | 1005 | Céramique | | 5 | 1 | Céramique | pot à ressaut |
| 2021 | 1 | C | 191 | 2 | 1005 | Céramique | | 2 | 1 | Céramique | Ecuelle biconique |
| 2021 | 1 | C | 192 | 2 | 1005 | Céramique | 742 | 99 | | Céramique | Lot de panses |
| 2021 | 1 | C | 192 | 2 | 1005 | Céramique | 200 | 4 | | Céramique | Lot de panses |
| 2021 | 1 | C | 193 | 2 | 1005 | Céramique | 32 | 4 | 1 | Céramique | Ind |
| 2021 | 1 | C | 193 | 2 | 1005 | Céramique | | 3 | 2 | Céramique | Ind |
| 2021 | 1 | C | 194 | 2 | 1005 | Céramique | 196 | 8 | | Céramique | Lot de fonds |
| 2021 | 1 | C | 194 | 2 | 1005 | Céramique | 180 | 10 | | Céramique | Lot de fonds |
| 2021 | 1 | C | 195 | 2 | 1005 | Céramique | 994 | 82 | | Céramique | Lot de panses |
| 2021 | 1 | C | 195 | 2 | 1005 | Céramique | | 21 | | Céramique | Lot de panses |
| 2021 | 1 | F | F-043853-10 | 2 | 1005 | Faune | 808 | 205 | | Faune | |

| Pré-inventaire du mobilier-Secteur 1 | | | | | | | | | | | |
|--------------------------------------|---------|--------------|---------------|-----------|------|----------------------|-----------|----|-----|--------------------------------------|--|
| Année | Secteur | Code Matière | n° inventaire | Structure | US | Matériau | Masse (g) | NR | NMI | Type objet | Description |
| 2021 | 1 | M | 043853-13 | 2 | 1005 | Fer | 18,4 | 2 | 1 | Couteau | Pièce composée d'une lame de section triangulaire (rectangle?) dont le dos est rectiligne et le tranchant rectiligne avec juste un arrondi léger vers la pointe manquante. A l'autre extrémité, la lame s'affine brusquement pour le départ de la soie de section elliptique qui devait se terminer en pointe. Juste à cette jonction, on perçoit une possible bandelette de tôle entourant la pièce : reste d'un petit étui ou fourreau ? Des traces de bois attestent d'un manche sur la soie désormais disparu. |
| 2021 | 1 | M | 043853-14 | 2 | 1005 | Fer | 6,7 | 1 | 1 | Pince à épiler en cours de façonnage | Pièce composée d'une bande de tôle repliée en U à son extrémité proximale et se prolongeant par une tige de section en D. Pince à épiler en cours de façonnage ? |
| 2021 | 1 | M | 043853-14 | 2 | 1005 | Fer | 4,2 | 1 | 1 | Chute de barrette | Pièce composée d'une tige de section en D à triangulaire dont l'une des faces est scorifiée. L'extrémité distale un peu large possède une trace d'attachement : chute de barrette. |
| 2021 | 1 | M | 043853-15 | 2 | 1005 | Fer | 3,6 | 1 | 0 | Couteau : pointe | Extrémité épointée de lame de couteau de section triangulaire dont le départ du dos semble rectiligne. Le tranchant forme un départ d'arc de cercle. Lié à de la découpe ? |
| 2021 | 1 | M | 043853-15 | 2 | 1005 | Fer | 11,6 | 1 | 1 | Clou : tête | Fragment de clou composé d'une tige de section rectangulaire et d'une tête losangique. |
| 2021 | 1 | LI | 043853-34 | 2 | 1005 | Lithique | 550 | 2 | | outil mouture indéterminé | |
| 2021 | 1 | LI | 043853-48 | 2 | 1005 | Lithique | 50 | 1 | | outil mouture indéterminé | |
| 2021 | 1 | LI | 043853-84 | 2 | 1005 | Lithique | 5050 | 1 | | meule | |
| 2021 | 1 | LI | 043853-142 | 2 | 1005 | Lithique | 230 | 1 | | percuteur | |
| 2021 | 1 | LI | 043853-143 | 2 | 1005 | Lithique | 50 | 1 | | débris | |
| 2021 | 1 | LI | 043853-144 | 2 | 1005 | Lithique | 90 | 1 | | débris | |
| 2021 | 1 | LI | 043853-145 | 2 | 1005 | Lithique | 20 | 1 | | outil mouture indéterminé | |
| 2021 | 1 | LI | 043853-146 | 2 | 1005 | Lithique | 10 | 1 | | débris | |
| 2021 | 1 | LI | 043853-147 | 2 | 1005 | Lithique | 30 | 1 | | débris | |
| 2021 | 1 | CP | 043853-5 | 2 | 1005 | Scorie/Paroi de four | 680 | 33 | 3 | Scorie | Culots, fragments de scories, nombreux fragments de four |

| Pré-inventaire du mobilier-Secteur 1 | | | | | | | | | | | |
|--------------------------------------|---------|--------------|---------------|-----------|------|-------------------|-----------|----|-----|-------------------|--|
| Année | Secteur | Code Matière | n° inventaire | Structure | US | Matériau | Masse (g) | NR | NMI | Type objet | Description |
| 2021 | 1 | MC | | 2 | 1005 | Terre à bâtir | 170 | | | | |
| 2021 | 1 | M | 043853-65 | 3 | 1006 | Alliages cuivreux | 2,1 | 1 | 1 | Anneau | Fragment d'anneau de section en D à elliptique muni d'une trace d'usure bien marquée à l'intérieur de son jonc. D'après ses dimensions, plutôt lié à de la parure ou des éléments de toilette. |
| 2021 | 1 | M | 043853-66 | 3 | 1006 | Alliages cuivreux | 0,5 | 3 | 1 | Fibule : ardillon | Fragment d'ardillon de fibule de section circulaire épointée à ovulaire. |
| 2021 | 1 | AMP | | 3 | 1006 | Céramique | | 5 | | | |
| 2021 | 1 | C | 114 | 3 | 1006 | Céramique | 180 | 8 | 1 | Céramique | Ecuelle carénée col développé |
| 2021 | 1 | C | 115 | 3 | 1006 | Céramique | 200 | 10 | 1 | Céramique | Ecuelle à épaulement-ressaut |
| 2021 | 1 | C | 117 | 3 | 1006 | Céramique | 60 | 2 | 1 | Céramique | Jatte à bord droit profond |
| 2021 | 1 | C | 119 | 3 | 1006 | Céramique | 94 | 2 | 1 | Céramique | Jatte à bord droit bas |
| 2021 | 1 | C | 120 | 3 | 1006 | Céramique | 20 | 2 | 0 | Céramique | Lot de panses |
| 2021 | 1 | C | 121 | 3 | 1006 | Céramique | 26 | 1 | 1 | Céramique | Ecuelle à épaulement haut, lèvres déversés |
| 2021 | 1 | C | 122 | 3 | 1006 | Céramique | 4 | 1 | 0 | Céramique | Fond annulaire |
| 2021 | 1 | C | 123 | 3 | 1006 | Céramique | 38 | 1 | 1 | Céramique | Jatte à bord rentrant basse rectiligne |
| 2021 | 1 | C | 124 | 3 | 1006 | Céramique | 28 | 2 | 1 | Céramique | Coupe tronconique profonde |
| 2021 | 1 | C | 125 | 3 | 1006 | Céramique | 46 | 3 | 3 | Céramique | Jatte à bord droit bas |
| 2021 | 1 | C | 126 | 3 | 1006 | Céramique | 136 | 12 | 12 | Céramique | Jatte à bord rentrant basse |
| 2021 | 1 | C | 127 | 3 | 1006 | Céramique | 20 | 1 | 1 | Céramique | Ecuelle à épaulement |
| 2021 | 1 | C | 127 | 3 | 1006 | Céramique | 20 | 1 | 1 | Céramique | Ecuelle/ bouteille ? |
| 2021 | 1 | C | 128 | 3 | 1006 | Céramique | 10 | 1 | 1 | Céramique | Ecuelle à épaulement médian, col droit |
| 2021 | 1 | C | 129 | 3 | 1006 | Céramique | 18 | 2 | 2 | Céramique | Ecuelle carénée col développé |
| 2021 | 1 | C | 153 | 3 | 1006 | Céramique | 14 | 1 | 1 | Céramique | Coupe |
| 2021 | 1 | C | 154 | 3 | 1006 | Céramique | 10 | 1 | 1 | Céramique | Coupe |
| 2021 | 1 | C | 152 | 3 | 1006 | Céramique | | 1 | 1 | Céramique | Ecuelle |
| 2021 | 1 | C | 148 | 3 | 1006 | Céramique | 8 | 1 | | Céramique | Pied creux |
| 2021 | 1 | C | 149 | 3 | 1006 | Céramique | 28 | 1 | 1 | Céramique | Bord, coupe tronconique |
| 2021 | 1 | C | 150 | 3 | 1006 | Céramique | 160 | 5 | | Céramique | Lot de fonds |
| 2021 | 1 | C | 150 | 3 | 1006 | Céramique | | 4 | | Céramique | Lot de fonds |

| Pré-inventaire du mobilier-Secteur 1 | | | | | | | | | | | |
|--------------------------------------|---------|--------------|---------------|-----------|------|-----------|-----------|-----|-----|---------------------------|---|
| Année | Secteur | Code Matière | n° inventaire | Structure | US | Matériau | Masse (g) | NR | NMI | Type objet | Description |
| 2021 | 1 | C | 151 | 3 | 1006 | Céramique | 72 | 12 | 12 | Céramique | Jattes |
| 2021 | 1 | C | 152 | 3 | 1006 | Céramique | 20 | 2 | | Céramique | Lot de panses |
| 2021 | 1 | C | 152 | 3 | 1006 | Céramique | | 1 | 1 | Céramique | Ecuelle à épaulement |
| 2021 | 1 | C | 242 | 3 | 1006 | Céramique | 446 | 22 | | Céramique | Lot de panses |
| 2021 | 1 | C | 242 | 3 | 1006 | Céramique | | 2 | | Céramique | Lot de panses |
| 2021 | 1 | C | 242 | 3 | 1006 | Céramique | | 4 | 4 | Céramique | Lot de panses |
| 2021 | 1 | C | 243 | 3 | 1006 | Céramique | 1288 | 132 | | Céramique | Lot de panses |
| 2021 | 1 | C | 244 | 3 | 1006 | Céramique | 1738 | 148 | | Céramique | Lot de panses |
| 2021 | 1 | C | 244 | 3 | 1006 | Céramique | | 5 | | Céramique | Lot de panses |
| 2021 | 1 | F | F-043853-13 | 3 | 1006 | Faune | 680 | 110 | | Faune | |
| 2021 | 1 | F | F-043853-14 | 3 | 1006 | Faune | 1010 | 202 | | Faune | |
| 2021 | 1 | F | F-043853-15 | 3 | 1006 | Faune | 694 | 91 | | Faune | |
| 2021 | 1 | F | F-043853-16 | 3 | 1006 | Faune | 250 | 54 | | Faune | |
| 2021 | 1 | F | F-043853-17 | 3 | 1006 | Faune | 500 | 81 | | Faune | |
| 2021 | 1 | F | F-043853-19 | 3 | 1006 | Faune | 564 | 84 | | Faune | |
| 2021 | 1 | F | F-043853-23 | 3 | 1006 | Faune | 72 | 11 | | Faune | |
| 2021 | 1 | M | 043853-16 | 3 | 1006 | Fer | 3,8 | 1 | 1 | Clou : tête | Fragment de clou composé d'une tête ovulaire et du départ d'une tige de section carrée. |
| 2021 | 1 | LI | 043853-13 | 3 | 1006 | Lithique | 20 | 1 | | débris | |
| 2021 | 1 | LI | 043853-14 | 3 | 1006 | Lithique | 30 | 1 | | outil mouture indéterminé | |
| 2021 | 1 | LI | 043853-18 | 3 | 1006 | Lithique | 80 | 1 | | outil mouture indéterminé | |
| 2021 | 1 | LI | 043853-38 | 3 | 1006 | Lithique | 370 | 1 | | débris | |
| 2021 | 1 | LI | 043853-54 | 3 | 1006 | Lithique | 200 | 1 | | outil mouture indéterminé | |
| 2021 | 1 | LI | 043853-55 | 3 | 1006 | Lithique | 50 | 1 | | débris | |

| Pré-inventaire du mobilier-Secteur 1 | | | | | | | | | | | |
|--------------------------------------|---------|--------------|---------------|-----------|------|----------------------|-----------|----|-----|---------------------------|--|
| Année | Secteur | Code Matière | n° inventaire | Structure | US | Matériau | Masse (g) | NR | NMI | Type objet | Description |
| 2021 | 1 | LI | 043853-56 | 3 | 1006 | Lithique | 270 | 1 | | outil mouture indéterminé | |
| 2021 | 1 | LI | 043853-57 | 3 | 1006 | Lithique | 60 | 1 | | débris | |
| 2021 | 1 | LI | 043853-58 | 3 | 1006 | Lithique | 180 | 1 | | outil mouture indéterminé | |
| 2021 | 1 | LI | 043853-123 | 3 | 1006 | Lithique | 10 | 1 | | écl | |
| 2021 | 1 | LI | 043853-177 | 3 | 1006 | Lithique | 60 | 1 | | outil mouture indéterminé | |
| 2021 | 1 | LI | 043853-182 | 3 | 1006 | Lithique | 0 | 1 | | écl | |
| 2021 | 1 | CP | 043853-6 | 3 | 1006 | Scorie/Paroi de four | 3190 | 31 | 15 | Scorie | Culots, fragments de scories, fragments de paroi de four |
| 2021 | 1 | MC | | 3 | 1006 | Terre à bâtir | 35 | | | | |
| 2021 | 1 | C | 043853-3 | 3 | 1006 | Terre cuite | 36,0 | 1 | 1 | Peson | Fragment de peson dont l'intérieur est creux indiquant une fabrication en deux pièces accolées ensemble. Il est perforé dans sa partie supérieure pour sa suspension. Seule la partie proximale est ici conservée. |
| 2021 | 1 | C | 043853-3 | 3 | 1006 | Terre cuite | 6,9 | 5 | 1 | Peson | Fragments probable de pesons. |
| 2021 | 1 | C | 144 | 3 | 1090 | Céramique | 24 | 1 | 1 | Céramique | Bouteille |
| 2021 | 1 | C | 144 | 3 | 1090 | Céramique | 24 | 1 | 1 | Céramique | Jatte à carène |
| 2021 | 1 | C | 145 | 3 | 1090 | Céramique | 164 | 13 | | Céramique | Lot de panses |
| 2021 | 1 | C | 146 | 3 | 1090 | Céramique | 10 | 1 | 1 | Céramique | Jatte |
| 2021 | 1 | C | 147 | 3 | 1090 | Céramique | 228 | 23 | 1 | Céramique | Lot de panses, bord et fonds |
| 2021 | 1 | C | 147 | 3 | 1090 | Céramique | | 1 | 1 | Céramique | Anse |
| 2021 | 1 | F | F-043853-18 | 3 | 1090 | Faune | 230 | 23 | | Faune | |
| 2021 | 1 | F | F-043853-21 | 3 | 1090 | Faune | 36 | 3 | | Faune | |
| 2021 | 1 | F | F-043853-22 | 3 | 1090 | Faune | 150 | 31 | | Faune | |
| 2021 | 1 | M | 043853-19 | 3 | 1090 | Fer | 20,8 | 1 | 1 | Clou à tête incurvé | Clou composé d'une tête avec une tôle au profil incurvée dans laquelle une tige a été placée au centre pour sa fixation, formant comme une gouttière. Rappelle les « rivets de serpe » pour fixer un manche d'outil. |

| Pré-inventaire du mobilier-Secteur 1 | | | | | | | | | | | |
|--------------------------------------|---------|--------------|---------------|-----------|------|----------------------|-----------|----|-----|---------------------------|--|
| Année | Secteur | Code Matière | n° inventaire | Structure | US | Matériau | Masse (g) | NR | NMI | Type objet | Description |
| 2021 | 1 | M | 043853-20 | 3 | 1090 | Fer | 7,6 | 1 | 1 | Soie de barrette | Fragment de tige affinée à l'une de ses extrémités de section en D, prolongée d'une partie de section aplatie déformée dont l'extrémité distale est aplatie. Son profil indique qu'elle est déformée. Soie de barrette d'après ses dimensions. |
| 2021 | 1 | CP | 043853-7 | 3 | 1090 | Scorie/Paroi de four | 90 | 5 | 1 | Scorie | 1 culot, 1 scorie, 3 parois |
| 2021 | 1 | C | 043853-4 | 3 | 1090 | Terre cuite | 15,9 | 1 | 0 | Peson | Fragment de peson dont l'intérieur est creux indiquant une fabrication en deux pièces accolées ensemble. Seule la partie distale est ici conservée. |
| 2021 | 1 | C | 282 | 3 | 1109 | Céramique | 10 | 1 | 1 | Céramique | Jatte bords rentrants |
| 2021 | 1 | C | 282 | 3 | 1109 | Céramique | 10 | 1 | 1 | Céramique | Bol tronconique |
| 2021 | 1 | C | 282 | 3 | 1109 | Céramique | 10 | 1 | 1 | Céramique | Bol hémisphérique |
| 2021 | 1 | C | 282 | 3 | 1109 | Céramique | 354 | 19 | | Céramique | Lot de panses |
| 2021 | 1 | C | 282 | 3 | 1109 | Céramique | 392 | 7 | | Céramique | Lot de panses |
| 2021 | 1 | F | F-043853-12 | 3 | 1109 | Faune | 348 | 28 | | Faune | |
| 2021 | 1 | F | F-043853-20 | 3 | 1109 | Faune | 220 | 12 | | Faune | |
| 2021 | 1 | M | 043853-17 | 3 | 1109 | Fer | 65,9 | 1 | 1 | Couteau | Fragment de couteau composé d'une lame de section triangulaire dont le dos est droit et le tranchant incurvé. La pointe est manquante (MET 15?). Elle se prolonge d'un long manche de section rectangulaire aplatie destiné à accueillir des plaquettes fixées par au moins deux rivets présents au départ et à l'extrémité du manche. |
| 2021 | 1 | M | 043853-18 | 3 | 1109 | Fer | 17,6 | 3 | 0 | Couteau | Fragment de lame de couteau de section triangulaire au dos droit et tranchant légèrement incurvé. Suite du couteau MET 17. |
| 2021 | 1 | LI | 043853-59 | 3 | 1109 | Lithique | 90 | 2 | | outil mouture indéterminé | |
| 2021 | 1 | LI | 043853-60 | 3 | 1109 | Lithique | 40 | 1 | | outil mouture indéterminé | |
| 2021 | 1 | LI | 043853-61 | 3 | 1109 | Lithique | 60 | 1 | | outil mouture indéterminé | |
| 2021 | 1 | LI | 043853-62 | 3 | 1109 | Lithique | 10 | 1 | | écl | |
| 2021 | 1 | CP | 043853-8 | 3 | 1109 | Scorie/Paroi de four | 160 | 1 | 1 | Scorie | 1 culot |
| 2021 | 1 | C | 043853-18 | 3 | 1109 | Terre cuite | 8,7 | 1 | 1 | Balle de fronde | Fragment de balle de fronde. |

| Pré-inventaire du mobilier-Secteur 1 | | | | | | | | | | | |
|--------------------------------------|---------|--------------|---------------|-----------|-----------|-----------|-----------|----|-----|------------|--------------------------------------|
| Année | Secteur | Code Matière | n° inventaire | Structure | US | Matériau | Masse (g) | NR | NMI | Type objet | Description |
| 2021 | 1 | C | 116 | 3 | 1006/1090 | Céramique | 58 | 6 | 1 | Céramique | Ecuelle à épaulement haut, col droit |
| 2021 | 1 | C | 118 | 3 | 1006/1109 | Céramique | 216 | 4 | 1 | Céramique | Ecuelle carénée col développé |
| 2021 | 1 | AMP | | 4 | 1007 | Céramique | | 10 | | | |
| 2021 | 1 | C | 16 | 4 | 1007 | Céramique | 110 | 2 | 1 | Céramique | Jatte à bord droit bas |
| 2021 | 1 | C | 16 | 4 | 1007 | Céramique | 30 | 1 | 1 | Céramique | Jatte à bord rentrant basse |
| 2021 | 1 | C | 49 | 4 | 1007 | Céramique | 14 | 1 | 1 | Céramique | Ecuelle à épaulement |
| 2021 | 1 | C | 49 | 4 | 1007 | Céramique | 10 | 1 | | Céramique | Ecuelle à épaulement? |
| 2021 | 1 | C | 49 | 4 | 1007 | Céramique | 16 | 1 | 1 | Céramique | Bouteille biconique |
| 2021 | 1 | C | 17 | 4 | 1007 | Céramique | 10 | 1 | 1 | Céramique | Jatte à profil arrondi |
| 2021 | 1 | C | 18 | 4 | 1007 | Céramique | 32 | 1 | | Céramique | Fond à pied creux |
| 2021 | 1 | C | 18 | 4 | 1007 | Céramique | 14 | 1 | | Céramique | Fond aplati |
| 2021 | 1 | C | 17 | 4 | 1007 | Céramique | 70 | 1 | 1 | Céramique | Coupe hémisphérique |
| 2021 | 1 | C | 15 | 4 | 1007 | Céramique | | 1 | | Céramique | Element résiduel |
| 2021 | 1 | C | 17 | 4 | 1007 | Céramique | | 2 | 2 | Céramique | Coupe tronconique, bords aplatis |
| 2021 | 1 | C | 17 | 4 | 1007 | Céramique | | 2 | 2 | Céramique | Fragments bords très fins/petits |
| 2021 | 1 | C | 17 | 4 | 1007 | Céramique | | 1 | 1 | Céramique | Jatte bords droits |
| 2021 | 1 | C | 17 | 4 | 1007 | Céramique | | 1 | 1 | Céramique | Ecuelle/ bouteille ? Epaulement haut |
| 2021 | 1 | C | 17 | 4 | 1007 | Céramique | | 2 | 1 | Céramique | Ecuelle/ bouteille ? Epaulement haut |
| 2021 | 1 | C | 17 | 4 | 1007 | Céramique | | 1 | 1 | Céramique | Jatte/écuelle ? |
| 2021 | 1 | C | 17 | 4 | 1007 | Céramique | | 1 | 1 | Céramique | Bord aplati |
| 2021 | 1 | C | 17 | 4 | 1007 | Céramique | | 1 | | Céramique | Fragment de panse |
| 2021 | 1 | C | 17 | 4 | 1007 | Céramique | 4 | 1 | | Céramique | Fond annulaire |
| 2021 | 1 | C | 19 | 4 | 1007 | Céramique | 792 | 68 | | Céramique | Lot de panses |
| 2021 | 1 | C | 19 | 4 | 1007 | Céramique | 214 | 10 | | Céramique | Lot de panses |
| 2021 | 1 | C | 20 | 4 | 1007 | Céramique | 738 | 48 | | Céramique | Lot de panses |
| 2021 | 1 | C | 24 | 4 | 1007 | Céramique | 560 | 18 | 1 | Céramique | Jatte à bords rentrants/droits (?) |
| 2021 | 1 | F | F-043853-11 | 4 | 1007 | Faune | 234 | 59 | | Faune | |

| Pré-inventaire du mobilier-Secteur 1 | | | | | | | | | | | |
|--------------------------------------|---------|--------------|---------------|-----------|------|----------------------|-----------|----|-----|---------------------------|---|
| Année | Secteur | Code Matière | n° inventaire | Structure | US | Matériau | Masse (g) | NR | NMI | Type objet | Description |
| 2021 | 1 | LI | 043853-90 | 4 | 1007 | Lithique | 440 | 1 | | outil indéterminé | |
| 2021 | 1 | LI | 043853-161 | 4 | 1007 | Lithique | 80 | 1 | | outil mouture indéterminé | |
| 2021 | 1 | LI | 043853-162 | 4 | 1007 | Lithique | 0 | 1 | | écl | |
| 2021 | 1 | CP | 043853-9 | 4 | 1007 | Scorie/Paroi de four | 80 | 15 | | Scorie | Fragments de parois et scories SAS et SGD |
| 2021 | 1 | MC | | 4 | 1007 | Terre à bâtir | 240 | | | | |
| 2021 | 1 | C | 25 | 4 | 1110 | Céramique | 1548 | 59 | 1 | Céramique | Bouteille à épaulement |
| 2021 | 1 | C | 21 | 4 | 1110 | Céramique | 22 | 1 | 1 | Céramique | Coupe tronconique, bords aplatis |
| 2021 | 1 | C | 21 | 4 | 1110 | Céramique | | 1 | 1 | Céramique | Fragmnt bord |
| 2021 | 1 | C | 21 | 4 | 1110 | Céramique | | 3 | 3 | Céramique | Jattes ind |
| 2021 | 1 | C | 22 | 4 | 1110 | Céramique | 50 | 5 | | Céramique | Lot de panses |
| 2021 | 1 | C | 23 | 4 | 1110 | Céramique | 88 | 12 | | Céramique | Lot de panses |
| 2021 | 1 | F | F-043853-3 | 4 | 1110 | Faune | 20 | 9 | | Faune | |
| 2021 | 1 | LI | 043853-174 | 4 | 1110 | Lithique | 0 | 1 | | débris | |
| 2021 | 1 | LI | 043853-178 | 4 | 1110 | Lithique | 10 | 1 | | débris | |
| 2021 | 1 | M | 043853-69 | 5 | 1012 | Alliages cuivreux | 0,2 | 1 | 1 | Aiguille ? | Fragment de tige très fine de section ovulaire et épointée à l'une de ses extrémités. A l'autre fragmentée, elle est aplatie : départ du chas de l'aiguille ? Travail de couture fin. |
| 2021 | 1 | M | 043853-67 | 5 | 1012 | Alliages cuivreux | 0,7 | 1 | 1 | Rivet | Fragment de rivet composé d'une tête aplatie circulaire prolongée du départ de la tige de section circulaire. Sa taille correspond probablement à un élément de vêtement ? |
| 2021 | 1 | M | 043853-68 | 5 | 1012 | Alliages cuivreux | 0,4 | 1 | 1 | Fibule : ardillon | Fragment d'ardillon de fibule de section circulaire épointée bien rectiligne. |
| 2021 | 1 | M | 043853-70 | 5 | 1012 | Alliages cuivreux | 0,7 | 1 | 1 | Chute | Fragment de tige de section circulaire munie d'une trace de découpe. Chute. A subi le feu. |
| 2021 | 1 | AMP | | 5 | 1012 | Céramique | | 4 | | | |
| 2021 | 1 | C | 29 | 5 | 1012 | Céramique | 8 | 1 | | Céramique | Ecuelle à épaulement |
| 2021 | 1 | C | 30 | 5 | 1012 | Céramique | 40 | 2 | | Céramique | Lot de panses |
| 2021 | 1 | C | 30 | 5 | 1012 | Céramique | | 1 | 1 | Céramique | Bord à lèvres impressionné |

| Pré-inventaire du mobilier-Secteur 1 | | | | | | | | | | | |
|--------------------------------------|---------|--------------|---------------|-----------|------|-----------|-----------|-----|-----|------------|--|
| Année | Secteur | Code Matière | n° inventaire | Structure | US | Matériau | Masse (g) | NR | NMI | Type objet | Description |
| 2021 | 1 | C | 33 | 5 | 1012 | Céramique | 54 | 1 | 1 | Céramique | Pot elliptique |
| 2021 | 1 | C | 38 | 5 | 1012 | Céramique | 96 | 1 | 1 | Céramique | Jatte à bord droit profond |
| 2021 | 1 | C | 35 | 5 | 1012 | Céramique | 26 | 1 | 1 | Céramique | Ecuelle à épaulement |
| 2021 | 1 | C | 35 | 5 | 1012 | Céramique | 12 | 1 | 1 | Céramique | Ecuelle à épaulement |
| 2021 | 1 | C | 35 | 5 | 1012 | Céramique | 16 | 1 | 1 | Céramique | Ecuelle à épaulement-ressaut |
| 2021 | 1 | C | 51 | 5 | 1012 | Céramique | 96 | 4 | 1 | Céramique | Coupe hémisphérique basse |
| 2021 | 1 | C | 36 | 5 | 1012 | Céramique | 26 | 1 | 1 | Céramique | Jatte à bord rentrant basse |
| 2021 | 1 | C | 36 | 5 | 1012 | Céramique | 2 | 1 | 1 | Céramique | Ecuelle à épaulement |
| 2021 | 1 | C | 52 | 5 | 1012 | Céramique | 4 | 1 | 1 | Céramique | Coupe hémisphérique ind |
| 2021 | 1 | C | 36 | 5 | 1012 | Céramique | 62 | 7 | 7 | Céramique | Jatte à bords rentrants |
| 2021 | 1 | C | 36 | 5 | 1012 | Céramique | 38 | 4 | 4 | Céramique | Jatte à bords droits |
| 2021 | 1 | C | 34 | 5 | 1012 | Céramique | | 1 | 1 | Céramique | Coupe hémisphérique, bord impressionné |
| 2021 | 1 | C | 26 | 5 | 1012 | Céramique | 2430 | 228 | | Céramique | Lot de panses |
| 2021 | 1 | C | 26 | 5 | 1012 | Céramique | | 60 | | Céramique | Lot de panses |
| 2021 | 1 | C | 26 | 5 | 1012 | Céramique | | 4 | | Céramique | Lot de panses |
| 2021 | 1 | C | 27 | 5 | 1012 | Céramique | 2022 | 146 | | Céramique | Lot de panses |
| 2021 | 1 | C | 28 | 5 | 1012 | Céramique | 202 | 5 | | Céramique | Lot de fonds plats |
| 2021 | 1 | C | 26 | 5 | 1012 | Céramique | | 1 | | Céramique | Panse |
| 2021 | 1 | C | 31 | 5 | 1012 | Céramique | 16 | 1 | | Céramique | Panse |
| 2021 | 1 | C | 32 | 5 | 1012 | Céramique | 278 | 13 | | Céramique | Lot de fonds |
| 2021 | 1 | C | 34 | 5 | 1012 | Céramique | 40 | 2 | 2 | Céramique | Jatte à bords droits, lèvres arrondie |
| 2021 | 1 | C | 36 | 5 | 1012 | Céramique | 24 | 3 | 3 | Céramique | Coupe hémisphérique |
| 2021 | 1 | C | 36 | 5 | 1012 | Céramique | 42 | 7 | 7 | Céramique | Lot de bords |
| 2021 | 1 | C | 36 | 5 | 1012 | Céramique | 4 | 2 | 2 | Céramique | Ind |
| 2021 | 1 | C | 37 | 5 | 1012 | Céramique | 4 | 1 | | Céramique | Panse |
| 2021 | 1 | F | F-043853-5 | 5 | 1012 | Faune | 472 | 102 | | Faune | |

| Pré-inventaire du mobilier-Secteur 1 | | | | | | | | | | | |
|--------------------------------------|---------|--------------|---------------|-----------|------|----------|-----------|----|-----|---------------------------|--|
| Année | Secteur | Code Matière | n° inventaire | Structure | US | Matériau | Masse (g) | NR | NMI | Type objet | Description |
| 2021 | 1 | M | 043853-25 | 5 | 1012 | Fer | 29,8 | 2 | 1 | Chute de barre | Pièce composée d'une soie épointée de section carrée qui s'élargit et s'épaissit en section rectangulaire et se termine à son extrémité par une section en D. Cette dernière pourrait être découpée ? Une légère torsion est présente à la moitié de sa longueur. Chute de barre |
| 2021 | 1 | M | 043853-26 | 5 | 1012 | Fer | 1,2 | 1 | 1 | Fibule : ardillon | Fragment d'ardillon de fibule de section ovulaire et épointé. |
| 2021 | 1 | M | 043853-27 | 5 | 1012 | Fer | 3,3 | 2 | 1 | Chute de barrette ? | Pièce composée d'une tige affinée à l'une de ses extrémités formant ainsi une soie, prolongée par une partie à peine plus large et aplatie de section elliptique. Son profil est déformé : chute de barrette ? |
| 2021 | 1 | M | 043853-28 | 5 | 1012 | Fer | 2,5 | 1 | 1 | Clou décoratif | Petit clou composé d'une tête aplatie de forme circulaire prolongée d'une tige épointée courte et de section carrée, courbe. |
| 2021 | 1 | M | 043853-29 | 5 | 1012 | Fer | 9,9 | 2 | 1 | Rasoir ? | Fragment de lame de section triangulaire rectangle dont le dos est droit et le tranchant légèrement incurvé sur l'extrémité distale. La pointe est manquante. Elle se prolonge soie d'emmanchement de section rectangulaire aplatie : rasoir ? |
| 2021 | 1 | LI | 043853-17 | 5 | 1012 | Lithique | 150 | 3 | | outil mouture indéterminé | |
| 2021 | 1 | LI | 043853-22 | 5 | 1012 | Lithique | 30 | 1 | | débris | |
| 2021 | 1 | LI | 043853-36 | 5 | 1012 | Lithique | 50 | 1 | | outil mouture indéterminé | |
| 2021 | 1 | LI | 043853-37 | 5 | 1012 | Lithique | 20 | 1 | | outil mouture indéterminé | |
| 2021 | 1 | LI | 043853-113 | 5 | 1012 | Lithique | 10 | 1 | | écl | |
| 2021 | 1 | LI | 043853-155 | 5 | 1012 | Lithique | 10 | 1 | | débris | |
| 2021 | 1 | LI | 043853-168 | 5 | 1012 | Lithique | 10 | 1 | | outil mouture indéterminé | |
| 2021 | 1 | LI | 043853-171 | 5 | 1012 | Lithique | 10 | 1 | | débris | |
| 2021 | 1 | LI | 043853-176 | 5 | 1012 | Lithique | 10 | 1 | | outil mouture indéterminé | |
| 2021 | 1 | LI | 043853-184 | 5 | 1012 | Lithique | 20 | 1 | | outil mouture indéterminé | |
| 2021 | 1 | LI | 043853-185 | 5 | 1012 | Lithique | 10 | 1 | | débris | |

| Pré-inventaire du mobilier-Secteur 1 | | | | | | | | | | | |
|--------------------------------------|---------|--------------|---------------|-----------|------|----------------------|-----------|-----|-----|------------------------------|--|
| Année | Secteur | Code Matière | n° inventaire | Structure | US | Matériau | Masse (g) | NR | NMI | Type objet | Description |
| 2021 | 1 | IO | 043853-1 | 5 | 1012 | Os | 73,1 | 1 | 1 | Manche d'outil | Pièce d'os (métatarse de boeuf) dont l'une des extrémités a été aménagée pour permettre l'emmanchement d'un outil. Cet aménagement est un creusement de forme quadrangulaire profond d'au moins 30 mm et large de 16 à 20 mm. L'autre extrémité n'est pas conservée. |
| 2021 | 1 | CP | 043853-10 | 5 | 1012 | Scorie/Paroi de four | 6052 | 130 | 12 | Scorie | Fragments de parois, scorées, probable culot fragmenté |
| 2021 | 1 | MC | | 5 | 1012 | Terre à bâtir | 1500 | | | | |
| 2021 | 1 | C | 043853-17 | 5 | 1012 | Terre cuite | 86,9 | 1 | 1 | Peson | Fragment probable de peson : angle distale de la pièce ? |
| 2021 | 1 | M | 043853-71 | 5 | 1091 | Alliages cuivreux | 1,2 | 1 | 1 | Bracelet | Fragment de jonc de bracelet simple de section circulaire. |
| 2021 | 1 | C | 49 | 5 | 1091 | Céramique | 6 | 1 | 1 | Céramique | Coupe hémisphérique basse |
| 2021 | 1 | C | 44 | 5 | 1091 | Céramique | 62 | 2 | 1 | Céramique | Coupe hémisphérique basse |
| 2021 | 1 | C | 44 | 5 | 1091 | Céramique | 2 | 1 | 1 | Céramique | Jatte à bord droit bas |
| 2021 | 1 | C | 41 | 5 | 1091 | Céramique | 28 | 2 | | Céramique | Lot de fonds |
| 2021 | 1 | C | 42 | 5 | 1091 | Céramique | 258 | 19 | | Céramique | Lot de panses |
| 2021 | 1 | C | 42 | 5 | 1091 | Céramique | | 1 | | Céramique | Panse |
| 2021 | 1 | C | 43 | 5 | 1091 | Céramique | 398 | 19 | | Céramique | Lot de panses |
| 2021 | 1 | C | 43 | 5 | 1091 | Céramique | | 13 | | Céramique | Lot de panses |
| 2021 | 1 | C | 46 | 5 | 1091 | Céramique | 94 | 13 | | Céramique | Lot de panses |
| 2021 | 1 | C | 48 | 5 | 1091 | Céramique | 118 | 9 | | Céramique | Lot de panses |
| 2021 | 1 | F | F-043853-2 | 5 | 1091 | Faune | 78 | 20 | | Faune | |
| 2021 | 1 | M | 043853-21 | 5 | 1091 | Fer | 24,1 | 1 | 1 | Soie de barre | Pièce composée d'une tige époincée de section quadrangulaire qui se prolonge par une partie plus épaisse de section en D fragmentée. L'extrémité époincée est repliée formant ainsi un oeillet : soie de barre repliée. |
| 2021 | 1 | M | 043853-22 | 5 | 1091 | Fer | 11,5 | 1 | 1 | Vaisselle : attache d'anse ? | Pièce composée d'une tôle de forme foliacée marquée par une nervure centrale longitudinale et un profil incurvé. Deux rivets permettaient sa fixation sur le support : l'un de tête circulaire, l'autre rectangulaire ? Attache d'anse de vaisselle ? |
| 2021 | 1 | M | 043853-23 | 5 | 1091 | Fer | 1,5 | 1 | 0 | Fibule : ardillon | Fragment d'ardillon de fibule de section ovulaire : liée à MET 24. |
| 2021 | 1 | LI | 043853-39 | 5 | 1091 | Lithique | 30 | 1 | | écl | |

| Pré-inventaire du mobilier-Secteur 1 | | | | | | | | | | | |
|--------------------------------------|---------|--------------|---------------|-----------|-----------|----------------------|-----------|----|-----|---------------------------|--|
| Année | Secteur | Code Matière | n° inventaire | Structure | US | Matériau | Masse (g) | NR | NMI | Type objet | Description |
| 2021 | 1 | LI | 043853-40 | 5 | 1091 | Lithique | 90 | 1 | | outil mouture indéterminé | |
| 2021 | 1 | LI | 043853-41 | 5 | 1091 | Lithique | 500 | 1 | | molette | |
| 2021 | 1 | LI | 043853-42 | 5 | 1091 | Lithique | 60 | 1 | | écl | |
| 2021 | 1 | LI | 043853-106 | 5 | 1091 | Lithique | 20 | 1 | | écl | |
| 2021 | 1 | LI | 043853-107 | 5 | 1091 | Lithique | 20 | 1 | | débris | |
| 2021 | 1 | LI | 043853-108 | 5 | 1091 | Lithique | 30 | 1 | | débris | |
| 2021 | 1 | CP | 043853-11 | 5 | 1091 | Scorie/Paroi de four | 1250 | 41 | 3 | Scorie | Fragments de parois, scories, probable culot fragmenté |
| 2021 | 1 | C | 50 | 5 | 1093 | Céramique | 24 | 1 | | Céramique | Fond à pied creux droit |
| 2021 | 1 | C | 39 | 5 | 1093 | Céramique | 38 | 4 | 3 | Céramique | Coupe hémisphérique basse |
| 2021 | 1 | C | 40 | 5 | 1093 | Céramique | 22 | 3 | 3 | Céramique | Jatte à bords rentrants |
| 2021 | 1 | M | 043853-24 | 5 | 1093 | Fer | 3,4 | 1 | 1 | Fibule F | Fragment de fibule composée d'un arc simple de section quasi triangulaire prolongé d'un ressort (6+6 spires) dont la corde est manquante. L'ardillon n'est conservé que sur son départ. Il manque le pied et le porte-ardillon : type F. |
| 2021 | 1 | LI | 043853-212 | 5 | 1093 | Lithique | 10 | 1 | | débris | |
| 2021 | 1 | CP | 043853-12 | 5 | 1093 | Scorie/Paroi de four | 90 | 7 | | Scorie | Fragments de parois et scories |
| 2021 | 1 | C | 45 | 5 | 1091/1012 | Céramique | 214 | 6 | | Céramique | Bouteille à épaulement bas, fragment panse : encolure |
| 2021 | 1 | AMP | | 6 | 1014 | Céramique | | 1 | | | |
| 2021 | 1 | C | 275 | 6 | 1014 | Céramique | | 1 | 1 | Céramique | Coupe hémisphérique |
| 2021 | 1 | C | 269 | 6 | 1014 | Céramique | 58 | 5 | 5 | Céramique | lot de bords ind |
| 2021 | 1 | C | 270 | 6 | 1014 | Céramique | 190 | 7 | | Céramique | Lot de fonds |
| 2021 | 1 | C | 271 | 6 | 1014 | Céramique | 16 | 2 | | Céramique | Lot de panses |
| 2021 | 1 | C | 272 | 6 | 1014 | Céramique | 474 | 37 | | Céramique | Lot de panses |
| 2021 | 1 | C | 272 | 6 | 1014 | Céramique | 4 | 1 | | Céramique | Fragment panse |
| 2021 | 1 | C | 274 | 6 | 1014 | Céramique | 228 | 12 | | Céramique | Lot de panses |
| 2021 | 1 | C | 275 | 6 | 1014 | Céramique | 82 | 8 | | Céramique | Lot de panses |

| Pré-inventaire du mobilier-Secteur 1 | | | | | | | | | | | | |
|--------------------------------------|---------|--------------|---------------|-----------|-----------|----------------------|-----------|-----|-----|---------------------------|--|--|
| Année | Secteur | Code Matière | n° inventaire | Structure | US | Matériau | Masse (g) | NR | NMI | Type objet | Description | |
| 2021 | 1 | F | F-043853-24 | 6 | 1014 | Faune | 2226 | 306 | | Faune | | |
| 2021 | 1 | M | 043853-30 | 6 | 1014 | Fer | 19,7 | 1 | 1 | Chute de barre | Fragment de barre de section quadrangulaire à trapézoïdale dont l'extrémité distale semble découpée en biseau. L'autre extrémité est épointée et repliée sur le reste de la soie. Chute de barre à soie. | |
| 2021 | 1 | M | 043853-31 | 6 | 1014 | Fer | 10,9 | 1 | 1 | Chute | Pièce composée d'une rondelle de forme circulaire prolongée d'un départ d'une bande de tôle découpée à son extrémité. Chute. | |
| 2021 | 1 | M | 043853-31 | 6 | 1014 | Fer | 21,1 | 1 | 1 | Chute de barre | Fragment de barre de section trapézoïdale avec traces d'arrachement . | |
| 2021 | 1 | LI | 043853-53 | 6 | 1014 | Lithique | 20 | 1 | | débris | | |
| 2021 | 1 | LI | 043853-110 | 6 | 1014 | Lithique | 0 | 1 | | écl | | |
| 2021 | 1 | LI | 043853-165 | 6 | 1014 | Lithique | 10 | 1 | | débris | | |
| 2021 | 1 | CP | 043853-13 | 6 | 1014 | Scorie/Paroi de four | 350 | 26 | 4 | Scorie | Fragment de paroi, fragments de scories SAS et 1 scorie informe SFR ; le culot mixte est SFR et SDG ; 1 culot SFR comportant une scorie SGD | |
| 2021 | 1 | MC | | 6 | 1014 | Terre à bâtir | 5 | | | | | |
| 2021 | 1 | C | 043853-5 | 6 | 1014 | Terre cuite | 6,1 | 1 | 0 | Peson | Fragment probable de peson : angle distale de la pièce ? | |
| 2021 | 1 | F | F-043853-25 | 6 | 1095 | Faune | 546 | 73 | | Faune | | |
| 2021 | 1 | F | F-043853-26 | 6 | 1095 | Faune | 728 | 49 | | Faune | | |
| 2021 | 1 | F | F-043853-27 | 6 | 1095 | Faune | 314 | 49 | | Faune | | |
| 2021 | 1 | F | F-043853-29 | 6 | 1095 | Faune | 612 | 59 | | Faune | | |
| 2021 | 1 | LI | 043853-06 | 6 | 1095 | Lithique | 430 | 1 | | molette | | |
| 2021 | 1 | LI | 043853-63 | 6 | 1095 | Lithique | 940 | 1 | | molette | | |
| 2021 | 1 | LI | 043853-64 | 6 | 1095 | Lithique | 890 | 1 | | outil mouture indéterminé | | |
| 2021 | 1 | LI | 043853-172 | 6 | 1095 | Lithique | 10 | 1 | | débris | | |
| 2021 | 1 | CP | 043853-14 | 6 | 1095 | Scorie/Paroi de four | 310 | 3 | 2 | Scorie | 1 culot avec 2 appui et un reste de paroi ; 1 fragment de scorie | |
| 2021 | 1 | C | 140 | 6 | 1014/1095 | Céramique | 92 | 2 | 1 | Céramique | Pot elliptique | |

| Pré-inventaire du mobilier-Secteur 1 | | | | | | | | | | | |
|--------------------------------------|---------|--------------|---------------|-----------|-----------|---------------|-----------|----|-----|---------------------------|---|
| Année | Secteur | Code Matière | n° inventaire | Structure | US | Matériau | Masse (g) | NR | NMI | Type objet | Description |
| 2021 | 1 | C | 140 | 6 | 1014/1095 | Céramique | 84 | 1 | 1 | Céramique | Jatte à bord rentrant basse |
| 2021 | 1 | C | 133 | 6 | 1014/1095 | Céramique | 4 | 1 | | Céramique | Encolure de bouteille/gobelet ? |
| 2021 | 1 | C | 273 | 6 | 1014/1095 | Céramique | 60 | 4 | 4 | Céramique | Lot jattes bords rentrants |
| 2021 | 1 | C | 269 | 6 | 1014/1095 | Céramique | | 1 | 1 | Céramique | Ecuelle à épaulement |
| 2021 | 1 | AMP | | 7 | 1016 | Céramique | | 3 | | | |
| 2021 | 1 | C | 167 | 7 | 1016 | Céramique | 118 | 1 | 1 | Céramique | Bouteille à épaulement bas |
| 2021 | 1 | C | 168 | 7 | 1016 | Céramique | 2 | 1 | 1 | Céramique | Ecuelle à épaulement |
| 2021 | 1 | C | 169 | 7 | 1016 | Céramique | 8 | 1 | 1 | Céramique | Couep arrondi à mari |
| 2021 | 1 | C | 185 | 7 | 1016 | Céramique | 16 | 2 | 2 | Céramique | Coupe |
| 2021 | 1 | C | 184 | 7 | 1016 | Céramique | 88 | 22 | | Céramique | Lot de panses |
| 2021 | 1 | C | 185 | 7 | 1016 | Céramique | | 3 | 3 | Céramique | Coupe/Jatte ind |
| 2021 | 1 | C | 186 | 7 | 1016 | Céramique | 54 | 6 | | Céramique | Lot de panses |
| 2021 | 1 | C | 186 | 7 | 1016 | Céramique | | 1 | | Céramique | Panse |
| 2021 | 1 | F | F-043853-7 | 7 | 1016 | Faune | 220 | 17 | | Faune | |
| 2021 | 1 | LI | 043853-26 | 7 | 1016 | Lithique | 10 | 1 | | p à main | |
| 2021 | 1 | LI | 043853-104 | 7 | 1016 | Lithique | 130 | 1 | | outil mouture indéterminé | |
| 2021 | 1 | MC | | 7 | 1016 | Terre à bâtir | 10 | | | | |
| 2021 | 1 | AMP | | 8 | 1018 | Céramique | | 4 | | | |
| 2021 | 1 | C | 141 | 8 | 1018 | Céramique | 124 | 7 | 1 | Céramique | Ecuelle à épaulement |
| 2021 | 1 | C | 135 | 8 | 1018 | Céramique | 74 | 1 | 1 | Céramique | Jatte à carène |
| 2021 | 1 | C | 142 | 8 | 1018 | Céramique | 142 | 4 | | Céramique | Bouteille à épaulement |
| 2021 | 1 | C | 134 | 8 | 1018 | Céramique | 124 | 4 | 1 | Céramique | Jatte à ressaut |
| 2021 | 1 | C | 143 | 8 | 1018 | Céramique | 36 | 3 | 1 | Céramique | Jatte à bord rentrant profonde |
| 2021 | 1 | C | 143 | 8 | 1018 | Céramique | 74 | 1 | 1 | Céramique | Jatte à bord rentrant basse |
| 2021 | 1 | C | 136 | 8 | 1018 | Céramique | 6 | 1 | | Céramique | Ecuelle à épaulement haut, col déversé, bord manquant |
| 2021 | 1 | C | 136 | 8 | 1018 | Céramique | 6 | 1 | 1 | Céramique | Ecuelle à épaulement haut, col déversé |

| Pré-inventaire du mobilier-Secteur 1 | | | | | | | | | | | | |
|--------------------------------------|---------|--------------|---------------|-----------|------|-----------|-----------|-----|-----|---------------------------|--|--|
| Année | Secteur | Code Matière | n° inventaire | Structure | US | Matériau | Masse (g) | NR | NMI | Type objet | Description | |
| 2021 | 1 | C | 277 | 8 | 1018 | Céramique | 72 | 9 | 4 | Céramique | Lot de jatte bords rentrants | |
| 2021 | 1 | C | 47 | 8 | 1018 | Céramique | | 6 | | Céramique | Résidualité néolithique, 2 préhensions | |
| 2021 | 1 | C | 276 | 8 | 1018 | Céramique | 192 | 4 | | Céramique | Lot de fonds | |
| 2021 | 1 | C | 276 | 8 | 1018 | Céramique | | 4 | | Céramique | Lot de fonds | |
| 2021 | 1 | C | 278 | 8 | 1018 | Céramique | 28 | 3 | 2 | Céramique | Lot de bords | |
| 2021 | 1 | C | 278 | 8 | 1018 | Céramique | | 1 | 1 | Céramique | Encolure, écuelle, pot, ind | |
| 2021 | 1 | C | 278 | 8 | 1018 | Céramique | | 1 | 1 | Céramique | Coupe | |
| 2021 | 1 | C | 278 | 8 | 1018 | Céramique | | 1 | 1 | Céramique | Jatte | |
| 2021 | 1 | C | 279 | 8 | 1018 | Céramique | 808 | 77 | | Céramique | Lot de panses | |
| 2021 | 1 | C | 279 | 8 | 1018 | Céramique | | 5 | | Céramique | Lot de panses | |
| 2021 | 1 | C | 279 | 8 | 1018 | Céramique | | 25 | | Céramique | Lot de panses | |
| 2021 | 1 | C | 279 | 8 | 1018 | Céramique | | 5 | | Céramique | Lot de panses | |
| 2021 | 1 | C | 280 | 8 | 1018 | Céramique | 968 | 41 | | Céramique | Lot de panses | |
| 2021 | 1 | C | 280 | 8 | 1018 | Céramique | | 4 | | Céramique | Lot de panses | |
| 2021 | 1 | C | 280 | 8 | 1018 | Céramique | | 18 | | Céramique | Lot de panses | |
| 2021 | 1 | C | 280 | 8 | 1018 | Céramique | | 2 | | Céramique | Lot de panses | |
| 2021 | 1 | F | F-043853-28 | 8 | 1018 | Faune | 2566 | 567 | | Faune | | |
| 2021 | 1 | M | 043853-32 | 8 | 1018 | Fer | 2,9 | 1 | 1 | Fibule F | Fragment de fibule composée d'un arc simple de section en D prolongé d'un ressort (4+4 spires) à corde interne. L'ardillon n'est conservé que sur son départ. Il manque le pied et le porte-ardillon : type F. | |
| 2021 | 1 | LI | 043853-30 | 8 | 1018 | Lithique | 80 | 1 | | outil mouture indéterminé | | |
| 2021 | 1 | LI | 043853-117 | 8 | 1018 | Lithique | 1020 | 3 | | molette | | |
| 2021 | 1 | LI | 043853-118 | 8 | 1018 | Lithique | 20 | 1 | | écl | | |
| 2021 | 1 | LI | 043853-130 | 8 | 1018 | Lithique | 30 | 1 | | débris | | |
| 2021 | 1 | LI | 043853-201 | 8 | 1018 | Lithique | 50 | 1 | | outil mouture indéterminé | | |
| 2021 | 1 | LI | 043853-202 | 8 | 1018 | Lithique | 60 | 1 | | débris | | |

| Pré-inventaire du mobilier-Secteur 1 | | | | | | | | | | | |
|--------------------------------------|---------|--------------|---------------|-----------|------|----------------------|-----------|----|-----|---------------------------|--|
| Année | Secteur | Code Matière | n° inventaire | Structure | US | Matériau | Masse (g) | NR | NMI | Type objet | Description |
| 2021 | 1 | LI | 043853-203 | 8 | 1018 | Lithique | 10 | 1 | | débris | |
| 2021 | 1 | CP | 043853-15 | 8 | 1018 | Scorie/Paroi de four | 200 | 16 | 2 | Scorie | Culots, 1 fragment de culot SGD ; fragments de scories majorité SAS et fragments de parois |
| 2021 | 1 | MC | | 8 | 1018 | Terre à bâtir | 161 | | | | |
| 2021 | 1 | C | 043853-6 | 8 | 1018 | Terre cuite | 30,0 | 1 | 1 | Person | Fragment de peson : angle distale de la pièce aux bords externes arrondis. |
| 2021 | 1 | C | 159 | 9 | 1020 | Céramique | 4 | 12 | | Céramique | Lot de panses |
| 2021 | 1 | C | 160 | 9 | 1020 | Céramique | 4 | 1 | 1 | Céramique | Bord triangulaire |
| 2021 | 1 | C | 161 | 9 | 1020 | Céramique | 4 | 1 | 1 | Céramique | Ecuelle à épaulement |
| 2021 | 1 | LI | 043853-204 | 9 | 1020 | Lithique | 30 | 1 | | outil mouture indéterminé | |
| 2021 | 1 | C | 157 | 10 | 1018 | Céramique | 266 | 10 | | Céramique | Lot de panses |
| 2021 | 1 | C | 157 | 10 | 1018 | Céramique | | 2 | | Céramique | Lot de panses |
| 2021 | 1 | C | 157 | 10 | 1018 | Céramique | | 7 | | Céramique | Fond à bourelet + lot panses |
| 2021 | 1 | C | 157 | 10 | 1018 | Céramique | | 1 | 1 | Céramique | Jatte bords rentrants |
| 2021 | 1 | C | 157 | 10 | 1018 | Céramique | | 1 | 1 | Céramique | fragment bord |
| 2021 | 1 | LI | 043853-173 | 10 | 1018 | Lithique | 20 | 1 | | outil mouture indéterminé | |
| 2021 | 1 | AMP | | 10 | 1022 | Céramique | | 4 | | | |
| 2021 | 1 | C | 171 | 10 | 1022 | Céramique | 6 | 1 | 1 | Céramique | Gobelet profil arrondi, lèvres en bourelet déversé |
| 2021 | 1 | C | 172 | 10 | 1022 | Céramique | 4 | 1 | | Céramique | Epaulement |
| 2021 | 1 | C | 173 | 10 | 1022 | Céramique | 32 | 6 | | Céramique | Lot de panses |
| 2021 | 1 | C | 174 | 10 | 1022 | Céramique | 8 | 1 | 1 | Céramique | Encolure forme basse ind |
| 2021 | 1 | C | 175 | 10 | 1022 | Céramique | 2 | 1 | 1 | Céramique | Encolure forme basse ind |
| 2021 | 1 | C | 176 | 10 | 1022 | Céramique | 14 | 1 | 1 | Céramique | Ecuelle à épaulement |
| 2021 | 1 | C | 177 | 10 | 1022 | Céramique | 18 | 1 | 1 | Céramique | Ecuelle à épaulement |
| 2021 | 1 | C | 178 | 10 | 1022 | Céramique | 60 | 7 | 1 | Céramique | Pot à épaulement court |
| 2021 | 1 | C | 179 | 10 | 1022 | Céramique | 10 | 1 | 1 | Céramique | Petit pot elliptique, lèvres rapportées vers intérieur |
| 2021 | 1 | C | 180 | 10 | 1022 | Céramique | 12 | 1 | | Céramique | Panse |
| 2021 | 1 | C | 181 | 10 | 1022 | Céramique | 10 | 1 | | Céramique | Panse |

| Pré-inventaire du mobilier-Secteur 1 | | | | | | | | | | | |
|--------------------------------------|---------|--------------|---------------|-----------|------|-----------|-----------|-----|-----|------------|---|
| Année | Secteur | Code Matière | n° inventaire | Structure | US | Matériau | Masse (g) | NR | NMI | Type objet | Description |
| 2021 | 1 | C | 183 | 10 | 1022 | Céramique | 24 | 2 | 2 | Céramique | Jatte à bord rentrant basse rectiligne |
| 2021 | 1 | C | 183 | 10 | 1022 | Céramique | 40 | 2 | 2 | Céramique | Coupe tronconique basse, bords aplatis et biseaux |
| 2021 | 1 | C | 183 | 10 | 1022 | Céramique | 24 | 1 | 1 | Céramique | Coupe tronconique profonde |
| 2021 | 1 | C | 170 | 10 | 1022 | Céramique | 48 | 4 | 1 | Céramique | Jatte à bord rentrant basse |
| 2021 | 1 | C | 170 | 10 | 1022 | Céramique | 40 | 1 | 1 | Céramique | Jatte à bord rentrant basse |
| 2021 | 1 | C | 170 | 10 | 1022 | Céramique | 40 | 1 | 1 | Céramique | Jatte à bord rentrant basse |
| 2021 | 1 | C | 170 | 10 | 1022 | Céramique | 18 | 1 | 1 | Céramique | Jatte à bord rentrant basse |
| 2021 | 1 | C | 162 | 10 | 1022 | Céramique | 132 | 2 | 1 | Céramique | Jatte bords rentrants |
| 2021 | 1 | C | 162 | 10 | 1022 | Céramique | | 10 | 6 | Céramique | Jatte bords rentrants |
| 2021 | 1 | C | 158 | 10 | 1022 | Céramique | 1306 | 139 | | Céramique | Lot de panses |
| 2021 | 1 | C | 164 | 10 | 1022 | Céramique | 4 | 1 | | Céramique | Panse |
| 2021 | 1 | C | 165 | 10 | 1022 | Céramique | 164 | 3 | | Céramique | Lot de fonds |
| 2021 | 1 | C | 165 | 10 | 1022 | Céramique | | 5 | | Céramique | Lot de fonds |
| 2021 | 1 | C | 166 | 10 | 1022 | Céramique | 446 | 49 | | Céramique | Lot de panses |
| 2021 | 1 | C | 254 | 10 | 1022 | Céramique | 64 | 1 | | Céramique | Panse à cordon; bouteille/jarre ind |
| 2021 | 1 | C | 254 | 10 | 1022 | Céramique | | 4 | 4 | Céramique | Jatte/écuelle ind |
| 2021 | 1 | C | 254 | 10 | 1022 | Céramique | | 1 | 1 | Céramique | Bord légèrement déversé, encollure, ind |
| 2021 | 1 | C | 254 | 10 | 1022 | Céramique | | 8 | 8 | Céramique | Coupe/jatte ind |
| 2021 | 1 | C | 255 | 10 | 1022 | Céramique | | 1 | 1 | Céramique | Coupe hémisphérique |
| 2021 | 1 | C | 255 | 10 | 1022 | Céramique | | 1 | 1 | Céramique | Bord |
| 2021 | 1 | F | F-043853-31 | 10 | 1022 | Faune | 378 | 79 | | Faune | |
| 2021 | 1 | F | F-043853-32 | 10 | 1022 | Faune | 154 | 35 | | Faune | |
| 2021 | 1 | F | F-043853-39 | 10 | 1022 | Faune | 690 | 114 | | Faune | |
| 2021 | 1 | F | F-043853-41 | 10 | 1022 | Faune | 567 | 73 | | Faune | |
| 2021 | 1 | F | F-043853-42 | 10 | 1022 | Faune | 1180 | 292 | | Faune | |

| Pré-inventaire du mobilier-Secteur 1 | | | | | | | | | | | |
|--------------------------------------|---------|--------------|---------------|-----------|------|----------------------|-----------|----|-----|----------------------------------|--|
| Année | Secteur | Code Matière | n° inventaire | Structure | US | Matériau | Masse (g) | NR | NMI | Type objet | Description |
| 2021 | 1 | M | 043853-33 | 10 | 1022 | Fer | 5,0 | 1 | 1 | Soie de barrette | Pièce composée d'une tige époincée de section quadrangulaire qui se prolonge par une partie plus épaisse de section rectangulaire découpée. Des traces d'enfoncement sur la soie correspondent à celles laissées par la pince. Soie de barrette. |
| 2021 | 1 | M | 043853-34 | 10 | 1022 | Fer | 9,5 | 1 | 1 | Ferrure | Fragment d'une bande de tôle dont l'extrémité conservée est arrondie et perforée pour sa fixation. Une tête de rivet est encore présente sur l'avvers. Petite ferrure de meuble ? |
| 2021 | 1 | M | 043853-35 | 10 | 1022 | Fer | 6,2 | 1 | 1 | Chute de barrette | Petite barre de section rectangulaire dont une partie semble divisée dans le sens de la longueur : en cours de soudure ? |
| 2021 | 1 | M | 043853-36 | 10 | 1022 | Fer | 2,9 | 1 | 1 | Clou en cours de mise en forme ? | Pièce composée d'une tête ovale et d'une tige de section carrée dont l'extrémité est découpée : en cours de mise en forme ? |
| 2021 | 1 | LI | 043853-215 | 10 | 1022 | Lithique | 71,0 | 1 | 1 | Outil : polissoir ? | Fragment de forme triangulaire : polissoir. |
| 2021 | 1 | LI | 043853-49 | 10 | 1022 | Lithique | 270 | 1 | | outil mouture indéterminé | |
| 2021 | 1 | LI | 043853-50 | 10 | 1022 | Lithique | 10 | 1 | | écl | |
| 2021 | 1 | LI | 043853-51 | 10 | 1022 | Lithique | 20 | 1 | | outil mouture indéterminé | |
| 2021 | 1 | LI | 043853-169 | 10 | 1022 | Lithique | 110 | 1 | | outil mouture indéterminé | |
| 2021 | 1 | LI | 043853-183 | 10 | 1022 | Lithique | 10 | 1 | | débris | |
| 2021 | 1 | CP | 043853-16 | 10 | 1022 | Scorie/Paroi de four | 770 | 34 | 5 | Scorie | Culots dont 1 mixte de SGD et SFR ; 3 fragments de culot SGD ; fragments de scories dont 2 SGD coulées ; fragments de parois |
| 2021 | 1 | MC | | 10 | 1022 | Terre à bâtir | 125 | | | | |
| 2021 | 1 | F | F-043853-36 | 10 | 1087 | Faune | 4 | 1 | | Faune | |
| 2021 | 1 | F | F-043853-37 | 10 | 1088 | Faune | 30 | 5 | | Faune | |
| 2021 | 1 | C | 155 | 10 | 1089 | Céramique | 16 | 1 | | Céramique | Panse |
| | | CP | 043853-17 | 10 | 1089 | Scorie/Paroi de four | 170 | 1 | 1 | Scorie | 1 culot SFR avec 3 bords d'appuis |
| 2021 | 1 | C | 156 | 10 | 1100 | Céramique | 78 | 1 | 1 | Céramique | Coupe hémisphérique basse |
| 2021 | 1 | C | 156 | 10 | 1100 | Céramique | 22 | 1 | 1 | Céramique | Coupe tronconique basse |

| Pré-inventaire du mobilier-Secteur 1 | | | | | | | | | | | | |
|--------------------------------------|---------|--------------|---------------|-----------|-----------|----------------------|-----------|-----|-----|------------|--|--|
| Année | Secteur | Code Matière | n° inventaire | Structure | US | Matériau | Masse (g) | NR | NMI | Type objet | Description | |
| 2021 | 1 | C | 156 | 10 | 1100 | Céramique | 6 | 1 | 1 | Céramique | Jatte bords rentrants | |
| 2021 | 1 | C | 156 | 10 | 1100 | Céramique | 134 | 13 | | Céramique | Lot de panses | |
| 2021 | 1 | C | 156 | 10 | 1100 | Céramique | 314 | 16 | | Céramique | Lot de panses | |
| 2021 | 1 | C | 156 | 10 | 1100 | Céramique | 102 | 3 | | Céramique | Fond plat | |
| 2021 | 1 | C | 156 | 10 | 1100 | Céramique | 14 | 1 | | Céramique | Ecuelle sinieuse | |
| 2021 | 1 | C | 156 | 10 | 1100 | Céramique | 30 | 2 | 1 | Céramique | Coupe hémisphérique, lèvres aplaties | |
| 2021 | 1 | F | F-043853-30 | 10 | 1100 | Faune | 1272 | 144 | | Faune | | |
| 2021 | 1 | F | F-043853-35 | 10 | 1100 | Faune | 328 | 51 | | Faune | | |
| 2021 | 1 | CP | 043853-18 | 10 | 1100 | Scorie/Paroi de four | 210 | 10 | 1 | Scorie | Culot, fragments de scories SGD, 1 fragment de culot SGD ; 1 fragment de paroi | |
| 2021 | 1 | C | 163 | 10 | 1022/1088 | Céramique | 158 | 5 | 1 | Céramique | Bouteille/jarre ? | |
| 2021 | 1 | C | 182 | 10 | 1022/1100 | Céramique | 446 | 9 | 1 | Céramique | Coupe hémisphérique ind, bords aplatis et à encoches | |
| 2021 | 1 | CP | 043853-19 | 13 | 1028 | Scorie/Paroi de four | 30 | 2 | | Scorie | Au moins 1 fragment de culot SGD | |
| 2021 | 1 | C | 139 | 13 | 1109 | Céramique | 24 | 1 | 1 | Céramique | Jatte à bord rentrant basse | |
| 2021 | 1 | C | 139 | 13 | 1109 | Céramique | 62 | 1 | 1 | Céramique | Ecuelle à épaulement médian, col droit | |
| 2021 | 1 | C | 261 | 13 | 1109 | Céramique | 46 | 3 | | Céramique | Lot de panses | |
| 2021 | 1 | C | 262 | 13 | 1109 | Céramique | 160 | 16 | | Céramique | Lot de panses | |
| 2021 | 1 | C | 263 | 13 | 1109 | Céramique | 30 | 1 | 1 | Céramique | Bouteille | |
| 2021 | 1 | F | F-043853-34 | 13 | 1109 | Faune | 130 | 14 | | Faune | | |
| 2021 | 1 | LI | 043853-27 | 13 | 1109 | Lithique | 40 | 1 | | lisseur | | |
| 2021 | 1 | F | F-043853-38 | 14 | 1030 | Faune | 6 | 2 | | Faune | | |
| 2021 | 1 | CP | 043853-20 | 14 | 1030 | Scorie/Paroi de four | 10 | 1 | | Scorie | 1 fragment de scorie | |
| 2021 | 1 | C | 65 | 15 | 1032 | Céramique | 12 | 3 | | Céramique | Lot de panses | |
| 2021 | 1 | CP | 043853-21 | 15 | 1032 | Scorie/Paroi de four | 10 | 1 | | Scorie | 1 fragment de culot SGD | |
| 2021 | 1 | AMP | | 16 | 1142 | Céramique | | 1 | | | | |

| Pré-inventaire du mobilier-Secteur 1 | | | | | | | | | | | |
|--------------------------------------|---------|--------------|---------------|-----------|------|-------------------|-----------|-----|-----|------------|---|
| Année | Secteur | Code Matière | n° inventaire | Structure | US | Matériau | Masse (g) | NR | NMI | Type objet | Description |
| 2021 | 1 | C | 68 | 16 | 1142 | Céramique | 8 | 1 | 1 | Céramique | Jatte à bords droits |
| 2021 | 1 | C | 68 | 16 | 1142 | Céramique | 56 | 10 | | Céramique | Lot de panses |
| 2021 | 1 | C | 68 | 16 | 1142 | Céramique | 40 | 7 | | Céramique | Lot de panses |
| 2021 | 1 | F | F-043853-33 | 16 | 1142 | Faune | 14 | 5 | | Faune | |
| 2021 | 1 | LI | 043853-24 | 16 | 1142 | Lithique | 3 | 1 | | écl | |
| 2021 | 1 | M | 043853-72 | 17 | 1036 | Alliages cuivreux | 0,3 | 1 | 1 | Tige | Fragment de tige de section en D aplatie dont une extrémité droite est conservée : indéterminé. |
| 2021 | 1 | AMP | | 17 | 1036 | Céramique | | 3 | | | |
| 2021 | 1 | C | 137 | 17 | 1036 | Céramique | 42 | 2 | 1 | Céramique | Jatte à carène médiane |
| 2021 | 1 | C | 137 | 17 | 1036 | Céramique | 20 | 1 | 1 | Céramique | Jattes carénées |
| 2021 | 1 | C | 137 | 17 | 1036 | Céramique | 36 | 2 | 1 | Céramique | Ecuelle carénée col développé |
| 2021 | 1 | C | 130 | 17 | 1036 | Céramique | 64 | 5 | 5 | Céramique | Jatte à bord droit bas |
| 2021 | 1 | C | 131 | 17 | 1036 | Céramique | 12 | 1 | 1 | Céramique | Coupe hémisphérique ind, bords aplatis |
| 2021 | 1 | C | 138 | 17 | 1036 | Céramique | 56 | 3 | | Céramique | Fond à pied creux droit |
| 2021 | 1 | C | 255 | 17 | 1036 | Céramique | | 2 | 1 | Céramique | Ecuelle à épaulement |
| 2021 | 1 | C | 255 | 17 | 1036 | Céramique | 64 | 2 | | Céramique | Encolure de gobelet ? |
| 2021 | 1 | C | 255 | 17 | 1036 | Céramique | | 8 | | Céramique | Lot de panses et bord |
| 2021 | 1 | C | 256 | 17 | 1036 | Céramique | 58 | 5 | 5 | Céramique | Fragments bords |
| 2021 | 1 | C | 256 | 17 | 1036 | Céramique | | 1 | 1 | Céramique | fragment bord |
| 2021 | 1 | C | 257 | 17 | 1036 | Céramique | 148 | 9 | | Céramique | Lot de fonds |
| 2021 | 1 | C | 258 | 17 | 1036 | Céramique | 308 | 9 | | Céramique | Lot de fonds |
| 2021 | 1 | C | 259 | 17 | 1036 | Céramique | 1074 | 80 | | Céramique | Lot de panses |
| 2021 | 1 | C | 259 | 17 | 1036 | Céramique | / | 1 | | Céramique | Panse |
| 2021 | 1 | C | 260 | 17 | 1036 | Céramique | 1002 | 70 | | Céramique | Lot de panses |
| 2021 | 1 | C | 260 | 17 | 1036 | Céramique | | 1 | | Céramique | Fragment panse |
| 2021 | 1 | F | F-043853-40 | 17 | 1036 | Faune | 2400 | 318 | | Faune | |

| Pré-inventaire du mobilier-Secteur 1 | | | | | | | | | | | |
|--------------------------------------|---------|--------------|---------------|-----------|------|----------|-----------|----|-----|---------------------------|---|
| Année | Secteur | Code Matière | n° inventaire | Structure | US | Matériau | Masse (g) | NR | NMI | Type objet | Description |
| 2021 | 1 | M | 043853-37 | 17 | 1036 | Fer | 43,4 | 1 | 1 | Ciseau | Pièce composée d'une tête épaisse et aplatie de forme rectangulaire prolongée d'un plat de section rectangulaire terminé d'une extrémité affinée en biseau : tranchant légèrement arrondi ? Qui est désormais fragmenté : ciseau pour le métal. |
| 2021 | 1 | M | 043853-37 | 17 | 1036 | Fer | 13,8 | 1 | 1 | Ciselet | Pièce composée d'une tige de section rectangulaire dont l'une des extrémités est affinée en biseau peu large, formant un petit tranchant. L'autre extrémité manquante semble s'affiner en pointe : soie de l'outil ? Ciselet. |
| 2021 | 1 | M | 043853-38 | 17 | 1036 | Fer | 19,0 | 1 | 1 | Ciseau | Pièce composée d'une barre de section rectangulaire terminée d'une tête de forme trapézoïdale épaisse. L'autre extrémité manque mais la morphologie rappelle un ciseau pour le travail du métal. |
| 2021 | 1 | M | 043853-39 | 17 | 1036 | Fer | 15,7 | 2 | 2 | Chute de barre | Fragments de chutes de barre de section rectangulaire à trapézoïdale avec traces de découpe et facetage. |
| 2021 | 1 | M | 043853-39 | 17 | 1036 | Fer | 8,6 | 1 | 1 | Soie de barrette | Fragment de tige affinée à l'une de ses extrémités de section en D, prolongée d'une partie de section rectangulaire aplatie. Son profil indique qu'elle est déformée. Soie de barrette d'après ses dimensions. |
| 2021 | 1 | M | 043853-39 | 17 | 1036 | Fer | 12,4 | 1 | 1 | Chute de barre ? | Fragment de barre de section rectangulaire aplatie dont l'une des extrémités est de section en D. L'objet est incurvé et semble en cours de soudure car un morceau ressort de la barre ? |
| 2021 | 1 | M | 043853-39 | 17 | 1036 | Fer | 23,6 | 1 | 1 | Chute hémisphérique ? | Pièce massive de forme hémisphérique pleine : chute ? Score ? Parallèle avec plusieurs pièces de Bragny II. |
| 2021 | 1 | LI | 043853-28 | 17 | 1036 | Lithique | 40 | 1 | | lissoir | |
| 2021 | 1 | LI | 043853-45 | 17 | 1036 | Lithique | 60 | 1 | | outil mouture indéterminé | |
| 2021 | 1 | LI | 043853-46 | 17 | 1036 | Lithique | 370 | 1 | | débris | |
| 2021 | 1 | LI | 043853-112 | 17 | 1036 | Lithique | 10 | 1 | | débris | |
| 2021 | 1 | LI | 043853-125 | 17 | 1036 | Lithique | 150 | 1 | | outil mouture indéterminé | |
| 2021 | 1 | LI | 043853-126 | 17 | 1036 | Lithique | 200 | 2 | | outil mouture indéterminé | |
| 2021 | 1 | LI | 043853-214 | 17 | 1036 | Lithique | 30 | 1 | | lissoir | |

| Pré-inventaire du mobilier-Secteur 1 | | | | | | | | | | | | |
|--------------------------------------|---------|--------------|---------------|-----------|------|----------------------|-----------|----|-----|---------------------------|---|--|
| Année | Secteur | Code Matière | n° inventaire | Structure | US | Matériau | Masse (g) | NR | NMI | Type objet | Description | |
| 2021 | 1 | CP | 043853-22 | 17 | 1036 | Scorie/Paroi de four | 540 | 28 | 5 | Scorie | Culots dont 1 mixte composée de SFR et d'une surpasseur SAS ; fragment de paroi ; fragments de scories en majorité SGD et SAS ; 3 fragments de culots, 2 SFR et 1 SAS | |
| 2021 | 1 | MC | | 17 | 1036 | Terre à bâtir | 90 | | | | | |
| 2021 | 1 | C | 71 | 18 | 1038 | Céramique | 24 | 1 | | Céramique | Panse | |
| 2021 | 1 | C | 70 | 18 | 1038 | Céramique | 138 | 6 | | Céramique | Lot de panses | |
| 2021 | 1 | C | 70 | 18 | 1038 | Céramique | | 2 | | Céramique | Lot de panses | |
| 2021 | 1 | C | 70 | 18 | 1038 | Céramique | | 2 | | Céramique | Lot de panses | |
| 2021 | 1 | C | 70 | 18 | 1038 | Céramique | | 5 | | Céramique | Lot de panses | |
| 2021 | 1 | LI | 043853-200 | 18 | 1038 | Lithique | 450 | 1 | | p à plage | | |
| 2021 | 1 | C | 69 | 19 | 1042 | Céramique | 32 | 4 | | Céramique | Lot de panses | |
| 2021 | 1 | C | 69 | 19 | 1042 | Céramique | 106 | 16 | | Céramique | Lot de panses | |
| 2021 | 1 | C | 69 | 19 | 1042 | Céramique | 26 | 2 | | Céramique | Lot de fonds | |
| 2021 | 1 | F | F-043853-49 | 19 | 1042 | Faune | 16 | 5 | | Faune | | |
| 2021 | 1 | CP | 043853-23 | 19 | 1042 | Scorie/Paroi de four | 10 | 2 | | Scorie | Fragments de scories SGD | |
| 2021 | 1 | MC | | 19 | 1042 | Terre à bâtir | 15 | | | | | |
| 2021 | 1 | LI | 043853-65 | 19 | 1062 | Lithique | 1250 | 1 | | meule | | |
| 2021 | 1 | LI | 043853-66 | 19 | 1062 | Lithique | 400 | 1 | | outil mouture indéterminé | | |
| 2021 | 1 | LI | 043853-67 | 19 | 1062 | Lithique | 180 | 1 | | outil mouture indéterminé | | |
| 2021 | 1 | LI | 043853-68 | 19 | 1062 | Lithique | 160 | 1 | | outil mouture indéterminé | | |
| 2021 | 1 | LI | 043853-69 | 19 | 1062 | Lithique | 170 | 1 | | débris | | |
| 2021 | 1 | LI | 043853-70 | 19 | 1062 | Lithique | 130 | 1 | | outil mouture indéterminé | | |
| 2021 | 1 | LI | 043853-71 | 19 | 1062 | Lithique | 70 | 1 | | outil mouture indéterminé | | |
| 2021 | 1 | LI | 043853-72 | 19 | 1062 | Lithique | 70 | 1 | | débris | | |
| 2021 | 1 | LI | 043853-73 | 19 | 1062 | Lithique | 60 | 1 | | débris | | |

| Pré-inventaire du mobilier-Secteur 1 | | | | | | | | | | | |
|--------------------------------------|---------|--------------|---------------|-----------|------|-----------|-----------|----|-----|---------------------------|--|
| Année | Secteur | Code Matière | n° inventaire | Structure | US | Matériau | Masse (g) | NR | NMI | Type objet | Description |
| 2021 | 1 | LI | 043853-74 | 19 | 1062 | Lithique | 40 | 1 | | débris | |
| 2021 | 1 | LI | 043853-75 | 19 | 1062 | Lithique | 20 | 1 | | outil mouture indéterminé | |
| 2021 | 1 | LI | 043853-76 | 19 | 1062 | Lithique | 40 | 1 | | outil mouture indéterminé | |
| 2021 | 1 | LI | 043853-77 | 19 | 1062 | Lithique | 170 | 1 | | outil mouture indéterminé | |
| 2021 | 1 | LI | 043853-78 | 19 | 1062 | Lithique | 240 | 1 | | débris | |
| 2021 | 1 | LI | 043853-79 | 19 | 1062 | Lithique | 10 | 1 | | débris | |
| 2021 | 1 | LI | 043853-80 | 19 | 1062 | Lithique | 10 | 1 | | écl | |
| 2021 | 1 | LI | 043853-81 | 19 | 1062 | Lithique | 30 | 1 | | outil mouture indéterminé | |
| 2021 | 1 | LI | 043853-82 | 19 | 1062 | Lithique | 20 | 1 | | outil mouture indéterminé | |
| 2021 | 1 | LI | 043853-83 | 19 | 1062 | Lithique | 130 | 1 | | débris | |
| 2021 | 1 | C | 88 | 20 | 1044 | Céramique | 22 | 2 | 1 | Céramique | Jatte à bords droits |
| 2021 | 1 | C | 58 | 20 | 1044 | Céramique | 414 | 17 | | Céramique | Lot de panses |
| 2021 | 1 | C | 58 | 20 | 1044 | Céramique | | 2 | | Céramique | Lot de fonds |
| 2021 | 1 | C | 58 | 20 | 1044 | Céramique | | 1 | 1 | Céramique | Pot à profil tronco-elliptique, bords aplatis |
| 2021 | 1 | C | 58 | 20 | 1044 | Céramique | | 1 | 1 | Céramique | Jatte à bords rentrants |
| 2021 | 1 | C | 58 | 20 | 1044 | Céramique | | 1 | 1 | Céramique | Jatte à bords rentrants |
| 2021 | 1 | C | 58 | 20 | 1044 | Céramique | | 1 | 1 | Céramique | Ecuelle à épaulement médian, bord à marli |
| 2021 | 1 | C | 88 | 20 | 1044 | Céramique | 50 | 2 | | Céramique | Lot de fonds |
| 2021 | 1 | C | 88 | 20 | 1044 | Céramique | 46 | 5 | | Céramique | Lot de panses |
| 2021 | 1 | C | 88 | 20 | 1044 | Céramique | 132 | 11 | | Céramique | Lot de panses |
| 2021 | 1 | C | 88 | 20 | 1044 | Céramique | 18 | 1 | 1 | Céramique | Jatte à bords rentrants |
| 2021 | 1 | F | F-043853-55 | 20 | 1044 | Faune | 62 | 20 | | Faune | |
| 2021 | 1 | M | 043853-40 | 20 | 1044 | Fer | 2,6 | 1 | 1 | Chute de tige | Fragment de tige de section rectangulaire comportant plusieurs traces d'enfoncement et une trace découpée à chaque extrémité. L'une d'elles est d'ailleurs aplatie et élargie. |
| 2021 | 1 | M | 043853-40 | 20 | 1044 | Fer | 1,5 | 1 | 1 | Rivet : tête | Tête de rivet de forme triangulaire pleine avec le départ de la tige de section circulaire. |

| Pré-inventaire du mobilier-Secteur 1 | | | | | | | | | | | | |
|--------------------------------------|---------|--------------|---------------|-----------|------|----------------------|-----------|----|-----|---------------------------|---|--|
| Année | Secteur | Code Matière | n° inventaire | Structure | US | Matériau | Masse (g) | NR | NMI | Type objet | Description | |
| 2021 | 1 | LI | 043853-149 | 20 | 1044 | Lithique | 460 | 1 | | outil mouture indéterminé | | |
| 2021 | 1 | LI | 043853-150 | 20 | 1044 | Lithique | 100 | 1 | | débris | | |
| 2021 | 1 | LI | 043853-151 | 20 | 1044 | Lithique | 70 | 1 | | outil mouture indéterminé | | |
| 2021 | 1 | MC | | 20 | 1044 | Terre à bâtir | 35 | | | | | |
| 2021 | 1 | C | 64 | 21 | 1046 | Céramique | 24 | 7 | | Céramique | Lot de panses | |
| 2021 | 1 | F | F-043853-47 | 21 | 1046 | Faune | 4 | 1 | | Faune | | |
| 2021 | 1 | AMP | | 23 | 1050 | Céramique | | 2 | | | | |
| 2021 | 1 | C | 81 | 23 | 1050 | Céramique | 62 | 2 | 2 | Céramique | Lot de bords | |
| 2021 | 1 | C | 80 | 23 | 1050 | Céramique | 482 | 9 | | Céramique | Lot de panses | |
| 2021 | 1 | C | 80 | 23 | 1050 | Céramique | | 37 | | Céramique | Lot de panses | |
| 2021 | 1 | C | 80 | 23 | 1050 | Céramique | | 1 | | Céramique | Panse | |
| 2021 | 1 | C | 80 | 23 | 1050 | Céramique | | 1 | | Céramique | Panse | |
| 2021 | 1 | C | 81 | 23 | 1050 | Céramique | 96 | 3 | | Céramique | Lot de fonds | |
| 2021 | 1 | C | 81 | 23 | 1050 | Céramique | 14 | 1 | | Céramique | Fond à ombilic | |
| 2021 | 1 | F | F-043853-44 | 23 | 1050 | Faune | 28 | 12 | | Faune | | |
| 2021 | 1 | LI | 043853-179 | 23 | 1050 | Lithique | 20 | 1 | | outil mouture indéterminé | | |
| 2021 | 1 | LI | 043853-180 | 23 | 1050 | Lithique | 50 | 1 | | débris | | |
| 2021 | 1 | LI | 043853-181 | 23 | 1050 | Lithique | 40 | 1 | | débris | | |
| 2021 | 1 | CP | 043853-24 | 23 | 1050 | Scorie/Paroi de four | 70 | 10 | | Scorie | 1 scorie informe SFR, 1 fragment de coulée SGD, fragments de parois | |
| 2021 | 1 | C | 67 | 24 | 1052 | Céramique | 4 | 1 | | Céramique | Bord | |
| 2021 | 1 | C | 283 | 24 | 1052 | Céramique | 8 | 2 | | Céramique | Lot de panses | |
| 2021 | 1 | F | F-043853-84 | 24 | 1052 | Faune | 8 | 2 | | Faune | | |
| 2021 | 1 | M | 043853-41 | 24 | 1052 | Fer | 7,2 | 1 | 1 | Tige | Fragment de tige de section en D et triangulaire. | |
| 2021 | 1 | CP | 043853-25 | 24 | 1052 | Scorie/Paroi de four | 90 | 11 | | Scorie | Fragments de scories, fragments de parois | |

| Pré-inventaire du mobilier-Secteur 1 | | | | | | | | | | | |
|--------------------------------------|---------|--------------|---------------|-----------|------|----------------------|-----------|----|-----|-------------------|---|
| Année | Secteur | Code Matière | n° inventaire | Structure | US | Matériau | Masse (g) | NR | NMI | Type objet | Description |
| 2021 | 1 | MC | | 25 | 1054 | Terre à bâtir | 10 | | | | |
| 2021 | 1 | M | 043853-73 | 26 | 1056 | Alliages cuivreux | 0,9 | 1 | 1 | Reste de coulée | Reste de coulée à la surface grumeleuse, de petite dimension : liée à la métallurgie du bronze. |
| 2021 | 1 | C | 59 | 26 | 1056 | Céramique | 26 | 6 | | Céramique | Lot de panses |
| 2021 | 1 | C | 59 | 26 | 1056 | Céramique | 4 | 1 | | Céramique | Panse |
| 2021 | 1 | C | 98 | 26 | 1056 | Céramique | 36 | 7 | | Céramique | Lot de panses |
| 2021 | 1 | C | 98 | 26 | 1056 | Céramique | 18 | 2 | | Céramique | Lot de panses |
| 2021 | 1 | C | 98 | 26 | 1056 | Céramique | 20 | 1 | 1 | Céramique | Coupe hémisphérique, bord arrondi |
| 2021 | 1 | F | F-043853-54 | 26 | 1056 | Faune | 8 | 3 | | Faune | |
| 2021 | 1 | M | 043853-42 | 26 | 1056 | Fer | 6,0 | 1 | 1 | Chute de barrette | Fragment de barrette de section rectangulaire dont une extrémité est de section en D. Des traces d'enfoncement sont présentes sur ces bords. |
| 2021 | 1 | M | 043853-42 | 26 | 1056 | Fer | 4,9 | 1 | 1 | Chute de tôle | Fragment d'une bande de tôle repliée sur elle-même. Scorifiée, elle rappelle les fragments de ressort de lame de force présents sur le secteur de BR. II. |
| 2021 | 1 | LI | 043853-186 | 26 | 1056 | Lithique | 20 | 2 | | débris | |
| 2021 | 1 | LI | 043853-187 | 26 | 1056 | Lithique | 0 | 1 | | débris | |
| 2021 | 1 | CP | 043853-26 | 26 | 1056 | Scorie/Paroi de four | 70 | 11 | 1 | Scorie | Scories informes SFR et SGD, et fragments ; 1 fragment de paroi |
| 2021 | 1 | LI | 043853-87 | 26 | 1124 | Lithique | 7610 | 3 | | p brute | |
| 2021 | 1 | C | 72 | 27 | 1058 | Céramique | 214 | 16 | | Céramique | Lot de panses |
| 2021 | 1 | C | 72 | 27 | 1058 | Céramique | | 2 | | Céramique | Lot de panses |
| 2021 | 1 | C | 72 | 27 | 1058 | Céramique | | 1 | 1 | Céramique | Bord triangulaire |
| 2021 | 1 | C | 72 | 27 | 1058 | Céramique | | 1 | | Céramique | Fond |
| 2021 | 1 | C | 72 | 27 | 1058 | Céramique | | 1 | | Céramique | Fond annulaire ? |
| 2021 | 1 | C | 72 | 27 | 1058 | Céramique | | 1 | 1 | Céramique | Boutelle |
| 2021 | 1 | C | 90 | 27 | 1058 | Céramique | 192 | 1 | 1 | Céramique | Jatte à bords droits |
| 2021 | 1 | C | 90 | 27 | 1058 | Céramique | | 3 | | Céramique | Lot de panses |
| 2021 | 1 | C | 90 | 27 | 1058 | Céramique | | 9 | | Céramique | Lot de panses |
| 2021 | 1 | C | 72 | 27 | 1058 | Céramique | | 1 | 1 | Céramique | Coupe hémisphérique |

| Pré-inventaire du mobilier-Secteur 1 | | | | | | | | | | | |
|--------------------------------------|---------|--------------|---------------|-----------|------|----------------------|-----------|----|-----|---------------------------|--|
| Année | Secteur | Code Matière | n° inventaire | Structure | US | Matériau | Masse (g) | NR | NMI | Type objet | Description |
| 2021 | 1 | F | F-043853-50 | 27 | 1058 | Faune | 92 | 11 | | Faune | |
| 2021 | 1 | LI | 043853-105 | 27 | 1058 | Lithique | 130 | 1 | | outil mouture indéterminé | |
| 2021 | 1 | MC | | 27 | 1058 | Terre à bâtir | 35 | | | | |
| 2021 | 1 | AMP | | 28 | 1060 | Céramique | | 1 | | | |
| 2021 | 1 | C | 66 | 28 | 1060 | Céramique | 68 | 6 | | Céramique | Lot de panses |
| 2021 | 1 | C | 66 | 28 | 1060 | Céramique | | 1 | 1 | Céramique | Bord triangulaire |
| 2021 | 1 | F | F-043853-76 | 28 | 1060 | Faune | 28 | 4 | | Faune | |
| 2021 | 1 | CP | 043853-27 | 28 | 1060 | Scorie/Paroi de four | 20 | 1 | 1 | Scorie | 1 culot SGD |
| 2021 | 1 | M | 043853-74 | 29 | 1062 | Alliages cuivreux | 1,7 | 2 | 1 | Pendeloque-panier | Fragment de pendeloque-panier conservé à moitié composé d'une panse au fond triangulaire, rehaussé d'une rebord ourlé et du départ d'une anse manquante. Une perforation est aussi présente pour sa suspension au milieu de la panse du panier juste au niveau du ressaut. Variante B, originale de Golasecca. |
| 2021 | 1 | M | 043853-75 | 29 | 1062 | Alliages cuivreux | 0,4 | 1 | 1 | Canal et cône de coulée | Pièce composée d'une courte tige qui se prolonge par une partie en forme de pastille découpée à son extrémité. Elle semble brute de coulée : canal et cône de coulée ? |
| 2021 | 1 | AMP | | 29 | 1062 | Céramique | | 54 | | | |
| 2021 | 1 | C | 201 | 29 | 1062 | Céramique | 20 | 1 | 1 | Céramique | Jatte bords rentrants, lèvres déversées |
| 2021 | 1 | C | 202 | 29 | 1062 | Céramique | 48 | 2 | 1 | Céramique | Ecuelle à épaulement médian, col droit |
| 2021 | 1 | C | 233 | 29 | 1062 | Céramique | 144 | 3 | 2 | Céramique | Jatte à bord rentrant basse rectiligne |
| 2021 | 1 | C | 234 | 29 | 1062 | Céramique | 274 | 12 | 1 | Céramique | Jatte à bord rentrant profonde |
| 2021 | 1 | C | 235 | 29 | 1062 | Céramique | 26 | 1 | 1 | Céramique | Jatte à bord rentrant basse |
| 2021 | 1 | C | 236 | 29 | 1062 | Céramique | 70 | 2 | 2 | Céramique | Jatte à bord rentrant basse |
| 2021 | 1 | C | 237 | 29 | 1062 | Céramique | 80 | 1 | 1 | Céramique | Jatte à profil arrondi |
| 2021 | 1 | C | 204 | 29 | 1062 | Céramique | 56 | 4 | 1 | Céramique | Coupe hémisphérique basse, bord légèrement aplati |
| 2021 | 1 | C | 205 | 29 | 1062 | Céramique | 20 | 1 | 1 | Céramique | Coupe hémisphérique profonde |
| 2021 | 1 | C | 206 | 29 | 1062 | Céramique | 14 | 1 | 1 | Céramique | Coupe hémisphérique profonde |
| 2021 | 1 | C | 230 | 29 | 1062 | Céramique | 148 | 5 | 1 | Céramique | Coupe tronconique profonde |

| Pré-inventaire du mobilier-Secteur 1 | | | | | | | | | | | |
|--------------------------------------|---------|--------------|---------------|-----------|------|-----------|-----------|-----|-----|------------|---------------------------------------|
| Année | Secteur | Code Matière | n° inventaire | Structure | US | Matériau | Masse (g) | NR | NMI | Type objet | Description |
| 2021 | 1 | C | 231 | 29 | 1062 | Céramique | 63 | 1 | 1 | Céramique | Coupe tronconique profonde |
| 2021 | 1 | C | 213 | 29 | 1062 | Céramique | 54 | 2 | 1 | Céramique | Jatte à bord droit bas |
| 2021 | 1 | C | 214 | 29 | 1062 | Céramique | 26 | 1 | 1 | Céramique | Jatte à bords droits |
| 2021 | 1 | C | 218 | 29 | 1062 | Céramique | 24 | 1 | 1 | Céramique | Jatte à carène médiane, bord déversé |
| 2021 | 1 | C | 219 | 29 | 1062 | Céramique | 12 | 1 | 1 | Céramique | Ecuelle sinieuse, bord aplati |
| 2021 | 1 | C | 219 | 29 | 1062 | Céramique | 20 | 1 | 1 | Céramique | Ecuelle sinieuse |
| 2021 | 1 | C | 220 | 29 | 1062 | Céramique | 18 | 2 | 2 | Céramique | Ecuelle carénée col développé |
| 2021 | 1 | C | 221 | 29 | 1062 | Céramique | 18 | 3 | 2 | Céramique | Encolure forme basse ind |
| 2021 | 1 | C | 222 | 29 | 1062 | Céramique | 10 | 1 | | Céramique | Ecuelle à épaulement |
| 2021 | 1 | C | 224 | 29 | 1062 | Céramique | 56 | 3 | 3 | Céramique | Ecuelle à épaulement |
| 2021 | 1 | C | 196 | 29 | 1062 | Céramique | 2270 | 68 | 1 | Céramique | Bouteille à épaulement |
| 2021 | 1 | C | 197 | 29 | 1062 | Céramique | 1204 | 38 | | Céramique | Épaulement de jarre sinieuse à cordon |
| 2021 | 1 | C | 200 | 29 | 1062 | Céramique | 4 | 1 | | Céramique | Fragment fond annulaire |
| 2021 | 1 | C | 212 | 29 | 1062 | Céramique | 50 | 4 | 4 | Céramique | Jatte à bords droits |
| 2021 | 1 | C | 226 | 29 | 1062 | Céramique | 18 | 2 | | Céramique | Fragment pied creux? |
| 2021 | 1 | C | 207 | 29 | 1062 | Céramique | 82 | 3 | 3 | Céramique | Lot coupes hémisphériques |
| 2021 | 1 | C | 208 | 29 | 1062 | Céramique | 2842 | 146 | | Céramique | Lot de panses |
| 2021 | 1 | C | 208 | 29 | 1062 | Céramique | | 100 | | Céramique | Lot de panses |
| 2021 | 1 | C | 209 | 29 | 1062 | Céramique | 1516 | 99 | | Céramique | Lot de panses |
| 2021 | 1 | C | 209 | 29 | 1062 | Céramique | | 5 | | Céramique | Lot de panses |
| 2021 | 1 | C | 210 | 29 | 1062 | Céramique | 978 | 45 | | Céramique | Lot de panses |
| 2021 | 1 | C | 210 | 29 | 1062 | Céramique | | 5 | | Céramique | Lot de panses |
| 2021 | 1 | C | 211 | 29 | 1062 | Céramique | 16 | 2 | | Céramique | Lot panses, colombins |
| 2021 | 1 | C | 215 | 29 | 1062 | Céramique | 254 | 11 | | Céramique | Lot de fonds |
| 2021 | 1 | C | 216 | 29 | 1062 | Céramique | 298 | 10 | | Céramique | Lot de fonds plats |
| 2021 | 1 | C | 217 | 29 | 1062 | Céramique | 138 | 4 | | Céramique | Lot de fonds |
| 2021 | 1 | C | 223 | 29 | 1062 | Céramique | 38 | 5 | 4 | Céramique | Ecuelle/gobelet ? |
| 2021 | 1 | C | 225 | 29 | 1062 | Céramique | 44 | 2 | 1 | Céramique | Bouteille (?) à épaulement |

| Pré-inventaire du mobilier-Secteur 1 | | | | | | | | | | | | |
|--------------------------------------|---------|--------------|---------------|-----------|------|-----------|-----------|-----|-----|---------------------------|--|--|
| Année | Secteur | Code Matière | n° inventaire | Structure | US | Matériau | Masse (g) | NR | NMI | Type objet | Description | |
| 2021 | 1 | C | 227 | 29 | 1062 | Céramique | 90 | 14 | 7 | Céramique | Lot petits bords jattes ind | |
| 2021 | 1 | C | 228 | 29 | 1062 | Céramique | 1096 | 31 | | Céramique | Fragment jarre biconique | |
| 2021 | 1 | C | 232 | 29 | 1062 | Céramique | 100 | 3 | 3 | Céramique | Lot coupes tronconiques, bords aplatis | |
| 2021 | 1 | C | 232 | 29 | 1062 | Céramique | | 6 | 5 | Céramique | Lots coupes tronconiques, bords arrondis | |
| 2021 | 1 | C | 238 | 29 | 1062 | Céramique | 246 | 10 | 10 | Céramique | Lot Jatte à bords rentrants | |
| 2021 | 1 | C | 238 | 29 | 1062 | Céramique | | 1 | 1 | Céramique | Lot Jatte à bords rentrants | |
| 2021 | 1 | C | 207 | 29 | 1062 | Céramique | | 2 | 1 | Céramique | Coupe hémisphérique à encoches | |
| 2021 | 1 | C | 203 | 29 | 1062 | Céramique | 104 | 5 | | Céramique | Pot à épaulement court | |
| 2021 | 1 | C | 199 | 29 | 1062 | Céramique | 56 | 2 | | Céramique | Lot panse et fond | |
| 2021 | 1 | C | 199 | 29 | 1062 | Céramique | 30 | 1 | | Céramique | Bouteille, fragment d'épaulement ? | |
| 2021 | 1 | C | 199 | 29 | 1062 | Céramique | 52 | 1 | | Céramique | Pot à profil ovoïde | |
| 2021 | 1 | C | 199 | 29 | 1062 | Céramique | 10 | 1 | 1 | Céramique | Pot à épaulement court | |
| 2021 | 1 | C | 199 | 29 | 1062 | Céramique | 176 | 3 | 1 | Céramique | Pot à épaulement court | |
| 2021 | 1 | C | 199 | 29 | 1062 | Céramique | 36 | 1 | 1 | Céramique | Bouteille à épaulement, encolure, lèvres aplaties | |
| 2021 | 1 | C | 199 | 29 | 1062 | Céramique | 18 | 1 | | Céramique | Fragment d'épaulement | |
| 2021 | 1 | F | F-043853-87 | 29 | 1062 | Faune | 1460 | 363 | | Faune | | |
| 2021 | 1 | M | 043853-43 | 29 | 1062 | Fer | 25,8 | 2 | 1 | Couteau | Fragment de lame de couteau de section triangulaire au dos et tranchant droits. Il se prolonge par une tôle rectangulaire de même largeur qui constitue la partie emmanchée à plaquettes qui devait disposer d'un système de rivetage. | |
| 2021 | 1 | M | 043853-43 | 29 | 1062 | Fer | 1,8 | 1 | 1 | Fibule F | Fragment de fibule composée d'un arc simple de section en D prolongé d'une partie du porte-ardillon. Il manque le pied et l'ardillon : type F. | |
| 2021 | 1 | M | 043853-44 | 29 | 1062 | Fer | 14,4 | 2 | 1 | Serpette | Pièce composée d'une soie de section rectangulaire aplatie légèrement courbe qui se prolonge par un fragment de lame de section triangulaire au dos incurvé à son extrémité : serpette. | |
| 2021 | 1 | M | 043853-44 | 29 | 1062 | Fer | 3,8 | 1 | 1 | Tige époincée | Fragment de tige époincée de section carrée. | |
| 2021 | 1 | LI | 043853-01 | 29 | 1062 | Lithique | 190,00 | 1 | | molette | | |
| 2021 | 1 | LI | 043853-02 | 29 | 1062 | Lithique | 60,00 | 1 | | outil mouture indéterminé | | |

| Pré-inventaire du mobilier-Secteur 1 | | | | | | | | | | | |
|--------------------------------------|---------|--------------|---------------|-----------|-----------|---------------------------|-----------|----|-----|---------------------------|---|
| Année | Secteur | Code Matière | n° inventaire | Structure | US | Matériau | Masse (g) | NR | NMI | Type objet | Description |
| 2021 | 1 | LI | 043853-03 | 29 | 1062 | Lithique | 100,00 | 1 | | outil mouture indéterminé | |
| 2021 | 1 | LI | 043853-04 | 29 | 1062 | Lithique | 940 | 1 | | outil mouture indéterminé | |
| 2021 | 1 | LI | 043853-05 | 29 | 1062 | Lithique | 220 | 1 | | molette | |
| 2021 | 1 | LI | 043853-127 | 29 | 1062 | Lithique | 80 | 1 | | outil mouture indéterminé | |
| 2021 | 1 | LI | 043853-128 | 29 | 1062 | Lithique | 210 | 1 | | p à main | |
| 2021 | 1 | LI | 043853-131 | 29 | 1062 | Lithique | 30 | 1 | | outil mouture indéterminé | |
| 2021 | 1 | LI | 043853-132 | 29 | 1062 | Lithique | 10 | 1 | | débris | |
| 2021 | 1 | LI | 043853-133 | 29 | 1062 | Lithique | 10 | 1 | | débris | |
| 2021 | 1 | LI | 043853-1 | 29 | 1062 | Matière organique fossile | 11,0 | 1 | 1 | Bracelet | Fragment de bracelet de section circulaire simple. |
| 2021 | 1 | CP | 043853-28 | 29 | 1062 | Scorie/Paroi de four | 200 | 11 | 2 | Scorie | Culots, parois de fours et fragments de scories ; fragment de culot SGD |
| 2021 | 1 | MC | | 29 | 1062 | Terre à bâtir | 8000 | | | | |
| 2021 | 1 | C | 043853-8 | 29 | 1062 | Terre cuite | 8,9 | 1 | 1 | Fusatole | Fusaïole de forme discoïde à paroi arrondie, perforée sur toute sa hauteur. Type Ib3. |
| 2021 | 1 | C | 043853-7 | 29 | 1062 | Terre cuite | 420,0 | 2 | 1 | Peson | Fragments de peson massif de forme tronconique, perforé dans sa partie supérieure pour sa suspension. |
| 2021 | 1 | C | 043853-19 | 29 | 1062 | Terre cuite | 366,0 | 1 | 1 | Peson | Peson massif de forme tronconique, perforé dans sa partie supérieure pour sa suspension. |
| 2021 | 1 | C | 043853-16 | 29 | 1062 | Terre cuite | 49,5 | 1 | 1 | Peson | Fragment probable de peson : angle distale de la pièce ? |
| 2021 | 1 | C | 229 | 29 | 1207 | Céramique | | 1 | 1 | Céramique | Ecuelle à épaulement médian |
| 2021 | 1 | C | 229 | 29 | 1207 | Céramique | 300 | 15 | | Céramique | Lot de panses |
| 2021 | 1 | C | 229 | 29 | 1207 | Céramique | | 5 | | Céramique | Lot de panses |
| 2021 | 1 | F | F-043853-53 | 29 | 1207 | Faune | 20 | 5 | | Faune | |
| 2021 | 1 | C | 239 | 29 | 1062/1064 | Céramique | 790 | 39 | 1 | Céramique | Pot à épaulement |
| 2021 | 1 | F | F-043853-80 | 30 | 1064 | Faune | 26 | 2 | | Faune | |

| Pré-inventaire du mobilier-Secteur 1 | | | | | | | | | | | |
|--------------------------------------|---------|--------------|---------------|-----------|------|---------------------------|-----------|----|-----|-----------------------|--|
| Année | Secteur | Code Matière | n° inventaire | Structure | US | Matériau | Masse (g) | NR | NMI | Type objet | Description |
| 2021 | 1 | M | 043853-76 | 31 | 1066 | Alliages cuivreux | 0,5 | 1 | 1 | Bille de coulée | Fragment de bille de coulée de forme ovale et de section en D. |
| 2021 | 1 | M | 043853-77 | 31 | 1066 | Alliages cuivreux | 0,2 | 1 | 1 | Rivet | Fragment de rivet composé d'une tête aplatie circulaire prolongée du départ de la tige de section circulaire. Sa taille correspond probablement à un élément de vêtement ? |
| 2021 | 1 | AMP | | 31 | 1066 | Céramique | | 11 | | | |
| 2021 | 1 | F | F-043853-75 | 31 | 1066 | Faune | 104 | 12 | | Faune | |
| 2021 | 1 | F | F-043853-82 | 31 | 1066 | Faune | 44 | 11 | | Faune | |
| 2021 | 1 | M | 043853-51 | 31 | 1066 | Fer | 16,5 | 1 | 1 | Crochet de suspension | Pièce composée d'une tige époincée rectiligne de section rectangulaire qui se prolonge par une partie repliée en U époincée également à son extrémité : crochet de suspension. |
| 2021 | 1 | LI | 043853-166 | 31 | 1066 | Lithique | 10 | 1 | | écl | |
| 2021 | 1 | LI | 043853-167 | 31 | 1066 | Lithique | 0 | 1 | | écl | |
| 2021 | 1 | LI | 043853-2 | 31 | 1066 | Matière organique fossile | 8,9 | 1 | 1 | Bracelet | Fragment de bracelet de section en D simple dont la face interne dispose de nombreuses traces d'outil (lignes obliques) liées à son ébauchage. |
| 2021 | 1 | CP | 043853-29 | 31 | 1066 | Scorie/Paroi de four | 40 | 1 | 1 | Scorie | Fragment de culot SGD avec appui |
| 2021 | 1 | MC | | 31 | 1066 | Terre à bâtir | 3600 | | | | |
| 2021 | 1 | C | 043853-9 | 31 | 1066 | Terre cuite | 6,6 | 1 | 1 | Fusaïole | Fusaïole de forme tronconique carénée à paroi rectiligne, perforée sur toute sa hauteur. Type IIC3. |
| 2021 | 1 | C | 8 | 31 | 1108 | Céramique | 42 | 2 | 1 | Céramique | Coupe tronconique basse, bord aplati/triangulaire |
| 2021 | 1 | C | 9 | 31 | 1108 | Céramique | 352 | 1 | | Céramique | Fond plat à bourrelet débordant |
| 2021 | 1 | C | 9 | 31 | 1108 | Céramique | | 22 | 1 | Céramique | Lot de panses |
| 2021 | 1 | C | 10 | 31 | 1108 | Céramique | 14 | 1 | 1 | Céramique | Pot à ressaut ? |
| 2021 | 1 | C | 9 | 31 | 1108 | Céramique | | 1 | | Céramique | Pied creux ? |
| 2021 | 1 | F | F-043853-45 | 31 | 1108 | Faune | 8 | 3 | | Faune | |
| 2021 | 1 | LI | 043853-29 | 31 | 1108 | Lithique | 40 | 1 | | lissoir | |
| 2021 | 1 | CP | 043853-30 | 31 | 1108 | Scorie/Paroi de four | 50 | 1 | | Scorie | Fragment de paroi carbonisé |

| Pré-inventaire du mobilier-Secteur 1 | | | | | | | | | | | | |
|--------------------------------------|---------|--------------|---------------|-----------|-----------|---------------|-----------|----|-----|------------|---|--|
| Année | Secteur | Code Matière | n° inventaire | Structure | US | Matériau | Masse (g) | NR | NMI | Type objet | Description | |
| 2021 | 1 | C | 043853-10 | 31 | 1108 | Terre cuite | 9,2 | 1 | 1 | Fusatole | Fusatole de forme tronconique carénée à paroi rectiligne, perforée sur toute sa hauteur. Type IIC2. | |
| 2021 | 1 | C | 043853-11 | 31 | 1108 | Terre cuite | 6,1 | 1 | 1 | Fusatole | Fusatole de forme hémisphérique perforée sur toute sa hauteur. Type IIB1. | |
| 2021 | 1 | C | 11 | 31 | 1111 | Céramique | 74 | 9 | | Céramique | Lot de panses | |
| 2021 | 1 | C | 11 | 31 | 1111 | Céramique | | 1 | | Céramique | Fond annulaire | |
| 2021 | 1 | F | F-043853-74 | 31 | 1111 | Faune | 8 | 2 | | Faune | | |
| 2021 | 1 | C | 5 | 31 | 1066/1067 | Céramique | 20 | 1 | 1 | Céramique | Coupe hémisphérique, bord droit | |
| 2021 | 1 | C | 6 | 31 | 1066/1067 | Céramique | 142 | 3 | 1 | Céramique | Coupe hémisphérique basse, lèvre aplatie (encoche?) | |
| 2021 | 1 | C | 7 | 31 | 1066/1067 | Céramique | 346 | 6 | 1 | Céramique | Jatte à bord rentrant profonde | |
| 2021 | 1 | C | 5 | 31 | 1066/1067 | Céramique | 48 | 3 | 1 | Céramique | Ecuelle à épaulement haut, col déversé | |
| 2021 | 1 | C | 5 | 31 | 1066/1067 | Céramique | 4 | 1 | 1 | Céramique | Bord déversé arrondi | |
| 2021 | 1 | C | 1 | 31 | 1066/1067 | Céramique | 248 | 7 | | Céramique | Lot de fonds | |
| 2021 | 1 | C | 2 | 31 | 1066/1067 | Céramique | 24 | 4 | 4 | Céramique | Lot de bords | |
| 2021 | 1 | C | 3 | 31 | 1066/1067 | Céramique | 424 | 45 | | Céramique | Lot de panses | |
| 2021 | 1 | C | 4 | 31 | 1066/1067 | Céramique | 252 | 15 | | Céramique | Lot de panses | |
| 2021 | 1 | C | 14 | 32 | 1068 | Céramique | 192 | 13 | | Céramique | Lot de panses | |
| 2021 | 1 | C | 14 | 32 | 1068 | Céramique | | 2 | | Céramique | Lot de panses | |
| 2021 | 1 | C | 14 | 32 | 1068 | Céramique | | 2 | | Céramique | Lot de fonds | |
| 2021 | 1 | F | F-043853-63 | 32 | 1068 | Faune | 52 | 6 | | Faune | | |
| 2021 | 1 | LI | 043853-156 | 32 | 1068 | Lithique | 0 | 1 | | écl | | |
| 2021 | 1 | C | 92 | 33 | 1070 | Céramique | 26 | 1 | | Céramique | Panse | |
| 2021 | 1 | MC | | 33 | 1070 | Terre à bâtir | 5 | | | | | |
| 2021 | 1 | C | 108 | 36 | 1076 | Céramique | 20 | 2 | | Céramique | Lot de panses | |
| 2021 | 1 | C | 108 | 36 | 1076 | Céramique | | 2 | | Céramique | Lot de panses | |

| Pré-inventaire du mobilier-Secteur 1 | | | | | | | | | | | |
|--------------------------------------|---------|--------------|---------------|-----------|------|----------------------|-----------|----|-----|-------------|--|
| Année | Secteur | Code Matière | n° inventaire | Structure | US | Matériau | Masse (g) | NR | NMI | Type objet | Description |
| 2021 | 1 | F | F-043853-52 | 36 | 1076 | Faune | 6 | 2 | | Faune | |
| 2021 | 1 | LI | 043853-111 | 36 | 1076 | Lithique | 0 | 1 | | écl | |
| 2021 | 1 | C | 63 | 37 | 1078 | Céramique | 46 | 8 | | Céramique | Lot de panses |
| 2021 | 1 | C | 63 | 37 | 1078 | Céramique | 24 | 1 | | Céramique | Panse |
| 2021 | 1 | C | 63 | 37 | 1078 | Céramique | 16 | 1 | | Céramique | Panse |
| 2021 | 1 | F | F-043853-51 | 37 | 1078 | Faune | 66 | 16 | | Faune | |
| 2021 | 1 | LI | 043853-25 | 37 | 1078 | Lithique | 3 | 1 | | écl | |
| 2021 | 1 | CP | 043853-31 | 37 | 1078 | Scorie/Paroi de four | 40 | 3 | | Scorie | 1 fragment de paroi, 1 fragment de scorie SGD et 1 scorie SFR |
| 2021 | 1 | C | 62 | 38 | 1080 | Céramique | 30 | 3 | | Céramique | Lot de panses |
| 2021 | 1 | C | 62 | 38 | 1080 | Céramique | | 2 | | Céramique | Lot de panses |
| 2021 | 1 | F | F-043853-56 | 38 | 1080 | Faune | 24 | 2 | | Faune | |
| 2021 | 1 | M | 043853-52 | 38 | 1080 | Fer | 8,0 | 1 | 1 | Clou : tête | Fragment de clou : tête de forme rectangulaire avec un possible départ de la tige. |
| 2021 | 1 | C | 113 | 39 | 1082 | Céramique | 28 | 1 | 1 | Céramique | Jatte à bords droits, lèvres plate |
| 2021 | 1 | C | 113 | 39 | 1082 | Céramique | 70 | 5 | | Céramique | Lot de panses |
| 2021 | 1 | C | 113 | 39 | 1082 | Céramique | 48 | 2 | | Céramique | Lot de panses |
| 2021 | 1 | F | F-043853-43 | 39 | 1082 | Faune | 36 | 5 | | Faune | |
| 2021 | 1 | LI | 043853-115 | 39 | 1082 | Lithique | 10 | 1 | | p à plage | |
| 2021 | 1 | LI | 043853-116 | 39 | 1082 | Lithique | 60 | 1 | | débris | |
| 2021 | 1 | CP | 043853-32 | 39 | 1082 | Scorie/Paroi de four | 20 | 3 | | Scorie | Fragments de scories SAS et SFR |
| 2021 | 1 | C | 85 | 41 | 1096 | Céramique | 48 | 3 | | Céramique | Lot de panses |
| 2021 | 1 | C | 85 | 41 | 1096 | Céramique | | 1 | 1 | Céramique | Ecuelle à épaulement, bord aplati |
| 2021 | 1 | C | 85 | 41 | 1096 | Céramique | | 1 | 1 | Céramique | Ecuelle à épaulement |
| 2021 | 1 | C | 132 | 42 | 1098 | Céramique | 12 | 1 | 1 | Céramique | Ecuelle à épaulement |
| 2021 | 1 | C | 264 | 42 | 1098 | Céramique | 40 | 2 | | Céramique | Lot de fonds |

| Pré-inventaire du mobilier-Secteur 1 | | | | | | | | | | | | |
|--------------------------------------|---------|--------------|---------------|-----------|------|----------------------|-----------|----|-----|---------------------------|---|--|
| Année | Secteur | Code Matière | n° inventaire | Structure | US | Matériau | Masse (g) | NR | NMI | Type objet | Description | |
| 2021 | 1 | C | 265 | 42 | 1098 | Céramique | 122 | 2 | | Céramique | Lot de fonds | |
| 2021 | 1 | C | 266 | 42 | 1098 | Céramique | 432 | 30 | | Céramique | Lot de panses | |
| 2021 | 1 | C | 266 | 42 | 1098 | Céramique | | 1 | | Céramique | Panse | |
| 2021 | 1 | C | 267 | 42 | 1098 | Céramique | 424 | 48 | | Céramique | Lot de panses | |
| 2021 | 1 | C | 268 | 42 | 1098 | Céramique | 52 | 2 | 2 | Céramique | Jatte bords droits | |
| 2021 | 1 | C | 268 | 42 | 1098 | Céramique | | 2 | 2 | Céramique | Jatte bords rentrants | |
| 2021 | 1 | C | 268 | 42 | 1098 | Céramique | | 1 | 1 | Céramique | Jatte bords droits et cordon | |
| 2021 | 1 | F | F-043853-60 | 42 | 1098 | Faune | 170 | 13 | | Faune | | |
| 2021 | 1 | F | F-043853-81 | 42 | 1098 | Faune | 316 | 38 | | Faune | | |
| 2021 | 1 | M | 043853-53 | 42 | 1098 | Fer | 2,0 | 2 | 1 | Préforme de fibule ? | Pièce composée d'une tige fine de section quadrangulaire dont l'une des extrémités se termine par une excroissance circulaire et de section en D : préforme de fibule à timbale ? | |
| 2021 | 1 | LI | 043853-94 | 42 | 1098 | Lithique | 690 | 1 | | p à main | | |
| 2021 | 1 | LI | 043853-95 | 42 | 1098 | Lithique | 60 | 1 | | outil mouture indéterminé | | |
| 2021 | 1 | LI | 043853-96 | 42 | 1098 | Lithique | 30 | 1 | | débris | | |
| 2021 | 1 | CP | 043853-33 | 42 | 1098 | Scorie/Paroi de four | 160 | 15 | 1 | Scorie | Fragments de parois, fragments de scories SAS, SFR et SGD | |
| 2021 | 1 | MC | | 42 | 1098 | Terre à bâtir | 76,5 | | | | | |
| 2021 | 1 | C | 241 | 43 | 1003 | Céramique | 42 | 4 | | Céramique | Lot de panses | |
| 2021 | 1 | C | 241 | 43 | 1003 | Céramique | 14 | 2 | | Céramique | Lot de panses | |
| 2021 | 1 | CP | 043853-34 | 43 | 1003 | Scorie/Paroi de four | 40 | 1 | | Scorie | 1 fragment de scorie SGD | |
| 2021 | 1 | C | 93 | 43 | 1103 | Céramique | 22 | 1 | 1 | Céramique | Bord arrondi | |
| 2021 | 1 | C | 93 | 43 | 1103 | Céramique | | 4 | | Céramique | Lot de panses | |
| 2021 | 1 | C | 240 | 45 | 1106 | Céramique | | 2 | 2 | Céramique | Jatte à bords rentrants | |
| 2021 | 1 | C | 101 | 45 | 1106 | Céramique | 142 | 10 | | Céramique | Lot de panses | |
| 2021 | 1 | C | 101 | 45 | 1106 | Céramique | 10 | 1 | 1 | Céramique | Coupe hémisphérique, bords aplatis | |
| 2021 | 1 | C | 101 | 45 | 1106 | Céramique | 10 | 1 | 1 | Céramique | Ecuelle carénée (?), bord aplati | |
| 2021 | 1 | C | 101 | 45 | 1106 | Céramique | 20 | 1 | 1 | Céramique | Bouteille à profil sinueux, bord triangulaire | |

| Pré-inventaire du mobilier-Secteur 1 | | | | | | | | | | | |
|--------------------------------------|---------|--------------|---------------|-----------|------|----------------------|-----------|----|-----|----------------|--|
| Année | Secteur | Code Matière | n° inventaire | Structure | US | Matériau | Masse (g) | NR | NMI | Type objet | Description |
| 2021 | 1 | C | 101 | 45 | 1106 | Céramique | 6 | 1 | 1 | Céramique | Coupe tronconique, bords aplatis |
| 2021 | 1 | C | 240 | 45 | 1106 | Céramique | 142 | 6 | | Céramique | Lot de panses |
| 2021 | 1 | C | 240 | 45 | 1106 | Céramique | | 4 | | Céramique | Lot de panses |
| 2021 | 1 | C | 240 | 45 | 1106 | Céramique | | 1 | 1 | Céramique | Bord arrondi |
| 2021 | 1 | F | F-043853-72 | 45 | 1106 | Faune | 20 | 4 | | Faune | |
| 2021 | 1 | M | 043853-47 | 45 | 1106 | Fer | 35,5 | 2 | 2 | Chute de barre | Fragments de barres de section quadrangulaire à trapézoïdale avec des traces de déformations. Chutes de barre. |
| 2021 | 1 | M | 043853-54 | 45 | 1106 | Fer | 7,3 | 1 | 1 | Chute de barre | Fragment de barre de section en D. L'une des extrémités est épointée. Son profil est déformé. Chute de barre à sole. |
| 2021 | 1 | LI | 043853-09 | 45 | 1106 | Lithique | 3860 | 1 | | enclume | |
| 2021 | 1 | LI | 043853-163 | 45 | 1106 | Lithique | 10 | 1 | | débris | |
| 2021 | 1 | LI | 043853-164 | 45 | 1106 | Lithique | 20 | 1 | | débris | |
| 2021 | 1 | LI | 043853-175 | 45 | 1106 | Lithique | 550 | 1 | | débris | |
| 2021 | 1 | CP | 043853-35 | 45 | 1106 | Scorie/Paroi de four | 420 | 29 | 3 | Scorie | 1 culot mixte SAS et SGD ; fragments de parois, fragments de scories principalement SGD, scories informes SFR |
| 2021 | 1 | MC | | 45 | 1106 | Terre à bâtir | 8,7 | | | | |
| 2021 | 1 | C | 043853-12 | 45 | 1106 | Terre cuite | 282,8 | 3 | 1 | Peson | Fragments de peson massif de forme tronconique, perforé dans sa partie supérieure pour sa suspension. |
| 2021 | 1 | C | 105 | 46 | 1137 | Céramique | | 1 | 1 | Céramique | Jatte à bords rentrants |
| 2021 | 1 | C | 104 | 46 | 1137 | Céramique | 76 | 5 | | Céramique | Lot de panses |
| 2021 | 1 | C | 105 | 46 | 1137 | Céramique | 220 | 20 | | Céramique | Lot de panses |
| 2021 | 1 | C | 105 | 46 | 1137 | Céramique | | 11 | | Céramique | Lot de panses |
| 2021 | 1 | C | 105 | 46 | 1137 | Céramique | | 1 | 1 | Céramique | Bord arrondi |
| 2021 | 1 | C | 105 | 46 | 1137 | Céramique | | 1 | | Céramique | Panse |
| 2021 | 1 | C | 106 | 46 | 1141 | Céramique | 24 | 2 | 1 | Céramique | Pot à profil ovoïde |
| 2021 | 1 | C | 91 | 46 | 1141 | Céramique | 38 | 3 | | Céramique | Lot de panses |
| 2021 | 1 | F | F-043853-61 | 46 | 1141 | Faune | 70 | 14 | | Faune | |

| Pré-inventaire du mobilier-Secteur 1 | | | | | | | | | | | | |
|--------------------------------------|---------|--------------|---------------|-----------|------|----------------------|-----------|----|-----|------------------------|---|--|
| Année | Secteur | Code Matière | n° inventaire | Structure | US | Matériau | Masse (g) | NR | NMI | Type objet | Description | |
| 2021 | 1 | LI | 043853-35 | 46 | 1141 | Lithique | 20 | 1 | | débris | | |
| 2021 | 1 | LI | 043853-88 | 46 | 1141 | Lithique | 390 | 1 | | molette | | |
| 2021 | 1 | CP | 043853-37 | 46 | 1141 | Scorie/Paroi de four | 50 | 2 | | Scorie | Fragments de parois | |
| 2021 | 1 | C | 043853-14 | 46 | 1141 | Terre crue | 1 120,0 | 1 | 1 | Terre pour artisanat ? | Fragments de terre crue de couleur grise à blanche : destinés à une production d'objets en terre cuite, céramique ou pour le travail du métal ? | |
| 2021 | 1 | AMP | | 46 | 1217 | Céramique | | 1 | | | | |
| 2021 | 1 | F | F-043853-83 | 46 | 1217 | Faune | 50 | 28 | | Faune | | |
| 2021 | 1 | M | 043853-55 | 46 | 1217 | Fer | 1,7 | 1 | 0 | Fibule : ardillon | Fragment d'ardillon de fibule de section circulaire épointée à ovulaire. | |
| 2021 | 1 | CP | 043853-36 | 46 | 1217 | Scorie/Paroi de four | 130 | 20 | | Scorie | Fragments de parois : fragments de scories dont 1 comportant trace de sol et trace de paroi composé SGD et SFR | |
| 2021 | 1 | MC | | 46 | 1217 | Terre à bâtir | 37,4 | | | | | |
| 2021 | 1 | C | 043853-13 | 46 | 1217 | Terre crue | 67,5 | 3 | 1 | Terre pour artisanat ? | Fragments de terre crue de couleur grise à blanche : destinés à une production d'objets en terre cuite, céramique ou pour le travail du métal ? | |
| 2021 | 1 | C | 89 | 47 | 1112 | Céramique | 34 | 1 | | Céramique | Fond | |
| 2021 | 1 | C | 89 | 47 | 1112 | Céramique | 22 | 4 | | Céramique | Lot de panses | |
| 2021 | 1 | F | F-043853-64 | 47 | 1112 | Faune | 6 | 1 | | Faune | | |
| 2021 | 1 | CP | 043853-38 | 47 | 1112 | Scorie/Paroi de four | 10 | 1 | | Scorie | Fragment de scorie SFR | |
| 2021 | 1 | M | 043853-78 | 48 | 1014 | Alliages cuivreux | 2,4 | 3 | 3 | Reste de coulée | Trois restes de coulée à la surface grumeleuse, de petite dimension : liée à la métallurgie du bronze. | |
| 2021 | 1 | C | 111 | 48 | 1114 | Céramique | 130 | 6 | | Céramique | Lot de panses | |
| 2021 | 1 | C | 111 | 48 | 1114 | Céramique | | 15 | | Céramique | Lot de panses | |
| 2021 | 1 | C | 112 | 48 | 1114 | Céramique | 12 | 1 | | Céramique | Panse | |
| 2021 | 1 | F | F-043853-85 | 48 | 1114 | Faune | 66 | 23 | | Faune | | |
| 2021 | 1 | CP | 043853-39 | 48 | 1114 | Scorie/Paroi de four | 20 | 3 | | Scorie | Fragments de scories | |
| 2021 | 1 | C | 100 | 49 | 1116 | Céramique | | 1 | 1 | Céramique | Jatte à bords droits | |
| 2021 | 1 | C | 100 | 49 | 1116 | Céramique | 80 | 12 | | Céramique | Lot de panses | |

| Pré-inventaire du mobilier-Secteur 1 | | | | | | | | | | | |
|--------------------------------------|---------|--------------|---------------|-----------|------|----------------------|-----------|----|-----|--------------------------------|--|
| Année | Secteur | Code Matière | n° inventaire | Structure | US | Matériau | Masse (g) | NR | NMI | Type objet | Description |
| 2021 | 1 | C | 100 | 49 | 1116 | Céramique | | 1 | | Céramique | Panse |
| 2021 | 1 | C | 100 | 49 | 1116 | Céramique | | 1 | 1 | Céramique | Jatte à carène |
| 2021 | 1 | C | 100 | 49 | 1116 | Céramique | | 1 | | Céramique | Panse |
| 2021 | 1 | C | 100 | 49 | 1116 | Céramique | | 1 | 1 | Céramique | Jatte à bords rentrants |
| 2021 | 1 | C | 109 | 49 | 1116 | Céramique | 28 | 2 | | Céramique | Lot de panses |
| 2021 | 1 | F | F-043853-59 | 49 | 1116 | Faune | 38 | 10 | | Faune | |
| 2021 | 1 | M | 043853-56 | 49 | 1116 | Fer | 6,5 | 2 | 1 | Fibule en cours de façonnage ? | Pièce composée d'une soie de section en D qui s'élargit en son centre pour former un losange partiellement creusé et qui à son autre extrémité repart en tige de section circulaire : façonnage d'un arc de fibule ? |
| 2021 | 1 | M | 043853-57 | 49 | 1116 | Fer | 4,8 | 1 | 1 | Chute de barrette | Pièce composée d'une soie de section en D qui s'élargit légèrement formant une section rectangulaire. On note un début de creusement de la barrette en son centre (comme pour MET 56 ?) et de grosses déformations dans son profil : chute de barrette en cours de façonnage. |
| 2021 | 1 | M | 043853-58 | 49 | 1116 | Fer | 6,5 | 2 | 2 | Chute de barrette | Pièces composées d'une soie de section en D qui s'élargit légèrement formant une section rectangulaire aplatie. On note un début de creusement de la barrette en son centre (comme pour MET 56 ?) et des déformations dans son profil : chute de barrette en cours de façonnage. |
| 2021 | 1 | M | 043853-59 | 49 | 1116 | Fer | 20,9 | 2 | 2 | Chute de barre | Fragments de barres de section quadrangulaire à trapézoïdale ou de section en D avec des traces de déformations. Chutes de barre. |
| 2021 | 1 | M | 043853-59 | 49 | 1116 | Fer | 33,3 | 1 | 1 | Masse hémisphérique | Pièce massive de forme hémisphérique pleine de section triangulaire dont l'un des bords a été coupé et arraché : chute de matière première. |
| 2021 | 1 | LI | 043853-15 | 49 | 1116 | Lithique | 20 | 1 | | débris | |
| 2021 | 1 | LI | 043853-16 | 49 | 1116 | Lithique | 0 | 2 | | débris | |
| 2021 | 1 | LI | 043853-109 | 49 | 1116 | Lithique | 0 | 1 | | débris | |
| 2021 | 1 | CP | 043853-40 | 49 | 1116 | Scorie/Paroi de four | 440 | 59 | 2 | Scorie | Culots ; fragments de parois dont 2 avec une petite inclusion d'alliage cuivreux ; fragments de scories |
| 2021 | 1 | MC | | 49 | 1116 | Terre à bâtir | 15 | | | | |
| 2021 | 1 | F | F-043853-73 | 50 | 1118 | Faune | 4 | 2 | | Faune | |

| Pré-inventaire du mobilier-Secteur 1 | | | | | | | | | | | | |
|--------------------------------------|---------|--------------|---------------|-----------|------|----------------------|-----------|----|-----|------------------------|--|--|
| Année | Secteur | Code Matière | n° inventaire | Structure | US | Matériau | Masse (g) | NR | NMI | Type objet | Description | |
| 2021 | 1 | AMP | | 51 | 1121 | Céramique | | 1 | | | | |
| 2021 | 1 | C | 110 | 51 | 1121 | Céramique | 8 | 1 | | Céramique | Panse | |
| 2021 | 1 | C | 110 | 51 | 1121 | Céramique | 14 | 7 | | Céramique | Lot de panses | |
| 2021 | 1 | C | 110 | 51 | 1121 | Céramique | 6 | 1 | | Céramique | Lot de panses | |
| 2021 | 1 | F | F-043853-62 | 51 | 1121 | Faune | 72 | 12 | | Faune | | |
| 2021 | 1 | LI | 043853-148 | 51 | 1121 | Lithique | 40 | 1 | | débris | | |
| 2021 | 1 | C | 107 | 54 | 1129 | Céramique | 40 | 4 | | Céramique | Lot de panses | |
| 2021 | 1 | C | 73 | 55 | 1131 | Céramique | 12 | 2 | | Céramique | Lot de fonds | |
| 2021 | 1 | F | F-043853-78 | 56 | 1133 | Faune | 26 | 3 | | Faune | | |
| 2021 | 1 | CP | 043853-41 | 56 | 1133 | Scorie/Paroi de four | 10 | 1 | | Scorie | Fragment de scorie SFR | |
| 2021 | 1 | M | 043853-60 | 57 | 1035 | Fer | 20,4 | 1 | 1 | Gouge ou emporte-pièce | Pièce composée d'une tige de section circulaire épaisse dont il manque l'extrémité proximale. Elle est prolongée par une extrémité en forme de goutte d'eau creuse permettant de creuser le bois ou percer le cuir. Extrémité de gouge ou d'emporte-pièce. | |
| 2021 | 1 | MC | | 57 | 1035 | Terre à bâtir | 50 | | | | | |
| 2021 | 1 | C | 95 | 57 | 1135 | Céramique | 12 | 1 | | Céramique | Panse | |
| 2021 | 1 | C | 95 | 57 | 1135 | Céramique | 12 | 1 | | Céramique | Panse | |
| 2021 | 1 | C | 96 | 57 | 1135 | Céramique | 528 | 13 | | Céramique | Lot de panses | |
| 2021 | 1 | C | 96 | 57 | 1135 | Céramique | | 10 | | Céramique | Lot de panses | |
| 2021 | 1 | C | 96 | 57 | 1135 | Céramique | | 9 | | Céramique | Lot de panses | |
| 2021 | 1 | C | 96 | 57 | 1135 | Céramique | | 1 | | Céramique | Boutelle à épaulement, fragment panse : encolure | |
| 2021 | 1 | C | 97 | 57 | 1135 | Céramique | 46 | 1 | | Céramique | Fond | |
| 2021 | 1 | C | 97 | 57 | 1135 | Céramique | | 1 | | Céramique | Panse | |
| 2021 | 1 | C | 97 | 57 | 1135 | Céramique | | 1 | | Céramique | Panse | |
| 2021 | 1 | C | 97 | 57 | 1135 | Céramique | | 1 | 1 | Céramique | Ecuelle à profil sinueux | |
| 2021 | 1 | C | 97 | 57 | 1135 | Céramique | | 2 | 2 | Céramique | Jatte à bords droits | |
| 2021 | 1 | C | 97 | 57 | 1135 | Céramique | | 1 | 1 | Céramique | Coupe hémisphérique | |

| Pré-inventaire du mobilier-Secteur 1 | | | | | | | | | | | |
|--------------------------------------|---------|--------------|---------------|-----------|------|----------------------|-----------|----|-----|------------|---|
| Année | Secteur | Code Matière | n° inventaire | Structure | US | Matériau | Masse (g) | NR | NMI | Type objet | Description |
| 2021 | 1 | F | F-043853-65 | 57 | 1135 | Faune | 750 | 81 | | Faune | |
| 2021 | 1 | LI | 043853-119 | 57 | 1135 | Lithique | 50 | 1 | | débris | |
| 2021 | 1 | LI | 043853-120 | 57 | 1135 | Lithique | 20 | 1 | | débris | |
| 2021 | 1 | LI | 043853-121 | 57 | 1135 | Lithique | 20 | 1 | | débris | |
| 2021 | 1 | LI | 043853-122 | 57 | 1135 | Lithique | 50 | 1 | | débris | |
| 2021 | 1 | CP | 043853-42 | 57 | 1135 | Scorie/Paroi de four | 180 | 10 | 2 | Scorie | Culots ; 1 fragment de culot SGD ; fragments de parois ; fragments de scories SGD |
| 2021 | 1 | AMP | | 57 | | Céramique | | 4 | | | |
| 2021 | 1 | C | 77 | 58 | 1140 | Céramique | 142 | 10 | | Céramique | Lot de panses |
| 2021 | 1 | C | 77 | 58 | 1140 | Céramique | | 6 | | Céramique | Lot de panses |
| 2021 | 1 | C | 77 | 58 | 1140 | Céramique | | 1 | | Céramique | Panse |
| 2021 | 1 | C | 77 | 58 | 1140 | Céramique | | 1 | 1 | Céramique | Jatte à bord droit et triangulaire |
| 2021 | 1 | F | F-043853-79 | 58 | 1140 | Faune | 10 | 7 | | Faune | |
| 2021 | 1 | CP | 043853-43 | 58 | 1140 | Scorie/Paroi de four | 80 | 6 | | Scorie | Fragments de scories dont 1 comporte traces d'oxydes de cuivres (?) ; 1 fragment de paroi |
| 2021 | 1 | AMP | | 59 | 1144 | Céramique | | 2 | | | |
| 2021 | 1 | C | 84 | 59 | 1144 | Céramique | 170 | 17 | | Céramique | Lot de panses |
| 2021 | 1 | C | 84 | 59 | 1144 | Céramique | | 6 | | Céramique | Lot de panses |
| 2021 | 1 | C | 84 | 59 | 1144 | Céramique | | 1 | 1 | Céramique | Bord triangulaire |
| 2021 | 1 | C | 84 | 59 | 1144 | Céramique | | 2 | 2 | Céramique | Ecuelle à épaulement haut, bord triangulaire |
| 2021 | 1 | C | 84 | 59 | 1144 | Céramique | | 1 | 1 | Céramique | Ecuelle/ bouteille ? Epaulement haut, bord aplati |
| 2021 | 1 | C | 84 | 59 | 1144 | Céramique | | 1 | 1 | Céramique | Jatte à bord droit et triangulaire |
| 2021 | 1 | F | F-043853-77 | 59 | 1144 | Faune | 310 | 42 | | Faune | |
| 2021 | 1 | M | 043853-45 | 59 | 1144 | Fer | 21,8 | 2 | 2 | Chute | Fragments de chutes de profil hémisphérique avec traces de déformations et aspect scorifié. |
| 2021 | 1 | M | 043853-61 | 59 | 1144 | Fer | 1,1 | 1 | 1 | Anneau ? | Fragment d'une bande tôle formant un arc de cercle ; anneau ouvert ? |
| 2021 | 1 | LI | 043853-23 | 59 | 1144 | Lithique | 90 | 1 | | débris | |

| Pré-inventaire du mobilier-Secteur 1 | | | | | | | | | | | | |
|--------------------------------------|---------|--------------|---------------|-----------|------|----------------------|-----------|----|-----|---------------------------|---|--|
| Année | Secteur | Code Matière | n° inventaire | Structure | US | Matériau | Masse (g) | NR | NMI | Type objet | Description | |
| 2021 | 1 | CP | 043853-44 | 59 | 1144 | Scorie/Paroi de four | 20 | 3 | | Scorie | Fragments de parois et 1 fragment de scorie SAS | |
| 2021 | 1 | MC | | 59 | 1144 | Terre à bâtir | 70 | | | | | |
| 2021 | 1 | C | 76 | 59 | 1146 | Céramique | 32 | 7 | | Céramique | Lot de panses | |
| 2021 | 1 | C | 76 | 59 | 1146 | Céramique | 6 | 3 | | Céramique | Lot de panses | |
| 2021 | 1 | C | 76 | 59 | 1146 | Céramique | 6 | 1 | 1 | Céramique | Coupe, bord triangulaire | |
| 2021 | 1 | C | 82 | 59 | 1146 | Céramique | 138 | 6 | | Céramique | Lot de panses | |
| 2021 | 1 | C | 82 | 59 | 1146 | Céramique | | 1 | 1 | Céramique | Boutelle, bord triangulaire | |
| 2021 | 1 | F | F-043853-58 | 59 | 1146 | Faune | 550 | 41 | | Faune | | |
| 2021 | 1 | M | 043853-46 | 59 | 1146 | Fer | 12,1 | 1 | 1 | Chute de barre | Fragment de barre de section quadrangulaire à trapézoïdale dont une extrémité comporte une trace de découpé en biseau. Chute de barre. | |
| 2021 | 1 | M | 043853-46 | 59 | 1146 | Fer | 2,1 | 2 | 1 | Chute ? | Fragment de plat de section rectangulaire aplatie dont les bords ont été repliés vers l'intérieur sur une extrémité. A l'autre, un départ de section en D épaisse. Chute. | |
| 2021 | 1 | M | 043853-46 | 59 | 1146 | Fer | 9,8 | 1 | 1 | Anneau ? | Fragment de tige de section losangique formant un arc de cercle : fragment d'anneau. | |
| 2021 | 1 | LI | 043853-43 | 59 | 1146 | Lithique | 60 | 1 | | outil mouture indéterminé | | |
| 2021 | 1 | CP | 043853-45 | 59 | 1146 | Scorie/Paroi de four | 90 | 3 | 1 | Scorie | Fragments de scories et 1 culot SGD comportant une scorie SFR | |
| 2021 | 1 | C | 75 | 61 | 1137 | Céramique | 22 | 5 | | Céramique | Lot de panses | |
| 2021 | 1 | F | F-043853-57 | 61 | 1137 | Faune | 18 | 1 | | Faune | | |
| 2021 | 1 | M | 043853-48 | 61 | 1137 | Fer | 2,5 | 1 | 1 | Soie de barrette | Fragment de tige affinée à l'une de ses extrémités, prolongée d'une partie de section rectangulaire à losangique. Soie de barrette d'après ses dimensions. | |
| 2021 | 1 | LI | 043853-44 | 61 | 1137 | Lithique | 10 | 1 | | débris | | |
| 2021 | 1 | CP | 043853-46 | 61 | 1137 | Scorie/Paroi de four | 10 | 1 | | Scorie | Scorie SAS | |
| 2021 | 1 | C | 043853-15 | 61 | 1137 | Terre crue | 53,0 | 3 | 1 | Terre pour artisanat ? | Fragments de terre crue de couleur grise à blanche : destinés à une production d'objets en terre cuite, céramique ou pour le travail du métal ? | |
| 2021 | 1 | C | 86 | 63 | 1157 | Céramique | 6 | 3 | | Céramique | Lot de panses | |

| Pré-inventaire du mobilier-Secteur 1 | | | | | | | | | | | |
|--------------------------------------|---------|--------------|---------------|-----------|------|----------------------|-----------|----|-----|----------------------------|---|
| Année | Secteur | Code Matière | n° inventaire | Structure | US | Matériau | Masse (g) | NR | NMI | Type objet | Description |
| 2021 | 1 | M | 043853-79 | 64 | 1176 | Alliages cuivreux | 0,7 | 1 | 1 | Tige en cours de façonnage | Tige de section rectangulaire avec des traces de facettage sur toute sa surface. L'une des extrémités est en cours d'épointage. L'autre en cours d'aplatissement. Elle est déformée au deux tiers de sa longueur : objet en cours de façonnage. |
| 2021 | 1 | C | 102 | 64 | 1176 | Céramique | 50 | 6 | | Céramique | Lot de panses |
| 2021 | 1 | C | 102 | 64 | 1176 | Céramique | 106 | 20 | | Céramique | Lot de panses |
| 2021 | 1 | C | 102 | 64 | 1176 | Céramique | 4 | 1 | 1 | Céramique | Coupe, bord aplati |
| 2021 | 1 | C | 102 | 64 | 1176 | Céramique | 2 | 1 | | Céramique | 1/2 fusaiote biconique |
| 2021 | 1 | C | 102 | 64 | 1176 | Céramique | 74 | 2 | 2 | Céramique | Jatte à bords rentrants |
| 2021 | 1 | F | F-043853-71 | 64 | 1176 | Faune | 98 | 13 | | Faune | |
| 2021 | 1 | LI | 043853-85 | 64 | 1176 | Lithique | 1700 | 1 | | molette | |
| 2021 | 1 | LI | 043853-86 | 64 | 1176 | Lithique | 1700 | 1 | | meule | |
| 2021 | 1 | LI | 043853-97 | 64 | 1176 | Lithique | 10 | 1 | | débris | |
| 2021 | 1 | LI | 043853-98 | 64 | 1176 | Lithique | 150 | 2 | | débris | |
| 2021 | 1 | LI | 043853-99 | 64 | 1176 | Lithique | 10 | 1 | | outil mouture indéterminé | |
| 2021 | 1 | LI | 043853-100 | 64 | 1176 | Lithique | 20 | 1 | | outil mouture indéterminé | |
| 2021 | 1 | CP | 043853-47 | 64 | 1176 | Scorie/Paroi de four | 220 | 19 | 2 | Scorie | Culots dont 1 SAS et SGD ; fragments de scories et de parois |
| 2021 | 1 | MC | | 64 | 1176 | Terre à bâtir | 15 | | | | |
| 2021 | 1 | C | 79 | 66 | 1153 | Céramique | 44 | 1 | | Céramique | Panse |
| 2021 | 1 | C | 79 | 66 | 1153 | Céramique | 24 | 1 | | Céramique | Panse |
| 2021 | 1 | C | 79 | 66 | 1153 | Céramique | 26 | 1 | | Céramique | Panse |
| 2021 | 1 | C | 79 | 66 | 1153 | Céramique | 60 | 4 | | Céramique | Lot de panses |
| 2021 | 1 | F | F-043853-70 | 66 | 1153 | Faune | 88 | 8 | | Faune | |
| 2021 | 1 | CP | 043853-48 | 66 | 1153 | Scorie/Paroi de four | 20 | 3 | | Scorie | Fragments de parois et 1 scorie SAS |
| 2021 | 1 | LI | 043853-11 | 67 | 1155 | Lithique | 5230 | 2 | | molette | |
| 2021 | 1 | C | 87 | 68 | 1161 | Céramique | 86 | 4 | | Céramique | Lot de panses |
| 2021 | 1 | C | 87 | 68 | 1161 | Céramique | | 3 | | Céramique | Lot de panses |

| Pré-inventaire du mobilier-Secteur 1 | | | | | | | | | | | |
|--------------------------------------|---------|--------------|---------------|-----------|------|----------------------|-----------|----|-----|---------------------------|---|
| Année | Secteur | Code Matière | n° inventaire | Structure | US | Matériau | Masse (g) | NR | NMI | Type objet | Description |
| 2021 | 1 | F | F-043853-46 | 68 | 1161 | Faune | 4 | 1 | | Faune | |
| 2021 | 1 | C | 51 | 69 | 1163 | Céramique | 2 | 1 | | Céramique | Panse |
| 2021 | 1 | C | 103 | 69 | 1163 | Céramique | 154 | 5 | | Céramique | Lot de panses |
| 2021 | 1 | C | 103 | 69 | 1163 | Céramique | | 5 | | Céramique | Lot de panses |
| 2021 | 1 | C | 103 | 69 | 1163 | Céramique | | 1 | 1 | Céramique | Ecuelle à épaulement haut, bord arrondi |
| 2021 | 1 | C | 103 | 69 | 1163 | Céramique | | 1 | 1 | Céramique | Ecuelle à épaulement haut, bord arrondi |
| 2021 | 1 | LI | 043853-12 | 69 | 1163 | Lithique | 10 | 1 | | débris | |
| 2021 | 1 | C | 83 | 70 | 1159 | Céramique | 22 | 5 | | Céramique | Lot de panses |
| 2021 | 1 | C | 83 | 70 | 1159 | Céramique | 38 | 7 | | Céramique | Lot de panses |
| 2021 | 1 | C | 83 | 70 | 1159 | Céramique | 8 | 1 | 1 | Céramique | Bouteille à épaulement |
| 2021 | 1 | C | 83 | 70 | 1159 | Céramique | 2 | 1 | 1 | Céramique | Bord |
| 2021 | 1 | F | F-043853-67 | 70 | 1159 | Faune | 4 | 1 | | Faune | |
| 2021 | 1 | CP | 043853-49 | 70 | 1159 | Scorie/Paroi de four | 10 | 1 | | Scorie | 1 scorie SFR |
| 2021 | 1 | C | 78 | 71 | 1665 | Céramique | 72 | 4 | | Céramique | Lot de panses |
| 2021 | 1 | C | 78 | 71 | 1665 | Céramique | 8 | 2 | 2 | Céramique | Lot de bords |
| 2021 | 1 | C | 78 | 71 | 1665 | Céramique | 10 | 1 | 1 | Céramique | Coupe/bol tronconique? |
| 2021 | 1 | C | 78 | 71 | 1665 | Céramique | 6 | 1 | 1 | Céramique | Coupe tronconique, bord triangulaire |
| 2021 | 1 | F | F-043853-69 | 71 | 1665 | Faune | 34 | 7 | | Faune | |
| 2021 | 1 | C | 74 | 73 | 1062 | Céramique | 26 | 4 | | Céramique | Lot de panses |
| 2021 | 1 | C | 53 | 74 | 1067 | Céramique | 2 | 1 | 1 | Céramique | Ecuelle à épaulement |
| 2021 | 1 | C | 52 | 74 | 1067 | Céramique | 26 | 3 | | Céramique | Lot de panses |
| 2021 | 1 | C | 54 | 74 | 1067 | Céramique | 14 | 1 | 1 | Céramique | Jatte bords rentrants |
| 2021 | 1 | F | F-043853-86 | 74 | 1067 | Faune | 98 | 10 | | Faune | |
| 2021 | 1 | LI | 043853-07 | 74 | 1067 | Lithique | 684 | 1 | | outil mouture indéterminé | |
| 2021 | 1 | LI | 043853-08 | 74 | 1067 | Lithique | 50 | 1 | | outil mouture indéterminé | |

| Pré-inventaire du mobilier-Secteur 1 | | | | | | | | | | | |
|--------------------------------------|---------|--------------|---------------|-----------|------|-------------------|-----------|----|-----|------------------|---|
| Année | Secteur | Code Matière | n° inventaire | Structure | US | Matériau | Masse (g) | NR | NMI | Type objet | Description |
| 2021 | 1 | LI | 043853-10 | 74 | 1067 | Lithique | 580 | 1 | | écl | |
| 2021 | 1 | C | 99 | 75 | 1169 | Céramique | 160 | 8 | | Céramique | Lot de panses |
| 2021 | 1 | C | 99 | 75 | 1169 | Céramique | | 3 | | Céramique | Lot de panses |
| 2021 | 1 | C | 99 | 75 | 1169 | Céramique | | 1 | 1 | Céramique | Jatte à bords rentrants |
| 2021 | 1 | M | 043853-49 | 75 | 1169 | Fer | 15,5 | 1 | 1 | Poinçon | Pièce complète composée d'une tige quadrangulaire dont la section est parfois déformée par des impacts et torsion. L'une des extrémités s'affine en pointe de section en D à elliptique. L'autre extrémités a été aplatie et repliée : outil de type poinçon. |
| 2021 | 1 | C | 55 | 77 | 1178 | Céramique | 80 | 10 | | Céramique | Lot de panses |
| 2021 | 1 | C | 55 | 77 | 1178 | Céramique | 4 | 1 | 1 | Céramique | Jatte bords droits |
| 2021 | 1 | M | 043853-50 | 77 | 1178 | Fer | 2,0 | 1 | 1 | Clou : tête ? | Fragment de clou : tête de forme conique massive et facetée avec un possible départ de la tige. |
| 2021 | 1 | C | 50 | 78 | 1186 | Céramique | 102 | 5 | | Céramique | Lot de panses |
| 2021 | 1 | C | 50 | 78 | 1186 | Céramique | | 3 | | Céramique | Lot de panses |
| 2021 | 1 | C | 50 | 78 | 1186 | Céramique | | 2 | | Céramique | Lot de fonds |
| 2021 | 1 | F | F-043853-68 | 78 | 1186 | Faune | 8 | 1 | | Faune | |
| 2021 | 1 | C | 56 | 79 | 1182 | Céramique | 84 | 2 | | Céramique | Lot de panses |
| 2021 | 1 | F | F-043853-48 | 79 | 1182 | Faune | 58 | 7 | | Faune | |
| 2021 | 1 | LI | 043853-47 | 79 | 1182 | Lithique | 10 | 1 | | écl | |
| 2021 | 1 | C | 94 | 81 | 1186 | Céramique | 32 | 3 | | Céramique | Lot de panses |
| 2021 | 1 | M | 043853-80 | 83 | 1190 | Alliages cuivreux | 0,1 | 1 | 1 | Fibule : ressort | Fragment de ressort composé de 4 spires encore enroulées et une partie déroulée et déformée : lié à un ressort de tradition hallstattienne. |
| 2021 | 1 | AMP | | 83 | 1190 | Céramique | | 1 | | | |
| 2021 | 1 | C | 60 | 83 | 1190 | Céramique | 660 | 11 | | Céramique | Lot de panses |
| 2021 | 1 | C | 60 | 83 | 1190 | Céramique | | 7 | | Céramique | Lot de panses |
| 2021 | 1 | C | 60 | 83 | 1190 | Céramique | | 25 | | Céramique | Lot de panses |
| 2021 | 1 | C | 60 | 83 | 1190 | Céramique | | 7 | | Céramique | Lot de panses |
| 2021 | 1 | C | 60 | 83 | 1190 | Céramique | | 1 | | Céramique | Panse |
| 2021 | 1 | C | 60 | 83 | 1190 | Céramique | | 1 | | Céramique | Fond |

| Pré-inventaire du mobilier-Secteur 1 | | | | | | | | | | | |
|--------------------------------------|---------|--------------|---------------|-----------|------|----------------------|-----------|----|-----|------------|---|
| Année | Secteur | Code Matière | n° inventaire | Structure | US | Matériau | Masse (g) | NR | NMI | Type objet | Description |
| 2021 | 1 | C | 60 | 83 | 1190 | Céramique | | 1 | | Céramique | Panse |
| 2021 | 1 | C | 60 | 83 | 1190 | Céramique | | 1 | 1 | Céramique | Bord aplati |
| 2021 | 1 | C | 60 | 83 | 1190 | Céramique | | 4 | 2 | Céramique | Jatte à bords rentrants |
| 2021 | 1 | C | 198 | 83 | 1190 | Céramique | 1412 | 82 | 1 | Céramique | Pot à épaulement arrondi |
| 2021 | 1 | C | 61 | 83 | 1190 | Céramique | 54 | 2 | | Céramique | Panse |
| 2021 | 1 | F | F-043853-66 | 83 | 1190 | Faune | 104 | 31 | | Faune | |
| 2021 | 1 | LI | 043853-129 | 83 | 1190 | Lithique | 30 | 1 | | p à main | |
| 2021 | 1 | CP | 043853-50 | 83 | 1190 | Scorie/Paroi de four | 60 | 0 | | Scorie | Parois de fours avec de la scorie |
| 2021 | 1 | C | 12 | 32/31 | 1003 | Céramique | 40 | 3 | | Céramique | Lot de panses |
| 2021 | 1 | C | 13 | 32/31 | 1003 | Céramique | 140 | 1 | 1 | Céramique | Ind, bord quasi détruit |
| 2021 | 1 | C | 13 | 32/31 | 1003 | Céramique | | 1 | 1 | Céramique | Ind, bord avec lèvres aplaties, impressions |
| 2021 | 1 | C | 13 | 32/31 | 1003 | Céramique | | 1 | 1 | Céramique | ind |
| 2021 | 1 | C | 13 | 32/31 | 1003 | Céramique | | 2 | | Céramique | Bouteille |
| 2021 | 1 | C | 13 | 32/31 | 1003 | Céramique | | 1 | 1 | Céramique | Fragment bord, lèvres aplati/triangulaire |
| 2021 | 1 | C | 13 | 32/31 | 1003 | Céramique | | 3 | 3 | Céramique | Jattes bords rentrants |
| 2021 | 1 | AMP | | Décapage | 1000 | Céramique | | 1 | | | |
| 2021 | 1 | C | / | Décapage | 1000 | Céramique | | 2 | | Céramique | Lot de fonds |
| 2021 | 1 | C | / | Décapage | 1000 | Céramique | | 2 | | Céramique | Lot de fonds |
| 2021 | 1 | C | / | Décapage | 1000 | Céramique | | 1 | | Céramique | Panse |
| 2021 | 1 | C | / | Décapage | 1000 | Céramique | | 2 | | Céramique | Epaulement |
| 2021 | 1 | C | / | Décapage | 1000 | Céramique | | 6 | 5 | Céramique | Bords jattes ind |
| 2021 | 1 | C | / | Décapage | 1000 | Céramique | | 4 | 4 | Céramique | Bords verticaux, écuelle/jatte ind |
| 2021 | 1 | C | / | Décapage | 1000 | Céramique | | 1 | | Céramique | Pied creux et court |
| 2021 | 1 | C | / | Décapage | 1000 | Céramique | | 41 | | Céramique | Lot de panses |
| 2021 | 1 | C | / | Décapage | 1000 | Céramique | | 65 | | Céramique | Lot de panses |
| 2021 | 1 | C | / | Décapage | 1000 | Céramique | | 1 | | Céramique | Panse |
| 2021 | 1 | C | / | Décapage | 1000 | Céramique | | 1 | 1 | Céramique | Ecuelle à épaulement haut, bords déversés |

| Pré-inventaire du mobilier-Secteur 1 | | | | | | | | | | | | |
|--------------------------------------|---------|--------------|---------------|-----------|------|----------------------|-----------|----|-----|---------------------------|--|--|
| Année | Secteur | Code Matière | n° inventaire | Structure | US | Matériau | Masse (g) | NR | NMI | Type objet | Description | |
| 2021 | 1 | C | / | Décapage | 1000 | Céramique | | 5 | | Céramique | Lot de panses | |
| 2021 | 1 | C | / | Décapage | 1000 | Céramique | | 1 | | Céramique | Anse | |
| 2021 | 1 | C | / | Décapage | 1000 | Céramique | 630 | 30 | | Céramique | Lot fragment | |
| 2021 | 1 | C | / | Décapage | 1000 | Céramique | 400 | 6 | | Céramique | Lot fragment | |
| 2021 | 1 | LI | 043853-152 | Décapage | 1000 | Lithique | 80 | 4 | | outil mouture indéterminé | | |
| 2021 | 1 | LI | 043853-153 | Décapage | 1000 | Lithique | 40 | 1 | | débris | | |
| 2021 | 1 | LI | 043853-154 | Décapage | 1000 | Lithique | 40 | 1 | | débris | | |
| 2021 | 1 | CP | 043853-51 | Décapage | 1000 | Scorie/Paroi de four | 40 | 1 | | Scorie | Fragment de scorie SGD | |
| 2021 | 1 | C | / | Décapage | 1001 | Céramique | | 25 | | Céramique | Lot de panses | |
| 2021 | 1 | C | / | Décapage | 1001 | Céramique | | 28 | | Céramique | Lot de panses | |
| 2021 | 1 | C | / | Décapage | 1001 | Céramique | | 6 | 5 | Céramique | Jatte | |
| 2021 | 1 | C | / | Décapage | 1001 | Céramique | | 1 | | Céramique | Fragment fond | |
| 2021 | 1 | F | F-043853-8 | Décapage | 1001 | Faune | 718 | 98 | | Faune | | |
| 2021 | 1 | M | 043853-1 | Décapage | 1001 | Fer | 29,9 | 1 | 1 | Chute de barre | Pièce composée d'une tige de section rectangulaire dont l'une des extrémités est affinée et de section en D quasi circulaire. L'autre extrémité plus large et épaisse dispose d'une section en D également. Son profil est déformé et l'extrémité pourrait avoir été découpée. Un aplatissement est aussi visible vers l'extrémité la plus fine. Chute de barre. | |
| 2021 | 1 | M | 043853-1 | Décapage | 1001 | Fer | 16,2 | 1 | 1 | Chute de Tôle | Tôle épaisse de forme losangique dont une extrémité est repliée. Son aspect de surface est non lisse, voir boursoufflé : lié à l'artisanat du métal ? Chute de tôle ? | |
| 2021 | 1 | M | 043853-2 | Décapage | 1001 | Fer | 71,9 | 1 | 1 | Ciseau ou ciselet ? | Tige épaisse de section rectangulaire dont une extrémité s'affine en biseau. L'autre extrémité forme une tête aplatie de forme rectangulaire. Son profil indique qu'il est désormais déformé : possible ciseau ou ciselet ? | |
| 2021 | 1 | M | 043853-3 | Décapage | 1001 | Fer | 0,6 | 1 | 1 | Clou décoratif | Petit clou composé d'une tête aplatie de forme circulaire prolongée d'une tige épointée, de section carrée. | |
| 2021 | 1 | LI | 043853-89 | Décapage | 1001 | Lithique | 20 | 1 | | p brute | | |
| 2021 | 1 | LI | 043853-114 | Décapage | 1001 | Lithique | 0 | 1 | | écl | | |

| Pré-inventaire du mobilier-Secteur 1 | | | | | | | | | | | |
|--------------------------------------|---------|--------------|---------------|-----------|------|----------------------|-----------|-----|-----|---------------------------|--|
| Année | Secteur | Code Matière | n° inventaire | Structure | US | Matériau | Masse (g) | NR | NMI | Type objet | Description |
| 2021 | 1 | LI | 043853-124 | Décapage | 1001 | Lithique | 1660 | 1 | | outil mouture indéterminé | |
| 2021 | 1 | LI | 043853-213 | Décapage | 1001 | Lithique | 100 | 1 | | débris | |
| 2021 | 1 | CP | 043853-1 | Décapage | 1001 | Scorie/Paroi de four | 920 | 28 | 7 | Scorie | Majorité de SGD en NR, paroi de four |
| 2021 | 1 | M | 043853-62 | | 1002 | Alliages cuivreux | 12,2 | 1 | 1 | Reste de coulée | Reste de coulée de forme hémisphérique et d'aspect grumeleux. Sa forme pourrait correspondre à un fond de creuset. |
| 2021 | 1 | C | / | | 1002 | Céramique | | 115 | | Céramique | Lot de panses |
| 2021 | 1 | C | / | | 1002 | Céramique | | 110 | | Céramique | Lot de panses |
| 2021 | 1 | C | / | | 1002 | Céramique | | 2 | | Céramique | Lot de panses, faïence |
| 2021 | 1 | C | / | | 1002 | Céramique | | 10 | | Céramique | Lot de panses |
| 2021 | 1 | C | / | | 1002 | Céramique | 1250 | 40 | | Céramique | Fragment TCA |
| 2021 | 1 | C | / | | 1002 | Céramique | | 3 | | Céramique | Fragments panses |
| 2021 | 1 | C | / | | 1002 | Céramique | | 1 | | Céramique | Fragment panse |
| 2021 | 1 | C | / | | 1002 | Céramique | | 10 | 8 | Céramique | Jatte |
| 2021 | 1 | C | / | | 1002 | Céramique | | 1 | 1 | Céramique | Jatte tronconique |
| 2021 | 1 | C | / | | 1002 | Céramique | | 1 | 1 | Céramique | Jatte à carène médiane |
| 2021 | 1 | C | / | | 1002 | Céramique | | 6 | 5 | Céramique | Jatte/écuelle, bords verticaux |
| 2021 | 1 | C | / | | 1002 | Céramique | | 1 | 1 | Céramique | Bouteille/écuelle?, bord concave développé |
| 2021 | 1 | C | / | | 1002 | Céramique | | 2 | | Céramique | Fond |
| 2021 | 1 | C | / | | 1002 | Céramique | | 2 | 2 | Céramique | Jatte/pot profil simple |
| 2021 | 1 | C | / | | 1002 | Céramique | | 2 | 2 | Céramique | Jatte/pot profil verticaux, légèrement déversés |
| 2021 | 1 | C | / | | 1002 | Céramique | | 6 | | Céramique | Lot de panses |
| 2021 | 1 | C | / | | 1002 | Céramique | | 1 | | Céramique | Panse |
| 2021 | 1 | C | / | | 1002 | Céramique | | 2 | 2 | Céramique | Lot de bords |
| 2021 | 1 | C | / | | 1002 | Céramique | | 1 | | Céramique | Gobelé à encolure déversée |
| 2021 | 1 | AMP | | | 1002 | Céramique | | 4 | | | |
| 2021 | 1 | F | F-043853-9 | | 1002 | Faune | 328 | 80 | | Faune | |

| Pré-inventaire du mobilier-Secteur 1 | | | | | | | | | | | |
|--------------------------------------|---------|--------------|---------------|-----------|------|----------|-----------|----|-----|--|--|
| Année | Secteur | Code Matière | n° inventaire | Structure | US | Matériau | Masse (g) | NR | NMI | Type objet | Description |
| 2021 | 1 | M | 043853-4 | | 1002 | Fer | 3,0 | 1 | 1 | Attache | Fragment d'une bande de tôle de section rectangulaire aplatie dont une extrémité semble rectangulaire rivetée ? Prolongée par une partie formant un profil incurvé. La seconde extrémité est manquante : petite attache ? |
| 2021 | 1 | M | 043853-4 | | 1002 | Fer | 7,6 | 1 | 1 | Pince à épiler en cours de façonnage ? | Fragment d'une bande tôle formant un ressort en demi-cercle partiellement conservé, prolongé par une tige ou tôle qui s'épaissit vers l'extrémité distale cassée également : pince à épiler en cours de façonnage ? |
| 2021 | 1 | M | 043853-5 | | 1002 | Fer | 5,6 | 1 | 1 | Chute de tige | Fragment de tige probablement rectangulaire recouverte de nombreuses battitures lamellaires : chute. |
| 2021 | 1 | M | 043853-6 | | 1002 | Fer | 12,8 | 1 | 1 | Chute de barre | Tige dont l'une des extrémités est de section demi-trapézoïdale se prolongeant par une partie de section rectangulaire aplatie plus large et dont les bords semblent avoir été rabattus. L'extrémité semble arrondie et possiblement découpée. Chute de barre. |
| 2021 | 1 | M | 043853-6 | | 1002 | Fer | 17,6 | 1 | 1 | Chute de barre | Fragment de plat de section rectangulaire à trapézoïdal muni d'un écrasement à la moitié de sa longueur. Il se prolonge par une extrémité qui s'affine et qui semble divisée en deux tenons déformés : en cours de soudure ou compactage ? Chute |
| 2021 | 1 | M | 043853-6 | | 1002 | Fer | 17,1 | 1 | 1 | Chute de barre | Fragment de plat de section rectangulaire dont une extrémité est légèrement moins large et de section en D avec une trace de découpe en biseau. Chute de barre. |
| 2021 | 1 | M | 043853-7 | | 1002 | Fer | 12,7 | 1 | 1 | Chute | Pièce composée d'un plat de section rectangulaire dont l'une des extrémités cassées est de section en D. L'autre extrémité est légèrement arrondi et de section en D : chute. |
| 2021 | 1 | M | 043853-7 | | 1002 | Fer | 13,1 | 1 | 1 | Chute trapézoïdale | Fragment de chute de forme trapézoïdale dont l'épaisseur varie. Elle est découpée sur ses extrémités |
| 2021 | 1 | M | 043853-7 | | 1002 | Fer | 8,1 | 1 | 1 | Chute de barre | Fragment de chute de forme trapézoïdale de section rectangulaire dont l'extrémité la moins large dispose d'une trace en biseau et d'enfoncement typique des chutes. |
| 2021 | 1 | LI | 043853-188 | | 1002 | Lithique | 70 | 1 | | débris | |
| 2021 | 1 | LI | 043853-189 | | 1002 | Lithique | 10 | 1 | | outil mouture indéterminé | |
| 2021 | 1 | LI | 043853-190 | | 1002 | Lithique | 60 | 1 | | débris | |
| 2021 | 1 | LI | 043853-191 | | 1002 | Lithique | 30 | 1 | | débris | |

| Pré-inventaire du mobilier-Secteur 1 | | | | | | | | | | | | |
|--------------------------------------|---------|--------------|---------------|-----------|------|----------------------|-----------|-----|-----|---------------------------|--|--|
| Année | Secteur | Code Matière | n° inventaire | Structure | US | Matériau | Masse (g) | NR | NMI | Type objet | Description | |
| 2021 | 1 | LI | 043853-192 | | 1002 | Lithique | 100 | 1 | | débris | | |
| 2021 | 1 | LI | 043853-193 | | 1002 | Lithique | 60 | 1 | | débris | | |
| 2021 | 1 | LI | 043853-194 | | 1002 | Lithique | 10 | 1 | | débris | | |
| 2021 | 1 | LI | 043853-195 | | 1002 | Lithique | 10 | 1 | | débris | | |
| 2021 | 1 | LI | 043853-196 | | 1002 | Lithique | 10 | 1 | | débris | | |
| 2021 | 1 | LI | 043853-197 | | 1002 | Lithique | 40 | 1 | | écl | | |
| 2021 | 1 | LI | 043853-198 | | 1002 | Lithique | 0 | 1 | | écl | | |
| 2021 | 1 | LI | 043853-199 | | 1002 | Lithique | 10 | 1 | | écl | | |
| 2021 | 1 | LI | 043853-205 | | 1002 | Lithique | 0 | 1 | | écl | | |
| 2021 | 1 | LI | 043853-206 | | 1002 | Lithique | 10 | 1 | | débris | | |
| 2021 | 1 | LI | 043853-207 | | 1002 | Lithique | 10 | 1 | | débris | | |
| 2021 | 1 | LI | 043853-208 | | 1002 | Lithique | 30 | 1 | | débris | | |
| 2021 | 1 | LI | 043853-209 | | 1002 | Lithique | 20 | 1 | | débris | | |
| 2021 | 1 | LI | 043853-210 | | 1002 | Lithique | 10 | 1 | | débris | | |
| 2021 | 1 | LI | 043853-211 | | 1002 | Lithique | 170 | 1 | | outil mouture indéterminé | | |
| 2021 | 1 | CP | 043853-2 | | 1002 | Scorie/Paroi de four | 900 | 32 | 10 | Scorie | Paroi de four, culots, fragments de scories et 1 scorie informe SGD | |
| 2021 | 1 | M | 043853-63 | | 1003 | Alliages cuivreux | 0,4 | 1 | 1 | Rivet | Fragment de rivet composé d'une tête aplatie circulaire prolongée du départ de la tige de section circulaire. Sa taille correspond probablement à un élément de vêtement ? | |
| 2021 | 1 | M | 043853-64 | | 1003 | Alliages cuivreux | 3,4 | 2 | 2 | Reste de coulée | Deux restes de coulée à la surface grumeleuse, de petite dimension : liée à la métallurgie du bronze. | |
| 2021 | 1 | C | / | | 1003 | Céramique | | 117 | | Céramique | Lot de panses | |
| 2021 | 1 | C | / | | 1003 | Céramique | | 8 | | Céramique | Lot de panses | |

| Pré-inventaire du mobilier-Secteur 1 | | | | | | | | | | | |
|--------------------------------------|---------|--------------|---------------|-----------|------|-----------|-----------|-----|-----|------------------------------|--|
| Année | Secteur | Code Matière | n° inventaire | Structure | US | Matériau | Masse (g) | NR | NMI | Type objet | Description |
| 2021 | 1 | C | / | | 1003 | Céramique | | 110 | | Céramique | Lot de panses |
| 2021 | 1 | C | / | | 1003 | Céramique | | 7 | | Céramique | Lot de panses |
| 2021 | 1 | C | / | | 1003 | Céramique | | 1 | | Céramique | Panse, importée ? |
| 2021 | 1 | C | / | | 1003 | Céramique | | 4 | | Céramique | Fond plat |
| 2021 | 1 | C | / | | 1003 | Céramique | | 11 | 9 | Céramique | Jatte, lot de bords |
| 2021 | 1 | C | / | | 1003 | Céramique | | 1 | 1 | Céramique | Jatte, lot de bords |
| 2021 | 1 | C | / | | 1003 | Céramique | | 4 | | Céramique | Lot de panses |
| 2021 | 1 | C | / | | 1003 | Céramique | | 1 | | Céramique | Fond plat |
| 2021 | 1 | C | / | | 1003 | Céramique | | 5 | 5 | Céramique | Pot/jatte ? Lot de bords verticaux |
| 2021 | 1 | C | / | | 1003 | Céramique | | 1 | 1 | Céramique | Pot ovoïde, bord aplati |
| 2021 | 1 | C | / | | 1003 | Céramique | | | 1 | Céramique | Jatte bord sinueux |
| 2021 | 1 | C | / | | 1003 | Céramique | 420 | 20 | | Céramique | Lot fragment |
| 2021 | 1 | C | / | | 1003 | Céramique | | 1 | 1 | Céramique | Gobelet, |
| 2021 | 1 | AMP | | | 1003 | Céramique | | 5 | | | |
| 2021 | 1 | F | F-043853-6 | | 1003 | Faune | 370 | 66 | | Faune | |
| 2021 | 1 | M | 043853-9 | | 1003 | Fer | 6,6 | 1 | 1 | Clou : tête ? | Fragment de clou : tête de forme ovale massive et facettée avec un possible départ de la tige. |
| 2021 | 1 | M | 043853-10 | | 1003 | Fer | 3,7 | 1 | 1 | Pince à épiler ou applique ? | Bande de tôle dont l'extrémité distale est à peine plus large et légèrement incurvée. Les bords longitudinaux sont rehaussés d'un léger ressaut : bras de pince à épiler ou applique ? |
| 2021 | 1 | M | 043853-11 | | 1003 | Fer | 9,1 | 1 | 1 | Barrette | Pièce composée d'une tige de section rectangulaire munie de nombreuses déformations : aplatissements, torsion. L'extrémité conservée est biseauté et arrondie. D'après ses dimensions, il s'agit d'une barrette. |
| 2021 | 1 | LI | 043853-19 | | 1003 | Lithique | 40 | 1 | | outil mouture indéterminé | |
| 2021 | 1 | LI | 043853-20 | | 1003 | Lithique | 10 | 1 | | débris | |
| 2021 | 1 | LI | 043853-31 | | 1003 | Lithique | 60 | 1 | | débris | |
| 2021 | 1 | LI | 043853-32 | | 1003 | Lithique | 20 | 1 | | outil mouture indéterminé | |
| 2021 | 1 | LI | 043853-33 | | 1003 | Lithique | 30 | 1 | | débris | |

| Pré-inventaire du mobilier-Secteur 1 | | | | | | | | | | | | |
|--------------------------------------|---------|--------------|---------------|-----------|-----------|----------------------|-----------|----|-----|---------------------------|--|--|
| Année | Secteur | Code Matière | n° inventaire | Structure | US | Matériau | Masse (g) | NR | NMI | Type objet | Description | |
| 2021 | 1 | LI | 043853-52 | | 1003 | Lithique | 30 | 1 | | outil mouture indéterminé | | |
| 2021 | 1 | LI | 043853-91 | | 1003 | Lithique | 50 | 1 | | outil mouture indéterminé | | |
| 2021 | 1 | LI | 043853-92 | | 1003 | Lithique | 140 | 2 | | débris | | |
| 2021 | 1 | LI | 043853-93 | | 1003 | Lithique | 130 | 1 | | débris | | |
| 2021 | 1 | LI | 043853-101 | | 1003 | Lithique | 110 | 1 | | outil mouture indéterminé | | |
| 2021 | 1 | LI | 043853-102 | | 1003 | Lithique | 120 | 1 | | outil mouture indéterminé | | |
| 2021 | 1 | LI | 043853-103 | | 1003 | Lithique | 60 | 1 | | écl | | |
| 2021 | 1 | LI | 043853-134 | | 1003 | Lithique | 10 | 1 | | outil mouture indéterminé | | |
| 2021 | 1 | LI | 043853-135 | | 1003 | Lithique | 20 | 1 | | outil mouture indéterminé | | |
| 2021 | 1 | LI | 043853-136 | | 1003 | Lithique | 50 | 1 | | débris | | |
| 2021 | 1 | LI | 043853-137 | | 1003 | Lithique | 30 | 1 | | outil indéterminé | | |
| 2021 | 1 | LI | 043853-138 | | 1003 | Lithique | 0 | 1 | | écl | | |
| 2021 | 1 | LI | 043853-139 | | 1003 | Lithique | 80 | 1 | | outil mouture indéterminé | | |
| 2021 | 1 | LI | 043853-140 | | 1003 | Lithique | 60 | 1 | | outil mouture indéterminé | | |
| 2021 | 1 | LI | 043853-141 | | 1003 | Lithique | 70 | 1 | | outil mouture indéterminé | | |
| 2021 | 1 | LI | 043853-170 | | 1003 | Lithique | 50 | 1 | | outil mouture indéterminé | | |
| 2021 | 1 | CP | 043853-3 | | 1003 | Scorie/Paroi de four | 950 | 35 | 7 | Scorie | Paroi de four, culots dont 1 SGD comportant un événement, fragments de scories | |
| 2021 | 1 | MC | | | 1003 | Terre à bâtir | 54 | | | | | |
| 2021 | 1 | F | F-043853-1 | | 1105 | Faune | 12,2 | 2 | | Faune | | |
| 2021 | 1 | M | 043853-8 | | 1002/1003 | Fer | 3,1 | 1 | 1 | Soie de barrette | Fragment de tige époutée à l'une de ses extrémités prolongée d'une partie de section aplatie déformée dont l'extrémité distale est de section en D. Soie de barrette d'après ses dimensions. | |

| Pré-inventaire du mobilier-Secteur 1 | | | | | | | | | | | |
|--------------------------------------|---------|--------------|---------------|-----------|---------------|----------|-----------|----|-----|----------------|---|
| Année | Secteur | Code Matière | n° inventaire | Structure | US | Matériau | Masse (g) | NR | NMI | Type objet | Description |
| 2021 | 1 | M | 043853-8 | | 1002/10 03 | Fer | 6,6 | 1 | 1 | Clou décoratif | Clou à tête aplatie triangulaire ou losangique avec une tige de section rectangulaire épointée et courte. |

| Pré-inventaire du mobilier-Secteur 2 | | | | | | | | | | | |
|--------------------------------------|---------|--------------|---------------|-----------|--------|----------------------|-----------|----|-----|------------|---|
| Année | Secteur | Code Matière | n° inventaire | Structure | US | Matériau | Masse (g) | NR | NMI | Type objet | Description |
| 2022 | 2 | C | 59 | 57 | 57.02 | Céramique | 47 | 3 | | Céramique | Jatte à bord rentrant, bord arrondi |
| 2022 | 2 | C | 59 | 57 | 57.02 | Céramique | 22 | 3 | | Céramique | Lot de bords arrondis |
| 2022 | 2 | C | 59 | 57 | 57.02 | Céramique | 6 | 1 | | Céramique | Ecuelle à épaulement haut et col déversé |
| 2022 | 2 | C | 59 | 57 | 57.02 | Céramique | 53 | 2 | | Céramique | Lot de fonds plats |
| 2022 | 2 | C | 59 | 57 | 57.02 | Céramique | 102 | 1 | | Céramique | Fond plat |
| 2022 | 2 | C | 59 | 57 | 57.02 | Céramique | 236 | 27 | | Céramique | Lot de panses |
| 2022 | 2 | C | 59 | 57 | 57.02 | Céramique | 194 | 9 | | Céramique | Lot de panses |
| 2022 | 2 | C | 59 | 57 | 57.02 | Céramique | 3 | 1 | | Céramique | Panse |
| 2022 | 2 | C | 59 | 57 | 57.02 | Céramique | 10 | 1 | | Céramique | Panse |
| 2022 | 2 | C | 59 | 57 | 57.02 | Céramique | 22 | 4 | | Céramique | Lot de panses dont un élément typologique |
| 2022 | 2 | F | | 57 | 57.02 | Faune | 341 | 65 | | Faune | |
| 2022 | 2 | LI | 308 | 57 | 57.02 | Lithique | 7 | 1 | | débris | grès et conglomérat |
| 2022 | 2 | M | 044045-1 | 57 | 57.02 | Fer | 6,1 | 1 | 1 | Anneau ? | Fragment de tige épointée et de section quadrangulaire qui semble former un arrondi : anneau de 20 mm ? |
| 2022 | 2 | AMP | | 200 | 200.02 | Céramique | 210 | 9 | | | |
| 2022 | 2 | C | 1 | 200 | 200.02 | Céramique | 46 | 6 | | Céramique | Lot de panses |
| 2022 | 2 | C | 2 | 200 | 200.03 | Céramique | 36 | 3 | | Céramique | Lot de panses |
| 2022 | 2 | C | 2 | 200 | 200.03 | Céramique | 38 | 4 | | Céramique | Lot de panses |
| 2022 | 2 | CP | 72 | 200 | 200.03 | Scorie/Paroi de four | 32 | 1 | | Scorie | 1 fragment de paroi rechapé. |
| 2022 | 2 | F | | 200 | 200.03 | Faune | 15 | 3 | | Faune | |
| 2022 | 2 | LI | 388 | 200 | 200.03 | Lithique | 74 | 1 | | percuteur | grès et conglomérat |
| 2022 | 2 | C | 3 | 201 | 201.02 | Céramique | 125 | 18 | | Céramique | Lot de panses |
| 2022 | 2 | C | 3 | 201 | 201.02 | Céramique | 25 | 2 | | Céramique | Lot de panses |
| 2022 | 2 | C | 3 | 201 | 201.02 | Céramique | 13 | 1 | | Céramique | Fond |
| 2022 | 2 | C | 3 | 201 | 201.02 | Céramique | 5 | 2 | | Céramique | Lot de bords |
| 2022 | 2 | C | 3 | 201 | 201.02 | Céramique | 9 | 1 | | Céramique | Jatte à bord rentrant, bord arrondi |
| 2022 | 2 | C | 3 | 201 | 201.02 | Céramique | 15 | 1 | | Céramique | Jatte à bord droit, bord triangulaire |

| Pré-inventaire du mobilier-Secteur 2 | | | | | | | | | | | |
|--------------------------------------|---------|--------------|---------------|-----------|--------|----------------------|-----------|-----|-----|------------|--|
| Année | Secteur | Code Matière | n° inventaire | Structure | US | Matériau | Masse (g) | NR | NMI | Type objet | Description |
| 2022 | 2 | C | 044045-1 | 201 | 201.03 | Céramique | 8,6 | 1 | 1 | Fusaïole | Fusaïole complète de forme conique de type II d3. |
| 2022 | 2 | C | 4 | 201 | 201.03 | Céramique | 175 | 14 | | Céramique | Ecuelle à épaulement haut, col court |
| 2022 | 2 | C | 4 | 201 | 201.03 | Céramique | 57 | 9 | | Céramique | Lot de panses |
| 2022 | 2 | C | 4 | 201 | 201.03 | Céramique | 10 | 3 | | Céramique | Lot de panses |
| 2022 | 2 | C | 4 | 201 | 201.03 | Céramique | 53 | 9 | | Céramique | Lot de panses |
| 2022 | 2 | C | 4 | 201 | 201.03 | Céramique | 3 | 1 | | Céramique | Panse |
| 2022 | 2 | C | 4 | 201 | 201.03 | Céramique | 79 | 9 | | Céramique | Lot de panses |
| 2022 | 2 | C | 4 | 201 | 201.03 | Céramique | 106 | 10 | | Céramique | Lot de panses |
| 2022 | 2 | C | 4 | 201 | 201.03 | Céramique | 14 | 4 | | Céramique | Lot de bords |
| 2022 | 2 | C | 4 | 201 | 201.03 | Céramique | 5 | 1 | | Céramique | Ecuelle ? |
| 2022 | 2 | C | 4 | 201 | 201.03 | Céramique | 7 | 1 | | Céramique | Coupe tronconique, bord aplati |
| 2022 | 2 | C | 4 | 201 | 201.03 | Céramique | 11 | 1 | | Céramique | Fond à pied creux droit |
| 2022 | 2 | C | 4 | 201 | 201.03 | Céramique | 11 | 1 | | Céramique | Jatte à bord rentrant, bord arrondi |
| 2022 | 2 | C | 4 | 201 | 201.03 | Céramique | 7 | 1 | | Céramique | Bord |
| 2022 | 2 | CP | 70 | 201 | 201.02 | Scorie/Paroi de four | 109 | 3 | 1 | Scorie | 1 culot multiple (1er SFR, 2e SGD). 1 fragment de paroi. 1 fragment de scorie coulée SGD. |
| 2022 | 2 | CP | 69 | 201 | 201.03 | Scorie/Paroi de four | 40 | 6 | 1 | Scorie | 1 petit culot SFR. 2 fragments de scorie SGD. 1 fragment de scorie SFR. 1 scorie informe SAS. 1 fragment de paroi. |
| 2022 | 2 | F | | 201 | 201.02 | Faune | 109 | 46 | | Faune | |
| 2022 | 2 | F | | 201 | 201.03 | Faune | 307 | 105 | | Faune | |
| 2022 | 2 | LI | 280 | 201 | 201.02 | Lithique | 8 | 1 | | débris | granite |
| 2022 | 2 | LI | 281 | 201 | 201.02 | Lithique | 14 | 1 | | débris | grès et conglomérat |
| 2022 | 2 | LI | 282 | 201 | 201.02 | Lithique | 39 | 1 | | débris | grès et conglomérat |
| 2022 | 2 | LI | 337 | 201 | 201.03 | Lithique | 31 | 1 | | p brute | calcaire |
| 2022 | 2 | LI | 338 | 201 | 201.03 | Lithique | 21 | 1 | | p brute | grès et conglomérat |
| 2022 | 2 | LI | 339 | 201 | 201.03 | Lithique | 5 | 1 | | débris | grès et conglomérat |
| 2022 | 2 | LI | 340 | 201 | 201.03 | Lithique | 8 | 1 | | débris | grès et conglomérat |
| 2022 | 2 | LI | 341 | 201 | 201.03 | Lithique | 25 | 1 | | débris | grès et conglomérat |

| Pré-inventaire du mobilier-Secteur 2 | | | | | | | | | | | |
|--------------------------------------|---------|--------------|---------------|-----------|--------|----------------------|-----------|----|-----|-------------------|---|
| Année | Secteur | Code Matière | n° inventaire | Structure | US | Matériau | Masse (g) | NR | NMI | Type objet | Description |
| 2022 | 2 | LI | 342 | 201 | 201.03 | Lithique | 27 | 3 | | débris | granite |
| 2022 | 2 | LI | 343 | 201 | 201.03 | Lithique | 29 | 3 | | débris | grès et conglomérat |
| 2022 | 2 | LI | 344 | 201 | 201.03 | Lithique | 96 | 1 | | débris | grès et conglomérat |
| 2022 | 2 | M | 044045-2 | 201 | 201.03 | Alliages cuivreux | 0,1 | 2 | 1 | Tôle | Fragment de tôle minuscule. |
| 2022 | 2 | M | 044045-3 | 201 | 201.03 | Alliages cuivreux | 0,6 | 2 | 1 | Scorie | Fragment de scorie de bronze. |
| 2022 | 2 | M | 044045-4 | 201 | 201.03 | Fer | 1,7 | 1 | 1 | Fibule : ardillon | Fragment de tige époincée de section circulaire : probable ardillon. |
| 2022 | 2 | MC | | 201 | 201.03 | Terre | 81 | 14 | | Terre à bâtir | |
| 2022 | 2 | C | 5 | 202 | 202.02 | Céramique | 26 | 4 | | Céramique | Lot de panses |
| 2022 | 2 | C | 5 | 202 | 202.02 | Céramique | 72 | 7 | | Céramique | Lot de panses |
| 2022 | 2 | C | 5 | 202 | 202.02 | Céramique | 6 | 2 | | Céramique | Lot de panses |
| 2022 | 2 | CP | 71 | 202 | 202.02 | Scorie/Paroi de four | 38 | 2 | 0 | Scorie | 1 fragment de scorie SGD, 1 scorie informe SFR potentiellement avec du métal. |
| 2022 | 2 | AMP | | 203 | 203.03 | Céramique | 67 | 5 | | | |
| 2022 | 2 | C | 6 | 203 | 203.03 | Céramique | | 1 | | Céramique | Fond plat |
| 2022 | 2 | C | 6 | 203 | 203.03 | Céramique | 304 | 7 | | Céramique | Lot de fonds plats |
| 2022 | 2 | C | 6 | 203 | 203.03 | Céramique | 68 | 6 | | Céramique | Lot de panses |
| 2022 | 2 | C | 6 | 203 | 203.03 | Céramique | 16 | 2 | | Céramique | Lot de panses |
| 2022 | 2 | C | 6 | 203 | 203.03 | Céramique | 328 | 38 | | Céramique | Lot de panses |
| 2022 | 2 | C | 6 | 203 | 203.03 | Céramique | 2 | 1 | | Céramique | Coupe tronconique/hémisphérique, bord aplati |
| 2022 | 2 | C | 6 | 203 | 203.03 | Céramique | 34 | 2 | | Céramique | Jatte à bord rentrant, bord arrondi |
| 2022 | 2 | C | 6 | 203 | 203.03 | Céramique | 8 | 2 | | Céramique | Ecuelle à épaulement haut, col droit, bord arrondi ou aplati |
| 2022 | 2 | C | 6 | 203 | 203.03 | Céramique | 6 | 1 | | Céramique | Ecuelle à épaulement ? |
| 2022 | 2 | C | 6 | 203 | 203.03 | Céramique | 34 | 1 | | Céramique | Pot à profil tronco-elliptique |
| 2022 | 2 | C | 6 | 203 | 203.03 | Céramique | 82 | 2 | | Céramique | Bouteille à épaulement |

| Pré-inventaire du mobilier-Secteur 2 | | | | | | | | | | | |
|--------------------------------------|---------|--------------|---------------|-----------|--------|----------------------|-----------|-----|-----|-----------------------------------|---|
| Année | Secteur | Code Matière | n° inventaire | Structure | US | Matériau | Masse (g) | NR | NMI | Type objet | Description |
| 2022 | 2 | CP | 67 | 203 | 203.03 | Scorie/Paroi de four | 440 | 21 | 2 | Scorie | 1 petit culot SFR pouvant contenir du métal et 1 fragment de culot SGD ; 3 scories informes SFR ; 6 fragments de parois ; 8 fragments de scories SGD (dont un mixte SFR/SGD) ; 2 fragments de scorie SFR (peut-être de culots). |
| 2022 | 2 | F | | 203 | 203.02 | Faune | 38 | 5 | | Faune | |
| 2022 | 2 | F | | 203 | 203.03 | Faune | 562 | 129 | | Faune | |
| 2022 | 2 | LI | 266 | 203 | 203.03 | Lithique | 109 | 1 | | molette | grès et conglomérat |
| 2022 | 2 | LI | 297 | 203 | 203.03 | Lithique | 13 | 1 | | débris | granite |
| 2022 | 2 | LI | 298 | 203 | 203.03 | Lithique | 9 | 1 | | p brute | grès et conglomérat |
| 2022 | 2 | LI | 299 | 203 | 203.03 | Lithique | 7 | 1 | | débris | granite |
| 2022 | 2 | LI | 300 | 203 | 203.03 | Lithique | 24 | 1 | | molette | grès et conglomérat |
| 2022 | 2 | LI | 301 | 203 | 203.03 | Lithique | 34 | 2 | | outil mouture indéterminé | granite |
| 2022 | 2 | M | 044045-5 | 203 | 203.03 | Alliages cuivreux | 1,4 | 2 | 1 | Agrafe de réparation de vaisselle | Tôle rectangulaire repliée sur elle-même et de section en T pour former une agrafe de réparation de récipient. |
| 2022 | 2 | M | 044045-6 | 203 | 203.03 | Alliages cuivreux | 0,8 | 1 | 1 | Crochet de chaussure | Pièce composée d'une tige de section circulaire terminée d'un oeillet déformé et par une autre extrémité bouletée : crochet de chaussure. |
| 2022 | 2 | M | 044045-7 | 203 | 203.03 | Fer | 32,4 | 3 | 3 | Chutes | Fragments de tiges plus ou moins massives ; probables chutes liées à la métallurgie du fer. |
| 2022 | 2 | M | 044045-8 | 203 | 203.03 | Alliages cuivreux | 0,2 | 1 | 1 | Bille de coulée | Bille de coulée. |
| 2022 | 2 | M | 044045-9 | 203 | 203.03 | Fer | 1,3 | 1 | 1 | Chute de tige | Fragment de tige de section rectangulaire dont le profil est déformé ; petite chute. |
| 2022 | 2 | M | 044045-10 | 203 | 203.03 | Fer | 1,8 | 1 | 1 | Fibule : arc | Fragment d'arc de section rectangulaire aplatie munie d'un décor de lignes incisées longitudinalement. Il manque le reste de la fibule de type F. |
| 2022 | 2 | C | 7 | 204 | 204.02 | Céramique | 18 | 4 | | Céramique | Lot de panses |
| 2022 | 2 | C | 7 | 204 | 204.02 | Céramique | 34 | 4 | | Céramique | Lot de panses |
| 2022 | 2 | C | 7 | 204 | 204.02 | Céramique | 4 | 1 | | Céramique | Ecuelle/Gobelet ? |
| 2022 | 2 | CP | 68 | 204 | 204.02 | Scorie/Paroi de four | 19 | 3 | 0 | Scorie | 1 scorie informe SFR ; 1 fragment de scorie SGD ; 1 fragment de paroi. |

| Pré-inventaire du mobilier-Secteur 2 | | | | | | | | | | | |
|--------------------------------------|---------|--------------|---------------|-----------|--------|----------------------|-----------|----|-----|---------------|---|
| Année | Secteur | Code Matière | n° inventaire | Structure | US | Matériau | Masse (g) | NR | NMI | Type objet | Description |
| 2022 | 2 | F | | 204 | 204.02 | Faune | 8 | 5 | | Faune | |
| 2022 | 2 | F | | 206 | 206.02 | Faune | 4 | 14 | | Faune | |
| 2022 | 2 | C | 8 | 208 | 208.02 | Céramique | 28 | 4 | | Céramique | Lot de panses |
| 2022 | 2 | C | 8 | 208 | 208.02 | Céramique | 42 | 2 | | Céramique | Lot de panses |
| 2022 | 2 | C | 8 | 208 | 208.02 | Céramique | 8 | 1 | | Céramique | Coupe hémisphérique profonde, bord aplati |
| 2022 | 2 | C | 8 | 208 | 208.02 | Céramique | 14 | 1 | | Céramique | Jatte à bord rentrant, bord arrondi |
| 2022 | 2 | C | 9 | 208 | 208.02 | Céramique | 78 | 1 | | Céramique | Panse, élément de préhension néolithique |
| 2022 | 2 | CP | 73 | 208 | 208.02 | Scorie/Paroi de four | 60 | 4 | 1 | Scorie | 1 culot SAS. 2 scories informes SFR et 1 SGD. |
| 2022 | 2 | F | | 208 | 208.02 | Faune | 105 | 14 | | Faune | |
| 2022 | 2 | M | 044045-11 | 208 | 208.02 | Fer | 4,4 | 1 | 1 | Alène | Fragment de tige de section rectangulaire dont le profil est déformé et dont l'une des extrémités est épointée pour former une soie. L'autre extrémité est renforcée de section carrée : alène. |
| 2022 | 2 | M | 044045-12 | 208 | 208.02 | Alliages cuivreux | 0,3 | 1 | 1 | Scorie | Fragment de scorie de bronze. |
| 2022 | 2 | MC | | 208 | 208.02 | Terre | 40 | 3 | | Terre à bâtir | |
| 2022 | 2 | AMP | | 210 | 210.02 | Céramique | 48 | 2 | | | |
| 2022 | 2 | AMP | | 210 | 210.02 | Céramique | 39 | 4 | | | |
| 2022 | 2 | C | 11 | 210 | 210.02 | Céramique | 136 | 8 | | Céramique | Lot de panses |
| 2022 | 2 | C | 11 | 210 | 210.02 | Céramique | 20 | 1 | | Céramique | Panse |
| 2022 | 2 | C | 11 | 210 | 210.02 | Céramique | 4 | 1 | | Céramique | Fond plat |
| 2022 | 2 | C | 11 | 210 | 210.02 | Céramique | 26 | 1 | | Céramique | Panse |
| 2022 | 2 | C | 11 | 210 | 210.02 | Céramique | 38 | 1 | | Céramique | Panse |
| 2022 | 2 | C | 12 | 210 | 210.02 | Céramique | 5 | 1 | | Céramique | Panse, épaulement |
| 2022 | 2 | C | 12 | 210 | 210.02 | Céramique | 65 | 9 | | Céramique | Lot de panses |
| 2022 | 2 | C | 12 | 210 | 210.02 | Céramique | 84 | 10 | | Céramique | Lot de panses |
| 2022 | 2 | C | 12 | 210 | 210.02 | Céramique | 58 | 3 | | Céramique | Lot de panses |
| 2022 | 2 | C | 12 | 210 | 210.02 | Céramique | 30 | 2 | | Céramique | Lot de fonds plats |
| 2022 | 2 | C | 12 | 210 | 210.02 | Céramique | 18 | 2 | | Céramique | Pot ? |

| Pré-inventaire du mobilier-Secteur 2 | | | | | | | | | | | |
|--------------------------------------|---------|--------------|---------------|-----------|--------|----------------------|-----------|----|-----|------------|--|
| Année | Secteur | Code Matière | n° inventaire | Structure | US | Matériau | Masse (g) | NR | NMI | Type objet | Description |
| 2022 | 2 | C | 12 | 210 | 210.02 | Céramique | 24 | 1 | | Céramique | Jatte à bord rentrant, bord biseauté |
| 2022 | 2 | C | 13 | 210 | 210.02 | Céramique | | | | Céramique | Panse ? |
| 2022 | 2 | C | 13 | 210 | 210.02 | Céramique | 30 | 5 | | Céramique | Lot de panses |
| 2022 | 2 | C | 13 | 210 | 210.02 | Céramique | 6 | 1 | | Céramique | Panse |
| 2022 | 2 | C | 14 | 210 | 210.02 | Céramique | 21 | 4 | | Céramique | Lot de panses |
| 2022 | 2 | C | 14 | 210 | 210.02 | Céramique | 36 | 5 | | Céramique | Lot de panses |
| 2022 | 2 | C | 14 | 210 | 210.02 | Céramique | 82 | 2 | | Céramique | Lot de panses |
| 2022 | 2 | C | 14 | 210 | 210.02 | Céramique | 96 | 1 | | Céramique | Fond plat |
| 2022 | 2 | C | 14 | 210 | 210.02 | Céramique | 2 | 1 | | Céramique | Bord jatte triangulaire |
| 2022 | 2 | C | 15 | 210 | 210.03 | Céramique | 41 | 2 | | Céramique | Lot de panses |
| 2022 | 2 | C | 16 | 210 | 210.03 | Céramique | 9 | 2 | | Céramique | Lot de panses |
| 2022 | 2 | C | 16 | 210 | 210.03 | Céramique | 12 | 1 | | Céramique | Fond plat |
| 2022 | 2 | C | 17 | 210 | 210.03 | Céramique | 8 | 2 | | Céramique | Lot de panses |
| 2022 | 2 | C | 17 | 210 | 210.03 | Céramique | 81 | 3 | | Céramique | Lot de panses |
| 2022 | 2 | C | 20 | 210 | 210.03 | Céramique | 14 | 1 | | Céramique | Panse |
| 2022 | 2 | C | 18 | 210 | 210.04 | Céramique | 77 | 4 | | Céramique | Lot de panses et éclats thermiques |
| 2022 | 2 | C | 19 | 210 | 210.04 | Céramique | 198 | 2 | | Céramique | Lot de panses |
| 2022 | 2 | C | 19 | 210 | 210.04 | Céramique | 47 | 1 | | Céramique | Fond à pied creux droit |
| 2022 | 2 | C | 18 | 210 | 210.05 | Céramique | 20 | 1 | | Céramique | Jatte |
| 2022 | 2 | CP | 74 | 210 | 210.02 | Scorie/Paroi de four | 667 | 68 | 3 | Scorie | Q N-E : 3 culots SAS, 13 fragments de parois, 3 scories informes SAS et 4 SFR, 6 fragments de scories SFR, 18 SGD et 21 SAS. (Chute de métal mis a part) |
| 2022 | 2 | CP | 75 | 210 | 210.02 | Scorie/Paroi de four | 222 | 18 | 2 | Scorie | Q S-O : 1 culot SFR, 1 SGD avec une surepaisseur SAS, 2 fragments de parois, 1 scorie informe SAS, 1 fragment de scorie SFR et 12 fragments de SGD. |
| 2022 | 2 | CP | 76 | 210 | 210.02 | Scorie/Paroi de four | 500 | 31 | 3 | Scorie | Q N-O : 1 culot SAS, 2 culot SGD dont 1 avec surepaisseur SAS, 8 fragments de parois, 3 scories informes SFR, 2 SAS et 2 SGD, 4 fragments de scories SAS, 9 SGD. |

| Pré-inventaire du mobilier-Secteur 2 | | | | | | | | | | | |
|--------------------------------------|---------|--------------|---------------|-----------|--------|----------------------|-----------|----|-----|------------|---|
| Année | Secteur | Code Matière | n° inventaire | Structure | US | Matériau | Masse (g) | NR | NMI | Type objet | Description |
| 2022 | 2 | CP | 77 | 210 | 210.02 | Scorie/Paroi de four | 950 | 76 | 3 | Scorie | Q S-E : 1 culot SFR, 2 culot à priori SGD (concrétion), 18 fragments de parois, 15 scories informe SFR, 4 SGD, 6 SAS, 14 fragments SGD, 16 SAS. |
| 2022 | 2 | CP | 78 | 210 | 210.03 | Scorie/Paroi de four | 170 | 19 | 0 | Scorie | Q N-O : 3 fragments de parois, 2 scories informes SAS, 3 fragments de scories SFR, 9 SGD, 2 SAS. |
| 2022 | 2 | CP | 79 | 210 | 210.03 | Scorie/Paroi de four | 50 | 10 | 0 | Scorie | Q N-E : 2 fragments de paroi, 3 fragments de scories SGD, 5 SFR. |
| 2022 | 2 | CP | 80 | 210 | 210.03 | Scorie/Paroi de four | 214 | 15 | 1 | Scorie | Q S-E : 1 culot SGD avec surepaisseur SAS et paroi associée, 1 fragment de paroi, 1 scorie informe SGD, 3 SFR, 1 SAS, 2 fragment de scorie SGD, 4 SAS |
| 2022 | 2 | CP | 81 | 210 | 210.03 | Scorie/Paroi de four | 358 | 13 | 2 | Scorie | Q S-O : 1 culot à priori SFR (concrétion), 1 SGD, 4 fragments de scories SGD, 5 SAS, 2 fragments de paroi |
| 2022 | 2 | F | | 210 | 210.02 | Faune | 456 | 30 | | Faune | |
| 2022 | 2 | F | | 210 | 210.02 | Faune | 46 | 11 | | Faune | |
| 2022 | 2 | F | | 210 | 210.02 | Faune | 22 | 8 | | Faune | |
| 2022 | 2 | F | | 210 | 210.02 | Faune | 69 | 7 | | Faune | |
| 2022 | 2 | F | | 210 | 210.02 | Faune | 41 | 4 | | Faune | |
| 2022 | 2 | F | | 210 | 210.02 | Faune | 9 | 4 | | Faune | |
| 2022 | 2 | F | | 210 | 210.02 | Faune | 54 | 11 | | Faune | |
| 2022 | 2 | F | | 210 | 210.02 | Faune | 13 | 6 | | Faune | |
| 2022 | 2 | F | | 210 | 210.02 | Faune | 8 | 4 | | Faune | |
| 2022 | 2 | F | | 210 | 210.03 | Faune | 25 | 4 | | Faune | |
| 2022 | 2 | F | | 210 | 210.03 | Faune | 225 | 25 | | Faune | |
| 2022 | 2 | F | | 210 | 210.03 | Faune | 19 | 14 | | Faune | |
| 2022 | 2 | F | | 210 | 210.04 | Faune | 130 | 5 | | Faune | |
| 2022 | 2 | LI | 269 | 210 | 210.02 | Lithique | 207 | 3 | | écl | grès et conglomérat |
| 2022 | 2 | LI | 360 | 210 | 210.02 | Lithique | 4 | 1 | | écl | autre |
| 2022 | 2 | LI | 361 | 210 | 210.02 | Lithique | 9 | 1 | | écl | autre |
| 2022 | 2 | LI | 362 | 210 | 210.02 | Lithique | 4 | 1 | | débris | grès et conglomérat |
| 2022 | 2 | LI | 316 | 210 | 210.02 | Lithique | 62 | 1 | | écl | granite |

| Pré-inventaire du mobilier-Secteur 2 | | | | | | | | | | | |
|--------------------------------------|---------|--------------|---------------|-----------|--------|----------------------|-----------|----|-----|---------------------------|--|
| Année | Secteur | Code Matière | n° inventaire | Structure | US | Matériau | Masse (g) | NR | NMI | Type objet | Description |
| 2022 | 2 | LI | 387 | 210 | 210.02 | Lithique | 39 | 1 | | outil indéterminé | |
| 2022 | 2 | LI | 293 | 210 | 210.02 | Lithique | 1 | 1 | | p brute | grès et conglomérat |
| 2022 | 2 | LI | 333 | 210 | 210.02 | Lithique | 216 | 7 | | écl | grès et conglomérat |
| 2022 | 2 | LI | 353 | 210 | 210.02 | Lithique | 3,8 | 1 | | outil mouture indéterminé | grès et conglomérat |
| 2022 | 2 | LI | 275 | 210 | 210.03 | Lithique | 95 | 1 | | débris | grès et conglomérat |
| 2022 | 2 | LI | 276 | 210 | 210.03 | Lithique | 219 | 1 | | percuteur | grès et conglomérat |
| 2022 | 2 | LI | 287 | 210 | 210.03 | Lithique | 3 | 1 | | écl | autre |
| 2022 | 2 | LI | 288 | 210 | 210.03 | Lithique | 17 | 1 | | p brute | grès et conglomérat |
| 2022 | 2 | LI | 289 | 210 | 210.03 | Lithique | 26 | 1 | | débris | grès et conglomérat |
| 2022 | 2 | M | 044045-14 | 210 | 210.02 | Alliages cuivreux | 5,2 | 1 | 1 | Reste de coulée | Reste de coulée dont la morphologie indique qu'il a été versé dans un récipient allongé (lingotière?) |
| 2022 | 2 | M | 044045-15 | 210 | 210.02 | Fer | 10,2 | 2 | 2 | Chute et lame | Un fragment de chutes de section rectangulaire avec de probables traces de découpe et déformation et un fragment de lame de section triangulaire. |
| 2022 | 2 | M | 044045-16 | 210 | 210.02 | Fer | 11,6 | 2 | 2 | Chute | Deux fragments de chutes de section rectangulaire avec de probables traces de découpe et déformation. Scorifiées. |
| 2022 | 2 | M | 044045-13 | 210 | 210.03 | Fer | 19,7 | 1 | 1 | Couteau | Fragment de lame de section triangulaire dont le dos est rectiligne prolongé d'un plat destiné à accueillir les plaquettes du manche. Il manque l'autre extrémité. |
| 2022 | 2 | M | 044045-17 | 210 | 210.03 | Fer | 29,0 | 2 | 2 | Chute | Deux fragments de chutes de section rectangulaire avec de probables traces de découpe et déformation. L'une dispose d'un petit tenon. |
| 2022 | 2 | MC | | 210 | 210.02 | Terre | 33 | 1 | 1 | Terre à bâtir | |
| 2022 | 2 | MC | | 210 | 210.02 | Terre | 2 | 1 | 1 | Terre à bâtir | |
| 2022 | 2 | MC | | 210 | 210.02 | Terre | 18 | 1 | 1 | Terre à bâtir | |
| 2022 | 2 | MC | | 210 | 210.03 | Terre | 6 | 2 | | Terre à bâtir | |
| 2022 | 2 | MC | | 210 | 210.04 | Terre | 113 | 1 | 1 | Terre à bâtir | |
| 2022 | 2 | CP | 83 | 212 | 212.02 | Scorie/Paroi de four | 313 | 7 | 1 | Scorie | 1 fragment de culot SGD. 3 fragments de scories SAS, 3 SGD. (FAIT ANNULE) |
| 2022 | 2 | F | | 212 | 212.02 | Faune | 271 | 52 | | Faune | |

| Pré-inventaire du mobilier-Secteur 2 | | | | | | | | | | | |
|--------------------------------------|---------|--------------|---------------|-----------|--------|-----------|-----------|-----|-----|-----------------|---|
| Année | Secteur | Code Matière | n° inventaire | Structure | US | Matériau | Masse (g) | NR | NMI | Type objet | Description |
| 2022 | 2 | LI | 283 | 212 | 212.02 | Lithique | 2 | 1 | | débris | granite |
| 2022 | 2 | LI | 284 | 212 | 212.02 | Lithique | 37 | 1 | | p brute | grès et conglomérat |
| 2022 | 2 | MC | | 212 | 212.02 | Terre | 35 | 7 | | Terre à bâtir | |
| 2022 | 2 | AMP | | 214 | 214.02 | Céramique | 39 | 3 | | | |
| 2022 | 2 | C | 044045-4 | 214 | 214.02 | Céramique | 10,4 | 1 | 1 | Balle de fronde | Fragment de balle de fronde de forme biconique, qui semble avoir été découpée de façon nette. |
| 2022 | 2 | C | 044045-5 | 214 | 214.02 | Céramique | 11,6 | 1 | 1 | Moule | Fragment de moule formant un boudin de section en D avec une face interne très noire/grise et une face externe orangée. Aucune empreinte n'est conservée. |
| 2022 | 2 | C | 044045-3 | 214 | 214.02 | Céramique | 14,8 | 1 | 1 | Fusaiole | Fusaiole complète de forme discoïde à paroi arrondie de type I b2. |
| 2022 | 2 | C | 21 | 214 | 214.02 | Céramique | 73 | 11 | | Céramique | Lot de panses |
| 2022 | 2 | C | 22 | 214 | 214.02 | Céramique | 73 | 4 | | Céramique | Lot de panses |
| 2022 | 2 | C | 22 | 214 | 214.02 | Céramique | 8 | 2 | | Céramique | Lot de panses |
| 2022 | 2 | C | 22 | 214 | 214.02 | Céramique | 4 | 1 | | Céramique | Panse |
| 2022 | 2 | C | 22 | 214 | 214.02 | Céramique | 80 | 15 | | Céramique | Lot de panses |
| 2022 | 2 | C | 22 | 214 | 214.02 | Céramique | 10 | | | Céramique | Fond plat |
| 2022 | 2 | C | 22 | 214 | 214.02 | Céramique | 15 | 2 | | Céramique | Écuelle à épaulement haut, col droit, bord aplati |
| 2022 | 2 | C | 22 | 214 | 214.02 | Céramique | 11 | 2 | | Céramique | Jatte à bord rentrant, bord arrondi |
| 2022 | 2 | C | 22 | 214 | 214.02 | Céramique | 4 | 1 | | Céramique | Coupe hémisphérique, bord aplati |
| 2022 | 2 | C | 22 | 214 | 214.02 | Céramique | 8 | 1 | | Céramique | Jatte à ressaut haut |
| 2022 | 2 | C | 23 | 214 | 214.02 | Céramique | 1013 | 146 | | Céramique | Lot de panses |
| 2022 | 2 | C | 23 | 214 | 214.02 | Céramique | 345 | 29 | | Céramique | Lot de panses |
| 2022 | 2 | C | 23 | 214 | 214.02 | Céramique | 7 | 2 | | Céramique | Bord arrondi |
| 2022 | 2 | C | 23 | 214 | 214.02 | Céramique | 12 | 3 | | Céramique | Jatte à bord rentrant, bord arrondi |
| 2022 | 2 | C | 23 | 214 | 214.02 | Céramique | 6 | 1 | | Céramique | Jatte à bord rentrant, bord triangulaire |
| 2022 | 2 | C | 23 | 214 | 214.02 | Céramique | 7 | 1 | | Céramique | Écuelle carénée, col court, bord triangulaire |
| 2022 | 2 | C | 23 | 214 | 214.02 | Céramique | 11 | 3 | | Céramique | Lot de panses |
| 2022 | 2 | C | 23 | 214 | 214.02 | Céramique | 38 | 3 | | Céramique | Lot de fonds plats |

| Pré-inventaire du mobilier-Secteur 2 | | | | | | | | | | | |
|--------------------------------------|---------|--------------|---------------|-----------|--------|-----------|-----------|----|-----|------------|--|
| Année | Secteur | Code Matière | n° inventaire | Structure | US | Matériau | Masse (g) | NR | NMI | Type objet | Description |
| 2022 | 2 | C | 23 | 214 | 214.02 | Céramique | 27 | 1 | | Céramique | Panse |
| 2022 | 2 | C | 23 | 214 | 214.02 | Céramique | 8 | 2 | | Céramique | Panse |
| 2022 | 2 | C | 23 | 214 | 214.02 | Céramique | 4 | 1 | | Céramique | Fragment fond annulaire |
| 2022 | 2 | C | 23 | 214 | 214.02 | Céramique | 10 | 1 | | Céramique | Panse |
| 2022 | 2 | C | 23 | 214 | 214.02 | Céramique | 55 | 6 | | Céramique | Lot de panses |
| 2022 | 2 | C | 23 | 214 | 214.02 | Céramique | 8 | 1 | | Céramique | Panse |
| 2022 | 2 | C | 23 | 214 | 214.02 | Céramique | 64 | 2 | | Céramique | Lot de panses |
| 2022 | 2 | C | 23 | 214 | 214.02 | Céramique | 27 | 5 | | Céramique | Lot de bords arrondis |
| 2022 | 2 | C | 23 | 214 | 214.02 | Céramique | 11 | 1 | | Céramique | Ecuelle à épaulement médian, col droit, bord arrondi |
| 2022 | 2 | C | 23 | 214 | 214.02 | Céramique | 20 | 2 | | Céramique | Jatte à bord rentrant, bord arrondi |
| 2022 | 2 | C | 23 | 214 | 214.02 | Céramique | 17 | 1 | | Céramique | Gobelet a profil sinueux, bord aplati |
| 2022 | 2 | C | 23 | 214 | 214.02 | Céramique | 30 | 2 | | Céramique | Fond annulaire bouteille |
| 2022 | 2 | C | 23 | 214 | 214.02 | Céramique | 13 | 1 | | Céramique | Ecuelle à épaulement, bord aplati |
| 2022 | 2 | C | 23 | 214 | 214.02 | Céramique | 101 | 3 | | Céramique | Jatte à bord rentrant, bord arrondi |
| 2022 | 2 | C | 24 | 214 | 214.03 | Céramique | 177 | 4 | | Céramique | Lot de panses |
| 2022 | 2 | C | 24 | 214 | 214.03 | Céramique | 11 | 2 | | Céramique | Lot de panses |
| 2022 | 2 | C | 25 | 214 | 214.03 | Céramique | 160 | 8 | | Céramique | Lot de panses |
| 2022 | 2 | C | 25 | 214 | 214.03 | Céramique | 4 | 1 | | Céramique | Panse |
| 2022 | 2 | C | 25 | 214 | 214.03 | Céramique | 112 | 14 | | Céramique | Lot de panses |
| 2022 | 2 | C | 25 | 214 | 214.03 | Céramique | 38 | 1 | | Céramique | Panse, épaulement |
| 2022 | 2 | C | 25 | 214 | 214.03 | Céramique | 48 | 4 | | Céramique | Lot de fonds plats |
| 2022 | 2 | C | 25 | 214 | 214.03 | Céramique | 46 | 2 | | Céramique | Lot de panse et bord arrondi |
| 2022 | 2 | C | 25 | 214 | 214.03 | Céramique | 2 | 1 | | Céramique | Ecuelle à épaulement, bord aplati |
| 2022 | 2 | C | 25 | 214 | 214.03 | Céramique | 10 | 2 | | Céramique | Lot de bords arrondis |
| 2022 | 2 | C | 25 | 214 | 214.03 | Céramique | 11 | 1 | | Céramique | Jatte à bord rentrant, bord arrondi |
| 2022 | 2 | C | 25 | 214 | 214.03 | Céramique | 9 | 1 | | Céramique | Jatte à bord rentrant, bord biseauté |
| 2022 | 2 | C | 26 | 214 | 214.03 | Céramique | 290 | 13 | | Céramique | Lot de panses |
| 2022 | 2 | C | 26 | 214 | 214.03 | Céramique | 88 | 1 | | Céramique | Pot, bord arrondi |

| Pré-inventaire du mobilier-Secteur 2 | | | | | | | | | | | |
|--------------------------------------|---------|--------------|---------------|-----------|--------|----------------------|-----------|-----|-----|------------|---|
| Année | Secteur | Code Matière | n° inventaire | Structure | US | Matériau | Masse (g) | NR | NMI | Type objet | Description |
| 2022 | 2 | C | 26 | 214 | 214.03 | Céramique | 29 | 1 | | Céramique | Panse |
| 2022 | 2 | C | 26 | 214 | 214.03 | Céramique | 6 | 2 | | Céramique | Lot de panses |
| 2022 | 2 | C | 27 | 214 | 214.03 | Céramique | 23 | 2 | | Céramique | Lot de panses |
| 2022 | 2 | C | 28 | 214 | 214.04 | Céramique | 5 | 1 | | Céramique | Ecuelle à épaulement haut, col droit, bord arrondi |
| 2022 | 2 | C | 28 | 214 | 214.04 | Céramique | 6 | 1 | | Céramique | Jatte à bord rentrant, bord arrondi |
| 2022 | 2 | C | 28 | 214 | 214.04 | Céramique | 19 | 1 | | Céramique | Fond plat |
| 2022 | 2 | C | 28 | 214 | 214.04 | Céramique | 85 | 10 | | Céramique | Lot de panses |
| 2022 | 2 | C | 28 | 214 | 214.04 | Céramique | 60 | 4 | | Céramique | Lot de panses |
| 2022 | 2 | C | 29 | 214 | 214.04 | Céramique | 140 | 7 | | Céramique | Lot de panses |
| 2022 | 2 | C | 29 | 214 | 214.04 | Céramique | 22 | 2 | | Céramique | Bord, production chalonnaise |
| 2022 | 2 | C | 29 | 214 | 214.04 | Céramique | 60 | 1 | | Céramique | Fond plat |
| 2022 | 2 | C | 29 | 214 | 214.04 | Céramique | 3 | 1 | | Céramique | Fond annulaire ? |
| 2022 | 2 | C | 29 | 214 | 214.04 | Céramique | 3 | 2 | | Céramique | Bord aplati |
| 2022 | 2 | C | 29 | 214 | 214.04 | Céramique | 254 | 24 | | Céramique | Lot de panses |
| 2022 | 2 | CP | 84 | 214 | 214.02 | Scorie/Paroi de four | 304 | 18 | 2 | Scorie | Q-N-O : 1 culot SGD et 1 culot indéterminé (concrétion) avec de la paroi associée. 4 fragments de scories SAS, 4 SFR, 8 SGD |
| 2022 | 2 | CP | 85 | 214 | 214.02 | Scorie/Paroi de four | 125 | 4 | 1 | Scorie | Q-S-E : 1 culot indéterminé (concrétion). 1 fragment de scorie SFR et 2 indéterminée |
| 2022 | 2 | CP | 86 | 214 | 214.03 | Scorie/Paroi de four | 529 | 4 | 1 | Scorie | Q-S-E : 1 culot indéterminé (concrétion). 1 fragment de paroi. 1 fragment de scorie SGD et 1 indéterminée |
| 2022 | 2 | CP | 87 | 214 | 214.03 | Scorie/Paroi de four | 10 | 3 | | Scorie | Q-N-E : 2 fragments de parois et 1 fragment de scorie SAS. |
| 2022 | 2 | CP | 88 | 214 | 214.04 | Scorie/Paroi de four | 114 | 4 | | Scorie | 1 fragment de scorie SGD , 3 de SAS |
| 2022 | 2 | F | | 214 | 214.02 | Faune | 1247 | 186 | | Faune | |
| 2022 | 2 | F | | 214 | 214.02 | Faune | 66 | 19 | | Faune | |
| 2022 | 2 | F | | 214 | 214.02 | Faune | 292 | 46 | | Faune | |
| 2022 | 2 | F | | 214 | 214.03 | Faune | 355 | 30 | | Faune | |
| 2022 | 2 | F | | 214 | 214.03 | Faune | 7 | 2 | | Faune | |
| 2022 | 2 | F | | 214 | 214.03 | Faune | 19 | 6 | | Faune | |

| Pré-inventaire du mobilier-Secteur 2 | | | | | | | | | | | |
|--------------------------------------|---------|--------------|---------------|-----------|--------|-------------------|-----------|----|-----|---------------------------|---|
| Année | Secteur | Code Matière | n° inventaire | Structure | US | Matériau | Masse (g) | NR | NMI | Type objet | Description |
| 2022 | 2 | F | | 214 | 214.04 | Faune | 258 | 38 | | Faune | |
| 2022 | 2 | F | | 214 | 214.04 | Faune | 151 | 32 | | Faune | |
| 2022 | 2 | LI | 264 | 214 | 214.02 | Lithique | 61 | 1 | | molette | grès et conglomérat |
| 2022 | 2 | LI | 277 | 214 | 214.02 | Lithique | 24 | 1 | | débris | grès et conglomérat |
| 2022 | 2 | LI | 278 | 214 | 214.02 | Lithique | 33 | 1 | | débris | grès et conglomérat |
| 2022 | 2 | LI | 365 | 214 | 214.02 | Lithique | 25 | 1 | | p brute | grès et conglomérat |
| 2022 | 2 | LI | 295 | 214 | 214.02 | Lithique | 3 | 1 | | débris | grès et conglomérat |
| 2022 | 2 | LI | 296 | 214 | 214.02 | Lithique | 16 | 2 | | débris | grès et conglomérat |
| 2022 | 2 | LI | 345 | 214 | 214.02 | Lithique | 24 | 1 | | p brute | grès et conglomérat |
| 2022 | 2 | LI | 346 | 214 | 214.02 | Lithique | 36 | 1 | | p brute | grès et conglomérat |
| 2022 | 2 | LI | 347 | 214 | 214.02 | Lithique | 18 | 1 | | débris | grès et conglomérat |
| 2022 | 2 | LI | 348 | 214 | 214.02 | Lithique | 45 | 1 | | débris | granite |
| 2022 | 2 | LI | 349 | 214 | 214.02 | Lithique | 79 | 2 | | débris | grès et conglomérat |
| 2022 | 2 | LI | 350 | 214 | 214.02 | Lithique | 86 | 1 | | débris | grès et conglomérat |
| 2022 | 2 | LI | 351 | 214 | 214.02 | Lithique | 95 | 3 | | outil mouture indéterminé | grès et conglomérat |
| 2022 | 2 | LI | 352 | 214 | 214.02 | Lithique | 36 | 1 | | outil mouture indéterminé | grès et conglomérat |
| 2022 | 2 | LI | 279 | 214 | 214.03 | Lithique | 46 | 1 | | p brute | grès et conglomérat |
| 2022 | 2 | LI | 364 | 214 | 214.03 | Lithique | 13 | 1 | | débris | grès et conglomérat |
| 2022 | 2 | LI | 314 | 214 | 214.04 | Lithique | 9 | 1 | | p brute | grès et conglomérat |
| 2022 | 2 | LI | 370 | 214 | 214.04 | Lithique | 27 | 1 | | outil mouture indéterminé | grès et conglomérat |
| 2022 | 2 | LI | 363 | 214 | 214.04 | Lithique | 26 | 1 | | débris | granite |
| 2022 | 2 | M | 044045-18 | 214 | 214.02 | Fer | 2,2 | 1 | 1 | Chute | Chute de tige bien carrée avec une trace de découpe à l'une de ses extrémités. |
| 2022 | 2 | M | 044045-19 | 214 | 214.02 | Fer | 6,2 | 1 | 1 | Chute de barre | Fragment de barre de section rectangulaire en D dont une extrémité semble aplatie et comporte la trace de la pince. L'autre extrémité est découpée. |
| 2022 | 2 | M | 044045-20 | 214 | 214.02 | Alliages cuivreux | 6,7 | 2 | 2 | Déchet de coulée | Deux fragments de déchets de déchets de coulée dont un tré fin. |

| Pré-inventaire du mobilier-Secteur 2 | | | | | | | | | | | |
|--------------------------------------|---------|--------------|---------------|-----------|--------|----------------------|-----------|----|-----|--------------------------------|---|
| Année | Secteur | Code Matière | n° inventaire | Structure | US | Matériau | Masse (g) | NR | NMI | Type objet | Description |
| 2022 | 2 | M | 044045-21 | 214 | 214.02 | Fer | 4,8 | 1 | 1 | Chute | Fragment de tige de section rectangulaire dont le profil est déformé : petite chute. |
| 2022 | 2 | M | 044045-22 | 214 | 214.02 | Fer | 5,3 | 1 | 1 | Ciselet | Fragment d'outil composé d'une douille fragmentée, prolongée d'un plat de section rectangulaire qui s'affine légèrement à son extrémité formant un tranchant large et légèrement creusé : pour le travail de la tôle (ciselet). |
| 2022 | 2 | M | 044045-23 | 214 | 214.03 | Fer | 5,7 | 2 | 1 | Fibule en cours de fabrication | Fragment de tige qui semble incisée longitudinalement pour former l'ébauche d'un porte-ardillon prolongé d'une extrémité plus massive de section en D : fibule en cours de fabrication. |
| 2022 | 2 | MC | | 214 | 214.02 | Terre | 20 | 3 | | Terre à bâtir | |
| 2022 | 2 | MC | | 214 | 214.02 | Terre | 229 | 19 | | Terre à bâtir | |
| 2022 | 2 | MC | | 214 | 214.03 | Terre | 44 | 1 | 1 | Terre à bâtir | |
| 2022 | 2 | LI | 372 | 216 | 216.02 | Lithique | 6 | 1 | | débris | grès et conglomérat |
| 2022 | 2 | LI | 373 | 216 | 216.02 | Lithique | 57 | 1 | | outil mouture indéterminé | grès et conglomérat |
| 2022 | 2 | C | 30 | 218 | 218.02 | Céramique | 41 | 9 | | Céramique | Lot de panses |
| 2022 | 2 | C | 32 | 219 | 219.02 | Céramique | 35 | 3 | | Céramique | Lot de panses |
| 2022 | 2 | C | 32 | 219 | 219.02 | Céramique | 76 | 13 | | Céramique | Lot de panses |
| 2022 | 2 | C | 32 | 219 | 219.02 | Céramique | 5 | 1 | | Céramique | Panse. Forme segmentée, col déversé. |
| 2022 | 2 | CP | 89 | 219 | 219.02 | Scorie/Paroi de four | 700 | | 3 | Scorie | 3 culots SFR (dont 1 avec beaucoup de concrétion). 3 fragments SGD, 1 SAS. |
| 2022 | 2 | F | | 219 | 219.02 | Faune | 420 | 45 | | Faune | |
| 2022 | 2 | LI | 325 | 219 | 219.02 | Lithique | 128 | 1 | | p brute | grès et conglomérat |
| 2022 | 2 | LI | 326 | 219 | 219.02 | Lithique | 58 | 1 | | débris | grès et conglomérat |
| 2022 | 2 | LI | 327 | 219 | 219.02 | Lithique | 54 | 1 | | outil mouture indéterminé | grès et conglomérat |
| 2022 | 2 | C | 33 | 226 | 226.02 | Céramique | 11 | 1 | | Céramique | Panse |
| 2022 | 2 | C | 33 | 226 | 226.02 | Céramique | 35 | 6 | | Céramique | Pot sinueux, bord impressionné |
| 2022 | 2 | M | 044045-24 | 226 | 226.02 | Alliages cuivreux | 0,7 | 1 | 1 | Scorie | Fragment de scorie de bronze. |
| 2022 | 2 | C | 34 | 227 | 227.02 | Céramique | 12 | 3 | | Céramique | Lot de panses |

| Pré-inventaire du mobilier-Secteur 2 | | | | | | | | | | | |
|--------------------------------------|---------|--------------|---------------|-----------|--------|----------------------|-----------|----|-----|---------------|---|
| Année | Secteur | Code Matière | n° inventaire | Structure | US | Matériau | Masse (g) | NR | NMI | Type objet | Description |
| 2022 | 2 | F | | 227 | 227.02 | Faune | 4 | 1 | | Faune | |
| 2022 | 2 | LI | 382 | 227 | 227.02 | Lithique | 95 | 1 | | p brute | grès et conglomérat |
| 2022 | 2 | LI | 383 | 227 | 227.02 | Lithique | 98 | 1 | | débris | grès et conglomérat |
| 2022 | 2 | MC | | 227 | 227.02 | Terre | 77 | 5 | | Terre à bâtir | |
| 2022 | 2 | C | 044045-2 | 228 | 228.02 | Céramique | 5,4 | 1 | 1 | Fusaiole | Fragment de fusaiole de forme tronconique carénée à paroi rectiligne de type II C2. |
| 2022 | 2 | C | 35 | 228 | 228.02 | Céramique | 3 | 1 | | Céramique | Ecuelle ? |
| 2022 | 2 | C | 35 | 228 | 228.02 | Céramique | 2 | 1 | | Céramique | Panse |
| 2022 | 2 | C | 35 | 228 | 228.02 | Céramique | 14 | 1 | | Céramique | Coupe hémisphérique, bord aplati |
| 2022 | 2 | F | | 228 | 228.02 | Faune | 148 | 78 | | Faune | |
| 2022 | 2 | MC | | 228 | 228.02 | Terre | 14 | 4 | | Terre à bâtir | |
| 2022 | 2 | C | 37 | 229 | 229.02 | Céramique | 3 | 1 | | Céramique | Bord arrondi |
| 2022 | 2 | C | 37 | 229 | 229.02 | Céramique | 32 | 2 | | Céramique | Lot de panses |
| 2022 | 2 | CP | 92 | 229 | 229.02 | Scorie/Paroi de four | 53 | 1 | 1 | Scorie | Nettoyage : 1 culot SFR |
| 2022 | 2 | CP | 91 | 229 | 229.02 | Scorie/Paroi de four | 4 | 1 | | Scorie | 1 fragment de scorie " de bronze" |
| 2022 | 2 | F | | 229 | 229.02 | Faune | 19 | 1 | | Faune | |
| 2022 | 2 | M | 044045-25 | 229 | 229.02 | Fer | 6,5 | 1 | 1 | Chute ? | Pièce de forme triangulaire de section rectangulaire aplatie : chute ? Scorifié |
| 2022 | 2 | C | 38 | 231 | 231.02 | Céramique | 55 | 15 | | Céramique | Lot de panses |
| 2022 | 2 | C | 38 | 231 | 231.02 | Céramique | 38 | 7 | | Céramique | Lot de panses |
| 2022 | 2 | CP | 93 | 231 | 231.02 | Scorie/Paroi de four | 2 | 1 | | Scorie | 1 fragment de scorie SFR |
| 2022 | 2 | F | | 231 | 231.02 | Faune | <1 | 1 | | Faune | |
| 2022 | 2 | LI | 369 | 231 | 231.02 | Lithique | 11 | 1 | | débris | grès et conglomérat |
| 2022 | 2 | AMP | | 235 | 235.02 | Céramique | 157 | 7 | | | |
| 2022 | 2 | C | 39 | 235 | 235.02 | Céramique | 10 | 1 | | Céramique | Cruche ? Panse |
| 2022 | 2 | C | 39 | 235 | 235.02 | Céramique | 162 | 15 | | Céramique | Lot de panses |
| 2022 | 2 | C | 39 | 235 | 235.02 | Céramique | 512 | 73 | | Céramique | Lot de panses, éclats thermiques |
| 2022 | 2 | C | 39 | 235 | 235.02 | Céramique | 15 | 1 | | Céramique | Panse |

| Pré-inventaire du mobilier-Secteur 2 | | | | | | | | | | | |
|--------------------------------------|---------|--------------|---------------|-----------|--------|----------------------|-----------|----|-----|-------------------------------------|--|
| Année | Secteur | Code Matière | n° inventaire | Structure | US | Matériau | Masse (g) | NR | NMI | Type objet | Description |
| 2022 | 2 | C | 39 | 235 | 235.02 | Céramique | 15 | 1 | | Céramique | Panse |
| 2022 | 2 | C | 39 | 235 | 235.02 | Céramique | 7 | 1 | | Céramique | Panse |
| 2022 | 2 | C | 39 | 235 | 235.02 | Céramique | 242 | 4 | | Céramique | Lot de fonds plats |
| 2022 | 2 | C | 39 | 235 | 235.02 | Céramique | | 1 | | Céramique | Fond à ombilic |
| 2022 | 2 | C | 39 | 235 | 235.02 | Céramique | 20 | 6 | | Céramique | Lot de bords arrondis ou aplatis |
| 2022 | 2 | C | 39 | 235 | 235.02 | Céramique | 63 | 1 | | Céramique | Bouteille à épaulement haut, bord arrondi, encolure |
| 2022 | 2 | C | 39 | 235 | 235.02 | Céramique | 17 | 1 | | Céramique | Pot à profil tronco-elliptique |
| 2022 | 2 | C | 39 | 235 | 235.02 | Céramique | 23 | 1 | | Céramique | Ecuille à épaulement haut, col droit, bord arrondi |
| 2022 | 2 | C | 39 | 235 | 235.02 | Céramique | 54 | 2 | | Céramique | Jatte à bord rentrant, bord biseauté |
| 2022 | 2 | CP | 94 | 235 | 235.02 | Scorie/Paroi de four | 78 | 2 | 1 | Scorie | Q-N-O : 1 culot SFR et 1 fragment de SGD |
| 2022 | 2 | CP | 95 | 235 | 235.02 | Scorie/Paroi de four | 29 | 4 | | Scorie | Q-S-E : 2 fragments de parois. 1 fragment de scorie SAS et 1 SGD |
| 2022 | 2 | CP | 96 | 235 | 235.02 | Scorie/Paroi de four | 45 | 5 | | Scorie | 3 fragments de parois. 1 fragment de scorie SGD et 1 SAS |
| 2022 | 2 | F | | 235 | 235.02 | Faune | 74 | 14 | | Faune | |
| 2022 | 2 | F | | 235 | 235.02 | Faune | 141 | 55 | | Faune | |
| 2022 | 2 | LI | 285 | 235 | 235.02 | Lithique | 7 | 1 | | débris | granite |
| 2022 | 2 | LI | 273 | 235 | 235.02 | Lithique | 1 | 1 | | écl | autre |
| 2022 | 2 | LI | 274 | 235 | 235.02 | Lithique | 5 | 1 | | outil mouture indéterminé | grès et conglomérat |
| 2022 | 2 | LI | 286 | 235 | 235.02 | Lithique | 11 | 1 | | débris | grès et conglomérat |
| 2022 | 2 | LI | 302 | 235 | 235.02 | Lithique | 1 | 1 | | écl | autre |
| 2022 | 2 | LI | 319 | 235 | 235.02 | Lithique | 14 | 2 | | écl | autre |
| 2022 | 2 | LI | 324 | 235 | 235.02 | Lithique | 18 | 2 | | p brute | grès et conglomérat |
| 2022 | 2 | LI | 332 | 235 | 235.02 | Lithique | 681 | 1 | | molette | grès et conglomérat |
| 2022 | 2 | M | 044045-26 | 235 | 235.02 | Alliages cuivreux | 1,7 | 3 | 1 | Scorie | Fragment de scorie de bronze. |
| 2022 | 2 | M | 044045-27 | 235 | 235.02 | Fer | 0,9 | 2 | 1 | Fibule : ardilion et axe de ressort | Fragment d'ardillon époineté et d'axe de ressort. |
| 2022 | 2 | M | 044045-28 | 235 | 235.02 | Fer | 5,3 | 1 | 1 | Clou | Clou composé d'une tête circulaire et tige époinetée de section rectangulaire. |

| Pré-inventaire du mobilier-Secteur 2 | | | | | | | | | | | |
|--------------------------------------|---------|--------------|---------------|-----------|--------|-------------------|-----------|----|-----|----------------------------|---|
| Année | Secteur | Code Matière | n° inventaire | Structure | US | Matériau | Masse (g) | NR | NMI | Type objet | Description |
| 2022 | 2 | M | 044045-29 | 235 | 235.02 | Alliages cuivreux | 3,2 | 1 | 1 | Scorie | Fragment de scorie de bronze. |
| 2022 | 2 | M | 044045-29 | 235 | 235.02 | Alliages cuivreux | 0,3 | 1 | 1 | Tige en cours de façonnage | Tige très fine de section rectangulaire en cours de façonnage. |
| 2022 | 2 | MC | | 235 | 235.02 | Terre | 58 | 15 | | Terre à bâtir | |
| 2022 | 2 | AMP | | 236 | 236.02 | Céramique | 3 | 1 | 1 | | |
| 2022 | 2 | C | 044045-6 | 236 | 236.02 | Céramique | 9,5 | 1 | 1 | Dévidoir | Fragment d'extrémité de dévidoir composé d'un boudin perforée de tout son long fragmenté à l'une de ses extrémités. |
| 2022 | 2 | C | 044045-8 | 236 | 236.02 | Céramique | 12,7 | 1 | 1 | Balle de fronde | Balle de fronde de forme biconique. |
| 2022 | 2 | C | 044045-7 | 236 | 236.02 | Céramique | 12,2 | 2 | 2 | Fusaiole | Fragment de fusaiole de forme tronconique carénée à paroi rectiligne de type II C3. |
| 2022 | 2 | C | 40 | 236 | 236.02 | Céramique | 81 | 17 | | Céramique | Lot de panses |
| 2022 | 2 | C | 40 | 236 | 236.02 | Céramique | 98 | 14 | | Céramique | Lot de panses |
| 2022 | 2 | C | 40 | 236 | 236.02 | Céramique | 16 | 1 | | Céramique | Fond plat, traces assemblages |
| 2022 | 2 | C | 40 | 236 | 236.02 | Céramique | 5 | 1 | | Céramique | Fond annulaire ? |
| 2022 | 2 | C | 40 | 236 | 236.02 | Céramique | 12 | 1 | | Céramique | Jatte à bord rentrant, bord triangulaire |
| 2022 | 2 | C | 40 | 236 | 236.02 | Céramique | 83 | 3 | | Céramique | Ecuelle à épaulement haut, col droit, bord aplati |
| 2022 | 2 | C | 40 | 236 | 236.02 | Céramique | 4 | 1 | | Céramique | Bord triangulaire |
| 2022 | 2 | C | 40 | 236 | 236.02 | Céramique | 8 | 1 | | Céramique | Jatte à carène-ressaut haut |
| 2022 | 2 | C | 41 | 236 | 236.02 | Céramique | 201 | 12 | | Céramique | Lot de panses |
| 2022 | 2 | C | 41 | 236 | 236.02 | Céramique | 198 | 34 | | Céramique | Lot de panses |
| 2022 | 2 | C | 41 | 236 | 236.02 | Céramique | 1 | 1 | | Céramique | Panse |
| 2022 | 2 | C | 41 | 236 | 236.02 | Céramique | 63 | 2 | | Céramique | Lot de fonds plats |
| 2022 | 2 | C | 41 | 236 | 236.02 | Céramique | 100 | 1 | | Céramique | Fond plat, traces assemblages |
| 2022 | 2 | C | 41 | 236 | 236.02 | Céramique | 7 | 2 | | Céramique | Lot de bords arrondis ou aplatis |
| 2022 | 2 | C | 42 | 236 | 236.03 | Céramique | 67 | 8 | | Céramique | Lot de panses |
| 2022 | 2 | C | 42 | 236 | 236.03 | Céramique | 23 | 2 | | Céramique | Lot de fonds plats |
| 2022 | 2 | C | 43 | 236 | 236.04 | Céramique | 12 | 3 | | Céramique | Lot de panses |
| 2022 | 2 | C | 44 | 236 | 236.06 | Céramique | 34 | 6 | | Céramique | Lot de panses |
| 2022 | 2 | C | 44 | 236 | 236.06 | Céramique | 6 | 1 | | Céramique | Bord arrondi |

| Pré-inventaire du mobilier-Secteur 2 | | | | | | | | | | | | |
|--------------------------------------|---------|--------------|---------------|-----------|--------|----------------------|------------|----|-----|---------------------------|--|--|
| Année | Secteur | Code Matière | n° inventaire | Structure | US | Matériau | Masse (g) | NR | NMI | Type objet | Description | |
| 2022 | 2 | C | 45 | 236 | 236.07 | Céramique | 2 | 1 | | Céramique | Panse | |
| 2022 | 2 | C | 45 | 236 | 236.07 | Céramique | 26 | 1 | | Céramique | Panse | |
| 2022 | 2 | CP | 97 | 236 | 236.02 | Scorie/Paroi de four | 121 | 6 | | Scorie | Q N-O : 1 fragment de scorie SGD, 5 de SAS | |
| 2022 | 2 | CP | 98 | 236 | 236.02 | Scorie/Paroi de four | 26 | 4 | | Scorie | Q N-E : 1 fragment de paroi, 2 fragments de scorie SFR et 1 SGD. | |
| 2022 | 2 | CP | 99 | 236 | 236.02 | Scorie/Paroi de four | 68 | 2 | | Scorie | Q S-O : 2 fragments de parois dont 1 avec de la scorie associée. | |
| 2022 | 2 | F | | 236 | 236.02 | Faune | 441 | 87 | | Faune | | |
| 2022 | 2 | F | | 236 | 236.02 | Faune | 296 | 66 | | Faune | | |
| 2022 | 2 | F | | 236 | 236.03 | Faune | 31 | 17 | | Faune | | |
| 2022 | 2 | F | | 236 | 236.03 | Faune | 23 | 10 | | Faune | | |
| 2022 | 2 | F | | 236 | 236.05 | Faune | Moins de 1 | 1 | | Faune | | |
| 2022 | 2 | F | | 236 | 236.06 | Faune | 10 | 2 | | Faune | | |
| 2022 | 2 | LI | 254 | 236 | 236.02 | Lithique | 129 | 1 | | débris | granite | |
| 2022 | 2 | LI | 267 | 236 | 236.02 | Lithique | 49 | 1 | | p brute | grès et conglomérat | |
| 2022 | 2 | LI | 268 | 236 | 236.02 | Lithique | 56 | 2 | | écl | grès et conglomérat | |
| 2022 | 2 | LI | 334 | 236 | 236.02 | Lithique | 9 | 1 | | p brute | grès et conglomérat | |
| 2022 | 2 | LI | 335 | 236 | 236.02 | Lithique | 6 | 1 | | p brute | grès et conglomérat | |
| 2022 | 2 | LI | 336 | 236 | 236.02 | Lithique | 396 | 7 | | p brute | grès et conglomérat | |
| 2022 | 2 | LI | | 236 | 236.02 | Lithique | 1 | 1 | | p brute | autre | |
| 2022 | 2 | LI | 328 | 236 | 236.02 | Lithique | 1 | 1 | | écl | autre | |
| 2022 | 2 | LI | 329 | 236 | 236.02 | Lithique | 44 | 1 | | débris | grès et conglomérat | |
| 2022 | 2 | LI | 330 | 236 | 236.02 | Lithique | 126 | 1 | | p brute | grès et conglomérat | |
| 2022 | 2 | LI | 331 | 236 | 236.02 | Lithique | 494 | 1 | | outil mouture indéterminé | grès et conglomérat | |
| 2022 | 2 | LI | 310 | 236 | 236.03 | Lithique | 37 | 1 | | débris | grès et conglomérat | |
| 2022 | 2 | LI | 262 | 236 | 236.04 | Lithique | 46 | 1 | | débris | grès et conglomérat | |
| 2022 | 2 | LI | 263 | 236 | 236.06 | Lithique | 16 | 1 | | p brute | autre roche métamorphique | |

| Pré-inventaire du mobilier-Secteur 2 | | | | | | | | | | | | |
|--------------------------------------|---------|--------------|---------------|-----------|--------|-------------------|-----------|----|-----|-----------------|--|--|
| Année | Secteur | Code Matière | n° inventaire | Structure | US | Matériau | Masse (g) | NR | NMI | Type objet | Description | |
| 2022 | 2 | M | 044045-30 | 236 | 236.02 | Fer | 16,4 | 4 | 1 | Chute de barre | Fragment de barre de section en D dont le profil est déformé et disposant d'une soie terminale épointée. | |
| 2022 | 2 | M | 044045-31 | 236 | 236.03 | Alliages cuivreux | 0,1 | 1 | 1 | Bille de coulée | Bille de coulée. | |
| 2022 | 2 | M | 044045-32 | 236 | 236.03 | Fer | 29,3 | 1 | 1 | Tôle | Fragment de tôle de forme trapézoïdale avec une partie repliée : attache d'anse ? | |
| 2022 | 2 | MC | | 236 | 236.02 | Terre | 12 | 2 | | Terre à bâtir | | |
| 2022 | 2 | MC | | 236 | 236.02 | Terre | 72 | 15 | | Terre à bâtir | | |
| 2022 | 2 | MC | | 236 | 236.04 | Terre | 2 | 1 | 1 | Terre à bâtir | | |
| 2022 | 2 | MC | | 236 | 236.05 | Terre | 4 | 2 | | Terre à bâtir | | |
| 2022 | 2 | MC | | 236 | 236.06 | Terre | 4 | 1 | 1 | Terre à bâtir | | |
| 2022 | 2 | MC | | 236 | 236.06 | Terre | 9 | 3 | | Terre à bâtir | | |
| 2022 | 2 | C | 46 | 238 | 238.02 | Céramique | 38 | 5 | | Céramique | Lot de panses | |
| 2022 | 2 | C | 49 | 239 | 239.02 | Céramique | 26 | 9 | | Céramique | Lot de panses | |
| 2022 | 2 | C | 49 | 239 | 239.02 | Céramique | 36 | 3 | | Céramique | Lot de panses | |
| 2022 | 2 | C | 49 | 239 | 239.02 | Céramique | 6 | 2 | | Céramique | Lot de panses | |
| 2022 | 2 | C | 50 | 239 | 239.02 | Céramique | 20 | 2 | | Céramique | Lot de panses | |
| 2022 | 2 | C | 51 | 239 | 239.02 | Céramique | 32 | 5 | | Céramique | Lot de panses | |
| 2022 | 2 | C | 51 | 239 | 239.02 | Céramique | 20 | 3 | | Céramique | Lot de panses | |
| 2022 | 2 | C | 51 | 239 | 239.02 | Céramique | 17 | 1 | | Céramique | Fond plat | |
| 2022 | 2 | C | 47 | 239 | 239.03 | Céramique | 42 | 7 | | Céramique | Lot de panses | |
| 2022 | 2 | C | 47 | 239 | 239.03 | Céramique | 3 | 1 | | Céramique | Panse | |
| 2022 | 2 | C | 52 | 239 | 239.03 | Céramique | 30 | 2 | | Céramique | Lot de panses | |
| 2022 | 2 | C | 53 | 239 | 239.03 | Céramique | 20 | 5 | | Céramique | Lot de panses | |
| 2022 | 2 | C | 53 | 239 | 239.03 | Céramique | 53 | 6 | | Céramique | Lot de panses | |
| 2022 | 2 | C | 53 | 239 | 239.03 | Céramique | 2 | 1 | | Céramique | Bord arrondi | |
| 2022 | 2 | C | 54 | 239 | 239.03 | Céramique | 23 | 1 | | Céramique | Fond plat | |
| 2022 | 2 | C | 54 | 239 | 239.03 | Céramique | 96 | 4 | | Céramique | Lot de panses | |
| 2022 | 2 | C | 54 | 239 | 239.03 | Céramique | 27 | 5 | | Céramique | Lot de panses | |

| Pré-inventaire du mobilier-Secteur 2 | | | | | | | | | | | |
|--------------------------------------|---------|--------------|---------------|-----------|--------|----------------------|-----------|----|-----|-----------------|--|
| Année | Secteur | Code Matière | n° inventaire | Structure | US | Matériau | Masse (g) | NR | NMI | Type objet | Description |
| 2022 | 2 | C | 54 | 239 | 239.03 | Céramique | 11 | 1 | | Céramique | Panse |
| 2022 | 2 | C | 044045-9 | 239 | 239.04 | Céramique | 7.3 | 1 | 1 | Balle de fronde | Balle de fronde de forme biconique très usée. |
| 2022 | 2 | C | 55 | 239 | 239.04 | Céramique | 3 | 2 | | Céramique | Lot de panses |
| 2022 | 2 | C | 55 | 239 | 239.04 | Céramique | 2 | 2 | | Céramique | Jatte? Bord arrondi |
| 2022 | 2 | C | 55 | 239 | 239.04 | Céramique | 41 | 15 | | Céramique | Lot de panses |
| 2022 | 2 | C | 56 | 239 | 239.04 | Céramique | 4 | 1 | | Céramique | Coupe hémisphérique, bord arrondi |
| 2022 | 2 | C | 56 | 239 | 239.04 | Céramique | 11 | 1 | | Céramique | Bord aplati et impressionné |
| 2022 | 2 | C | 56 | 239 | 239.04 | Céramique | 6 | 1 | | Céramique | Bord plat |
| 2022 | 2 | C | 56 | 239 | 239.04 | Céramique | 3 | 1 | | Céramique | Panse |
| 2022 | 2 | C | 56 | 239 | 239.04 | Céramique | 8 | 2 | | Céramique | Lot de panses |
| 2022 | 2 | C | 57 | 239 | 239.04 | Céramique | 18 | 4 | | Céramique | Lot de panses |
| 2022 | 2 | C | 58 | 239 | 239.04 | Céramique | 5 | 1 | | Céramique | Panse, épaulement |
| 2022 | 2 | C | 58 | 239 | 239.04 | Céramique | 25 | 3 | | Céramique | Lot de panses |
| 2022 | 2 | C | 58 | 239 | 239.04 | Céramique | 16 | 1 | | Céramique | Panse |
| 2022 | 2 | C | 58 | 239 | 239.04 | Céramique | 75 | 3 | | Céramique | Lot de panses |
| 2022 | 2 | CP | 100 | 239 | 239.02 | Scorie/Paroi de four | 5 | 1 | | Scorie | 1 scorie informe SFR |
| 2022 | 2 | CP | 101 | 239 | 239.03 | Scorie/Paroi de four | 6 | 2 | | Scorie | 1 scorie informe SAS. 1 fragment de scorie SGD |
| 2022 | 2 | CP | 103 | 239 | 239.04 | Scorie/Paroi de four | 33 | 1 | | Scorie | fragment de scorie SFR |
| 2022 | 2 | F | | 239 | 239.02 | Faune | 8 | 1 | | Faune | |
| 2022 | 2 | F | | 239 | 239.02 | Faune | 23 | 7 | | Faune | |
| 2022 | 2 | F | | 239 | 239.02 | Faune | 10 | 10 | | Faune | |
| 2022 | 2 | F | | 239 | 239.03 | Faune | 9 | 5 | | Faune | |
| 2022 | 2 | F | | 239 | 239.03 | Faune | 4 | 2 | | Faune | |
| 2022 | 2 | F | | 239 | 239.03 | Faune | 11 | 4 | | Faune | |
| 2022 | 2 | F | | 239 | 239.04 | Faune | 16 | 5 | | Faune | |
| 2022 | 2 | F | | 239 | 239.04 | Faune | 16 | 9 | | Faune | |

| Pré-inventaire du mobilier-Secteur 2 | | | | | | | | | | | |
|--------------------------------------|---------|--------------|---------------|-----------|--------|----------------------|-----------|----|-----|--------------------------------|--|
| Année | Secteur | Code Matière | n° inventaire | Structure | US | Matériau | Masse (g) | NR | NMI | Type objet | Description |
| 2022 | 2 | F | | 239 | 239.04 | Faune | 42 | 9 | | Faune | |
| 2022 | 2 | F | | 239 | 239.04 | Faune | 48 | 26 | | Faune | |
| 2022 | 2 | F | | 239 | 239.04 | Faune | 21 | 1 | | Faune | |
| 2022 | 2 | LI | 270 | 239 | 239.02 | Lithique | 8 | 1 | | débris | grès et conglomérat |
| 2022 | 2 | LI | 271 | 239 | 239.02 | Lithique | 3 | 1 | | écl | grès et conglomérat |
| 2022 | 2 | LI | 272 | 239 | 239.02 | Lithique | 61 | 1 | | écl | grès et conglomérat |
| 2022 | 2 | LI | 305 | 239 | 239.04 | Lithique | 1 | 1 | | écl | autre |
| 2022 | 2 | LI | 306 | 239 | 239.04 | Lithique | 44 | 1 | | p brute | grès et conglomérat |
| 2022 | 2 | M | 044045-35 | 239 | 239.02 | Alliages cuivreux | 0,4 | 5 | 1 | Scorie/bille | Petits fragments de scorie et billes de coulée |
| 2022 | 2 | M | 044045-34 | 239 | 239.03 | Alliages cuivreux | 0,2 | 2 | 1 | Tige | Fragment de tige de section circulaire. |
| 2022 | 2 | M | 044045-33 | 239 | 239.04 | Fer | 5,2 | 1 | 1 | Ferrure | Fragment de ruban de tôle avec une extrémité arrondie fixée par rivetage : ferrure ou petite poignée. |
| 2022 | 2 | M | 044045-36 | 239 | 239.04 | Alliages cuivreux | 3,6 | 3 | 2 | Tige brute de coulée et scorie | Petite tige de section en D brute de coulée associée à quelques fragments de scorie. |
| 2022 | 2 | M | 044045-37 | 239 | 239.04 | Alliages cuivreux | 1,3 | 1 | 1 | Fibule : arc | Fragment d'arc de fibule filiforme de section circulaire. Il manque tout le reste de la fibule. Type F ? |
| 2022 | 2 | M | 044045-38 | 239 | 239.04 | Alliages cuivreux | 0,4 | 3 | 1 | Scorie/bille | Petits fragments de scorie et billes de coulée |
| 2022 | 2 | M | 044045-39 | 239 | 239.04 | Fer | 5,9 | 1 | 1 | Chute de barre | Fragment de barre de section en D dont le profil est déformé. |
| 2022 | 2 | MC | | 239 | 239.02 | Terre | 3 | 2 | | Terre à bâtir | |
| 2022 | 2 | MC | | 239 | 239.03 | Terre | 24 | 2 | | Terre à bâtir | |
| 2022 | 2 | MC | | 239 | 239.03 | Terre | 26 | 5 | | Terre à bâtir | |
| 2022 | 2 | C | 48 | 240 | 240.02 | Céramique | 41 | 6 | | Céramique | Lot de panses |
| 2022 | 2 | CP | 104 | 240 | 240.02 | Scorie/Paroi de four | 12 | 1 | | Scorie | 1 scorie "de bronze" |
| 2022 | 2 | F | | 240 | 240.02 | Faune | 3 | 1 | | Faune | |
| 2022 | 2 | M | 044045-40 | 240 | 240.02 | Alliages cuivreux | 0,2 | 1 | 1 | Scorie | Fragment de scorie de bronze. |
| 2022 | 2 | F | | 244 | 244.02 | Faune | 9 | 3 | | Faune | |

| Pré-inventaire du mobilier-Secteur 2 | | | | | | | | | | | |
|--------------------------------------|---------|--------------|---------------|-----------|--------|---------------------------|-----------|----|-----|-----------------------|---|
| Année | Secteur | Code Matière | n° inventaire | Structure | US | Matériau | Masse (g) | NR | NMI | Type objet | Description |
| 2022 | 2 | CP | 105 | 321 | 321.02 | Scorie/Paroi de four | 12 | 2 | | Scorie | 2 fragments de scories SGD |
| 2022 | 2 | F | | 321 | 321.02 | Faune | 39 | 9 | | Faune | |
| 2022 | 2 | MC | | 321 | 321.02 | Terre | 22 | 3 | | Terre à bâtir | |
| 2022 | 2 | AMP | | 323 | 323.02 | Céramique | 76 | 6 | | | |
| 2022 | 2 | C | 60 | 323 | 323.02 | Céramique | 10 | 1 | | Céramique | Panse |
| 2022 | 2 | F | | 323 | 323.02 | Faune | 9 | 6 | | Faune | |
| 2022 | 2 | C | 61 | 325 | 325.02 | Céramique | 2 | 1 | | Céramique | Panse, antique/importation?? |
| 2022 | 2 | C | 61 | 325 | 325.02 | Céramique | 2 | 1 | | Céramique | Panse |
| 2022 | 2 | LI | 044045-1 | 325 | 325.02 | Matière organique fossile | 1,9 | 1 | 1 | Bracelet | Fragment de bracelet au jonc de section en D, avec des traces de découpe à l'intérieur de celui-ci, liées à sa fabrication. |
| 2022 | 2 | C | 62 | 326 | 326.02 | Céramique | 35 | 11 | | Céramique | Lot de panses |
| 2022 | 2 | C | 62 | 326 | 326.02 | Céramique | 5 | 1 | | Céramique | Ecuille à épaulement bas, bord triangulaire |
| 2022 | 2 | CP | 106 | 326 | 326.02 | Scorie/Paroi de four | 218 | 19 | 1 | Scorie | 1 culot SFR. 5 fragments de parois. 7 fragments de scories SGD, 6 SFR. |
| 2022 | 2 | F | | 326 | 326.02 | Faune | 18 | 10 | | Faune | |
| 2022 | 2 | MC | | 326 | 326.02 | Terre | 22 | 6 | | Terre à bâtir | |
| 2022 | 2 | C | 63 | 327 | 327.02 | Céramique | 2 | 1 | | Céramique | Panse |
| 2022 | 2 | C | 63 | 327 | 327.02 | Céramique | 11 | 1 | | Céramique | Panse |
| 2022 | 2 | C | 64 | 328 | 238.02 | Céramique | 60 | 17 | | Céramique | Lot de panses |
| 2022 | 2 | C | 64 | 328 | 238.02 | Céramique | 200 | 6 | | Céramique | Coupe tronco-cylindrique profonde (convexe?) |
| 2022 | 2 | F | | 328 | 328.02 | Faune | 10 | 2 | | Faune | |
| 2022 | 2 | LI | 261 | 328 | 328.02 | Lithique | 6 | 1 | | débris | grès et conglomérat |
| 2022 | 2 | M | 044045-41 | 328 | 328.02 | Fer | 7,1 | 1 | 1 | Outil ou chute : soie | Fragment de tige de section rectangulaire dont le profil est déformé et dont l'une des extrémités est épointée pour former une soie : outil ou chute de barre ? |
| 2022 | 2 | C | 65 | 332 | 332.02 | Céramique | 66 | 8 | | Céramique | Lot de panses |
| 2022 | 2 | C | 65 | 332 | 332.02 | Céramique | 11 | 1 | | Céramique | Jatte à bord droit, bord arrondi |
| 2022 | 2 | C | 65 | 332 | 332.02 | Céramique | 21 | 2 | | Céramique | Lot de bords aplatis |

| Pré-inventaire du mobilier-Secteur 2 | | | | | | | | | | | |
|--------------------------------------|---------|--------------|---------------|-----------|--------|----------------------|-----------|----|-----|------------|---|
| Année | Secteur | Code Matière | n° inventaire | Structure | US | Matériau | Masse (g) | NR | NMI | Type objet | Description |
| 2022 | 2 | CP | 107 | 332 | 332.02 | Scorie/Paroi de four | 28 | 1 | | Scorie | 1 fragment de scorie SGD comprenant de la paroi. |
| 2022 | 2 | F | | 332 | 332.02 | Faune | 7 | 1 | | Faune | |
| 2022 | 2 | M | 044045-42 | 332 | 332.02 | Alliages cuivreux | 15,7 | 1 | 1 | Lingot | Fragment de lingot relativement massif dont une partie de la surface est granuleuse alors que l'autre est bien plane. Il est muni de plusieurs traces de découpe. |
| 2022 | 2 | M | 044045-43 | 332 | 332.02 | Alliages cuivreux | 21,6 | 1 | 1 | Matrice | Barre aplatie de section rectangulaire bien façonnée qui se termine à chaque extrémité par un petit tenon de forme rectangulaire destiné à sa fixation sur le billot. Sur la face avers, trois tailles de cupules sont présentes : diam : 2 mm (13 cupules), 3 mm (13 cupules) et 7 mm (7 cupules). Outil pour le travail et l'ajout de décor sur de la tôle fine (alliages cuivreux et/ou or). |
| 2022 | 2 | M | 044045-44 | 332 | 332.02 | Alliages cuivreux | 12,2 | 1 | 1 | Matrice | Barre aplatie de section rectangulaire bien façonnée qui se termine à chaque extrémité par un petit tenon de forme rectangulaire destiné à sa fixation sur le billot. Sur la face avers, deux tailles de cupules sont présentes : diam : 2 mm (28 cupules) et 7 mm (5 cupules). Concernant l'organisation des petites cupules, elles forment une ligne simple de 10 éléments et 3 lignes où les cupules sont placées en quinconce. Sur le revers, on aperçoit aussi ce type cupules (au moins 15) dont l'organisation semble plus aléatoire (ratés?). Outil pour le travail et l'ajout de décor sur de la tôle fine (alliages cuivreux et/ou or). |
| 2022 | 2 | AMP | | 335 | 335.02 | Céramique | 6 | 2 | | | |
| 2022 | 2 | C | 66 | 335 | 335.02 | Céramique | 81 | 13 | | Céramique | Lot de panses |
| 2022 | 2 | C | 66 | 335 | 335.02 | Céramique | 13 | 2 | | Céramique | Lot de panses |
| 2022 | 2 | C | 66 | 335 | 335.02 | Céramique | 4 | 1 | | Céramique | Fond plat |
| 2022 | 2 | C | 66 | 335 | 335.02 | Céramique | 9 | 1 | | Céramique | Départ de anse, élément de préhension? |
| 2022 | 2 | C | 66 | 335 | 335.02 | Céramique | 93 | 1 | | Céramique | Panse |
| 2022 | 2 | C | 66 | 335 | 335.02 | Céramique | 37 | 2 | | Céramique | Pot à profil tronco-elliptique |
| 2022 | 2 | C | 66 | 335 | 335.02 | Céramique | 27 | 1 | | Céramique | Jatte à bord rentrant, bord arrondi |
| 2022 | 2 | C | 66 | 335 | 335.02 | Céramique | 6 | 1 | | Céramique | Jatte à bord droit, bord aplati |

| Pré-inventaire du mobilier-Secteur 2 | | | | | | | | | | | | |
|--------------------------------------|---------|--------------|---------------|-----------|--------|----------------------|-----------|----|-----|---------------------------|--|--|
| Année | Secteur | Code Matière | n° inventaire | Structure | US | Matériau | Masse (g) | NR | NMI | Type objet | Description | |
| 2022 | 2 | F | | 335 | 335.02 | Faune | 224 | 20 | | Faune | | |
| 2022 | 2 | F | | 335 | 335.02 | Faune | 159 | 18 | | Faune | | |
| 2022 | 2 | LI | 294 | 335 | 335.02 | Lithique | 1 | 1 | | p brute | calcaire | |
| 2022 | 2 | M | 044045-48 | 335 | 335.05 | Alliages cuivreux | 0,1 | 1 | 0 | Fibule : corde | Fragment de tige de section circulaire dont la forme rappelle une corde de fibule. | |
| 2022 | 2 | MC | | 335 | 335.02 | Terre | 19 | 1 | 1 | Terre à bâtir | | |
| 2022 | 2 | C | 67 | 336 | 336.02 | Céramique | 8 | 2 | | Céramique | Lot de panses | |
| 2022 | 2 | C | 67 | 336 | 336.02 | Céramique | 7 | 1 | | Céramique | Panse | |
| 2022 | 2 | CP | 108 | 336 | 336.02 | Scorie/Paroi de four | 20 | 4 | | Scorie | 4 fragments de parois et 1 fragment de scorie SGD | |
| 2022 | 2 | C | 68 | 337 | 337.02 | Céramique | 9 | 1 | | Céramique | Panse | |
| 2022 | 2 | CP | 109 | 337 | 337.02 | Scorie/Paroi de four | 19 | 4 | | Scorie | 2 fragments de scories SGD. 2 fragments de parois. | |
| 2022 | 2 | F | | 337 | 337.02 | Faune | 10 | 1 | | Faune | | |
| 2022 | 2 | C | 69 | 339 | 2006 | Céramique | 68 | 9 | | Céramique | Lot de panses | |
| 2022 | 2 | C | 69 | 339 | 2006 | Céramique | 18 | 1 | | Céramique | Jatte à bord droit, bord arrondi | |
| 2022 | 2 | CP | 146 | 339 | 2006 | Scorie/Paroi de four | 268 | 15 | 1 | Scorie | 1 fragment de culot SFR. 6 fragments de scories SGD, 3 SFR. 5 fragments de parois. | |
| 2022 | 2 | F | | 340 | 340.03 | Faune | 4 | 2 | | Faune | | |
| 2022 | 2 | C | 70 | 341 | 341.02 | Céramique | 17 | 7 | | Céramique | Lot de panses | |
| 2022 | 2 | C | 70 | 341 | 341.02 | Céramique | 22 | 3 | | Céramique | Lot de panses | |
| 2022 | 2 | F | | 341 | 341.02 | Faune | 318 | 41 | | Faune | | |
| 2022 | 2 | MC | | 341 | 341.02 | Terre | 34 | 3 | | Terre à bâtir | | |
| 2022 | 2 | C | 71 | 345 | 345.02 | Céramique | 9 | 2 | | Céramique | Lot de fonds plats | |
| 2022 | 2 | LI | 311 | 345 | 345.02 | Lithique | 125 | 1 | | outil mouture indéterminé | grès et conglomérat | |
| 2022 | 2 | C | 72 | 347 | 347.02 | Céramique | 27 | 6 | | Céramique | Lot de panses | |
| 2022 | 2 | CP | 110 | 347 | 347.02 | Scorie/Paroi de four | 100 | 10 | | Scorie | 4 fragments de parois dont 1 comprenant de la scorie et 6 fragment de scorie SGD | |
| 2022 | 2 | F | | 347 | 347.02 | Faune | 10 | 2 | | Faune | | |
| 2022 | 2 | LI | 290 | 347 | 347.02 | Lithique | 9 | 1 | | débris | grès et conglomérat | |
| 2022 | 2 | LI | 291 | 347 | 347.02 | Lithique | 28 | 1 | | débris | grès et conglomérat | |

| Pré-inventaire du mobilier-Secteur 2 | | | | | | | | | | | |
|--------------------------------------|---------|--------------|---------------|-----------|--------|----------------------|-----------|----|-----|---------------------------|--|
| Année | Secteur | Code Matière | n° inventaire | Structure | US | Matériau | Masse (g) | NR | NMI | Type objet | Description |
| 2022 | 2 | C | 73 | 349 | 349.02 | Céramique | 8 | 1 | | Céramique | Fond plat |
| 2022 | 2 | C | 73 | 349 | 349.02 | Céramique | 23 | 4 | | Céramique | Lot de panses |
| 2022 | 2 | CP | 111 | 349 | 349.02 | Scorie/Paroi de four | 5 | 1 | | Scorie | 1 scorie de "bronze" |
| 2022 | 2 | C | 74 | 352 | 352.02 | Céramique | 59 | 5 | | Céramique | Lot de panses |
| 2022 | 2 | C | 74 | 352 | 352.02 | Céramique | 34 | 1 | | Céramique | Panse, épaulement |
| 2022 | 2 | C | 74 | 352 | 352.02 | Céramique | 68 | 3 | | Céramique | Lot de panses |
| 2022 | 2 | C | 74 | 352 | 352.02 | Céramique | 65 | 7 | | Céramique | Lot de panses |
| 2022 | 2 | C | 75 | 356 | 356.02 | Céramique | 114 | 1 | | Céramique | Fond plat |
| 2022 | 2 | C | 75 | 356 | 356.02 | Céramique | 125 | 7 | | Céramique | Lot de panses |
| 2022 | 2 | C | 75 | 356 | 356.02 | Céramique | 41 | 1 | | Céramique | Panse |
| 2022 | 2 | LI | 378 | 356 | 356.02 | Lithique | 38 | 2 | | outil mouture indéterminé | grès et conglomérat |
| 2022 | 2 | LI | 379 | 356 | 356.02 | Lithique | 27 | 1 | | débris | grès et conglomérat |
| 2022 | 2 | LI | 380 | 356 | 356.02 | Lithique | 1 | 1 | | écl | grès et conglomérat |
| 2022 | 2 | F | | 357 | 357.02 | Faune | 22 | 7 | | Faune | |
| 2022 | 2 | C | 76 | 359 | 359.02 | Céramique | 47 | 3 | | Céramique | Lot de panses |
| 2022 | 2 | C | 76 | 359 | 359.02 | Céramique | 289 | 29 | | Céramique | Lot de panses |
| 2022 | 2 | C | 76 | 359 | 359.02 | Céramique | 8 | 1 | | Céramique | Jatte |
| 2022 | 2 | C | 76 | 359 | 359.02 | Céramique | 4 | 1 | | Céramique | Bord arrondi, encolure gobelet |
| 2022 | 2 | C | 76 | 359 | 359.02 | Céramique | 2 | 1 | | Céramique | Panse |
| 2022 | 2 | C | 76 | 359 | 359.02 | Céramique | 4 | 1 | | Céramique | Panse |
| 2022 | 2 | C | 76 | 359 | 359.02 | Céramique | 2 | 1 | | Céramique | Panse |
| 2022 | 2 | C | 76 | 359 | 359.02 | Céramique | 73 | 4 | | Céramique | Lot de fonds plats |
| 2022 | 2 | CP | 112 | 359 | 359.02 | Scorie/Paroi de four | 111 | 3 | 1 | Scorie | 1 fragment de culot SGD/SFR. 1 scorie informe SFR. 1 fragment de scorie SFR. |
| 2022 | 2 | F | | 359 | 359.02 | Faune | 100 | 21 | | Faune | |
| 2022 | 2 | F | | 359 | 359.02 | Faune | 90 | 14 | | Faune | |
| 2022 | 2 | LI | 354 | 359 | 359.02 | Lithique | 7 | 1 | | outil mouture indéterminé | grès et conglomérat |

| Pré-inventaire du mobilier-Secteur 2 | | | | | | | | | | | |
|--------------------------------------|---------|--------------|---------------|-----------|----------|----------------------|-----------|----|-----|--------------------------------|--|
| Année | Secteur | Code Matière | n° inventaire | Structure | US | Matériau | Masse (g) | NR | NMI | Type objet | Description |
| 2022 | 2 | LI | 355 | 359 | 359.02 | Lithique | 302 | 1 | | percuteur | grès et conglomérat |
| 2022 | 2 | LI | 309 | 359 | 359.02 | Lithique | 16 | 1 | | débris | grès et conglomérat |
| 2022 | 2 | LI | 321 | 359 | 359.02 | Lithique | 354 | 1 | | p brute | grès et conglomérat |
| 2022 | 2 | M | 044045-45 | 359 | 359.02 | Fer | 3,5 | 1 | 1 | Fibule en cours de fabrication | Fragment de tige de section circulaire qui se prolonge par un porte-ardillon en cours d'ébauchage et se termine d'une extrémité avec un petit bourrelet (futur pied). Une battiture globulaire est encore collée vers l'extrémité distale de la tige : fibule en cours de fabrication. |
| 2022 | 2 | C | 77 | 363 | 363.02 ? | Céramique | 14 | 3 | | Céramique | Lot de panses |
| 2022 | 2 | CP | 113 | 363 | 363.02 | Scorie/Paroi de four | 8 | 1 | | Scorie | 1 fragment de paroi rechapé. |
| 2022 | 2 | F | | 363 | 363.02 | Faune | 12 | 5 | | Faune | |
| 2022 | 2 | C | 78 | 370 | 370.02 | Céramique | 12 | 4 | | Céramique | Lot de panses |
| 2022 | 2 | C | 78 | 370 | 370.02 | Céramique | 1 | 1 | | Céramique | Panse |
| 2022 | 2 | MC | | 370 | 370.02 | Terre | 4 | 1 | 1 | Terre à bâtir | |
| 2022 | 2 | C | 79 | 371 | 371.02 | Céramique | 32 | 3 | | Céramique | Lot de panses |
| 2022 | 2 | F | | 371 | 371.02 | Faune | 51 | 5 | | Faune | |
| 2022 | 2 | AMP | | 374 | 374.02 | Céramique | 5 | 1 | 1 | | |
| 2022 | 2 | C | 80 | 376 | 376.02 | Céramique | 4 | 1 | | Céramique | Ecuelle à bord rond |
| 2022 | 2 | C | 80 | 376 | 376.02 | Céramique | 12 | 1 | | Céramique | Panse |
| 2022 | 2 | C | 80 | 376 | 376.02 | Céramique | 98 | 12 | | Céramique | Lot de panses |
| 2022 | 2 | C | 80 | 376 | 376.02 | Céramique | 794 | 20 | | Céramique | Lot de panses |
| 2022 | 2 | CP | 114 | 376 | 376.02 | Scorie/Paroi de four | 21 | 5 | | Scorie | 3 fragments de parois. 1 fragment de scorie SGD et 1 SFR |
| 2022 | 2 | F | | 376 | 376.02 | Faune | 90 | 37 | | Faune | |
| 2022 | 2 | LI | 366 | 376 | 376.02 | Lithique | 1 | 1 | | écl | autre |
| 2022 | 2 | M | 044045-46 | 376 | 376.02 | Alliages cuivreux | 0,3 | 1 | 1 | Bille de coulée | Bille de coulée. |
| 2022 | 2 | MC | | 376 | 376.02 | Terre | 22 | 1 | 1 | Terre à bâtir | |
| 2022 | 2 | C | 81 | 382 | 382.02 | Céramique | 344 | 5 | | Céramique | Lot de panses et bord aplati |

| Pré-inventaire du mobilier-Secteur 2 | | | | | | | | | | | |
|--------------------------------------|---------|--------------|---------------|-----------|--------|-------------------|-----------|----|-----|----------------------------------|--|
| Année | Secteur | Code Matière | n° inventaire | Structure | US | Matériau | Masse (g) | NR | NMI | Type objet | Description |
| 2022 | 2 | C | 81 | 382 | 382.02 | Céramique | 159 | 8 | | Céramique | Lot de panses |
| 2022 | 2 | M | 044045-47 | 382 | 382.02 | Alliages cuivreux | 3,7 | 1 | 1 | Rivet : tige ou parure annulaire | Fragment de tige de section ovulaire : rivet ou parure ? |
| 2022 | 2 | AMP | | Décapage | 2001 | Céramique | 345 | 9 | | | |
| 2022 | 2 | AMP | | Décapage | 2001 | Céramique | 72 | 2 | | | |
| 2022 | 2 | AMP | | Décapage | 2001 | Céramique | | | | | |
| 2022 | 2 | C | 114 | Décapage | 2001 | Céramique | 10 | 1 | | Céramique | Ecuelle à épaulement haut, col droit, bord arrondi |
| 2022 | 2 | C | 114 | Décapage | 2001 | Céramique | 35 | 2 | | Céramique | Lot de fonds plats |
| 2022 | 2 | C | 114 | Décapage | 2001 | Céramique | 92 | 7 | | Céramique | Lot de panses |
| 2022 | 2 | C | 115 | Décapage | 2001 | Céramique | 37 | 1 | | Céramique | Fond annulaire |
| 2022 | 2 | C | 115 | Décapage | 2001 | Céramique | 24 | 1 | | Céramique | Panse |
| 2022 | 2 | C | 115 | Décapage | 2001 | Céramique | 5 | 1 | | Céramique | Bord arrondi |
| 2022 | 2 | C | 115 | Décapage | 2001 | Céramique | 38 | 4 | | Céramique | Lot de panses |
| 2022 | 2 | C | 115 | Décapage | 2001 | Céramique | 141 | 21 | | Céramique | Lot de panses |
| 2022 | 2 | C | 116 | Décapage | 2001 | Céramique | 205 | 23 | | Céramique | Lot de panses |
| 2022 | 2 | C | 116 | Décapage | 2001 | Céramique | 32 | 2 | | Céramique | Lot de panses, épaulement |
| 2022 | 2 | C | 116 | Décapage | 2001 | Céramique | 3 | 1 | | Céramique | Jatte à bord droit |
| 2022 | 2 | C | 116 | Décapage | 2001 | Céramique | 12 | 2 | | Céramique | Coupe ind |
| 2022 | 2 | C | 116 | Décapage | 2001 | Céramique | 64 | 3 | | Céramique | Lot de panses |
| 2022 | 2 | C | 118 | Décapage | 2001 | Céramique | 126 | 3 | | Céramique | Jatte à bord rentrant, bord arrondi |
| 2022 | 2 | C | 118 | Décapage | 2001 | Céramique | 102 | 4 | | Céramique | Lot de fonds plats |
| 2022 | 2 | C | 118 | Décapage | 2001 | Céramique | 6 | 2 | | Céramique | Lot de bords arrondis |
| 2022 | 2 | C | 118 | Décapage | 2001 | Céramique | 452 | 35 | | Céramique | Lot de panses |
| 2022 | 2 | C | 118 | Décapage | 2001 | Céramique | | 2 | | Céramique | Lot de fonds |
| 2022 | 2 | C | 117 | Décapage | 2001 | Céramique | 88 | 13 | | Céramique | Lot de panses |
| 2022 | 2 | C | 112 | Décapage | 2001 | Céramique | 6 | 1 | | Céramique | Panse |
| 2022 | 2 | C | 113 | Décapage | 2001 | Céramique | 17 | 2 | | Céramique | Lot de panses |

| Pré-inventaire du mobilier-Secteur 2 | | | | | | | | | | | |
|--------------------------------------|---------|--------------|---------------|-----------|------|----------------------|-----------|----|-----|---------------------------|---|
| Année | Secteur | Code Matière | n° inventaire | Structure | US | Matériau | Masse (g) | NR | NMI | Type objet | Description |
| 2022 | 2 | CP | 115 | Décapage | 2001 | Scorie/Paroi de four | 629 | 21 | 6 | Scorie | Décapage : 6 fragments de culots, 3 SFR, 3 SGD. 3 fragments de parois. 9 fragments de scories SGD, 3 SFR. |
| 2022 | 2 | CP | 116 | Décapage | 2001 | Scorie/Paroi de four | 284 | 3 | 2 | Scorie | Décapage berme N-O (sect 1): 3 fragments de culots SFR (dont 2 qui recolle) |
| 2022 | 2 | CP | 117 | Décapage | 2001 | Scorie/Paroi de four | 513 | 7 | 3 | Scorie | Décapage berme N-O: 1 culot SGD, 1 culot multiple SGD et 1 fragment de culot SGD. 3 fragment de parois dont 1 avec de la scorie associée. 1 fragment de scorie SGD. |
| 2022 | 2 | CP | 155 | Décapage | 2001 | Scorie/Paroi de four | 42 | 4 | | Scorie | Décapage : 3 fragments de scories SFR et 1 fragment de paroi. |
| 2022 | 2 | F | | Décapage | 2001 | Faune | 31 | 8 | | Faune | |
| 2022 | 2 | F | | Décapage | 2001 | Faune | 144 | 22 | | Faune | |
| 2022 | 2 | F | | Décapage | 2001 | Faune | 32 | 10 | | Faune | |
| 2022 | 2 | F | | Décapage | 2001 | Faune | 10 | 2 | | Faune | |
| 2022 | 2 | F | | Décapage | 2001 | Faune | 59 | 13 | | Faune | |
| 2022 | 2 | F | | Décapage | 2001 | Faune | 18 | 3 | | Faune | |
| 2022 | 2 | F | | Décapage | 2001 | Faune | 3 | 2 | | Faune | |
| 2022 | 2 | LI | 248 | Décapage | 2001 | Lithique | 151 | 1 | | outil mouture indéterminé | grès et conglomérat |
| 2022 | 2 | LI | 253 | Décapage | 2001 | Lithique | 25 | 1 | | débris | grès et conglomérat |
| 2022 | 2 | LI | 220 | Décapage | 2001 | Lithique | 445 | 1 | | débris | grès et conglomérat |
| 2022 | 2 | LI | 220 | Décapage | 2001 | Lithique | | | | percuteur | grès et conglomérat |
| 2022 | 2 | LI | 221 | Décapage | 2001 | Lithique | 426 | 1 | | molette | grès et conglomérat |
| 2022 | 2 | LI | 224 | Décapage | 2001 | Lithique | 214 | 1 | | outil mouture indéterminé | grès et conglomérat |
| 2022 | 2 | LI | 225 | Décapage | 2001 | Lithique | 175 | 1 | | débris | grès et conglomérat |
| 2022 | 2 | LI | 225 | Décapage | 2001 | Lithique | | | | percuteur | grès et conglomérat |
| 2022 | 2 | LI | 223 | Décapage | 2001 | Lithique | 177 | 1 | | outil mouture indéterminé | grès et conglomérat |
| 2022 | 2 | LI | 223 | Décapage | 2001 | Lithique | | | | percuteur | grès et conglomérat |
| 2022 | 2 | LI | 292 | Décapage | 2001 | Lithique | 21 | 1 | | outil mouture indéterminé | grès et conglomérat |
| 2022 | 2 | LI | 292 | Décapage | 2001 | Lithique | | | | percuteur | grès et conglomérat |

| Pré-inventaire du mobilier-Secteur 2 | | | | | | | | | | | |
|--------------------------------------|---------|--------------|---------------|-----------|------|-------------------|-----------|----|-----|---------------------------|--|
| Année | Secteur | Code Matière | n° inventaire | Structure | US | Matériau | Masse (g) | NR | NMI | Type objet | Description |
| 2022 | 2 | LI | 229 | Décapage | 2001 | Lithique | 173 | 2 | | écl | grès et conglomérat |
| 2022 | 2 | LI | 230 | Décapage | 2001 | Lithique | | 1 | | outil mouture indéterminé | |
| 2022 | 2 | LI | 230 | Décapage | 2001 | Lithique | 322 | 1 | | percuteur | grès et conglomérat |
| 2022 | 2 | LI | 231 | Décapage | 2001 | Lithique | 356 | 1 | | p brute | grès et conglomérat |
| 2022 | 2 | LI | 232 | Décapage | 2001 | Lithique | 14 | 1 | | débris | grès et conglomérat |
| 2022 | 2 | LI | 233 | Décapage | 2001 | Lithique | 31 | 1 | | débris | grès et conglomérat |
| 2022 | 2 | LI | 234 | Décapage | 2001 | Lithique | 2 | 1 | | débris | autre |
| 2022 | 2 | LI | 235 | Décapage | 2001 | Lithique | 8 | 1 | | p brute | grès et conglomérat |
| 2022 | 2 | LI | 236 | Décapage | 2001 | Lithique | 5 | 1 | | p brute | grès et conglomérat |
| 2022 | 2 | LI | 237 | Décapage | 2001 | Lithique | 6 | 2 | | débris | grès et conglomérat |
| 2022 | 2 | LI | 238 | Décapage | 2001 | Lithique | 68 | 1 | | débris | grès et conglomérat |
| 2022 | 2 | LI | 239 | Décapage | 2001 | Lithique | 79 | 1 | | outil mouture indéterminé | grès et conglomérat |
| 2022 | 2 | LI | 256 | Décapage | 2001 | Lithique | 6 | 1 | | écl | grès et conglomérat |
| 2022 | 2 | LI | 257 | Décapage | 2001 | Lithique | 2 | 1 | | outil mouture indéterminé | grès et conglomérat |
| 2022 | 2 | LI | 258 | Décapage | 2001 | Lithique | 34 | 1 | | débris | grès et conglomérat |
| 2022 | 2 | LI | 259 | Décapage | 2001 | Lithique | 352 | 1 | | percuteur | granite |
| 2022 | 2 | LI | 260 | Décapage | 2001 | Lithique | 39 | 1 | | mortier | grès et conglomérat |
| 2022 | 2 | LI | 265 | Décapage | 2001 | Lithique | 19 | 1 | | écl | autre |
| 2022 | 2 | LI | | Décapage | 2001 | Lithique | 3 | 1 | | p brute | calcaire |
| 2022 | 2 | LI | | Décapage | 2001 | Lithique | 47 | 1 | | p brute | grès et conglomérat |
| 2022 | 2 | LI | | Décapage | 2001 | Lithique | 82 | 1 | | p brute | autre |
| 2022 | 2 | LI | | Décapage | 2001 | Lithique | 25 | 1 | | p brute | autre |
| 2022 | 2 | LI | | Décapage | 2001 | Lithique | 11 | 1 | | p brute | autre |
| 2022 | 2 | M | 044045-49 | Décapage | 2001 | Fer | 5,0 | 1 | 1 | Tige | Fragment de tige de section quadrangulaire. |
| 2022 | 2 | M | 044045-50 | Décapage | 2001 | Fer | 3,6 | 1 | 1 | Chute de barre | Fragment de barre de section rectangulaire en D dont une extrémité semble aplatie et découpée. |
| 2022 | 2 | M | 044045-51 | Décapage | 2001 | Alliages cuivreux | 25,3 | 3 | 3 | Score | Score de bronze. |

| Pré-inventaire du mobilier-Secteur 2 | | | | | | | | | | | |
|--------------------------------------|---------|--------------|---------------|-----------|-----------|----------------------|-----------|----|-----|-----------------|--|
| Année | Secteur | Code Matière | n° inventaire | Structure | US | Matériau | Masse (g) | NR | NMI | Type objet | Description |
| 2022 | 2 | M | 044045-52 | Décapage | 2001 | Alliages cuivreux | 7,5 | 2 | 2 | Lingot | Deux petits fragments de lingots de section quadrangulaire disposant de traces de découpe à leur extrémité. |
| 2022 | 2 | M | 044045-53 | Décapage | 2001 | Fer | 35,2 | 4 | 4 | Chute | Lots de chutes de tiges ou petites barres avec soie et traces de découpe. |
| 2022 | 2 | M | 044045-54 | Décapage | 2001 | Fer | 21,8 | 1 | 1 | Couteau | Fragment de lame de section triangulaire dont le dos est rectiligne et terminé en pointe émoussée. |
| 2022 | 2 | M | 044045-55 | Décapage | 2001 | Fer | 6,7 | 2 | 2 | Tige | Fragment de tige de section quadrangulaire. |
| 2022 | 2 | M | 044045-56 | Décapage | 2001 | Alliages cuivreux | 1,3 | 1 | 1 | Tôle | Fragment de tôle. |
| 2022 | 2 | M | 044045-56 | Décapage | 2001 | Fer | 4,9 | 2 | 2 | Tige | Fragment de tige de section quadrangulaire. |
| 2022 | 2 | M | 044045-57 | Décapage | 2001 | Alliages cuivreux | 0,8 | 2 | 1 | Tôle | Fragment de tôle. |
| 2022 | 2 | M | 044045-58 | Décapage | 2001 | Alliages cuivreux | 6,2 | 1 | 1 | Barre | Petite barre de section rectangulaire déformée à plusieurs reprises : en cours de travail. |
| 2022 | 2 | M | 044045-59 | Décapage | 2001 | Alliages cuivreux | 0,5 | 1 | 1 | Anneau | Petit anneau de section aplatie et fermé dont le diamètre rappelle les éléments de parure ou de toilette. |
| 2022 | 2 | M | 044045-60 | Décapage | 2001 | Fer | 16,6 | 1 | 1 | Rasoir | Fragment de lame de section triangulaire dont le dos est incurvé : rasoir. |
| 2022 | 2 | MC | | Décapage | 2001 | Terre | 117 | 5 | | Terre à bâtir | |
| 2022 | 2 | CP | 60 | | 2002-2003 | Scorie/Paroi de four | 502 | 1 | 1 | Scorie | Un culot SFR double, un appui, indice de conservation 100 % ; ISO 27 (Décapage) |
| 2022 | 2 | CP | 61 | | 2002-2003 | Scorie/Paroi de four | 592 | 1 | 1 | Scorie | Un culot SFR multiple (3), 2 appuis dont avec une zone attachée. Quelques gouttelettes SGD entre le 1er et le 2e culot. Indice conservation:90 % ; ISO 28 (Décapage) |
| 2022 | 2 | CP | 62 | | 2002-2003 | Scorie/Paroi de four | 429 | 1 | 1 | Scorie | Un culot SFR, un appui, indice de conservation 100 % ; ISO 24 (décapage) |
| 2022 | 2 | M | 044045-71 | | 2003 | Alliages cuivreux | 0,8 | 1 | 1 | Bille de coulée | Bille de coulée. |
| 2022 | 2 | C | 119 | | 2003 | Céramique | 6 | 1 | | Céramique | Panse |
| 2022 | 2 | F | | | 2003 | Faune | 23 | 3 | | Faune | |
| 2022 | 2 | LI | | | 2003 | Lithique | 15 | 1 | | p brute | autre |
| 2022 | 2 | CP | 154 | | 2003 | Scorie/Paroi de four | 88 | 1 | 1 | Scorie | Nettoyage depuis la berme nord : 1 fragment de culot SFR. |

| Pré-inventaire du mobilier-Secteur 2 | | | | | | | | | | | |
|--------------------------------------|---------|--------------|---------------|-----------|------|----------------------|-----------|----|-----|----------------|--|
| Année | Secteur | Code Matière | n° inventaire | Structure | US | Matériau | Masse (g) | NR | NMI | Type objet | Description |
| 2022 | 2 | CP | 118 | | 2004 | Scorie/Paroi de four | 157 | 12 | 1 | Scorie | 1 culot SFR. 1 fragment de paroi. 6 fragments de scories SFR, 3 SAS. 1 scorie informe SFR. |
| 2022 | 2 | M | 044045-64 | | 2005 | Alliages cuivreux | 0,1 | 1 | 1 | Fibule : corde | Fragment de fil très fin de section rectangulaire aplatie : corde ? |
| 2022 | 2 | M | 044045-67 | | 2005 | Alliages cuivreux | 1,5 | 1 | 1 | Chute de tige | Tige en cours de martelage avec des traces d'impact et de découpe. |
| 2022 | 2 | AMP | | | 2005 | Céramique | 5 | 1 | | | |
| 2022 | 2 | AMP | | | 2005 | Céramique | 14 | 1 | 1 | | |
| 2022 | 2 | AMP | | | 2005 | Céramique | 23 | 1 | 1 | | |
| 2022 | 2 | AMP | | | 2005 | Céramique | 13 | 2 | | | |
| 2022 | 2 | AMP | | | 2005 | Céramique | 28 | 1 | 1 | | |
| 2022 | 2 | AMP | | | 2005 | Céramique | 7 | 1 | 1 | | |
| 2022 | 2 | C | 36 | | 2005 | Céramique | 14 | 4 | | Céramique | Lot de panses |
| 2022 | 2 | C | 83 | | 2005 | Céramique | 2 | 1 | | Céramique | Bord arrondi |
| 2022 | 2 | C | 83 | | 2005 | Céramique | 56 | 4 | | Céramique | Lot de panses |
| 2022 | 2 | C | 86 | | 2005 | Céramique | 36 | 7 | | Céramique | Lot de panses |
| 2022 | 2 | C | 87 | | 2005 | Céramique | 26 | 3 | | Céramique | Lot de panses |
| 2022 | 2 | C | 90 | | 2005 | Céramique | 10 | 2 | | Céramique | ecuelle sinieuse, bord biseauté |
| 2022 | 2 | C | 90 | | 2005 | Céramique | 13 | 1 | | Céramique | Bord impressionné |
| 2022 | 2 | C | 90 | | 2005 | Céramique | 76 | 14 | | Céramique | Lot de panses |
| 2022 | 2 | C | 92 | | 2005 | Céramique | 101 | 4 | | Céramique | Lot de panses |
| 2022 | 2 | C | 92 | | 2005 | Céramique | 2 | 1 | | Céramique | Bord arrondi |
| 2022 | 2 | C | 94 | | 2005 | Céramique | 4 | 1 | | Céramique | Coupe hémisphérique, bord aplati |
| 2022 | 2 | C | 94 | | 2005 | Céramique | 4 | 2 | | Céramique | Lot de bords arrondis |
| 2022 | 2 | C | 94 | | 2005 | Céramique | 11 | 4 | | Céramique | Lot de panses |
| 2022 | 2 | C | 96 | | 2005 | Céramique | 12 | 1 | | Céramique | Coupe hémisphérique, bord aplati |
| 2022 | 2 | C | 96 | | 2005 | Céramique | 57 | 7 | | Céramique | Lot de panses |
| 2022 | 2 | C | 97 | | 2005 | Céramique | 46 | 9 | | Céramique | Lot de panses |
| 2022 | 2 | C | 98 | | 2005 | Céramique | 2 | 1 | | Céramique | Ecuelle à épaulement haut, bord arrondi |

| Pré-inventaire du mobilier-Secteur 2 | | | | | | | | | | | |
|--------------------------------------|---------|--------------|---------------|-----------|------|-----------|-----------|----|-----|------------|---------------------------------|
| Année | Secteur | Code Matière | n° inventaire | Structure | US | Matériau | Masse (g) | NR | NMI | Type objet | Description |
| 2022 | 2 | C | 98 | | 2005 | Céramique | 147 | 23 | | Céramique | Lot de panses |
| 2022 | 2 | C | 99 | | 2005 | Céramique | 5 | 1 | | Céramique | Jatte à bord droit, bord aplati |
| 2022 | 2 | C | 99 | | 2005 | Céramique | 7 | 1 | | Céramique | Panse |
| 2022 | 2 | C | 99 | | 2005 | Céramique | 58 | 12 | | Céramique | Lot de panses |
| 2022 | 2 | C | 100 | | 2005 | Céramique | 44 | 7 | | Céramique | Lot de panses |
| 2022 | 2 | C | 102 | | 2005 | Céramique | 6 | 3 | | Céramique | Lot de panses |
| 2022 | 2 | C | 102 | | 2005 | Céramique | 50 | 2 | | Céramique | Lot de panses |
| 2022 | 2 | C | 103 | | 2005 | Céramique | 18 | 3 | | Céramique | Lot de panses |
| 2022 | 2 | C | 103 | | 2005 | Céramique | 33 | 2 | | Céramique | Lot de panses |
| 2022 | 2 | C | 105 | | 2005 | Céramique | 5 | 1 | | Céramique | Jatte à bord droit, bord aplati |
| 2022 | 2 | C | 105 | | 2005 | Céramique | 56 | 7 | | Céramique | Lot de panses |
| 2022 | 2 | C | 108 | | 2005 | Céramique | 41 | 4 | | Céramique | Lot de panses |
| 2022 | 2 | C | 109 | | 2005 | Céramique | 68 | 11 | | Céramique | Lot de panses |
| 2022 | 2 | C | 110 | | 2005 | Céramique | 29 | 4 | | Céramique | Lot de panses |
| 2022 | 2 | C | 110 | | 2005 | Céramique | 7 | 1 | | Céramique | Bord arrondi |
| 2022 | 2 | C | 120 | | 2005 | Céramique | 14 | 2 | | Céramique | Lot de panses |
| 2022 | 2 | C | 121 | | 2005 | Céramique | 69 | 12 | | Céramique | Lot de panses |
| 2022 | 2 | C | 122 | | 2005 | Céramique | 2 | 1 | | Céramique | Pied ? |
| 2022 | 2 | C | 122 | | 2005 | Céramique | 3 | 1 | | Céramique | Bord arrondi |
| 2022 | 2 | C | 122 | | 2005 | Céramique | 12 | 1 | | Céramique | Fond plat |
| 2022 | 2 | C | 122 | | 2005 | Céramique | 76 | 11 | | Céramique | Lot de panses |
| 2022 | 2 | C | 122 | | 2005 | Céramique | 74 | 10 | | Céramique | Lot de panses |
| 2022 | 2 | C | 122 | | 2005 | Céramique | 2 | 1 | | Céramique | Bord aplati |
| 2022 | 2 | F | | | 2005 | Faune | 3 | 1 | | Faune | |
| 2022 | 2 | F | | | 2005 | Faune | 85 | 12 | | Faune | |
| 2022 | 2 | F | | | 2005 | Faune | 172 | 34 | | Faune | |
| 2022 | 2 | F | | | 2005 | Faune | 6 | 1 | | Faune | |
| 2022 | 2 | F | | | 2005 | Faune | 32 | 9 | | Faune | |

| Pré-inventaire du mobilier-Secteur 2 | | | | | | | | | | | | |
|--------------------------------------|---------|--------------|---------------|-----------|------|----------|-----------|----|-----|---|---|--|
| Année | Secteur | Code Matière | n° inventaire | Structure | US | Matériau | Masse (g) | NR | NMI | Type objet | Description | |
| 2022 | 2 | F | | | 2005 | Faune | 31 | 13 | | Faune | | |
| 2022 | 2 | F | | | 2005 | Faune | 24 | 3 | | Faune | | |
| 2022 | 2 | F | | | 2005 | Faune | 22 | 5 | | Faune | | |
| 2022 | 2 | F | | | 2005 | Faune | 28 | 4 | | Faune | | |
| 2022 | 2 | F | | | 2005 | Faune | 68 | 12 | | Faune | | |
| 2022 | 2 | F | | | 2005 | Faune | 69 | 7 | | Faune | | |
| 2022 | 2 | F | | | 2005 | Faune | 83 | 8 | | Faune | | |
| 2022 | 2 | F | | | 2005 | Faune | 141 | 37 | | Faune | | |
| 2022 | 2 | F | | | 2005 | Faune | 202 | 29 | | Faune | | |
| 2022 | 2 | F | | | 2005 | Faune | 45 | 9 | | Faune | | |
| 2022 | 2 | F | | | 2005 | Faune | 50 | 7 | | Faune | | |
| 2022 | 2 | F | | | 2005 | Faune | 125 | 27 | | Faune | | |
| 2022 | 2 | F | | | 2005 | Faune | 31 | 6 | | Faune | | |
| 2022 | 2 | F | | | 2005 | Faune | 126 | 12 | | Faune | | |
| 2022 | 2 | F | | | 2005 | Faune | 34 | 11 | | Faune | | |
| 2022 | 2 | F | | | 2005 | Faune | 37 | 6 | | Faune | | |
| 2022 | 2 | F | | | 2005 | Faune | 482 | 56 | | Faune | | |
| 2022 | 2 | F | | | 2005 | Faune | 216 | 55 | | Faune | | |
| 2022 | 2 | F | | | 2005 | Faune | 72 | 13 | | Faune | | |
| 2022 | 2 | F | | | 2005 | Faune | 33 | 6 | | Faune | | |
| 2022 | 2 | M | 044045-63 | | 2005 | Fer | 4,6 | 1 | 1 | Chute | Fragment de tige de section losangique avec une sole et une probable trace de découpe : chute. | |
| 2022 | 2 | M | 044045-65 | | 2005 | Fer | 0,6 | 1 | 0 | Fibule : ardillon | Petit fragment d'ardillon de section circulaire. | |
| 2022 | 2 | M | 044045-66 | | 2005 | Fer | 3,3 | 1 | 1 | Fibule : ardillon en cours de fabrication ? | Fragment de tige de section rectangulaire marquée par un ressaut rectangulaire à son extrémité : ardillon en cours de mise en forme ? | |
| 2022 | 2 | LI | 356 | | 2005 | Lithique | 3 | 1 | | p brute | | |
| 2022 | 2 | LI | 357 | | 2005 | Lithique | 25 | 1 | | percuteur | grès et conglomérat | |

| Pré-inventaire du mobilier-Secteur 2 | | | | | | | | | | | |
|--------------------------------------|---------|--------------|---------------|-----------|------|----------------------|-----------|----|-----|---------------------------|--|
| Année | Secteur | Code Matière | n° inventaire | Structure | US | Matériau | Masse (g) | NR | NMI | Type objet | Description |
| 2022 | 2 | LI | 358 | | 2005 | Lithique | 141 | 1 | | percuteur | grès et conglomérat |
| 2022 | 2 | LI | 359 | | 2005 | Lithique | 151 | 1 | | débris | grès et conglomérat |
| 2022 | 2 | LI | 367 | | 2005 | Lithique | 4 | 1 | | écl | autre |
| 2022 | 2 | LI | 315 | | 2005 | Lithique | 33 | 1 | | débris | grès et conglomérat |
| 2022 | 2 | LI | 320 | | 2005 | Lithique | 46 | 1 | | débris | grès et conglomérat |
| 2022 | 2 | LI | 307 | | 2005 | Lithique | 4 | 1 | | débris | granite |
| 2022 | 2 | LI | 312 | | 2005 | Lithique | 17 | 1 | | débris | grès et conglomérat |
| 2022 | 2 | LI | 322 | | 2005 | Lithique | 99 | 1 | | p brute | grès et conglomérat |
| 2022 | 2 | LI | 323 | | 2005 | Lithique | 51 | 1 | | lisseur | grès et conglomérat |
| 2022 | 2 | LI | 313 | | 2005 | Lithique | 19 | 1 | | débris | grès et conglomérat |
| 2022 | 2 | LI | 317 | | 2005 | Lithique | 69 | 1 | | débris | grès et conglomérat |
| 2022 | 2 | LI | 318 | | 2005 | Lithique | 37 | 1 | | outil mouture indéterminé | granite |
| 2022 | 2 | LI | 377 | | 2005 | Lithique | 85 | 1 | | p brute | grès et conglomérat |
| 2022 | 2 | CP | 119 | | 2005 | Scorie/Paroi de four | 28 | 2 | | Scorie | Sur berme entre carré 12 et 4 : 2 fragments de parois dont 1 scorifié. |
| 2022 | 2 | CP | 120 | | 2005 | Scorie/Paroi de four | 99 | 3 | 1 | Scorie | Carré 13 : 1 fragment de culot SFR, 2 fragment de scorie SFR. |
| 2022 | 2 | CP | 121 | | 2005 | Scorie/Paroi de four | 119 | 3 | 1 | Scorie | Décapage : 1 culot SFR, 1 fragment de scorie SGD et 1 fragment de paroi. |
| 2022 | 2 | CP | 122 | | 2005 | Scorie/Paroi de four | 9 | 1 | | Scorie | Carré 18 : 1 fragment de paroi |
| 2022 | 2 | CP | 123 | | 2005 | Scorie/Paroi de four | 367 | 10 | 1 | Scorie | 1 culot SFR, 2 fragment de paroi, 2 fragments de scorie SFR et 3 SGD dont 1 coulé, 2 scorie informe SFR |
| 2022 | 2 | CP | 125 | | 2005 | Scorie/Paroi de four | 238 | 8 | | Scorie | Carré 4 niveau 1 : 3 scories informes SFR dont 1 contenant du métal, 4 fragments de scories SGD, 1 fragment de paroi |
| 2022 | 2 | CP | 126 | | 2005 | Scorie/Paroi de four | 172 | 3 | 1 | Scorie | Carré 2 niveau 2 : 1 fragment de culot SFR, 1 fragment de scorie SGD, 1 fragment de paroi |
| 2022 | 2 | CP | 127 | | 2005 | Scorie/Paroi de four | 165 | 1 | 1 | Scorie | Carré 7 niveau 1 : 1 culot SFR |
| 2022 | 2 | CP | 129 | | 2005 | Scorie/Paroi de four | 134 | 4 | 2 | Scorie | Carré 6 : 1 fragment de culot SFR, 1 fragment de culot SGD, 1 fragment de scorie SFR, 1 SGD |

| Pré-inventaire du mobilier-Secteur 2 | | | | | | | | | | | |
|--------------------------------------|---------|--------------|---------------|-----------|-----------|----------------------|-----------|----|-----|---------------|--|
| Année | Secteur | Code Matière | n° inventaire | Structure | US | Matériau | Masse (g) | NR | NMI | Type objet | Description |
| 2022 | 2 | CP | 130 | | 2005 | Scorie/Paroi de four | 380 | 13 | 1 | Scorie | Carré 9 niveau 1 : 1 fragment de culot SGD. 2 fragments de scories SFR, 5 SGD. 5 fragments de parois. |
| 2022 | 2 | CP | 132 | | 2005 | Scorie/Paroi de four | 53 | 3 | | Scorie | Carré 2 niveau 1 : 2 scories informes SGD; 1 SFR. |
| 2022 | 2 | CP | 133 | | 2005 | Scorie/Paroi de four | 47 | 5 | | Scorie | Carré 12 : 2 fragments de parois. 2 fragments de scories SAS, 1 SGD. |
| 2022 | 2 | CP | 134 | | 2005 | Scorie/Paroi de four | 75 | 1 | 1 | Scorie | Carré 11: 1 fragment de culot SFR |
| 2022 | 2 | CP | 138 | | 2005 | Scorie/Paroi de four | 16 | 2 | | Scorie | Carré 2 : 1 fragment de scorie SFR et 1 fragment de paroi. |
| 2022 | 2 | CP | 139 | | 2005 | Scorie/Paroi de four | 247 | 5 | | Scorie | Carré 1 niveau 2 : 4 fragments de scories SGD. 1 scorie informe indéterminée (concrétion) mais contenant du métal. |
| 2022 | 2 | CP | 140 | | 2005 | Scorie/Paroi de four | 44 | 7 | | Scorie | Carré 7 niveau 2 : 5 fragments de parois. 2 fragments de scories SGD |
| 2022 | 2 | CP | 141 | | 2005 | Scorie/Paroi de four | 400 | 11 | 2 | Scorie | Carré 8 niveau 1 : 2 culots indéterminés (concrétions). 2 fragments de parois. 2 scories informes SGD et 4 indéterminée. 1 fragment de scories SGD |
| 2022 | 2 | MC | | | 2005 | Terre | 12 | 1 | 1 | Terre à bâtir | |
| 2022 | 2 | MC | | | 2005 | Terre | 8 | 1 | 1 | Terre à bâtir | |
| 2022 | 2 | MC | | | 2005 | Terre | 9 | 1 | 1 | Terre à bâtir | |
| 2022 | 2 | MC | | | 2005 | Terre | 24 | 1 | 1 | Terre à bâtir | |
| 2022 | 2 | MC | | | 2005 | Terre | 10 | 2 | | Terre à bâtir | |
| 2022 | 2 | MC | | | 2005 | Terre | 7 | 4 | | Terre à bâtir | |
| 2022 | 2 | MC | | | 2005 | Terre | 11 | 1 | 1 | Terre à bâtir | |
| 2022 | 2 | AMP | | | 2005-2006 | Céramique | 28 | 1 | 1 | | |
| 2022 | 2 | C | 89 | | 2005-2006 | Céramique | 100 | 12 | | Céramique | Lot de panses |
| 2022 | 2 | C | 89 | | 2005-2006 | Céramique | 11 | 1 | | Céramique | Bord aplati |
| 2022 | 2 | C | 10 | | 2005-2006 | Céramique | 106 | 19 | | Céramique | Lot de panses |
| 2022 | 2 | C | 10 | | 2005-2006 | Céramique | 6 | 1 | | Céramique | Jatte |

| Pré-inventaire du mobilier-Secteur 2 | | | | | | | | | | | |
|--------------------------------------|---------|--------------|---------------|-----------|-----------|----------------------|-----------|----|-----|---------------------------|---|
| Année | Secteur | Code Matière | n° inventaire | Structure | US | Matériau | Masse (g) | NR | NMI | Type objet | Description |
| 2022 | 2 | F | | | 2005-2006 | Faune | 146 | 28 | | Faune | |
| 2022 | 2 | LI | 303 | | 2005-2006 | Lithique | 4 | 1 | | outil mouture indéterminé | grès et conglomérat |
| 2022 | 2 | LI | 304 | | 2005-2006 | Lithique | 6 | 1 | | outil mouture indéterminé | grès et conglomérat |
| 2022 | 2 | CP | 136 | | 2005-2006 | Scorie/Paroi de four | 80 | 9 | | Scorie | Carré 3 niveau 1 : 3 fragments de parois. 2 fragments de scories SFR, 1 SGD, 1 SAS. 1 scorie informe SFR et 1 indéterminée. |
| 2022 | 2 | C | 93 | | 2005-2008 | Céramique | 48 | 10 | | Céramique | Lot de panses |
| 2022 | 2 | C | 93 | | 2005-2008 | Céramique | 43 | 3 | | Céramique | Lot de panses |
| 2022 | 2 | C | 106 | | 2005-2008 | Céramique | 30 | 5 | | Céramique | Lot de panses |
| 2022 | 2 | C | 106 | | 2005-2008 | Céramique | 3 | 2 | | Céramique | Bord aplati |
| 2022 | 2 | F | | | 2005-2008 | Faune | 18 | 8 | | Faune | |
| 2022 | 2 | CP | 124 | | 2005-2008 | Scorie/Paroi de four | 44 | 10 | | Scorie | Carré 14 : 10 fragments de scories SAS |
| 2022 | 2 | CP | 135 | | 2005-2008 | Scorie/Paroi de four | 66 | 3 | | Scorie | Carré 4 : 1 fragment de scorie SGD, 1 SFR. 1 scorie informe indéterminée. |
| 2022 | 2 | MC | | | 2005-2008 | Terre | 3 | 1 | 1 | Terre à bâtir | |
| 2022 | 2 | M | 044045-62 | | 2006 | Alliages cuivreux | 0,6 | 1 | 1 | Tige brute de coulée | Fragment de tige de section en D brute de coulée. |
| 2022 | 2 | M | 044045-68 | | 2006 | Alliages cuivreux | 0,1 | 1 | 1 | Rivet | Petit rivet à tête aplatie ovalaire et tige de section circulaire. |
| 2022 | 2 | C | 82 | | 2006 | Céramique | 5 | 2 | | Céramique | Lot de panses |
| 2022 | 2 | C | 95 | | 2006 | Céramique | 8 | 1 | | Céramique | Jatte, bord arrondi |
| 2022 | 2 | C | 95 | | 2006 | Céramique | 61 | 5 | | Céramique | Lot de panses |
| 2022 | 2 | C | 111 | | 2006 | Céramique | 11 | 3 | | Céramique | Lot de panses |
| 2022 | 2 | C | 123 | | 2006 | Céramique | 70 | 11 | | Céramique | Lot de panses |
| 2022 | 2 | C | 123 | | 2006 | Céramique | 44 | 1 | | Céramique | Panse |
| 2022 | 2 | C | 123 | | 2006 | Céramique | 28 | 4 | | Céramique | Lot de fond plat et panse |
| 2022 | 2 | C | 124 | | 2006 | Céramique | 16 | 5 | | Céramique | Lot de panses |

| Pré-inventaire du mobilier-Secteur 2 | | | | | | | | | | | |
|--------------------------------------|---------|--------------|---------------|-----------|------|----------------------|-----------|----|-----|---------------------------|--|
| Année | Secteur | Code Matière | n° inventaire | Structure | US | Matériau | Masse (g) | NR | NMI | Type objet | Description |
| 2022 | 2 | F | | | 2006 | Faune | 36 | 14 | | Faune | |
| 2022 | 2 | F | | | 2006 | Faune | 66 | 16 | | Faune | |
| 2022 | 2 | F | | | 2006 | Faune | 58 | 12 | | Faune | |
| 2022 | 2 | F | | | 2006 | Faune | 19 | 12 | | Faune | |
| 2022 | 2 | F | | | 2006 | Faune | 4 | 2 | | Faune | |
| 2022 | 2 | F | | | 2006 | Faune | 11 | 6 | | Faune | |
| 2022 | 2 | F | | | 2006 | Faune | 35 | 6 | | Faune | |
| 2022 | 2 | M | 044045-69 | | 2006 | Fer | 2,4 | 1 | 1 | Anneau | Fragment d'anneau ouvert dont les deux extrémités sont affinées. Il est de section circulaire. Il est déformé. |
| 2022 | 2 | M | 044045-70 | | 2006 | Fer | 1,1 | 2 | 1 | Tige | Fragment de tige de section quadrangulaire. |
| 2022 | 2 | LI | 381 | | 2006 | Lithique | 73 | 1 | | outil mouture indéterminé | grès et conglomérat |
| 2022 | 2 | LI | 384 | | 2006 | Lithique | 78 | 1 | | outil mouture indéterminé | grès et conglomérat |
| 2022 | 2 | LI | 385 | | 2006 | Lithique | 6 | 1 | | débris | grès et conglomérat |
| 2022 | 2 | LI | 386 | | 2006 | Lithique | 82 | 1 | | débris | grès et conglomérat |
| 2022 | 2 | CP | 82 | | 2006 | Scorie/Paroi de four | 30 | 3 | | Scorie | 1er nettoyage. 1 scorie informe SFR, 2 SGD |
| 2022 | 2 | CP | 142 | | 2006 | Scorie/Paroi de four | 14 | 4 | | Scorie | A proximité de F210 : 2 fragments de parois. 1 fragment de scorie SGD, 1 SFR. |
| 2022 | 2 | CP | 143 | | 2006 | Scorie/Paroi de four | 153 | 6 | 1 | Scorie | Carré 19 niveau inférieur : 1 fragment de culot SGD, 2 fragments de scories SAS et 2 indéterminé |
| 2022 | 2 | CP | 144 | | 2006 | Scorie/Paroi de four | 190 | 5 | 1 | Scorie | Carré 1 niveau 2 : 1 culot SFR. 3 fragments de scories SGD et 1 SFR |
| 2022 | 2 | CP | 147 | | 2006 | Scorie/Paroi de four | 167 | 10 | | Scorie | Carré 6 niveau 1 : 1 scorie informe indéterminée (concrétions). 4 fragments de scories SFR, 3 SGD, 2 fragments de parois. |
| 2022 | 2 | CP | 148 | | 2006 | Scorie/Paroi de four | 341 | 22 | 1 | Scorie | 1 culot SFR. 6 fragments de parois dont 2 avec de la scorie associée. 12 fragments de scories SFR. 3 scories informes SFR. |
| 2022 | 2 | CP | 149 | | 2006 | Scorie/Paroi de four | 181 | 18 | | Scorie | Carré 2 : 4 fragments de parois. 7 fragments de scories SGD, 4 SFR, 2 SAS. 1 scorie informe indéterminée. |
| 2022 | 2 | MC | | | 2006 | Terre | 30 | 3 | | Terre à bâtir | |

| Pré-inventaire du mobilier-Secteur 2 | | | | | | | | | | | |
|--------------------------------------|---------|--------------|---------------|-----------|------|-------------------|-----------|----|-----|---------------|--|
| Année | Secteur | Code Matière | n° inventaire | Structure | US | Matériau | Masse (g) | NR | NMI | Type objet | Description |
| 2022 | 2 | MC | | | 2006 | Terre | 29 | 1 | 1 | Terre à bâtir | |
| 2022 | 2 | MC | | | 2006 | Terre | 7 | 3 | | Terre à bâtir | |
| 2022 | 2 | MC | | | 2006 | Terre | 4 | 2 | | Terre à bâtir | |
| 2022 | 2 | M | 044045-61 | | 2008 | Alliages cuivreux | 6.2 | 2 | 1 | Fibule | Fibule muni d'un arc de section en D, avec des espaces vides pour accueillir du corail (motif composé d'une incision longitudinale et deux incisions transversales placées de part et d'autre de la grande incision). Elle se prolonge par un porte-ardillon de section en J d'où débute un pied relevé de forme carré. Lui aussi dispose d'une incision en forme de croix de Saint-André. Le ressort est rajouté à part inclus sur une petite perforation à l'extrémité de l'arc. Il dispose de 4+4 spires à corde interne passant par-dessus l'arc. Type F2G1. |
| 2022 | 2 | M | 044045-72 | | 2008 | Alliages cuivreux | 1,1 | 1 | 1 | Aiguille | Aiguille munie d'un fût de section circulaire et épointée à son extrémité distale. A son autre extrémité, un chas de forme elliptique percé dans la tige. Pour la couture. |
| 2022 | 2 | C | 85 | | 2008 | Céramique | 5 | 1 | | Céramique | Bord arrondi |
| 2022 | 2 | C | 85 | | 2008 | Céramique | 16 | 2 | | Céramique | Lot de panses |
| 2022 | 2 | C | 88 | | 2008 | Céramique | 55 | 5 | | Céramique | Lot de panses |
| 2022 | 2 | C | 88 | | 2008 | Céramique | 24 | 1 | | Céramique | Panse |
| 2022 | 2 | C | 88 | | 2008 | Céramique | 11 | 1 | | Céramique | Ecuelle biconique ? |
| 2022 | 2 | C | 91 | | 2008 | Céramique | 15 | 1 | | Céramique | Lot de panses |
| 2022 | 2 | C | 91 | | 2008 | Céramique | 7 | 2 | | Céramique | Lot de bords arrondis |
| 2022 | 2 | C | 91 | | 2008 | Céramique | 3 | 1 | | Céramique | Encolure de gobelet |
| 2022 | 2 | C | 101 | | 2008 | Céramique | 20 | 4 | | Céramique | Lot de panses |
| 2022 | 2 | F | | | 2008 | Faune | 22 | 2 | | Faune | |
| 2022 | 2 | F | | | 2008 | Faune | 45 | 8 | | Faune | |
| 2022 | 2 | F | | | 2008 | Faune | 45 | 8 | | Faune | |
| 2022 | 2 | F | | | 2008 | Faune | 33 | 5 | | Faune | |
| 2022 | 2 | F | | | 2008 | Faune | 4 | 1 | | Faune | |
| 2022 | 2 | LJ | 371 | | 2008 | Lithique | 14 | 1 | | débris | grès et conglomérat |

| Pré-inventaire du mobilier-Secteur 2 | | | | | | | | | | | |
|--------------------------------------|---------|--------------|---------------|-----------|------|----------------------|-----------|----|-----|---------------------------|--|
| Année | Secteur | Code Matière | n° inventaire | Structure | US | Matériau | Masse (g) | NR | NMI | Type objet | Description |
| 2022 | 2 | LI | 374 | | 2008 | Lithique | 14 | 1 | | débris | granite |
| 2022 | 2 | LI | 375 | | 2008 | Lithique | 17 | 1 | | débris | grès et conglomérat |
| 2022 | 2 | LI | 376 | | 2008 | Lithique | 65 | 1 | | outil mouture indéterminé | grès et conglomérat |
| 2022 | 2 | CP | 150 | | 2008 | Scorie/Paroi de four | 24 | 2 | | Scorie | Carré 19 : 2 fragments de scories SGD |
| 2022 | 2 | CP | 151 | | 2008 | Scorie/Paroi de four | 105 | 7 | | Scorie | Carré 3 : 2 scories informe SFR dont 1 comprenant du métal. 2 fragments de scories SGD, 4 SAS. |
| 2022 | 2 | MC | | | 2008 | Terre | 9 | 3 | | Terre à bâtir | |
| 2022 | 2 | C | 31 | | 2009 | Céramique | 19 | 1 | | Céramique | Fond plat |
| 2022 | 2 | C | 84 | | 2009 | Céramique | 6 | 1 | | Céramique | Fond plat |
| 2022 | 2 | C | 84 | | 2009 | Céramique | 13 | 3 | | Céramique | Lot de panses |
| 2022 | 2 | C | 125 | | 2009 | Céramique | 16 | 1 | | Céramique | Bord ? |
| 2022 | 2 | C | 125 | | 2009 | Céramique | 30 | 10 | | Céramique | Lot de panses |
| 2022 | 2 | C | 125 | | 2009 | Céramique | 29 | 1 | | Céramique | Panse |
| 2022 | 2 | C | 107 | | 2009 | Céramique | 3 | 1 | | Céramique | Panse |
| 2022 | 2 | C | 104 | | 2009 | Céramique | 3 | 1 | | Céramique | Fond |
| 2022 | 2 | C | 104 | | 2009 | Céramique | 19 | 3 | | Céramique | Lot de panses |
| 2022 | 2 | F | | | 2009 | Faune | 13 | 2 | | Faune | |
| 2022 | 2 | F | | | 2009 | Faune | 16 | 8 | | Faune | |
| 2022 | 2 | F | | | 2009 | Faune | 18 | 2 | | Faune | |
| 2022 | 2 | F | | | 2009 | Faune | 4 | 3 | | Faune | |
| 2022 | 2 | LI | 368 | | 2009 | Lithique | 23 | 1 | | outil mouture indéterminé | grès et conglomérat |
| 2022 | 2 | CP | 153 | | 2009 | Scorie/Paroi de four | 7 | 2 | | Scorie | Carré 16 : 2 fragments de parois |

| Pré-inventaire du mobilier-Secteur 3 | | | | | | | | | | | |
|--------------------------------------|---------|--------------|---------------|-----------|--------|----------------------|-----------|----|-----|---------------|--|
| Année | Secteur | Code Matière | n° inventaire | Structure | US | Matériau | Masse (g) | NR | NMI | Type objet | Description |
| 2022 | 3 | C | 126 | 400 | 400.02 | Céramique | 5 | 1 | | Céramique | Jatte, bord arrondi |
| 2022 | 3 | C | 126 | 400 | 400.02 | Céramique | 15 | 4 | | Céramique | Lot de panses |
| 2022 | 3 | C | 126 | 400 | 400.02 | Céramique | 71 | 11 | | Céramique | Lot de panses |
| 2022 | 3 | C | 127 | 400 | 400.02 | Céramique | 11 | 1 | | Céramique | Panse |
| 2022 | 3 | C | 128 | 400 | 400.02 | Céramique | 5 | 1 | | Céramique | Jatte à bord rentrant, bord arrondi |
| 2022 | 3 | C | 128 | 400 | 400.02 | Céramique | 2 | 1 | | Céramique | Bord aplati |
| 2022 | 3 | C | 128 | 400 | 400.02 | Céramique | 15 | 3 | | Céramique | Lot de panses |
| 2022 | 3 | CP | 63 | 400 | 400.02 | Scorie/Paroi de four | 335 | 6 | 3 | Scorie | Une scorie de bronze, un fragment de scorie SGD, une scorie informe SGD, 3 culots dont un indéterminé dû aux concrétions. 1 culot SGD sans appui conservé à 100 %. 1 culot SGD avec un appui conservé à 90 % |
| 2022 | 3 | MC | | 400 | 400.02 | Terre | 78 | 10 | | Terre à bâtir | |
| 2022 | 3 | AMP | | 400 | 400.03 | Céramique | 21 | 3 | | Céramique | Amphore |
| 2022 | 3 | C | 129 | 400 | 400.03 | Céramique | 17 | 1 | | Céramique | Panse |
| 2022 | 3 | C | 129 | 400 | 400.03 | Céramique | 6 | 1 | | Céramique | Bord arrondi |
| 2022 | 3 | C | 129 | 400 | 400.03 | Céramique | 2 | 1 | | Céramique | Bord aplati et impressionné |
| 2022 | 3 | C | 129 | 400 | 400.03 | Céramique | 74 | 21 | | Céramique | Lot de panses |
| 2022 | 3 | LI | 240 | 400 | 400.03 | Lithique | 8 | 1 | | écl | |
| 2022 | 3 | LI | 241 | 400 | 400.03 | Lithique | 1 | 1 | | écl | |
| 2022 | 3 | LI | 247 | 400 | 400.03 | Lithique | 3 | 1 | | écl | fragment |
| 2022 | 3 | LI | 255 | 400 | 400.03 | Lithique | 31 | 1 | | débris | |
| 2022 | 3 | LI | | 400 | 400.03 | Lithique | 14 | 3 | | p brute | |
| 2022 | 3 | LI | | 400 | 400.03 | Lithique | 6 | 1 | | p brute | |
| 2022 | 3 | CP | 64 | 400 | 400.03 | Scorie/Paroi de four | 337 | 8 | 4 | Scorie | 1 culot SGD peu dense, fragmenté en trois, un appui. 1 culot a priori SFR (Concrétions), 1 appui, conservé à 100 %. 1 petit culot SGD sans appui avec une surface d'arrachement, conservé à 90 %. 1 petit culot SAS, avec un appui et conservé à 100 %. Un petit fragment de paroi scorifié. Une scorie informe SFR. |

| Pré-inventaire du mobilier-Secteur 3 | | | | | | | | | | | |
|--------------------------------------|---------|--------------|---------------|-----------|--------|----------------------|-----------|----|-----|---------------------------|--|
| Année | Secteur | Code Matière | n° inventaire | Structure | US | Matériau | Masse (g) | NR | NMI | Type objet | Description |
| 2022 | 3 | MC | | 400 | 400.03 | Terre | 7 | 1 | 1 | Terre à bâtir | |
| 2022 | 3 | AMP | | 400 | 400.04 | Céramique | 60 | 5 | | Céramique | |
| 2022 | 3 | C | 130 | 400 | 400.04 | Céramique | 80 | 15 | | Céramique | Lot de panses |
| 2022 | 3 | C | 130 | 400 | 400.04 | Céramique | 5 | 1 | | Céramique | Coupe hémisphérique, bord triangulaire |
| 2022 | 3 | C | 130 | 400 | 400.04 | Céramique | 44 | 1 | | Céramique | Fond plat |
| 2022 | 3 | LI | 249 | 400 | 400.04 | Lithique | 1 | 1 | | écl | fragment |
| 2022 | 3 | LI | 250 | 400 | 400.04 | Lithique | 1 | 1 | | écl | fragment |
| 2022 | 3 | LI | 251 | 400 | 400.04 | Lithique | 1 | 1 | | écl | fragment |
| 2022 | 3 | LI | 252 | 400 | 400.04 | Lithique | 71 | 1 | | écl | entier |
| 2022 | 3 | LI | | 400 | 400.04 | Lithique | 24 | 1 | | p brute | |
| 2022 | 3 | LI | | 400 | 400.04 | Lithique | 49 | 1 | | p brute | |
| 2022 | 3 | LI | | 400 | 400.04 | Lithique | 4 | 1 | | p brute | |
| 2022 | 3 | CP | 65 | 400 | 400.04 | Scorie/Paroi de four | 70 | 1 | 1 | Scorie | 1 culot à priori SGD (Concrétions), avec un appui, conservation indéterminé. |
| 2022 | 3 | C | 131 | 400 | 400.05 | Céramique | 141 | 27 | | Céramique | Lot de panses |
| 2022 | 3 | C | 131 | 400 | 400.05 | Céramique | 3 | 1 | | Céramique | Bord arrondi |
| 2022 | 3 | C | 131 | 400 | 400.05 | Céramique | 9 | 1 | | Céramique | Jatte à bord droit, bord triangulaire |
| 2022 | 3 | C | 131 | 400 | 400.05 | Céramique | 43 | 1 | | Céramique | Bouteille à épaulement haut, bord arrondi |
| 2022 | 3 | C | 131 | 400 | 400.05 | Céramique | 48 | 3 | | Céramique | Lot de fonds plats |
| 2022 | 3 | C | 131 | 400 | 400.05 | Céramique | 23 | 1 | | Céramique | Panse |
| 2022 | 3 | LI | 226 | 400 | 400.05 | Lithique | 105 | 1 | | outil mouture indéterminé | bord |
| 2022 | 3 | LI | 227 | 400 | 400.05 | Lithique | 5 | 1 | | débris | |
| 2022 | 3 | LI | 228 | 400 | 400.05 | Lithique | 152 | 1 | | débris | |
| 2022 | 3 | LI | 228 | 400 | 400.05 | Lithique | | | | percuteur | entier |
| 2022 | 3 | LI | 242 | 400 | 400.05 | Lithique | 1 | 1 | | écl | |
| 2022 | 3 | LI | 243 | 400 | 400.05 | Lithique | 4 | 1 | | écl | |
| 2022 | 3 | LI | 244 | 400 | 400.05 | Lithique | 1 | 1 | | écl | |

| Pré-inventaire du mobilier-Secteur 3 | | | | | | | | | | | |
|--------------------------------------|---------|--------------|---------------|-----------|--------|----------------------|-----------|----|-----|------------|--|
| Année | Secteur | Code Matière | n° inventaire | Structure | US | Matériau | Masse (g) | NR | NMI | Type objet | Description |
| 2022 | 3 | LI | 245 | 400 | 400.05 | Lithique | 1 | 1 | | écl | |
| 2022 | 3 | LI | 246 | 400 | 400.05 | Lithique | 92 | 1 | | molette | bord |
| 2022 | 3 | LI | | 400 | 400.05 | Lithique | 3 | 1 | | p brute | |
| 2022 | 3 | LI | | 400 | 400.05 | Lithique | 35 | 1 | | p brute | |
| 2022 | 3 | LI | | 400 | 400.05 | Lithique | 28 | 1 | | p brute | |
| 2022 | 3 | LI | | 400 | 400.05 | Lithique | 18 | 2 | | p brute | |
| 2022 | 3 | CP | 66 | 400 | 400.05 | Scorie/Paroi de four | 330 | 5 | 1 | Scorie | 1 culot indéterminé. 2 fragments de culots, 1 SGD avec un appui et une trace de paroi, l'autre SFR. 1 fragment de parois. Une scorie informe SGD à l'apparence coulée. |
| 2022 | 3 | AMP | | Décapage | 3001 | Céramique | 352 | 6 | | | |
| 2022 | 3 | LI | 222 | Décapage | 3001 | Lithique | | 1 | | débris | |
| 2022 | 3 | C | 132 | Décapage | 3001 | Céramique | 19 | 1 | | Céramique | Fond plat |
| 2022 | 3 | C | 132 | Décapage | 3001 | Céramique | 13 | 4 | | Céramique | Lot de panses |
| 2022 | 3 | C | 133 | Décapage | 3001 | Céramique | 3 | 1 | | Céramique | Fond plat |
| 2022 | 3 | C | 133 | Décapage | 3001 | Céramique | 3 | 1 | | Céramique | Bord arrondi |
| 2022 | 3 | C | 133 | Décapage | 3001 | Céramique | 32 | 6 | | Céramique | Lot de panses |

ANNEXE 12 - INVENTAIRE DU MOBILIER MÉTALLIQUE, DES OBJETS EN MATIÈRE ORGANIQUE FOS-SILE, EN TERRE CUITE, EN MATIÈRE DURE ANIMALE

| Listing du mobilier métallique, en céramique, en os et en matière organique fossile | | | | | | | | | | | | | | |
|---|---------|--------------|---------------|-----------|------|-----|-------------|-----------|----|-----|---|-------------------------|------------------------|--|
| Année | Secteur | Code Matière | n° inventaire | Structure | US | Iso | Matériau | Masse (g) | NR | NMI | Dimensions (en mm) | Catégorie fonctionnelle | Type | Description |
| 2021 | 1 | C | 043853-1 | 1 | 1004 | | Terre cuite | 17,1 | 1 | 1 | L cons : 32 ; diam ext : 22 à 27 ; diam perfo : 6 à 6,5 | Textile | Dévidoir | Fragment de cylindre muni d'une perforation qui le traverse longitudinalement et qui s'évase légèrement vers son extrémité non conservée : fragment probable de dévidoir. |
| 2021 | 1 | C | 043853-10 | 31 | 1108 | | Terre cuite | 9,2 | 1 | 1 | Diam : 26 ; diam int : 8 ; ht : 13 | Textile | Fusaiole | Fusaiole de forme tronconique carénée à paroi rectiligne, perforée sur toute sa hauteur. Type IIC2. |
| 2021 | 1 | C | 043853-11 | 31 | 1108 | | Terre cuite | 6,1 | 1 | 1 | Diam : 22 ; diam int : 4 ; ht : 12 | Textile | Fusaiole | Fusaiole de forme hémisphérique perforée sur toute sa hauteur. Type IIB1. |
| 2021 | 1 | C | 043853-12 | 45 | 1106 | | Terre cuite | 282,8 | 3 | 1 | L cons : 115 ; l : 32 à 60 ; ép : 55 ; diam perfo : 10 | Textile | Peson | Fragments de peson massif de forme tronconique, perforé dans sa partie supérieure pour sa suspension. |
| 2021 | 1 | C | 043853-13 | 46 | 1137 | | Terre crue | 67,5 | 3 | 1 | _ | Divers-production | Terre pour artisanat ? | Fragments de terre crue de couleur grise à blanche : destinés à une production d'objets en terre cuite, céramique ou pour le travail du métal ? |
| 2021 | 1 | C | 043853-14 | 46 | 1141 | | Terre crue | 1 120,0 | 1 | 1 | _ | Divers-production | Terre pour artisanat ? | Fragments de terre crue de couleur grise à blanche : destinés à une production d'objets en terre cuite, céramique ou pour le travail du métal ? |
| 2021 | 1 | C | 043853-15 | 61 | 1137 | | Terre crue | 53,0 | 3 | 1 | _ | Divers-production | Terre pour artisanat ? | Fragments de terre crue de couleur grise à blanche : destinés à une production d'objets en terre cuite, céramique ou pour le travail du métal ? |
| 2021 | 1 | C | 043853-16 | 29 | 1062 | | Terre cuite | 49,5 | 1 | 1 | L cons : 45 ; l : 30 ; ép : 35 | Textile | Peson | Fragment probable de peson : angle distale de la pièce ? |
| 2021 | 1 | C | 043853-17 | 5 | 1012 | | Terre cuite | 86,9 | 1 | 1 | L cons : 45 ; l : 30 ; ép : 35 | Textile | Peson | Fragment probable de peson : angle distale de la pièce ? |
| 2021 | 1 | C | 043853-18 | 3 | 1109 | | Terre cuite | 8,7 | 1 | 1 | L cons : 25 ; l : 20 | Guerre-prédation | Balle de fronde | Fragment de balle de fronde. |
| 2021 | 1 | C | 043853-19 | 29 | 1062 | | Terre cuite | 366,0 | 1 | 1 | L : 118 ; l : 29 à 78 ; ép : 32 à 53 ; diam perfo : 12 | Textile | Peson | Peson massif de forme tronconique, perforé dans sa partie supérieure pour sa suspension. |
| 2021 | 1 | C | 043853-2 | 1 | 1004 | | Terre cuite | 110,9 | 1 | 1 | L cons : 74 ; l : 41 à 56 ; ép : 25 ; diam perfo : 21 | Textile | Peson | Fragment de peson massif de forme tronconique, perforé dans sa partie supérieure pour sa suspension. Seule la partie proximale est ici conservée. |
| 2021 | 1 | C | 043853-3 | 3 | 1006 | | Terre cuite | 36,0 | 1 | 1 | L cons : 43 ; l : 8 à 47 ; ép : 18 à 20 ; diam perfo : 22 | Textile | Peson | Fragment de peson dont l'intérieur est creux indiquant une fabrication en deux pièces accolées ensemble. Il est perforé dans sa partie supérieure pour sa suspension. Seule la partie proximale est ici conservée. |
| 2021 | 1 | C | 043853-3 | 3 | 1006 | | Terre cuite | 6,9 | 5 | 1 | _ | Textile | Peson | Fragments probable de pesons. |
| 2021 | 1 | C | 043853-4 | 3 | 1090 | | Terre cuite | 15,9 | 1 | 0 | L cons : 50 ; ép : 5 à 8 | Textile | Peson | Fragment de peson dont l'intérieur est creux indiquant une fabrication en deux pièces accolées ensemble. Seule la partie distale est ici conservée. |
| 2021 | 1 | C | 043853-5 | 6 | 1014 | | Terre cuite | 6,1 | 1 | 0 | L cons : 34 ; ép : 8 | Textile | Peson | Fragment probable de peson : angle distale de la pièce ? |
| 2021 | 1 | C | 043853-6 | 8 | 1018 | | Terre cuite | 30,0 | 1 | 1 | L cons : 32 ; ép : 30 | Textile | Peson | Fragment de peson : angle distale de la pièce aux bords externes arrondis. |
| 2021 | 1 | C | 043853-7 | 29 | 1062 | | Terre cuite | 420,0 | 2 | 1 | L cons : 125 ; l : 41 à 66 ; ép : 54 à 62 ; diam perfo : 15 | Textile | Peson | Fragments de peson massif de forme tronconique, perforé dans sa partie supérieure pour sa suspension. |
| 2021 | 1 | C | 043853-8 | 29 | 1062 | | Terre cuite | 8,9 | 1 | 1 | Diam : 22 ; diam int : 4 ; ht : 17 | Textile | Fusaiole | Fusaiole de forme discoïde à paroi arrondie, perforée sur toute sa hauteur. Type IIB3. |
| 2021 | 1 | C | 043853-9 | 31 | 1066 | | Terre cuite | 6,6 | 1 | 1 | Diam : 22 ; diam int : 8 ; ht : 16 | Textile | Fusaiole | Fusaiole de forme tronconique carénée à paroi rectiligne, perforée sur toute sa hauteur. Type IIC3. |

ANNEXE 12 - INVENTAIRE DU MOBILIER MÉTALLIQUE, DES OBJETS EN MATIÈRE ORGANIQUE FOSSILE, EN TERRE CUITE, EN MATIÈRE DURE ANIMALE

| Listing du mobilier métallique, en céramique, en os et en matière organique fossile | | | | | | | | | | | | | | |
|---|---------|--------------|---------------|-----------|------|-----|---------------------------|-----------|----|-----|--|------------------------------------|--------------------------------------|--|
| Année | Secteur | Code Matière | n° inventaire | Structure | US | Iso | Matériau | Masse (g) | NR | NMI | Dimensions (en mm) | Catégorie fonctionnelle | Type | Description |
| 2021 | 1 | IO | 043853-1 | 5 | 1012 | | Os | 73,1 | 1 | 1 | L cons : 128 ; l : 24 à 31 ; ép : 26 à 28 ; diam int max : 16 à 20 | Divers-production | Manche d'outil | Pièce d'os (métatarse de boeuf) dont l'une des extrémités à été aménagée pour permettre l'emmanchement d'un outil. Cet aménagement est un creusement de forme quadrangulaire profond d'au moins 30 mm et large de 16 à 20 mm. L'autre extrémité n'est pas conservée. |
| 2021 | 1 | LI | 043853-1 | 29 | 1062 | | Matière organique fossile | 11,0 | 1 | 1 | L cons : 85 ; ép : 11 ; diam éval : 70 | Parure-Vêtement | Bracelet | Fragment de bracelet de section circulaire simple. |
| 2021 | 1 | LI | 043853-2 | 31 | 1066 | | Matière organique fossile | 8,9 | 1 | 1 | L cons : 69 ; l : 11 ; ép : 8 ; diam éval : 60 | Parure-Vêtement | Bracelet | Fragment de bracelet de section en D simple dont la face interne dispose de nombreuses traces d'outil (lignes obliques) liées à son ébauchage. |
| 2021 | 1 | LI | 043853-215 | 10 | 1022 | | Pierre | 71,0 | 1 | 1 | L cons : 55 ; l : 20 à 35 | Divers-production | Outil : polissoir ? | Fragment de forme triangulaire : polissoir. |
| 2021 | 1 | M | 043853-1 | Décapage | 1001 | | Fer | 29,9 | 1 | 1 | L : 86 ; l : 4 à 12 ; ép : 5 à 12 | Artisanat du métal | Chute de barre | Pièce composée d'une tige de section rectangulaire dont l'une des extrémités est affinée et de section en D quasi circulaire. L'autre extrémité plus large et épaisse dispose d'une section en D également. Son profil est déformé et l'extrémité pourrait avoir été découpée. Un aplatissement est aussi visible vers l'extrémité la plus fine. Chute de barre. |
| 2021 | 1 | M | 043853-1 | Décapage | 1001 | | Fer | 16,2 | 1 | 1 | L : 31 ; l : 6 à 31 ; ép : 5 à 15 | Artisanat du métal | Chute de Tôle | Tôle épaisse de forme losangique dont une extrémité est repliée. Son aspect de surface est non lisse, voir boursoufflé : lié à l'artisanat du métal ? Chute de tôle ? |
| 2021 | 1 | M | 043853-10 | | 1003 | | Fer | 3,7 | 1 | 1 | L cons : 34 ; l : 5 à 7 ; ép : 1 à 3 | Soin du corps ou divers-polyvalent | Pince à épiler ou applique ? | Bande de tôle dont l'extrémité distale est à peine plus large et légèrement incurvée. Les bords longitudinaux sont renhaussés d'un léger ressaut : bras de pince à épiler ou applique ? |
| 2021 | 1 | M | 043853-11 | | 1003 | | Fer | 9,1 | 1 | 1 | L cons : 59 ; l : 8 à 9 ; ép : 3 à 7 | Artisanat du métal | Barrette | Pièce composée d'une tige de section rectangulaire munie de nombreuses déformations : aplatissements, torsion. L'extrémité conservée est biseauté et arrondie. D'après ses dimensions, il s'agit d'une barrette. |
| 2021 | 1 | M | 043853-12 | 1 | 1004 | | Fer | 24,4 | 4 | 1 | L cons : 114 ; l : 12 à 23 ; ép : 4 | Divers-polyvalent | Poignée ou cerclage ? | Pièce composée d'une bande de tôle terminée aux deux extrémités d'une partie trapézoïdale perforée pour la fixation sur un support. Le profil est arrondi. Poignée ou cerclage ? |
| 2021 | 1 | M | 043853-13 | 2 | 1005 | | Fer | 18,4 | 2 | 1 | L cons : 120 ; l : 6 à 19 ; ép : 3 à 5 | Activités culinaires | Couteau | Pièce composée d'une lame de section triangulaire (rectangle?) dont le dos est rectiligne et le tranchant rectiligne avec juste un arrondi léger vers la pointe manquante. A l'autre extrémité, la lame s'affine brusquement pour le départ de la soie de section elliptique qui devait se terminer en pointe. Juste à cette jonction, on perçoit une possible bandelette de tôle entourant la pièce : reste d'un petit étui ou fourreau ? Des traces de bois attestent d'un manche sur la soie désormais disparu. |
| 2021 | 1 | M | 043853-14 | 2 | 1005 | | Fer | 6,7 | 1 | 1 | L cons : 37 ; l : 9 à 19 ; ép : 3 à 4 | Artisanat du métal | Pince à épiler en cours de façonnage | Pièce composée d'une bande de tôle repliée en U à son extrémité proximale et se prolongeant par une tige de section en D. Pince à épiler en cours de façonnage ? |
| 2021 | 1 | M | 043853-14 | 2 | 1005 | | Fer | 4,2 | 1 | 1 | L : 31 ; l : 7 à 11 ; ép : 4 à 6 | Artisanat du métal | Chute de barrette | Pièce composée d'une tige de section en D à triangulaire dont l'une des faces est scannée. L'extrémité distale un peu large possède une trace d'arrachement : chute de barrette. |
| 2021 | 1 | M | 043853-15 | 2 | 1005 | | Fer | 3,6 | 1 | 0 | L cons : 26 ; l : 3 à 16 ; ép : 2 à 4 | Activités culinaires | Couteau : pointe | Extrémité époincée de lame de couteau de section triangulaire dont le départ du dos semble rectiligne. Le tranchant forme un départ d'arc de cercle. Lié à de la découpe ? |

ANNEXE 12 - INVENTAIRE DU MOBILIER MÉTALLIQUE, DES OBJETS EN MATIÈRE ORGANIQUE FOS-
SILE, EN TERRE CUITE, EN MATIÈRE DURE ANIMALE

| Listing du mobilier métallique, en céramique, en os et en matière organique fossile | | | | | | | | | | | | | | |
|---|---------|--------------|---------------|-----------|------|-----|----------|-----------|----|-----|---|-------------------------|---------------------------------|--|
| Année | Secteur | Code Matière | n° inventaire | Structure | US | Iso | Matériau | Masse (g) | NR | NMI | Dimensions (en mm) | Catégorie fonctionnelle | Type | Description |
| 2021 | 1 | M | 043853-15 | 2 | 1005 | | Fer | 11,6 | 1 | 1 | L cons : 23 ; tige : 11X9 | Divers-polyvalent | Clou : tête | Fragment de clou composé d'une tige de section rectangulaire et d'une tête losangique. |
| 2021 | 1 | M | 043853-16 | 3 | 1006 | | Fer | 3,8 | 1 | 1 | L cons : 22; tige : 9X9 | Divers-polyvalent | Clou : tête | Fragment de clou composé d'une tête ovulaire et du départ d'une tige de section carrée. |
| 2021 | 1 | M | 043853-17 | 3 | 1109 | | Fer | 65,9 | 1 | 1 | L cons : 26 ; l : 3 à 16 ; ép : 2 à 4 | Activités culinaires | Couteau | Fragment de couteau composé d'une lame de section triangulaire dont le dos est droit et le tranchant incurvé. La pointe est manquante (MET 157). Elle se prolonge d'un long manche de section rectangulaire aplatie destiné à accueillir des plaquettes fixées par au moins deux rivets présents au départ et à l'extrémité du manche. |
| 2021 | 1 | M | 043853-18 | 3 | 1109 | | Fer | 17,6 | 3 | 0 | L cons : 85; l : 9 à 21; ép : 1 à 4 | Activités culinaires | Couteau | Fragment de lame de couteau de section triangulaire au dos droit et tranchant légèrement incurvé. Suite du couteau MET 17. |
| 2021 | 1 | M | 043853-19 | 3 | 1090 | | Fer | 20,8 | 1 | 1 | L cons : 32 ; l tôle : 26 ; ép tôle : 2 ; tige : 7X7 | Divers-production | Clou à tête incurvé | Clou composé d'une tête avec une tôle au profil incurvée dans laquelle une tige a été placée au centre pour sa fixation, formant comme une gouttière. Rappelle les « rivets de serpe » pour fixer un manche d'outil. |
| 2021 | 1 | M | 043853-2 | Décapage | 1001 | | Fer | 71,9 | 1 | 1 | L : 117 ; l : 8 à 15 ; ép : 3 à 13 | Artisanat du métal | Ciseau ou ciseaulet ? | Tige épaisse de section rectangulaire dont une extrémité s'affine en biseau. L'autre extrémité forme une tête aplatie de forme rectangulaire. Son profil indique qu'il est désormais déformé ; possible ciseau ou ciseaulet ? |
| 2021 | 1 | M | 043853-20 | 3 | 1090 | | Fer | 7,6 | 1 | 1 | L cons : 44 ; l : 4 à 8 ; ép : 2 à 6 | Artisanat du métal | Soie de barrette | Fragment de tige affinée à l'une de ses extrémités de section en D, prolongée d'une partie de section aplatie déformée dont l'extrémité distale est aplatie. Son profil indique qu'elle est déformée. Soie de barrette d'après ses dimensions. |
| 2021 | 1 | M | 043853-21 | 5 | 1091 | | Fer | 24,1 | 1 | 1 | L cons : 37 ; l : 8 à 17 ; ép : 7 à 14 | Artisanat du métal | Soie de barre | Pièce composée d'une tige épointée de section quadrangulaire qui se prolonge par une partie plus épaisse de section en D fragmentée. L'extrémité épointée est repliée formant ainsi un oeillet ; soie de barre repliée. |
| 2021 | 1 | M | 043853-22 | 5 | 1091 | | Fer | 11,5 | 1 | 1 | L cons : 55 ; l : 8 à 16 ; ép : 2 à 4 | Activités culinaires | Vaisselle : attache d'anse ? | Pièce composée d'une tôle de forme foliacée marquée par une nervure centrale longitudinale et un profil incurvé. Deux rivets permettraient sa fixation sur le support : l'un de tête circulaire, l'autre rectangulaire ? Attache d'anse de vaisselle ? |
| 2021 | 1 | M | 043853-23 | 5 | 1091 | | Fer | 1,5 | 1 | 0 | L cons : 28 ; ép : 4 | Parure-Vêtement | Fibule : ardillon | Fragment d'ardillon de fibule de section ovulaire : liée à MET 24. |
| 2021 | 1 | M | 043853-24 | 5 | 1093 | | Fer | 3,4 | 1 | 1 | L cons : 27 ; l ressort : 27 ; l arc : 4 à 6 ; ép : 3 à 8 | Parure-Vêtement | Fibule F | Fragment de fibule composée d'un arc simple de section quasi triangulaire prolongé d'un ressort (6+6 spires) dont la corde est manquante. L'ardillon n'est conservé que sur son départ. Il manque le pied et le porte-ardillon : type F. |
| 2021 | 1 | M | 043853-25 | 5 | 1012 | | Fer | 29,8 | 2 | 1 | L cons : 130 ; l : 5 à 12 ; ép : 4 à 10 | Artisanat du métal | Chute de barre | Pièce composée d'une soie épointée de section carrée qui s'élargit et s'épaissit en section rectangulaire et se termine à son extrémité par une section en D. Cette dernière pourrait être découpée ? Une légère torsion est présente à la moitié de sa longueur. Chute de barre |
| 2021 | 1 | M | 043853-26 | 5 | 1012 | | Fer | 1,2 | 1 | 1 | L cons : 31 ; ép : 1,5 à 4 | Parure-Vêtement | Fibule : ardillon | Fragment d'ardillon de fibule de section ovulaire et épointé. |
| 2021 | 1 | M | 043853-27 | 5 | 1012 | | Fer | 3,3 | 2 | 1 | L cons : 49 ; l : 4 à 5 ; ép : 2 à 3 | Artisanat du métal | Chute de barrette ? | Pièce composée d'une tige affinée à l'une de ses extrémités formant ainsi une soie, prolongée par une partie à peine plus large et aplatie de section elliptique. Son profil est déformé : chute de barrette ? |

ANNEXE 12 - INVENTAIRE DU MOBILIER MÉTALLIQUE, DES OBJETS EN MATIÈRE ORGANIQUE FOS-SILE, EN TERRE CUITE, EN MATIÈRE DURE ANIMALE

| Listing du mobilier métallique, en céramique, en os et en matière organique fossile | | | | | | | | | | | | | | |
|---|---------|--------------|---------------|-----------|------|-----|----------|-----------|----|-----|---|-------------------------|----------------------------------|--|
| Année | Secteur | Code Matière | n° inventaire | Structure | US | Iso | Matériau | Masse (g) | NR | NMI | Dimensions (en mm) | Catégorie fonctionnelle | Type | Description |
| 2021 | 1 | M | 043853-28 | 5 | 1012 | | Fer | 2,5 | 1 | 1 | L : 15 ; tête : 15 ; tige : 5X5 | Divers-polyvalent | Clou décoratif | Petit clou composé d'une tête aplatie de forme circulaire prolongée d'une tige époincée courte et de section carrée, courbée. |
| 2021 | 1 | M | 043853-29 | 5 | 1012 | | Fer | 9,9 | 2 | 1 | L cons : 63 ; l : 8 à 18 ; ép : 2 à 4 | Soin du corps | Rasoir ? | Fragment de lame de section triangulaire rectangle dont le dos est droit et le tranchant légèrement incurvé sur l'extrémité distale. La pointe est manquante. Elle se prolonge soit d'emmanchement de section rectangulaire aplatie : rasoir ? |
| 2021 | 1 | M | 043853-3 | Décapage | 1001 | | Fer | 0,6 | 1 | 1 | L : 11 ; l : 6 ; ép : 1 à 5 ; diam tête : 9 | Divers-polyvalent | Clou décoratif | Petit clou composé d'une tête aplatie de forme circulaire prolongée d'une tige époincée, de section carrée. |
| 2021 | 1 | M | 043853-30 | 6 | 1014 | | Fer | 19,7 | 1 | 1 | L cons : 76 ; l : 3 à 18 ; ép : 2 à 16 | Artisanat du métal | Chute de barre | Fragment de barre de section quadrangulaire à trapézoïdale dont l'extrémité distale semble découpée en biseau. L'autre extrémité est époincée et repliée sur le reste de la soie. Chute de barre à soie. |
| 2021 | 1 | M | 043853-31 | 6 | 1014 | | Fer | 10,9 | 1 | 1 | L cons : 26 ; diam : 26 ; ép : 3 à 10 | Artisanat du métal | Chute | Pièce composée d'une rondelle de forme circulaire prolongée d'un départ d'une bande de tôle découpée à son extrémité. Chute. |
| 2021 | 1 | M | 043853-31 | 6 | 1014 | | Fer | 21,1 | 1 | 1 | L cons : 28 ; l : 13 à 23 ; ép : 8 à 14 | Artisanat du métal | Chute de barre | Fragment de barre de section trapézoïdale avec traces d'arrachement. |
| 2021 | 1 | M | 043853-32 | 8 | 1018 | | Fer | 2,9 | 1 | 1 | L cons : 28 ; l ressort : 20 ; l arc : 4 à 6 ; ép : 3 à 8 | Parure-Vêtement | Fibule F | Fragment de fibule composée d'un arc simple de section en D prolongé d'un ressort (4+4 spires) à corde interne. L'arillon n'est conservé que sur son départ. Il manque le pied et le porte-arillon : type F. |
| 2021 | 1 | M | 043853-33 | 10 | 1022 | | Fer | 5,0 | 1 | 1 | L cons : 33 ; l : 4 à 11 ; ép : 2 à 7 | Artisanat du métal | Soie de barrette | Pièce composée d'une tige époincée de section quadrangulaire qui se prolonge par une partie plus épaisse de section rectangulaire découpée. Des traces d'enfoncement sur la soie correspondent à celles laissées par la pince. Soie de barrette. |
| 2021 | 1 | M | 043853-34 | 10 | 1022 | | Fer | 9,5 | 1 | 1 | L cons : 47 ; l : 18 à 23 ; ép : 3 à 7 | Divers-polyvalent | Ferrure | Fragment d'une bande de tôle dont l'extrémité conservée est arrondie et perforée pour sa fixation. Une tête de rivet est encore présente sur l'avant. Petite ferrure de meuble ? |
| 2021 | 1 | M | 043853-35 | 10 | 1022 | | Fer | 6,2 | 1 | 1 | L cons : 38 ; l : 7 à 10 ; ép : 5 à 7 | Artisanat du métal | Chute de barrette | Petite barre de section rectangulaire dont une partie semble divisée dans le sens de la longueur : en cours de soudure ? |
| 2021 | 1 | M | 043853-36 | 10 | 1022 | | Fer | 2,9 | 1 | 1 | L cons : 17 ; l : 5 à 10 ; ép : 5 à 7 | Artisanat du métal | Clou en cours de mise en forme ? | Pièce composée d'une tête ovulaire et d'une tige de section carrée dont l'extrémité est découpée : en cours de mise en forme ? |
| 2021 | 1 | M | 043853-37 | 17 | 1036 | | Fer | 43,4 | 1 | 1 | L : 64 ; l : 5 à 20 ; ép : 8 à 12 ; tête : 20X22 | Artisanat du métal | Ciseau | Pièce composée d'une tête épaisse et aplatie de forme rectangulaire prolongée d'un plat de section rectangulaire terminé d'une extrémité affinée en biseau : tranchant légèrement arrondi ? Qui est désormais fragmenté : ciseau pour le métal. |
| 2021 | 1 | M | 043853-37 | 17 | 1036 | | Fer | 13,8 | 1 | 1 | L cons : 64 ; l : 3 à 8 ; ép : 2 à 9 | Artisanat du métal | Ciselet | Pièce composée d'une tige de section rectangulaire dont l'une des extrémités est affinée en biseau peu large, formant un petit tranchant. L'autre extrémité manquante semble s'affiner en pointe : soie de l'outil ? Ciselet. |
| 2021 | 1 | M | 043853-38 | 17 | 1036 | | Fer | 19,0 | 1 | 1 | L cons : 64 ; l : 7 à 13 ; ép : 5 à 10 | Artisanat du métal | Ciseau | Pièce composée d'une barre de section rectangulaire terminée d'une tête de forme trapézoïdale épaisse. L'autre extrémité manque mais la morphologie rappelle un ciseau pour le travail du métal. |
| 2021 | 1 | M | 043853-39 | 17 | 1036 | | Fer | 15,7 | 2 | 2 | L cons : 22 et 24 ; l : 7 à 13 ; ép : 6 à 13 | Artisanat du métal | Chute de barre | Fragments de chutes de barre de section rectangulaire à trapézoïdale avec traces de découpe et facetage. |

**ANNEXE 12 - INVENTAIRE DU MOBILIER MÉTALLIQUE, DES OBJETS EN MATIÈRE ORGANIQUE FOS-
SILE, EN TERRE CUITE, EN MATIÈRE DURE ANIMALE**

| Listing du mobilier métallique, en céramique, en os et en matière organique fossile | | | | | | | | | | | | | | |
|---|---------|--------------|---------------|-----------|------|-----|----------|-----------|----|-----|--|-------------------------|--------------------------------------|--|
| Année | Secteur | Code Matière | n° inventaire | Structure | US | Iso | Matériau | Masse (g) | NR | NMI | Dimensions (en mm) | Catégorie fonctionnelle | Type | Description |
| 2021 | 1 | M | 043853-39 | 17 | 1036 | | Fer | 8,6 | 1 | 1 | L cons : 39 ; l : 7 à 12 ; ép : 7 | Artisanat du métal | Soie de barrette | Fragment de tige affinée à l'une de ses extrémités de section en D, prolongée d'une partie de section rectangulaire aplatie. Son profil indique qu'elle est déformée. Soie de barrette d'après ses dimensions. |
| 2021 | 1 | M | 043853-39 | 17 | 1036 | | Fer | 12,4 | 1 | 1 | L cons : 34 ; l : 5 à 14 ; ép : 2 à 6 | Artisanat du métal | Chute de barre ? | Fragment de barre de section rectangulaire aplatie dont l'une des extrémités est de section en D. L'objet est incurvé et semble en cours de soudure car un morceau ressort de la barre ? |
| 2021 | 1 | M | 043853-39 | 17 | 1036 | | Fer | 23,6 | 1 | 1 | L cons : 34 ; ép : 24 | Artisanat du métal | Chute hémisphérique ? | Pièce massive de forme hémisphérique pleine : chute ? Scorie ? Parallèle avec plusieurs pièces de Bragny II. |
| 2021 | 1 | M | 043853-4 | | 1002 | | Fer | 3,0 | 1 | 1 | L cons : 22 ; l : 8 à 11 ; ép : 2 à 4 | Divers-polyvalent | Attache | Fragment d'une bande de tôle de section rectangulaire aplatie dont une extrémité semble rectangulaire rivetée ? Prolongée par une partie formant un profil incurvé. La seconde extrémité est manquante : petite attache ? |
| 2021 | 1 | M | 043853-4 | | 1002 | | Fer | 7,6 | 1 | 1 | L cons : 38 ; l : 11 à 12 ; ép : 2 à 8 | Artisanat du métal | Pince à épiler en cours de façonnage | Fragment d'une bande tôle formant un ressort en demi-cercle partiellement conservé, prolongé par une tige ou tôle qui s'épaissit vers l'extrémité distale cassée également : pince à épiler en cours de façonnage ? |
| 2021 | 1 | M | 043853-40 | 20 | 1044 | | Fer | 2,6 | 1 | 1 | L cons : 31 ; l : 4 à 7 ; ép : 2 à 4 | Artisanat du métal | | Fragment de tige de section rectangulaire comportant plusieurs traces d'enfoncement et une trace découpée à chaque extrémité. L'une d'elles est d'ailleurs aplatie et élargie. |
| 2021 | 1 | M | 043853-41 | 24 | 1052 | | Fer | 1,5 | 1 | 1 | Diam : 12 ; ép : 9 | Divers-polyvalent | Rivet : tête | Tête de rivet de forme triangulaire pleine avec le départ de la tige de section circulaire. |
| 2021 | 1 | M | 043853-41 | 24 | 1052 | | Fer | 7,2 | 1 | 1 | L cons : 21 ; l : 7 à 11 ; ép : 10 | Indéterminé | Tige | Fragment de tige de section en D et triangulaire. |
| 2021 | 1 | M | 043853-42 | 26 | 1056 | | Fer | 6,0 | 1 | 1 | L cons : 28 ; l : 10 à 11 ; ép : 6 à 8 | Artisanat du métal | Chute de barrette | Fragment de barrette de section rectangulaire dont une extrémité est de section en D. Des traces d'enfoncement sont présentes sur ces bords. |
| 2021 | 1 | M | 043853-42 | 26 | 1056 | | Fer | 4,9 | 1 | 1 | L cons : 20 ; l : 15 à 20 ; ép : 4 à 9 | Artisanat du métal | Chute de tôle | Fragment d'une bande de tôle repliée sur elle-même. Scorifiée, elle rappelle les fragments de ressort de lame de force présents sur le secteur de BR. II. |
| 2021 | 1 | M | 043853-43 | 29 | 1062 | | Fer | 25,8 | 2 | 1 | L cons : 82 ; l : 21 à 30 ; ép : 2 à 4 | Activités culinaires | Couteau | Fragment de lame de couteau de section triangulaire au dos et tranchant droits. Il se prolonge par une tôle rectangulaire de même largeur qui constitue la partie emmanchée à plaquettes qui devait disposer d'un système de rivetage. |
| 2021 | 1 | M | 043853-43 | 29 | 1062 | | Fer | 1,8 | 1 | 1 | L cons : 28 ; l arc : 3 à 8 ; ép : 1,5 à 4 | Parure-Vêtement | Fibule F | Fragment de fibule composée d'un arc simple de section en D prolongé d'une partie du porte-ardillon. Il manque le pied et l'ardillon : type F. |
| 2021 | 1 | M | 043853-44 | 29 | 1062 | | Fer | 14,4 | 2 | 1 | L cons : 66 ; l : 4 à 17 ; ép : 3 à 5 | Divers-production | Serpette | Pièce composée d'une soie de section rectangulaire aplatie légèrement courbe qui se prolonge par un fragment de lame de section triangulaire au dos incurvé à son extrémité : serpette. |
| 2021 | 1 | M | 043853-44 | 29 | 1062 | | Fer | 3,8 | 1 | 1 | L cons : 39 ; ép : 2 à 6 | Indéterminé | Tige époincée | Fragment de tige époincée de section carrée. |
| 2021 | 1 | M | 043853-45 | 59 | 1144 | | Fer | 21,8 | 2 | 2 | L cons : 25 et 27 ; l : 9 à 22 ; ép : 16 | Artisanat du métal | Chute | Fragments de chutes de profil hémisphérique avec traces de déformations et aspect scorifié. |
| 2021 | 1 | M | 043853-46 | 59 | 1146 | | Fer | 12,1 | 1 | 1 | L cons : 30 ; l : 15 à 22 ; ép : 4 à 8 | Artisanat du métal | Chute de barre | Fragment de barre de section quadrangulaire à trapézoïdale dont une extrémité comporte une trace de découpé en biseau. Chute de barre. |

ANNEXE 12 - INVENTAIRE DU MOBILIER MÉTALLIQUE, DES OBJETS EN MATIÈRE ORGANIQUE FOS-SILE, EN TERRE CUITE, EN MATIÈRE DURE ANIMALE

| Listing du mobilier métallique, en céramique, en os et en matière organique fossile | | | | | | | | | | | | | | |
|---|---------|--------------|---------------|-----------|------|-----|----------|-----------|----|-----|--|-------------------------|--------------------------------|--|
| Année | Secteur | Code Matière | n° inventaire | Structure | US | Iso | Matériau | Masse (g) | NR | NMI | Dimensions (en mm) | Catégorie fonctionnelle | Type | Description |
| 2021 | 1 | M | 043853-46 | 59 | 1146 | | Fer | 21,1 | 2 | 1 | L cons : 30 ; l : 22 ; ép : 12 à 17 | Artisanat du métal | Chute ? | Fragment de plat de section rectangulaire aplatie dont les bords ont été repliés vers l'intérieur sur une extrémité. A l'autre, un départ de section en D épaisse. Chute. |
| 2021 | 1 | M | 043853-46 | 59 | 1146 | | Fer | 9,8 | 1 | 1 | L cons : 37 ; l : 11 ; ép : 8 à 11 ; diam : 24 | Divers-polyvalent | Anneau ? | Fragment de tige de section losangique formant un arc de cercle : fragment d'anneau. |
| 2021 | 1 | M | 043853-47 | 45 | 1106 | | Fer | 35,5 | 2 | 2 | L cons : 30 et 31 ; l : 16 à 18 ; ép : 12 à 18 | Artisanat du métal | Chute de barre | Fragments de barres de section quadrangulaire à trapézoïdale avec des traces de déformations. Chutes de barre. |
| 2021 | 1 | M | 043853-48 | 61 | 1137 | | Fer | 2,5 | 1 | 1 | L cons : 37 ; l : 3 à 7 ; ép : 2 à 5 | Artisanat du métal | Soie de barrette | Fragment de tige affinée à l'une de ses extrémités, prolongée d'une partie de section rectangulaire à losangique. Soie de barrette d'après ses dimensions. |
| 2021 | 1 | M | 043853-49 | 75 | 1169 | | Fer | 15,5 | 1 | 1 | L : 86 ; l : 6 à 8 ; ép : 4 à 7 | Travail du cuir | Poinçon | Pièce complète composée d'une tige quadrangulaire dont la section est parfois déformée par des impacts et torsion. L'une des extrémités s'affine en pointe de section en D à elliptique. L'autre extrémités a été aplatie et repliée : outil de type poinçon. |
| 2021 | 1 | M | 043853-5 | | 1002 | | Fer | 5,6 | 1 | 1 | L cons : 35 ; l : 9 à 11 ; ép : 5 à 7 | Artisanat du métal | Chute de tige | Fragment de tige probablement rectangulaire recouverte de nombreuses battitures lamellaires : chute. |
| 2021 | 1 | M | 043853-50 | 77 | 1178 | | Fer | 2,0 | 1 | 1 | L cons : 9 ; diam : 14 ; ép : 8 | Divers-polyvalent | Clou : tête ? | Fragment de clou : tête de forme conique massive et facettée avec un possible départ de la tige. |
| 2021 | 1 | M | 043853-51 | 31 | 1066 | | Fer | 16,5 | 1 | 1 | L : 60 ; l : 2 à 8 ; ép : 2 à 9 | Divers-polyvalent | Crochet de suspension | Pièce composée d'une tige épointée rectiligne de section rectangulaire qui se prolonge par une partie repliée en U épointée également à son extrémité : crochet de suspension. |
| 2021 | 1 | M | 043853-52 | 38 | 1080 | | Fer | 8,0 | 1 | 1 | L cons : 14 ; l : 21X17 ; ép : 2 à 8 | Divers-polyvalent | Clou : tête | Fragment de clou : tête de forme rectangulaire avec un possible départ de la tige. |
| 2021 | 1 | M | 043853-53 | 42 | 1098 | | Fer | 2,0 | 2 | 1 | L cons : 33 ; l : 2 à 8 ; ép : 3 à 5 | Artisanat du métal | Préforme de fibule ? | Pièce composée d'une tige fine de section quadrangulaire dont l'une des extrémités se termine par une excroissance circulaire et de section en D : préforme de fibule à timbale ? |
| 2021 | 1 | M | 043853-54 | 45 | 1106 | | Fer | 7,3 | 1 | 1 | L cons : 33 ; l : 6 à 16 ; ép : 4 à 11 | Artisanat du métal | Chute de barre | Fragment de barre de section en D. L'une des extrémités est épointée. Son profil est déformé. Chute de barre à soie. |
| 2021 | 1 | M | 043853-55 | 46 | 1137 | | Fer | 1,7 | 1 | 0 | L cons : 32 ; ép : 4 | Parure-Vêtement | Fibule : ardillon | Fragment d'ardillon de fibule de section circulaire épointée à ovalaire. |
| 2021 | 1 | M | 043853-56 | 49 | 1116 | | Fer | 6,5 | 2 | 1 | L cons : 60 ; l : 5 à 11 ; ép : 2 à 9 | Artisanat du métal | Fibule en cours de façonnage ? | Pièce composée d'une soie de section en D qui s'élargit en son centre pour former un losange partiellement creusé et qui à son autre extrémité repart en tige de section circulaire : façonnage d'un arc de fibule ? |
| 2021 | 1 | M | 043853-57 | 49 | 1116 | | Fer | 4,8 | 1 | 1 | L cons : 40 ; l : 6 à 12 ; ép : 2 à 8 | Artisanat du métal | Chute de barrette | Pièce composée d'une soie de section en D qui s'élargit légèrement formant une section rectangulaire. On note un début de creusement de la barrette en son centre (comme pour MET 56 ?) et de grosses déformations dans son profil : chute de barrette en cours de façonnage. |
| 2021 | 1 | M | 043853-58 | 49 | 1116 | | Fer | 6,5 | 2 | 2 | L cons : 30 et 44 ; l : 5 à 9 ; ép : 3 à 4 | Artisanat du métal | Chute de barrette | Pièces composées d'une soie de section en D qui s'élargit légèrement formant une section rectangulaire aplatie. On note un début de creusement de la barrette en son centre (comme pour MET 56 ?) et des déformations dans son profil : chute de barrette en cours de façonnage. |
| 2021 | 1 | M | 043853-59 | 49 | 1116 | | Fer | 20,9 | 2 | 2 | L cons : 18 et 28 ; l : 6 à 19 ; ép : 8 à 12 | Artisanat du métal | Chute de barre | Fragments de barres de section quadrangulaire à trapézoïdale ou de section en D avec des traces de déformations. Chutes de barre. |

**ANNEXE 12 - INVENTAIRE DU MOBILIER MÉTALLIQUE, DES OBJETS EN MATIÈRE ORGANIQUE FOS-
SILE, EN TERRE CUITE, EN MATIÈRE DURE ANIMALE**

| Listing du mobilier métallique, en céramique, en os et en matière organique fossile | | | | | | | | | | | | | | |
|---|---------|--------------|---------------|-----------|------|-----|-------------------|-----------|----|-----|--|----------------------------|------------------------|--|
| Année | Secteur | Code Matière | n° inventaire | Structure | US | Iso | Matériau | Masse (g) | NR | NMI | Dimensions (en mm) | Catégorie fonctionnelle | Type | Description |
| 2021 | 1 | M | 043853-59 | 49 | 1116 | | Fer | 33,3 | 1 | 1 | L cons : 34 ; l : 24 ; ép : 7 à 20 | Artisanat du métal | Masse hémisphérique | Pièce massive de forme hémisphérique pleine de section triangulaire dont l'un des bords a été coupé et attaché : chute de matière première. |
| 2021 | 1 | M | 043853-6 | | 1002 | | Fer | 12,8 | 1 | 1 | L cons : 45 ; l : 11 à 14 ; ép : 3 à 6 | Artisanat du métal | Chute de barre | Tige dont l'une des extrémités est de section demi-trapézoïdale se prolongeant par une partie de section rectangulaire aplatie plus large et dont les bords semblent avoir été rabattus. L'extrémité semble arrondie et possiblement découpée. Chute de barre. |
| 2021 | 1 | M | 043853-6 | | 1002 | | Fer | 17,6 | 1 | 1 | L cons : 34 ; l : 5 à 20 ; ép : 9 à 10 | Artisanat du métal | Chute de barre | Fragment de plat de section rectangulaire à trapézoïdal muni d'un évasement à la moitié de sa longueur. Il se prolonge par une extrémité qui s'affine et qui semble divisée en deux tenons déformés : en cours de soudure ou compactage ? Chute |
| 2021 | 1 | M | 043853-6 | | 1002 | | Fer | 17,1 | 1 | 1 | L : 46 ; l : 9 à 11 ; ép : 5 à 8 | Artisanat du métal | Chute de barre | Fragment de plat de section rectangulaire dont une extrémité est légèrement moins large et de section en D avec une trace de découpe en biseau. Chute de barre. |
| 2021 | 1 | M | 043853-60 | 57 | 1035 | | Fer | 20,4 | 1 | 1 | L cons : 62 ; l : 12 à 14 ; ép : 3 à 12 | Travail du bois ou du cuir | Gouge ou emporte-pièce | Pièce composée d'une tige de section circulaire épaisse dont il manque l'extrémité proximale. Elle est prolongée par une extrémité en forme de goutte d'eau creuse permettant de creuser le bois ou percer le cuir. Extrémité de gouge ou d'emporte-pièce. |
| 2021 | 1 | M | 043853-61 | 59 | 1144 | | Fer | 1,1 | 1 | 1 | L cons : 17 ; l : 8 ; ép : 4 ; diam : 11 | Divers-polyvalent | Anneau ? | Fragment d'une bande tôle formant un arc de cercle : anneau ouvert ? |
| 2021 | 1 | M | 043853-62 | | 1002 | | Alliages cuivreux | 12,2 | 1 | 1 | L : 21 ; ép : 16 | Artisanat du métal | Reste de coulée | Reste de coulée de forme hémisphérique et d'aspect grumeleux. Sa forme pourrait correspondre à un fond de creuset. |
| 2021 | 1 | M | 043853-63 | | 1003 | | Alliages cuivreux | 0,4 | 1 | 1 | L cons : 6 ; ép tige : 4 ; tête : 6 | Parure-Vêtement ? | Rivet | Fragment de rivet composé d'une tête aplatie circulaire prolongée du départ de la tige de section circulaire. Sa taille correspond probablement à un élément de vêtement ? |
| 2021 | 1 | M | 043853-64 | | 1003 | | Alliages cuivreux | 3,4 | 2 | 2 | _ | Artisanat du métal | Reste de coulée | Deux restes de coulée à la surface grumeleuse, de petite dimension : liée à la métallurgie du bronze. |
| 2021 | 1 | M | 043853-65 | 3 | 1006 | | Alliages cuivreux | 2,1 | 1 | 1 | Diam : 10 ; l : 3 à 4 ; ép : 2 à 4 | Divers-polyvalent | Anneau | Fragment d'anneau de section en D à elliptique muni d'une trace d'usure bien marquée à l'intérieur de son jonc. D'après ses dimensions, plutôt lié à de la parure ou des éléments de toilette. |
| 2021 | 1 | M | 043853-66 | 3 | 1006 | | Alliages cuivreux | 0,5 | 3 | 1 | L cons : 44 ; ép : 2 à 3 | Parure-Vêtement | Fibule : ardillon | Fragment d'ardillon de fibule de section circulaire épointée à ovulaire. |
| 2021 | 1 | M | 043853-67 | 5 | 1012 | | Alliages cuivreux | 0,7 | 1 | 1 | L cons : 6 ; ép tige : 5 ; tête : 8 | Parure-Vêtement ? | Rivet | Fragment de rivet composé d'une tête aplatie circulaire prolongée du départ de la tige de section circulaire. Sa taille correspond probablement à un élément de vêtement ? |
| 2021 | 1 | M | 043853-68 | 5 | 1012 | | Alliages cuivreux | 0,4 | 1 | 1 | L cons : 37 ; ép : 1 à 3 | Parure-Vêtement | Fibule : ardillon | Fragment d'ardillon de fibule de section circulaire épointée bien rectiligne. |
| 2021 | 1 | M | 043853-69 | 5 | 1012 | | Alliages cuivreux | 0,2 | 1 | 1 | L cons : 37 ; ép : 1 à 2 | Textile | Aiguille ? | Fragment de tige très fine de section ovulaire et épointée à l'une de ses extrémités. A l'autre fragmentée, elle est aplatie : départ du chas de l'aiguille ? Travail de couture fin. |
| 2021 | 1 | M | 043853-7 | | 1002 | | Fer | 12,7 | 1 | 1 | L cons : 33 ; l : 9 à 15 ; ép : 5 à 6 | Artisanat du métal | Chute | Pièce composée d'un plat de section rectangulaire dont l'une des extrémités cassées est de section en D. L'autre extrémité est légèrement arrondi et de section en D : chute. |
| 2021 | 1 | M | 043853-7 | | 1002 | | Fer | 13,1 | 1 | 1 | L cons : 26 ; l : 7 à 14 ; ép : 4 à 7 | Artisanat du métal | Chute trapézoïdale | Fragment de chute de forme trapézoïdale dont l'épaisseur varie. Elle est découpée sur ses extrémités |

ANNEXE 12 - INVENTAIRE DU MOBILIER MÉTALLIQUE, DES OBJETS EN MATIÈRE ORGANIQUE FOS-
SILE EN TERRE Cuite EN MATIÈRE DURE ANIMALE

| Listing du mobilier métallique, en céramique, en os et en matière organique fossile | | | | | | | | | | | | | | |
|---|---------|--------------|---------------|-----------|-----------|-----|-------------------|-----------|----|-----|--|-------------------------|----------------------------|--|
| Année | Secteur | Code Matière | n° inventaire | Structure | US | Iso | Matériau | Masse (g) | NR | NMI | Dimensions (en mm) | Catégorie fonctionnelle | Type | Description |
| 2021 | 1 | M | 043853-7 | | 1002 | | Fer | 8,1 | 1 | 1 | L cons : 29 ; l : 8 à 13 ; ép : 7 à 8 | Artisanat du métal | Chute de barre | Fragment de chute de forme trapézoïdale de section rectangulaire dont l'extrémité la moins large dispose d'une trace en biseau et d'enfoncement typique des chutes. |
| 2021 | 1 | M | 043853-70 | 5 | 1012 | | Alliages cuivreux | 0,7 | 1 | 1 | L cons : 9 ; ép : 3 à 6 | Artisanat du métal | Chute | Fragment de tige de section circulaire munie d'une trace de découpe. Chute. A subi le feu. |
| 2021 | 1 | M | 043853-71 | 5 | 1091 | | Alliages cuivreux | 1,2 | 1 | 1 | L cons : 33 ; ép : 3 ; diam égal : 80 | Parure-Vêtement | Bracelet | Fragment de jonc de bracelet simple de section circulaire. |
| 2021 | 1 | M | 043853-72 | 17 | 1036 | | Alliages cuivreux | 0,3 | 1 | 1 | L cons : 12 ; l : 3 à 4 ; ép : 3 | Indéterminé | Tige | Fragment de tige de section en D aplatie dont une extrémité droite est conservée : indéterminé. |
| 2021 | 1 | M | 043853-73 | 26 | 1056 | | Alliages cuivreux | 0,9 | 1 | 1 | L cons : 12 ; l : 6 ; ép : 4 | Artisanat du métal | Reste de coulée | Reste de coulée à la surface grumeleuse, de petite dimension : liée à la métallurgie du bronze. |
| 2021 | 1 | M | 043853-74 | 29 | 1062 | | Alliages cuivreux | 1,7 | 2 | 1 | L cons : 24 ; diam : 10 ; ép : 1 à 2,5 | Parure-Vêtement | Pendeloque-panier | Fragment de pendeloque-panier conservé à moitié composé d'une panse au fond triangulaire, rehaussé d'une rebord ourlé et du départ d'une anse manquante. Une perforation est aussi présente pour sa suspension au milieu de la panse du panier juste au niveau du ressaut. Variante B, originale de Golasecca. |
| 2021 | 1 | M | 043853-75 | 29 | 1062 | | Alliages cuivreux | 0,4 | 1 | 1 | L cons : 11 ; ép : 1 à 2 | Artisanat du métal | Canal et cône de coulée | Pièce composée d'une courte tige qui se prolonge par une partie en forme de pastille découpée à son extrémité. Elle semble brute de coulée : canal et cône de coulée ? |
| 2021 | 1 | M | 043853-76 | 31 | 1066 | | Alliages cuivreux | 0,5 | 1 | 1 | Diam : 8 ; ép : 5 | Artisanat du métal | Bille de coulée | Fragment de bille de coulée de forme ovulaire et de section en D. |
| 2021 | 1 | M | 043853-77 | 31 | 1066 | | Alliages cuivreux | 0,2 | 1 | 1 | L cons : 7 ; ép : 1 à 2 | Parure-Vêtement ? | Rivet | Fragment de rivet composé d'une tête aplatie circulaire prolongée du départ de la tige de section circulaire. Sa taille correspond probablement à un élément de vêtement ? |
| 2021 | 1 | M | 043853-78 | 48 | 1014 | | Alliages cuivreux | 2,4 | 3 | 3 | L : 8 à 16 ; ép : 4 à 8 | Artisanat du métal | Reste de coulée | Trois restes de coulée à la surface grumeleuse, de petite dimension : liée à la métallurgie du bronze. |
| 2021 | 1 | M | 043853-79 | 64 | 1176 | | Alliages cuivreux | 0,7 | 1 | 1 | L : 38 ; l : 1 à 4 ; ép : 1,5 à 2 | Artisanat du métal | Tige en cours de façonnage | Tige de section rectangulaire avec des traces de facetage sur toute sa surface. L'une des extrémités est en cours d'épointage. L'autre en cours d'aplatissement. Elle est déformée au deux tiers de sa longueur : objet en cours de façonnage. |
| 2021 | 1 | M | 043853-8 | | 1002/1003 | | Fer | 3,1 | 1 | 1 | L : 33 ; l : 2 à 6 ; ép : 2 à 5 | Artisanat du métal | Soie de barrette | Fragment de tige épointée à l'une de ses extrémités prolongée d'une partie de section aplatie déformée dont l'extrémité distale est de section en D. Soie de barrette d'après ses dimensions. |
| 2021 | 1 | M | 043853-8 | | 1002/1003 | | Fer | 6,6 | 1 | 1 | L : 22 ; tige : 8X10 | Divers-polyvalent | Clou décoratif | Clou à tête aplatie triangulaire ou losangique avec une tige de section rectangulaire épointée et courte. |
| 2021 | 1 | M | 043853-80 | 83 | 1190 | | Alliages cuivreux | 0,1 | 1 | 1 | L cons : 9 ; l : 4 ; ép : 1 à 2 | Parure-vêtement | Fibule : ressort | Fragment de ressort composé de 4 spires encore enroulées et une partie déroulée et déformée : lié à un ressort de tradition hallstattienne. |
| 2021 | 1 | M | 043853-9 | | 1003 | | Fer | 6,6 | 1 | 1 | L : 18 ; l : 10 ; ép : 4 | Divers-polyvalent | Clou : tête ? | Fragment de clou : tête de forme ovulaire massive et facetée avec un possible départ de la tige. |
| 2022 | 2 | C | 044045-1 | 201 | 201.03 | 39 | Terre cuite | 8,6 | 1 | 1 | Haut : 15 ; diam : 12 à 22 | Textile | Fusatole | Fusatole complète de forme conique de type II c3. |
| 2022 | 2 | C | 044045-2 | 228 | 228.02 | | Terre cuite | 5,4 | 1 | 1 | Haut : 16 ; diam max : 25 | Textile | Fusatole | Fragment de fusatole de forme tronconique carénée à paroi rectiligne de type II C2. |
| 2022 | 2 | C | 044045-3 | 214 | 214.02 | | Terre cuite | 14,8 | 1 | 1 | Haut : 18 ; diam : 25 | Textile | Fusatole | Fusatole complète de forme discoïde à paroi arrondie de type I b2. |

ANNEXE 12 - INVENTAIRE DU MOBILIER MÉTALLIQUE, DES OBJETS EN MATIÈRE ORGANIQUE FOS-
SILE, EN TERRE CUITE, EN MATIÈRE DURE ANIMALE

| Listing du mobilier métallique, en céramique, en os et en matière organique fossile | | | | | | | | | | | | | | |
|---|---------|--------------|---------------|-----------|--------|-----|---------------------------|-----------|----|-----|---|-------------------------|------------------|---|
| Année | Secteur | Code Matière | n° inventaire | Structure | US | Iso | Matériau | Masse (g) | NR | NMI | Dimensions (en mm) | Catégorie fonctionnelle | Type | Description |
| 2022 | 2 | C | 044045-4 | 214 | 214.02 | 34 | Terre cuite | 10,4 | 1 | 1 | L cons : 28 ; ép : 10 à 15 | Guerre-prédation | Balle de fronde | Fragment de balle de fronde de forme biconique, qui semble avoir été découpée de façon nette. |
| 2022 | 2 | C | 044045-5 | 214 | 214.02 | | Terre cuite | 11,6 | 1 | 1 | L cons : 35 ; l : 24 ; ép : 10 | Artisanat du métal | Moule | Fragment de moule formant un boudin de section en D avec une face interne très noire/grise et une face externe orangée. Aucune empreinte n'est conservée. |
| 2022 | 2 | C | 044045-6 | 236 | 236.02 | 6 | Terre cuite | 9,5 | 1 | 1 | L cons : 30 ; diam : 14 ; diam perfo : 2 | Textile | Dévidoir | Fragment d'extrémité de dévidoir composé d'un boudin perforée de tout son long fragmenté à l'une de ses extrémités. |
| 2022 | 2 | C | 044045-7 | 236 | 236.02 | | Terre cuite | 12,2 | 2 | 2 | Haut : 19 ; diam : 25 | Textile | Fusatole | Fragment de fusairole de forme tronconique carénée à paroi rectiligne de type II C3. |
| 2022 | 2 | C | 044045-8 | 236 | 236.02 | 33 | Terre cuite | 12,7 | 1 | 1 | L : 29 ; ép : 14 à 21 | Guerre-prédation | Balle de fronde | Balle de fronde de forme biconique. |
| 2022 | 2 | C | 044045-9 | 239 | 239.04 | | Terre cuite | 7,3 | 1 | 1 | L : 26 ; ép : 8 à 20 | Guerre-prédation | Balle de fronde | Balle de fronde de forme biconique très usée. |
| 2022 | 2 | LI | 044045-1 | 325 | 325.02 | | Matière organique fossile | 1,9 | 1 | 1 | Diam éval : 40 ; L cons : 30 ; l : 5 ; ép : 5 | Parure-vêtement | Bracelet | Fragment de bracelet au jonc de section en D, avec des traces de découpe à l'intérieur de celui-ci, liées à sa fabrication. |
| 2022 | 2 | M | 044045-1 | 57 | 57.02 | | Fer | 6,1 | 1 | 1 | L cons : 22 ; ép : 8 à 10 | Divers-polyvalent | Anneau ? | Fragment de tige époincée et de section quadrangulaire qui semble former un arrondi ; anneau de 20 mm ? |
| 2022 | 2 | M | 044045-10 | 203 | 203.03 | 43 | Fer | 1,8 | 1 | 1 | L cons : 23 ; l : 4 ; ép : 2 à 3 | Parure-vêtement | Fibule : arc | Fragment d'arc de section rectangulaire aplatie munie d'un décor de lignes incisées longitudinalement. Il manque le reste de la fibule de type F. |
| 2022 | 2 | M | 044045-11 | 208 | 208.02 | | Fer | 4,4 | 1 | 1 | L cons : 42 ; l : 1 à 7 ; ép : 2 à 7 | Travail du cuir | Alène | Fragment de tige de section rectangulaire dont le profil est déformé et dont l'une des extrémités est époincée pour former une sole. L'autre extrémité est renforcée de section carrée ; alène. |
| 2022 | 2 | M | 044045-12 | 208 | 208.02 | | Alliages cuivreux | 0,3 | 1 | 1 | L cons : 8 | Artisanat du métal | Scorie | Fragment de scorie de bronze. |
| 2022 | 2 | M | 044045-13 | 210 | 210.03 | 38 | Fer | 19,7 | 1 | 1 | L cons : 73 ; l : 10 à 24 ; ép : 1 à 4 | Activités culinaires | Couteau | Fragment de lame de section triangulaire dont le dos est rectiligne prolongé d'un plat destiné à accueillir les plaquettes du manche. Il manque l'autre extrémité. |
| 2022 | 2 | M | 044045-14 | 210 | 210.02 | | Alliages cuivreux | 5,2 | 1 | 1 | L : 22 ; l : 14 ; ép : 1,5 à 3 | Artisanat du métal | Reste de coulée | Reste de coulée dont la morphologie indique qu'il a été versé dans un récipient allongé (lingotière?) |
| 2022 | 2 | M | 044045-15 | 210 | 210.02 | | Fer | 10,2 | 2 | 2 | L cons : 22 ; l : 20 ; ép : 8 | Artisanat du métal | Chute et lame | Un fragment de chutes de section rectangulaire avec de probables traces de découpe et déformation et un fragment de lame de section triangulaire. |
| 2022 | 2 | M | 044045-16 | 210 | 210.02 | | Fer | 11,6 | 2 | 2 | L cons : 22 ; l : 20 ; ép : 9 | Artisanat du métal | Chute | Deux fragments de chutes de section rectangulaire avec de probables traces de découpe et déformation. Scorifiées. |
| 2022 | 2 | M | 044045-17 | 210 | 210.03 | | Fer | 29,0 | 2 | 2 | L cons : 35 ; l : 20 ; ép : 13 | Artisanat du métal | Chute | Deux fragments de chutes de section rectangulaire avec de probables traces de découpe et déformation. L'une dispose d'un petit tenon. |
| 2022 | 2 | M | 044045-18 | 214 | 214.02 | | Fer | 2,2 | 1 | 1 | L : 35 ; ép : 2 à 5 | Artisanat du métal | Chute | Chute de tige bien carrée avec une trace de découpe à l'une de ses extrémités. |
| 2022 | 2 | M | 044045-19 | 214 | 214.02 | | Fer | 6,2 | 1 | 1 | L : 27 ; l : 6 à 11 ; ép : 2 à 6 | Artisanat du métal | Chute de barre | Fragment de barre de section rectangulaire en D dont une extrémité semble aplatie et comporte la trace de la pince. L'autre extrémité est découpée. |
| 2022 | 2 | M | 044045-2 | 201 | 201.03 | | Alliages cuivreux | 0,1 | 2 | 1 | L cons : 3 | Indéterminé | Tôle | Fragment de tôle minuscule. |
| 2022 | 2 | M | 044045-20 | 214 | 214.02 | | Alliages cuivreux | 6,7 | 2 | 2 | L : 25 ; l : 12 ; ép : 3 | Artisanat du métal | Déchet de coulée | Deux fragments de déchets de coulée de coulée dont un très fin. |

ANNEXE 12 - INVENTAIRE DU MOBILIER MÉTALLIQUE, DES OBJETS EN MATIÈRE ORGANIQUE FOS-SILE, EN TERRE CUITE, EN MATIÈRE DURE ANIMALE

| Listing du mobilier métallique, en céramique, en os et en matière organique fossile | | | | | | | | | | | | | | |
|---|---------|--------------|---------------|-----------|--------|-----|-------------------|-----------|----|-----|--|-------------------------|-------------------------------------|---|
| Année | Secteur | Code Matière | n° inventaire | Structure | US | Iso | Matériau | Masse (g) | NR | NMI | Dimensions (en mm) | Catégorie fonctionnelle | Type | Description |
| 2022 | 2 | M | 044045-21 | 214 | 214.02 | | Fer | 4,8 | 1 | 1 | L : 27 ; l : 9 ; ép : 7 à 9 | Artisanat du métal | Chute | Fragment de tige de section rectangulaire dont le profil est déformé : petite chute. |
| 2022 | 2 | M | 044045-22 | 214 | 214.02 | | Fer | 5,3 | 1 | 1 | L cons : 29 ; l : 12 à 14 ; diam douille : 5 ; ép : 6 à 11 | Artisanat du métal | Ciselet | Fragment d'outil composé d'une douille fragmentée, prolongée d'un plat de section rectangulaire qui s'affine légèrement à son extrémité formant un tranchant large et légèrement creusé : pour le travail de la tôle (ciselet). |
| 2022 | 2 | M | 044045-23 | 214 | 214.03 | | Fer | 5,7 | 2 | 1 | L cons : 32 ; l : 5 à 10 ; ép : 10 | Artisanat du métal | Fibule en cours de fabrication | Fragment de tige qui semble incisée longitudinalement pour former l'ébauche d'un porte-ardillon prolongé d'une extrémité plus massive de section en D : fibule en cours de fabrication. |
| 2022 | 2 | M | 044045-24 | 226 | 226.02 | | Alliages cuivreux | 0,7 | 1 | 1 | L cons : 12 | Artisanat du métal | Scorie | Fragment de scorie de bronze. |
| 2022 | 2 | M | 044045-25 | 229 | 229.02 | | Fer | 6,5 | 1 | 1 | L cons : 21 ; l : 9 à 18 ; ép : 8 | Artisanat du métal | Chute ? | Pièce de forme triangulaire de section rectangulaire aplatie : chute ? Scorifié |
| 2022 | 2 | M | 044045-26 | 235 | 235.02 | | Alliages cuivreux | 1,7 | 3 | 1 | L cons : 12 | Artisanat du métal | Scorie | Fragment de scorie de bronze. |
| 2022 | 2 | M | 044045-27 | 235 | 235.02 | | Fer | 0,9 | 2 | 1 | L cons : 20 ; ép : 1 à 3 | | Fibule : ardillon et axe de ressort | Fragment d'ardillon époiné et d'axe de ressort. |
| 2022 | 2 | M | 044045-28 | 235 | 235.02 | | Fer | 5,3 | 1 | 1 | L : 43 ; tige : 7X11 ; diam tête : 12 | Divers-polyvalent | Clou | Clou composé d'une tête circulaire et tige époinée de section rectangulaire. |
| 2022 | 2 | M | 044045-29 | 235 | 235.02 | | Alliages cuivreux | 3,2 | 1 | 1 | L cons : 14 | Artisanat du métal | Scorie | Fragment de scorie de bronze. |
| 2022 | 2 | M | 044045-29 | 235 | 235.02 | | Alliages cuivreux | 0,3 | 1 | 1 | L cons : 26 ; ép : 2 | Artisanat du métal | Tige en cours de façonnage | Tige très fine de section rectangulaire en cours de façonnage. |
| 2022 | 2 | M | 044045-3 | 201 | 201.03 | | Alliages cuivreux | 0,6 | 2 | 1 | L cons : 8 | Artisanat du métal | Scorie | Fragment de scorie de bronze. |
| 2022 | 2 | M | 044045-30 | 236 | 236.02 | | Fer | 16,4 | 4 | 1 | L cons : 70 ; l : 3 à 15 | Artisanat du métal | Chute de barre | Fragment de barre de section en D dont le profil est déformé et disposant d'une soie terminale époinée. |
| 2022 | 2 | M | 044045-31 | 236 | 236.03 | | Alliages cuivreux | 0,1 | 1 | 1 | — | Artisanat du métal | Bille de coulée | Bille de coulée. |
| 2022 | 2 | M | 044045-32 | 236 | 236.03 | | Fer | 29,3 | 1 | 1 | L cons : 43 ; l : 21 à 46 ; ép : 8 | Divers-polyvalent | Tôle | Fragment de tôle de forme trapézoïdale avec une partie repliée : attache d'anse ? |
| 2022 | 2 | M | 044045-33 | 239 | 239.04 | | Fer | 5,2 | 1 | 1 | L cons : 25 ; l : 18 ; ép : 3 à 9 | Divers-polyvalent | Ferrure | Fragment de ruban de tôle avec une extrémité arrondie fixée par rivetage : ferrure ou petite poignée. |
| 2022 | 2 | M | 044045-34 | 239 | 239.03 | | Alliages cuivreux | 0,2 | 2 | 1 | — | Indéterminé | Tige | Fragment de tige de section circulaire. |
| 2022 | 2 | M | 044045-35 | 239 | 239.02 | | Alliages cuivreux | 0,4 | 5 | 1 | — | Artisanat du métal | Scorie/bille | Petits fragments de scorie et billes de coulée |
| 2022 | 2 | M | 044045-36 | 239 | 239.04 | | Alliages cuivreux | 3,6 | 3 | 2 | L : 38 ; l : 1 à 2 ; ép : 1 à 3 | Artisanat du métal | Tige brute de coulée et scorie | Petite tige de section en D brute de coulée associée à quelques fragments de scorie. |
| 2022 | 2 | M | 044045-37 | 239 | 239.04 | 41 | Alliages cuivreux | 1,3 | 1 | 1 | L cons : 29 ; l : 2 à 3 | Parure-vêtement | Fibule : arc | Fragment d'arc de fibule filiforme de section circulaire. Il manque tout le reste de la fibule. Type F ? |
| 2022 | 2 | M | 044045-38 | 239 | 239.04 | | Alliages cuivreux | 0,4 | 3 | 1 | — | Artisanat du métal | Scorie/bille | Petits fragments de scorie et billes de coulée |
| 2022 | 2 | M | 044045-39 | 239 | 239.04 | | Fer | 5,9 | 1 | 1 | L cons : 31 ; l : 11 ; ép : 9 à 11 | Artisanat du métal | Chute de barre | Fragment de barre de section en D dont le profil est déformé. |

ANNEXE 12 - INVENTAIRE DU MOBILIER MÉTALLIQUE, DES OBJETS EN MATIÈRE ORGANIQUE FOS-
SILE, EN TERRE CUITE, EN MATIÈRE DURE ANIMALE

| Listing du mobilier métallique, en céramique, en os et en matière organique fossile | | | | | | | | | | | | | | |
|---|---------|--------------|---------------|-----------|--------|-----|-------------------|-----------|----|-----|---|-------------------------|-----------------------------------|---|
| Année | Secteur | Code Matière | n° inventaire | Structure | US | Iso | Matériau | Masse (g) | NR | NMI | Dimensions (en mm) | Catégorie fonctionnelle | Type | Description |
| 2022 | 2 | M | 044045-4 | 201 | 201.03 | 40 | Fer | 1,7 | 1 | 1 | L cons : 41 ; ép : 1 à 3 | Parure-vêtement | Fibule : ardillon | Fragment de tige époincée de section circulaire : probable ardillon. |
| 2022 | 2 | M | 044045-40 | 240 | 240.02 | | Alliages cuivreux | 0,2 | 1 | 1 | - | Artisanat du métal | Scorie | Fragment de scorie de bronze. |
| 2022 | 2 | M | 044045-41 | 328 | 328.02 | | Fer | 7,1 | 1 | 1 | L cons : 35 ; l : 3 à 11 ; ép : 3 à 14 | Artisanat du métal | Outil ou chute : sole | Fragment de tige de section rectangulaire dont le profil est déformé et dont l'une des extrémités est époincée pour former une sole : outil ou chute de barre ? |
| 2022 | 2 | M | 044045-42 | 332 | 332.02 | | Alliages cuivreux | 15,7 | 1 | 1 | L cons : 28 ; l : 20 ; ép : 9 | Artisanat du métal | Lingot | Fragment de lingot relativement massif dont une partie de la surface est granuleuse alors que l'autre est bien plane. Il est muni de plusieurs traces de découpe. |
| 2022 | 2 | M | 044045-43 | 332 | 332.02 | | Alliages cuivreux | 21,6 | 1 | 1 | L : 155 ; l : 2 à 6 ; ép : 2,5 | Artisanat du métal | Matrice | Barre aplatie de section rectangulaire bien façonnée qui se termine à chaque extrémité par un petit tenon de forme rectangulaire destiné à sa fixation sur le billot. Sur la face avers, deux tailles de cupules sont présentes : diam : 2 mm (28 cupules) et 7 mm (5 cupules). Concernant l'organisation des petites cupules, elles forment une ligne simple de 10 éléments et 3 lignes où les cupules sont placées en quinconce. Sur le revers, on aperçoit aussi ce type cupules (au moins 15) dont l'organisation semble plus aléatoire (ratés?). Outil pour le travail et l'ajout de décor sur de la tôle fine (alliages cuivreux et/ou or). |
| 2022 | 2 | M | 044045-44 | 332 | 332.02 | | Alliages cuivreux | 12,2 | 1 | 1 | L : 145 ; l : 2 à 8 ; ép : 2 | Artisanat du métal | Matrice | Fragment de tige de section circulaire qui se prolonge par un porte-ardillon en cours d'ébauchage et se termine d'une extrémité avec un petit bourrelet (futur pied). Une battiture globulaire est encore collée vers l'extrémité distale de la tige : fibule en cours de fabrication. |
| 2022 | 2 | M | 044045-45 | 359 | 359.02 | | Fer | 3,5 | 1 | 1 | L cons : 57 ; ép : 3 à 5 | Artisanat du métal | Fibule en cours de fabrication | |
| 2022 | 2 | M | 044045-46 | 376 | 376.02 | | Alliages cuivreux | 0,3 | 1 | 1 | - | Artisanat du métal | Bille de coulée | Bille de coulée. |
| 2022 | 2 | M | 044045-47 | 382 | 382.02 | | Alliages cuivreux | 3,7 | 1 | 1 | L cons : 19 ; ép : 7 | Divers-polyvalent | Rivet : tige ou parure annulaire | |
| 2022 | 2 | M | 044045-48 | 335 | 335.05 | | Alliages cuivreux | 0,1 | 1 | 0 | L cons : 15 ; ép : 1 à 2 | Parure-vêtement | Fibule : corde | Fragment de tige de section ovulaire : rivet ou parure ? |
| 2022 | 2 | M | 044045-49 | Décapage | 2001 | | Fer | 5,0 | 1 | 1 | L cons : 22 ; l : 7 ; ép : 6 à 11 | Indéterminé | Tige | Fragment de tige de section quadrangulaire. |
| 2022 | 2 | M | 044045-5 | 203 | 203.03 | 44 | Alliages cuivreux | 1,4 | 2 | 1 | L : 21 ; l : 9 ; ép : 5 | Activités culinaires | Agrafe de réparation de vaisselle | Tôle rectangulaire repliée sur elle-même et de section en T pour former une agrafe de réparation de récipient. |
| 2022 | 2 | M | 044045-50 | Décapage | 2001 | | Fer | 3,6 | 1 | 1 | L cons : 40 ; l : 5 à 8 ; ép : 3 à 9 | Artisanat du métal | Chute de barre | Fragment de barre de section rectangulaire en D dont une extrémité semble aplatie et découpée. |
| 2022 | 2 | M | 044045-51 | Décapage | 2001 | | Alliages cuivreux | 25,3 | 3 | 3 | - | Artisanat du métal | Scorie | Scorie de bronze. |
| 2022 | 2 | M | 044045-52 | Décapage | 2001 | | Alliages cuivreux | 7,5 | 2 | 2 | L : 19 et 22 ; l : 11 et 13 ; ép : 7 et 6 | Artisanat du métal | Lingot | Deux petits fragments de lingots de section quadrangulaire disposant de traces de découpe à leur extrémité. |

ANNEXE 12 - INVENTAIRE DU MOBILIER MÉTALLIQUE, DES OBJETS EN MATIÈRE ORGANIQUE FOS-SILE, EN TERRE CUITE, EN MATIÈRE DURE ANIMALE

| Listing du mobilier métallique, en céramique, en os et en matière organique fossile | | | | | | | | | | | | | | |
|---|---------|--------------|---------------|-----------|--------|-----|-------------------|-----------|----|-----|--|----------------------------------|--|---|
| Année | Secteur | Code Matière | n° inventaire | Structure | US | Iso | Matériau | Masse (g) | NR | NMI | Dimensions (en mm) | Catégorie fonctionnelle | Type | Description |
| 2022 | 2 | M | 044045-53 | Décapage | 2001 | | Fer | 35,2 | 4 | 4 | - | Artisanat du métal | Chute | Lots de chutes de tiges ou petites barres avec soie et traces de découpe. |
| 2022 | 2 | M | 044045-54 | Décapage | 2001 | | Fer | 21,8 | 1 | 1 | L cons : 83 ; l : 5 à 24 ; ép : 6 | Activités culinaires | Couteau | Fragment de lame de section triangulaire dont le dos est rectiligne et terminé en pointe émoussée. |
| 2022 | 2 | M | 044045-55 | Décapage | 2001 | | Fer | 6,7 | 2 | 2 | L cons : 25 à 35 | Indéterminé | Tige | Fragment de tige de section quadrangulaire. |
| 2022 | 2 | M | 044045-56 | Décapage | 2001 | 26 | Alliages cuivreux | 1,3 | 1 | 1 | L : 25 | Indéterminé | Tôle | Fragment de tôle. |
| 2022 | 2 | M | 044045-56 | Décapage | 2001 | 26 | Fer | 4,9 | 2 | 2 | L cons : 24 à 33 | Indéterminé | Tige | Fragment de tige de section quadrangulaire. |
| 2022 | 2 | M | 044045-57 | Décapage | 2001 | | Alliages cuivreux | 0,8 | 2 | 1 | L cons : 22 ; ép : 1 | Indéterminé | Tôle | Fragment de tôle. |
| 2022 | 2 | M | 044045-58 | Décapage | 2001 | 32 | Alliages cuivreux | 6,2 | 1 | 1 | L cons : 53 ; l : 5 à 7 ; ép : 2 à 5 | Artisanat du métal | Barre | Petite barre de section rectangulaire déformée à plusieurs reprises : en cours de travail. |
| 2022 | 2 | M | 044045-59 | Décapage | 2001 | 35 | Alliages cuivreux | 0,5 | 1 | 1 | Diam : 5 ; ép : 3 | Parure-vêtement ou soin du corps | Anneau | Petit anneau de section aplatie et fermé dont le diamètre rappelle les éléments de parure ou de toilette. |
| 2022 | 2 | M | 044045-6 | 203 | 203.03 | | Alliages cuivreux | 0,8 | 1 | 1 | L : 29 ; diam oeillet : 6 ; ép : 1 à 2 | Parure-vêtement | Crochet de chaussure | Pièce composée d'une tige de section circulaire terminée d'un oeillet déformé et par une autre extrémité bouletée : crochet de chaussure. |
| 2022 | 2 | M | 044045-60 | Décapage | 2001 | 36 | Fer | 16,6 | 1 | 1 | L cons : 57 ; l : 17 à 22 ; ép : 4 à 7 | Soin du corps | Rasoir | Fragment de lame de section triangulaire dont le dos est incurvé : rasoir. |
| 2022 | 2 | M | 044045-61 | | 2008 | 46 | Alliages cuivreux | 6,2 | 2 | 1 | L : 35 ; l arc : 2 à 5 ; l ressort : 14 ; l : 2 à 5 ; ép : 2 à 4 | Parure-vêtement | Fibule | Fibule muni d'un arc de section en D, avec des espaces vides pour accueillir du corail (motif composé d'une incision longitudinale et deux incisions transversales placées de part et d'autre de la grande incision). Elle se prolonge par un porte-arillon de section en J d'où débute un pied relevé de forme carré. Lui aussi dispose d'une incision en forme de croix de Saint-André. Le ressort est rajouté à part inclus sur une petite perforation à l'extrémité de l'arc. Il dispose de 4-4 spires à corde interne passant par-dessus l'arc. Type F2G1. |
| 2022 | 2 | M | 044045-62 | | 2006 | | Alliages cuivreux | 0,6 | 1 | 1 | L : 33 ; l : 2 à 3 ; ép : 2 | Artisanat du métal | Tige brute de coulée | Fragment de tige de section en D brute de coulée. |
| 2022 | 2 | M | 044045-63 | | 2005 | | Fer | 4,6 | 1 | 1 | L : 33 ; l : 6 à 9 ; ép : 5 à 7 | Artisanat du métal | Chute | Fragment de tige de section losangique avec une soie et une probable trace de découpe : chute. |
| 2022 | 2 | M | 044045-64 | | 2005 | | Alliages cuivreux | 0,1 | 1 | 1 | L cons : 20 ; l : 1 ; ép : 0,5 | Parure-vêtement | Fibule : corde | Fragment de fil très fin de section rectangulaire aplatie : corde ? |
| 2022 | 2 | M | 044045-65 | | 2005 | | Fer | 0,6 | 1 | 0 | L cons : 14 ; ép : 4 | Parure-vêtement | Fibule : arillon | Petit fragment d'arillon de section circulaire. |
| 2022 | 2 | M | 044045-66 | | 2005 | | Fer | 3,3 | 1 | 1 | L cons : 31 ; l : 2 à 10 ; ép : 6 à 10 | Artisanat du métal | Fibule : arillon en cours de fabrication ? | Fragment de tige de section rectangulaire marquée par un ressaut rectangulaire à son extrémité : arillon en cours de mise en forme ? |
| 2022 | 2 | M | 044045-67 | | 2005 | | Alliages cuivreux | 1,5 | 1 | 1 | L cons : 50 ; l : 2 à 4 ; ép : 1 à 2 | Artisanat du métal | Chute de tige | Tige en cours de martelage avec des traces d'impact et de découpe. |
| 2022 | 2 | M | 044045-68 | | 2006 | | Alliages cuivreux | 0,1 | 1 | 1 | L cons : 3 ; tête : 3 | Divers-polyvalent | Rivet | Petit rivet à tête aplatie ovulaire et tige de section circulaire. |
| 2022 | 2 | M | 044045-69 | | 2006 | | Fer | 2,4 | 1 | 1 | Diam : 18X10 ; ép : 3 | Divers-polyvalent | Anneau | Fragment d'anneau ouvert dont les deux extrémités sont affinées. Il est de section circulaire. Il est déformé. |
| 2022 | 2 | M | 044045-7 | 203 | 203.03 | | Fer | 32,4 | 3 | 3 | L cons : 60 ; ép : 10 | Artisanat du métal | Chutes | Fragments de tiges plus ou moins massives : probables chutes liées à la métallurgie du fer. |

ANNEXE 12 - INVENTAIRE DU MOBILIER MÉTALLIQUE, DES OBJETS EN MATIÈRE ORGANIQUE FOS-SILE, EN TERRE CUITE, EN MATIÈRE DURE ANIMALE

| Listing du mobilier métallique, en céramique, en os et en matière organique fossile | | | | | | | | | | | | | | |
|---|---------|--------------|---------------|-----------|-----------|-----|-------------------|-----------|----|-----|----------------------------------|-------------------------|-----------------|--|
| Année | Secteur | Code Matière | n° inventaire | Structure | US | Iso | Matériau | Masse (g) | NR | NMI | Dimensions (en mm) | Catégorie fonctionnelle | Type | Description |
| 2022 | 2 | M | 044045-70 | | 2006 | | Fer | 1,1 | 2 | 1 | L cons : 22 | Indéterminé | Tige | Fragment de tige de section quadrangulaire. |
| 2022 | 2 | M | 044045-71 | | 2003 | | Alliages cuivreux | 0,8 | 1 | 1 | Diam : 6 | Artisanat du métal | Bille de coulée | Bille de coulée. |
| 2022 | 2 | M | 044045-72 | | 2008-2003 | | Alliages cuivreux | 1,1 | 1 | 1 | L : 70 ; l : 1 à 3 ; ép : 1 | Textile | Aiguille | Aiguille munie d'un fût de section circulaire et épointée à son extrémité distale. A son autre extrémité, un chas de forme elliptique percé dans la tige. Pour la couture. |
| 2022 | 2 | M | 044045-8 | 203 | 203.03 | | Alliages cuivreux | 0,2 | 1 | 1 | Diam : 3 ; ép : 2 | Artisanat du métal | Bille de coulée | Bille de coulée. |
| 2022 | 2 | M | 044045-9 | 203 | 203.03 | | Fer | 1,3 | 1 | 1 | L cons : 25 ; l : 4 à 6 ; ép : 2 | Artisanat du métal | Chute de tige | Fragment de tige de section rectangulaire dont le profil est déformé : petite chute. |

| Pré-inventaire des scories-Secteur 1, 2, et 3-2021/2022 | | | | | | | | | | | | | | |
|---|---------|-----------|-----------|-------|----------------------|-----------|-----------------------|-----|-----|-----|-----|-----|-------|--|
| Année | Secteur | Structure | US | n°Lot | Matériau | Masse (g) | Indice de taille (mm) | NR | NMI | SAS | SFR | SGD | Mixte | Description |
| 2021 | 1 | | 1000/1001 | 1 | Scorie/Paroi de four | 920 | <60 | 28 | 7 | 1 | 1 | 5 | 1 | Majorité de SGD en NR, paroi de four |
| 2021 | 1 | | 1002 | 2 | Scorie/Paroi de four | 900 | <80 | 32 | 10 | 1 | 3 | 6 | | Paroi de four, culots, fragments de scories et 1 scorie informe SGD |
| 2021 | 1 | | 1003 | 3 | Scorie/Paroi de four | 950 | <70 | 35 | 7 | 3 | 3 | 4 | | Paroi de four, culots dont 1 SGD comportant un événement, fragments de scories |
| 2021 | 1 | 1 | 1004 | 4 | Scorie/Paroi de four | 570 | <70 | 5 | 4 | | | 3 | | 1 fragment de paroi de four avec de la scorie, 1 culot indéterminé |
| 2021 | 1 | 2 | 1005 | 5 | Scorie/Paroi de four | 680 | <90 | 33 | 3 | 1 | 1 | 1 | | Culots, fragments de scories, nombreux fragments de four |
| 2021 | 1 | 3 | 1006 | 6 | Scorie/Paroi de four | 3190 | <110 | 31 | 15 | 14 | 14 | 1 | 1 | Culots, fragments de scories, fragments de paroi de four |
| 2021 | 1 | 3 | 1090 | 7 | Scorie/Paroi de four | 90 | <40 | 5 | 1 | 1 | 1 | | | 1 culot, 1 scorie, 3 parois |
| 2021 | 1 | 3 | 1109 | 8 | Scorie/Paroi de four | 160 | <70 | 1 | 1 | | | 1 | | 1 culot |
| 2021 | 1 | 4 | 1007 | 9 | Scorie/Paroi de four | 80 | | 15 | | | | | | Fragments de parois et scories SAS et SGD |
| 2021 | 1 | 5 | 1012 | 10 | Scorie/Paroi de four | 6052 | <155 | 130 | 12 | 1 | 6 | 5 | | Fragments de parois, scories, probable culot fragmenté |
| 2021 | 1 | 5 | 1091 | 11 | Scorie/Paroi de four | 1250 | <90 | 41 | 3 | | | 3 | | Fragments de parois, scories, probable culot fragmenté |
| 2021 | 1 | 5 | 1093 | 12 | Scorie/Paroi de four | 90 | <50 | 7 | | | | | | Fragments de parois et scories |
| 2021 | 1 | 6 | 1014 | 13 | Scorie/Paroi de four | 350 | <60 | 26 | 4 | 1 | 2 | | 1 | Fragment de paroi, fragments de scories SAS et 1 scorie informe SFR ; le culot mixte est SFR et SDG ; 1 culot SFR comportant une scorie SGD |
| 2021 | 1 | 6 | 1095 | 14 | Scorie/Paroi de four | 310 | <70 | 3 | 2 | | 2 | | | 1 culot avec 2 appui et un reste de paroi ; 1 fragment de scorie |
| 2021 | 1 | 8 | 1018 | 15 | Scorie/Paroi de four | 200 | <40 | 16 | 2 | | 2 | | | Culots, 1 fragment de culot SGD ; fragments de scories majorité SAS et fragments de parois |
| 2021 | 1 | 10 | 1022 | 16 | Scorie/Paroi de four | 770 | <100 | 34 | 5 | 3 | 3 | 1 | 1 | Culots dont 1 mixte de SGD et SFR ; 3 fragments de culot SGD ; fragments de scories dont 2 SGD coulées ; fragments de parois |
| 2021 | | 10 | 1089 | 17 | Scorie/Paroi de four | 170 | <60 | 1 | 1 | | 1 | | | 1 culot SFR avec 3 bords d'appuis |
| 2021 | 1 | 10 | 1100 | 18 | Scorie/Paroi de four | 210 | <50 | 10 | 1 | | | 1 | | Culot, fragments de scories SGD, 1 fragment de culot SGD ; 1 fragment de paroi |
| 2021 | 1 | 13 | 1028 | 19 | Scorie/Paroi de four | 30 | <40 | 2 | | | | | | Au moins 1 fragment de culot SGD |
| 2021 | 1 | 14 | 1030 | 20 | Scorie/Paroi de four | 10 | <30 | 1 | | | | | | 1 fragment de scorie |
| 2021 | 1 | 15 | 1032 | 21 | Scorie/Paroi de four | 10 | <30 | 1 | | | | | | 1 fragment de culot SGD |
| 2021 | 1 | 17 | 1036 | 22 | Scorie/Paroi de four | 540 | <70 | 28 | 5 | 3 | 3 | 1 | 1 | Culots dont 1 mixte composée de SFR et d'une surpasseuse SAS ; fragment de paroi ; fragments de scories en majorité SGD et SAS ; 3 fragments de culots, 2 SFR et 1 SAS |
| 2021 | 1 | 19 | 1042 | 23 | Scorie/Paroi de four | 10 | <20 | 2 | | | | | | Fragments de scories SGD |
| 2021 | 1 | 23 | 1050 | 24 | Scorie/Paroi de four | 70 | <40 | 10 | | | | | | 1 scorie informe SFR, 1 fragment de coulée SGD, fragments de parois |
| 2021 | 1 | 24 | 1052 | 25 | Scorie/Paroi de four | 90 | <40 | 11 | | | | | | Fragments de scories, fragments de parois |

Pré-inventaire des scories-Secteur 1, 2, et 3-2021/2022

| Année | Secteur | Structure | US | n°Lot | Matériau | Masse (g) | Indice de taille (mm) | NR | NMI | SAS | SFR | SGD | Mixte | Description |
|-------|---------|-------------------|--------|-------|----------------------|-----------|-----------------------|----|-----|-----|-----|-----|-------|--|
| 2021 | 1 | 26 | 1056 | 26 | Scorie/Paroi de four | 70 | <30 | 11 | 1 | 1 | 1 | | | Scories informes SFR et SGD, et fragments ; 1 fragment de paroi |
| 2021 | 1 | 28 | 1060 | 27 | Scorie/Paroi de four | 20 | <30 | 1 | 1 | | | 1 | | 1 culot SGD |
| 2021 | 1 | 29 | 1062 | 28 | Scorie/Paroi de four | 200 | <60 | 11 | 2 | 1 | 1 | | | Culots, parois de fours et fragments de scories ; fragment de culot SGD |
| 2021 | 1 | 31 | 1066 | 29 | Scorie/Paroi de four | 40 | <60 | 1 | 1 | | | 1 | | Fragment de culot SGD avec appui |
| 2021 | 1 | 31 | 1108 | 30 | Scorie/Paroi de four | 50 | <50 | 1 | | | | | | Fragment de paroi carbonisé |
| 2021 | 1 | 37 | 1078 | 31 | Scorie/Paroi de four | 40 | <30 | 3 | | | | | | 1 fragment de paroi, 1 fragment de scorie SGD et 1 scorie SFR |
| 2021 | 1 | 39 | 1082 | 32 | Scorie/Paroi de four | 20 | <30 | 3 | | | | | | Fragments de scories SAS et SFR |
| 2021 | 1 | 42 | 1098 | 33 | Scorie/Paroi de four | 160 | <50 | 15 | 1 | 1 | 1 | | | Fragments de parois, fragments de scories SAS, SFR et SGD |
| 2021 | 1 | 43 | 1003 | 34 | Scorie/Paroi de four | 40 | <60 | 1 | | | | | | 1 fragment de scorie SGD |
| 2021 | 1 | 45 | 1106 | 35 | Scorie/Paroi de four | 420 | <60 | 29 | 3 | | 2 | 1 | | 1 culot mixte SAS et SGD ; fragments de parois, fragments de scories principalement SGD, scories informes SFR |
| 2021 | 1 | 46 | 1137 | 36 | Scorie/Paroi de four | 130 | <50 | 20 | | | | | | Fragments de parois ; fragments de scories dont 1 comportant trace de sol et trace de paroi composé SGD et SFR |
| 2021 | 1 | 46 | 1141 | 37 | Scorie/Paroi de four | 50 | <60 | 2 | | | | | | Fragments de parois |
| 2021 | 1 | 47 | 1112 | 38 | Scorie/Paroi de four | 10 | <30 | 1 | | | | | | Fragment de scorie SFR |
| 2021 | 1 | 48 | 1114 | 39 | Scorie/Paroi de four | 20 | <40 | 3 | | | | | | Fragments de scories |
| 2021 | 1 | 49 | 1116 | 40 | Scorie/Paroi de four | 440 | <80 | 59 | 2 | 1 | | 1 | | Culots ; fragments de parois dont 2 avec une petite inclusion d'alliage cuivreux ; fragments de scories |
| 2021 | 1 | 56 | 1133 | 41 | Scorie/Paroi de four | 10 | <30 | 1 | | | | | | Fragment de scorie SFR |
| 2021 | 1 | 57 | 1135 | 42 | Scorie/Paroi de four | 180 | <60 | 10 | 2 | | | 2 | | Culots ; 1 fragment de culot SGD ; fragments de parois ; fragments de scories SGD |
| 2021 | 1 | 58 | 1140 | 43 | Scorie/Paroi de four | 80 | <60 | 6 | | | | | | Fragments de scories dont 1 comporte traces d'oxydes de cuivres (?) ; 1 fragment de paroi |
| 2021 | 1 | 59 | 1144 | 44 | Scorie/Paroi de four | 20 | <40 | 3 | | | | | | Fragments de parois et 1 fragment de scorie SAS |
| 2021 | 1 | 59 | 1146 | 45 | Scorie/Paroi de four | 90 | <60 | 3 | 1 | | | 1 | | Fragments de scories et 1 culot SGD comportant une scorie SFR |
| 2021 | 1 | 61 | 1137 | 46 | Scorie/Paroi de four | 10 | <20 | 1 | | | | | | Scorie SAS |
| 2021 | 1 | 64 | 1176 | 47 | Scorie/Paroi de four | 220 | <60 | 19 | 2 | | | 1 | 1 | Culots dont 1 SAS et SGD ; fragments de scories et de parois |
| 2021 | 1 | 66 | 1153 | 48 | Scorie/Paroi de four | 20 | <30 | 3 | | | | | | Fragments de parois et 1 scorie SAS |
| 2021 | 1 | 70 | 1159 | 49 | Scorie/Paroi de four | 10 | <20 | 1 | | | 1 | | | 1 scorie SFR |
| 2021 | 1 | 83 | 1190 | 50 | Scorie/Paroi de four | 60 | <60 | 0 | | | | | | Parois de fours avec de la scorie |
| 2021 | 1 | HS | | 51 | Scorie/Paroi de four | 40 | <30 | 1 | | | | 1 | | Fragment de scorie SGD |
| 2022 | 2 | ISO 27 (Décapage) | 2002/3 | 60 | Scorie/Paroi de four | 502 | 90 | 1 | 1 | | 1 | | | Un culot SFR double, un appui, indice de conservation 100 % |

Pré-inventaire des scories-Secteur 1, 2, et 3-2021/2022

| Année | Secteur | Structure | US | n°Lot | Matériau | Masse (g) | Indice de taille (mm) | NR | NMI | SAS | SFR | SGD | Mixte | Description |
|-------|---------|-------------------|--------|-------|----------------------|-----------|-----------------------|----|-----|-----|-----|-----|-------|---|
| 2022 | 2 | ISO 28 (Décapage) | 2002/3 | 61 | Scorie/Paroi de four | 592 | 95 | 1 | 1 | 1 | 1 | 1 | | Un culot SFR multiple (3), 2 appuis dont avec une zone arrachée. Quelques gouttelettes SGD entre le 1er et le 2e culot. Indice conservation:90 % |
| 2022 | 2 | ISO 24 (décapage) | 2002/3 | 62 | Scorie/Paroi de four | 429 | 90 | 1 | 1 | 1 | 1 | 1 | | Un culot SFR, un appui, indice de conservation 100 % |
| 2022 | 2 | 203 | 3 | 67 | Scorie/Paroi de four | 440 | <60 | 21 | 2 | 2 | 1 | 1 | 1 | 1 petit culot SFR pouvant contenir du métal et 1 fragment de culot SGD. 3 scories informes SFR. 6 fragments de parois. 8 fragments de scories SGD (dont un mixte SFR/SGD). 2 fragments de scorie SFR (peut-être de culots). |
| 2022 | 2 | 204 | 2 | 68 | Scorie/Paroi de four | 19 | <30 | 3 | 0 | 0 | | | | 1 scorie informe SFR ; 1 fragment de scorie SGD ; 1 fragment de paroi. |
| 2022 | 2 | 201 | 3 | 69 | Scorie/Paroi de four | 40 | <50 | 6 | 1 | 1 | 1 | 1 | | 1 petit culot SFR. 2 fragments de scorie SGD. 1 fragment de scorie SFR. 1 scorie informe SAS. 1 fragment de paroi. |
| 2022 | 2 | 201 | 2 | 70 | Scorie/Paroi de four | 109 | <60 | 3 | 1 | | | 1 | | 1 culot multiple (1er SFR, 2e SGD). 1 fragment de paroi. 1 fragment de scorie coulée SGD. |
| 2022 | 2 | 202 | 2 | 71 | Scorie/Paroi de four | 38 | <30 | 2 | 0 | | | | | 1 fragment de scorie SGD. 1 scorie informe SFR potentiellement avec du métal. |
| 2022 | 2 | 200 | 3 | 72 | Scorie/Paroi de four | 32 | 40 | 1 | | | | | | 1 fragment de paroi rechapé. |
| 2022 | 2 | 208 | 2 | 73 | Scorie/Paroi de four | 60 | <70 | 4 | 1 | | | | | 1 culot SAS. 2 scories informes SFR et 1 SGD. |
| 2022 | 2 | 210 | 2 | 74 | Scorie/Paroi de four | 667 | <60 | 68 | 3 | 3 | | | | Q N-E : 3 culots SAS. 13 fragments de parois. 3 scories informes SAS et 4 SFR. 6 fragments de scories SFR, 18 SGD et 21 SAS. (Chute de métal mis a part) |
| 2022 | 2 | 210 | 2 | 75 | Scorie/Paroi de four | 222 | <50 | 18 | 2 | | 1 | 1 | | Q S-O: 1 culot SFR, 1 SGD avec une surepaisseur SAS. 2 fragments de parois. 1 scorie informe SAS. 1 fragment de scorie SFR et 12 fragments de SGD. |
| 2022 | 2 | 210 | 2 | 76 | Scorie/Paroi de four | 500 | <50 | 31 | 3 | 1 | | 2 | | Q N-O: 1 culot SAS, 2 culot SGD dont 1 avec surepaisseur SAS. 8 fragments de parois. 3 scories informes SFR, 2 SAS et 2 SGD. 4 fragments de scories SAS, 9 SGD. |
| 2022 | 2 | 210 | 2 | 77 | Scorie/Paroi de four | 950 | <50 | 76 | 3 | | 1 | 2 | | Q S-E : 1 culot SFR, 2 culot à priori SGD (concrétion). 18 fragments de parois. 15 scories informe SFR, 4 SGD, 6 SAS. 14 fragments SGD, 16 SAS. |
| 2022 | 2 | 210 | 3 | 78 | Scorie/Paroi de four | 170 | <30 | 19 | 0 | | | | | Q N-O: 3 fragments de parois. 2 scories informes SAS. 3 fragments de scories SFR, 9 SGD, 2 SAS. |
| 2022 | 2 | 210 | 3 | 79 | Scorie/Paroi de four | 50 | <30 | 10 | 0 | | | | | Q N-E : 2 fragments de paroi. 3 fragments de scories SGD, 5 SFR. |
| 2022 | 2 | 210 | 3 | 80 | Scorie/Paroi de four | 214 | <70 | 15 | 1 | | | 1 | | Q S-E : 1 culot SGD avec surepaisseur SAS et paroi associée. 1 fragment de paroi. 1 scorie informe SGD, 3 SFR, 1 SAS. 2 fragments de scorie SGD, 4 SAS |
| 2022 | 2 | 210 | 3 | 81 | Scorie/Paroi de four | 358 | <80 | 13 | 2 | | 1 | 1 | | Q S-O : 1 culot à priori SFR (concrétion), 1 SGD. 4 fragments de scories SGD, 5 SAS. 2 fragments de paroi |
| 2022 | 2 | 210 | 2006 | 82 | Scorie/Paroi de four | 30 | <30 | 3 | | | | | | 1er nettoyage. 1 scorie informe SFR, 2 SGD |
| 2022 | 2 | 212 | 2 | 83 | Scorie/Paroi de four | 313 | <80 | 7 | 1 | | | 1 | | 1 fragment de culot SGD. 3 fragments de scories SAS, 3 SGD. (FAIT ANNULÉ) |
| 2022 | 2 | 214 | 2 | 84 | Scorie/Paroi de four | 304 | <60 | 18 | 2 | | | 1 | | Q N-O : 1 culot SGD et 1 culot indéterminé (concrétion) avec de la paroi associée. 4 fragments de scories SAS, 4 SFR, 8 SGD |

Pré-inventaire des scories-Secteur 1, 2, et 3-2021/2022

| Année | Secteur | Structure | US | n°Lot | Matériau | Masse (g) | Indice de taille (mm) | NR | NMI | SAS | SFR | SGD | Mixte | Description |
|-------|---------|-----------|------|-------|----------------------|-----------|-----------------------|----|-----|-----|-----|-----|-------|---|
| 2022 | 2 | 214 | 2 | 85 | Scorie/Paroi de four | 125 | <60 | 4 | 1 | | | | | Q S-E : 1 culot indéterminé (concrétion). 1 fragment de scorie SFR et 2 indéterminée |
| 2022 | 2 | 214 | 3 | 86 | Scorie/Paroi de four | 529 | <100 | 4 | 1 | | | | | Q S-E : 1 culot indéterminé (concrétion). 1 fragment de paroi. 1 fragment de scorie SGD et 1 indéterminée |
| 2022 | 2 | 214 | 3 | 87 | Scorie/Paroi de four | 10 | <30 | 3 | | | | | | Q N-E : 2 fragments de parois et 1 fragment de scorie SAS. |
| 2022 | 2 | 214 | 4 | 88 | Scorie/Paroi de four | 114 | <50 | 4 | | | | | | 1 fragment de scorie SGD, 3 de SAS |
| 2022 | 2 | 219 | 2 | 89 | Scorie/Paroi de four | 700 | <80 | | 3 | 3 | | | | 3 culots SFR (dont 1 avec beaucoup de concrétion). 3 fragments SGD, 1 SAS. |
| 2022 | 2 | 229? | ? | 91 | Scorie/Paroi de four | 4 | 14 | 1 | | | | | | 1 fragment de scorie "de bronze" |
| 2022 | 2 | 229 | 2 | 92 | Scorie/Paroi de four | 53 | 46 | 1 | 1 | 1 | | | | Nettoyage : 1 culot SFR |
| 2022 | 2 | 231 | 2 | 93 | Scorie/Paroi de four | 2 | 20 | 1 | | | | | | 1 fragment de scorie SFR |
| 2022 | 2 | 235 | 2 | 94 | Scorie/Paroi de four | 78 | <40 | 2 | 1 | 1 | | | | Q N-O : 1 culot SFR et 1 fragment de SGD |
| 2022 | 2 | 235 | 2 | 95 | Scorie/Paroi de four | 29 | <30 | 4 | | | | | | Q S-E : 2 fragments de parois. 1 fragment de scorie SAS et 1 SGD |
| 2022 | 2 | 235 | 2 | 96 | Scorie/Paroi de four | 45 | <40 | 5 | | | | | | 3 fragments de parois. 1 fragment de scorie SGD et 1 SAS |
| 2022 | 2 | 236 | 2 | 97 | Scorie/Paroi de four | 121 | <40 | 6 | | | | | | Q N-O : 1 fragment de scorie SGD, 5 de SAS |
| 2022 | 2 | 236 | 2 | 98 | Scorie/Paroi de four | 26 | <40 | 4 | | | | | | Q N-E : 1 fragment de paroi. 2 fragments de scorie SFR et 1 SGD. |
| 2022 | 2 | 236 | 2 | 99 | Scorie/Paroi de four | 68 | <50 | 2 | | | | | | Q S-O : 2 fragments de parois dont 1 avec de la scorie associée. |
| 2022 | 2 | 239 | 2 | 100 | Scorie/Paroi de four | 5 | 22 | 1 | | | | | | 1 scorie informe SFR |
| 2022 | 2 | 239 | 3 | 101 | Scorie/Paroi de four | 6 | <20 | 2 | | | | | | 1 scorie informe SAS. 1 fragment de scorie SGD |
| 2022 | 2 | 239 | 4 | 103 | Scorie/Paroi de four | 33 | <40 | 1 | | | | | | fragment de scorie SFR |
| 2022 | 2 | 240 | 2 | 104 | Scorie/Paroi de four | 12 | 30 | 1 | | | | | | 1 scorie "de bronze" |
| 2022 | 2 | 321 | 2 | 105 | Scorie/Paroi de four | 12 | <30 | 2 | | | | | | 2 fragments de scories SGD |
| 2022 | 2 | 326 | 2 | 106 | Scorie/Paroi de four | 218 | <60 | 19 | 1 | 1 | | | | 1 culot SFR. 5 fragments de parois. 7 fragments de scories SGD, 6 SFR. |
| 2022 | 2 | 332 | 2 | 107 | Scorie/Paroi de four | 28 | 33 | 1 | | | | | | 1 fragment de scorie SGD comprenant de la paroi. |
| 2022 | 2 | 336 | 2 | 108 | Scorie/Paroi de four | 20 | <30 | 4 | | | | | | 4 fragments de parois et 1 fragment de scorie SGD |
| 2022 | 2 | 337 | 2 | 109 | Scorie/Paroi de four | 19 | <30 | 4 | | | | | | 2 fragments de scories SGD. 2 fragments de parois. |
| 2022 | 2 | 347 | 2 | 110 | Scorie/Paroi de four | 100 | <50 | 10 | | | | | | 4 fragments de parois dont 1 comprenant de la scorie et 6 fragment de scorie SGD |
| 2022 | 2 | 349 | 2 | 111 | Scorie/Paroi de four | 5 | 20 | 1 | | | | | | 1 scorie de "bronze" |
| 2022 | 2 | 359 | 2 | 112 | Scorie/Paroi de four | 111 | <50 | 3 | 1 | | | | 1 | 1 fragment de culot SGD/SFR. 1 scorie informe SFR. 1 fragment de scorie SFR. |
| 2022 | 2 | 363 | 2 | 113 | Scorie/Paroi de four | 8 | <30 | 1 | | | | | | 1 fragment de paroi rechapé. |
| 2022 | 2 | 376 | 2 | 114 | Scorie/Paroi de four | 21 | <30 | 5 | | | | | | 3 fragments de parois. 1 fragment de scorie SGD et 1 SFR |
| 2022 | 2 | | 2001 | 115 | Scorie/Paroi de four | 629 | <60 | 21 | 6 | 3 | 3 | | | Décapage : 6 fragments de culots, 3 SFR, 3 SGD. 3 fragments de parois. 9 fragments de scories SGD, 3 SFR. |

Pré-inventaire des scories-Secteur 1, 2, et 3-2021/2022

| Année | Secteur | Structure | US | n°Lot | Matériau | Masse (g) | Indice de taille (mm) | NR | NMI | SAS | SFR | SGD | Mixte | Description |
|-------|---------|-----------|-----------|-------|----------------------|-----------|-----------------------|----|-----|-----|-----|-----|-------|---|
| 2022 | 2 | | 2001 | 116 | Scorie/Paroi de four | 284 | <80 | 3 | 2 | | 2 | | | Décapage berme N-O (sect 1): 3 fragments de culots SFR (dont 2 qui recolle) |
| 2022 | 2 | | 2001 | 117 | Scorie/Paroi de four | 513 | <70 | 7 | 3 | | | 3 | | Décapage berme N-O: 1 culot SGD, 1 culot multiple SGD et 1 fragment de culot SGD. 3 fragment de parois dont 1 avec de la scorie associée. 1 fragment de scorie SGD. |
| 2022 | 2 | | 2004 | 118 | Scorie/Paroi de four | 157 | <50 | 12 | 1 | | 1 | | | 1 culot SFR. 1 fragment de paroi. 6 fragments de scories SFR, 3 SAS. 1 scorie informe SFR. |
| 2022 | 2 | | 2005 | 119 | Scorie/Paroi de four | 28 | <40 | 2 | | | | | | Sur berme entre carré 12 et 4 : 2 fragments de parois dont 1 scoriifié. |
| 2022 | 2 | | 2005 | 120 | Scorie/Paroi de four | 99 | <40 | 3 | 1 | | 1 | | | Carré 13 : 1 fragment de culot SFR, 2 fragment de scorie SFR. |
| 2022 | 2 | | 2005 | 121 | Scorie/Paroi de four | 119 | <80 | 3 | 1 | | 1 | | | Décapage : 1 culot SFR. 1 fragment de scorie SGD et 1 fragment de paroi. |
| 2022 | 2 | | 2005 | 122 | Scorie/Paroi de four | 9 | 30 | 1 | | | | | | Carré 18 : 1 fragment de paroi |
| 2022 | 2 | | 2005 | 123 | Scorie/Paroi de four | 367 | <80 | 10 | 1 | | 1 | | | 1 culot SFR. 2 fragment de paroi. 2 fragments de scorie SFR et 3 SGD dont 1 coulé. 2 scorie informe SFR |
| 2022 | 2 | | 2005/2008 | 124 | Scorie/Paroi de four | 44 | <20 | 10 | | | | | | Carré 14 : 10 fragments de scories SAS |
| 2022 | 2 | | 2005 | 125 | Scorie/Paroi de four | 238 | <60 | 8 | | | | | | Carré 4 niveau 1 : 3 scories informes SFR dont 1 contenant du métal. 4 fragments de scories SGD. 1 fragment de paroi |
| 2022 | 2 | | 2005 | 126 | Scorie/Paroi de four | 172 | <70 | 3 | 1 | | 1 | | | Carré 2 niveau 2 : 1 fragment de culot SFR, 1 fragment de scorie SGD. 1 fragment de paroi |
| 2022 | 2 | | 2005 | 127 | Scorie/Paroi de four | 165 | 74 | 1 | 1 | | 1 | | | Carré 7 niveau 1 : 1 culot SFR |
| 2022 | 2 | | 2005 | 129 | Scorie/Paroi de four | 134 | <50 | 4 | 2 | | 1 | 1 | | Carré 6 : 1 fragment de culot SFR, 1 fragment de culot SGD. 1 fragment de scorie SFR, 1 SGD |
| 2022 | 2 | | 2005 | 130 | Scorie/Paroi de four | 380 | <70 | 13 | 1 | | | 1 | | Carré 9 niveau 1 : 1 fragment de culot SGD. 2 fragments de scories SFR, 5 SGD. 5 fragments de parois. |
| 2022 | 2 | | 2005 | 132 | Scorie/Paroi de four | 53 | <40 | 3 | | | | | | Carré 2 niveau 1 : 2 scories informes SGD; 1 SFR. |
| 2022 | 2 | | 2005 | 133 | Scorie/Paroi de four | 47 | <30 | 5 | | | | | | Carré 12 : 2 fragments de parois. 2 fragments de scories SAS, 1 SGD. |
| 2022 | 2 | | 2005 | 134 | Scorie/Paroi de four | 75 | 51 | 1 | 1 | | 1 | | | Carré 11 : 1 fragment de culot SFR |
| 2022 | 2 | | 2005/2008 | 135 | Scorie/Paroi de four | 66 | <40 | 3 | | | | | | Carré 4 : 1 fragment de scorie SGD, 1 SFR. 1 scorie informe indéterminée. |
| 2022 | 2 | | 2006/2005 | 136 | Scorie/Paroi de four | 80 | <30 | 9 | | | | | | Carré 3 niveau 1 : 3 fragments de parois. 2 fragments de scories SFR, 1 SGD, 1 SAS. 1 scorie informe SFR et 1 indéterminée. |
| 2022 | 2 | | 2005 | 138 | Scorie/Paroi de four | 16 | <30 | 2 | | | | | | Carré 2 : 1 fragment de scorie SFR et 1 fragment de paroi. |
| 2022 | 2 | | 2005 | 139 | Scorie/Paroi de four | 247 | <80 | 5 | | | | | | Carré 1 niveau 2 : 4 fragments de scories SGD. 1 scorie informe indéterminée (concrétion) mais contenant du métal. |
| 2022 | 2 | | 2005 | 140 | Scorie/Paroi de four | 44 | <30 | 7 | | | | | | Carré 7 niveau 2 : 5 fragments de parois. 2 fragments de scories SGD |
| 2022 | 2 | | 2005 | 141 | Scorie/Paroi de four | 400 | <60 | 11 | 2 | | | | | Carré 8 niveau 1 : 2 culots indéterminés (concrétions). 2 fragments de parois. 2 scories informes SGD et 4 indéterminée. 1 fragment de scories SGD |
| 2022 | 2 | | 2006 | 142 | Scorie/Paroi de four | 14 | <20 | 4 | | | | | | A proximité de F210 : 2 fragments de parois. 1 fragment de scorie SGD, 1 SFR. |

| Pré-inventaire des scories-Secteur 1, 2, et 3-2021/2022 | | | | | | | | | | | | | | |
|---|---------|-----------|------|-------|----------------------|-----------|-----------------------|----|-----|-----|-----|-----|-------|---|
| Année | Secteur | Structure | US | n°Lot | Matériau | Masse (g) | Indice de taille (mm) | NR | NMI | SAS | SFR | SGD | Mixte | Description |
| 2022 | 2 | | 2006 | 143 | Scorie/Paroi de four | 153 | <50 | 6 | 1 | | | 1 | | Carré 19 niveau inférieur : 1 fragment de culot SGD, 2 fragments de scories SAS et 2 indéterminé |
| 2022 | 2 | | 2006 | 144 | Scorie/Paroi de four | 190 | <90 | 5 | 1 | | 1 | | | Carré 1 niveau 2 : 1 culot SFR, 3 fragments de scories SGD et 1 SFR |
| 2022 | 2 | 339 | 2006 | 146 | Scorie/Paroi de four | 268 | <60 | 15 | 1 | | 1 | | | 1 fragment de culot SFR, 6 fragments de scories SGD, 3 SFR, 5 fragments de parois. |
| 2022 | 2 | | 2006 | 147 | Scorie/Paroi de four | 167 | <40 | 10 | | | | | | Carré 6 niveau 1 : 1 scorie informe indéterminée (concrétions), 4 fragments de scories SFR, 3 SGD, 2 fragments de parois. |
| 2022 | 2 | | 2006 | 148 | Scorie/Paroi de four | 341 | <70 | 22 | 1 | | 1 | | | 1 culot SFR, 6 fragments de parois dont 2 avec de la scorie associée, 12 fragments de scories SFR, 3 scories informes SFR. |
| 2022 | 2 | | 2006 | 149 | Scorie/Paroi de four | 181 | <40 | 18 | | | | | | Carré 2 : 4 fragments de parois, 7 fragments de scories SGD, 4 SFR, 2 SAS, 1 scorie informe indéterminée. |
| 2022 | 2 | | 2008 | 150 | Scorie/Paroi de four | 24 | <30 | 2 | | | | | | Carré 19 : 2 fragments de scories SGD |
| 2022 | 2 | | 2008 | 151 | Scorie/Paroi de four | 105 | <40 | 7 | | | | | | Carré 3 : 2 scories informe SFR dont 1 comprenant du métal, 2 fragments de scories SGD, 4 SAS. |
| 2022 | 2 | | 2009 | 153 | Scorie/Paroi de four | 7 | <20 | 2 | | | | | | Carré 16 : 2 fragments de parois |
| 2022 | 2 | | 2003 | 154 | Scorie/Paroi de four | 88 | 55 | 1 | 1 | | 1 | | | Nettoyage depuis la berme nord : 1 fragment de culot SFR. |
| 2022 | 2 | | 2001 | 155 | Scorie/Paroi de four | 42 | <40 | 4 | | | | | | Décapage : 3 fragments de scories SFR et 1 fragment de paroi. |
| 2022 | 3 | 400 | 2 | 63 | Scorie/Paroi de four | 335 | <60 | 6 | 3 | | | 2 | | Une scorie de bronze, un fragment de scorie SGD, une scorie informe SGD, 3 culots dont un indéterminé dû aux concrétions, 1 culot SGD sans appui conservé à 100 %, 1 culot SGD avec un appui conservé à 90 % |
| 2022 | 3 | 400 | 3 | 64 | Scorie/Paroi de four | 337 | <60 | 8 | 4 | 1 | 1 | 2 | | 1 culot SGD peu dense, fragmenté en trois, un appui, 1 culot a priori SFR (Concrétions), 1 appui, conservé à 100 %, 1 petit culot SGD sans appui avec une surface d'arrachement, conservé à 90 %, 1 petit culot SAS, avec un appui et conservé à 100 %. Un petit fragment de paroi scoriifié. Une scorie informe SFR. |
| 2022 | 3 | 400 | 4 | 65 | Scorie/Paroi de four | 70 | 36 | 1 | 1 | | | 1 | | 1 culot a priori SGD (Concrétions), avec un appui, conservation indéterminée. |
| 2022 | 3 | 400 | 5 | 66 | Scorie/Paroi de four | 330 | 61 | 5 | 1 | | | | | 1 culot indéterminé, 2 fragments de culots, 1 SGD avec un appui et une trace de paroi, l'autre SFR, 1 fragment de parois. Une scorie informe SGD à l'apparence coulée. |

| Inventaire simplifié du lithique-Secteur 2 et 3 | | | | | | | | | |
|---|----------|---------------------------|--------------------------|----|------------|---------------------|--------------------|---|--------|
| n° unité de fouille | n° objet | catégorie | Intégrité / fracturation | NR | Masse (kg) | roche niveau 1 | roche niveau 2 | précision proche | dessin |
| HS | 248 | outil mouture indéterminé | fragment | 1 | 0,151 | grès et conglomérat | grès feldspathique | grossier à nombreux petits feldspaths blancs | non |
| Nettoyage depuis Berme Nord | 253 | débris | | 1 | 0,025 | grès et conglomérat | grès feldspathique | grossier à nombreux petits feldspaths blancs et rosés | non |
| Sect 2 | 220 | débris | | 1 | 0,445 | grès et conglomérat | grès feldspathique | grossier à nombreux petits feldspaths blancs | non |
| Sect 2 | 220 | percuteur | entier | | | grès et conglomérat | grès feldspathique | grossier à nombreux petits feldspaths blancs | oui |
| Sect 2 | 221 | molette | fragment | 1 | 0,426 | grès et conglomérat | grès feldspathique | moyen à nombreux petits feldspaths blancs | oui |
| Sect 2 | 224 | outil mouture indéterminé | extrémité | 1 | 0,214 | grès et conglomérat | grès feldspathique | grossier à nombreux petits feldspaths blancs | oui |
| Sect 2 | 225 | débris | | 1 | 0,175 | grès et conglomérat | grès feldspathique | grossier à nombreux petits feldspaths blancs | non |
| Sect 2 | 225 | percuteur | entier | | | grès et conglomérat | grès feldspathique | grossier à nombreux petits feldspaths blancs | oui |
| Sect 2 | 223 | outil mouture indéterminé | fragment | 1 | 0,18 | grès et conglomérat | grès feldspathique | moyen à nombreux petits feldspaths blancs | non |
| Sect 2 | 223 | percuteur | entier | | | grès et conglomérat | grès feldspathique | moyen à nombreux petits feldspaths blancs | oui |
| Sect 2 décapage | 292 | outil mouture indéterminé | fragment | 1 | 0,021 | grès et conglomérat | grès feldspathique | grossier à nombreux petits feldspaths blancs | non |
| Sect 2 décapage | 292 | percuteur | entier | | | grès et conglomérat | grès feldspathique | grossier à nombreux petits feldspaths blancs | oui |
| Sect 2 St 200 US | 388 | percuteur | | 1 | 0,074 | grès et conglomérat | grès quartzitique | moyen à quartz blancs, gris et rosés, cortex rouge | oui |
| Sect 2 St 201 US | 280 | débris | | 1 | 0,008 | granite | granite blanc | grossier blanc à micas blancs et noirs | non |
| Sect 2 St 201 US | 281 | débris | | 1 | 0,014 | grès et conglomérat | grès siliceux | moyen blanc à inclusions de quartz et micas | non |
| Sect 2 St 201 US | 282 | débris | | 1 | 0,039 | grès et conglomérat | grès feldspathique | grossier à nombreux petits feldspaths blancs et rosés | non |
| Sect 2 St 201 US | 337 | p brute | | 1 | 0,031 | calcaire | galet | fin gris rosé | non |
| Sect 2 St 201 US | 338 | p brute | | 1 | 0,021 | grès et conglomérat | grès quartzitique | moyen blanc avec inclusions de veine de quartz brunes | non |
| Sect 2 St 201 US | 339 | débris | | 1 | 0,005 | grès et conglomérat | grès feldspathique | grossier à nombreux petits feldspaths rosés et micas blancs | non |
| Sect 2 St 201 US | 340 | débris | | 1 | 0,008 | grès et conglomérat | grès feldspathique | grossier à feldspaths blancs et micas blancs | non |
| Sect 2 St 201 US | 341 | débris | | 1 | 0,025 | grès et conglomérat | grès siliceux | moyen à grains siliceux bruns | non |

| Inventaire simplifié du lithique-Secteur 2 et 3 | | | | | | | | | |
|---|----------|---------------------------|--------------------------|----|------------|---------------------|--------------------|--|--------|
| n° unité de fouille | n° objet | catégorie | Intégrité / fracturation | NR | Masse (kg) | roche niveau 1 | roche niveau 2 | précision proche | dessin |
| Sect 2 St 201 US 3 | 342 | débris | | 3 | 0,027 | granite | leucogranite | grossier à nombreux blancs, gris et noirs | non |
| Sect 2 St 201 US 3 | 343 | débris | | 3 | 0,029 | grès et conglomérat | grès feldspathique | grossier à inclusions centimétriques de feldspaths blancs, quartz blancs et micas blancs | non |
| Sect 2 St 201 US 3 | 344 | débris | | 1 | 0,096 | grès et conglomérat | grès feldspathique | grossier à nombreux feldspaths blancs, quartz blancs et micas noirs | non |
| Sect 2 St 203 US 3 | 266 | molette | bord | 1 | 0,109 | grès et conglomérat | grès feldspathique | grossier à petits feldspaths blancs et inclusions centimétriques de lithoclastes | oui |
| Sect 2 St 203 US 3 | 297 | débris | | 1 | 0,013 | granite | leucogranite | grossier rose à nombreux micas blancs et gris | non |
| Sect 2 St 203 US 3 | 298 | p brute | | 1 | 0,009 | grès et conglomérat | | | non |
| Sect 2 St 203 US 3 | 299 | débris | | 1 | 0,007 | granite | leucogranite | grossier rosé à nombreux micas blancs, gris et noirs | non |
| Sect 2 St 203 US 3 | 300 | molette | bord | 1 | 0,024 | grès et conglomérat | grès feldspathique | moyen à petits feldsaphs blancs dans matrice rosé | oui |
| Sect 2 St 203 US 3 | 301 | outil mouture indéterminé | bord | 2 | 0,034 | granite | leucogranite | grossier gris (effet de la chauffe), s'arénise | oui |
| Sect 2 St 210 2 | 353 | outil mouture indéterminé | fragment | 1 | 3,8 | grès et conglomérat | grès feldspathique | grossier à petits feldspaths blancs et micas blancs | non |
| Sect 2 St 210 US 2 | 269 | écl | | 3 | 0,207 | grès et conglomérat | grès quartzitique | moyen à micas blancs | non |
| Sect 2 St 210 US 2 | 360 | écl | | 1 | 0,004 | autre | silix | | non |
| Sect 2 St 210 US 2 | 361 | écl | | 1 | 0,0009 | autre | silix | | non |
| Sect 2 St 210 US 2 | 362 | débris | | 1 | 0,004 | grès et conglomérat | grès feldspathique | moyen à nombreux petits feldspaths blancs et micas blancs et noirs | non |
| Sect 2 St 210 US 2 quart sud-est | 316 | écl | | 1 | 0,062 | granite | leucogranite | moyen gris | non |
| Sect 2 St 210 US 2 quart sud-est | 387 | outil indéterminé | | 1 | 0,039 | | | | non |
| Sect 2 St 210 US 2 quart sud-ouest | 293 | p brute | | 1 | 0,001 | grès et conglomérat | grès fin | fin à petits micas blancs et quartz | non |
| Sect 2 St 210 US 2 quart sud-ouest | 333 | écl | | 7 | 0,216 | grès et conglomérat | grès quartzitique | fin blanc | non |
| Sect 2 St 210 US 3 | 275 | débris | | 1 | 0,095 | grès et conglomérat | grès feldspathique | grossier à nombreux petits feldspaths blancs et micas blancs | non |
| Sect 2 St 210 US 3 | 276 | percuteur | entier | 1 | 0,219 | grès et conglomérat | grès feldspathique | grossier à nombreux feldspaths blancs | oui |

| Inventaire simplifié du lithique-Secteur 2 et 3 | | | | | | | | | |
|---|----------|---------------------------|--------------------------|----|------------|---------------------|--------------------|--|--------|
| n° unité de fouille | n° objet | catégorie | Intégrité / fracturation | NR | Masse (kg) | roche niveau 1 | roche niveau 2 | précision proche | dessin |
| Sect 2 St 210 US 3 | 287 | écl | | 1 | 0,003 | autre | silix | | non |
| Sect 2 St 210 US 3 | 288 | p brute | | 1 | 0,017 | grès et conglomérat | grès fin | blanc | non |
| Sect 2 St 210 US 3 | 289 | débris | | 1 | 0,026 | grès et conglomérat | grès feldspathique | moyen à rares petits feldspaths blancs et micas blancs | non |
| Sect 2 St 212 US 2 | 283 | débris | | 1 | 0,02 | granite | granite blanc | grossier à nombreux micas blancs et noirs | non |
| Sect 2 St 212 US 2 | 284 | p brute | | 1 | 0,037 | grès et conglomérat | grès siliceux | fin brun | non |
| Sect 2 St 214 US 2 | 264 | molette | bord | 1 | 0,061 | grès et conglomérat | grès feldspathique | grossier à nombreux petits feldspaths blancs | oui |
| Sect 2 St 214 US 2 | 277 | débris | | 1 | 0,024 | grès et conglomérat | grès feldspathique | grossier à rares feldspaths et micas blancs, ferrugineux | non |
| Sect 2 St 214 US 2 | 278 | débris | | 1 | 0,033 | grès et conglomérat | grès feldspathique | grossier à nombreux petits feldspaths blancs et micas blancs | non |
| Sect 2 St 214 US 2 | 365 | p brute | | 1 | 0,025 | grès et conglomérat | grès feldspathique | moyen à petits feldspaths blancs et rosés et nombreux micas blancs | non |
| Sect 2 St 214 US 2 quart nord-ouest | 295 | débris | | 1 | 0,03 | grès et conglomérat | grès feldspathique | grossier à quelques petits feldspaths blancs et micas blancs pris dans une matrice légèrement ferrugineuse | non |
| Sect 2 St 214 US 2 quart nord-ouest | 296 | débris | | 2 | 0,016 | grès et conglomérat | grès feldspathique | grossier à nombreux petits feldspaths blancs et micas blancs pris dans une matrice légèrement ferrugineuse | non |
| Sect 2 St 214 US 2 quart nord-ouest | 345 | p brute | | 1 | 0,024 | grès et conglomérat | grès siliceux | moyen gris brun | non |
| Sect 2 St 214 US 2 quart nord-ouest | 346 | p brute | | 1 | 0,036 | grès et conglomérat | grès siliceux | moyen brun violacé | non |
| Sect 2 St 214 US 2 quart nord-ouest | 347 | débris | | 1 | 0,018 | grès et conglomérat | grès feldspathique | moyen à petits feldspaths et rosés | non |
| Sect 2 St 214 US 2 quart nord-ouest | 348 | débris | | 1 | 0,045 | granite | leucogranite | grossier rosé clair | non |
| Sect 2 St 214 US 2 quart nord-ouest | 349 | débris | | 2 | 0,079 | grès et conglomérat | grès feldspathique | grossier à nombreux feldspaths blancs et inclusions de micas blancs centimétriques | non |
| Sect 2 St 214 US 2 quart nord-ouest | 350 | débris | | 1 | 0,086 | grès et conglomérat | grès feldspathique | moyen à nombreux petits feldspaths rosés et blancs et micas blancs | non |
| Sect 2 St 214 US 2 quart nord-ouest | 351 | outil mouture indéterminé | fragment | 3 | 0,095 | grès et conglomérat | grès feldspathique | grossier à nombreux petits feldspaths blancs et micas blancs | non |
| Sect 2 St 214 US 2 quart nord-ouest | 352 | outil mouture indéterminé | bord | 1 | 0,036 | grès et conglomérat | grès feldspathique | moyen à nombreux petits feldspaths blancs | non |
| Sect 2 St 214 US 3 | 279 | p brute | | 1 | 0,046 | grès et conglomérat | grès fin | gris rosé | non |

| Inventaire simplifié du lithique-Secteur 2 et 3 | | | | | | | | | |
|---|----------|---------------------------|--------------------------|----|------------|---------------------|--------------------|---|--------|
| n° unité de fouille | n° objet | catégorie | Intégrité / fracturation | NR | Masse (kg) | roche niveau 1 | roche niveau 2 | précision proche | dessin |
| Sect 2 St 214 US 3 quart sud-ouest | 364 | débris | | 1 | 0,013 | grès et conglomérat | grès feldspathique | grossier à nombreux feldspaths blancs et rosés | non |
| Sect 2 St 214 US 4 | 314 | p brute | | 1 | 0,009 | grès et conglomérat | grès micacé | moyen à nombreux petits micas blancs | non |
| Sect 2 St 214 US 4 | 370 | outil mouture indéterminé | bord | 1 | 0,027 | grès et conglomérat | grès feldspathique | moyen à nombreux petits feldspaths blancs et micas blancs | non |
| Sect 2 St 214 US 4 quart sud-ouest | 363 | débris | | 1 | 0,026 | granite | leucogranite | moyen rosé clair à micas blancs et noirs | non |
| Sect 2 St 216 US 2 | 372 | débris | | 1 | 0,006 | grès et conglomérat | grès feldspathique | moyen à nombreux petits feldspaths blancs | non |
| Sect 2 St 216 US 2 | 373 | outil mouture indéterminé | fragment | 1 | 0,057 | grès et conglomérat | grès feldspathique | moyen à nombreux petits feldspaths blancs dans une matrice oxydée | non |
| Sect 2 St 219 US 2 | 325 | p brute | | 1 | 0,128 | grès et conglomérat | grès quartzitique | moyen blanc type galet | non |
| Sect 2 St 219 US 2 | 326 | débris | | 1 | 0,058 | grès et conglomérat | grès feldspathique | moyen à rares petits feldspaths blancs dans une matrice brune | non |
| Sect 2 St 219 US 2 | 327 | outil mouture indéterminé | bord | 1 | 0,054 | grès et conglomérat | grès feldspathique | moyen à nombreux petits feldspaths blancs et micas blancs | non |
| Sect 2 St 227 US 2 | 382 | p brute | | 1 | 0,095 | grès et conglomérat | grès micacé | moyen à nombreux petits micas blancs | non |
| Sect 2 St 227 US 2 | 383 | débris | | 1 | 0,098 | grès et conglomérat | grès feldspathique | grossier à nombreux petits feldspaths blancs et micas blancs | non |
| Sect 2 St 231 US 2 | 369 | débris | | 1 | 0,011 | grès et conglomérat | grès feldspathique | moyen à nombreux petits feldspaths blancs | non |
| Sect 2 St 235 2 | 285 | débris | | 1 | 0,007 | granite | leucogranite | moyen rosé orangé | non |
| Sect 2 St 235 US 2 | 273 | écl | | 1 | 0,001 | autre | silix | | non |
| Sect 2 St 235 US 2 | 274 | outil mouture indéterminé | bord | 1 | 0,05 | grès et conglomérat | grès feldspathique | grossier à nombreux petits feldspaths rosés | non |
| Sect 2 St 235 US 2 | 286 | débris | | 1 | 0,011 | grès et conglomérat | grès feldspathique | moyen à nombreux petits feldspaths rosés | non |
| Sect 2 St 235 US 2 | 302 | écl | | 1 | 0,001 | autre | silix | crème | non |
| Sect 2 St 235 US 2 | 319 | écl | | 2 | 0,014 | autre | silix | | non |
| Sect 2 St 235 US 2 | 324 | p brute | | 2 | 0,018 | grès et conglomérat | grès quartzitique | moyen à nombreux quartz rosés et quelques micas blancs | non |
| Sect 2 St 235 US 2 | 332 | molette | bord | 1 | 0,681 | grès et conglomérat | grès feldspathique | grossier à nombreux petits feldspaths blancs | oui |
| Sect 2 St 236 US 2 | 254 | débris | | 1 | 0,129 | granite | leucogranite | moyen rosé clair | non |

| Inventaire simplifié du lithique-Secteur 2 et 3 | | | | | | | | | |
|---|----------|---------------------------|--------------------------|----|------------|---------------------------|--------------------|--|--------|
| n° unité de fouille | n° objet | catégorie | Intégrité / fracturation | NR | Masse (kg) | roche niveau 1 | roche niveau 2 | précision proche | dessin |
| Sect 2 St 236 US 2 | 267 | p brute | | 1 | 0,049 | grès et conglomérat | grès siliceux | moyen à micas blancs | non |
| Sect 2 St 236 US 2 | 268 | écl | | 2 | 0,056 | grès et conglomérat | grès siliceux | moyen à micas blancs | non |
| Sect 2 St 236 US 2 | 334 | p brute | | 1 | 0,009 | grès et conglomérat | grès quartzitique | moyen brun | non |
| Sect 2 St 236 US 2 | 335 | p brute | | 1 | 0,006 | grès et conglomérat | grès siliceux | grossier sombre | non |
| Sect 2 St 236 US 2 | 336 | p brute | | 7 | 0,396 | grès et conglomérat | grès micacé | moyen à nombreux micas blancs, gris et noirs | non |
| Sect 2 St 236 US 2 | | p brute | | 1 | 0,001 | autre | galet | | |
| Sect 2 St 236 US 2 quart nord-ouest | 328 | écl | | 1 | 0,001 | autre | silix | | non |
| Sect 2 St 236 US 2 quart nord-ouest | 329 | débris | | 1 | 0,044 | grès et conglomérat | grès quartzitique | moyen à nombreux quartz dans une matrice siliceuse | non |
| Sect 2 St 236 US 2 quart nord-ouest | 330 | p brute | | 1 | 0,126 | grès et conglomérat | grès siliceux | moyen à inclusions centimétriques de quartz | non |
| Sect 2 St 236 US 3 | 331 | outil mouture indéterminé | fragment | 1 | 0,494 | grès et conglomérat | grès feldspathique | moyen à nombreux petits feldspaths blancs | non |
| Sect 2 St 236 US 4 | 310 | débris | | 1 | 0,037 | grès et conglomérat | grès feldspathique | grossier à nombreux petits feldspaths blancs et micas blancs | non |
| Sect 2 St 236 US 6 | 262 | débris | | 1 | 0,046 | grès et conglomérat | grès feldspathique | grossier à nombreux petits feldspaths blancs et micas blancs | non |
| Sect 2 St 239 US 2 | 263 | p brute | | 1 | 0,016 | autre roche métamorphique | | fin à veine de quartz | non |
| Sect 2 St 239 US 2 | 270 | débris | | 1 | 0,008 | grès et conglomérat | grès micacé | grossier à nombreux petits micas blancs | non |
| Sect 2 St 239 US 2 | 271 | écl | | 1 | 0,003 | grès et conglomérat | grès siliceux | fin brun orangé | non |
| Sect 2 St 239 US 2 | 272 | écl | | 1 | 0,061 | grès et conglomérat | grès micacé | fin noir | non |
| Sect 2 St 239 US 4 quart sud | 305 | écl | | 1 | 0,001 | autre | silix | blanc gris | non |
| Sect 2 St 239 US 4 quart sud | 306 | p brute | | 1 | 0,044 | grès et conglomérat | grès quartzitique | fin rosé | non |
| Sect 2 St 328 US 2 | 261 | débris | | 1 | 0,006 | grès et conglomérat | grès micacé | grossier à nombreux micas blancs et noirs | non |
| Sect 2 St 335 US 2 | 294 | p brute | | 1 | 0,001 | calcaire | fin | | non |
| Sect 2 St 339 US 2006 | 381 | outil mouture indéterminé | bord | 1 | 0,073 | grès et conglomérat | grès feldspathique | moyen à nombreux petits feldspaths blancs et micas blancs | non |

| Inventaire simplifié du lithique-Secteur 2 et 3 | | | | | | | | | |
|---|----------|---------------------------|--------------------------|----|------------|---------------------|--------------------|---|--------|
| n° unité de fouille | n° objet | catégorie | Intégrité / fracturation | NR | Masse (kg) | roche niveau 1 | roche niveau 2 | précision proche | dessin |
| Sect 2 St 345 US 2 | 311 | outil mouture indéterminé | bord | 1 | 0,125 | grès et conglomérat | grès feldspathique | grossier à nombreux petits feldspaths blancs | non |
| Sect 2 St 347 US 2 | 290 | débris | | 1 | 0,009 | grès et conglomérat | grès feldspathique | moyen à nombreux petits feldspaths blancs dans matrice brune | non |
| Sect 2 St 347 US 2 | 291 | débris | | 1 | 0,028 | grès et conglomérat | grès quartzitique | moyen à nombreux quartz blancs dans matrice beige rosé | non |
| Sect 2 St 356 US 2 | 378 | outil mouture indéterminé | fragment | 2 | 0,038 | grès et conglomérat | grès feldspathique | moyen à petits feldspaths blancs et nombreux petits micas blancs | non |
| Sect 2 St 356 US 2 | 379 | débris | | 1 | 0,027 | grès et conglomérat | grès feldspathique | grossier à nombreux petits feldspaths blancs dans une matrice | non |
| Sect 2 St 356 US 2 | 380 | écl | | 1 | 0,01 | grès et conglomérat | grès quartzitique | moyen blanc | non |
| Sect 2 St 359 | 354 | outil mouture indéterminé | bord | 1 | 0,07 | grès et conglomérat | grès feldspathique | grossier à petits feldspaths blancs et rosés et micas blancs | non |
| Sect 2 St 359 | 355 | percuteur | | 1 | 0,302 | grès et conglomérat | grès feldspathique | moyen à nombreux feldspaths blancs et rosés dans une matrice blanche oxydée | oui |
| Sect 2 St 359 US 2 | 309 | débris | | 1 | 0,016 | grès et conglomérat | grès feldspathique | grossier à nombreux petits feldspaths blancs | non |
| Sect 2 St 359 US 2 | 321 | p brute | | 1 | 0,354 | grès et conglomérat | grès quartzitique | fin gris | non |
| Sect 2 St 376 US 2 | 366 | écl | | 1 | 0,001 | autre | siliceux | | non |
| Sect 2 St 57 | 308 | débris | | 1 | 0,007 | grès et conglomérat | grès quartzitique | grossier à nombreux quartz blancs et gris | non |
| Sect 2 US 2001 | 229 | écl | | 2 | 0,173 | grès et conglomérat | grès feldspathique | grossier à nombreux petits feldspaths blancs | non |
| Sect 2 US 2001 | 230 | outil mouture indéterminé | fragment | 1 | | | a | | |
| Sect 2 US 2001 | 230 | percuteur | | 1 | 0,322 | grès et conglomérat | grès feldspathique | grossier à nombreux petits feldspaths blancs et inclusions centimétriques de quartz et lithoclastes | oui |
| Sect 2 US 2001 | 231 | p brute | | 1 | 0,356 | grès et conglomérat | grès siliceux | moyen rouge | non |
| Sect 2 US 2001 | 232 | débris | | 1 | 0,014 | grès et conglomérat | grès feldspathique | moyen à feldspaths blancs | non |
| Sect 2 US 2001 | 233 | débris | | 1 | 0,031 | grès et conglomérat | grès feldspathique | grossier à nombreux feldspaths rosés | non |
| Sect 2 US 2001 | 234 | débris | | 1 | 0,02 | autre | siliceux | | non |
| Sect 2 US 2001 | 235 | p brute | | 1 | 0,008 | grès et conglomérat | grès micacé | grossier à nombreux petits micas blancs | non |
| Sect 2 US 2001 | 236 | p brute | | 1 | 0,05 | grès et conglomérat | grès micacé | fin à nombreux petits micas blancs | non |
| Sect 2 US 2001 | 237 | débris | | 2 | 0,06 | grès et conglomérat | grès feldspathique | grossier à nombreux petits feldspaths blancs | non |

| Inventaire simplifié du lithique-Secteur 2 et 3 | | | | | | | | | |
|---|----------|---------------------------|--------------------------|----|------------|---------------------|--------------------|--|--------|
| n° unité de fouille | n° objet | catégorie | Intégrité / fracturation | NR | Masse (kg) | roche niveau 1 | roche niveau 2 | précision proche | dessin |
| Sect 2 US 2001 | 238 | débris | | 1 | 0,068 | grès et conglomérat | grès feldspathique | grossier à feldspaths blancs et micas blancs | non |
| Sect 2 US 2001 | 239 | outil mouture indéterminé | fragment | 1 | 0,079 | grès et conglomérat | grès feldspathique | grossier à nombreux petits feldspaths blancs | non |
| Sect 2 US 2001 | 256 | écl | | 1 | 0,06 | grès et conglomérat | grès siliceux | fin rosé rouge | non |
| Sect 2 US 2001 | 257 | outil mouture indéterminé | fragment | 1 | 0,02 | grès et conglomérat | grès feldspathique | moyen à feldspaths rosés | non |
| Sect 2 US 2001 | 258 | débris | | 1 | 0,034 | grès et conglomérat | grès micacé | moyen à nombreux petits micas blancs et silice rouge | non |
| Sect 2 US 2001 | 259 | percuteur | | 1 | 0,352 | granite | leucogranite | grossier rose | non |
| Sect 2 US 2001 | 260 | mortier | | 1 | 0,039 | grès et conglomérat | grès feldspathique | grossier à nombreux feldspaths blancs et roses | non |
| Sect 2 US 2001 | 265 | écl | | 1 | 0,019 | autre | silix | | non |
| Sect 2 US 2001 | | p brute | | 1 | 0,003 | calcaire | | blanc | |
| Sect 2 US 2001 | | p brute | | 1 | 0,047 | grès et conglomérat | | | |
| Sect 2 US 2001 | | p brute | | 1 | 0,082 | autre | galet | | |
| Sect 2 US 2001 | | p brute | | 1 | 0,025 | autre | galet | | |
| Sect 2 US 2001 | | p brute | | 1 | 0,011 | autre | galet | | |
| Sect 2 US 2003 | | p brute | | 1 | 0,015 | autre | galet | | |
| Sect 2 US 2005 | 356 | p brute | | 1 | 0,03 | | | | non |
| Sect 2 US 2005 | 357 | percuteur | | 1 | 0,25 | grès et conglomérat | grès feldspathique | grossier peu feldspathique blanc avec micas blancs | oui |
| Sect 2 US 2005 | 358 | percuteur | | 1 | 0,141 | grès et conglomérat | grès feldspathique | moyen à nombreux petits feldspaths | non |
| Sect 2 US 2005 | 359 | débris | | 1 | 0,151 | grès et conglomérat | grès micacé | moyen peu feldspathique à nombreux micas blancs | non |
| Sect 2 US 2005 carré 14 | 367 | écl | | 1 | 0,004 | autre | silix | | non |
| Sect 2 US 2005 carré 20 | 315 | débris | | 1 | 0,033 | grès et conglomérat | grès feldspathique | grossier à nombreux feldspaths blancs et rosés plurimillimétriques et micas blancs | non |
| Sect 2 US 2005 carré 4 niveau 1 | 320 | débris | | 1 | 0,046 | grès et conglomérat | grès feldspathique | grossier à nombreux feldspaths blancs et rosés | non |
| Sect 2 US 2005 carré 7 | 307 | débris | | 1 | 0,004 | granite | leucogranite | moyen rosé à nombreux micas blancs, gris et noirs | non |
| Sect 2 US 2005 carré 8 niveau 1 | 312 | débris | | 1 | 0,017 | grès et conglomérat | grès feldspathique | grossier à gros feldspaths blancs et inclusions de quartz et micas | non |

| Inventaire simplifié du lithique-Secteur 2 et 3 | | | | | | | | | |
|---|----------|---------------------------|--------------------------|----|------------|---------------------|--------------------|--|--------|
| n° unité de fouille | n° objet | catégorie | Intégrité / fracturation | NR | Masse (kg) | roche niveau 1 | roche niveau 2 | précision proche | dessin |
| Sect 2 US 2005 carré 8 niveau 1 | 322 | p brute | | 1 | 0,099 | grès et conglomérat | grès quartzitique | moyen orangé | non |
| Sect 2 US 2005 carré 8 niveau 1 | 323 | lisseur | | 1 | 0,051 | grès et conglomérat | grès quartzitique | fin blanc rosé | non |
| Sect 2 US 2005 carré 9 niveau 1 | 313 | débris | | 1 | 0,019 | grès et conglomérat | grès feldspathique | grossier à nombreux petits feldspaths blancs | non |
| Sect 2 US 2005 carré 9 niveau 1 | 317 | débris | | 1 | 0,069 | grès et conglomérat | grès feldspathique | grossier à nombreux petits feldspaths blancs | non |
| Sect 2 US 2005 carré 9 niveau 1 | 318 | outil mouture indéterminé | | 1 | 0,037 | granite | leucogranite | grossier gris à nombreux micas blancs, gris et noirs | non |
| Sect 2 US 2005 sur berme entre carré 12 et 4 | 377 | p brute | | 1 | 0,085 | grès et conglomérat | quartzite | blanc | non |
| Sect 2 US 2005-2006 carré 3 niveau 1 | 303 | outil mouture indéterminé | bord | 1 | 0,004 | grès et conglomérat | grès feldspathique | grossier à nombreux petits feldspaths blancs | non |
| Sect 2 US 2005-2006 carré 3 niveau 1 | 304 | outil mouture indéterminé | bord | 1 | 0,006 | grès et conglomérat | grès feldspathique | moyen à nombreux petits feldspaths blancs | non |
| Sect 2 US 2006 | 384 | outil mouture indéterminé | bord | 1 | 0,078 | grès et conglomérat | grès feldspathique | moyen à nombreux petits feldspaths blancs et lithoclastes plurmillimétriques rosés | non |
| Sect 2 US 2006 | 385 | débris | | 1 | 0,006 | grès et conglomérat | grès feldspathique | moyen à nombreux petits feldspaths blancs | non |
| Sect 2 US 2006 | 386 | débris | | 1 | 0,082 | grès et conglomérat | grès feldspathique | moyen à rares petits feldspaths rosés crème et nombreux petits micas blancs | non |
| Sect 2 US 2008 carré 11 | 371 | débris | | 1 | 0,014 | grès et conglomérat | grès feldspathique | grossier à nombreux petits feldspaths blancs et rosés et micas blancs | non |
| Sect 2 US 2008 carré 3 | 374 | débris | | 1 | 0,014 | granite | granite | moyen gris à nombreux petits micas blancs et noirs | non |
| Sect 2 US 2008 carré 3 | 375 | débris | | 1 | 0,017 | grès et conglomérat | grès feldspathique | moyen à petits feldspaths blancs et micas blancs dans une matrice rosée | non |
| Sect 2 US 2008 carré 3 | 376 | outil mouture indéterminé | fragment | 1 | 0,065 | grès et conglomérat | grès feldspathique | moyen à nombreux petits feldspaths blancs et micas blancs | non |
| Sect 2 US 2009 carré 1 | 388 | outil mouture indéterminé | fragment | 1 | 0,023 | grès et conglomérat | grès feldspathique | moyen à nombreux petits feldspaths blancs et rosés et micas blancs | non |
| Sect 3 St 400 US 3 | 240 | écl | | 1 | 0,008 | autre | silic | | non |
| Sect 3 St 400 US 3 | 241 | écl | | 1 | 0,001 | autre | silic | | non |
| Sect 3 St 400 US 3 | 247 | écl | fragment | 1 | 0,003 | autre | silic | | non |

| Inventaire simplifié du lithique-Secteur 2 et 3 | | | | | | | | | |
|---|----------|---------------------------|--------------------------|----|------------|---------------------|--------------------|--|--------|
| n° unité de fouille | n° objet | catégorie | Intégrité / fracturation | NR | Masse (kg) | roche niveau 1 | roche niveau 2 | précision proche | dessin |
| Sect 3 St 400 US 3 | 255 | débris | | 1 | 0,031 | grès et conglomérat | grès feldspathique | grossier à nombreux petits feldspaths blancs et rosés | non |
| Sect 3 St 400 US 3 | | p brute | | 3 | 0,014 | autre | galet | | |
| Sect 3 St 400 US 3 | | p brute | | 1 | 0,006 | autre | galet | | |
| Sect 3 St 400 US 4 | 249 | écl | fragment | 1 | 0,001 | autre | silix | | non |
| Sect 3 St 400 US 4 | 250 | écl | fragment | 1 | 0,001 | autre | silix | | non |
| Sect 3 St 400 US 4 | 251 | écl | fragment | 1 | 0,001 | autre | silix | | non |
| Sect 3 St 400 US 4 | 252 | écl | entier | 1 | 0,071 | grès et conglomérat | grès feldspathique | moyen à nombreux petits feldspaths blancs et micas blancs | non |
| Sect 3 St 400 US 4 | | p brute | | 1 | 0,024 | autre | galet | | |
| Sect 3 St 400 US 4 | | p brute | | 1 | 0,049 | autre | galet | | |
| Sect 3 St 400 US 4 | | p brute | | 1 | 0,04 | autre | quartz | | |
| Sect 3 St 400 US 5 | 226 | outil mouture indéterminé | bord | 1 | 0,105 | grès et conglomérat | grès feldspathique | grossier à nombreux petits feldspaths blancs et rosés | oui |
| Sect 3 St 400 US 5 | 227 | débris | | 1 | 0,5 | grès et conglomérat | grès feldspathique | grossier à nombreux petits feldspaths blancs et micas blancs | non |
| Sect 3 St 400 US 5 | 228 | débris | | 1 | 0,152 | granite | leucogranite | grossier rosé à nombreux micas noirs et gris | non |
| Sect 3 St 400 US 5 | 228 | percuteur | entier | | | granite | leucogranite | grossier rosé à nombreux micas noirs et gris | oui |
| Sect 3 St 400 US 5 | 242 | écl | | 1 | 0,001 | autre | silix | | non |
| Sect 3 St 400 US 5 | 243 | écl | | 1 | 0,004 | autre | silix | | non |
| Sect 3 St 400 US 5 | 244 | écl | | 1 | 0,001 | autre | silix | | non |
| Sect 3 St 400 US 5 | 245 | écl | | 1 | 0,001 | autre | silix | | non |
| Sect 3 St 400 US 5 | 246 | molette | bord | 1 | 0,092 | grès et conglomérat | grès feldspathique | grossier à nombreux petits feldspaths rosés et micas blancs | oui |
| Sect 3 St 400 US 5 | | p brute | | 1 | 0,003 | calcaire | | fin gris | |
| Sect 3 St 400 US 5 | | p brute | | 1 | 0,035 | calcaire | | moyen à quelques inclusions millimétriques | |

| Inventaire simplifié du lithique-Secteur 2 et 3 | | | | | | | | | |
|---|----------|-----------|--------------------------|----|------------|---------------------|----------------|------------------|--------|
| n° unité de fouille | n° objet | catégorie | Intégrité / fracturation | NR | Masse (kg) | roche niveau 1 | roche niveau 2 | précision proche | dessin |
| Sect 3 St 400 US 5 | | p brute | | 1 | 0,028 | grès et conglomérat | | galet | |
| Sect 3 St 400 US 5 | | p brute | | 2 | 0,018 | autre | galet | | |
| Sect 3 US 3001 | 222 | débris | | 1 | 0 | autre | silex | | non |

An aerial photograph of a riverbank. The river is at the top, surrounded by lush green trees. Below the river, there is a grassy area with some trees and a small structure. In the foreground, there is a large, dark, diamond-shaped overlay that covers most of the image. The text 'LISTE DES FIGURES' is written in white, serif font across the center of this overlay. The background shows a mix of green grass, brown soil, and some debris like bricks and a blue object.

LISTE DES FIGURES

| | | |
|--------|--|----|
| Fig.1 | Localisation du secteur de fouille à Bragny-sur-Saône (fond de carte Géoportail)..... | 21 |
| Fig.2 | Localisation des sites du premier âge du Fer repérés dans le secteur de la Confluence Saône-Doubs-Dheune (Carte : R. Labeaune)..... | 22 |
| Fig.3 | Localisation des différents secteurs de fouille abordés par A. Guillot (BR. I à V), J. L. Flouest et les fouilles récentes de 2021 et 2022 (Sect. 1 à 3) (Fond de carte : C. Sanchez, DAO : E. Dubreucq) | 24 |
| Fig.4 | Type de structures fouillée en 2021 et leur surface moyenne (en m2) (E. Dubreucq)..... | 28 |
| Fig.5 | Plan du secteur 1 fouillé en 2021 (DAO : V. Cicolani, C. Batardy, E. Dubreucq, L. Picot)..... | 29 |
| Fig.6 | Proposition d'interprétation du plan du secteur 1 en fonction de l'orientation des structures et des espaces vides (DAO : E. Dubreucq)..... | 31 |
| Fig.7 | Localisation des différents secteurs fouillés à Bragny en 2022 (V. Cicolani) | 32 |
| Fig.8 | Décapage en cours du secteur 3 (Photo : J. Brenot)..... | 32 |
| Fig.9 | Photographie redressée et géoréférencée réalisée au drone (cliché : M. Thivet) | 33 |
| Fig.10 | Photographie de l'angle ouest du secteur 2 après décapage : vue de l'ouest (Photo : E. Dubreucq). 34 | |
| Fig.11 | Initiation à la géophysique en cours de fouille (Photo : E. Dubreucq) | 34 |
| Fig.12 | Fouille en cours de la structure 210, réalisée par quart opposés (Photo : L. Belhade)..... | 35 |
| Fig.13 | Emprise des différents types de prospection géophysique réalisés en cours de fouille durant la campagne 2022 sur le site de Bragny-sur-Saône (CAO : Ch. Sanchez) | 35 |
| Fig.14 | Plan général du secteur fouillé en 2022 (PAO : L. Picot, V. Cicolani, E. Dubreucq) | 36 |
| Fig.15 | Résultats de la prospection de susceptibilité magnétique à l'ouest de la zone fouillée (traitement et CAO Ch. Sanchez) | 38 |
| Fig.16 | Résultats de la prospection de susceptibilité magnétique à l'est de la zone fouillée (traitement et CAO Ch. Sanchez) | 39 |
| Fig.17 | Réalisation de mesures électromagnétiques en cours de fouille (Photo C. Sanchez) | 40 |
| Fig.18 | Résultats de la prospection électromagnétique à l'ouest de la zone fouillée (traitement et CAO Ch. Sanchez) | 41 |
| Fig.19 | Réalisation de prospection géoradar en cours de fouille (Photo Ch. Sanchez)..... | 42 |
| Fig.20 | Résultats préliminaires de la prospection géoradar à l'ouest de la zone fouillée (traitement et CAO Ch. Sanchez) | 42 |

| | | |
|--------|---|----|
| Fig.21 | Confrontation entre les résultats de la prospection magnétique extensive de 2020 et les résultats de la fouille (traitement : F.-X. Simon, CAO : Ch. Sanchez) | 43 |
| Fig.22 | Zone abordée lors de la fouille en 2022 et zone gelée pour 2023 (E. Dubreucq) | 47 |
| Fig.23 | Tableau récapitulatif des structures fouillées, en cours de fouille et annulées de la campagne 2022..... | 48 |
| Fig.24 | Tableau résumant les principaux types structures fouillées à Bragny en 2022 (E. Dubreucq) | 49 |
| Fig.25 | Graphique représentant les surfaces en m ² des diverses structures trouvées en 2022 (E. Dubreucq) | 49 |
| Fig.26 | Graphique représentant les surfaces moyennes exprimées en m ² des diverses structures en fonction de leur morphologie (E. Dubreucq) | 50 |
| Fig.27 | Prélèvements micromorphologiques en cours de réalisation sur la structure en creux St. 236 et sur les sols d'occupation à l'extérieur de la fosse (à gauche) (A. Peinetti)..... | 51 |
| Fig.28 | Tableau des US hors structure et des niveaux d'occupation identifiés au cours de la fouille (V. Cicolani) | 54 |
| Fig.29 | Situation du carroyage au sud du secteur 2 (Photo : V. Cicolani)..... | 55 |
| Fig.30 | Carroyage en cours de fouille, on aperçoit au fond de l'image les amas de faune encore en place (Photo : V. Cicolani) | 55 |
| Fig.31 | Coupe Est-Ouest et Ouest-Est des sols repérés dans le carroyage (Dessin : V. Cicolani, DAO : D. Beucher, E. Dubreucq) | 56 |
| Fig.32 | Fosse rectangulaire 210.03 lors de sa fouille (Photo : L. Belhade) | 59 |
| Fig.33 | Situation de la fosse-atelier 210.05 au sein du secteur 2 (E. Dubreucq) | 60 |
| Fig.34 | Vue d'ensemble du niveau 210.05 (Photo : L. Belhade) | 61 |
| Fig.35 | Vue de détail sur un fragment d'argile blanche trouvé lors de la fouille du niveau 210.05 (Photo : L. Belhade) | 61 |
| Fig.36 | Vue sur le niveau 210.05 et plus particulièrement sur l'aire quadrangulaire centrale et l'aménagement 252 (Photo et DAO : E. Dubreucq) | 61 |
| Fig.37 | Vue de détail sur le niveau 210.05 et plus particulièrement sur l'aménagement 252, vue depuis l'Est (Photo : E. Dubreucq) | 62 |
| Fig.38 | Situation des divers poteaux en lien avec le niveau 210.05 (Photo : E. Dubreucq) | 62 |
| Fig.39 | Coupe Sud-Nord et Ouest-Est des structures 210 et autres niveaux associés (Dessin : L. Belhade, DAO : D. Beucher, E. Dubreucq)..... | 63 |

| | | |
|--------|--|----|
| Fig.41 | Diagramme de Harris résumant la stratigraphie de la fosse-atelier 210 et des structures associées (DAO : L. Belhade, E. Dubreucq) | 64 |
| Fig.40 | Plan de F210.06, 321 et 345 (Dessin : L. Belhade, DAO : D. Beucher, E. Dubreucq)..... | 64 |
| Fig.42 | Interprétation possibles des espaces dans la fosse-atelier (DAO : E. Dubreucq) | 65 |
| Fig.43 | Comparaisons entre la structure BN20 et la fosse-atelier 210.05. Échelles différentes (DAO : E. Dubreucq d'après Flouest, Labeaune)..... | 66 |
| Fig.44 | Prélèvements en cours des deux dépôts (Photo : L. Picot, DAO : E. Dubreucq) | 67 |
| Fig.45 | Dépôts juste après leur dégagement (Photo : E. Dubreucq) | 67 |
| Fig.46 | Coupe NE-SO du dépôt d'outils dit n°1-US 332.02 avec une la mise en évidence de deux fosses/trous de poteau contenant les deux dépôts et la structure 234 (Photo : H. Fouillat, DAO : E. Dubreucq) | 67 |
| Fig.47 | Plan et coupe NE-SO des structures 332 (Dessin : H. Fouillat, DAO : D. Beucher, E. Dubreucq). | 68 |
| Fig.48 | Carte des anomalies magnétiques (d'après Sanchez 2020) | 69 |
| Fig.49 | Plan avec la localisation des secteurs 2 et 3 et de l'anomalie linéaire (Fond : C. Sanchez, DAO : V. Cicolani) | 70 |
| Fig.50 | Plan général du secteur 3 avec l'indication des surfaces fouillées et documentées (Plan : L. Picot, DAO : V. Cicolani)..... | 70 |
| Fig.51 | Photo de la structure Str. 400, après la réalisation du log mécanique et nettoyage (Photo : V. Cicolani)..... | 71 |
| Fig.52 | Equipe de fouille du fossé (V. Cicolani)..... | 71 |
| Fig.53 | Coupes nord-sud et sud-nord relevées dans le sondage géoarchéologique (Dessin J. Brenot, A. Fouillade, DAO D. Beucher, V. Cicolani) | 72 |
| Fig.54 | Plan du fossé et coupe transversale après la fouille de sa moitié (Photo : V. Cicolani, DAO : V. Cicolani, E. Dubreucq) | 73 |
| Fig.55 | Coupes ouest-est et sud-nord du segment de fossé fouillé. (Dessins : L. Logeron, Z. Bonnin, V. Cicolani ; DAO : D. Beucher, V. Cicolani) | 75 |
| Fig.56 | Tableau récapitulatif des différentes classes de mobilier provenant de la fouille du fossé. Données en cours d'étude (V. Cicolani) | 76 |
| Fig.57 | Comparaison des masses et des taux de fragmentation des différentes grandes classes de mobilier provenant du fossé (V. Cicolani)..... | 77 |
| Fig.58 | Alternance de différents types de faciès sédimentaires qui composent l'US 400.02, dans l'axe central du fossé (A. Peinetti) | 77 |

| | | |
|--------|--|-----|
| Fig.59 | Tableau récapitulatif des faciès sédimentaires identifiés à la base de la séquence de remplissage du fossé : les faciès de type 1 à 4 composent l'US 400.02 et les faciès de type 5 à 6 caractérisent la transition entre l'US 400.02 et l'US 400.03 | 78 |
| Fig.60 | Phase de prélèvement des échantillons micromorphologiques par A. Peinetti (Photo : V. Cicolani) | 79 |
| Fig.61 | Coupe Est orientation Nord-Sud du fossé avec l'emplacement des échantillons micromorphologiques et la localisation des faciès sédimentaires qui composent l'US 400.02 (DAO : D. Beucher, V. Cicolani, A. Peinetti) | 80 |
| Fig.62 | Quantités de mobiliers découverts sur les différents secteurs fouillés depuis 2021 (excepté les mobiliers trouvés dans les dépôts)(E. Dubreucq) | 83 |
| Fig.63 | Quantification générale des mobiliers par secteur (excepté une partie des objets trouvés dans les dépôts 1 et 2)(E. Dubreucq) | 83 |
| Fig.64 | Quantification générale des mobiliers par matériau (excepté une partie des objets trouvés dans les dépôts 1 et 2)(E. Dubreucq) | 84 |
| Fig.65 | Quantification par catégories fonctionnelles du mobilier des secteurs 1 et 2 (excepté une partie des objets des dépôts 1 et 2)(E. Dubreucq) | 84 |
| Fig.66 | Éléments de parure et de vêtement trouvés dans les secteurs 1 et 2 (DAO : D. Beucher, E. Dubreucq) | 86 |
| Fig.67 | Lame de rasoir et de couteaux trouvés dans les secteurs 1 et 2 (DAO : D. Beucher, E. Dubreucq) | 89 |
| Fig.68 | Fragments d'éléments de vaisselle dans les secteurs 1 et 2 (DAO : D. Beucher, E. Dubreucq) | 90 |
| Fig.69 | Fragments de balles de fronde et diverses pièces classées dans la catégorie divers-polyvalents (DAO : D. Beucher, E. Dubreucq) | 91 |
| Fig.70 | Panel des outils liés au travail des métaux (DAO : D. Beucher, E. Dubreucq) | 93 |
| Fig.71 | Panel des objets en fer en cours de fabrication (DAO : D. Beucher, E. Dubreucq) | 94 |
| Fig.72 | Panel des chutes de barres liées au travail du fer (DAO : D. Beucher, E. Dubreucq) | 95 |
| Fig.73 | Panel des chutes atypiques liées au travail du fer (DAO : D. Beucher, E. Dubreucq) | 96 |
| Fig.74 | Panel des chutes liées au travail des alliages cuivreux (DAO : D. Beucher, E. Dubreucq) | 97 |
| Fig.75 | Aiguille et fragments de dévidoirs issus des deux secteurs de fouille (DAO : D. Beucher, E. Dubreucq) | 98 |
| Fig.76 | Fusaïoles découvertes dans les deux secteurs de fouille (DAO : D. Beucher, E. Dubreucq) | 99 |
| Fig.77 | Panel de pesons découverts dans les deux secteurs de fouille (DAO : D. Beucher, E. Dubreucq) | 100 |

| | | |
|---------|--|-----|
| Fig.78 | Lots d'outils pour le travail du bois et/ou du cuir (DAO : D. Beucher, E. Dubreucq) | 101 |
| Fig.79 | Manche d'outil en os et terre crue (DAO : D. Beucher, E. Dubreucq) | 102 |
| Fig.80 | Quantification des déchets scorifiés découverts dans les différents secteurs fouillés (L. Belhade) | 103 |
| Fig.81 | Quantification des culots de forge par rapport à l'ensemble des déchets découverts dans les différents secteurs fouillés (L. Belhade)..... | 103 |
| Fig.82 | Quantification des scories selon leur provenance (issues ou non de structures)(L. Belhade)..... | 103 |
| Fig.83 | Quantification des scories selon leur types et leur secteur (L. Belhade) | 104 |
| Fig.84 | Tableau synthétique des battitures découvertes dans le secteur 1 (L. Belhade) | 105 |
| Fig.85 | Tableau synthétique des formes du corpus de Bragny 2021 (L. Picot) | 107 |
| Fig.86 | Différents motifs des décors peints à la barbotine de Bragny 2021 (L. Picot) | 110 |
| Fig.87 | Tableau des techniques décoratives plastiques par NR et NMI pour les productions modelées (L. Picot)..... | 111 |
| Fig.88 | Décors plastiques impressionnés de Bragny 2021 (L. Picot) | 111 |
| Fig.89 | Décors plastiques modelés et incisés de Bragny 2021 (L. Picot)..... | 112 |
| Fig.90 | Décors plastiques cannelés de Bragny 2021 (L. Picot)..... | 113 |
| Fig.91 | Tableau d'inventaire quantifié Bragny 2021 et 2022 (L. Picot) | 117 |
| Fig.92 | Représentation du nombre de NMI par type identifié (L. Picot)..... | 118 |
| Fig.93 | Inventaire des importations massaliètes (ou de tradition massaliète) (R. Roure) | 120 |
| Fig.94 | Répartition des importations massaliètes (ou de tradition massaliète) dans le secteur 2 (R. Roure)..... | 121 |
| Fig.95 | Pâte du tesson d'amphore probablement punique (Photo : M. Luaces) | 122 |
| Fig.96 | Répartition des différents matériaux trouvés dans le secteur 1 (Dessin, DAO : A. Fouillade)..... | 123 |
| Fig.97 | Fragments de meules trouvés dans le secteur 1 (Dessin, DAO : A. Fouillade) | 124 |
| Fig.98 | Localisation des affleurements géologiques (DAO : L. Jaccottey) | 125 |
| Fig.99 | Légende proposée pour les cartes de répartition (D'après L. Jaccottey) | 126 |
| Fig.100 | Répartition du matériel lithique sur le secteur 1 (DAO : A. Fouillade)..... | 127 |
| Fig.101 | Répartition des leucogranites (DAO : A. Fouillade) | 128 |

| | | |
|---------|--|-----|
| Fig.102 | Répartition des grès grossier à feldspaths blancs (DAO : A. Fouillade) | 130 |
| Fig.103 | Tessons datés du Néolithique trouvés sur les secteurs 1 et 2 (Dessin, DAO : A. Denaire)..... | 138 |
| Fig.104 | Graphique représentant le nombre de restes par structures dans le secteur 2 (E. Dubreucq) | 141 |
| Fig.105 | Carte de répartition du petit mobilier selon sa fonctionnalité (V. Cicolani) | 142 |
| Fig.107 | Coupe du poteau F45 avec un possible calage (Photo : A. Vincelot) | 144 |
| Fig.106 | Types de structures découvertes sur les deux secteurs de Bragny en 2021 et 2022 | 144 |
| Fig.108 | Graphique représentant les volumes des trous de poteaux trouvés sur les deux secteurs (E. Dubreucq) | 145 |
| Fig.109 | Plan et coupe de F42 (Dessin : H. Fouillat ; DAO : D. Beucher | 146 |
| Fig.110 | Graphique représentant les volumes des fosses trouvées sur les deux secteurs (E. Dubreucq) ... | 147 |
| Fig.111 | Graphique représentant les volumes des grandes fosses trouvées sur les deux secteurs (E. Dubreucq) | 147 |
| Fig.112 | Limite de sol qui semble se percevoir sur les résultats de la prospections magnétiques (en tiret rouge : la limite présumée) (DAO : C. Sanchez, E. Dubreucq) | 148 |
| Fig.113 | Plan d'ensemble des structures trouvées dans les deux secteurs (DAO : L. Picot, V. Cicolani, E. Dubreucq) | 150 |
| Fig.114 | Exemple de la structure 5, munie d'au moins deux phases de comblement/fonctionnement (Dessin : S. Critchel, Z. Bonnin, DAO : D. Beucher, E. Dubreucq) | 151 |
| Fig.115 | Coupe longitudinale de la structure 4 (Cliché : A. Lemoine)..... | 152 |
| Fig.116 | Exemple de la coupe du poteau F21 comprenant un sédiment limoneux-sableux de couleur brun-jaunâtre (Cliché : A. Perrot)..... | 152 |
| Fig.117 | Quatre outils à douilles présents dans le dépôt juste après leur nettoyage (photo : M. Bernard) | 154 |
| Fig.118 | Plan du sondage avec la restitution du segment de fossé fouillé (L. Picot, V. Cicolani) | 157 |
| Fig.119 | Fossé à la fin de la fouille: profil est orientation sud-nord (Photo : V. Cicolani) | 158 |
| Fig.120 | Localisation des différents secteurs de fouille abordés par A. Guillot (BR. I à V), J. L. Flouest et les fouilles récentes de 2021 et 2022 (Sect. 1 à 3) (Fond de carte : C. Sanchez, DAO : E. Dubreucq) | 162 |
| Fig.121 | Localisation des sondages envisagés pour le prochain triennal (DAO : E. Dubreucq) | 163 |